

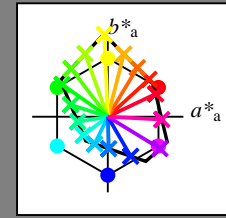
Ein und Ausgabe:
 Farbmimetrisches Drucker-Reflektiv-System FRS12_95a

Daten für jede Farbe:
 u^*_e und Nummer *Nr.* = 00 .. 15

Elementar-Bunttextext:
 $u^*_e = 16$ Bunttoene *r00j, r25j, ..., b75r*

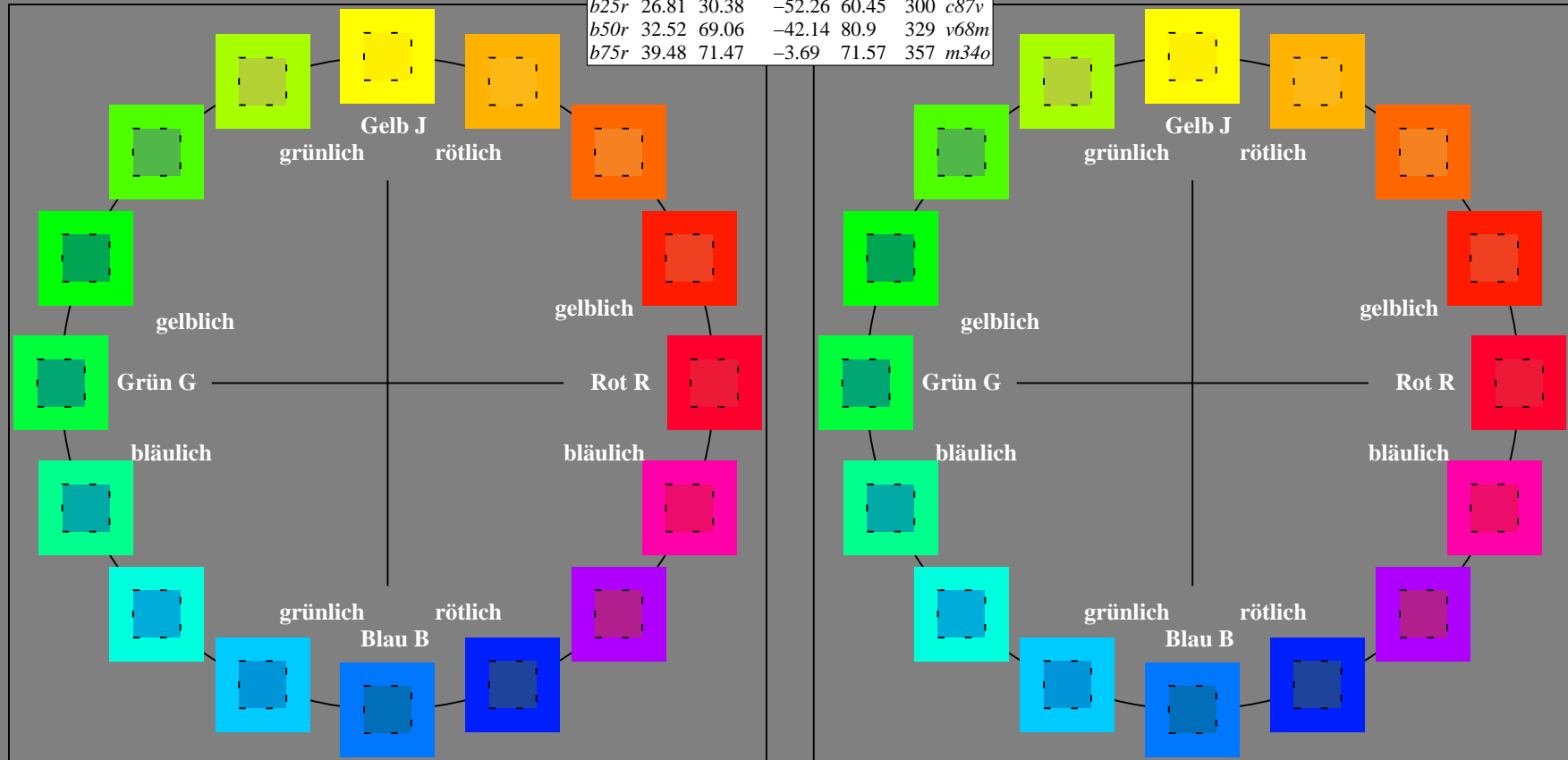
Kontrastreduzierungsfaktor:
 $c_R = 1.0$

FRS12_95a; adaptierte CIELAB-Daten						
u^*_e	$L^*=L^*_a$	a^*_a	b^*_a	$C^*_{ab,a}$	$h^*_{ab,a}$	u^*_d
<i>r00j</i>	38.47	63.32	30.17	70.15	25	<i>m81o</i>
<i>r25j</i>	42.12	54.56	49.45	73.64	42	<i>o10y</i>
<i>r50j</i>	53.64	39.15	64.89	75.79	59	<i>o40y</i>
<i>r75j</i>	67.01	21.26	82.83	85.52	76	<i>o69y</i>
<i>j00g</i>	86.18	-4.38	108.53	108.62	92	<i>o98y</i>
<i>j25g</i>	69.73	-29.89	83.06	88.28	110	<i>y34l</i>
<i>j50g</i>	57.03	-48.31	63.49	79.78	127	<i>y69l</i>
<i>j75g</i>	47.73	-60.33	42.64	73.88	145	<i>l03c</i>
<i>g00b</i>	50.59	-49.08	15.74	51.54	162	<i>l23c</i>
<i>g25b</i>	52.97	-39.7	-6.72	40.27	190	<i>l55c</i>
<i>g50b</i>	54.85	-32.33	-24.35	40.48	217	<i>l87c</i>
<i>g75b</i>	49.92	-17.29	-36.02	39.96	244	<i>c20v</i>
<i>b00r</i>	40.91	1.28	-42.35	42.37	272	<i>c53v</i>
<i>b25r</i>	26.81	30.38	-52.26	60.45	300	<i>c87v</i>
<i>b50r</i>	32.52	69.06	-42.14	80.9	329	<i>v68m</i>
<i>b75r</i>	39.48	71.47	-3.69	71.57	357	<i>m34o</i>



%Umfang
 $u^*_{rel} = 109$
 %Regularität
 $g^*_{H,rel} = 31$
 $g^*_{C,rel} = 40$

FRS12_95a; adaptierte CIELAB-Daten					
Name	$L^*=L^*_a$	a^*_a	b^*_a	$C^*_{ab,a}$	$h^*_{ab,a}$
O _{Ma}	38.06	60.0	44.0	74.4	36
Y _{Ma}	86.77	-5.17	109.32	109.44	93
L _{Ma}	47.13	-62.67	48.24	79.09	142
C _{Ma}	55.66	-29.14	-31.99	43.27	228
V _{Ma}	17.15	50.3	-59.04	77.57	310
M _{Ma}	40.37	78.64	-33.5	85.48	337
N _{Ma}	11.58	0.0	0.0	0.0	0
W _{Ma}	95.02	0.0	0.0	0.0	0
R _{CIE}	39.92	58.74	27.99	65.07	25
J _{CIE}	81.26	-2.89	71.56	71.62	92
G _{CIE}	52.23	-42.42	13.6	44.55	162
B _{CIE}	30.57	1.41	-46.47	46.49	272



Ein und Ausgabe: Farbmatisches Drucker-Reflektiv-System FRS12_95a, $L^*=12_95$ für relativen CIELAB-Bunton $h^* = lab^*h^* = h_{ab}/360 = 0.071$ $u^*_e = r00j$

Daten für jede Farbe:

lab^*tch^* und lab^*icu^*

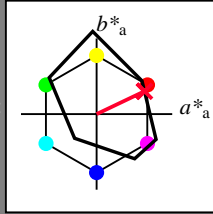
Buntontexte:

$u^*_e = r00j$ $u^*_d = m81o$

Kontrastreduzierungsfaktor:

$c_R = 1.0$

Dreiecks-Helligkeit t^*



FRS12_95a; adaptierte CIELAB-Daten						
u^*_e	$L^*=L^*_a$	a^*_a	b^*_a	$C^*_{ab,a}$	$h^*_{ab,a}$	
O _{Ma}	38.06	60.0	44.0	74.4	36	
Y _{Ma}	86.77	-5.17	109.32	109.44	93	
L _{Ma}	47.13	-62.67	48.24	79.09	142	
C _{Ma}	55.66	-29.14	-31.99	43.27	228	
V _{Ma}	17.15	50.3	-59.04	77.57	310	
M _{Ma}	40.37	78.64	-33.5	85.48	337	
N _{Ma}	11.58	0.0	0.0	0.0	0	
W _{Ma}	95.02	0.0	0.0	0.0	0	
R _{Ma}	39.92	58.74	27.99	65.07	25	
J _{Ma}	81.26	-2.89	71.56	71.62	92	
G _{Ma}	52.23	-42.42	13.6	44.55	162	
B _{Ma}	30.57	1.41	-46.47	46.49	272	

Daten für Maximalfarbe (Ma):

$LAB^*LAB^*_{Ma}$: 38 63 30

$LAB^*LCH^*_{Ma}$: 38 70 25

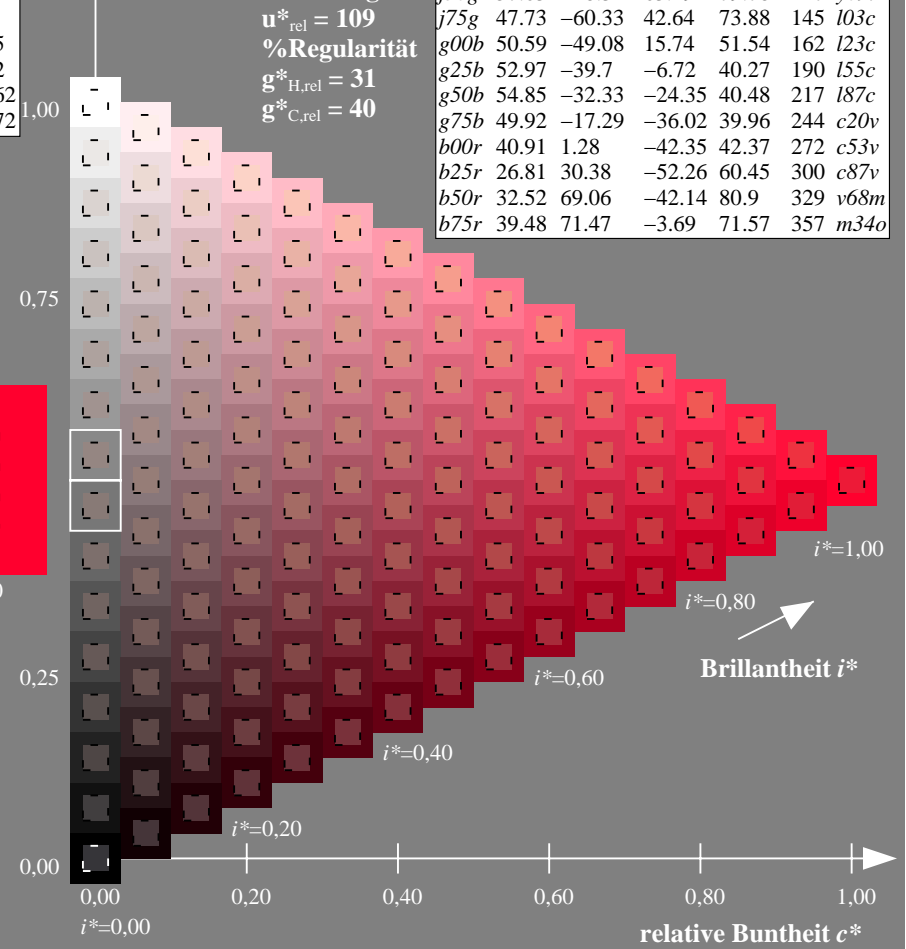
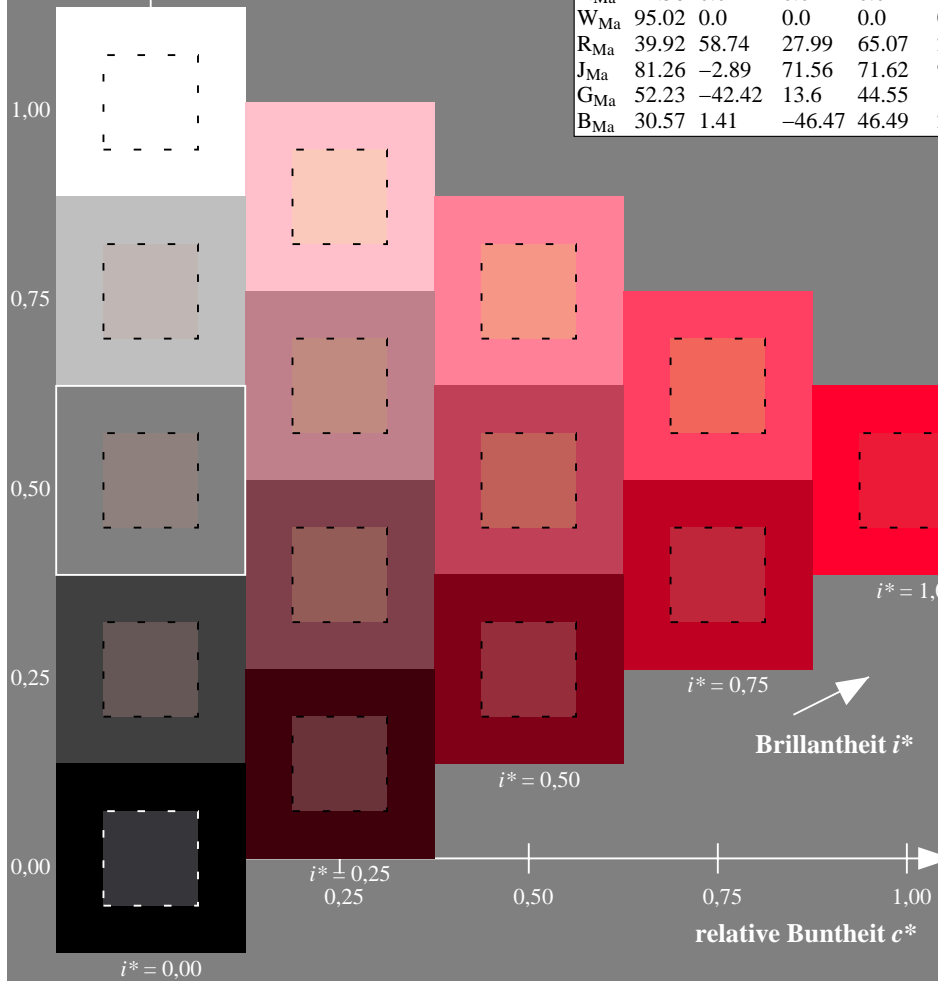
$lab^*rgb^*_{Ma}$: 1.0 0.0 0.0

$lab^*olv^*_{Ma}$: 1.0 0.0 0.18

Dreiecks-Helligkeit t^*

FRS12_95a; adaptierte CIELAB-Daten

u^*_e	$L^*=L^*_a$	a^*_a	b^*_a	$C^*_{ab,a}$	$h^*_{ab,a}$	u^*_d
r00j	38.47	63.32	30.17	70.15	25	m81o
r25j	42.12	54.56	49.45	73.64	42	o10y
r50j	53.64	39.15	64.89	75.79	59	o40y
r75j	67.01	21.26	82.83	85.52	76	o69y
j00g	86.18	-4.38	108.53	108.62	92	o98y
j25g	69.73	-29.89	83.06	88.28	110	y34l
j50g	57.03	-48.31	63.49	79.78	127	y69l
j75g	47.73	-60.33	42.64	73.88	145	l03c
g00b	50.59	-49.08	15.74	51.54	162	l23c
g25b	52.97	-39.7	-6.72	40.27	190	l55c
g50b	54.85	-32.33	-24.35	40.48	217	l87c
g75b	49.92	-17.29	-36.02	39.96	244	c20v
b00r	40.91	1.28	-42.35	42.37	272	c53v
b25r	26.81	30.38	-52.26	60.45	300	c87v
b50r	32.52	69.06	-42.14	80.9	329	v68m
b75r	39.48	71.47	-3.69	71.57	357	m34o



Ein und Ausgabe: Farbmetrisches Drucker-Reflektiv-System FRS12_95a, $L^*=12_95$ für relativen CIELAB-Bunton $h^* = lab^*h^* = h_{ab}/360 = 0.117$ $u^*_e = r25j$

Daten für jede Farbe:

lab^*tch^* und lab^*icu^*

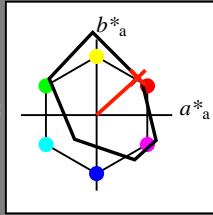
Buntontexte:

$u^*_e = r25j$ $u^*_d = o10y$

Kontrastreduzierungsfaktor:

$c_R = 1.0$

Dreiecks-Helligkeit t^*



FRS12_95a; adaptierte CIELAB-Daten

u^*_e	$L^*=L^*_a$	a^*_a	b^*_a	$C^*_{ab,a}$	$h^*_{ab,a}$
O _{Ma}	38.06	60.0	44.0	74.4	36
Y _{Ma}	86.77	-5.17	109.32	109.44	93
L _{Ma}	47.13	-62.67	48.24	79.09	142
C _{Ma}	55.66	-29.14	-31.99	43.27	228
V _{Ma}	17.15	50.3	-59.04	77.57	310
M _{Ma}	40.37	78.64	-33.5	85.48	337
N _{Ma}	11.58	0.0	0.0	0.0	0
W _{Ma}	95.02	0.0	0.0	0.0	0
R _{Ma}	39.92	58.74	27.99	65.07	25
J _{Ma}	81.26	-2.89	71.56	71.62	92
G _{Ma}	52.23	-42.42	13.6	44.55	162
B _{Ma}	30.57	1.41	-46.47	46.49	272

Daten für Maximalfarbe (Ma):

$LAB^*LAB^*_{Ma}$: 42 55 49

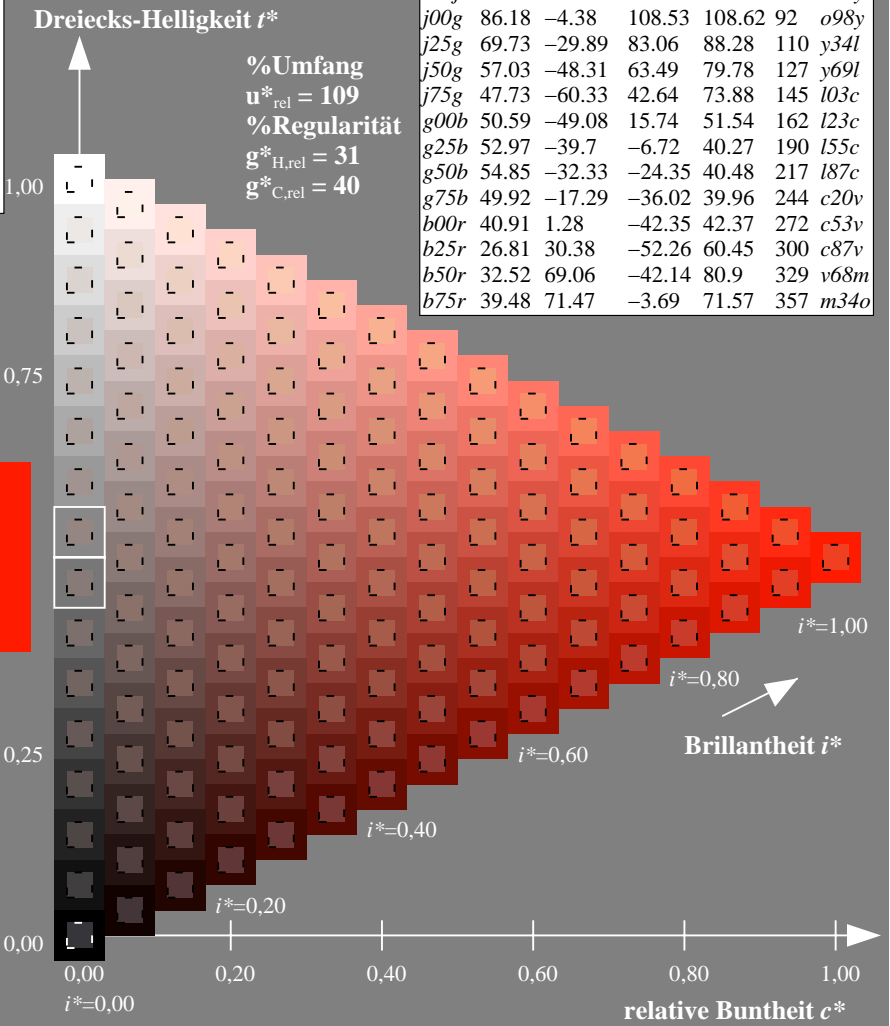
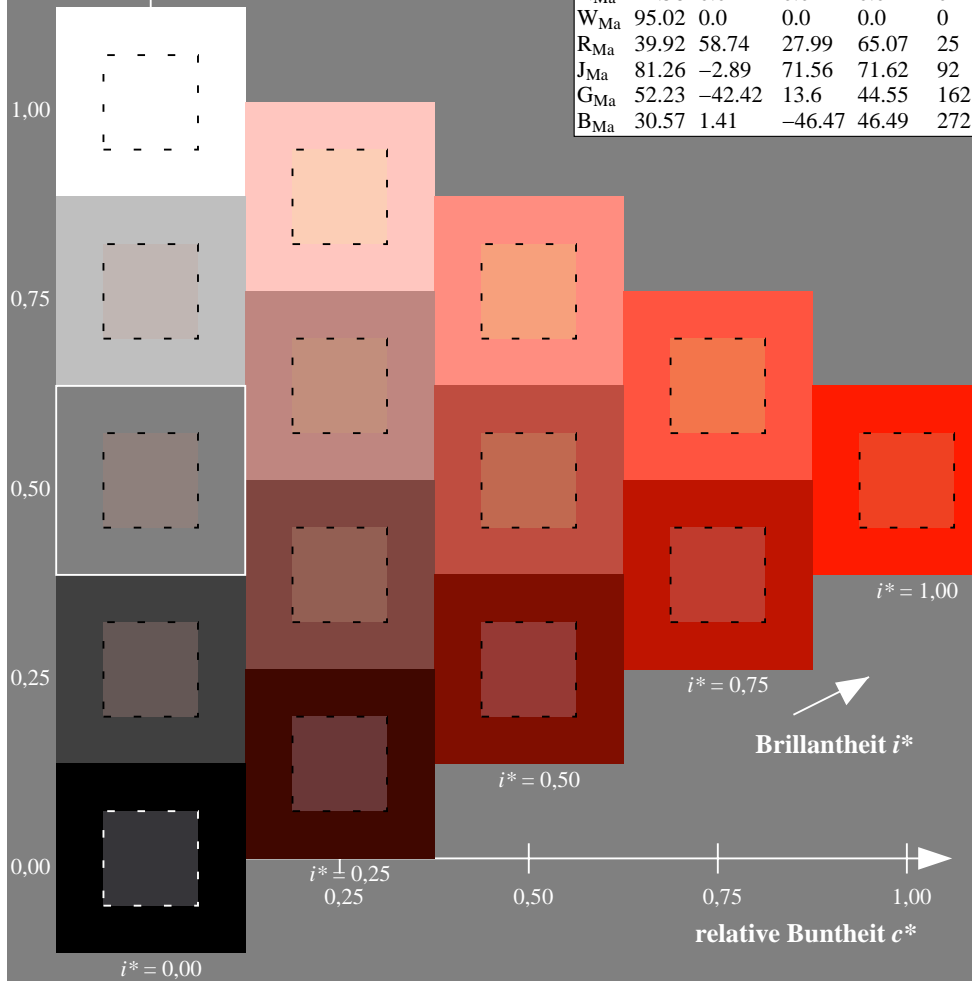
$LAB^*LCH^*_{Ma}$: 42 74 42

$lab^*rgb^*_{Ma}$: 1.0 0.25 0.0

$lab^*olv^*_{Ma}$: 1.0 0.11 0.0

FRS12_95a; adaptierte CIELAB-Daten

u^*_e	$L^*=L^*_a$	a^*_a	b^*_a	$C^*_{ab,a}$	$h^*_{ab,a}$	u^*_d
r00j	38.47	63.32	30.17	70.15	25	m81o
r25j	42.12	54.56	49.45	73.64	42	o10y
r50j	53.64	39.15	64.89	75.79	59	o40y
r75j	67.01	21.26	82.83	85.52	76	o69y
j00g	86.18	-4.38	108.53	108.62	92	o98y
j25g	69.73	-29.89	83.06	88.28	110	y34l
j50g	57.03	-48.31	63.49	79.78	127	y69l
j75g	47.73	-60.33	42.64	73.88	145	l03c
g00b	50.59	-49.08	15.74	51.54	162	l23c
g25b	52.97	-39.7	-6.72	40.27	190	l55c
g50b	54.85	-32.33	-24.35	40.48	217	l87c
g75b	49.92	-17.29	-36.02	39.96	244	c20v
b00r	40.91	1.28	-42.35	42.37	272	c53v
b25r	26.81	30.38	-52.26	60.45	300	c87v
b50r	32.52	69.06	-42.14	80.9	329	v68m
b75r	39.48	71.47	-3.69	71.57	357	m34o



Fg640-7A, Seite 3/198

Ein und Ausgabe: Farbmetrisches Drucker-Reflektiv-System FRS12_95a, $L^*=12_95$ für relativen CIELAB-Bunton $h^* = lab^*h^* = h_{ab}/360 = 0.164$ $u^*_e = r50j$

Daten für jede Farbe:

lab^*tch^* und lab^*icu^*

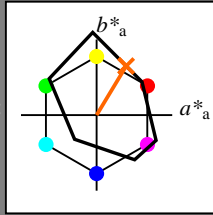
Buntontexte:

$u^*_e = r50j$ $u^*_d = o40y$

Kontrastreduzierungsfaktor:

$c_R = 1.0$

Dreiecks-Helligkeit t^*



FRS12_95a; adaptierte CIELAB-Daten						
u^*_e	$L^*=L^*_a$	a^*_a	b^*_a	$C^*_{ab,a}$	$h^*_{ab,a}$	
O _{Ma}	38.06	60.0	44.0	74.4	36	
Y _{Ma}	86.77	-5.17	109.32	109.44	93	
L _{Ma}	47.13	-62.67	48.24	79.09	142	
C _{Ma}	55.66	-29.14	-31.99	43.27	228	
V _{Ma}	17.15	50.3	-59.04	77.57	310	
M _{Ma}	40.37	78.64	-33.5	85.48	337	
N _{Ma}	11.58	0.0	0.0	0.0	0	
W _{Ma}	95.02	0.0	0.0	0.0	0	
R _{Ma}	39.92	58.74	27.99	65.07	25	
J _{Ma}	81.26	-2.89	71.56	71.62	92	
G _{Ma}	52.23	-42.42	13.6	44.55	162	
B _{Ma}	30.57	1.41	-46.47	46.49	272	

Daten für Maximalfarbe (Ma):

$LAB^*LAB^*_{Ma}$: 54 39 65

$LAB^*LCH^*_{Ma}$: 54 76 58

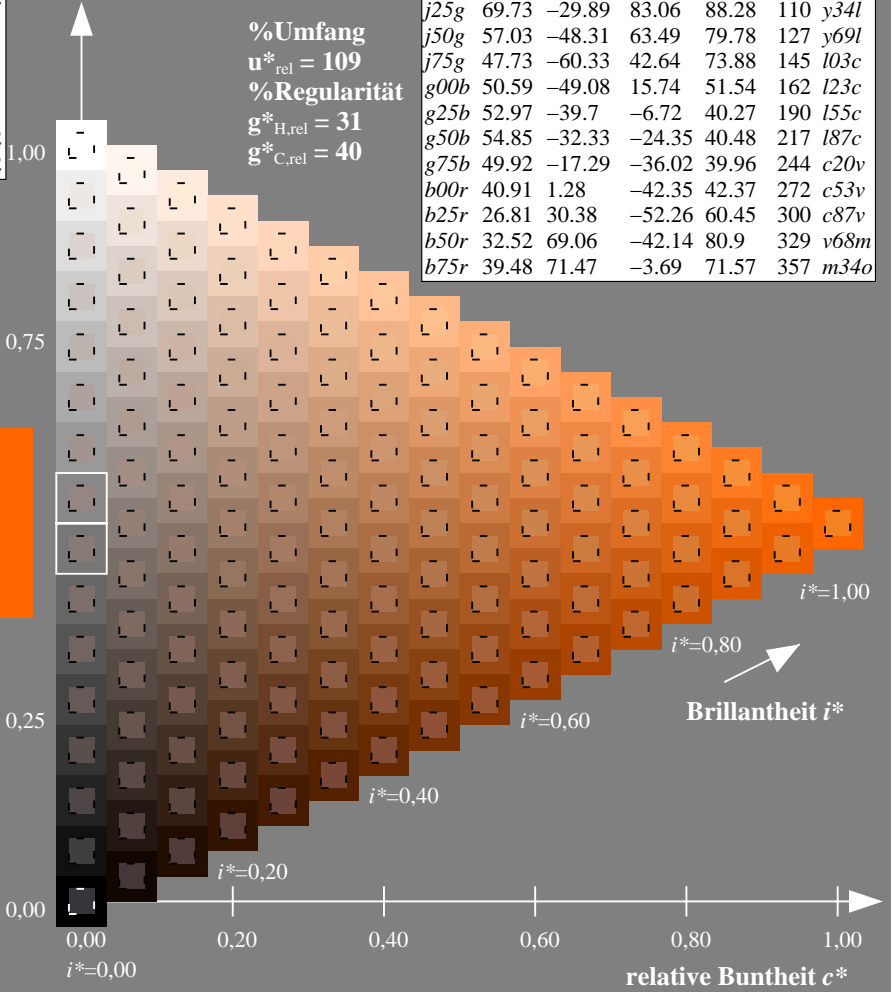
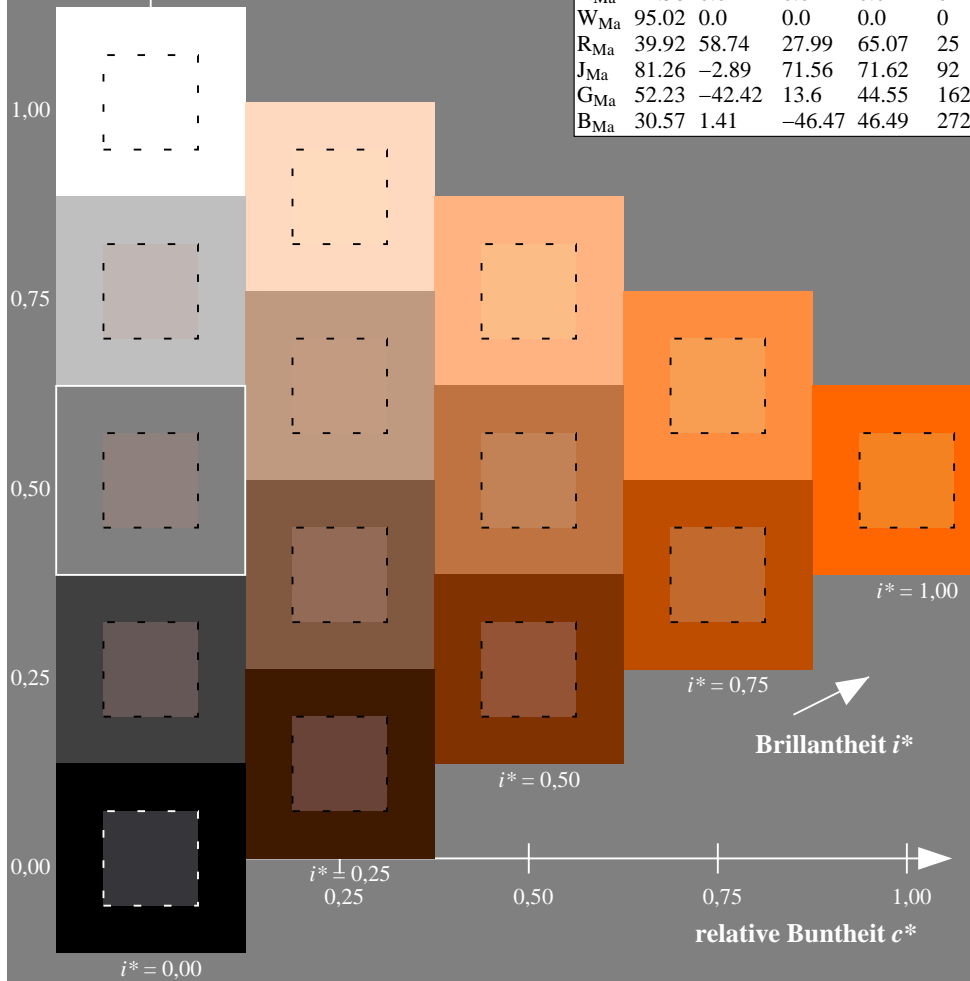
$lab^*rgb^*_{Ma}$: 1.0 0.5 0.0

$lab^*olv^*_{Ma}$: 1.0 0.4 0.0

Dreiecks-Helligkeit t^*

FRS12_95a; adaptierte CIELAB-Daten

u^*_e	$L^*=L^*_a$	a^*_a	b^*_a	$C^*_{ab,a}$	$h^*_{ab,a}$	u^*_d
r00j	38.47	63.32	30.17	70.15	25	m81o
r25j	42.12	54.56	49.45	73.64	42	o10y
r50j	53.64	39.15	64.89	75.79	59	o40y
r75j	67.01	21.26	82.83	85.52	76	o69y
j00g	86.18	-4.38	108.53	108.62	92	o98y
j25g	69.73	-29.89	83.06	88.28	110	y34l
j50g	57.03	-48.31	63.49	79.78	127	y69l
j75g	47.73	-60.33	42.64	73.88	145	l03c
g00b	50.59	-49.08	15.74	51.54	162	l23c
g25b	52.97	-39.7	-6.72	40.27	190	l55c
g50b	54.85	-32.33	-24.35	40.48	217	l87c
g75b	49.92	-17.29	-36.02	39.96	244	c20v
b00r	40.91	1.28	-42.35	42.37	272	c53v
b25r	26.81	30.38	-52.26	60.45	300	c87v
b50r	32.52	69.06	-42.14	80.9	329	v68m
b75r	39.48	71.47	-3.69	71.57	357	m34o



Ein und Ausgabe: Farbmatisches Drucker-Reflektiv-System FRS12_95a, $L^*=12_95$ für relativen CIELAB-Bunton $h^* = lab^*h^* = h_{ab}/360 = 0.21$ $u^*_e = r75j$

Daten für jede Farbe:

lab^*tch^* und lab^*icu^*

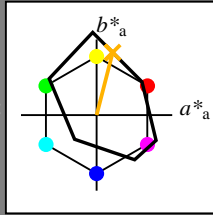
Buntontexte:

$u^*_e = r75j$ $u^*_d = o69y$

Kontrastreduzierungsfaktor:

$c_R = 1.0$

Dreiecks-Helligkeit t^*



FRS12_95a; adaptierte CIELAB-Daten

u^*_e	$L^*=L^*_a$	a^*_a	b^*_a	$C^*_{ab,a}$	$h^*_{ab,a}$
O _{Ma}	38.06	60.0	44.0	74.4	36
Y _{Ma}	86.77	-5.17	109.32	109.44	93
L _{Ma}	47.13	-62.67	48.24	79.09	142
C _{Ma}	55.66	-29.14	-31.99	43.27	228
V _{Ma}	17.15	50.3	-59.04	77.57	310
M _{Ma}	40.37	78.64	-33.5	85.48	337
N _{Ma}	11.58	0.0	0.0	0.0	0
W _{Ma}	95.02	0.0	0.0	0.0	0
R _{Ma}	39.92	58.74	27.99	65.07	25
J _{Ma}	81.26	-2.89	71.56	71.62	92
G _{Ma}	52.23	-42.42	13.6	44.55	162
B _{Ma}	30.57	1.41	-46.47	46.49	272

Daten für Maximalfarbe (Ma):

$LAB^*LAB^*_{Ma}$: 67 21 83

$LAB^*LCH^*_{Ma}$: 67 86 75

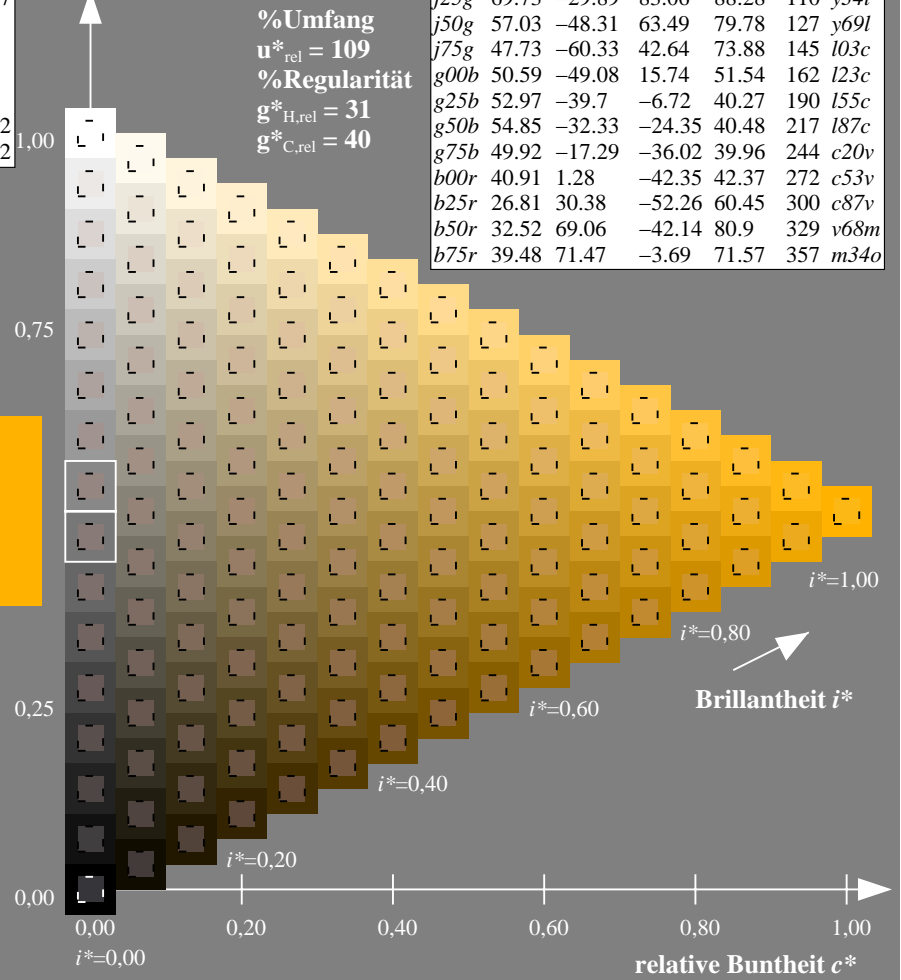
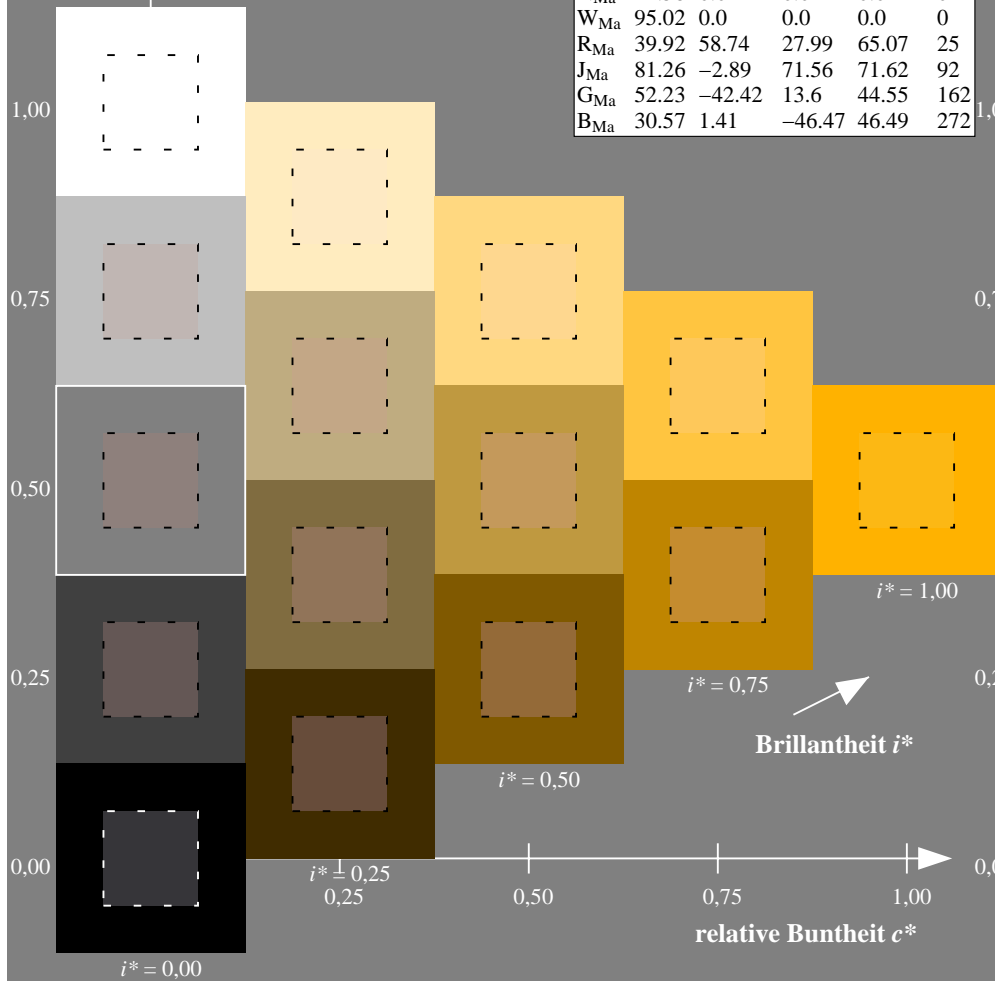
$lab^*rgb^*_{Ma}$: 1.0 0.75 0.0

$lab^*olv^*_{Ma}$: 1.0 0.7 0.0

Dreiecks-Helligkeit t^*

FRS12_95a; adaptierte CIELAB-Daten

u^*_e	$L^*=L^*_a$	a^*_a	b^*_a	$C^*_{ab,a}$	$h^*_{ab,a}$	u^*_d
r00j	38.47	63.32	30.17	70.15	25	m81o
r25j	42.12	54.56	49.45	73.64	42	o10y
r50j	53.64	39.15	64.89	75.79	59	o40y
r75j	67.01	21.26	82.83	85.52	76	o69y
j00g	86.18	-4.38	108.53	108.62	92	o98y
j25g	69.73	-29.89	83.06	88.28	110	y34l
j50g	57.03	-48.31	63.49	79.78	127	y69l
j75g	47.73	-60.33	42.64	73.88	145	l03c
g00b	50.59	-49.08	15.74	51.54	162	l23c
g25b	52.97	-39.7	-6.72	40.27	190	l55c
g50b	54.85	-32.33	-24.35	40.48	217	l87c
g75b	49.92	-17.29	-36.02	39.96	244	c20v
b00r	40.91	1.28	-42.35	42.37	272	c53v
b25r	26.81	30.38	-52.26	60.45	300	c87v
b50r	32.52	69.06	-42.14	80.9	329	v68m
b75r	39.48	71.47	-3.69	71.57	357	m34o



Fg640-7A, Seite 5/198

Ein und Ausgabe: Farbmatisches Drucker-Reflektiv-System FRS12_95a, $L^*=12_95$ für relativen CIELAB-Bunton $h^* = lab^*h^* = h_{ab}/360 = 0.256$ $u^*_e = j00g$

Daten für jede Farbe:

lab^*tch^* und lab^*icu^*

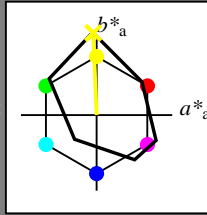
Buntontexte:

$u^*_e = j00g$ $u^*_d = o98y$

Kontrastreduzierungsfaktor:

$c_R = 1.0$

Dreiecks-Helligkeit t^*



FRS12_95a; adaptierte CIELAB-Daten						
u^*_e	$L^*=L^*_a$	a^*_a	b^*_a	$C^*_{ab,a}$	$h^*_{ab,a}$	
O _{Ma}	38.06	60.0	44.0	74.4	36	
Y _{Ma}	86.77	-5.17	109.32	109.44	93	
L _{Ma}	47.13	-62.67	48.24	79.09	142	
C _{Ma}	55.66	-29.14	-31.99	43.27	228	
V _{Ma}	17.15	50.3	-59.04	77.57	310	
M _{Ma}	40.37	78.64	-33.5	85.48	337	
N _{Ma}	11.58	0.0	0.0	0.0	0	
W _{Ma}	95.02	0.0	0.0	0.0	0	
R _{Ma}	39.92	58.74	27.99	65.07	25	
J _{Ma}	81.26	-2.89	71.56	71.62	92	
G _{Ma}	52.23	-42.42	13.6	44.55	162	
B _{Ma}	30.57	1.41	-46.47	46.49	272	

Daten für Maximalfarbe (Ma):

$LAB^*LAB^*_{Ma}$: 86 -4 109

$LAB^*LCH^*_{Ma}$: 86 109 92

$lab^*rgb^*_{Ma}$: 1.0 1.0 0.0

$lab^*olv^*_{Ma}$: 1.0 0.99 0.0

Dreiecks-Helligkeit t^*

%Umfang

$u^*_{rel} = 109$

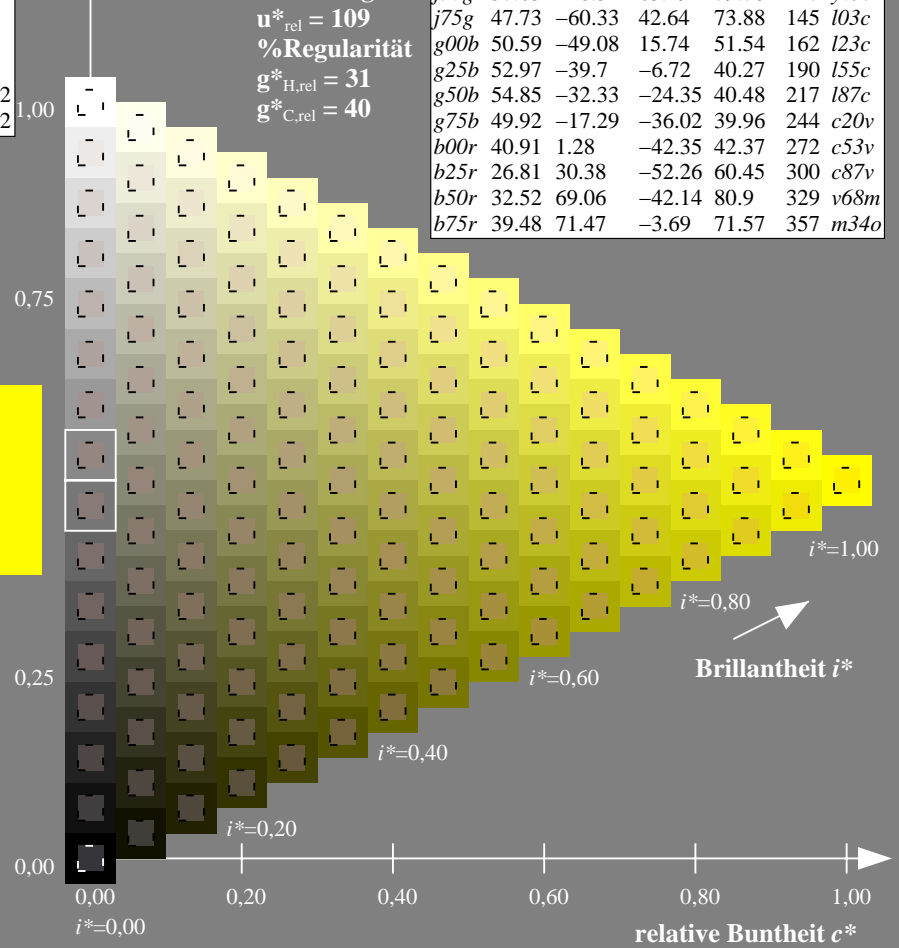
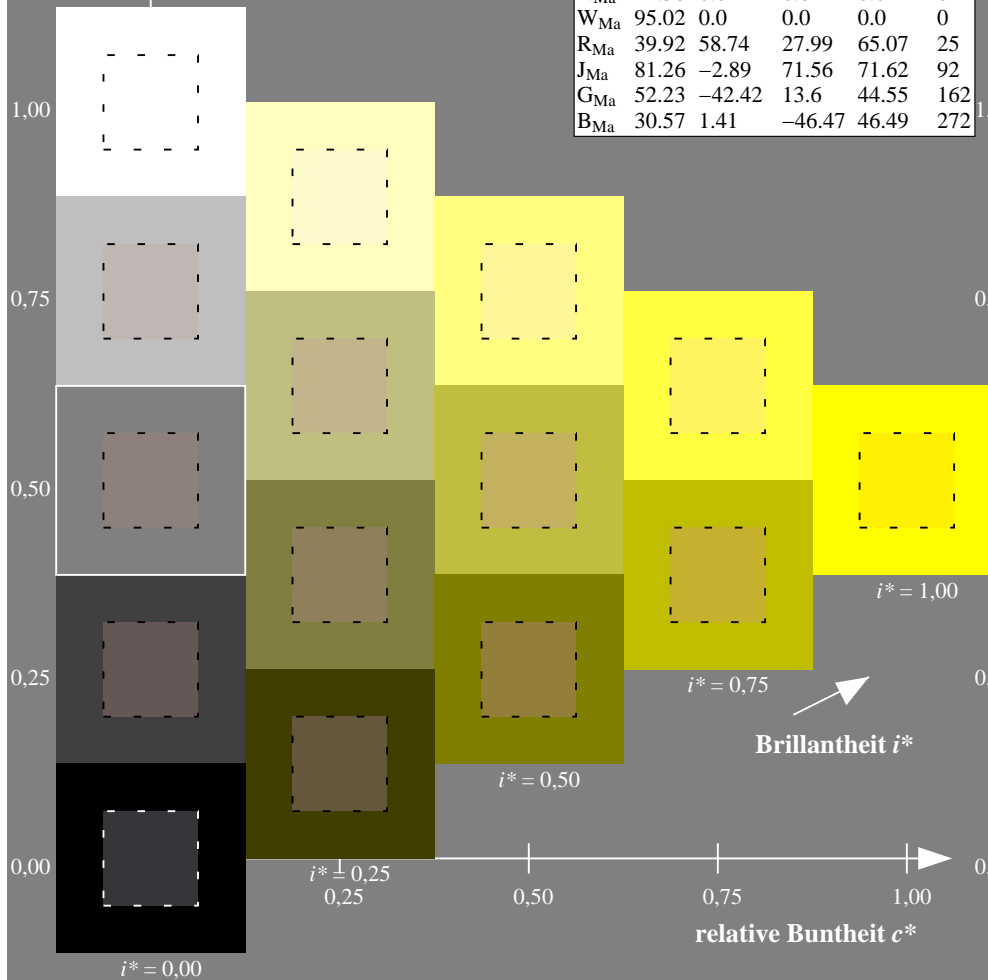
%Regularität

$g^*_{H,rel} = 31$

$g^*_{C,rel} = 40$

FRS12_95a; adaptierte CIELAB-Daten

u^*_e	$L^*=L^*_a$	a^*_a	b^*_a	$C^*_{ab,a}$	$h^*_{ab,a}$	u^*_d
r00j	38.47	63.32	30.17	70.15	25	m81o
r25j	42.12	54.56	49.45	73.64	42	o10y
r50j	53.64	39.15	64.89	75.79	59	o40y
r75j	67.01	21.26	82.83	85.52	76	o69y
j00g	86.18	-4.38	108.53	108.62	92	o98y
j25g	69.73	-29.89	83.06	88.28	110	y34l
j50g	57.03	-48.31	63.49	79.78	127	y69l
j75g	47.73	-60.33	42.64	73.88	145	l03c
g00b	50.59	-49.08	15.74	51.54	162	l23c
g25b	52.97	-39.7	-6.72	40.27	190	l55c
g50b	54.85	-32.33	-24.35	40.48	217	l87c
g75b	49.92	-17.29	-36.02	39.96	244	c20v
b00r	40.91	1.28	-42.35	42.37	272	c53v
b25r	26.81	30.38	-52.26	60.45	300	c87v
b50r	32.52	69.06	-42.14	80.9	329	v68m
b75r	39.48	71.47	-3.69	71.57	357	m34o



Fg640-7A, Seite 6/198

Ein und Ausgabe: Farbmatisches Drucker-Reflektiv-System FRS12_95a, $L^*=12_95$ für relativen CIELAB-Bunton $h^* = lab^*h^* = h_{ab}/360 = 0.305$ $u^*_e = j25g$

Daten für jede Farbe:

lab^*tch^* und lab^*icu^*

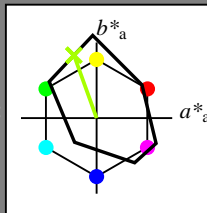
Buntontexte:

$u^*_e = j25g$ $u^*_d = y34l$

Kontrastreduzierungsfaktor:

$c_R = 1.0$

Dreiecks-Helligkeit t^*



FRS12_95a; adaptierte CIELAB-Daten

u^*_e	$L^*=L^*_a$	a^*_a	b^*_a	$C^*_{ab,a}$	$h^*_{ab,a}$
O _{Ma}	38.06	60.0	44.0	74.4	36
Y _{Ma}	86.77	-5.17	109.32	109.44	93
L _{Ma}	47.13	-62.67	48.24	79.09	142
C _{Ma}	55.66	-29.14	-31.99	43.27	228
V _{Ma}	17.15	50.3	-59.04	77.57	310
M _{Ma}	40.37	78.64	-33.5	85.48	337
N _{Ma}	11.58	0.0	0.0	0.0	0
W _{Ma}	95.02	0.0	0.0	0.0	0
R _{Ma}	39.92	58.74	27.99	65.07	25
J _{Ma}	81.26	-2.89	71.56	71.62	92
G _{Ma}	52.23	-42.42	13.6	44.55	162
B _{Ma}	30.57	1.41	-46.47	46.49	272

Daten für Maximalfarbe (Ma):

$LAB^*LAB^*_{Ma}: 70 -30 83$

$LAB^*LCH^*_{Ma}: 70 88 109$

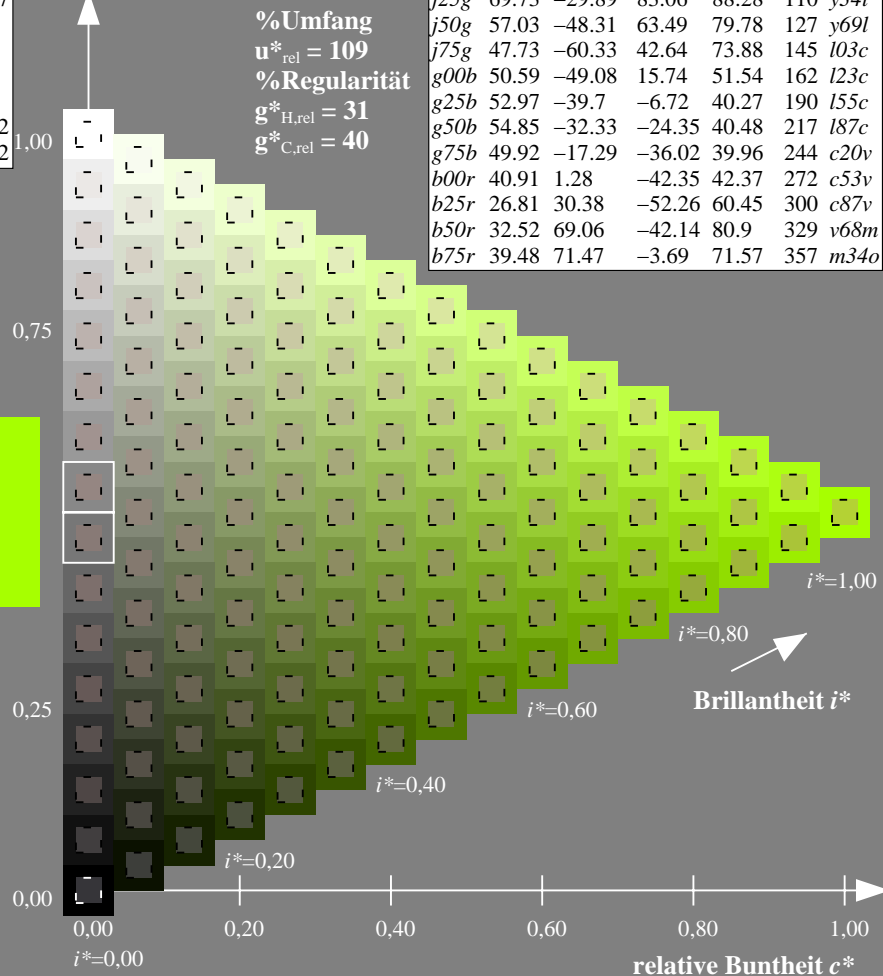
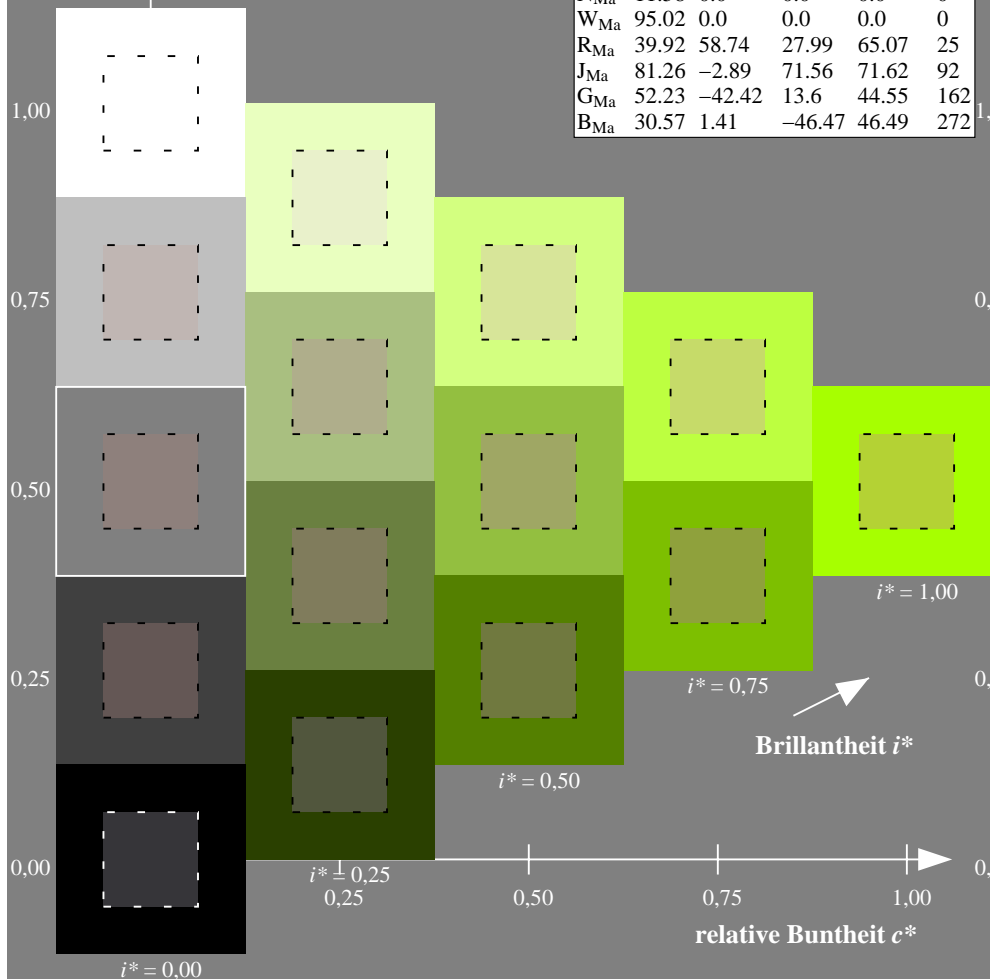
$lab^*rgb^*_{Ma}: 0.75 1.0 0.0$

$lab^*olv^*_{Ma}: 0.66 1.0 0.0$

Dreiecks-Helligkeit t^*

FRS12_95a; adaptierte CIELAB-Daten

u^*_e	$L^*=L^*_a$	a^*_a	b^*_a	$C^*_{ab,a}$	$h^*_{ab,a}$	u^*_d
r00j	38.47	63.32	30.17	70.15	25	m81o
r25j	42.12	54.56	49.45	73.64	42	o10y
r50j	53.64	39.15	64.89	75.79	59	o40y
r75j	67.01	21.26	82.83	85.52	76	o69y
j00g	86.18	-4.38	108.53	108.62	92	o98y
j25g	69.73	-29.89	83.06	88.28	110	y34l
j50g	57.03	-48.31	63.49	79.78	127	y69l
j75g	47.73	-60.33	42.64	73.88	145	i03c
g00b	50.59	-49.08	15.74	51.54	162	i23c
g25b	52.97	-39.7	-6.72	40.27	190	i55c
g50b	54.85	-32.33	-24.35	40.48	217	i87c
g75b	49.92	-17.29	-36.02	39.96	244	c20v
b00r	40.91	1.28	-42.35	42.37	272	c53v
b25r	26.81	30.38	-52.26	60.45	300	c87v
b50r	32.52	69.06	-42.14	80.9	329	v68m
b75r	39.48	71.47	-3.69	71.57	357	m34o



Fg640-7A, Seite 7/198

Ein und Ausgabe: Farbmatisches Drucker-Reflektiv-System FRS12_95a, $L^*=12_95$ für relativen CIELAB-Bunton $h^* = lab^*h^* = h_{ab}/360 = 0.354$ $u^*_e = j50g$

Daten für jede Farbe:

lab^*tch^* und lab^*icu^*

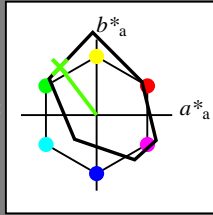
Buntontexte:

$u^*_e = j50g$ $u^*_d = y69l$

Kontrastreduzierungsfaktor:

$c_R = 1.0$

Dreiecks-Helligkeit t^*



FRS12_95a; adaptierte CIELAB-Daten						
u^*_e	$L^*=L^*_a$	a^*_a	b^*_a	$C^*_{ab,a}$	$h^*_{ab,a}$	
O _{Ma}	38.06	60.0	44.0	74.4	36	
Y _{Ma}	86.77	-5.17	109.32	109.44	93	
L _{Ma}	47.13	-62.67	48.24	79.09	142	
C _{Ma}	55.66	-29.14	-31.99	43.27	228	
V _{Ma}	17.15	50.3	-59.04	77.57	310	
M _{Ma}	40.37	78.64	-33.5	85.48	337	
N _{Ma}	11.58	0.0	0.0	0.0	0	
W _{Ma}	95.02	0.0	0.0	0.0	0	
R _{Ma}	39.92	58.74	27.99	65.07	25	
J _{Ma}	81.26	-2.89	71.56	71.62	92	
G _{Ma}	52.23	-42.42	13.6	44.55	162	
B _{Ma}	30.57	1.41	-46.47	46.49	272	

Daten für Maximalfarbe (Ma):

$LAB^*LAB^*_{Ma}$: 57 -48 63

$LAB^*LCH^*_{Ma}$: 57 80 127

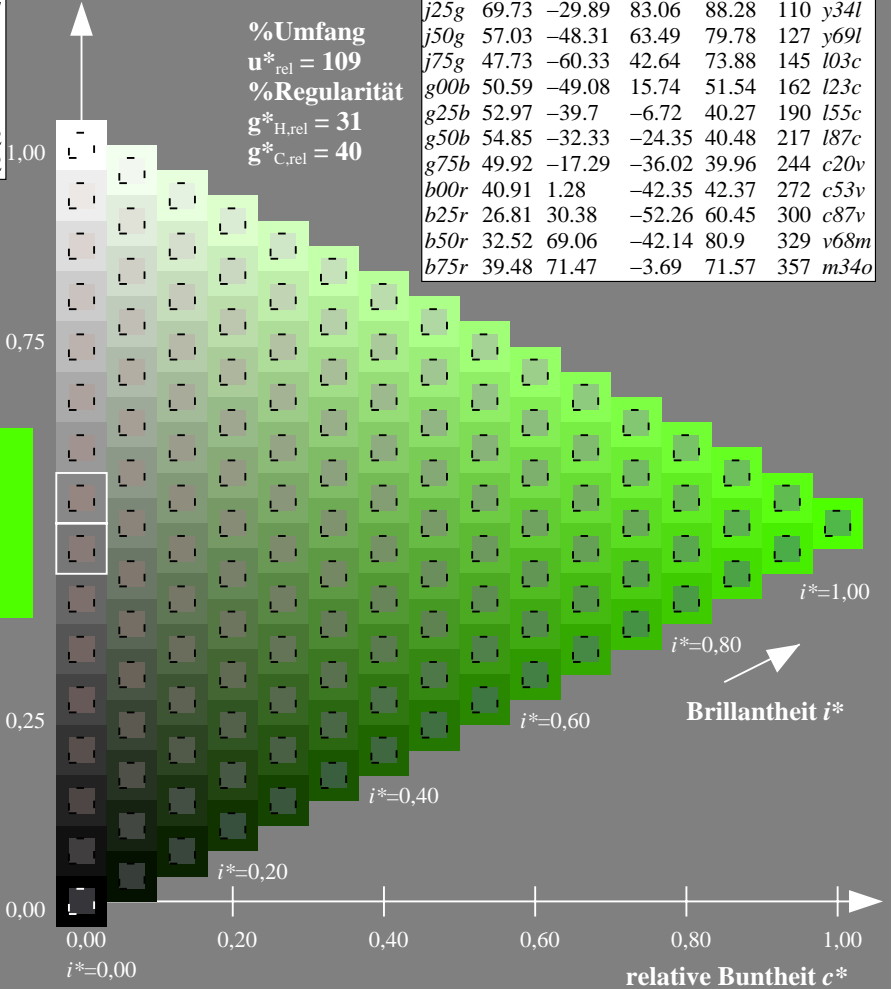
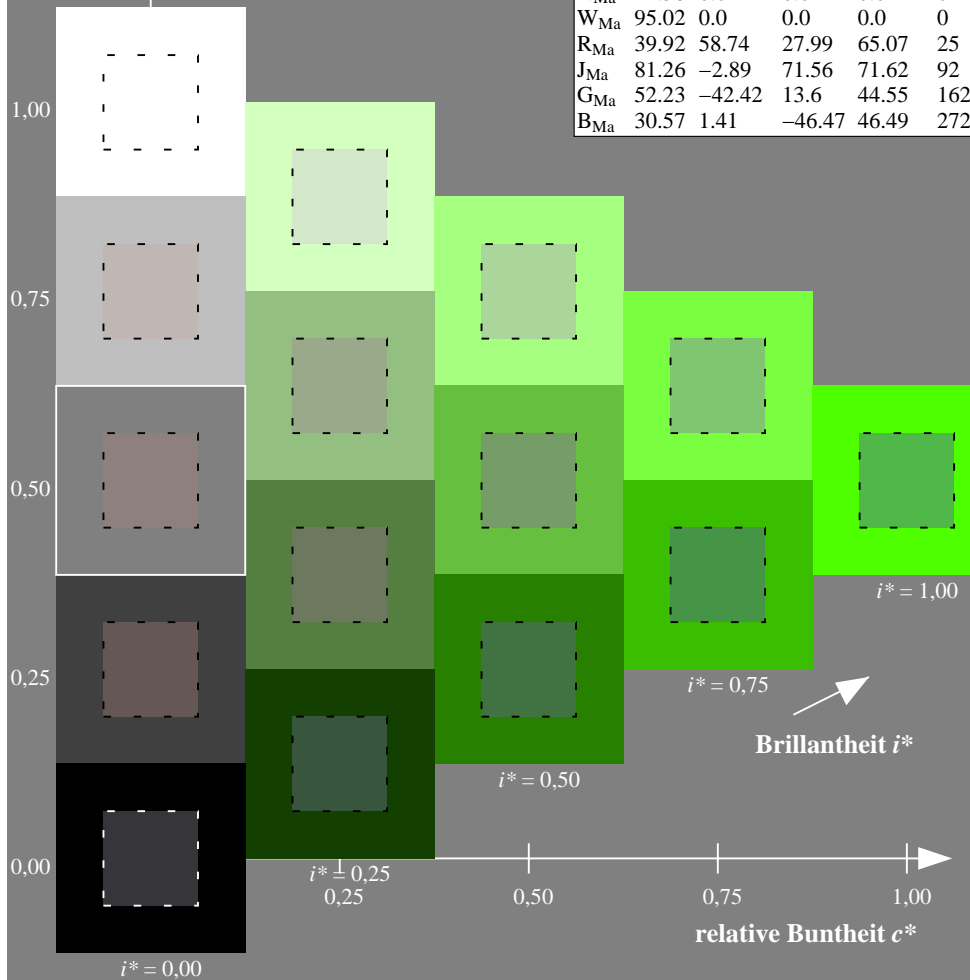
$lab^*rgb^*_{Ma}$: 0.5 1.0 0.0

$lab^*olv^*_{Ma}$: 0.3 1.0 0.0

Dreiecks-Helligkeit t^*

FRS12_95a; adaptierte CIELAB-Daten

u^*_e	$L^*=L^*_a$	a^*_a	b^*_a	$C^*_{ab,a}$	$h^*_{ab,a}$	u^*_d
r00j	38.47	63.32	30.17	70.15	25	m81o
r25j	42.12	54.56	49.45	73.64	42	o10y
r50j	53.64	39.15	64.89	75.79	59	o40y
r75j	67.01	21.26	82.83	85.52	76	o69y
j00g	86.18	-4.38	108.53	108.62	92	o98y
j25g	69.73	-29.89	83.06	88.28	110	y34l
j50g	57.03	-48.31	63.49	79.78	127	y69l
j75g	47.73	-60.33	42.64	73.88	145	l03c
g00b	50.59	-49.08	15.74	51.54	162	l23c
g25b	52.97	-39.7	-6.72	40.27	190	l55c
g50b	54.85	-32.33	-24.35	40.48	217	l87c
g75b	49.92	-17.29	-36.02	39.96	244	c20v
b00r	40.91	1.28	-42.35	42.37	272	c53v
b25r	26.81	30.38	-52.26	60.45	300	c87v
b50r	32.52	69.06	-42.14	80.9	329	v68m
b75r	39.48	71.47	-3.69	71.57	357	m34o



Ein und Ausgabe: Farbmetrisches Drucker-Reflektiv-System FRS12_95a, $L^*=12_95$ für relativen CIELAB-Bunton $h^* = lab^*h^* = h_{ab}/360 = 0.402$ $u^*_e = j75g$

Daten für jede Farbe:

lab^*tch^* und lab^*icu^*

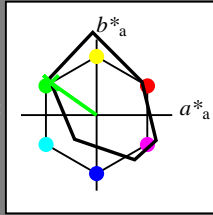
Buntontexte:

$u^*_e = j75g$ $u^*_d = l03c$

Kontrastreduzierungsfaktor:

$c_R = 1.0$

Dreiecks-Helligkeit t^*



FRS12_95a; adaptierte CIELAB-Daten

u^*_e	$L^*=L^*_a$	a^*_a	b^*_a	$C^*_{ab,a}$	$h^*_{ab,a}$
O _{Ma}	38.06	60.0	44.0	74.4	36
Y _{Ma}	86.77	-5.17	109.32	109.44	93
L _{Ma}	47.13	-62.67	48.24	79.09	142
C _{Ma}	55.66	-29.14	-31.99	43.27	228
V _{Ma}	17.15	50.3	-59.04	77.57	310
M _{Ma}	40.37	78.64	-33.5	85.48	337
N _{Ma}	11.58	0.0	0.0	0.0	0
W _{Ma}	95.02	0.0	0.0	0.0	0
R _{Ma}	39.92	58.74	27.99	65.07	25
J _{Ma}	81.26	-2.89	71.56	71.62	92
G _{Ma}	52.23	-42.42	13.6	44.55	162
B _{Ma}	30.57	1.41	-46.47	46.49	272

Daten für Maximalfarbe (Ma):

$LAB^*LAB^*_{Ma}$: 48 -60 43

$LAB^*LCH^*_{Ma}$: 48 74 144

$lab^*rgb^*_{Ma}$: 0.25 1.0 0.0

$lab^*olv^*_{Ma}$: 0.0 1.0 0.03

Dreiecks-Helligkeit t^*

%Umfang

$u^*_{rel} = 109$

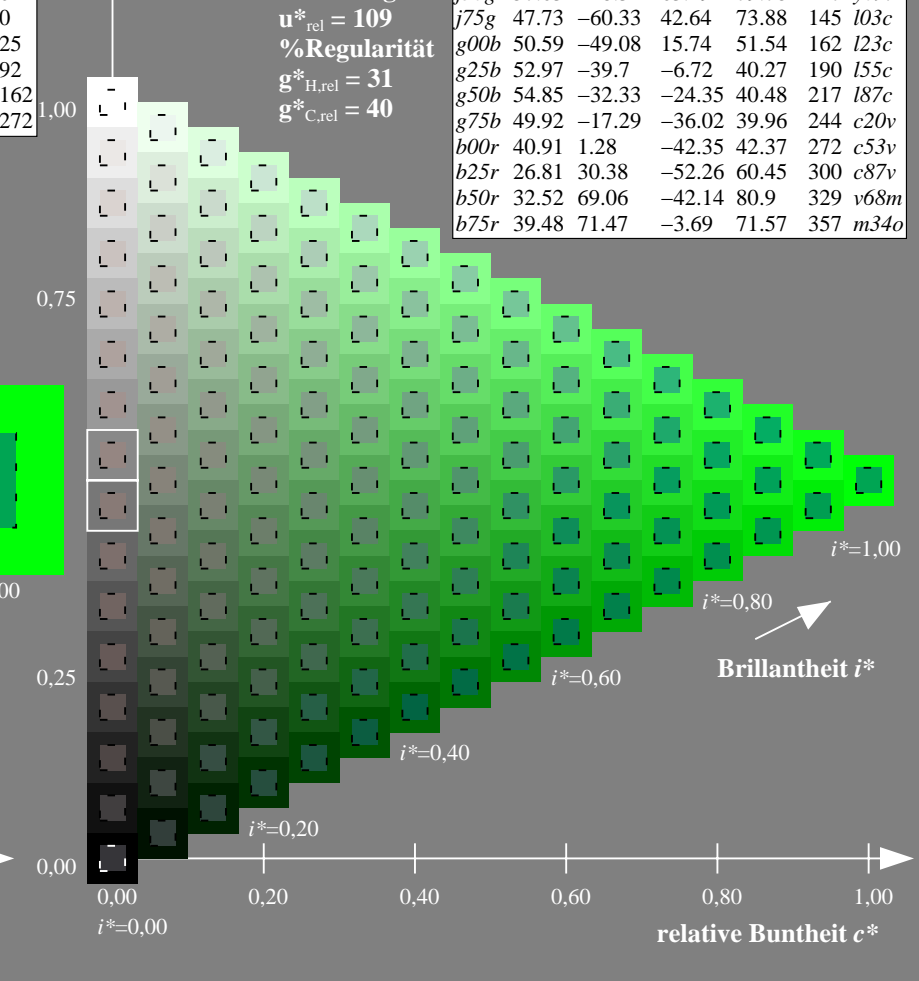
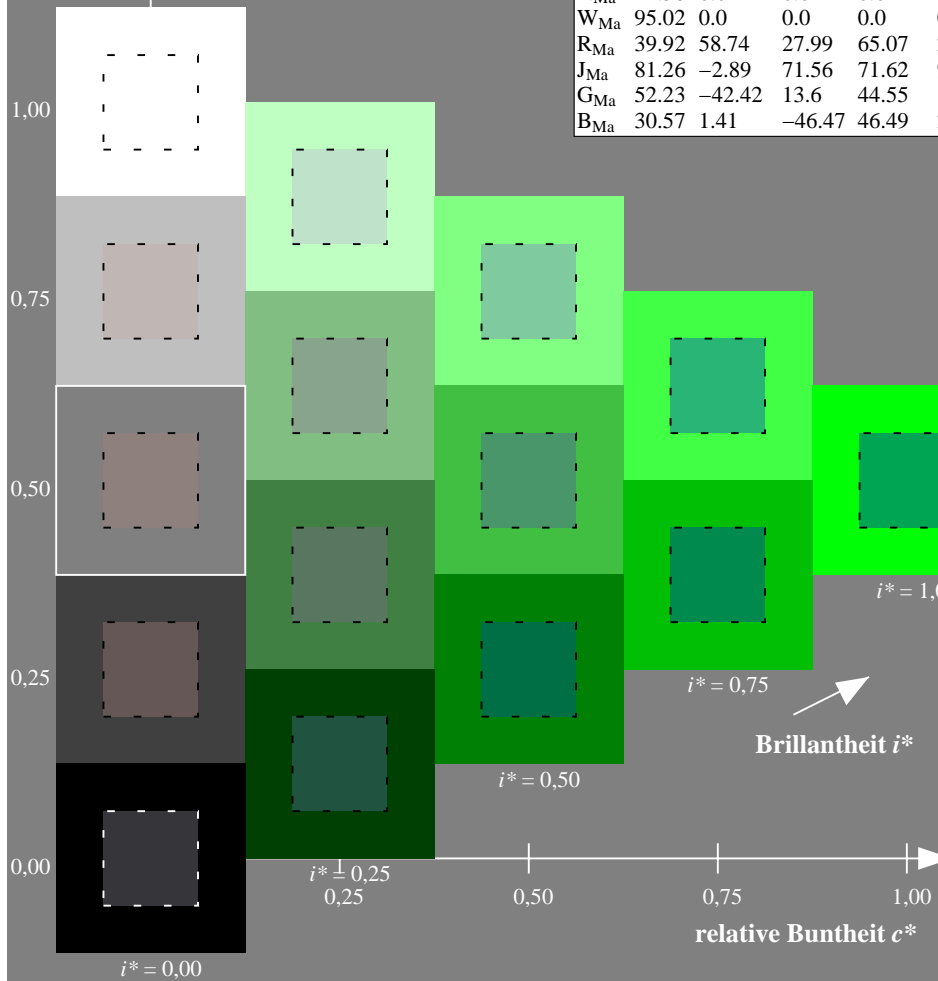
%Regularität

$g^*_{H,rel} = 31$

$g^*_{C,rel} = 40$

FRS12_95a; adaptierte CIELAB-Daten

u^*_e	$L^*=L^*_a$	a^*_a	b^*_a	$C^*_{ab,a}$	$h^*_{ab,a}$	u^*_d
r00j	38.47	63.32	30.17	70.15	25	m81o
r25j	42.12	54.56	49.45	73.64	42	o10y
r50j	53.64	39.15	64.89	75.79	59	o40y
r75j	67.01	21.26	82.83	85.52	76	o69y
j00g	86.18	-4.38	108.53	108.62	92	o98y
j25g	69.73	-29.89	83.06	88.28	110	y34l
j50g	57.03	-48.31	63.49	79.78	127	y69l
j75g	47.73	-60.33	42.64	73.88	145	l03c
g00b	50.59	-49.08	15.74	51.54	162	l23c
g25b	52.97	-39.7	-6.72	40.27	190	l55c
g50b	54.85	-32.33	-24.35	40.48	217	l87c
g75b	49.92	-17.29	-36.02	39.96	244	c20v
b00r	40.91	1.28	-42.35	42.37	272	c53v
b25r	26.81	30.38	-52.26	60.45	300	c87v
b50r	32.52	69.06	-42.14	80.9	329	v68m
b75r	39.48	71.47	-3.69	71.57	357	m34o



Fg640-7A, Seite 9/198

Ein und Ausgabe: Farbmetrisches Drucker-Reflektiv-System FRS12_95a, $L^*=12_95$ für relativen CIELAB-Bunton $h^* = lab^*h^* = h_{ab}/360 = 0.451$ $u^*_e = g00b$

Daten für jede Farbe:

lab^*tch^* und lab^*icu^*

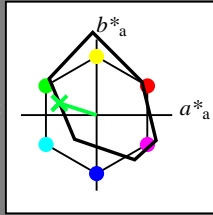
Buntontexte:

$u^*_e = g00b$ $u^*_d = l23c$

Kontrastreduzierungsfaktor:

$c_R = 1.0$

Dreiecks-Helligkeit t^*



FRS12_95a; adaptierte CIELAB-Daten

u^*_e	$L^*=L^*_a$	a^*_a	b^*_a	$C^*_{ab,a}$	$h^*_{ab,a}$
O _{Ma}	38.06	60.0	44.0	74.4	36
Y _{Ma}	86.77	-5.17	109.32	109.44	93
L _{Ma}	47.13	-62.67	48.24	79.09	142
C _{Ma}	55.66	-29.14	-31.99	43.27	228
V _{Ma}	17.15	50.3	-59.04	77.57	310
M _{Ma}	40.37	78.64	-33.5	85.48	337
N _{Ma}	11.58	0.0	0.0	0.0	0
W _{Ma}	95.02	0.0	0.0	0.0	0
R _{Ma}	39.92	58.74	27.99	65.07	25
J _{Ma}	81.26	-2.89	71.56	71.62	92
G _{Ma}	52.23	-42.42	13.6	44.55	162
B _{Ma}	30.57	1.41	-46.47	46.49	272

Daten für Maximalfarbe (Ma):

$LAB^*LAB^*_{Ma}: 51 -49 16$

$LAB^*LCH^*_{Ma}: 51 52 162$

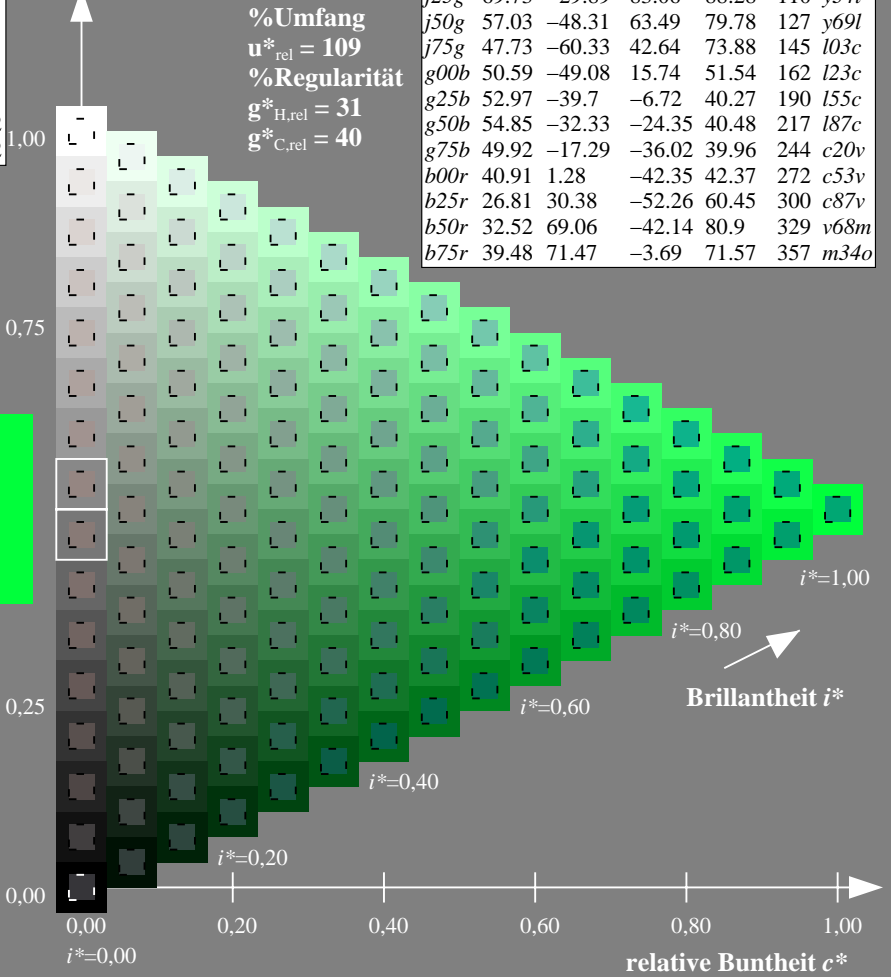
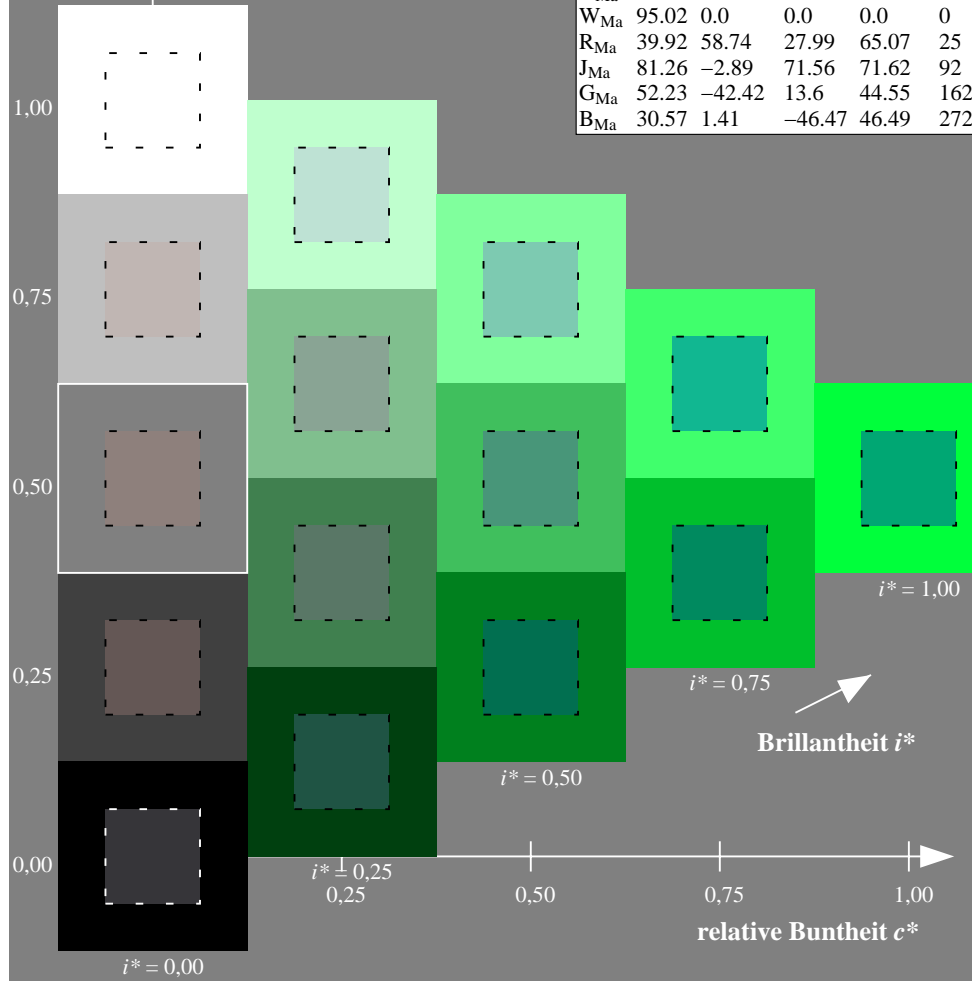
$lab^*rgb^*_{Ma}: 0.0 1.0 0.0$

$lab^*olv^*_{Ma}: 0.0 1.0 0.23$

Dreiecks-Helligkeit t^*

FRS12_95a; adaptierte CIELAB-Daten

u^*_e	$L^*=L^*_a$	a^*_a	b^*_a	$C^*_{ab,a}$	$h^*_{ab,a}$	u^*_d
r00j	38.47	63.32	30.17	70.15	25	m81o
r25j	42.12	54.56	49.45	73.64	42	o10y
r50j	53.64	39.15	64.89	75.79	59	o40y
r75j	67.01	21.26	82.83	85.52	76	o69y
j00g	86.18	-4.38	108.53	108.62	92	o98y
j25g	69.73	-29.89	83.06	88.28	110	y34l
j50g	57.03	-48.31	63.49	79.78	127	y69l
j75g	47.73	-60.33	42.64	73.88	145	l03c
g00b	50.59	-49.08	15.74	51.54	162	l23c
g25b	52.97	-39.7	-6.72	40.27	190	l55c
g50b	54.85	-32.33	-24.35	40.48	217	l87c
g75b	49.92	-17.29	-36.02	39.96	244	c20v
b00r	40.91	1.28	-42.35	42.37	272	c53v
b25r	26.81	30.38	-52.26	60.45	300	c87v
b50r	32.52	69.06	-42.14	80.9	329	v68m
b75r	39.48	71.47	-3.69	71.57	357	m34o



Ein und Ausgabe: Farbmatisches Drucker-Reflektiv-System FRS12_95a, $L^*=12_95$ für relativen CIELAB-Bunton $h^* = lab^*h^* = h_{ab}/360 = 0.527$ $u^*_e = g25b$

Daten für jede Farbe:

lab^*tch^* und lab^*icu^*

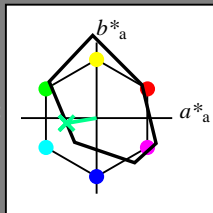
Buntontexte:

$u^*_e = g25b$ $u^*_d = l55c$

Kontrastreduzierungsfaktor:

$c_R = 1.0$

Dreiecks-Helligkeit t^*



FRS12_95a; adaptierte CIELAB-Daten

u^*_e	$L^*=L^*_a$	a^*_a	b^*_a	$C^*_{ab,a}$	$h^*_{ab,a}$
O _{Ma}	38.06	60.0	44.0	74.4	36
Y _{Ma}	86.77	-5.17	109.32	109.44	93
L _{Ma}	47.13	-62.67	48.24	79.09	142
C _{Ma}	55.66	-29.14	-31.99	43.27	228
V _{Ma}	17.15	50.3	-59.04	77.57	310
M _{Ma}	40.37	78.64	-33.5	85.48	337
N _{Ma}	11.58	0.0	0.0	0.0	0
W _{Ma}	95.02	0.0	0.0	0.0	0
R _{Ma}	39.92	58.74	27.99	65.07	25
J _{Ma}	81.26	-2.89	71.56	71.62	92
G _{Ma}	52.23	-42.42	13.6	44.55	162
B _{Ma}	30.57	1.41	-46.47	46.49	272

Daten für Maximalfarbe (Ma):

$LAB^*LAB^*_{Ma}: 53 -40 -7$

$LAB^*LCH^*_{Ma}: 53 40 189$

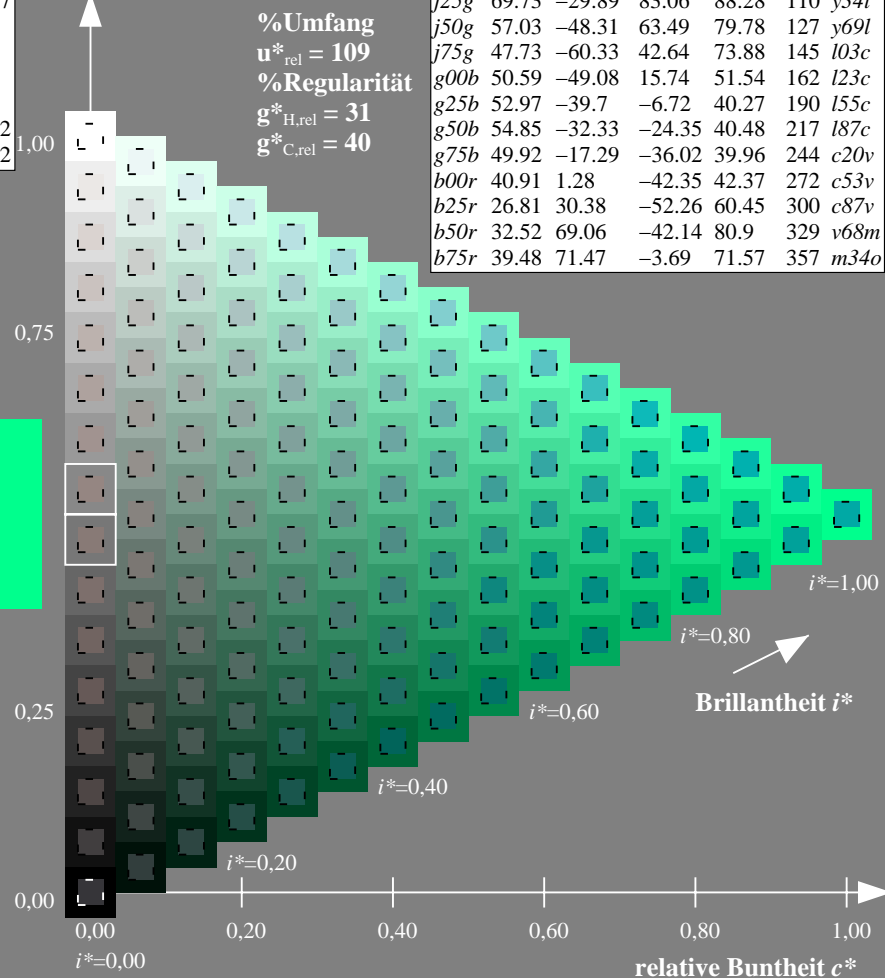
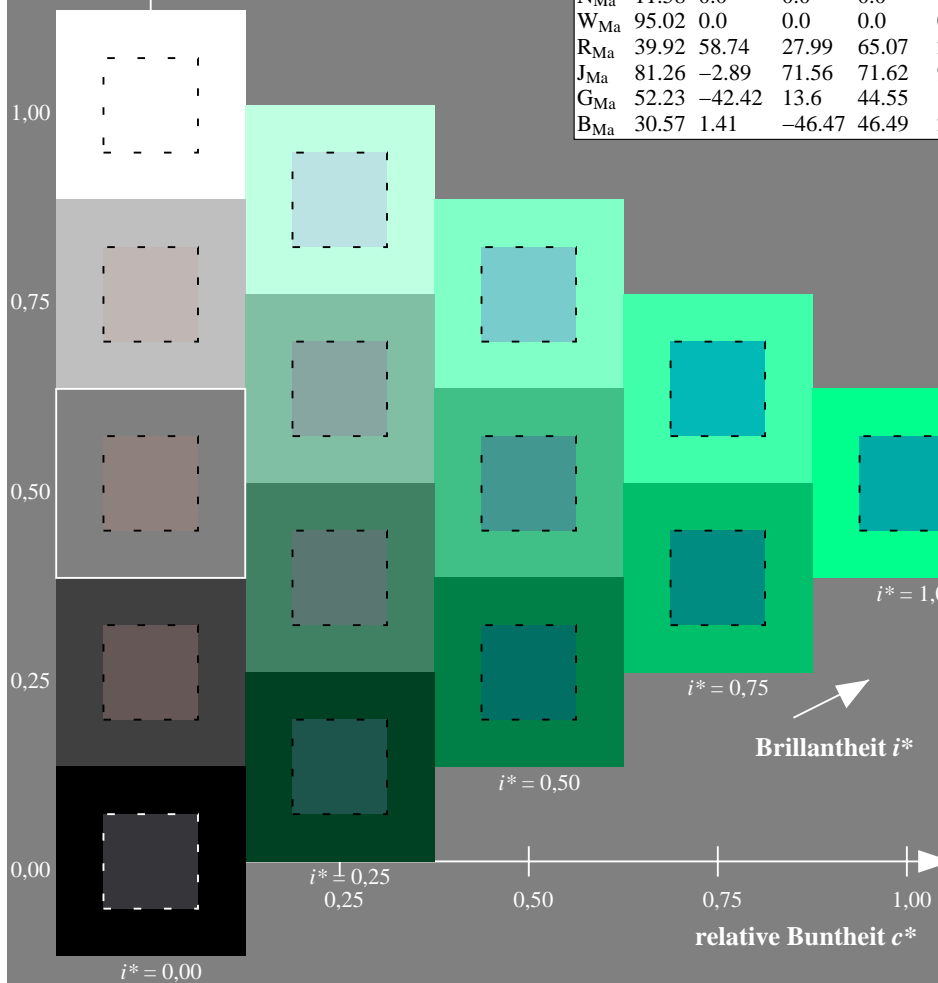
$lab^*rgb^*_{Ma}: 0.0 1.0 0.5$

$lab^*olv^*_{Ma}: 0.0 1.0 0.55$

Dreiecks-Helligkeit t^*

FRS12_95a; adaptierte CIELAB-Daten

u^*_e	$L^*=L^*_a$	a^*_a	b^*_a	$C^*_{ab,a}$	$h^*_{ab,a}$	u^*_d
r00j	38.47	63.32	30.17	70.15	25	m81o
r25j	42.12	54.56	49.45	73.64	42	o10y
r50j	53.64	39.15	64.89	75.79	59	o40y
r75j	67.01	21.26	82.83	85.52	76	o69y
j00g	86.18	-4.38	108.53	108.62	92	o98y
j25g	69.73	-29.89	83.06	88.28	110	y34l
j50g	57.03	-48.31	63.49	79.78	127	y69l
j75g	47.73	-60.33	42.64	73.88	145	l03c
g00b	50.59	-49.08	15.74	51.54	162	l23c
g25b	52.97	-39.7	-6.72	40.27	190	l55c
g50b	54.85	-32.33	-24.35	40.48	217	l87c
g75b	49.92	-17.29	-36.02	39.96	244	c20v
b00r	40.91	1.28	-42.35	42.37	272	c53v
b25r	26.81	30.38	-52.26	60.45	300	c87v
b50r	32.52	69.06	-42.14	80.9	329	v68m
b75r	39.48	71.47	-3.69	71.57	357	m34o



Ein und Ausgabe: Farbmatisches Drucker-Reflektiv-System FRS12_95a, $L^*=12_95$ für relativen CIELAB-Bunton $h^* = lab^*h^* = h_{ab}/360 = 0.603$ $u^*_e = g50b$

Daten für jede Farbe:

lab^*tch^* und lab^*icu^*

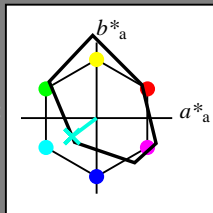
Buntontexte:

$u^*_e = g50b$ $u^*_d = l87c$

Kontrastreduzierungsfaktor:

$c_R = 1.0$

Dreiecks-Helligkeit t^*



FRS12_95a; adaptierte CIELAB-Daten

u^*_e	$L^*=L^*_a$	a^*_a	b^*_a	$C^*_{ab,a}$	$h^*_{ab,a}$
O _{Ma}	38.06	60.0	44.0	74.4	36
Y _{Ma}	86.77	-5.17	109.32	109.44	93
L _{Ma}	47.13	-62.67	48.24	79.09	142
C _{Ma}	55.66	-29.14	-31.99	43.27	228
V _{Ma}	17.15	50.3	-59.04	77.57	310
M _{Ma}	40.37	78.64	-33.5	85.48	337
N _{Ma}	11.58	0.0	0.0	0.0	0
W _{Ma}	95.02	0.0	0.0	0.0	0
R _{Ma}	39.92	58.74	27.99	65.07	25
J _{Ma}	81.26	-2.89	71.56	71.62	92
G _{Ma}	52.23	-42.42	13.6	44.55	162
B _{Ma}	30.57	1.41	-46.47	46.49	272

Daten für Maximalfarbe (Ma):

$LAB^*LAB^*_{Ma}: 55 -32 -24$

$LAB^*LCH^*_{Ma}: 55 40 216$

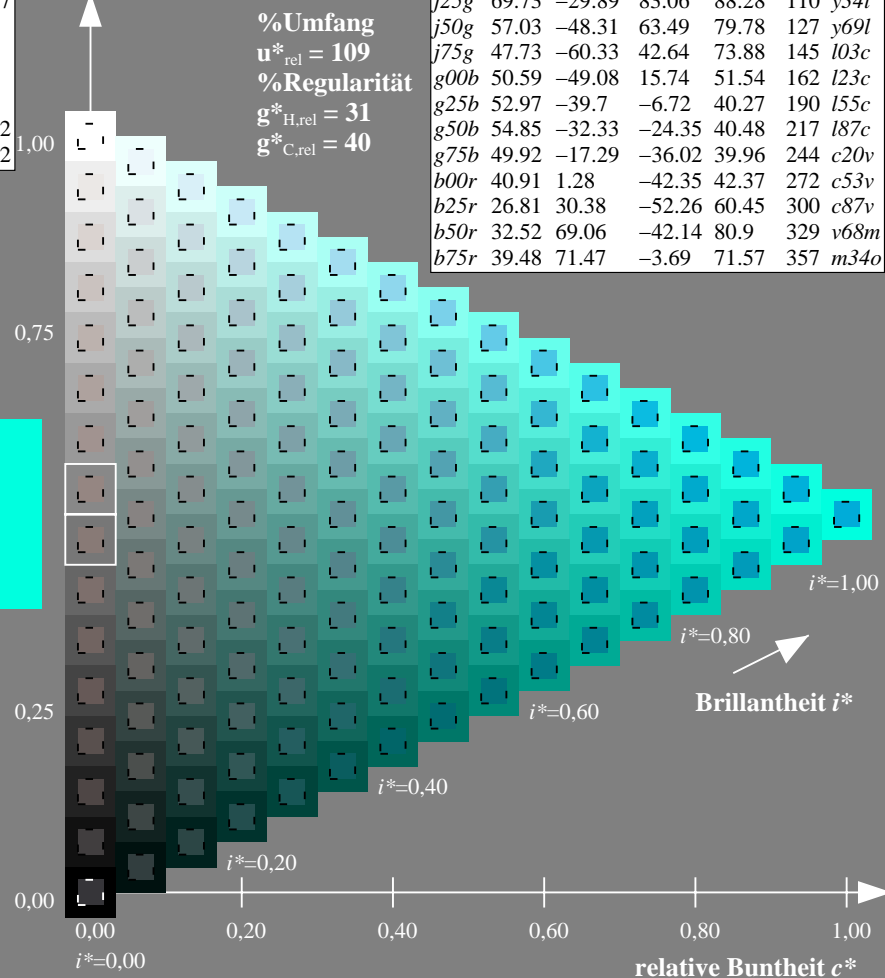
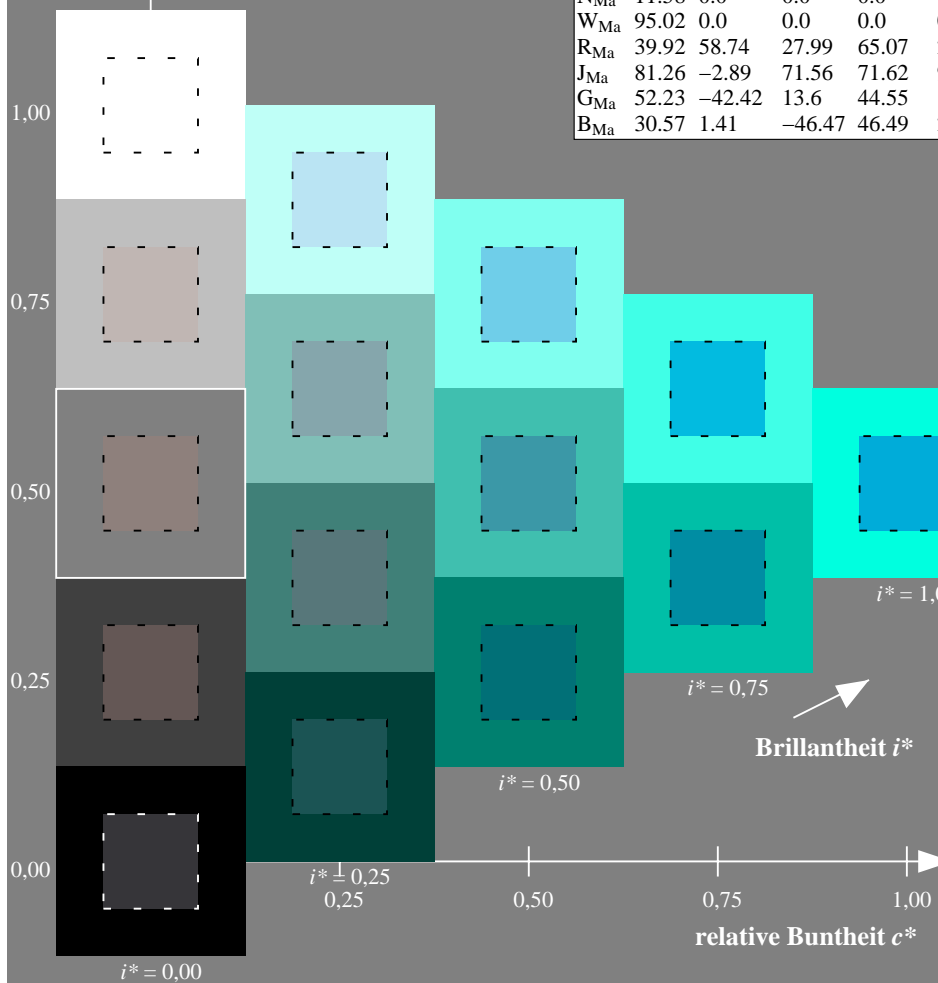
$lab^*rgb^*_{Ma}: 0.0 1.0 1.0$

$lab^*olv^*_{Ma}: 0.0 1.0 0.87$

Dreiecks-Helligkeit t^*

FRS12_95a; adaptierte CIELAB-Daten

u^*_e	$L^*=L^*_a$	a^*_a	b^*_a	$C^*_{ab,a}$	$h^*_{ab,a}$	u^*_d
r00j	38.47	63.32	30.17	70.15	25	m81o
r25j	42.12	54.56	49.45	73.64	42	o10y
r50j	53.64	39.15	64.89	75.79	59	o40y
r75j	67.01	21.26	82.83	85.52	76	o69y
j00g	86.18	-4.38	108.53	108.62	92	o98y
j25g	69.73	-29.89	83.06	88.28	110	y34l
j50g	57.03	-48.31	63.49	79.78	127	y69l
j75g	47.73	-60.33	42.64	73.88	145	l03c
g00b	50.59	-49.08	15.74	51.54	162	l23c
g25b	52.97	-39.7	-6.72	40.27	190	l55c
g50b	54.85	-32.33	-24.35	40.48	217	l87c
g75b	49.92	-17.29	-36.02	39.96	244	c20v
b00r	40.91	1.28	-42.35	42.37	272	c53v
b25r	26.81	30.38	-52.26	60.45	300	c87v
b50r	32.52	69.06	-42.14	80.9	329	v68m
b75r	39.48	71.47	-3.69	71.57	357	m34o



Ein und Ausgabe: Farbmatisches Drucker-Reflektiv-System FRS12_95a, $L^*=12_95$ für relativen CIELAB-Bunton $h^* = lab^*h^* = h_{ab}/360 = 0.679$ $u^*_e = g75b$

Daten für jede Farbe:

lab^*tch^* und lab^*icu^*

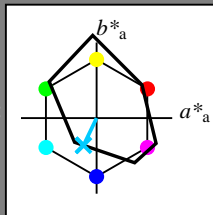
Buntontexte:

$u^*_e = g75b$ $u^*_d = c20v$

Kontrastreduzierungsfaktor:

$c_R = 1.0$

Dreiecks-Helligkeit t^*



FRS12_95a; adaptierte CIELAB-Daten

u^*_e	$L^*=L^*_a$	a^*_a	b^*_a	$C^*_{ab,a}$	$h^*_{ab,a}$
O _{Ma}	38.06	60.0	44.0	74.4	36
Y _{Ma}	86.77	-5.17	109.32	109.44	93
L _{Ma}	47.13	-62.67	48.24	79.09	142
C _{Ma}	55.66	-29.14	-31.99	43.27	228
V _{Ma}	17.15	50.3	-59.04	77.57	310
M _{Ma}	40.37	78.64	-33.5	85.48	337
N _{Ma}	11.58	0.0	0.0	0.0	0
W _{Ma}	95.02	0.0	0.0	0.0	0
R _{Ma}	39.92	58.74	27.99	65.07	25
J _{Ma}	81.26	-2.89	71.56	71.62	92
G _{Ma}	52.23	-42.42	13.6	44.55	162
B _{Ma}	30.57	1.41	-46.47	46.49	272

Daten für Maximalfarbe (Ma):

$LAB^*LAB^*_{Ma}$: 50 -17 -36

$LAB^*LCH^*_{Ma}$: 50 40 244

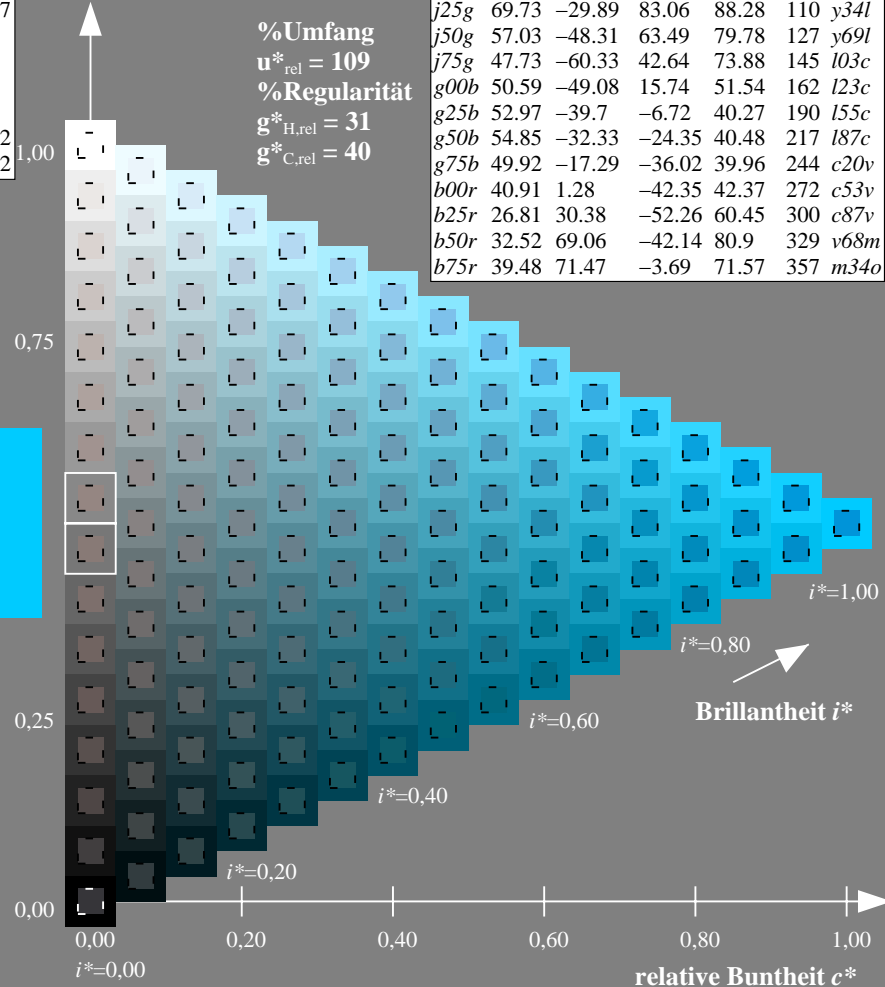
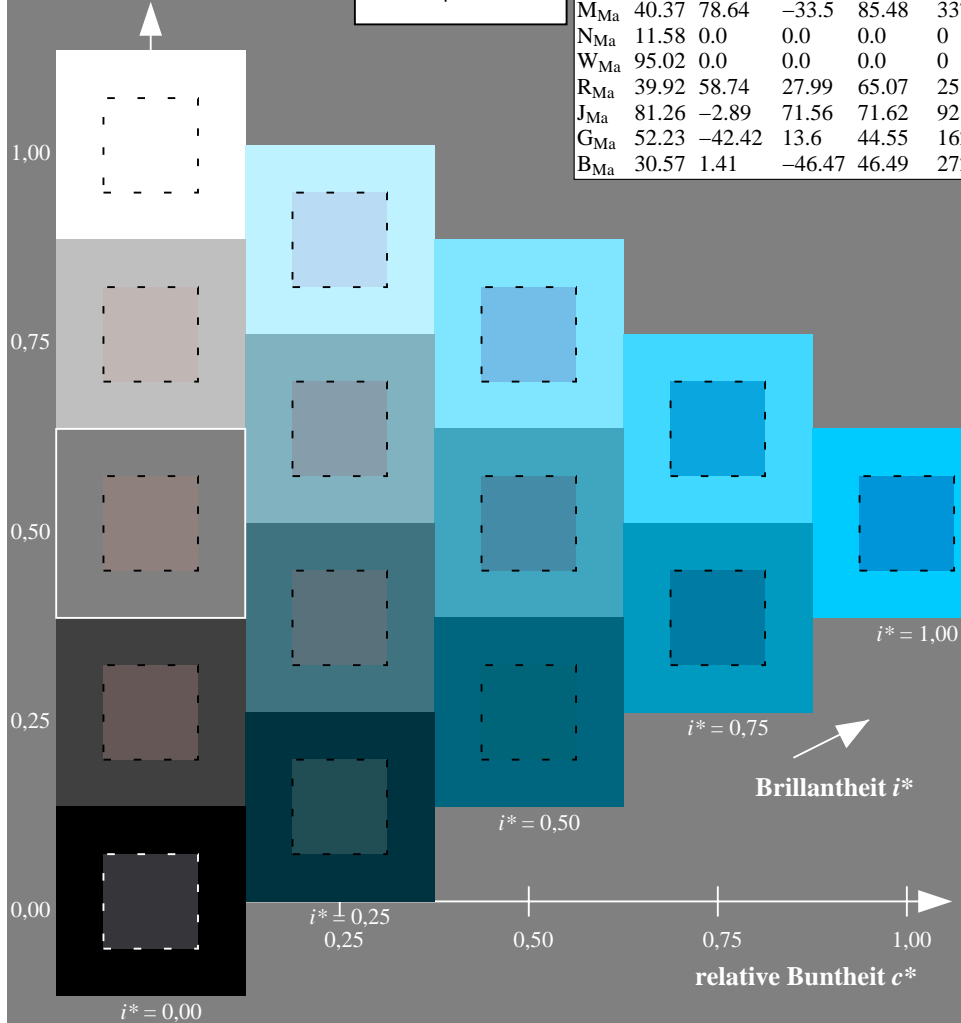
$lab^*rgb^*_{Ma}$: 0.0 0.5 1.0

$lab^*olv^*_{Ma}$: 0.0 0.8 1.0

Dreiecks-Helligkeit t^*

FRS12_95a; adaptierte CIELAB-Daten

u^*_e	$L^*=L^*_a$	a^*_a	b^*_a	$C^*_{ab,a}$	$h^*_{ab,a}$	u^*_d
r00j	38.47	63.32	30.17	70.15	25	m81o
r25j	42.12	54.56	49.45	73.64	42	o10y
r50j	53.64	39.15	64.89	75.79	59	o40y
r75j	67.01	21.26	82.83	85.52	76	o69y
j00g	86.18	-4.38	108.53	108.62	92	o98y
j25g	69.73	-29.89	83.06	88.28	110	y34l
j50g	57.03	-48.31	63.49	79.78	127	y69l
j75g	47.73	-60.33	42.64	73.88	145	i03c
g00b	50.59	-49.08	15.74	51.54	162	i23c
g25b	52.97	-39.7	-6.72	40.27	190	i55c
g50b	54.85	-32.33	-24.35	40.48	217	i87c
g75b	49.92	-17.29	-36.02	39.96	244	c20v
b00r	40.91	1.28	-42.35	42.37	272	c53v
b25r	26.81	30.38	-52.26	60.45	300	c87v
b50r	32.52	69.06	-42.14	80.9	329	v68m
b75r	39.48	71.47	-3.69	71.57	357	m34o



Ein und Ausgabe: Farbmatisches Drucker-Reflektiv-System FRS12_95a, $L^*=12_95$ für relativen CIELAB-Bunton $h^* = lab^*h^* = h_{ab}/360 = 0.755$ $u^*_e = b00r$

Daten für jede Farbe:

lab^*tch^* und lab^*icu^*

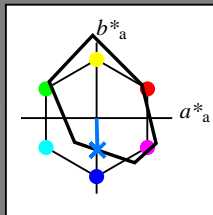
Buntontexte:

$u^*_e = b00r$ $u^*_d = c53v$

Kontrastreduzierungsfaktor:

$c_R = 1.0$

Dreiecks-Helligkeit t^*



FRS12_95a; adaptierte CIELAB-Daten

u^*_e	$L^*=L^*_a$	a^*_a	b^*_a	$C^*_{ab,a}$	$h^*_{ab,a}$
O _{Ma}	38.06	60.0	44.0	74.4	36
Y _{Ma}	86.77	-5.17	109.32	109.44	93
L _{Ma}	47.13	-62.67	48.24	79.09	142
C _{Ma}	55.66	-29.14	-31.99	43.27	228
V _{Ma}	17.15	50.3	-59.04	77.57	310
M _{Ma}	40.37	78.64	-33.5	85.48	337
N _{Ma}	11.58	0.0	0.0	0.0	0
W _{Ma}	95.02	0.0	0.0	0.0	0
R _{Ma}	39.92	58.74	27.99	65.07	25
J _{Ma}	81.26	-2.89	71.56	71.62	92
G _{Ma}	52.23	-42.42	13.6	44.55	162
B _{Ma}	30.57	1.41	-46.47	46.49	272

Daten für Maximalfarbe (Ma):

$LAB^*LAB^*_{Ma}$: 41 1 -42

$LAB^*LCH^*_{Ma}$: 41 42 271

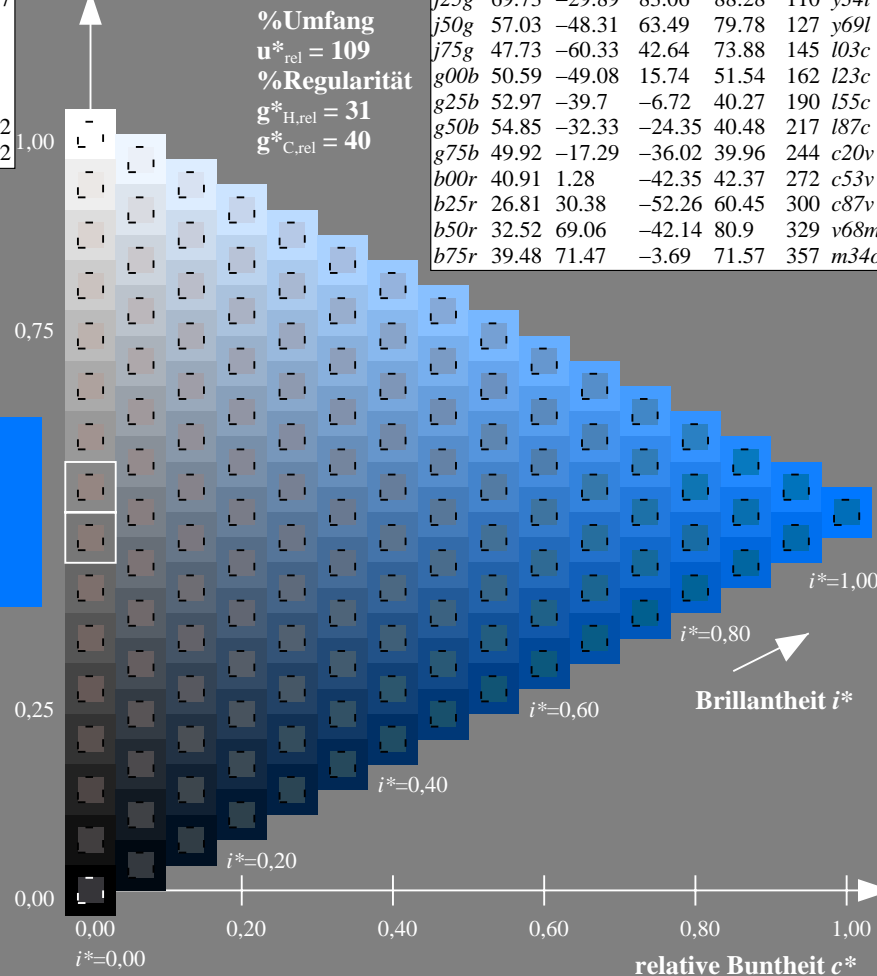
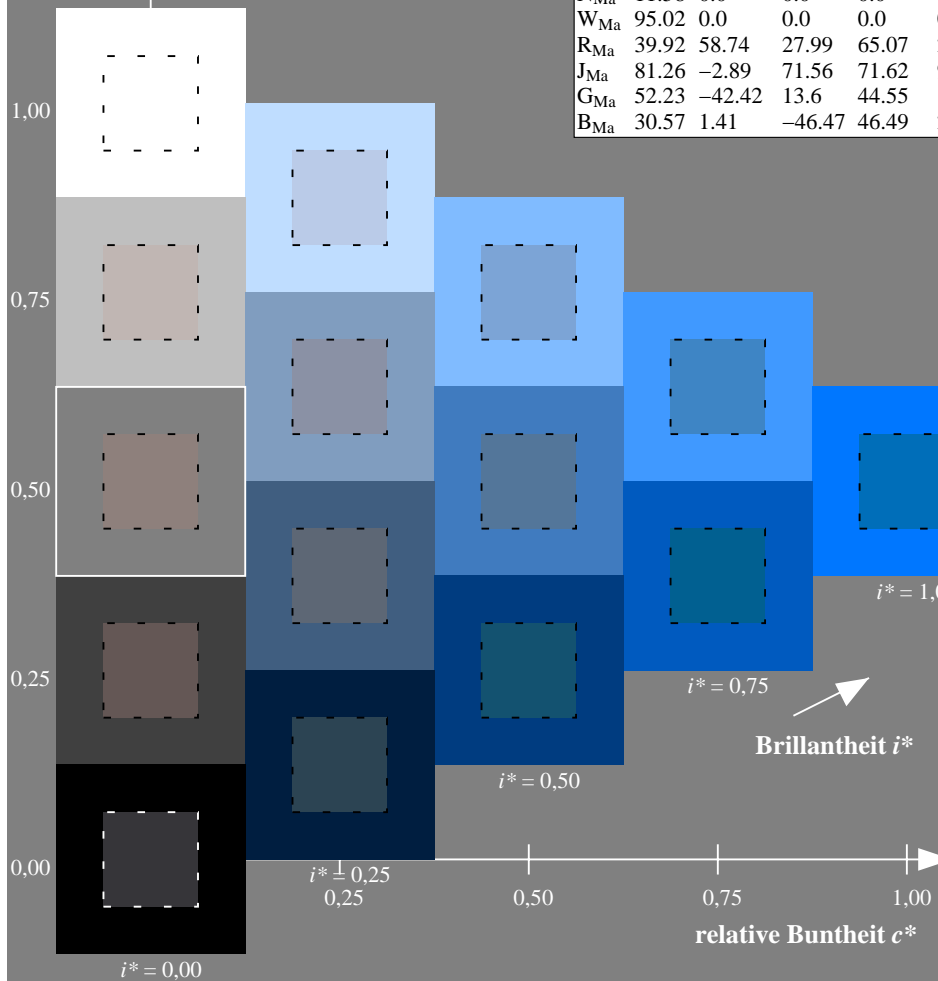
$lab^*rgb^*_{Ma}$: 0.0 0.0 1.0

$lab^*olv^*_{Ma}$: 0.0 0.47 1.0

Dreiecks-Helligkeit t^*

FRS12_95a; adaptierte CIELAB-Daten

u^*_e	$L^*=L^*_a$	a^*_a	b^*_a	$C^*_{ab,a}$	$h^*_{ab,a}$	u^*_d
r00j	38.47	63.32	30.17	70.15	25	m81o
r25j	42.12	54.56	49.45	73.64	42	o10y
r50j	53.64	39.15	64.89	75.79	59	o40y
r75j	67.01	21.26	82.83	85.52	76	o69y
j00g	86.18	-4.38	108.53	108.62	92	o98y
j25g	69.73	-29.89	83.06	88.28	110	y34l
j50g	57.03	-48.31	63.49	79.78	127	y69l
j75g	47.73	-60.33	42.64	73.88	145	l03c
g00b	50.59	-49.08	15.74	51.54	162	l23c
g25b	52.97	-39.7	-6.72	40.27	190	l55c
g50b	54.85	-32.33	-24.35	40.48	217	l87c
g75b	49.92	-17.29	-36.02	39.96	244	c20v
b00r	40.91	1.28	-42.35	42.37	272	c53v
b25r	26.81	30.38	-52.26	60.45	300	c87v
b50r	32.52	69.06	-42.14	80.9	329	v68m
b75r	39.48	71.47	-3.69	71.57	357	m34o



Ein und Ausgabe: Farbmatisches Drucker-Reflektiv-System FRS12_95a, $L^*=12_95$ für relativen CIELAB-Bunton $h^* = lab^*h^* = h_{ab}/360 = 0.834$ $u^*_e = b25r$

Daten für jede Farbe:

lab^*tch^* und lab^*icu^*

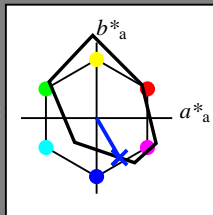
Buntontexte:

$u^*_e = b25r$ $u^*_d = c87v$

Kontrastreduzierungsfaktor:

$c_R = 1.0$

Dreiecks-Helligkeit t^*



FRS12_95a; adaptierte CIELAB-Daten						
u^*_e	$L^*=L^*_a$	a^*_a	b^*_a	$C^*_{ab,a}$	$h^*_{ab,a}$	
O _{Ma}	38.06	60.0	44.0	74.4	36	
Y _{Ma}	86.77	-5.17	109.32	109.44	93	
L _{Ma}	47.13	-62.67	48.24	79.09	142	
C _{Ma}	55.66	-29.14	-31.99	43.27	228	
V _{Ma}	17.15	50.3	-59.04	77.57	310	
M _{Ma}	40.37	78.64	-33.5	85.48	337	
N _{Ma}	11.58	0.0	0.0	0.0	0	
W _{Ma}	95.02	0.0	0.0	0.0	0	
R _{Ma}	39.92	58.74	27.99	65.07	25	
J _{Ma}	81.26	-2.89	71.56	71.62	92	
G _{Ma}	52.23	-42.42	13.6	44.55	162	
B _{Ma}	30.57	1.41	-46.47	46.49	272	

Daten für Maximalfarbe (Ma):

$LAB^*LAB^*_{Ma}: 27\ 30\ -52$

$LAB^*LCH^*_{Ma}: 27\ 60\ 300$

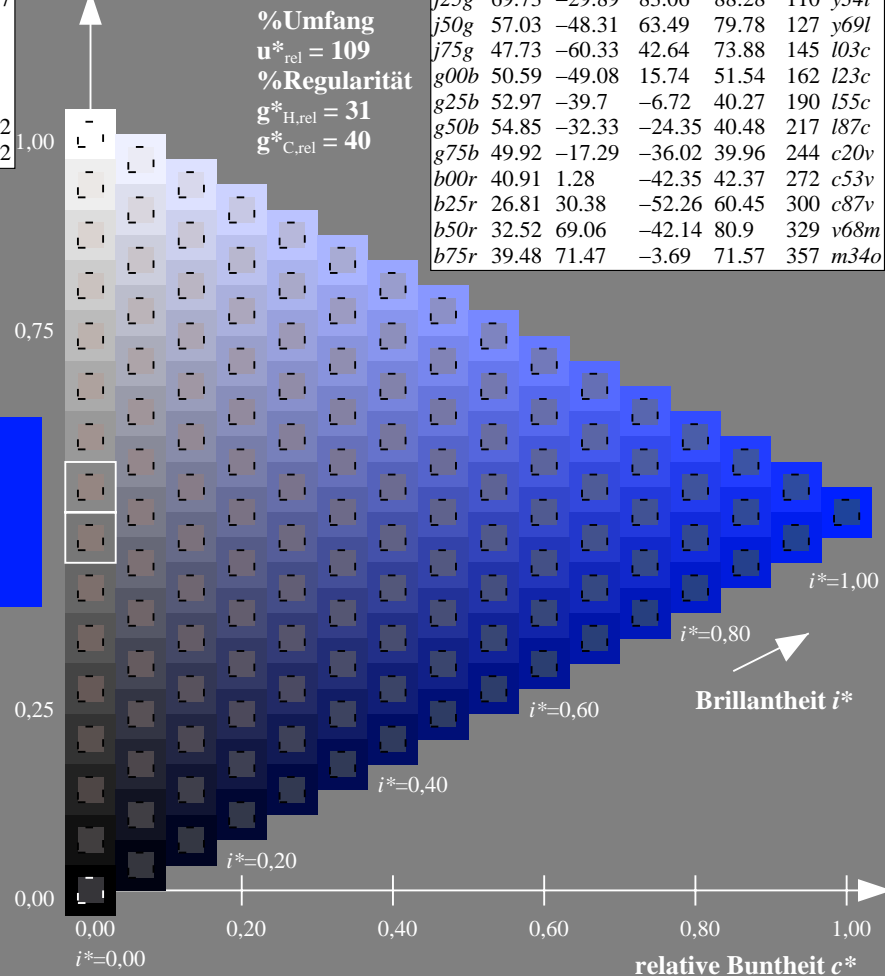
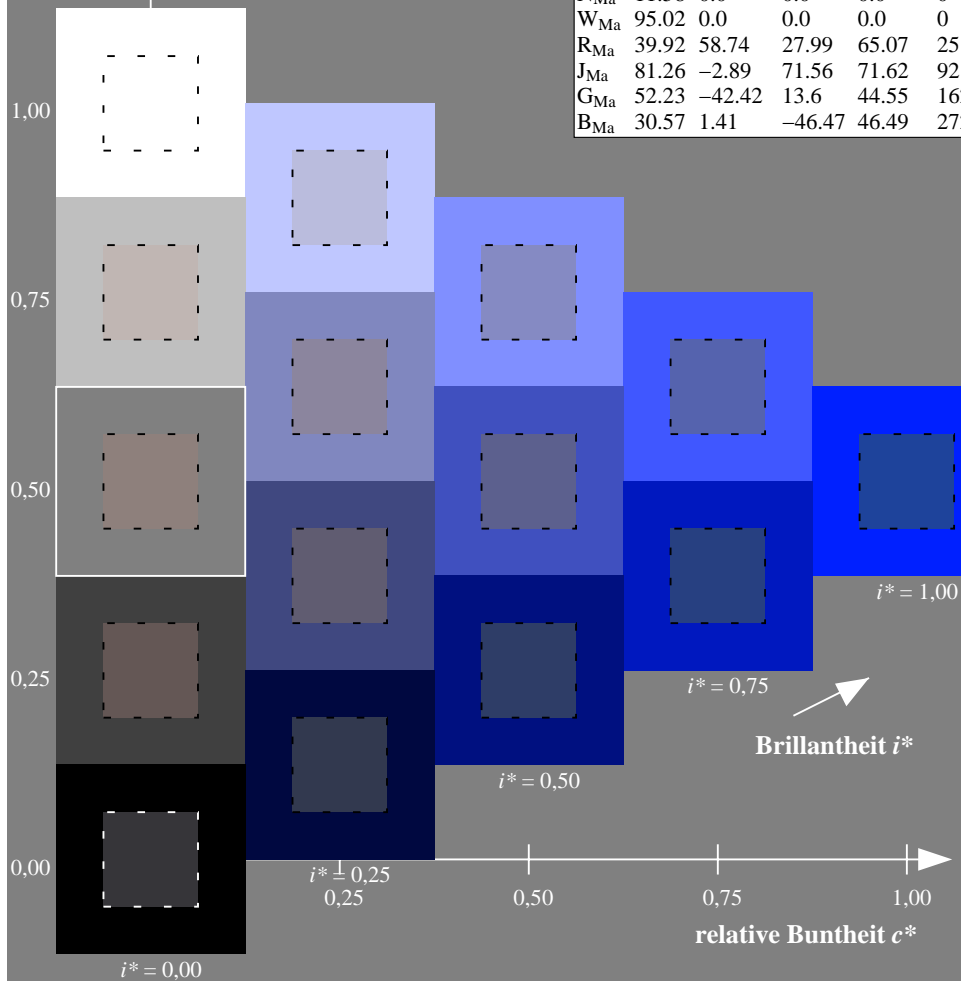
$lab^*rgb^*_{Ma}: 0.5\ 0.0\ 1.0$

$lab^*olv^*_{Ma}: 0.0\ 0.12\ 1.0$

Dreiecks-Helligkeit t^*

FRS12_95a; adaptierte CIELAB-Daten

u^*_e	$L^*=L^*_a$	a^*_a	b^*_a	$C^*_{ab,a}$	$h^*_{ab,a}$	u^*_d
r00j	38.47	63.32	30.17	70.15	25	m81o
r25j	42.12	54.56	49.45	73.64	42	o10y
r50j	53.64	39.15	64.89	75.79	59	o40y
r75j	67.01	21.26	82.83	85.52	76	o69y
j00g	86.18	-4.38	108.53	108.62	92	o98y
j25g	69.73	-29.89	83.06	88.28	110	y34l
j50g	57.03	-48.31	63.49	79.78	127	y69l
j75g	47.73	-60.33	42.64	73.88	145	l03c
g00b	50.59	-49.08	15.74	51.54	162	l23c
g25b	52.97	-39.7	-6.72	40.27	190	l55c
g50b	54.85	-32.33	-24.35	40.48	217	l87c
g75b	49.92	-17.29	-36.02	39.96	244	c20v
b00r	40.91	1.28	-42.35	42.37	272	c53v
b25r	26.81	30.38	-52.26	60.45	300	c87v
b50r	32.52	69.06	-42.14	80.9	329	v68m
b75r	39.48	71.47	-3.69	71.57	357	m34o



Ein und Ausgabe: Farbmatisches Drucker-Reflektiv-System FRS12_95a, $L^*=12_95$ für relativen CIELAB-Bunton $h^* = lab^*h^* = h_{ab}/360 = 0.913$ $u^*_e = b50r$

Daten für jede Farbe:

lab^*tch^* und lab^*icu^*

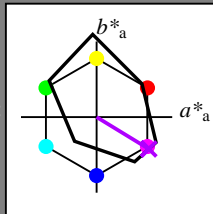
Buntontexte:

$u^*_e = b50r$ $u^*_d = v68m$

Kontrastreduzierungsfaktor:

$c_R = 1.0$

Dreiecks-Helligkeit t^*



FRS12_95a; adaptierte CIELAB-Daten						
u^*_e	$L^*=L^*_a$	a^*_a	b^*_a	$C^*_{ab,a}$	$h^*_{ab,a}$	
O _{Ma}	38.06	60.0	44.0	74.4	36	
Y _{Ma}	86.77	-5.17	109.32	109.44	93	
L _{Ma}	47.13	-62.67	48.24	79.09	142	
C _{Ma}	55.66	-29.14	-31.99	43.27	228	
V _{Ma}	17.15	50.3	-59.04	77.57	310	
M _{Ma}	40.37	78.64	-33.5	85.48	337	
N _{Ma}	11.58	0.0	0.0	0.0	0	
W _{Ma}	95.02	0.0	0.0	0.0	0	
R _{Ma}	39.92	58.74	27.99	65.07	25	
J _{Ma}	81.26	-2.89	71.56	71.62	92	
G _{Ma}	52.23	-42.42	13.6	44.55	162	
B _{Ma}	30.57	1.41	-46.47	46.49	272	

Daten für Maximalfarbe (Ma):

$LAB^*LAB^*_{Ma}$: 33 69 -42

$LAB^*LCH^*_{Ma}$: 33 81 328

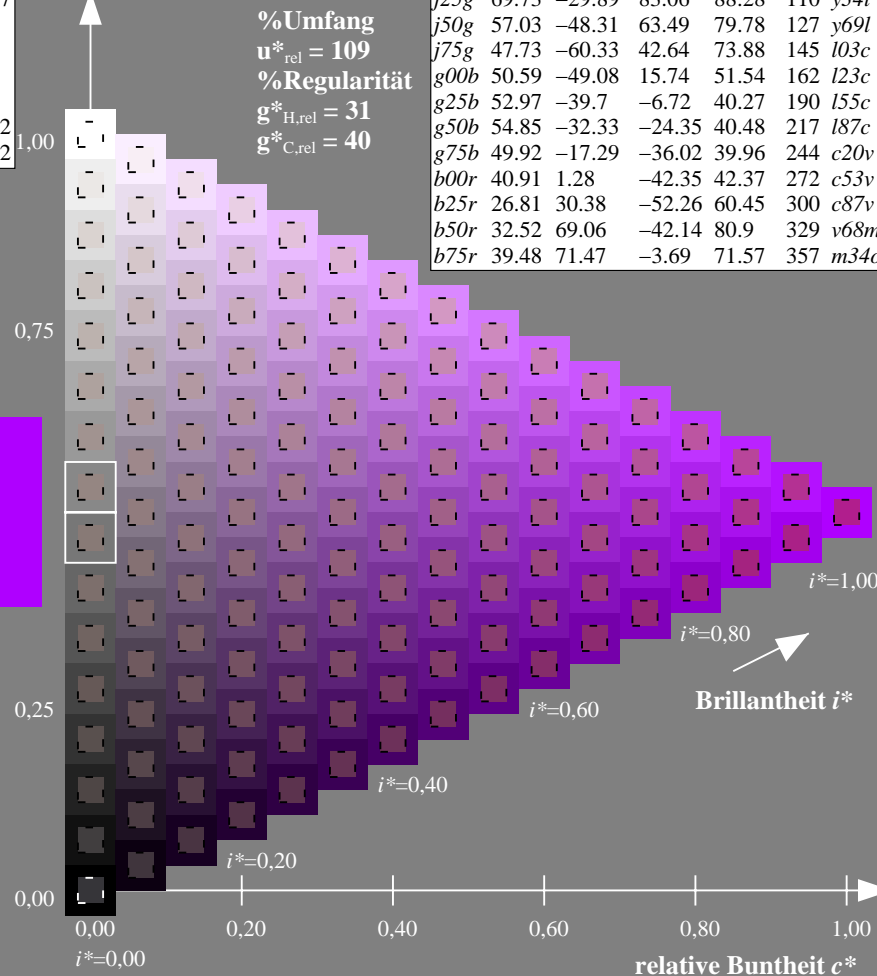
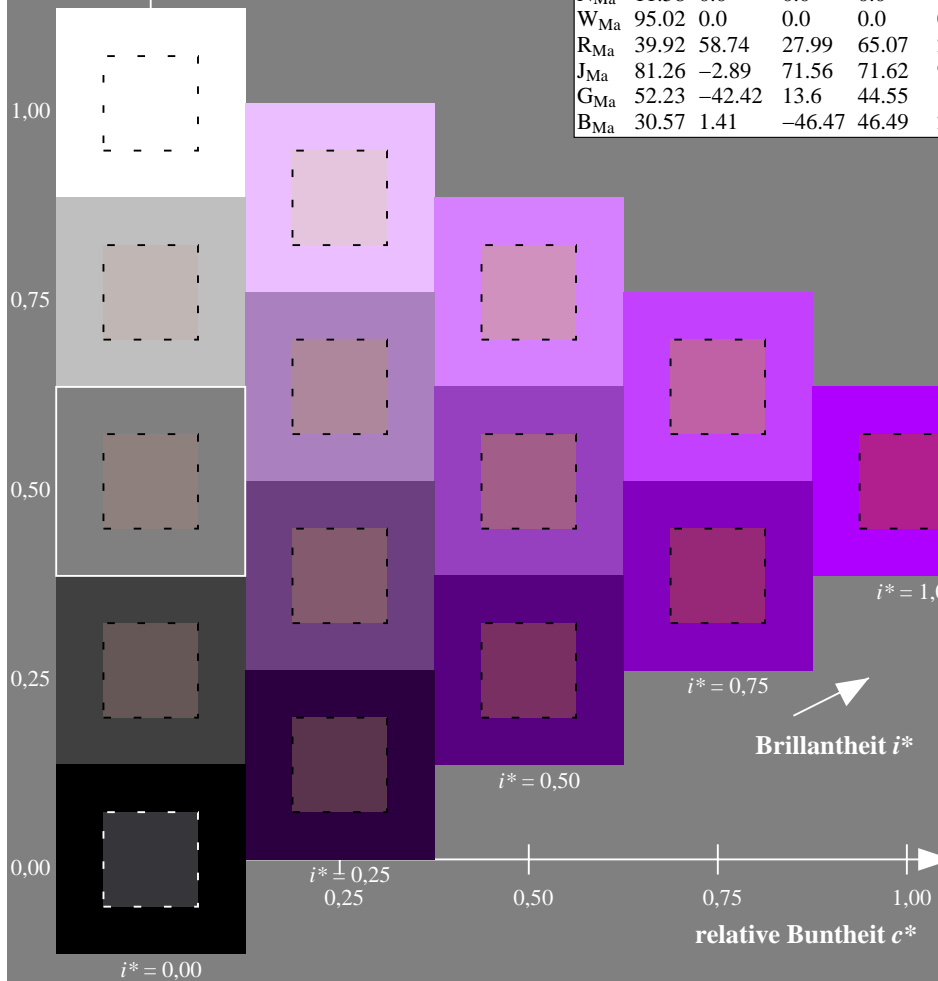
$lab^*rgb^*_{Ma}$: 1.0 0.0 1.0

$lab^*olv^*_{Ma}$: 0.69 0.0 1.0

Dreiecks-Helligkeit t^*

FRS12_95a; adaptierte CIELAB-Daten

u^*_e	$L^*=L^*_a$	a^*_a	b^*_a	$C^*_{ab,a}$	$h^*_{ab,a}$	u^*_d
r00j	38.47	63.32	30.17	70.15	25	m81o
r25j	42.12	54.56	49.45	73.64	42	o10y
r50j	53.64	39.15	64.89	75.79	59	o40y
r75j	67.01	21.26	82.83	85.52	76	o69y
j00g	86.18	-4.38	108.53	108.62	92	o98y
j25g	69.73	-29.89	83.06	88.28	110	y34l
j50g	57.03	-48.31	63.49	79.78	127	y69l
j75g	47.73	-60.33	42.64	73.88	145	l03c
g00b	50.59	-49.08	15.74	51.54	162	l23c
g25b	52.97	-39.7	-6.72	40.27	190	l55c
g50b	54.85	-32.33	-24.35	40.48	217	l87c
g75b	49.92	-17.29	-36.02	39.96	244	c20v
b00r	40.91	1.28	-42.35	42.37	272	c53v
b25r	26.81	30.38	-52.26	60.45	300	c87v
b50r	32.52	69.06	-42.14	80.9	329	v68m
b75r	39.48	71.47	-3.69	71.57	357	m34o



Ein und Ausgabe: Farbmetrisches Drucker-Reflektiv-System FRS12_95a, $L^*=12_95$ für relativen CIELAB-Bunton $h^* = lab^*h^* = h_{ab}/360 = 0.992$ $u^*_e = b75r$

Daten für jede Farbe:

lab^*tch^* und lab^*icu^*

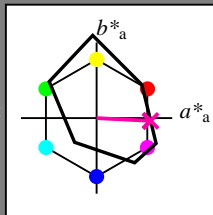
Buntontexte:

$u^*_e = b75r$ $u^*_d = m34o$

Kontrastreduzierungsfaktor:

$c_R = 1.0$

Dreiecks-Helligkeit t^*



FRS12_95a; adaptierte CIELAB-Daten

u^*_e	$L^*=L^*_a$	a^*_a	b^*_a	$C^*_{ab,a}$	$h^*_{ab,a}$
O _{Ma}	38.06	60.0	44.0	74.4	36
Y _{Ma}	86.77	-5.17	109.32	109.44	93
L _{Ma}	47.13	-62.67	48.24	79.09	142
C _{Ma}	55.66	-29.14	-31.99	43.27	228
V _{Ma}	17.15	50.3	-59.04	77.57	310
M _{Ma}	40.37	78.64	-33.5	85.48	337
N _{Ma}	11.58	0.0	0.0	0.0	0
W _{Ma}	95.02	0.0	0.0	0.0	0
R _{Ma}	39.92	58.74	27.99	65.07	25
J _{Ma}	81.26	-2.89	71.56	71.62	92
G _{Ma}	52.23	-42.42	13.6	44.55	162
B _{Ma}	30.57	1.41	-46.47	46.49	272

Daten für Maximalfarbe (Ma):

$LAB^*LAB^*_{Ma}$: 39 71 -4

$LAB^*LCH^*_{Ma}$: 39 72 357

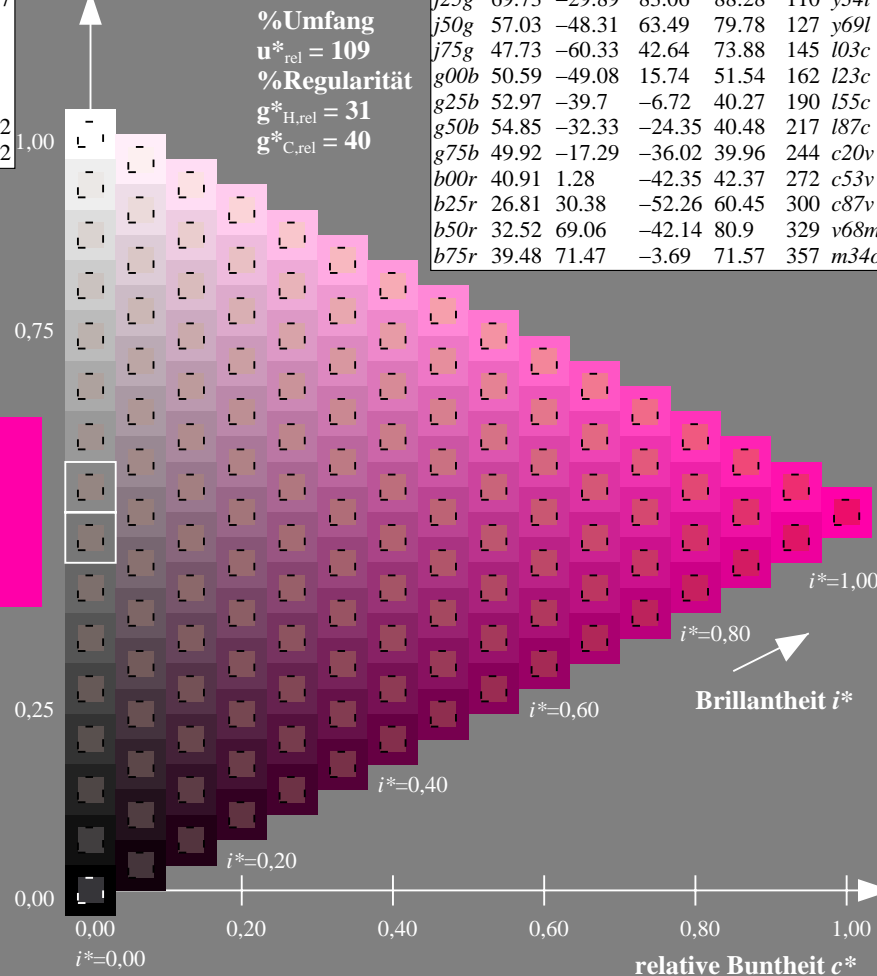
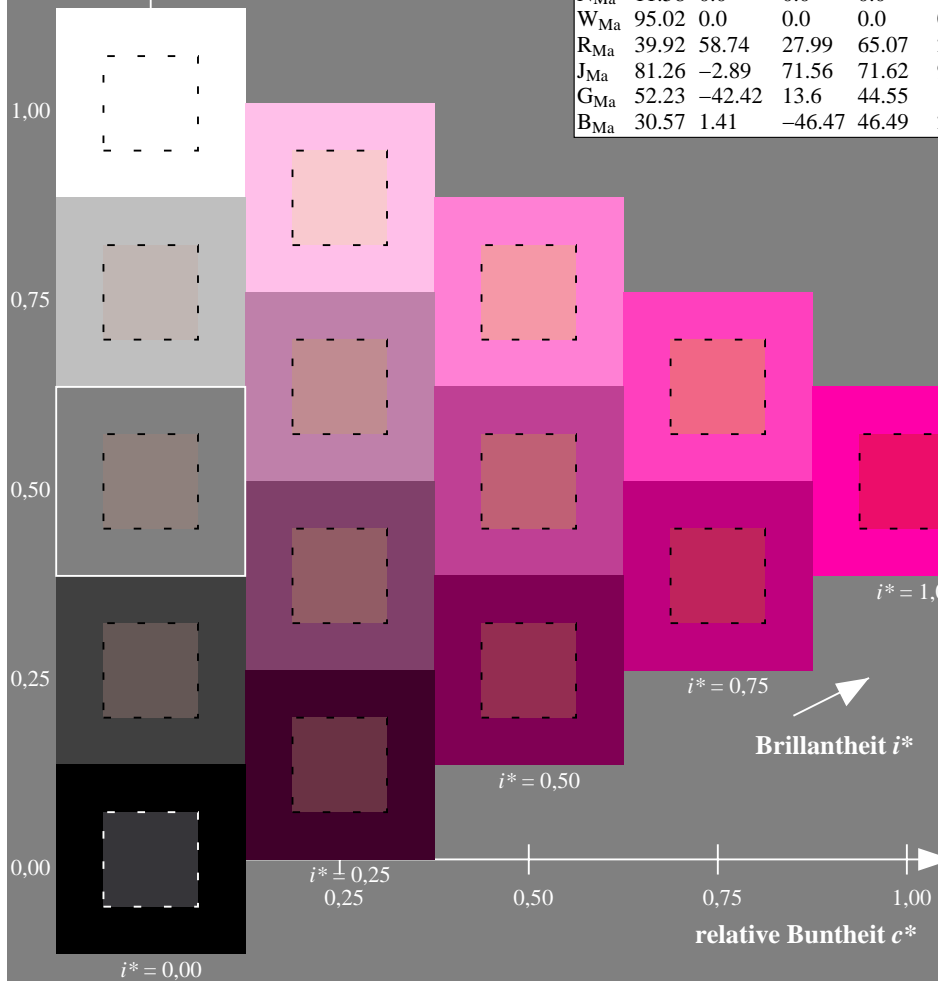
$lab^*rgb^*_{Ma}$: 1.0 0.0 0.5

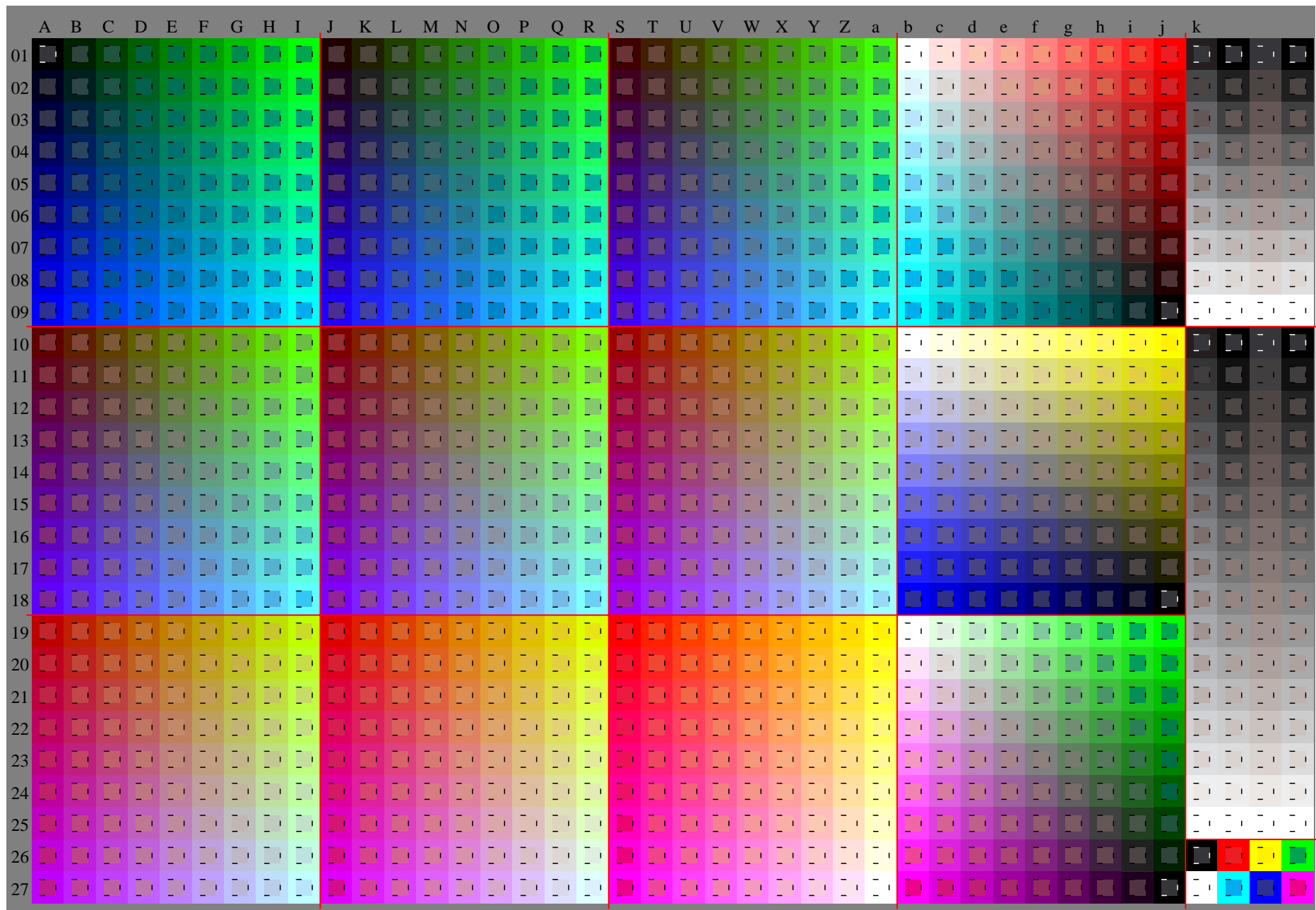
$lab^*olv^*_{Ma}$: 1.0 0.0 0.66

Dreiecks-Helligkeit t^*

FRS12_95a; adaptierte CIELAB-Daten

u^*_e	$L^*=L^*_a$	a^*_a	b^*_a	$C^*_{ab,a}$	$h^*_{ab,a}$	u^*_d
r00j	38.47	63.32	30.17	70.15	25	m81o
r25j	42.12	54.56	49.45	73.64	42	o10y
r50j	53.64	39.15	64.89	75.79	59	o40y
r75j	67.01	21.26	82.83	85.52	76	o69y
j00g	86.18	-4.38	108.53	108.62	92	o98y
j25g	69.73	-29.89	83.06	88.28	110	y34l
j50g	57.03	-48.31	63.49	79.78	127	y69l
j75g	47.73	-60.33	42.64	73.88	145	l03c
g00b	50.59	-49.08	15.74	51.54	162	l23c
g25b	52.97	-39.7	-6.72	40.27	190	l55c
g50b	54.85	-32.33	-24.35	40.48	217	l87c
g75b	49.92	-17.29	-36.02	39.96	244	c20v
b00r	40.91	1.28	-42.35	42.37	272	c53v
b25r	26.81	30.38	-52.26	60.45	300	c87v
b50r	32.52	69.06	-42.14	80.9	329	v68m
b75r	39.48	71.47	-3.69	71.57	357	m34o





Fg640-7A, Seite 18/198

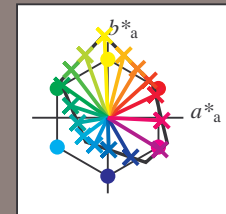
Ein und Ausgabe:
 Farbmimetrisches Drucker-Reflektiv-System FRS12_95a

Daten für jede Farbe:
 u^*_e und Nummer *Nr.* = 00 .. 15

Elementar-Bunttextext:
 $u^*_e = 16$ Bunttoene *r00j, r25j, ..., b75r*

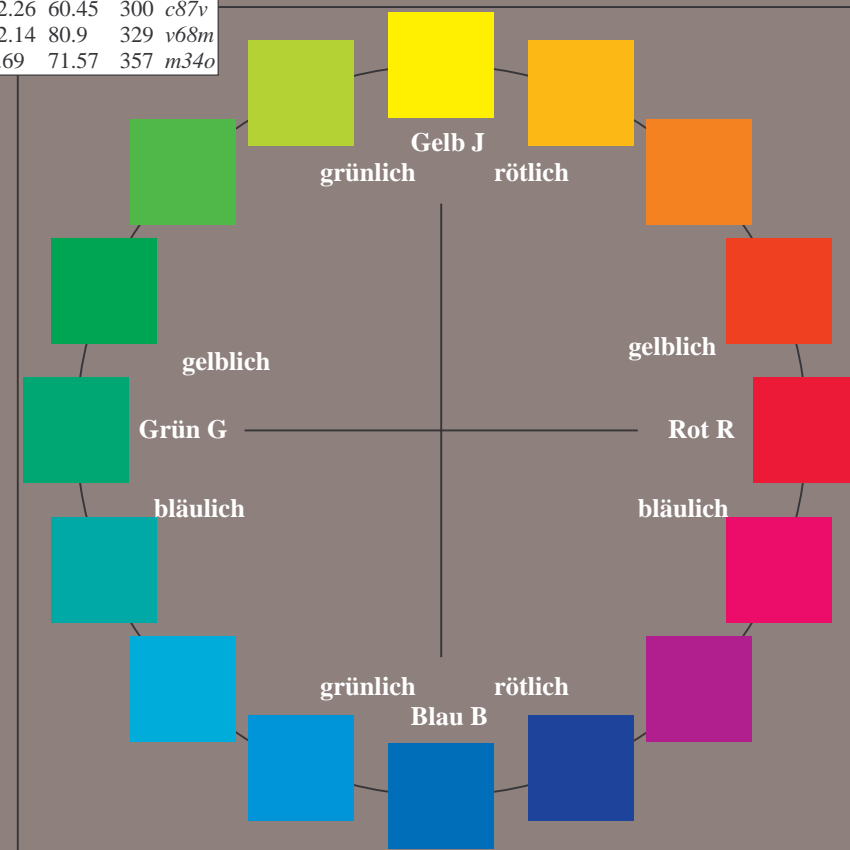
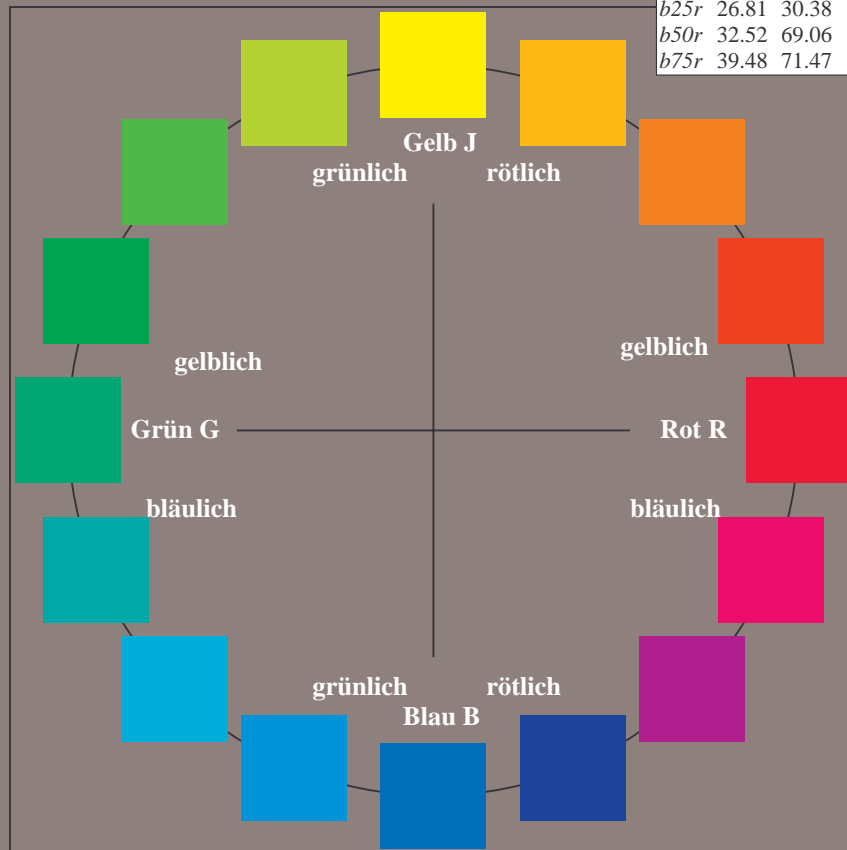
Kontrastreduzierungsfaktor:
 $c_R = 1.0$

FRS12_95a; adaptierte CIELAB-Daten						
u^*_e	$L^*=L^*_a$	a^*_a	b^*_a	$C^*_{ab,a}$	$h^*_{ab,a}$	u^*_d
r00j	38.47	63.32	30.17	70.15	25	m81o
r25j	42.12	54.56	49.45	73.64	42	o10y
r50j	53.64	39.15	64.89	75.79	59	o40y
r75j	67.01	21.26	82.83	85.52	76	o69y
j00g	86.18	-4.38	108.53	108.62	92	o98y
j25g	69.73	-29.89	83.06	88.28	110	y34l
j50g	57.03	-48.31	63.49	79.78	127	y69l
j75g	47.73	-60.33	42.64	73.88	145	l03c
g00b	50.59	-49.08	15.74	51.54	162	l23c
g25b	52.97	-39.7	-6.72	40.27	190	l55c
g50b	54.85	-32.33	-24.35	40.48	217	l87c
g75b	49.92	-17.29	-36.02	39.96	244	c20v
b00r	40.91	1.28	-42.35	42.37	272	c53v
b25r	26.81	30.38	-52.26	60.45	300	c87v
b50r	32.52	69.06	-42.14	80.9	329	v68m
b75r	39.48	71.47	-3.69	71.57	357	m34o



%Umfang
 $u^*_{rel} = 109$
 %Regularität
 $g^*_{H,rel} = 31$
 $g^*_{C,rel} = 40$

FRS12_95a; adaptierte CIELAB-Daten					
Name	$L^*=L^*_a$	a^*_a	b^*_a	$C^*_{ab,a}$	$h^*_{ab,a}$
OMa	38.06	60.0	44.0	74.4	36
YMa	86.77	-5.17	109.32	109.44	93
LMa	47.13	-62.67	48.24	79.09	142
CMa	55.66	-29.14	-31.99	43.27	228
VMa	17.15	50.3	-59.04	77.57	310
MMa	40.37	78.64	-33.5	85.48	337
NMa	11.58	0.0	0.0	0.0	0
WMa	95.02	0.0	0.0	0.0	0
RCIE	39.92	58.74	27.99	65.07	25
JCIE	81.26	-2.89	71.56	71.62	92
GCIE	52.23	-42.42	13.6	44.55	162
BCIE	30.57	1.41	-46.47	46.49	272



Ein und Ausgabe: Farbmatisches Drucker-Reflektiv-System FRS12_95a, $L^*=12_95$ für relativen CIELAB-Bunton $h^* = lab^*h^* = h_{ab}/360 = 0.071$ $u^*_e = r00j$

Daten für jede Farbe:

lab^*tch^* und lab^*icu^*

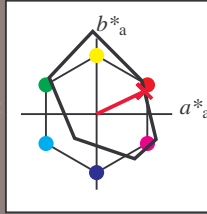
Buntontexte:

$u^*_e = r00j$ $u^*_d = m81o$

Kontrastreduzierungsfaktor:

$c_R = 1.0$

Dreiecks-Helligkeit t^*



FRS12_95a; adaptierte CIELAB-Daten						
u^*_e	$L^*=L^*_a$	a^*_a	b^*_a	$C^*_{ab,a}$	$h^*_{ab,a}$	
O _{Ma}	38.06	60.0	44.0	74.4	36	
Y _{Ma}	86.77	-5.17	109.32	109.44	93	
L _{Ma}	47.13	-62.67	48.24	79.09	142	
C _{Ma}	55.66	-29.14	-31.99	43.27	228	
V _{Ma}	17.15	50.3	-59.04	77.57	310	
M _{Ma}	40.37	78.64	-33.5	85.48	337	
N _{Ma}	11.58	0.0	0.0	0.0	0	
W _{Ma}	95.02	0.0	0.0	0.0	0	
R _{Ma}	39.92	58.74	27.99	65.07	25	
J _{Ma}	81.26	-2.89	71.56	71.62	92	
G _{Ma}	52.23	-42.42	13.6	44.55	162	
B _{Ma}	30.57	1.41	-46.47	46.49	272	

Daten für Maximalfarbe (Ma):

$LAB^*LAB^*_{Ma}$: 38 63 30

$LAB^*LCH^*_{Ma}$: 38 70 25

$lab^*rgb^*_{Ma}$: 1.0 0.0 0.0

$lab^*olv^*_{Ma}$: 1.0 0.0 0.18

Dreiecks-Helligkeit t^*

%Umfang

$u^*_{rel} = 109$

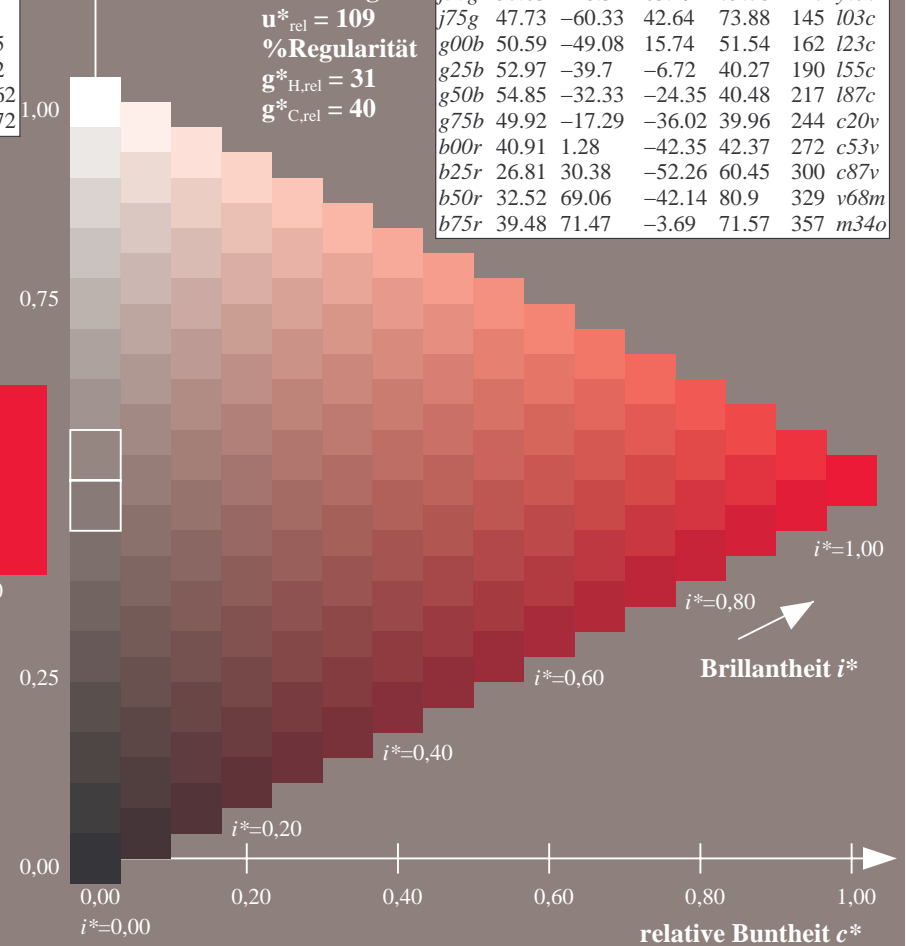
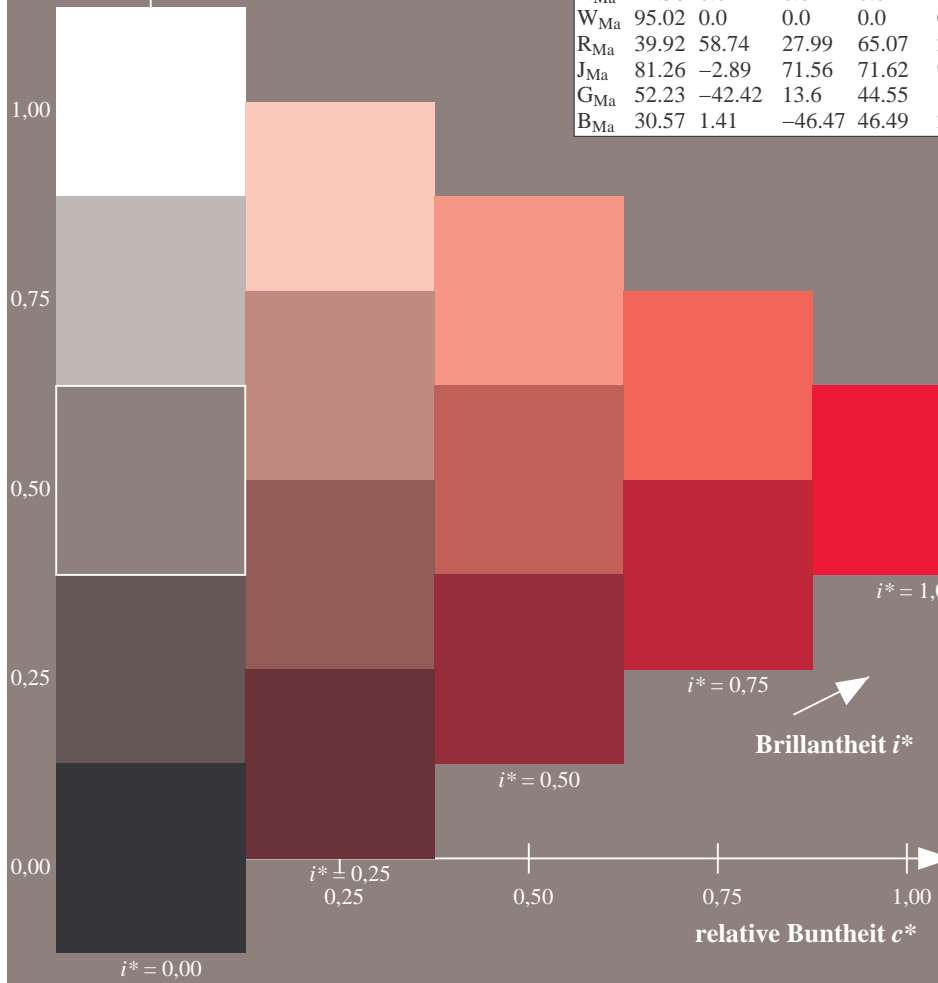
%Regularität

$g^*_{H,rel} = 31$

$g^*_{C,rel} = 40$

FRS12_95a; adaptierte CIELAB-Daten

u^*_e	$L^*=L^*_a$	a^*_a	b^*_a	$C^*_{ab,a}$	$h^*_{ab,a}$	u^*_d
r00j	38.47	63.32	30.17	70.15	25	m81o
r25j	42.12	54.56	49.45	73.64	42	o10y
r50j	53.64	39.15	64.89	75.79	59	o40y
r75j	67.01	21.26	82.83	85.52	76	o69y
j00g	86.18	-4.38	108.53	108.62	92	o98y
j25g	69.73	-29.89	83.06	88.28	110	y34l
j50g	57.03	-48.31	63.49	79.78	127	y69l
j75g	47.73	-60.33	42.64	73.88	145	l03c
g00b	50.59	-49.08	15.74	51.54	162	l23c
g25b	52.97	-39.7	-6.72	40.27	190	l55c
g50b	54.85	-32.33	-24.35	40.48	217	l87c
g75b	49.92	-17.29	-36.02	39.96	244	c20v
b00r	40.91	1.28	-42.35	42.37	272	c53v
b25r	26.81	30.38	-52.26	60.45	300	c87v
b50r	32.52	69.06	-42.14	80.9	329	v68m
b75r	39.48	71.47	-3.69	71.57	357	m34o



Ein und Ausgabe: Farbmetrisches Drucker-Reflektiv-System FRS12_95a, $L^*=12_95$ für relativen CIELAB-Bunton $h^* = lab^*h^* = h_{ab}/360 = 0.117$ $u^*_e = r25j$

Daten für jede Farbe:

lab^*tch^* und lab^*icu^*

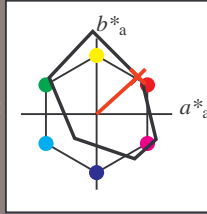
Buntontexte:

$u^*_e = r25j$ $u^*_d = o10y$

Kontrastreduzierungsfaktor:

$c_R = 1.0$

Dreiecks-Helligkeit t^*



FRS12_95a; adaptierte CIELAB-Daten						
u^*_e	$L^*=L^*_a$	a^*_a	b^*_a	$C^*_{ab,a}$	$h^*_{ab,a}$	
O _{Ma}	38.06	60.0	44.0	74.4	36	
Y _{Ma}	86.77	-5.17	109.32	109.44	93	
L _{Ma}	47.13	-62.67	48.24	79.09	142	
C _{Ma}	55.66	-29.14	-31.99	43.27	228	
V _{Ma}	17.15	50.3	-59.04	77.57	310	
M _{Ma}	40.37	78.64	-33.5	85.48	337	
N _{Ma}	11.58	0.0	0.0	0.0	0	
W _{Ma}	95.02	0.0	0.0	0.0	0	
R _{Ma}	39.92	58.74	27.99	65.07	25	
J _{Ma}	81.26	-2.89	71.56	71.62	92	
G _{Ma}	52.23	-42.42	13.6	44.55	162	
B _{Ma}	30.57	1.41	-46.47	46.49	272	

Daten für Maximalfarbe (Ma):

$LAB^*LAB^*_{Ma}$: 42 55 49

$LAB^*LCH^*_{Ma}$: 42 74 42

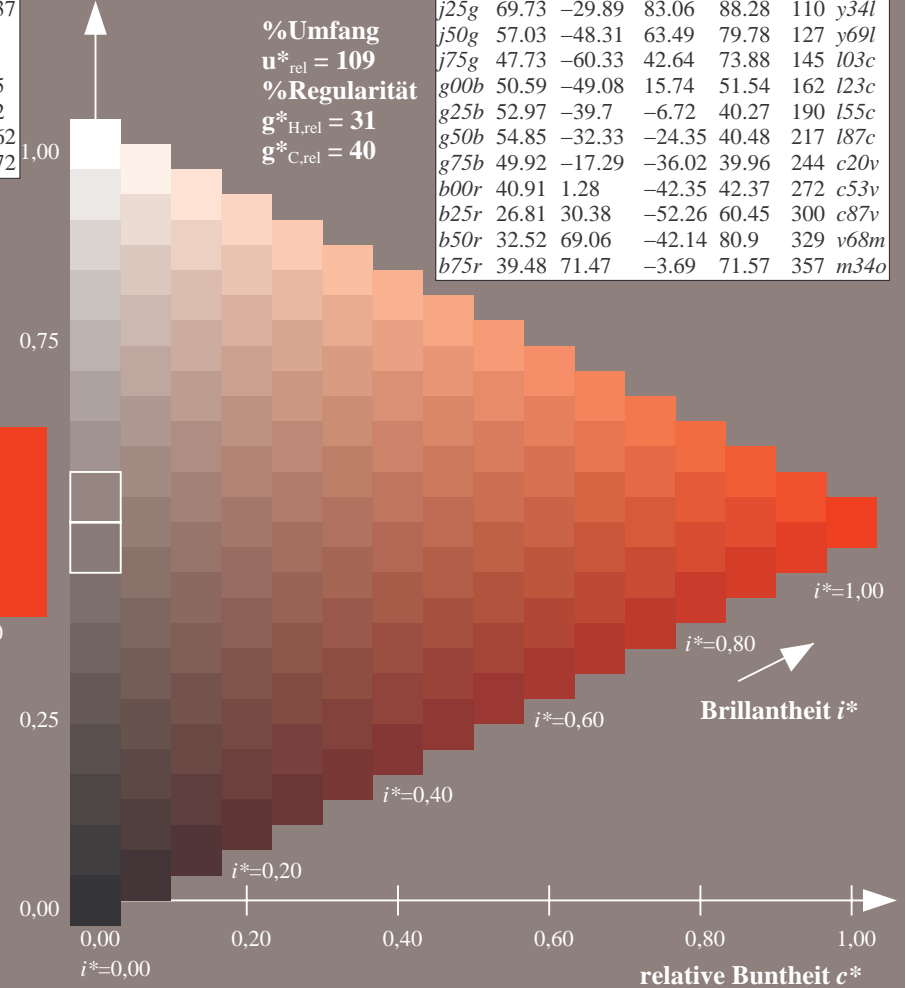
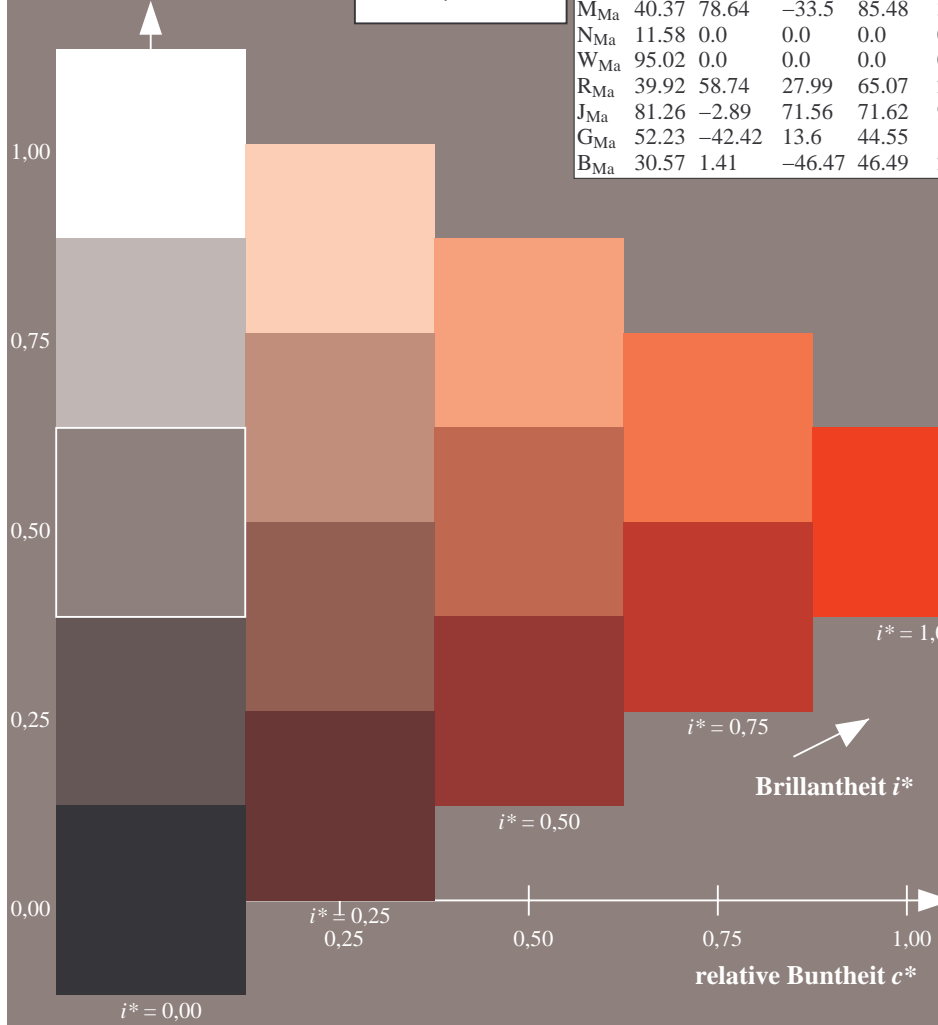
$lab^*rgb^*_{Ma}$: 1.0 0.25 0.0

$lab^*olv^*_{Ma}$: 1.0 0.11 0.0

Dreiecks-Helligkeit t^*

FRS12_95a; adaptierte CIELAB-Daten

u^*_e	$L^*=L^*_a$	a^*_a	b^*_a	$C^*_{ab,a}$	$h^*_{ab,a}$	u^*_d
r00j	38.47	63.32	30.17	70.15	25	m81o
r25j	42.12	54.56	49.45	73.64	42	o10y
r50j	53.64	39.15	64.89	75.79	59	o40y
r75j	67.01	21.26	82.83	85.52	76	o69y
j00g	86.18	-4.38	108.53	108.62	92	o98y
j25g	69.73	-29.89	83.06	88.28	110	y34l
j50g	57.03	-48.31	63.49	79.78	127	y69l
j75g	47.73	-60.33	42.64	73.88	145	l03c
g00b	50.59	-49.08	15.74	51.54	162	l23c
g25b	52.97	-39.7	-6.72	40.27	190	l55c
g50b	54.85	-32.33	-24.35	40.48	217	l87c
g75b	49.92	-17.29	-36.02	39.96	244	c20v
b00r	40.91	1.28	-42.35	42.37	272	c53v
b25r	26.81	30.38	-52.26	60.45	300	c87v
b50r	32.52	69.06	-42.14	80.9	329	v68m
b75r	39.48	71.47	-3.69	71.57	357	m34o



%Umfang
 $u^*_{rel} = 109$
 %Regularität
 $g^*_{H,rel} = 31$
 $g^*_{C,rel} = 40$

Ein und Ausgabe: Farbmetrisches Drucker-Reflektiv-System FRS12_95a, $L^*=12_95$ für relativen CIELAB-Bunton $h^* = lab^*h^* = h_{ab}/360 = 0.164$ $u^*_e = r50j$

Daten für jede Farbe:

lab^*tch^* und lab^*icu^*

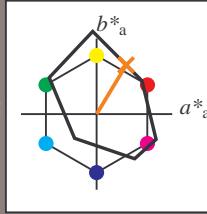
Buntontexte:

$u^*_e = r50j$ $u^*_d = o40y$

Kontrastreduzierungsfaktor:

$c_R = 1.0$

Dreiecks-Helligkeit t^*



FRS12_95a; adaptierte CIELAB-Daten						
u^*_e	$L^*=L^*_a$	a^*_a	b^*_a	$C^*_{ab,a}$	$h^*_{ab,a}$	
O _{Ma}	38.06	60.0	44.0	74.4	36	
Y _{Ma}	86.77	-5.17	109.32	109.44	93	
L _{Ma}	47.13	-62.67	48.24	79.09	142	
C _{Ma}	55.66	-29.14	-31.99	43.27	228	
V _{Ma}	17.15	50.3	-59.04	77.57	310	
M _{Ma}	40.37	78.64	-33.5	85.48	337	
N _{Ma}	11.58	0.0	0.0	0.0	0	
W _{Ma}	95.02	0.0	0.0	0.0	0	
R _{Ma}	39.92	58.74	27.99	65.07	25	
J _{Ma}	81.26	-2.89	71.56	71.62	92	
G _{Ma}	52.23	-42.42	13.6	44.55	162	
B _{Ma}	30.57	1.41	-46.47	46.49	272	

Daten für Maximalfarbe (Ma):

$LAB^*LAB^*_{Ma}$: 54 39 65

$LAB^*LCH^*_{Ma}$: 54 76 58

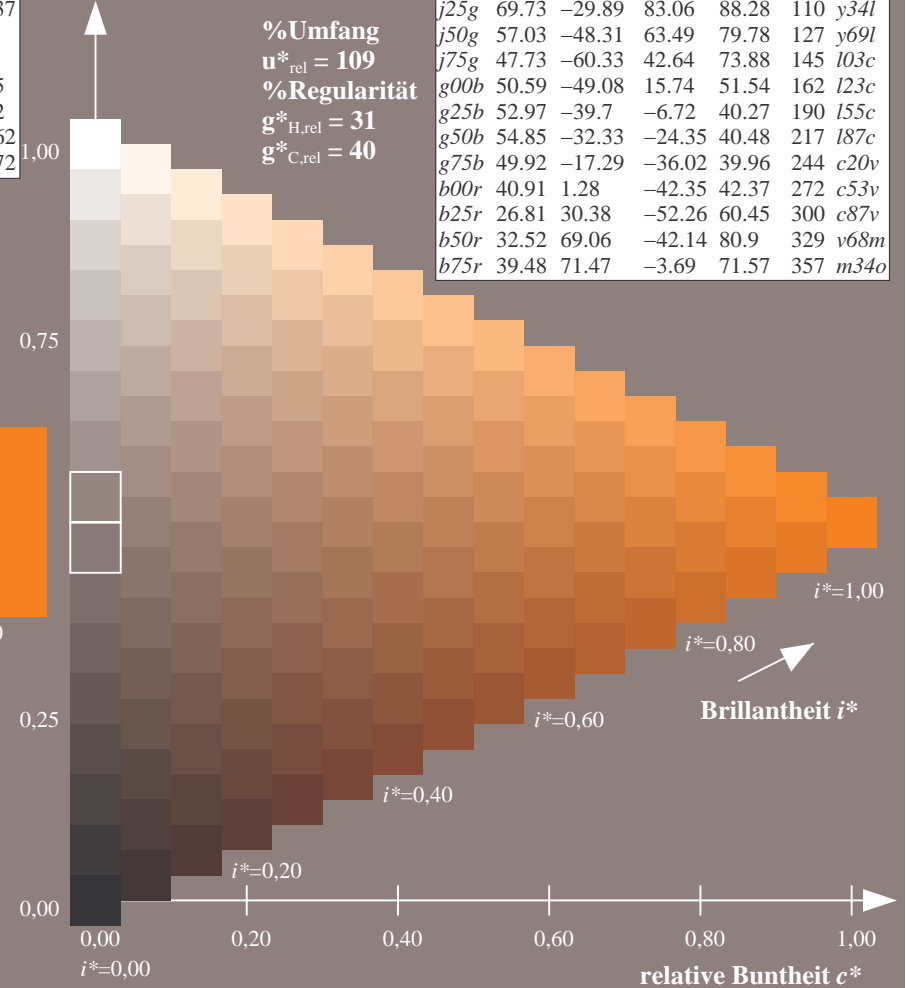
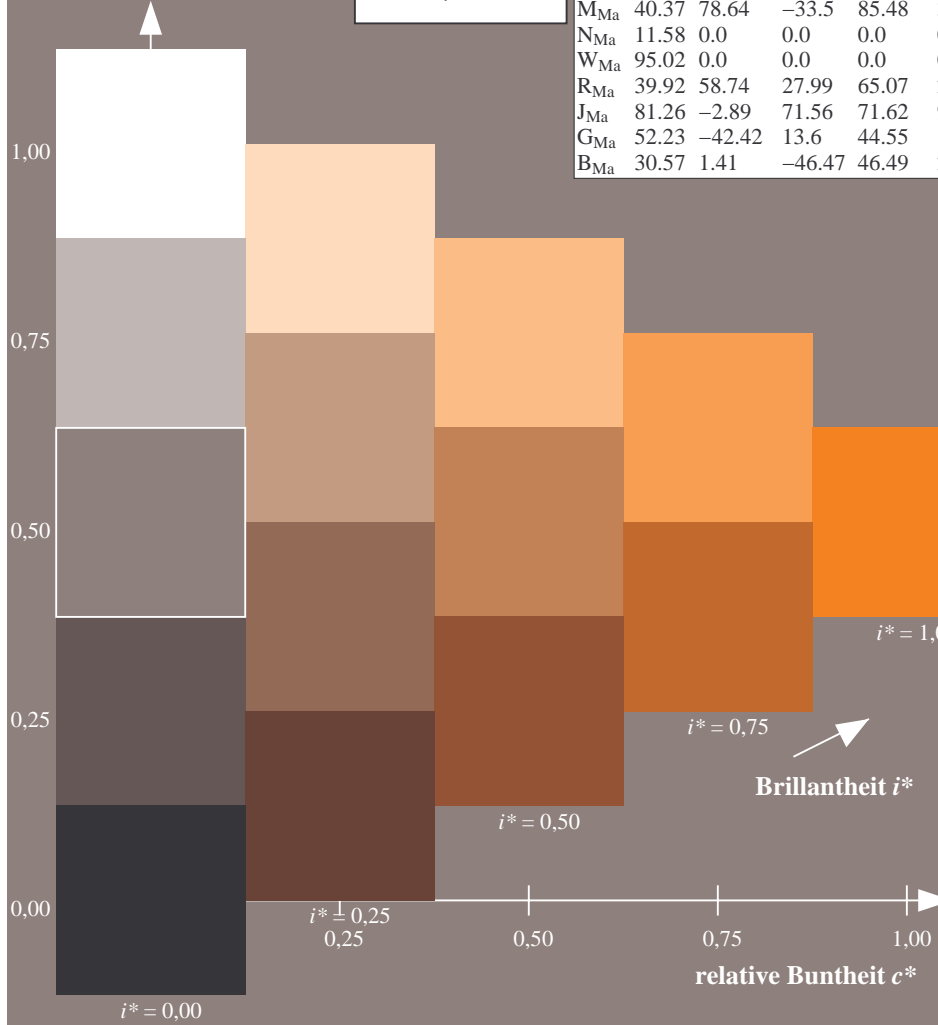
$lab^*rgb^*_{Ma}$: 1.0 0.5 0.0

$lab^*olv^*_{Ma}$: 1.0 0.4 0.0

Dreiecks-Helligkeit t^*

FRS12_95a; adaptierte CIELAB-Daten

u^*_e	$L^*=L^*_a$	a^*_a	b^*_a	$C^*_{ab,a}$	$h^*_{ab,a}$	u^*_d
r00j	38.47	63.32	30.17	70.15	25	m81o
r25j	42.12	54.56	49.45	73.64	42	o10y
r50j	53.64	39.15	64.89	75.79	59	o40y
r75j	67.01	21.26	82.83	85.52	76	o69y
j00g	86.18	-4.38	108.53	108.62	92	o98y
j25g	69.73	-29.89	83.06	88.28	110	y34l
j50g	57.03	-48.31	63.49	79.78	127	y69l
j75g	47.73	-60.33	42.64	73.88	145	l03c
g00b	50.59	-49.08	15.74	51.54	162	l23c
g25b	52.97	-39.7	-6.72	40.27	190	l55c
g50b	54.85	-32.33	-24.35	40.48	217	l87c
g75b	49.92	-17.29	-36.02	39.96	244	c20v
b00r	40.91	1.28	-42.35	42.37	272	c53v
b25r	26.81	30.38	-52.26	60.45	300	c87v
b50r	32.52	69.06	-42.14	80.9	329	v68m
b75r	39.48	71.47	-3.69	71.57	357	m34o



Ein und Ausgabe: Farbmetrisches Drucker-Reflektiv-System FRS12_95a, $L^*=12_95$ für relativen CIELAB-Bunton $h^* = lab^*h^* = h_{ab}/360 = 0.21$ $u^*_e = r75j$

Daten für jede Farbe:

lab^*tch^* und lab^*icu^*

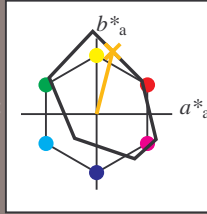
Buntontexte:

$u^*_e = r75j$ $u^*_d = o69y$

Kontrastreduzierungsfaktor:

$c_R = 1.0$

Dreiecks-Helligkeit t^*



FRS12_95a; adaptierte CIELAB-Daten						
u^*_e	$L^*=L^*_a$	a^*_a	b^*_a	$C^*_{ab,a}$	$h^*_{ab,a}$	
O _{Ma}	38.06	60.0	44.0	74.4	36	
Y _{Ma}	86.77	-5.17	109.32	109.44	93	
L _{Ma}	47.13	-62.67	48.24	79.09	142	
C _{Ma}	55.66	-29.14	-31.99	43.27	228	
V _{Ma}	17.15	50.3	-59.04	77.57	310	
M _{Ma}	40.37	78.64	-33.5	85.48	337	
N _{Ma}	11.58	0.0	0.0	0.0	0	
W _{Ma}	95.02	0.0	0.0	0.0	0	
R _{Ma}	39.92	58.74	27.99	65.07	25	
J _{Ma}	81.26	-2.89	71.56	71.62	92	
G _{Ma}	52.23	-42.42	13.6	44.55	162	
B _{Ma}	30.57	1.41	-46.47	46.49	272	

Daten für Maximalfarbe (Ma):

$LAB^*LAB^*_{Ma}$: 67 21 83

$LAB^*LCH^*_{Ma}$: 67 86 75

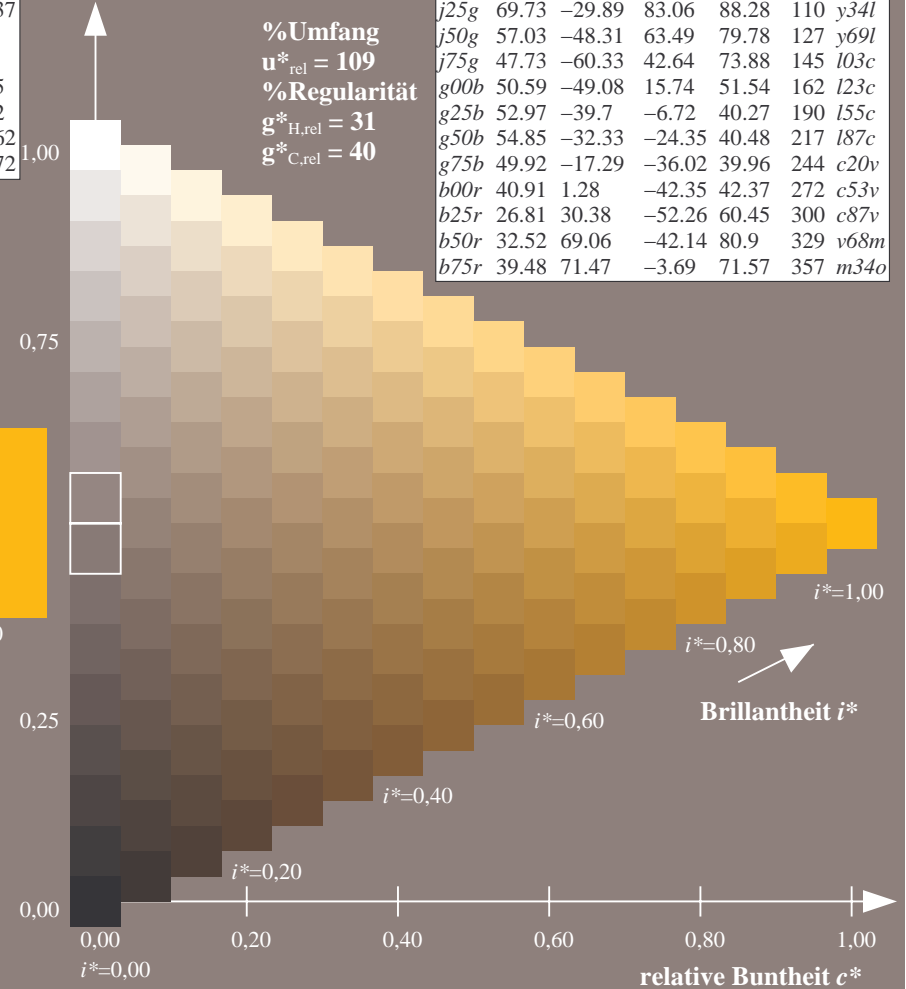
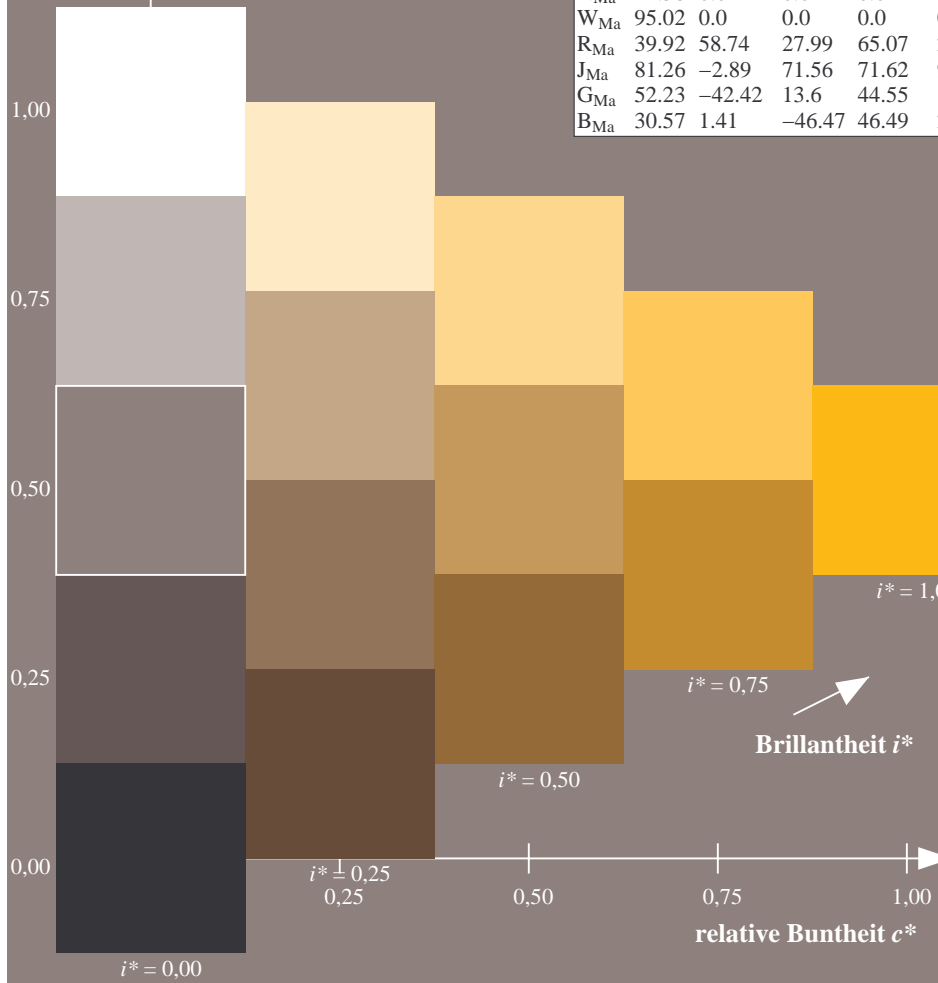
$lab^*rgb^*_{Ma}$: 1.0 0.75 0.0

$lab^*olv^*_{Ma}$: 1.0 0.7 0.0

Dreiecks-Helligkeit t^*

FRS12_95a; adaptierte CIELAB-Daten

u^*_e	$L^*=L^*_a$	a^*_a	b^*_a	$C^*_{ab,a}$	$h^*_{ab,a}$	u^*_d
r00j	38.47	63.32	30.17	70.15	25	m81o
r25j	42.12	54.56	49.45	73.64	42	o10y
r50j	53.64	39.15	64.89	75.79	59	o40y
r75j	67.01	21.26	82.83	85.52	76	o69y
j00g	86.18	-4.38	108.53	108.62	92	o98y
j25g	69.73	-29.89	83.06	88.28	110	y34l
j50g	57.03	-48.31	63.49	79.78	127	y69l
j75g	47.73	-60.33	42.64	73.88	145	l03c
g00b	50.59	-49.08	15.74	51.54	162	l23c
g25b	52.97	-39.7	-6.72	40.27	190	l55c
g50b	54.85	-32.33	-24.35	40.48	217	l87c
g75b	49.92	-17.29	-36.02	39.96	244	c20v
b00r	40.91	1.28	-42.35	42.37	272	c53v
b25r	26.81	30.38	-52.26	60.45	300	c87v
b50r	32.52	69.06	-42.14	80.9	329	v68m
b75r	39.48	71.47	-3.69	71.57	357	m34o



Ein und Ausgabe: Farbmatisches Drucker-Reflektiv-System FRS12_95a, $L^*=12_95$ für relativen CIELAB-Bunton $h^* = lab^*h^* = h_{ab}/360 = 0.256$ $u^*_e = j00g$

Daten für jede Farbe:

lab^*tch^* und lab^*icu^*

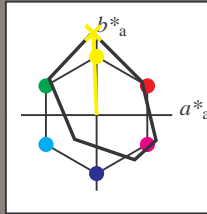
Buntontexte:

$u^*_e = j00g$ $u^*_d = o98y$

Kontrastreduzierungsfaktor:

$c_R = 1.0$

Dreiecks-Helligkeit t^*



FRS12_95a; adaptierte CIELAB-Daten						
u^*_e	$L^*=L^*_a$	a^*_a	b^*_a	$C^*_{ab,a}$	$h^*_{ab,a}$	
O _{Ma}	38.06	60.0	44.0	74.4	36	
Y _{Ma}	86.77	-5.17	109.32	109.44	93	
L _{Ma}	47.13	-62.67	48.24	79.09	142	
C _{Ma}	55.66	-29.14	-31.99	43.27	228	
V _{Ma}	17.15	50.3	-59.04	77.57	310	
M _{Ma}	40.37	78.64	-33.5	85.48	337	
N _{Ma}	11.58	0.0	0.0	0.0	0	
W _{Ma}	95.02	0.0	0.0	0.0	0	
R _{Ma}	39.92	58.74	27.99	65.07	25	
J _{Ma}	81.26	-2.89	71.56	71.62	92	
G _{Ma}	52.23	-42.42	13.6	44.55	162	
B _{Ma}	30.57	1.41	-46.47	46.49	272	

Daten für Maximalfarbe (Ma):

$LAB^*LAB^*_{Ma}$: 86 -4 109

$LAB^*LCH^*_{Ma}$: 86 109 92

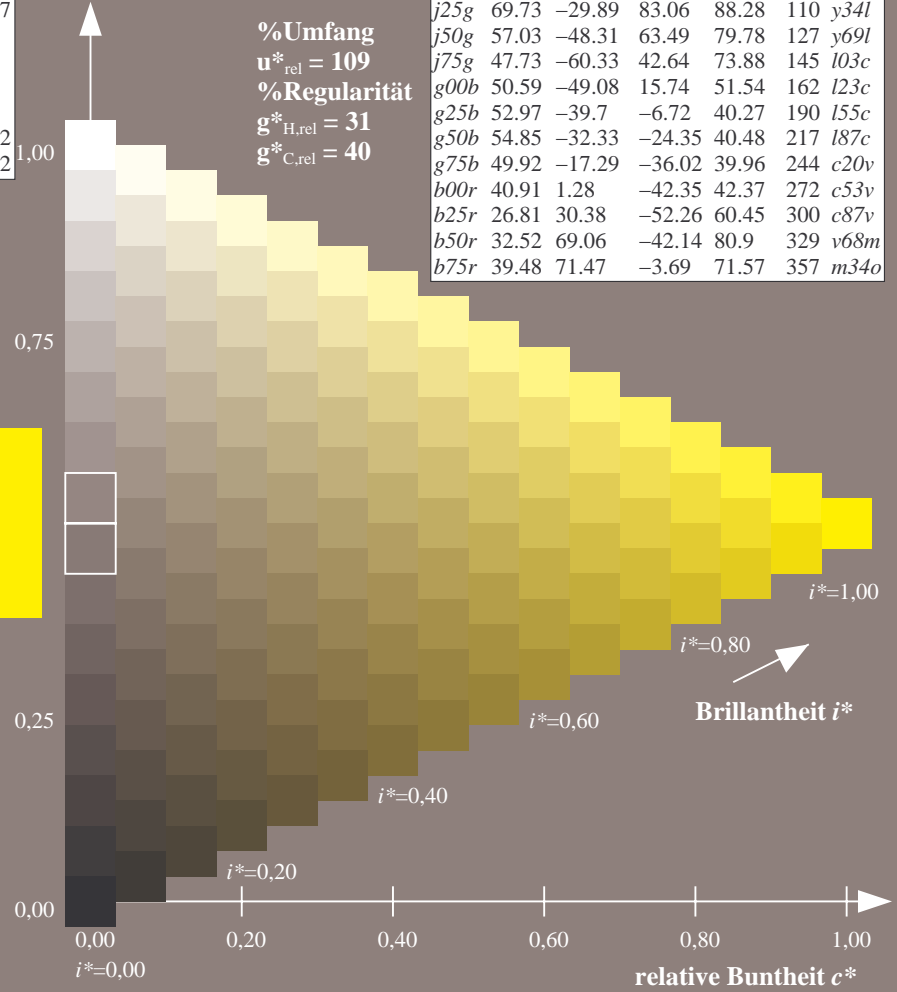
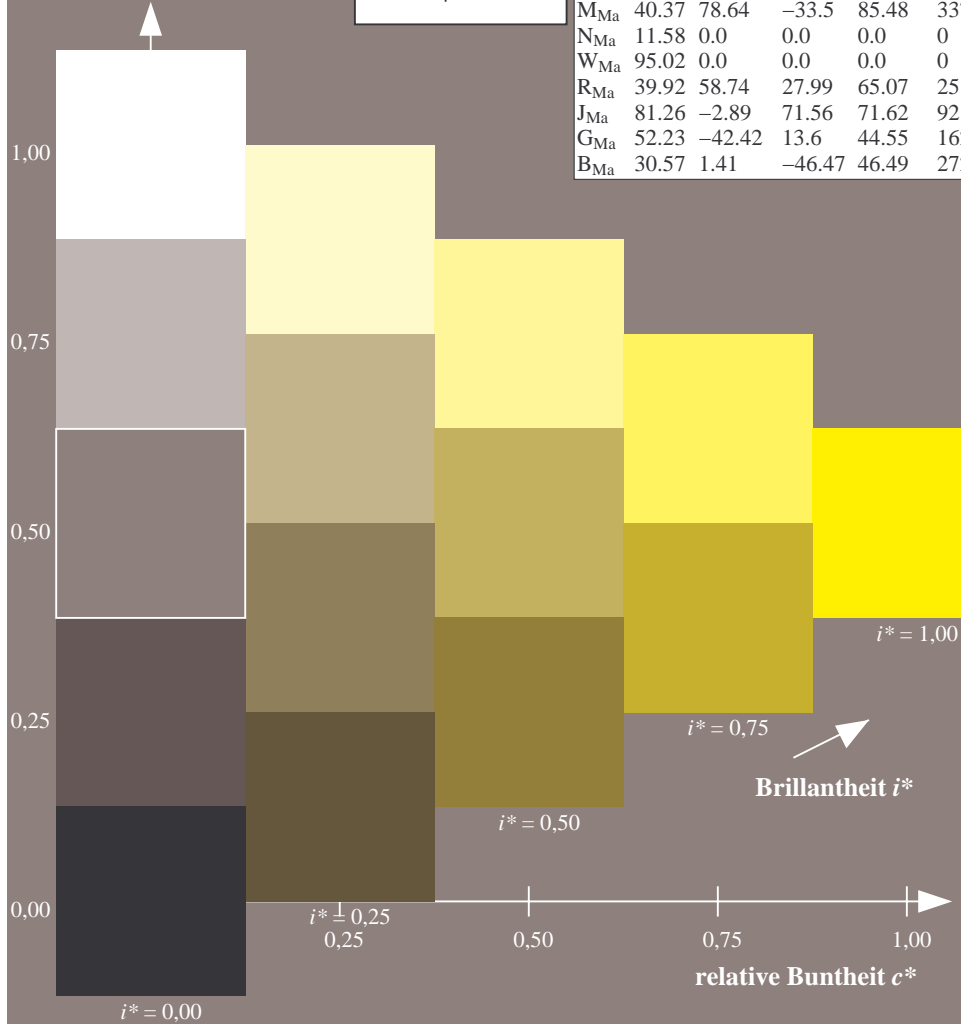
$lab^*rgb^*_{Ma}$: 1.0 1.0 0.0

$lab^*olv^*_{Ma}$: 1.0 0.99 0.0

Dreiecks-Helligkeit t^*

FRS12_95a; adaptierte CIELAB-Daten

u^*_e	$L^*=L^*_a$	a^*_a	b^*_a	$C^*_{ab,a}$	$h^*_{ab,a}$	u^*_d
r00j	38.47	63.32	30.17	70.15	25	m81o
r25j	42.12	54.56	49.45	73.64	42	o10y
r50j	53.64	39.15	64.89	75.79	59	o40y
r75j	67.01	21.26	82.83	85.52	76	o69y
j00g	86.18	-4.38	108.53	108.62	92	o98y
j25g	69.73	-29.89	83.06	88.28	110	y34l
j50g	57.03	-48.31	63.49	79.78	127	y69l
j75g	47.73	-60.33	42.64	73.88	145	l03c
g00b	50.59	-49.08	15.74	51.54	162	l23c
g25b	52.97	-39.7	-6.72	40.27	190	l55c
g50b	54.85	-32.33	-24.35	40.48	217	l87c
g75b	49.92	-17.29	-36.02	39.96	244	c20v
b00r	40.91	1.28	-42.35	42.37	272	c53v
b25r	26.81	30.38	-52.26	60.45	300	c87v
b50r	32.52	69.06	-42.14	80.9	329	v68m
b75r	39.48	71.47	-3.69	71.57	357	m34o



Ein und Ausgabe: Farbmatisches Drucker-Reflektiv-System FRS12_95a, $L^*=12_95$ für relativen CIELAB-Bunton $h^* = lab^*h^* = h_{ab}/360 = 0.305$ $u^*_e = j25g$

Daten für jede Farbe:

lab^*tch^* und lab^*icu^*

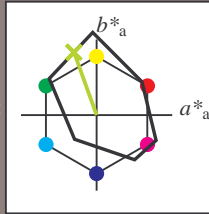
Buntontexte:

$u^*_e = j25g$ $u^*_d = y34l$

Kontrastreduzierungsfaktor:

$c_R = 1.0$

Dreiecks-Helligkeit t^*



FRS12_95a; adaptierte CIELAB-Daten						
u^*_e	$L^*=L^*_a$	a^*_a	b^*_a	$C^*_{ab,a}$	$h^*_{ab,a}$	
O _{Ma}	38.06	60.0	44.0	74.4	36	
Y _{Ma}	86.77	-5.17	109.32	109.44	93	
L _{Ma}	47.13	-62.67	48.24	79.09	142	
C _{Ma}	55.66	-29.14	-31.99	43.27	228	
V _{Ma}	17.15	50.3	-59.04	77.57	310	
M _{Ma}	40.37	78.64	-33.5	85.48	337	
N _{Ma}	11.58	0.0	0.0	0.0	0	
W _{Ma}	95.02	0.0	0.0	0.0	0	
R _{Ma}	39.92	58.74	27.99	65.07	25	
J _{Ma}	81.26	-2.89	71.56	71.62	92	
G _{Ma}	52.23	-42.42	13.6	44.55	162	
B _{Ma}	30.57	1.41	-46.47	46.49	272	

Daten für Maximalfarbe (Ma):

$LAB^*LAB^*_{Ma}$: 70 -30 83

$LAB^*LCH^*_{Ma}$: 70 88 109

$lab^*rgb^*_{Ma}$: 0.75 1.0 0.0

$lab^*olv^*_{Ma}$: 0.66 1.0 0.0

Dreiecks-Helligkeit t^*

%Umfang

$u^*_{rel} = 109$

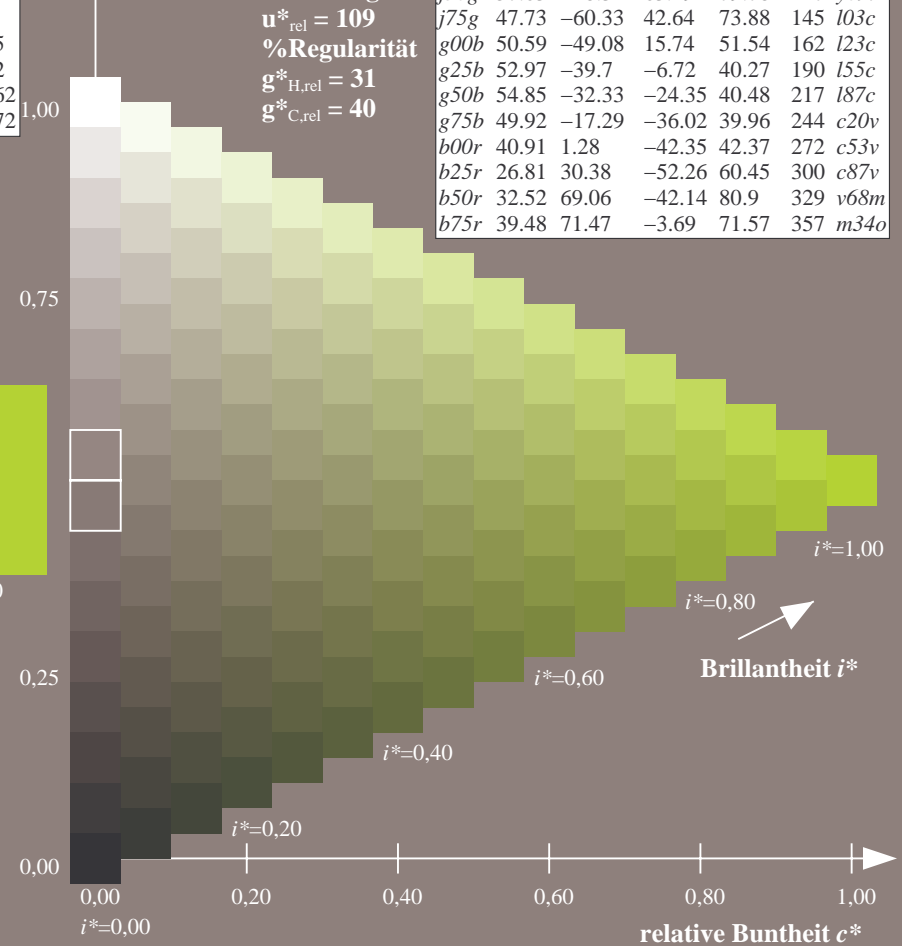
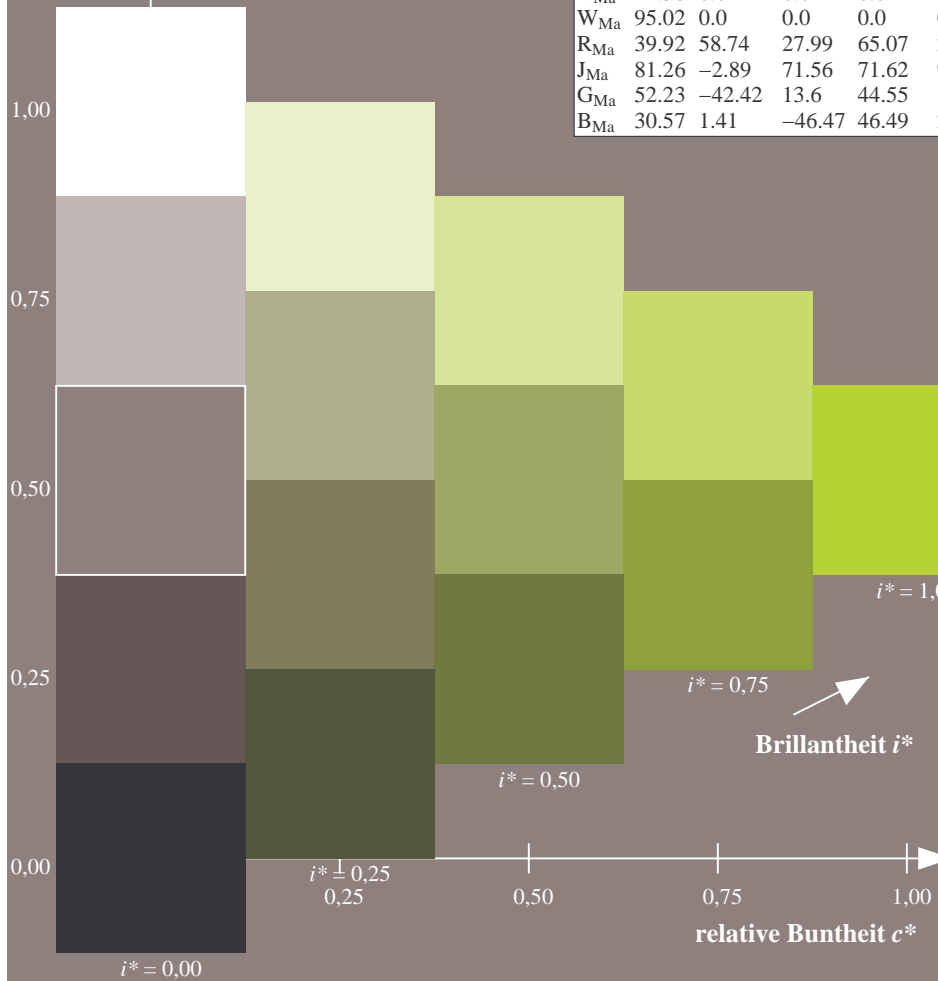
%Regularität

$g^*_{H,rel} = 31$

$g^*_{C,rel} = 40$

FRS12_95a; adaptierte CIELAB-Daten

u^*_e	$L^*=L^*_a$	a^*_a	b^*_a	$C^*_{ab,a}$	$h^*_{ab,a}$	u^*_d
r00j	38.47	63.32	30.17	70.15	25	m81o
r25j	42.12	54.56	49.45	73.64	42	o10y
r50j	53.64	39.15	64.89	75.79	59	o40y
r75j	67.01	21.26	82.83	85.52	76	o69y
j00g	86.18	-4.38	108.53	108.62	92	o98y
j25g	69.73	-29.89	83.06	88.28	110	y34l
j50g	57.03	-48.31	63.49	79.78	127	y69l
j75g	47.73	-60.33	42.64	73.88	145	l03c
g00b	50.59	-49.08	15.74	51.54	162	l23c
g25b	52.97	-39.7	-6.72	40.27	190	l55c
g50b	54.85	-32.33	-24.35	40.48	217	l87c
g75b	49.92	-17.29	-36.02	39.96	244	c20v
b00r	40.91	1.28	-42.35	42.37	272	c53v
b25r	26.81	30.38	-52.26	60.45	300	c87v
b50r	32.52	69.06	-42.14	80.9	329	v68m
b75r	39.48	71.47	-3.69	71.57	357	m34o



Ein und Ausgabe: Farbmetrisches Drucker-Reflektiv-System FRS12_95a, $L^*=12_95$ für relativen CIELAB-Bunton $h^* = lab^*h^* = h_{ab}/360 = 0.354$ $u^*_e = j50g$

Daten für jede Farbe:

lab^*tch^* und lab^*icu^*

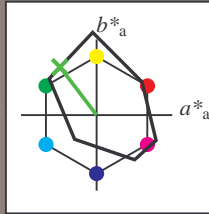
Buntontexte:

$u^*_e = j50g$ $u^*_d = y69l$

Kontrastreduzierungsfaktor:

$c_R = 1.0$

Dreiecks-Helligkeit t^*



FRS12_95a; adaptierte CIELAB-Daten						
u^*_e	$L^*=L^*_a$	a^*_a	b^*_a	$C^*_{ab,a}$	$h^*_{ab,a}$	
O _{Ma}	38.06	60.0	44.0	74.4	36	
Y _{Ma}	86.77	-5.17	109.32	109.44	93	
L _{Ma}	47.13	-62.67	48.24	79.09	142	
C _{Ma}	55.66	-29.14	-31.99	43.27	228	
V _{Ma}	17.15	50.3	-59.04	77.57	310	
M _{Ma}	40.37	78.64	-33.5	85.48	337	
N _{Ma}	11.58	0.0	0.0	0.0	0	
W _{Ma}	95.02	0.0	0.0	0.0	0	
R _{Ma}	39.92	58.74	27.99	65.07	25	
J _{Ma}	81.26	-2.89	71.56	71.62	92	
G _{Ma}	52.23	-42.42	13.6	44.55	162	
B _{Ma}	30.57	1.41	-46.47	46.49	272	

Daten für Maximalfarbe (Ma):

$LAB^*LAB^*_{Ma}: 57 -48 63$

$LAB^*LCH^*_{Ma}: 57 80 127$

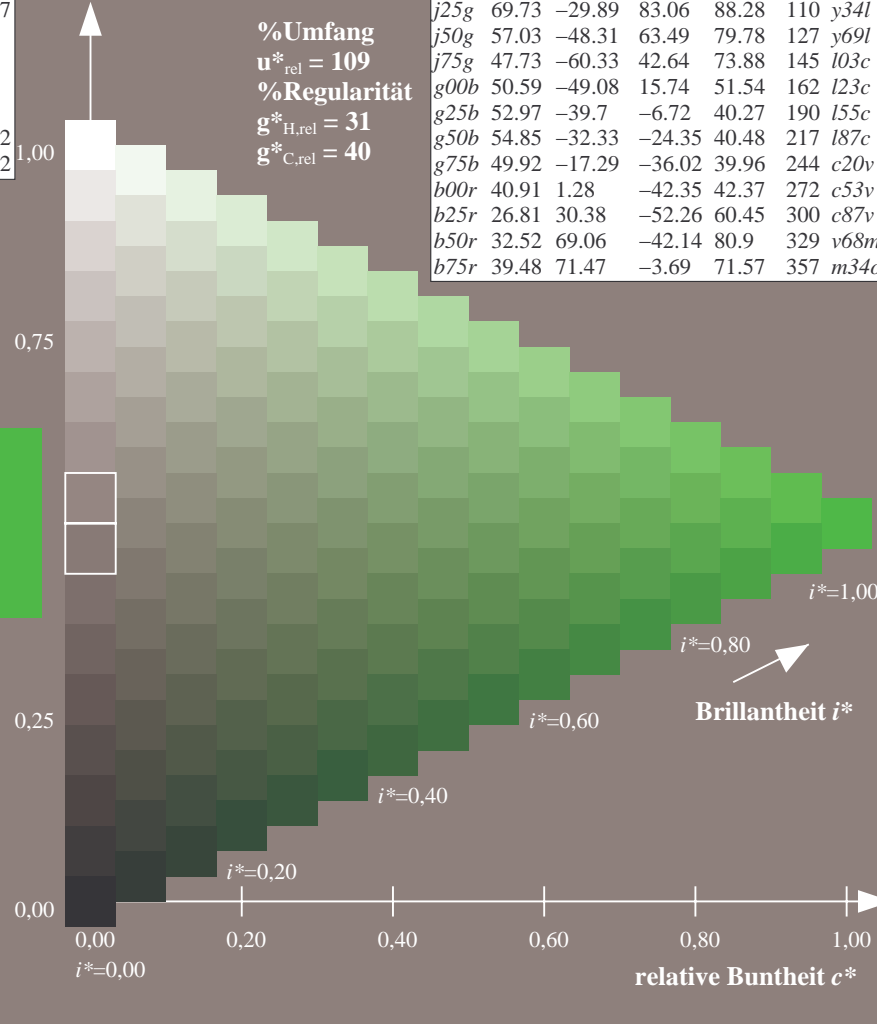
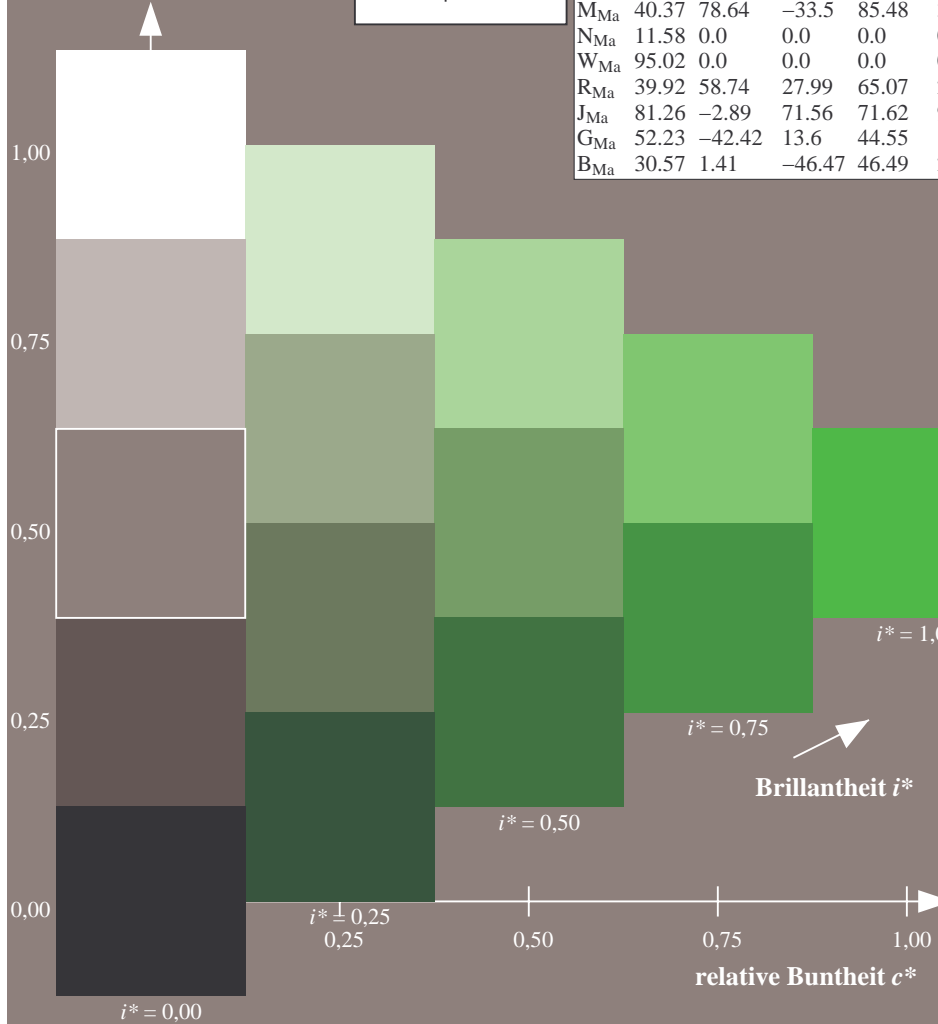
$lab^*rgb^*_{Ma}: 0.5 1.0 0.0$

$lab^*olv^*_{Ma}: 0.3 1.0 0.0$

Dreiecks-Helligkeit t^*

FRS12_95a; adaptierte CIELAB-Daten

u^*_e	$L^*=L^*_a$	a^*_a	b^*_a	$C^*_{ab,a}$	$h^*_{ab,a}$	u^*_d
r00j	38.47	63.32	30.17	70.15	25	m81o
r25j	42.12	54.56	49.45	73.64	42	o10y
r50j	53.64	39.15	64.89	75.79	59	o40y
r75j	67.01	21.26	82.83	85.52	76	o69y
j00g	86.18	-4.38	108.53	108.62	92	o98y
j25g	69.73	-29.89	83.06	88.28	110	y34l
j50g	57.03	-48.31	63.49	79.78	127	y69l
j75g	47.73	-60.33	42.64	73.88	145	l03c
g00b	50.59	-49.08	15.74	51.54	162	l23c
g25b	52.97	-39.7	-6.72	40.27	190	l55c
g50b	54.85	-32.33	-24.35	40.48	217	l87c
g75b	49.92	-17.29	-36.02	39.96	244	c20v
b00r	40.91	1.28	-42.35	42.37	272	c53v
b25r	26.81	30.38	-52.26	60.45	300	c87v
b50r	32.52	69.06	-42.14	80.9	329	v68m
b75r	39.48	71.47	-3.69	71.57	357	m34o



%Umfang
 $u^*_{rel} = 109$
 %Regularität
 $g^*_{H,rel} = 31$
 $g^*_{C,rel} = 40$

Ein und Ausgabe: Farbmetrisches Drucker-Reflektiv-System FRS12_95a, $L^*=12_95$ für relativen CIELAB-Bunton $h^* = lab^*h^* = h_{ab}/360 = 0.402$ $u^*_e = j75g$

Daten für jede Farbe:

lab^*tch^* und lab^*icu^*

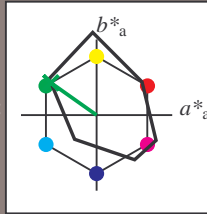
Buntontexte:

$u^*_e = j75g$ $u^*_d = l03c$

Kontrastreduzierungsfaktor:

$c_R = 1.0$

Dreiecks-Helligkeit t^*



FRS12_95a; adaptierte CIELAB-Daten

u^*_e	$L^*=L^*_a$	a^*_a	b^*_a	$C^*_{ab,a}$	$h^*_{ab,a}$
O _{Ma}	38.06	60.0	44.0	74.4	36
Y _{Ma}	86.77	-5.17	109.32	109.44	93
L _{Ma}	47.13	-62.67	48.24	79.09	142
C _{Ma}	55.66	-29.14	-31.99	43.27	228
V _{Ma}	17.15	50.3	-59.04	77.57	310
M _{Ma}	40.37	78.64	-33.5	85.48	337
N _{Ma}	11.58	0.0	0.0	0.0	0
W _{Ma}	95.02	0.0	0.0	0.0	0
R _{Ma}	39.92	58.74	27.99	65.07	25
J _{Ma}	81.26	-2.89	71.56	71.62	92
G _{Ma}	52.23	-42.42	13.6	44.55	162
B _{Ma}	30.57	1.41	-46.47	46.49	272

Daten für Maximalfarbe (Ma):

$LAB^*LAB^*_{Ma}$: 48 -60 43

$LAB^*LCH^*_{Ma}$: 48 74 144

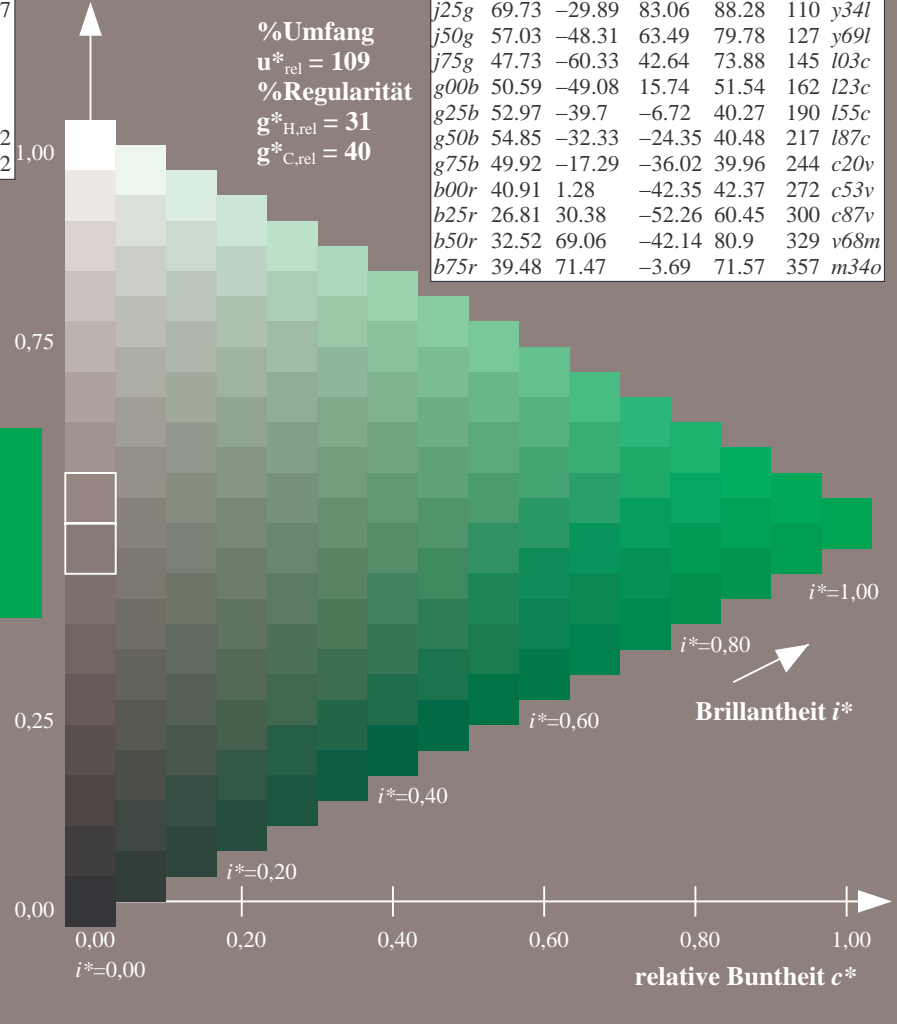
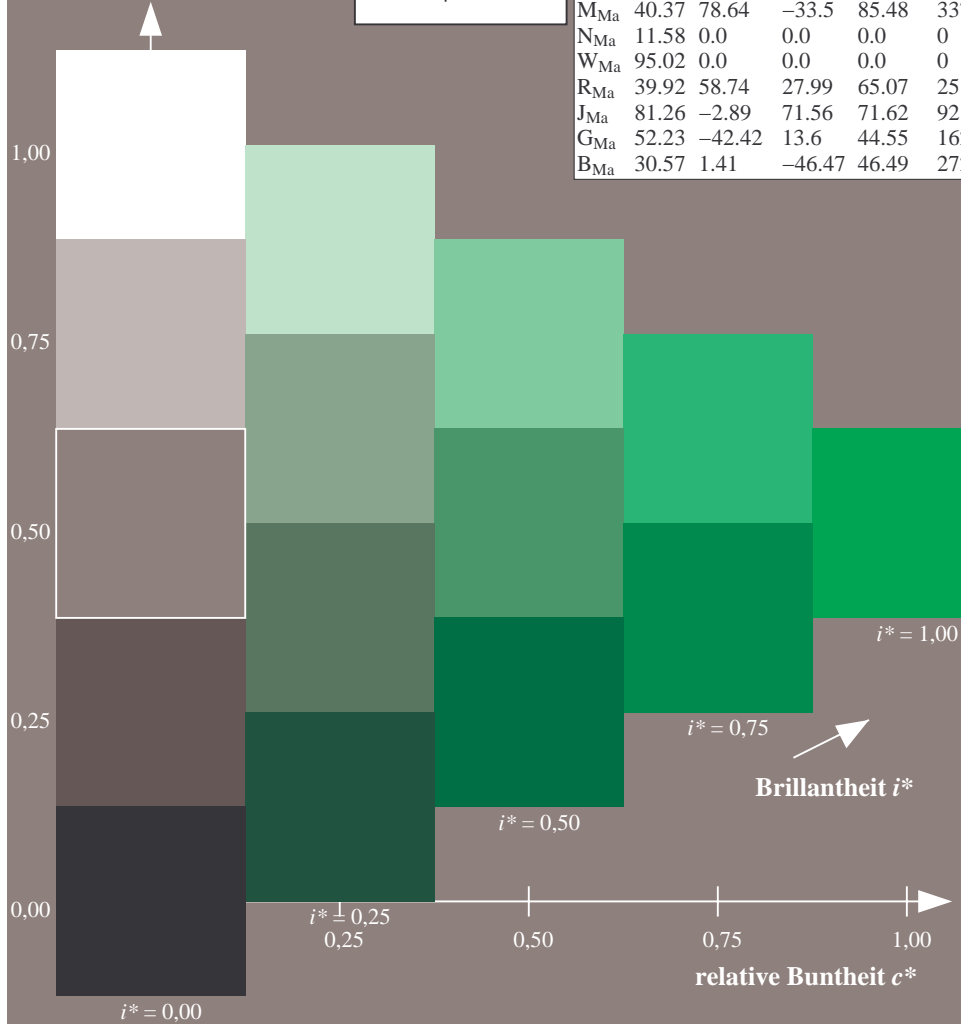
$lab^*rgb^*_{Ma}$: 0.25 1.0 0.0

$lab^*olv^*_{Ma}$: 0.0 1.0 0.03

Dreiecks-Helligkeit t^*

FRS12_95a; adaptierte CIELAB-Daten

u^*_e	$L^*=L^*_a$	a^*_a	b^*_a	$C^*_{ab,a}$	$h^*_{ab,a}$	u^*_d
r00j	38.47	63.32	30.17	70.15	25	m81o
r25j	42.12	54.56	49.45	73.64	42	o10y
r50j	53.64	39.15	64.89	75.79	59	o40y
r75j	67.01	21.26	82.83	85.52	76	o69y
j00g	86.18	-4.38	108.53	108.62	92	o98y
j25g	69.73	-29.89	83.06	88.28	110	y34l
j50g	57.03	-48.31	63.49	79.78	127	y69l
j75g	47.73	-60.33	42.64	73.88	145	l03c
g00b	50.59	-49.08	15.74	51.54	162	l23c
g25b	52.97	-39.7	-6.72	40.27	190	l55c
g50b	54.85	-32.33	-24.35	40.48	217	l87c
g75b	49.92	-17.29	-36.02	39.96	244	c20v
b00r	40.91	1.28	-42.35	42.37	272	c53v
b25r	26.81	30.38	-52.26	60.45	300	c87v
b50r	32.52	69.06	-42.14	80.9	329	v68m
b75r	39.48	71.47	-3.69	71.57	357	m34o



Ein und Ausgabe: Farbmetrisches Drucker-Reflektiv-System FRS12_95a, $L^*=12_95$ für relativen CIELAB-Bunton $h^* = lab^*h^* = h_{ab}/360 = 0.451$ $u^*_e = g00b$

Daten für jede Farbe:

lab^*tch^* und lab^*icu^*

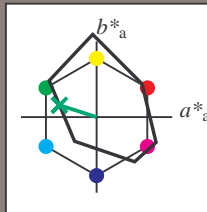
Buntontexte:

$u^*_e = g00b$ $u^*_d = l23c$

Kontrastreduzierungsfaktor:

$c_R = 1.0$

Dreiecks-Helligkeit t^*



FRS12_95a; adaptierte CIELAB-Daten

	u^*_e	$L^*=L^*_a$	a^*_a	b^*_a	$C^*_{ab,a}$	$h^*_{ab,a}$
O _{Ma}	38.06	60.0	44.0	74.4	36	
Y _{Ma}	86.77	-5.17	109.32	109.44	93	
L _{Ma}	47.13	-62.67	48.24	79.09	142	
C _{Ma}	55.66	-29.14	-31.99	43.27	228	
V _{Ma}	17.15	50.3	-59.04	77.57	310	
M _{Ma}	40.37	78.64	-33.5	85.48	337	
N _{Ma}	11.58	0.0	0.0	0.0	0	
W _{Ma}	95.02	0.0	0.0	0.0	0	
R _{Ma}	39.92	58.74	27.99	65.07	25	
J _{Ma}	81.26	-2.89	71.56	71.62	92	
G _{Ma}	52.23	-42.42	13.6	44.55	162	
B _{Ma}	30.57	1.41	-46.47	46.49	272	

Daten für Maximalfarbe (Ma):

$LAB^*LAB^*_{Ma}: 51 -49 16$

$LAB^*LCH^*_{Ma}: 51 52 162$

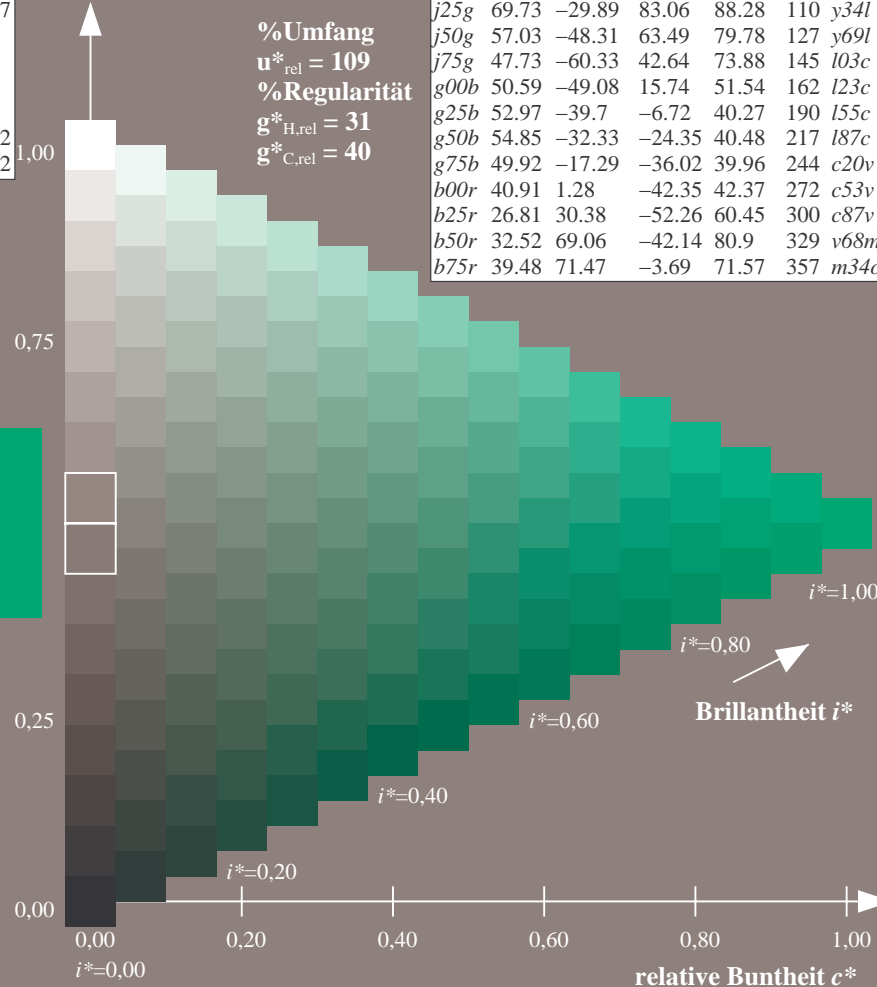
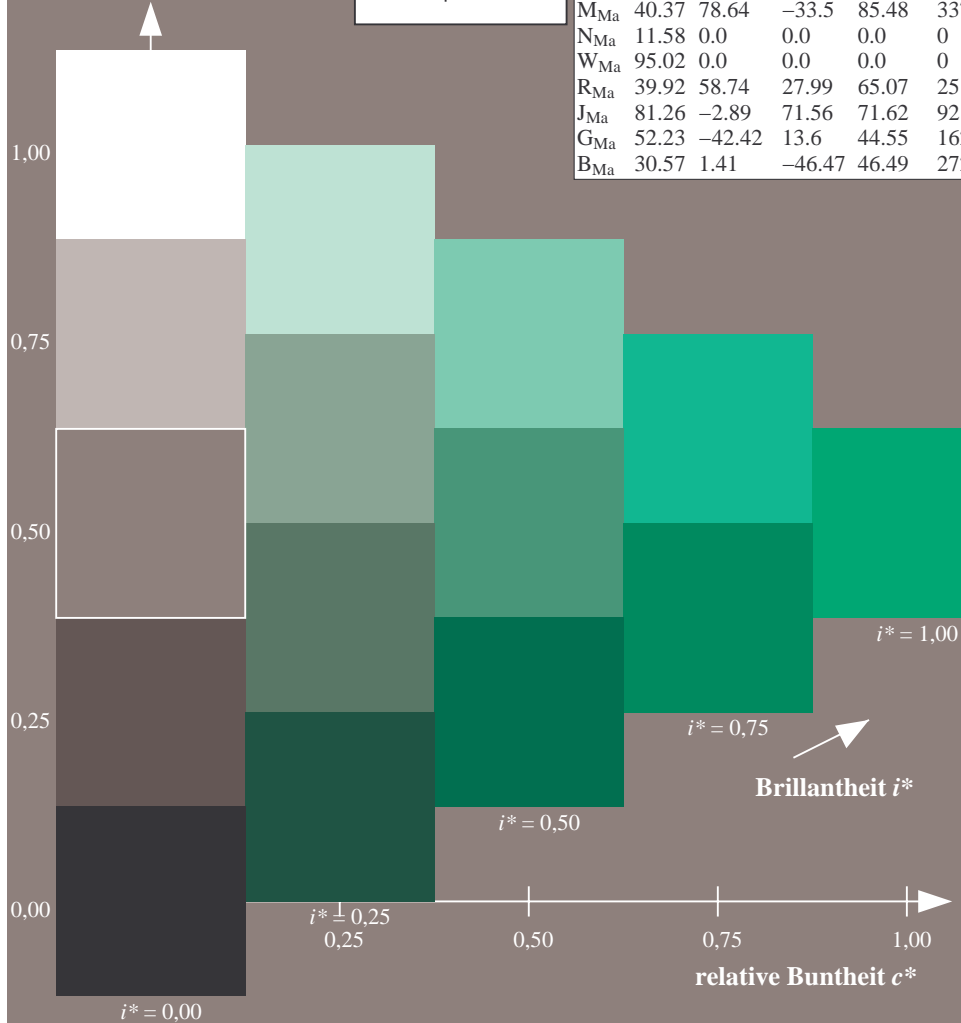
$lab^*rgb^*_{Ma}: 0.0 1.0 0.0$

$lab^*olv^*_{Ma}: 0.0 1.0 0.23$

Dreiecks-Helligkeit t^*

FRS12_95a; adaptierte CIELAB-Daten

	u^*_e	$L^*=L^*_a$	a^*_a	b^*_a	$C^*_{ab,a}$	$h^*_{ab,a}$	u^*_d
r00j	38.47	63.32	30.17	70.15	25	m81o	
r25j	42.12	54.56	49.45	73.64	42	o10y	
r50j	53.64	39.15	64.89	75.79	59	o40y	
r75j	67.01	21.26	82.83	85.52	76	o69y	
j00g	86.18	-4.38	108.53	108.62	92	o98y	
j25g	69.73	-29.89	83.06	88.28	110	y34l	
j50g	57.03	-48.31	63.49	79.78	127	y69l	
j75g	47.73	-60.33	42.64	73.88	145	l03c	
g00b	50.59	-49.08	15.74	51.54	162	l23c	
g25b	52.97	-39.7	-6.72	40.27	190	l55c	
g50b	54.85	-32.33	-24.35	40.48	217	l87c	
g75b	49.92	-17.29	-36.02	39.96	244	c20v	
b00r	40.91	1.28	-42.35	42.37	272	c53v	
b25r	26.81	30.38	-52.26	60.45	300	c87v	
b50r	32.52	69.06	-42.14	80.9	329	v68m	
b75r	39.48	71.47	-3.69	71.57	357	m34o	



Ein und Ausgabe: Farbmetrisches Drucker-Reflektiv-System FRS12_95a, $L^*=12_95$ für relativen CIELAB-Bunton $h^* = lab^*h^* = h_{ab}/360 = 0.527$ $u^*_e = g25b$

Daten für jede Farbe:

lab^*tch^* und lab^*icu^*

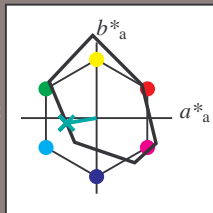
Buntontexte:

$u^*_e = g25b$ $u^*_d = l55c$

Kontrastreduzierungsfaktor:

$c_R = 1.0$

Dreiecks-Helligkeit t^*



FRS12_95a; adaptierte CIELAB-Daten

	u^*_e	$L^*=L^*_a$	a^*_a	b^*_a	$C^*_{ab,a}$	$h^*_{ab,a}$
O _{Ma}	38.06	60.0	44.0	74.4	36	
Y _{Ma}	86.77	-5.17	109.32	109.44	93	
L _{Ma}	47.13	-62.67	48.24	79.09	142	
C _{Ma}	55.66	-29.14	-31.99	43.27	228	
V _{Ma}	17.15	50.3	-59.04	77.57	310	
M _{Ma}	40.37	78.64	-33.5	85.48	337	
N _{Ma}	11.58	0.0	0.0	0.0	0	
W _{Ma}	95.02	0.0	0.0	0.0	0	
R _{Ma}	39.92	58.74	27.99	65.07	25	
J _{Ma}	81.26	-2.89	71.56	71.62	92	
G _{Ma}	52.23	-42.42	13.6	44.55	162	
B _{Ma}	30.57	1.41	-46.47	46.49	272	

Daten für Maximalfarbe (Ma):

$LAB^*LAB^*_{Ma}: 53 -40 -7$

$LAB^*LCH^*_{Ma}: 53 40 189$

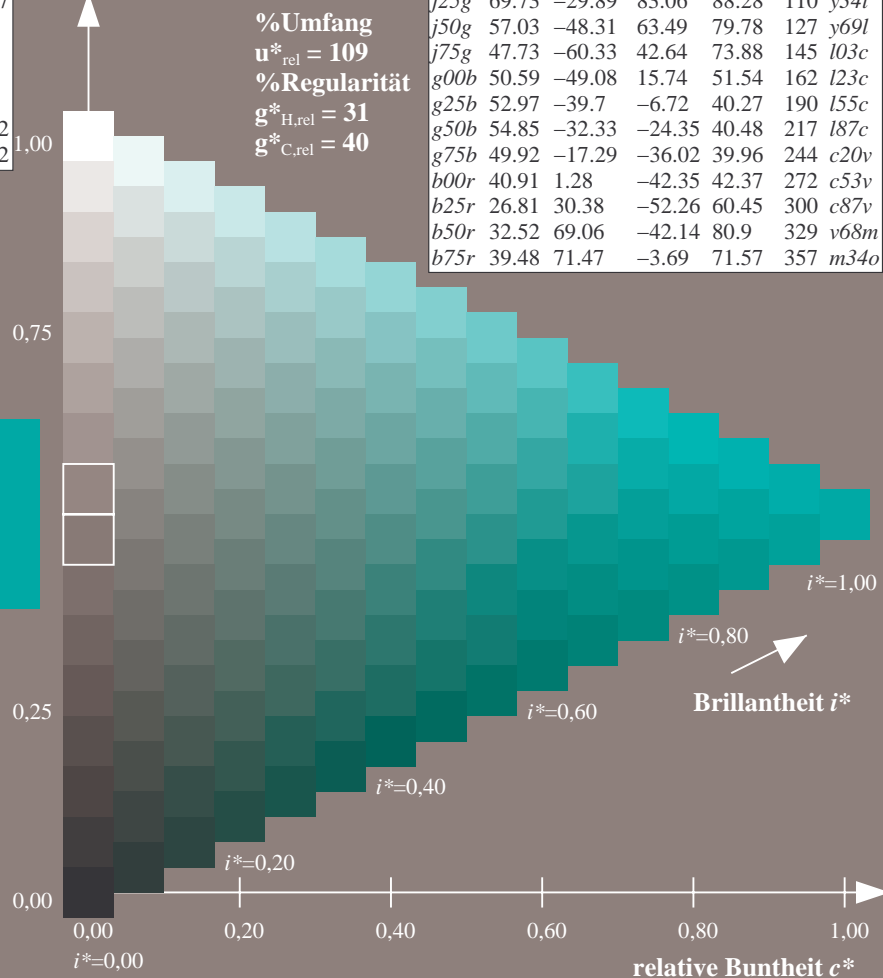
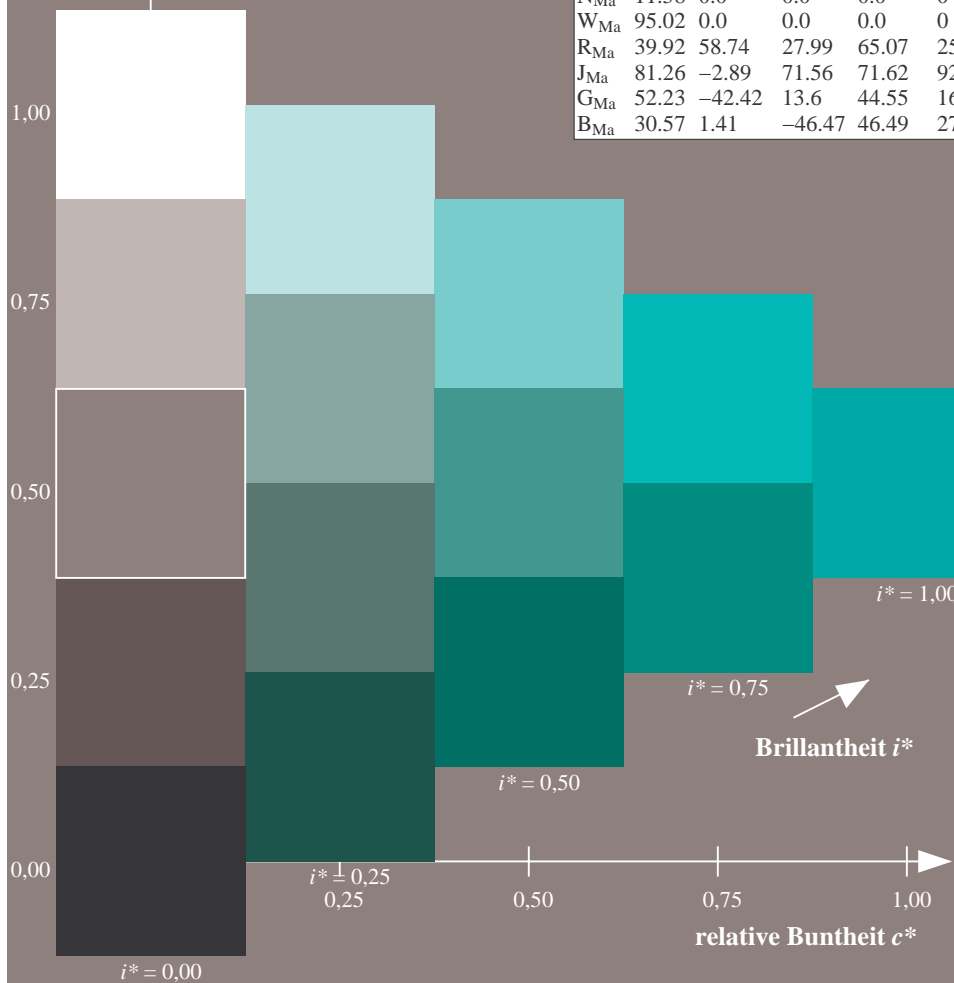
$lab^*rgb^*_{Ma}: 0.0 1.0 0.5$

$lab^*olv^*_{Ma}: 0.0 1.0 0.55$

Dreiecks-Helligkeit t^*

FRS12_95a; adaptierte CIELAB-Daten

	u^*_e	$L^*=L^*_a$	a^*_a	b^*_a	$C^*_{ab,a}$	$h^*_{ab,a}$	u^*_d
r00j	38.47	63.32	30.17	70.15	25	m81o	
r25j	42.12	54.56	49.45	73.64	42	o10y	
r50j	53.64	39.15	64.89	75.79	59	o40y	
r75j	67.01	21.26	82.83	85.52	76	o69y	
j00g	86.18	-4.38	108.53	108.62	92	o98y	
j25g	69.73	-29.89	83.06	88.28	110	y34l	
j50g	57.03	-48.31	63.49	79.78	127	y69l	
j75g	47.73	-60.33	42.64	73.88	145	l03c	
g00b	50.59	-49.08	15.74	51.54	162	l23c	
g25b	52.97	-39.7	-6.72	40.27	190	l55c	
g50b	54.85	-32.33	-24.35	40.48	217	l87c	
g75b	49.92	-17.29	-36.02	39.96	244	c20v	
b00r	40.91	1.28	-42.35	42.37	272	c53v	
b25r	26.81	30.38	-52.26	60.45	300	c87v	
b50r	32.52	69.06	-42.14	80.9	329	v68m	
b75r	39.48	71.47	-3.69	71.57	357	m34o	



Ein und Ausgabe: Farbmetrisches Drucker-Reflektiv-System FRS12_95a, $L^*=12_95$ für relativen CIELAB-Bunton $h^* = lab^*h^* = h_{ab}/360 = 0.603$ $u^*_e = g50b$

Daten für jede Farbe:

lab^*tch^* und lab^*icu^*

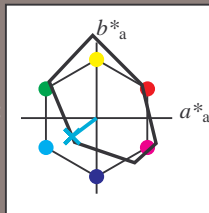
Buntontexte:

$u^*_e = g50b$ $u^*_d = l87c$

Kontrastreduzierungsfaktor:

$c_R = 1.0$

Dreiecks-Helligkeit t^*



FRS12_95a; adaptierte CIELAB-Daten

	u^*_e	$L^*=L^*_a$	a^*_a	b^*_a	$C^*_{ab,a}$	$h^*_{ab,a}$
O _{Ma}	38.06	60.0	44.0	74.4	36	
Y _{Ma}	86.77	-5.17	109.32	109.44	93	
L _{Ma}	47.13	-62.67	48.24	79.09	142	
C _{Ma}	55.66	-29.14	-31.99	43.27	228	
V _{Ma}	17.15	50.3	-59.04	77.57	310	
M _{Ma}	40.37	78.64	-33.5	85.48	337	
N _{Ma}	11.58	0.0	0.0	0.0	0	
W _{Ma}	95.02	0.0	0.0	0.0	0	
R _{Ma}	39.92	58.74	27.99	65.07	25	
J _{Ma}	81.26	-2.89	71.56	71.62	92	
G _{Ma}	52.23	-42.42	13.6	44.55	162	
B _{Ma}	30.57	1.41	-46.47	46.49	272	

Daten für Maximalfarbe (Ma):

$LAB^*LAB^*_{Ma}: 55 -32 -24$

$LAB^*LCH^*_{Ma}: 55 40 216$

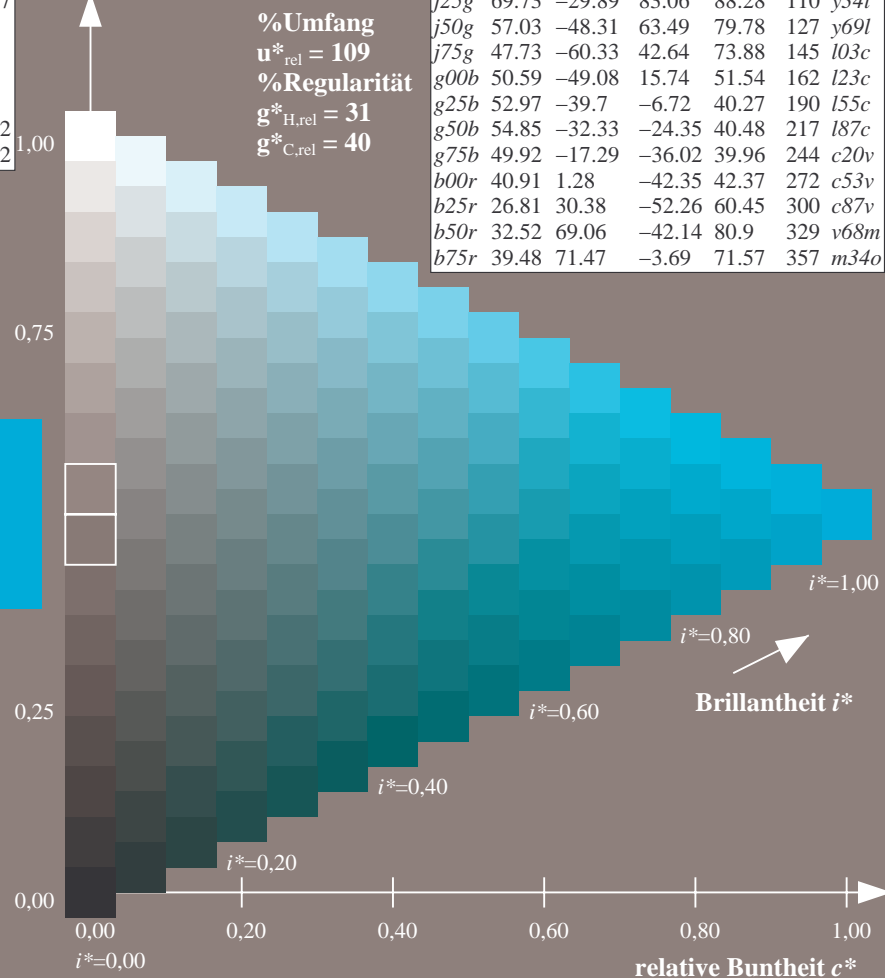
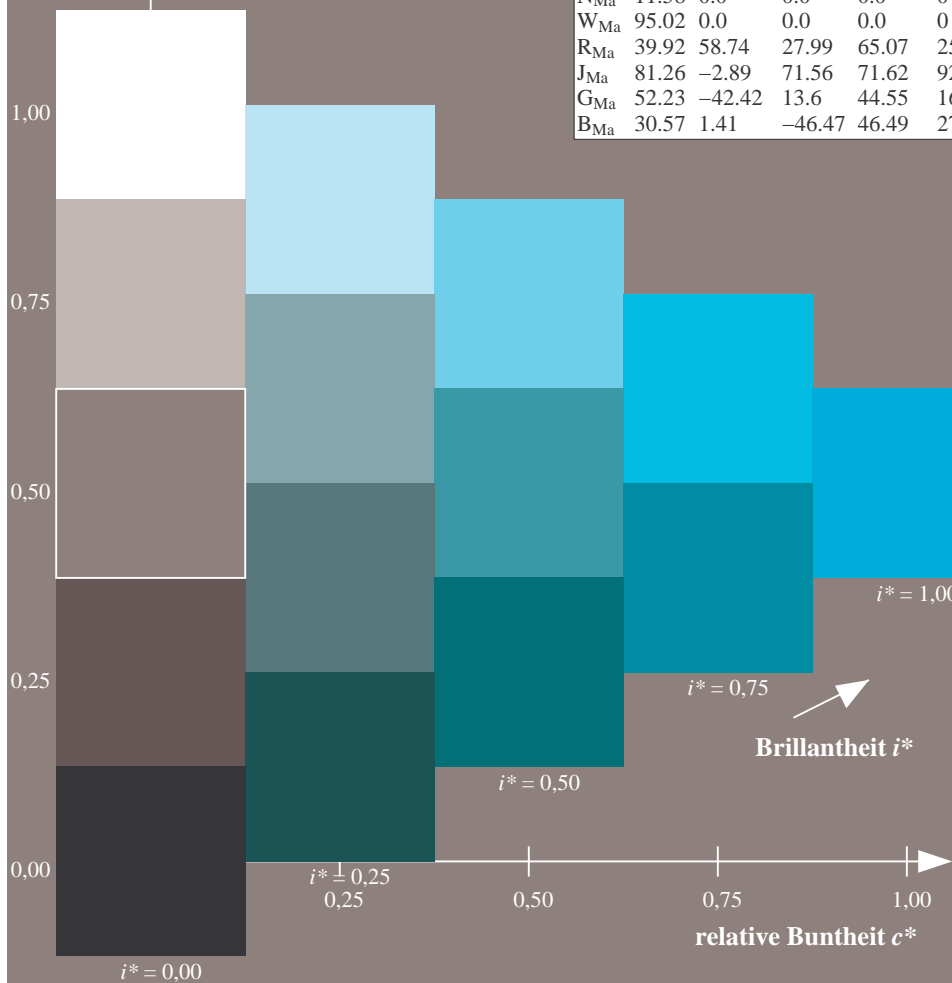
$lab^*rgb^*_{Ma}: 0.0 1.0 1.0$

$lab^*olv^*_{Ma}: 0.0 1.0 0.87$

Dreiecks-Helligkeit t^*

FRS12_95a; adaptierte CIELAB-Daten

	u^*_e	$L^*=L^*_a$	a^*_a	b^*_a	$C^*_{ab,a}$	$h^*_{ab,a}$	u^*_d
r00j	38.47	63.32	30.17	70.15	25	m81o	
r25j	42.12	54.56	49.45	73.64	42	o10y	
r50j	53.64	39.15	64.89	75.79	59	o40y	
r75j	67.01	21.26	82.83	85.52	76	o69y	
j00g	86.18	-4.38	108.53	108.62	92	o98y	
j25g	69.73	-29.89	83.06	88.28	110	y34l	
j50g	57.03	-48.31	63.49	79.78	127	y69l	
j75g	47.73	-60.33	42.64	73.88	145	l03c	
g00b	50.59	-49.08	15.74	51.54	162	l23c	
g25b	52.97	-39.7	-6.72	40.27	190	l55c	
g50b	54.85	-32.33	-24.35	40.48	217	l87c	
g75b	49.92	-17.29	-36.02	39.96	244	c20v	
b00r	40.91	1.28	-42.35	42.37	272	c53v	
b25r	26.81	30.38	-52.26	60.45	300	c87v	
b50r	32.52	69.06	-42.14	80.9	329	v68m	
b75r	39.48	71.47	-3.69	71.57	357	m34o	



%Umfang
 $u^*_{rel} = 109$
%Regularität
 $g^*_{H,rel} = 31$
 $g^*_{C,rel} = 40$

Ein und Ausgabe: Farbmatisches Drucker-Reflektiv-System FRS12_95a, $L^*=12_95$ für relativen CIELAB-Bunton $h^* = lab^*h^* = h_{ab}/360 = 0.679$ $u^*_e = g75b$

Daten für jede Farbe:

lab^*tch^* und lab^*icu^*

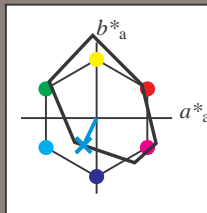
Buntontexte:

$u^*_e = g75b$ $u^*_d = c20v$

Kontrastreduzierungsfaktor:

$c_R = 1.0$

Dreiecks-Helligkeit t^*



FRS12_95a; adaptierte CIELAB-Daten

	u^*_e	$L^*=L^*_a$	a^*_a	b^*_a	$C^*_{ab,a}$	$h^*_{ab,a}$
O _{Ma}	38.06	60.0	44.0	74.4	36	
Y _{Ma}	86.77	-5.17	109.32	109.44	93	
L _{Ma}	47.13	-62.67	48.24	79.09	142	
C _{Ma}	55.66	-29.14	-31.99	43.27	228	
V _{Ma}	17.15	50.3	-59.04	77.57	310	
M _{Ma}	40.37	78.64	-33.5	85.48	337	
N _{Ma}	11.58	0.0	0.0	0.0	0	
W _{Ma}	95.02	0.0	0.0	0.0	0	
R _{Ma}	39.92	58.74	27.99	65.07	25	
J _{Ma}	81.26	-2.89	71.56	71.62	92	
G _{Ma}	52.23	-42.42	13.6	44.55	162	
B _{Ma}	30.57	1.41	-46.47	46.49	272	

Daten für Maximalfarbe (Ma):

$LAB^*LAB^*_{Ma}: 50 -17 -36$

$LAB^*LCH^*_{Ma}: 50 40 244$

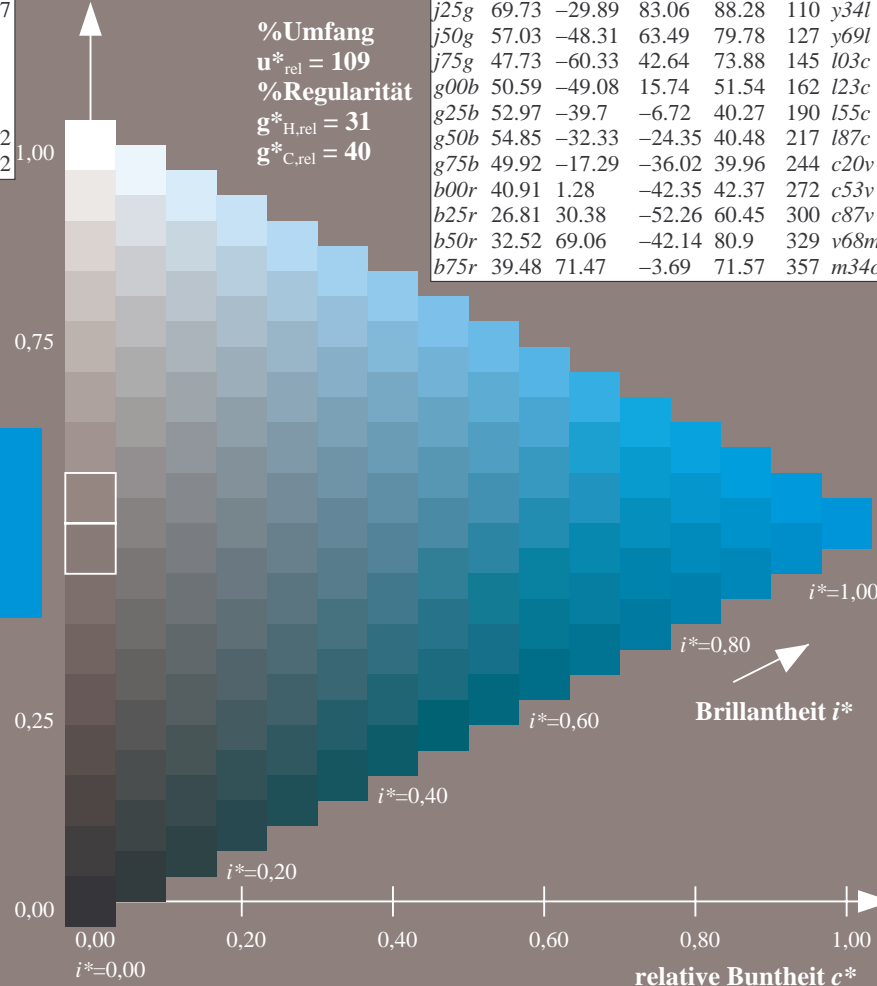
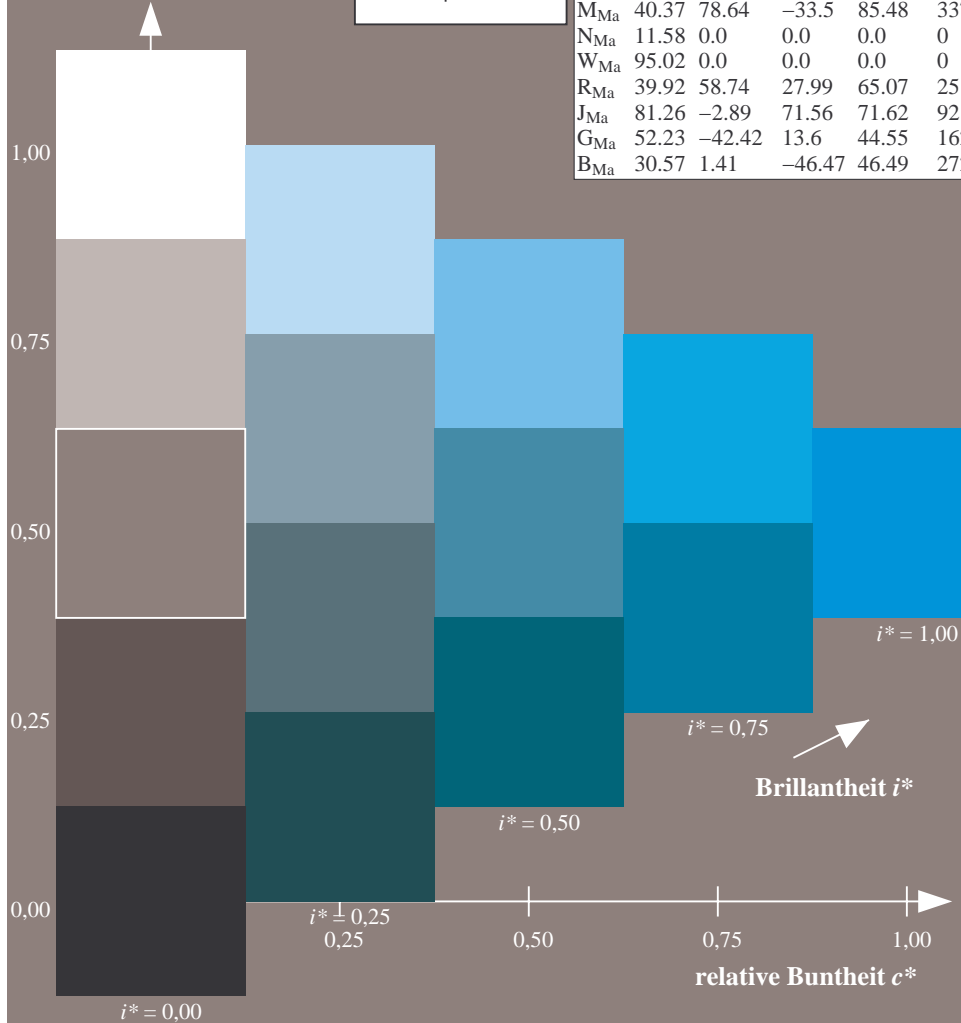
$lab^*rgb^*_{Ma}: 0.0 0.5 1.0$

$lab^*olv^*_{Ma}: 0.0 0.8 1.0$

Dreiecks-Helligkeit t^*

FRS12_95a; adaptierte CIELAB-Daten

	u^*_e	$L^*=L^*_a$	a^*_a	b^*_a	$C^*_{ab,a}$	$h^*_{ab,a}$	u^*_d
r00j	38.47	63.32	30.17	70.15	25	m81o	
r25j	42.12	54.56	49.45	73.64	42	o10y	
r50j	53.64	39.15	64.89	75.79	59	o40y	
r75j	67.01	21.26	82.83	85.52	76	o69y	
j00g	86.18	-4.38	108.53	108.62	92	o98y	
j25g	69.73	-29.89	83.06	88.28	110	y34l	
j50g	57.03	-48.31	63.49	79.78	127	y69l	
j75g	47.73	-60.33	42.64	73.88	145	l03c	
g00b	50.59	-49.08	15.74	51.54	162	l23c	
g25b	52.97	-39.7	-6.72	40.27	190	l55c	
g50b	54.85	-32.33	-24.35	40.48	217	l87c	
g75b	49.92	-17.29	-36.02	39.96	244	c20v	
b00r	40.91	1.28	-42.35	42.37	272	c53v	
b25r	26.81	30.38	-52.26	60.45	300	c87v	
b50r	32.52	69.06	-42.14	80.9	329	v68m	
b75r	39.48	71.47	-3.69	71.57	357	m34o	



Ein und Ausgabe: Farbmetrisches Drucker-Reflektiv-System FRS12_95a, $L^*=12_95$ für relativen CIELAB-Bunton $h^* = lab^*h^* = h_{ab}/360 = 0.755$ $u^*_e = b00r$

Daten für jede Farbe:

lab^*tch^* und lab^*icu^*

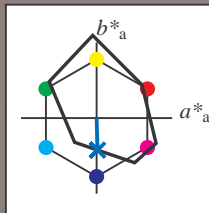
Buntontexte:

$u^*_e = b00r$ $u^*_d = c53v$

Kontrastreduzierungsfaktor:

$c_R = 1.0$

Dreiecks-Helligkeit t^*



FRS12_95a; adaptierte CIELAB-Daten

	u^*_e	$L^*=L^*_a$	a^*_a	b^*_a	$C^*_{ab,a}$	$h^*_{ab,a}$
O _{Ma}	38.06	60.0	44.0	74.4	36	
Y _{Ma}	86.77	-5.17	109.32	109.44	93	
L _{Ma}	47.13	-62.67	48.24	79.09	142	
C _{Ma}	55.66	-29.14	-31.99	43.27	228	
V _{Ma}	17.15	50.3	-59.04	77.57	310	
M _{Ma}	40.37	78.64	-33.5	85.48	337	
N _{Ma}	11.58	0.0	0.0	0.0	0	
W _{Ma}	95.02	0.0	0.0	0.0	0	
R _{Ma}	39.92	58.74	27.99	65.07	25	
J _{Ma}	81.26	-2.89	71.56	71.62	92	
G _{Ma}	52.23	-42.42	13.6	44.55	162	
B _{Ma}	30.57	1.41	-46.47	46.49	272	

Daten für Maximalfarbe (Ma):

$LAB^*LAB^*_{Ma}$: 41 1 -42

$LAB^*LCH^*_{Ma}$: 41 42 271

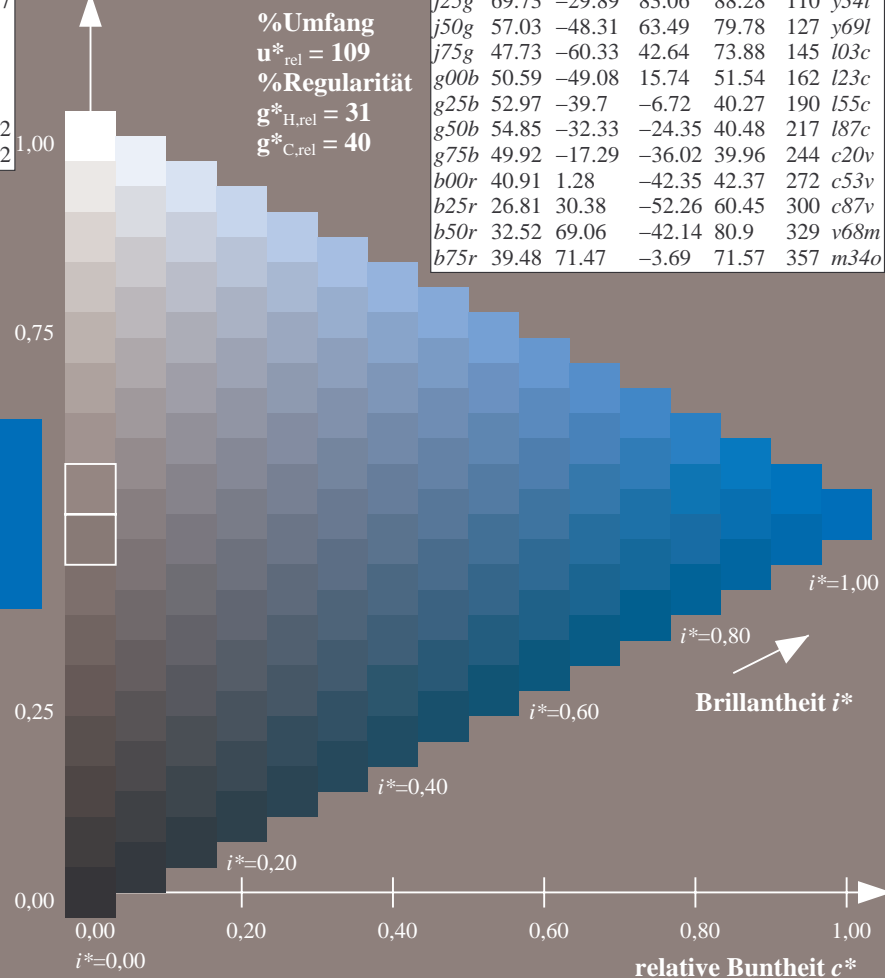
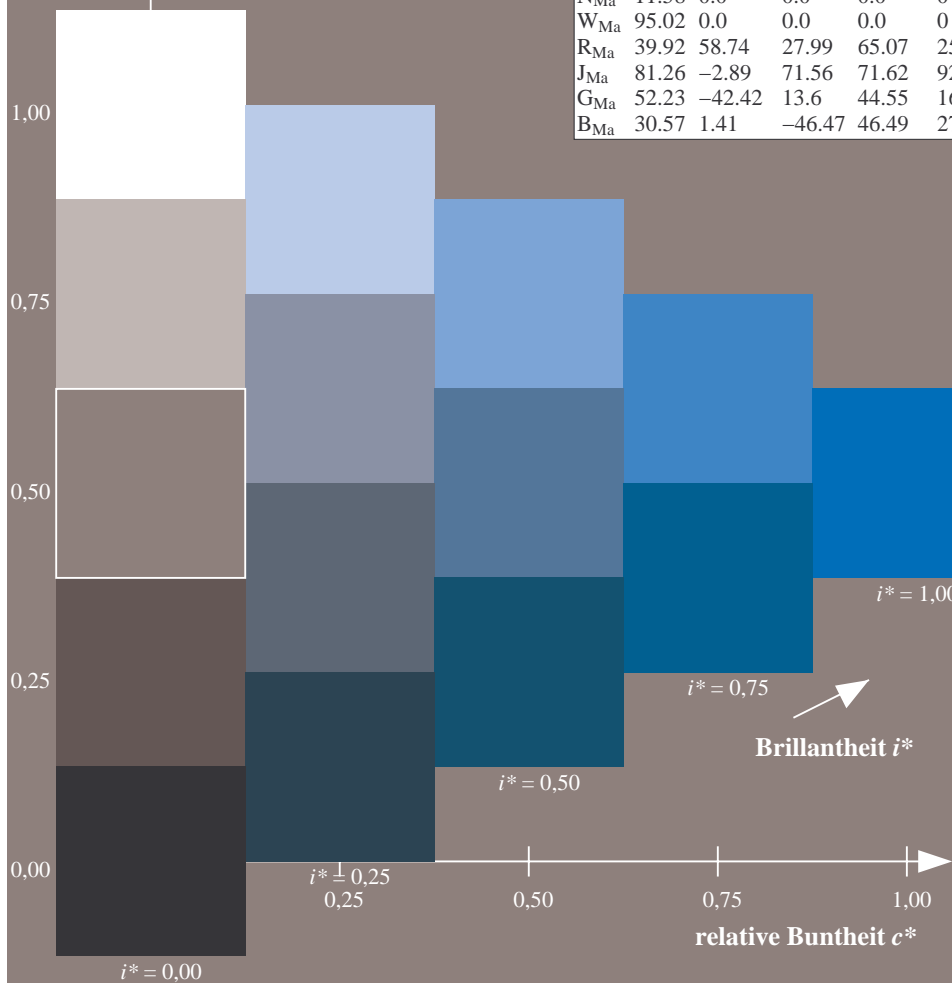
$lab^*rgb^*_{Ma}$: 0.0 0.0 1.0

$lab^*olv^*_{Ma}$: 0.0 0.47 1.0

Dreiecks-Helligkeit t^*

FRS12_95a; adaptierte CIELAB-Daten

	u^*_e	$L^*=L^*_a$	a^*_a	b^*_a	$C^*_{ab,a}$	$h^*_{ab,a}$	u^*_d
r00j	38.47	63.32	30.17	70.15	25	m81o	
r25j	42.12	54.56	49.45	73.64	42	o10y	
r50j	53.64	39.15	64.89	75.79	59	o40y	
r75j	67.01	21.26	82.83	85.52	76	o69y	
j00g	86.18	-4.38	108.53	108.62	92	o98y	
j25g	69.73	-29.89	83.06	88.28	110	y34l	
j50g	57.03	-48.31	63.49	79.78	127	y69l	
j75g	47.73	-60.33	42.64	73.88	145	l03c	
g00b	50.59	-49.08	15.74	51.54	162	l23c	
g25b	52.97	-39.7	-6.72	40.27	190	l55c	
g50b	54.85	-32.33	-24.35	40.48	217	l87c	
g75b	49.92	-17.29	-36.02	39.96	244	c20v	
b00r	40.91	1.28	-42.35	42.37	272	c53v	
b25r	26.81	30.38	-52.26	60.45	300	c87v	
b50r	32.52	69.06	-42.14	80.9	329	v68m	
b75r	39.48	71.47	-3.69	71.57	357	m34o	



Ein und Ausgabe: Farbmetrisches Drucker-Reflektiv-System FRS12_95a, $L^*=12_95$ für relativen CIELAB-Bunton $h^* = lab^*h^* = h_{ab}/360 = 0.834$ $u^*_e = b25r$

Daten für jede Farbe:

lab^*tch^* und lab^*icu^*

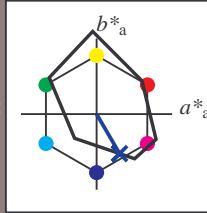
Buntontexte:

$u^*_e = b25r$ $u^*_d = c87v$

Kontrastreduzierungsfaktor:

$c_R = 1.0$

Dreiecks-Helligkeit t^*



FRS12_95a; adaptierte CIELAB-Daten						
u^*_e	$L^*=L^*_a$	a^*_a	b^*_a	$C^*_{ab,a}$	$h^*_{ab,a}$	
O _{Ma}	38.06	60.0	44.0	74.4	36	
Y _{Ma}	86.77	-5.17	109.32	109.44	93	
L _{Ma}	47.13	-62.67	48.24	79.09	142	
C _{Ma}	55.66	-29.14	-31.99	43.27	228	
V _{Ma}	17.15	50.3	-59.04	77.57	310	
M _{Ma}	40.37	78.64	-33.5	85.48	337	
N _{Ma}	11.58	0.0	0.0	0.0	0	
W _{Ma}	95.02	0.0	0.0	0.0	0	
R _{Ma}	39.92	58.74	27.99	65.07	25	
J _{Ma}	81.26	-2.89	71.56	71.62	92	
G _{Ma}	52.23	-42.42	13.6	44.55	162	
B _{Ma}	30.57	1.41	-46.47	46.49	272	

Daten für Maximalfarbe (Ma):

$LAB^*LAB^*_{Ma}$: 27 30 -52

$LAB^*LCH^*_{Ma}$: 27 60 300

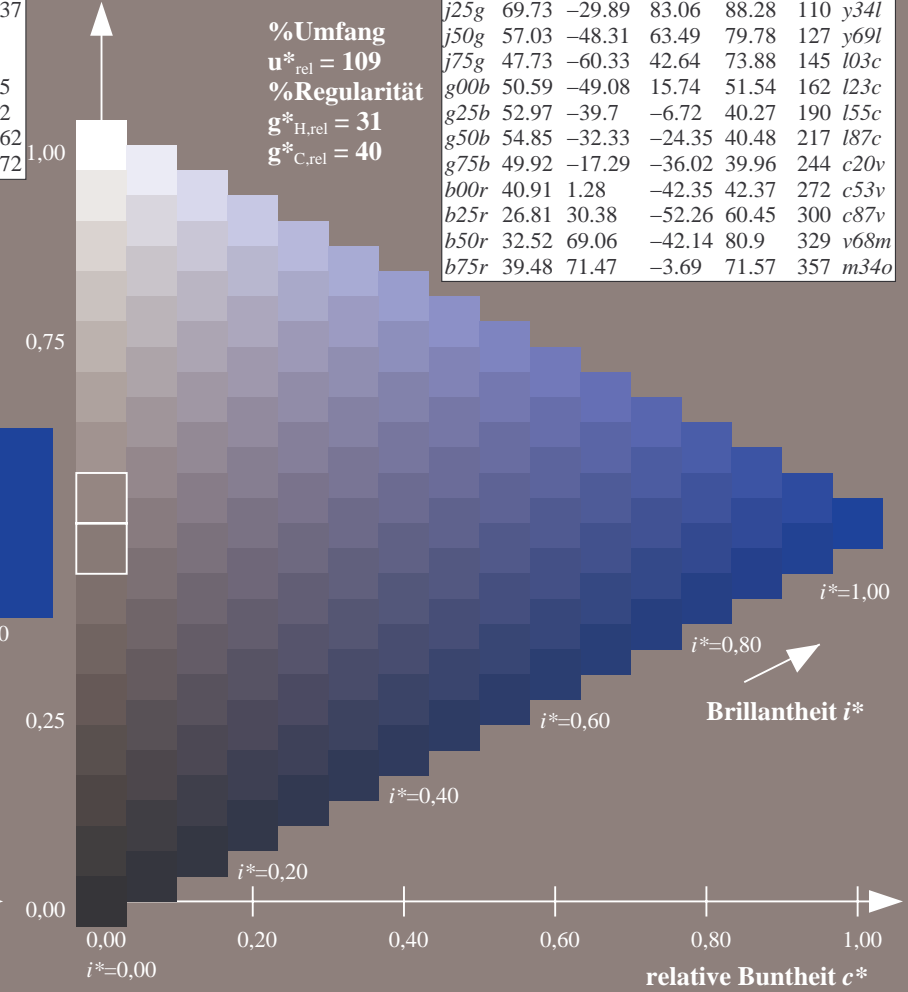
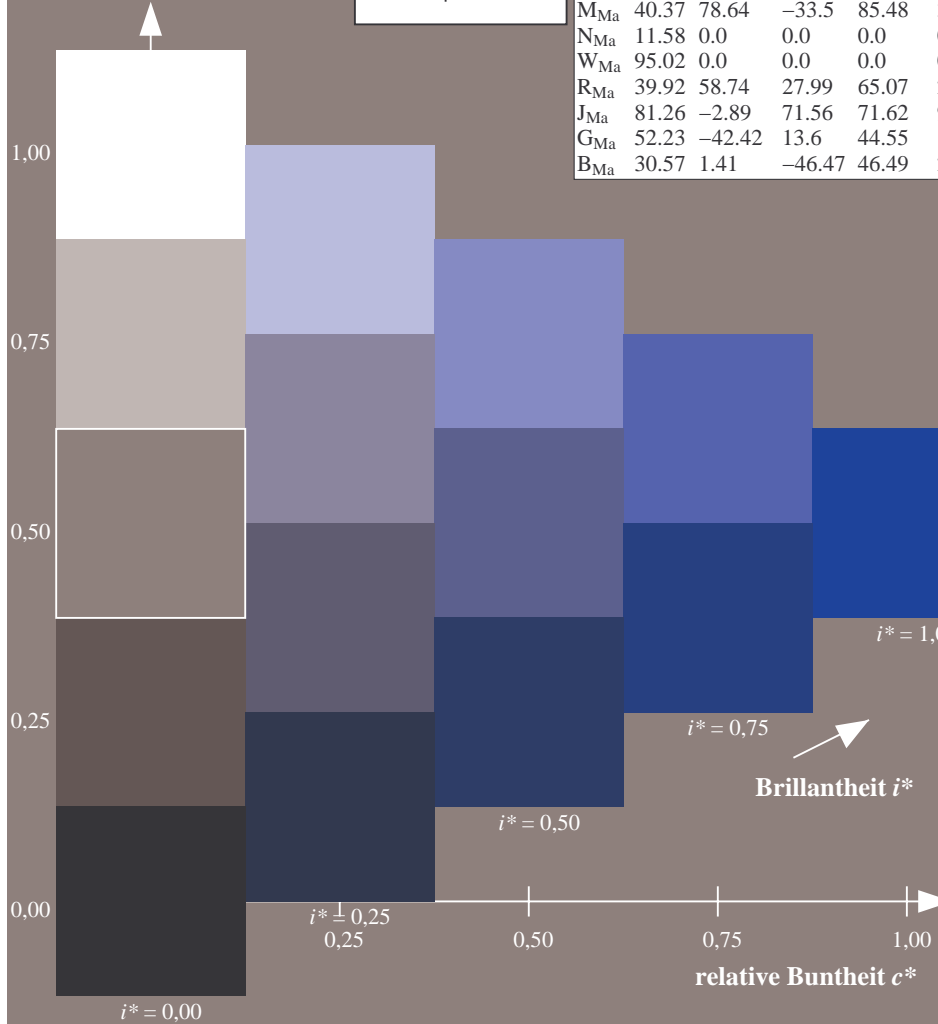
$lab^*rgb^*_{Ma}$: 0.5 0.0 1.0

$lab^*olv^*_{Ma}$: 0.0 0.12 1.0

Dreiecks-Helligkeit t^*

FRS12_95a; adaptierte CIELAB-Daten

u^*_e	$L^*=L^*_a$	a^*_a	b^*_a	$C^*_{ab,a}$	$h^*_{ab,a}$	u^*_d
r00j	38.47	63.32	30.17	70.15	25	m81o
r25j	42.12	54.56	49.45	73.64	42	o10y
r50j	53.64	39.15	64.89	75.79	59	o40y
r75j	67.01	21.26	82.83	85.52	76	o69y
j00g	86.18	-4.38	108.53	108.62	92	o98y
j25g	69.73	-29.89	83.06	88.28	110	y34l
j50g	57.03	-48.31	63.49	79.78	127	y69l
j75g	47.73	-60.33	42.64	73.88	145	l03c
g00b	50.59	-49.08	15.74	51.54	162	l23c
g25b	52.97	-39.7	-6.72	40.27	190	l55c
g50b	54.85	-32.33	-24.35	40.48	217	l87c
g75b	49.92	-17.29	-36.02	39.96	244	c20v
b00r	40.91	1.28	-42.35	42.37	272	c53v
b25r	26.81	30.38	-52.26	60.45	300	c87v
b50r	32.52	69.06	-42.14	80.9	329	v68m
b75r	39.48	71.47	-3.69	71.57	357	m34o



%Umfang
 $u^*_{rel} = 109$
 %Regularität
 $g^*_{H,rel} = 31$
 $g^*_{C,rel} = 40$

Brillantheit i^*

Ein und Ausgabe: Farbmetrisches Drucker-Reflektiv-System FRS12_95a, $L^*=12_95$ für relativen CIELAB-Bunton $h^* = lab^*h^* = h_{ab}/360 = 0.913$ $u^*_e = b50r$

Daten für jede Farbe:

lab^*tch^* und lab^*icu^*

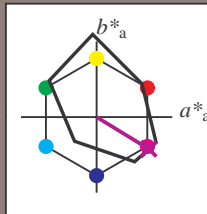
Buntontexte:

$u^*_e = b50r$ $u^*_d = v68m$

Kontrastreduzierungsfaktor:

$c_R = 1.0$

Dreiecks-Helligkeit t^*



FRS12_95a; adaptierte CIELAB-Daten						
u^*_e	$L^*=L^*_a$	a^*_a	b^*_a	$C^*_{ab,a}$	$h^*_{ab,a}$	
O _{Ma}	38.06	60.0	44.0	74.4	36	
Y _{Ma}	86.77	-5.17	109.32	109.44	93	
L _{Ma}	47.13	-62.67	48.24	79.09	142	
C _{Ma}	55.66	-29.14	-31.99	43.27	228	
V _{Ma}	17.15	50.3	-59.04	77.57	310	
M _{Ma}	40.37	78.64	-33.5	85.48	337	
N _{Ma}	11.58	0.0	0.0	0.0	0	
W _{Ma}	95.02	0.0	0.0	0.0	0	
R _{Ma}	39.92	58.74	27.99	65.07	25	
J _{Ma}	81.26	-2.89	71.56	71.62	92	
G _{Ma}	52.23	-42.42	13.6	44.55	162	
B _{Ma}	30.57	1.41	-46.47	46.49	272	

Daten für Maximalfarbe (Ma):

$LAB^*LAB^*_{Ma}$: 33 69 -42

$LAB^*LCH^*_{Ma}$: 33 81 328

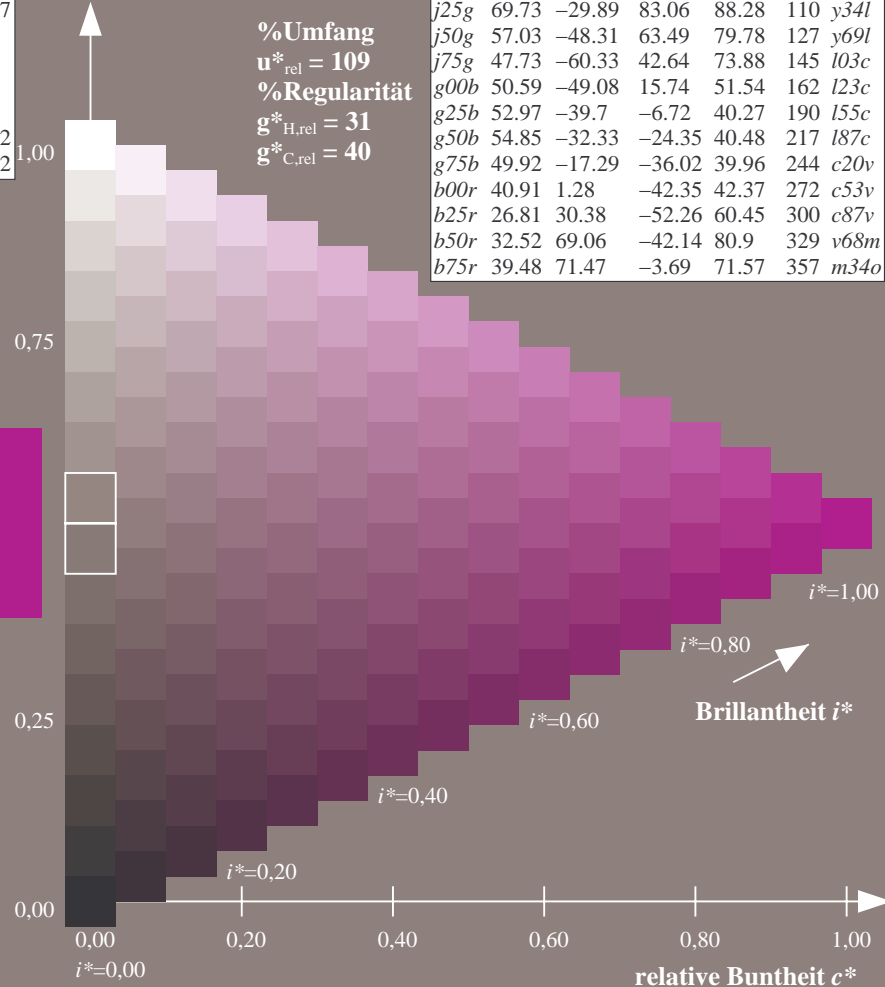
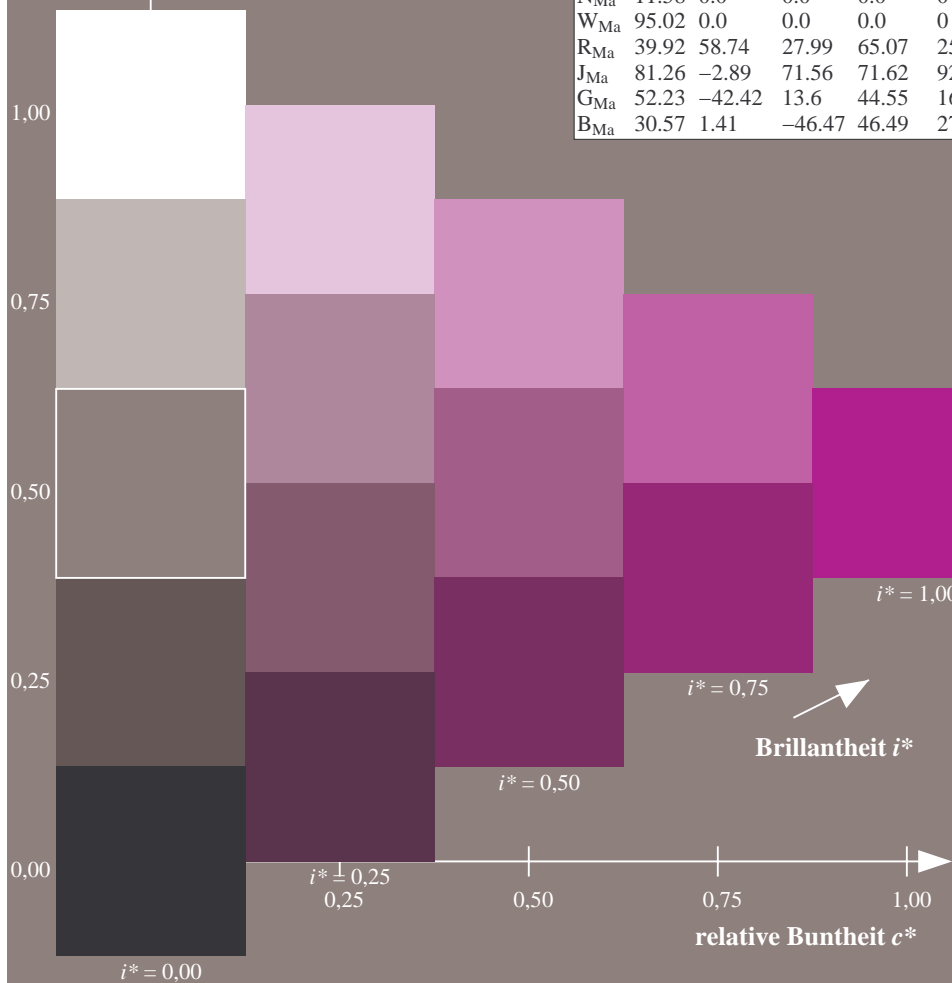
$lab^*rgb^*_{Ma}$: 1.0 0.0 1.0

$lab^*olv^*_{Ma}$: 0.69 0.0 1.0

Dreiecks-Helligkeit t^*

FRS12_95a; adaptierte CIELAB-Daten

u^*_e	$L^*=L^*_a$	a^*_a	b^*_a	$C^*_{ab,a}$	$h^*_{ab,a}$	u^*_d
r00j	38.47	63.32	30.17	70.15	25	m81o
r25j	42.12	54.56	49.45	73.64	42	o10y
r50j	53.64	39.15	64.89	75.79	59	o40y
r75j	67.01	21.26	82.83	85.52	76	o69y
j00g	86.18	-4.38	108.53	108.62	92	o98y
j25g	69.73	-29.89	83.06	88.28	110	y34l
j50g	57.03	-48.31	63.49	79.78	127	y69l
j75g	47.73	-60.33	42.64	73.88	145	l03c
g00b	50.59	-49.08	15.74	51.54	162	l23c
g25b	52.97	-39.7	-6.72	40.27	190	l55c
g50b	54.85	-32.33	-24.35	40.48	217	l87c
g75b	49.92	-17.29	-36.02	39.96	244	c20v
b00r	40.91	1.28	-42.35	42.37	272	c53v
b25r	26.81	30.38	-52.26	60.45	300	c87v
b50r	32.52	69.06	-42.14	80.9	329	v68m
b75r	39.48	71.47	-3.69	71.57	357	m34o



Ein und Ausgabe: Farbmetrisches Drucker-Reflektiv-System FRS12_95a, $L^*=12_95$ für relativen CIELAB-Bunton $h^* = lab^*h^* = h_{ab}/360 = 0.992$ $u^*_e = b75r$

Daten für jede Farbe:

lab^*tch^* und lab^*icu^*

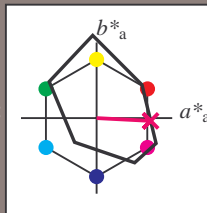
Buntontexte:

$u^*_e = b75r$ $u^*_d = m34o$

Kontrastreduzierungsfaktor:

$c_R = 1.0$

Dreiecks-Helligkeit t^*



FRS12_95a; adaptierte CIELAB-Daten						
u^*_e	$L^*=L^*_a$	a^*_a	b^*_a	$C^*_{ab,a}$	$h^*_{ab,a}$	
O _{Ma}	38.06	60.0	44.0	74.4	36	
Y _{Ma}	86.77	-5.17	109.32	109.44	93	
L _{Ma}	47.13	-62.67	48.24	79.09	142	
C _{Ma}	55.66	-29.14	-31.99	43.27	228	
V _{Ma}	17.15	50.3	-59.04	77.57	310	
M _{Ma}	40.37	78.64	-33.5	85.48	337	
N _{Ma}	11.58	0.0	0.0	0.0	0	
W _{Ma}	95.02	0.0	0.0	0.0	0	
R _{Ma}	39.92	58.74	27.99	65.07	25	
J _{Ma}	81.26	-2.89	71.56	71.62	92	
G _{Ma}	52.23	-42.42	13.6	44.55	162	
B _{Ma}	30.57	1.41	-46.47	46.49	272	

Daten für Maximalfarbe (Ma):

$LAB^*LAB^*_{Ma}$: 39 71 -4

$LAB^*LCH^*_{Ma}$: 39 72 357

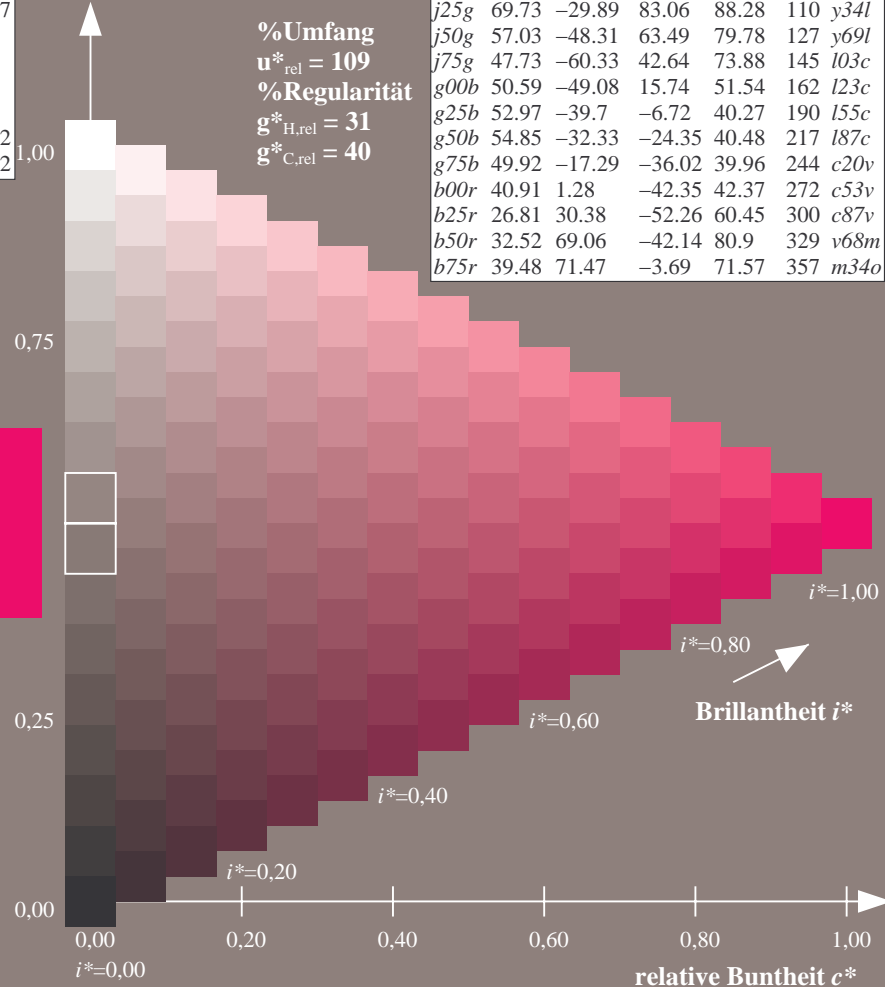
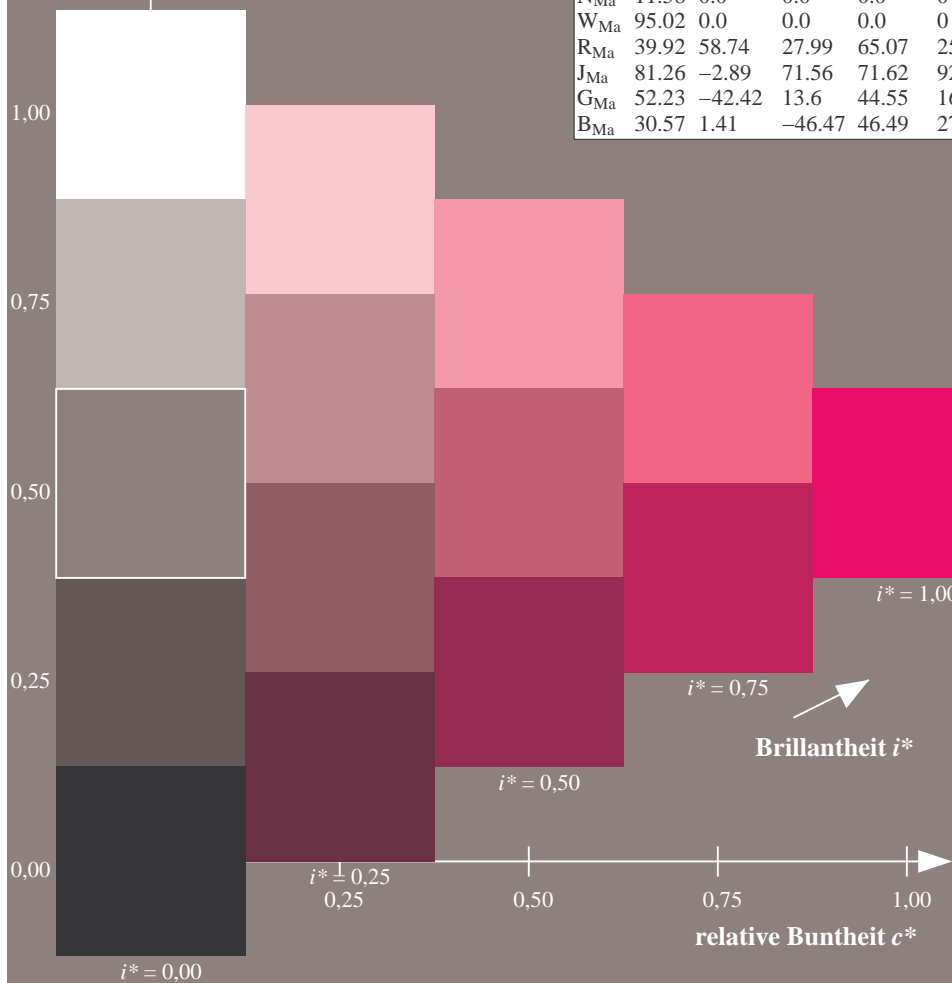
$lab^*rgb^*_{Ma}$: 1.0 0.0 0.5

$lab^*olv^*_{Ma}$: 1.0 0.0 0.66

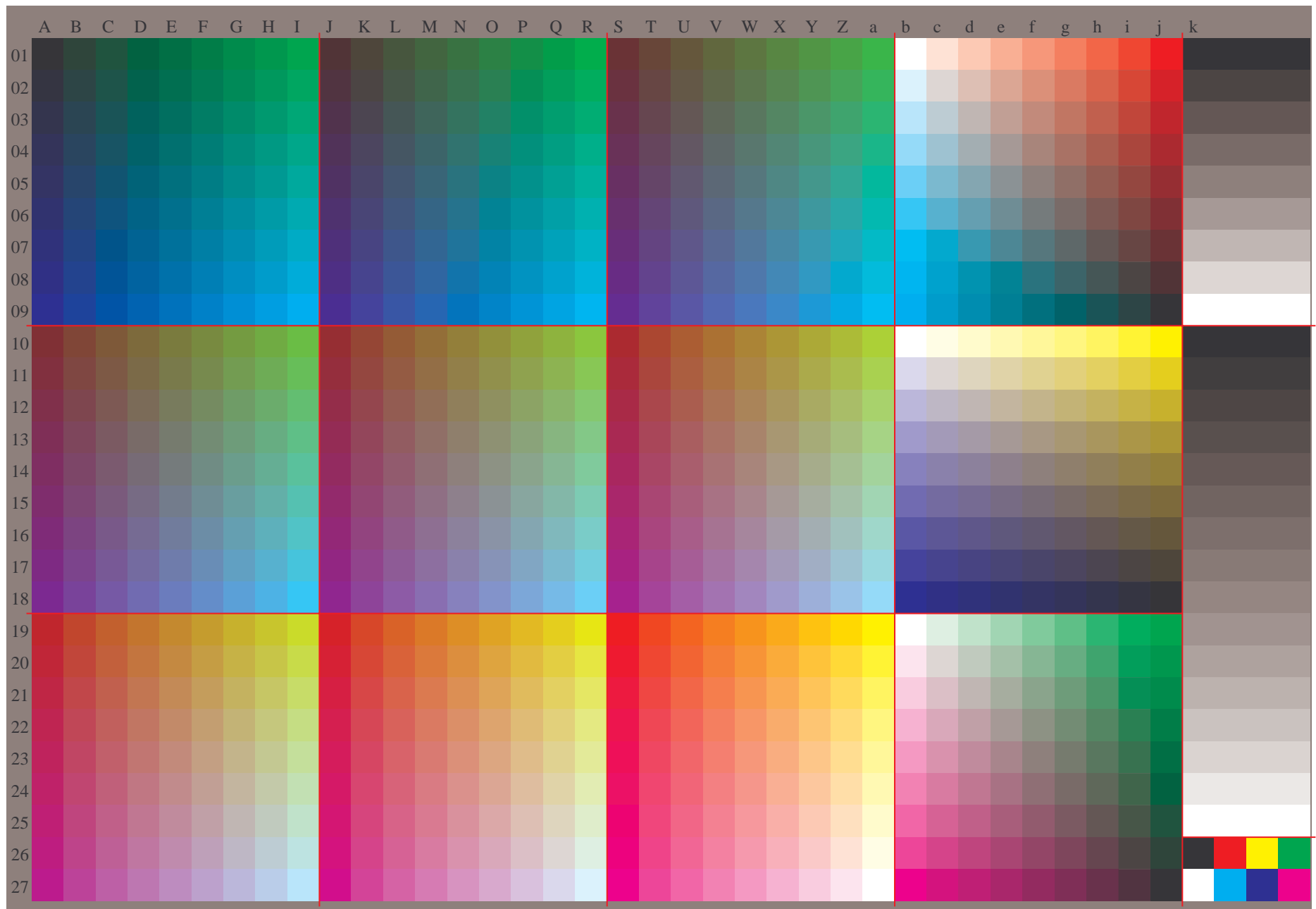
Dreiecks-Helligkeit t^*

FRS12_95a; adaptierte CIELAB-Daten

u^*_e	$L^*=L^*_a$	a^*_a	b^*_a	$C^*_{ab,a}$	$h^*_{ab,a}$	u^*_d
r00j	38.47	63.32	30.17	70.15	25	m81o
r25j	42.12	54.56	49.45	73.64	42	o10y
r50j	53.64	39.15	64.89	75.79	59	o40y
r75j	67.01	21.26	82.83	85.52	76	o69y
j00g	86.18	-4.38	108.53	108.62	92	o98y
j25g	69.73	-29.89	83.06	88.28	110	y34l
j50g	57.03	-48.31	63.49	79.78	127	y69l
j75g	47.73	-60.33	42.64	73.88	145	l03c
g00b	50.59	-49.08	15.74	51.54	162	l23c
g25b	52.97	-39.7	-6.72	40.27	190	l55c
g50b	54.85	-32.33	-24.35	40.48	217	l87c
g75b	49.92	-17.29	-36.02	39.96	244	c20v
b00r	40.91	1.28	-42.35	42.37	272	c53v
b25r	26.81	30.38	-52.26	60.45	300	c87v
b50r	32.52	69.06	-42.14	80.9	329	v68m
b75r	39.48	71.47	-3.69	71.57	357	m34o



%Umfang
 $u^*_{rel} = 109$
%Regularität
 $g^*_{H,rel} = 31$
 $g^*_{C,rel} = 40$



Fg640-7A, Seite 36/198

Ein und Ausgabe:
Farbmetrisches Drucker-Reflektiv-System FRS12_95a

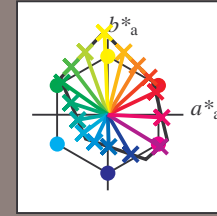
Daten für jede Farbe:
 u^*_e und Nummer $Nr. = 00 \dots 15$

Elementar-Bunttextext:
 $u^*_e = 16$ Bunttoene $r00j, r25j, \dots, b75r$

Kontrastreduzierungsfaktor:
 $c_R = 1.0$

FRS12_95a; adaptierte CIELAB-Daten

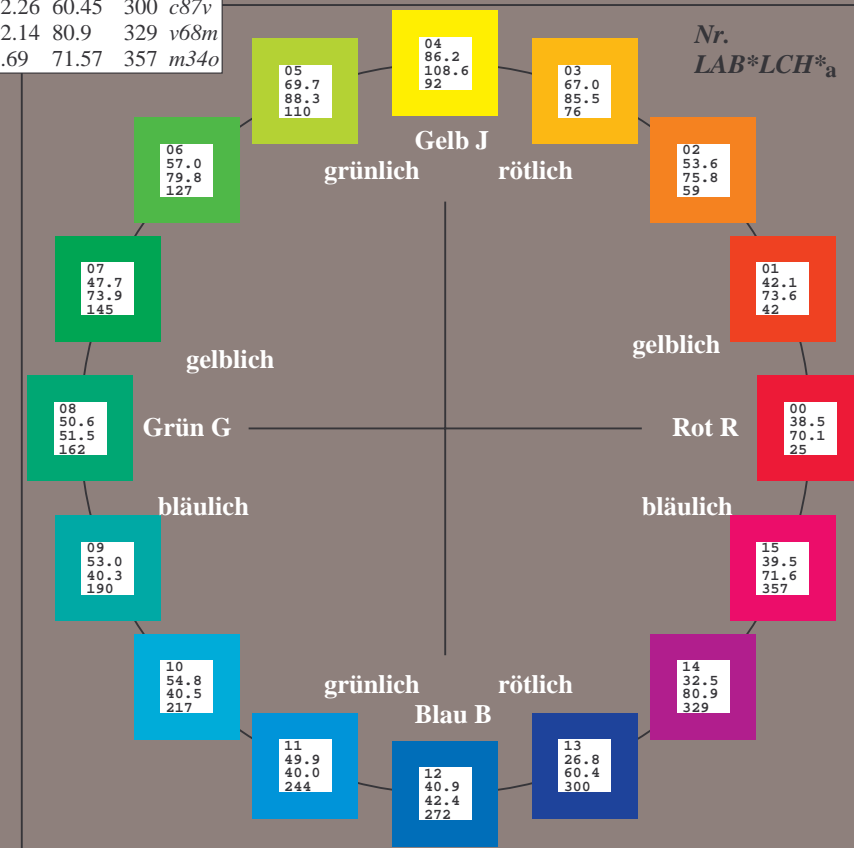
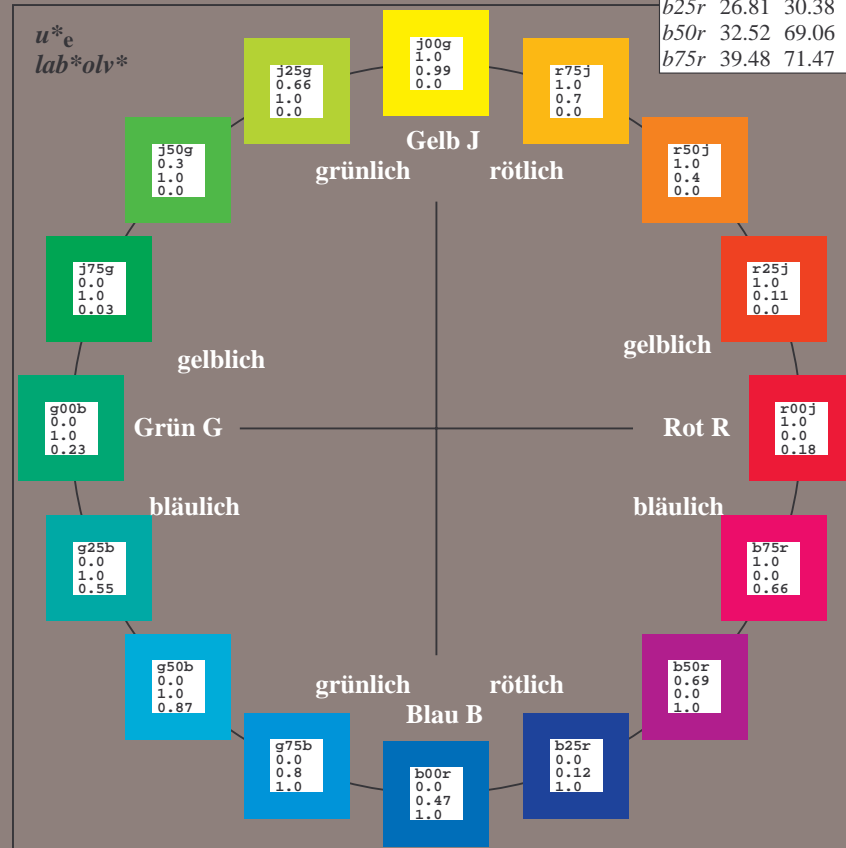
u^*_e	$L^*=L^*_a$	a^*_a	b^*_a	$C^*_{ab,a}$	$h^*_{ab,a}$	u^*_d
<i>r00j</i>	38.47	63.32	30.17	70.15	25	<i>m81o</i>
<i>r25j</i>	42.12	54.56	49.45	73.64	42	<i>o10y</i>
<i>r50j</i>	53.64	39.15	64.89	75.79	59	<i>o40y</i>
<i>r75j</i>	67.01	21.26	82.83	85.52	76	<i>o69y</i>
<i>j00g</i>	86.18	-4.38	108.53	108.62	92	<i>o98y</i>
<i>j25g</i>	69.73	-29.89	83.06	88.28	110	<i>y34l</i>
<i>j50g</i>	57.03	-48.31	63.49	79.78	127	<i>y69l</i>
<i>j75g</i>	47.73	-60.33	42.64	73.88	145	<i>l03c</i>
<i>g00b</i>	50.59	-49.08	15.74	51.54	162	<i>l23c</i>
<i>g25b</i>	52.97	-39.7	-6.72	40.27	190	<i>l55c</i>
<i>g50b</i>	54.85	-32.33	-24.35	40.48	217	<i>l87c</i>
<i>g75b</i>	49.92	-17.29	-36.02	39.96	244	<i>c20v</i>
<i>b00r</i>	40.91	1.28	-42.35	42.37	272	<i>c53v</i>
<i>b25r</i>	26.81	30.38	-52.26	60.45	300	<i>c87v</i>
<i>b50r</i>	32.52	69.06	-42.14	80.9	329	<i>v68m</i>
<i>b75r</i>	39.48	71.47	-3.69	71.57	357	<i>m34o</i>



%Umfang
 $u^*_{rel} = 109$
%Regularität
 $g^*_{H,rel} = 31$
 $g^*_{C,rel} = 40$

FRS12_95a; adaptierte CIELAB-Daten

Name	$L^*=L^*_a$	a^*_a	b^*_a	$C^*_{ab,a}$	$h^*_{ab,a}$
O _{Ma}	38.06	60.0	44.0	74.4	36
Y _{Ma}	86.77	-5.17	109.32	109.44	93
L _{Ma}	47.13	-62.67	48.24	79.09	142
C _{Ma}	55.66	-29.14	-31.99	43.27	228
V _{Ma}	17.15	50.3	-59.04	77.57	310
M _{Ma}	40.37	78.64	-33.5	85.48	337
N _{Ma}	11.58	0.0	0.0	0.0	0
W _{Ma}	95.02	0.0	0.0	0.0	0
R _{CIE}	39.92	58.74	27.99	65.07	25
J _{CIE}	81.26	-2.89	71.56	71.62	92
G _{CIE}	52.23	-42.42	13.6	44.55	162
B _{CIE}	30.57	1.41	-46.47	46.49	272



Ein und Ausgabe: Farbmatisches Drucker-Reflektiv-System FRS12_95a, $L^*=12_95$ für relativen CIELAB-Bunton $h^* = lab^*h^* = h_{ab}/360 = 0.071$ $u^*_e = r00j$

Daten für jede Farbe:

lab^*ch^* und lab^*icu^*

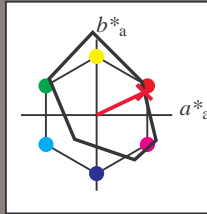
Buntontexte:

$u^*_e = r00j$ $u^*_d = m81o$

Kontrastreduzierungsfaktor:

$c_R = 1.0$

Dreiecks-Helligkeit t^*



FRS12_95a; adaptierte CIELAB-Daten

u^*_e	$L^*=L^*_a$	a^*_a	b^*_a	$C^*_{ab,a}$	$h^*_{ab,a}$
O _{Ma}	38.06	60.0	44.0	74.4	36
Y _{Ma}	86.77	-5.17	109.32	109.44	93
L _{Ma}	47.13	-62.67	48.24	79.09	142
C _{Ma}	55.66	-29.14	-31.99	43.27	228
V _{Ma}	17.15	50.3	-59.04	77.57	310
M _{Ma}	40.37	78.64	-33.5	85.48	337
N _{Ma}	11.58	0.0	0.0	0.0	0
W _{Ma}	95.02	0.0	0.0	0.0	0
R _{Ma}	39.92	58.74	27.99	65.07	25
J _{Ma}	81.26	-2.89	71.56	71.62	92
G _{Ma}	52.23	-42.42	13.6	44.55	162
B _{Ma}	30.57	1.41	-46.47	46.49	272

Daten für Maximalfarbe (Ma):

$LAB^*LAB^*_{Ma}$: 38 63 30

$LAB^*LCH^*_{Ma}$: 38 70 25

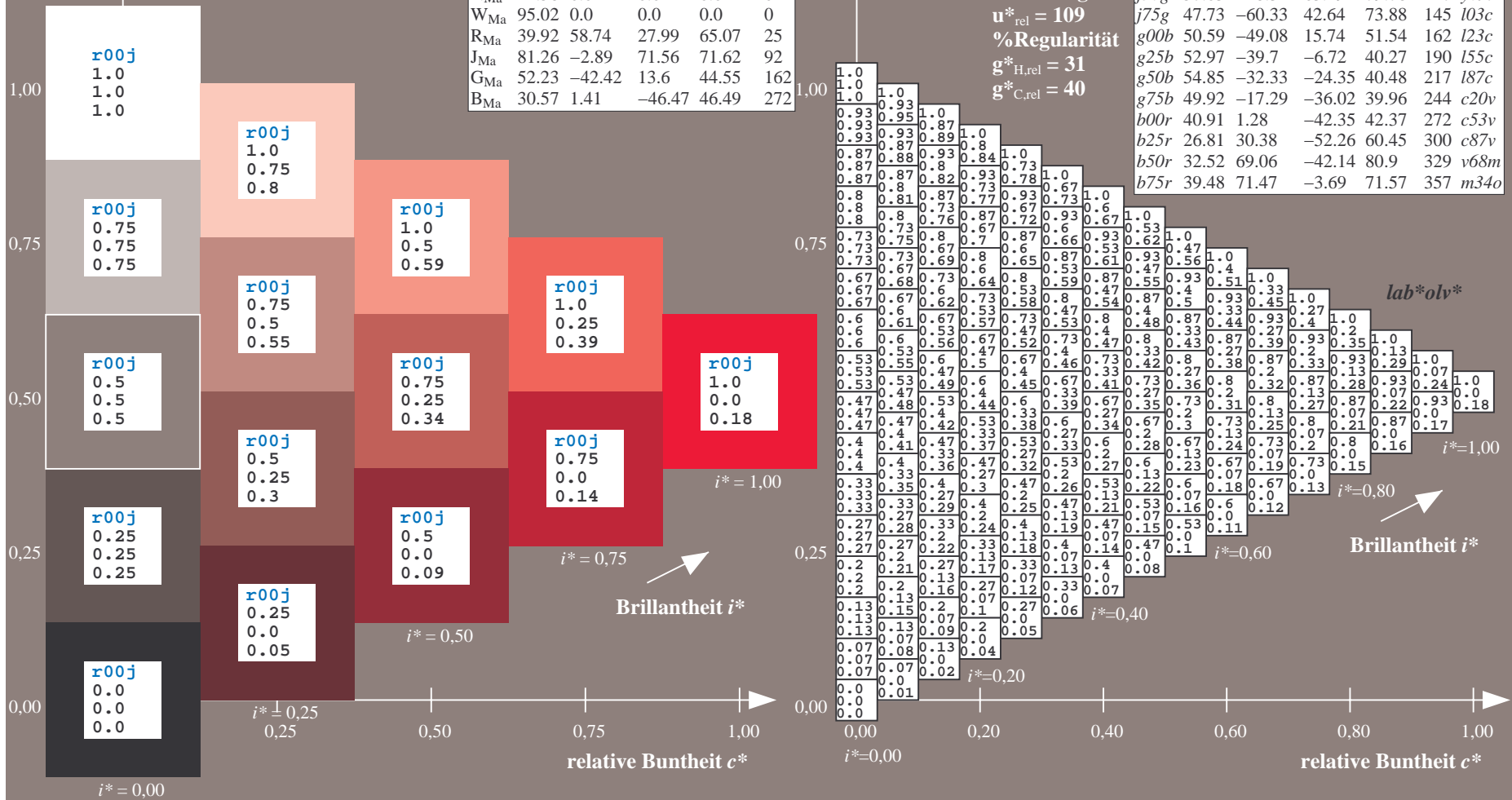
$lab^*rgb^*_{Ma}$: 1.0 0.0 0.0

$lab^*olv^*_{Ma}$: 1.0 0.0 0.18

Dreiecks-Helligkeit t^*

FRS12_95a; adaptierte CIELAB-Daten

u^*_e	$L^*=L^*_a$	a^*_a	b^*_a	$C^*_{ab,a}$	$h^*_{ab,a}$	u^*_d
r00j	38.47	63.32	30.17	70.15	25	m81o
r25j	42.12	54.56	49.45	73.64	42	o10y
r50j	53.64	39.15	64.89	75.79	59	o40y
r75j	67.01	21.26	82.83	85.52	76	o69y
j00g	86.18	-4.38	108.53	108.62	92	o98y
j25g	69.73	-29.89	83.06	88.28	110	y34l
j50g	57.03	-48.31	63.49	79.78	127	y69l
j75g	47.73	-60.33	42.64	73.88	145	l03c
g00b	50.59	-49.08	15.74	51.54	162	i23c
g25b	52.97	-39.7	-6.72	40.27	190	i55c
g50b	54.85	-32.33	-24.35	40.48	217	i87c
g75b	49.92	-17.29	-36.02	39.96	244	c20v
b00r	40.91	1.28	-42.35	42.37	272	c53v
b25r	26.81	30.38	-52.26	60.45	300	c87v
b50r	32.52	69.06	-42.14	80.9	329	v68m
b75r	39.48	71.47	-3.69	71.57	357	m34o



Ein und Ausgabe: Farbmatisches Drucker-Reflektiv-System FRS12_95a, $L^*=12_95$ für relativen CIELAB-Bunton $h^* = lab^*h^* = h_{ab}/360 = 0.117$ $u^*_e = r25j$

Daten für jede Farbe:

lab^*ch^* und lab^*icu^*

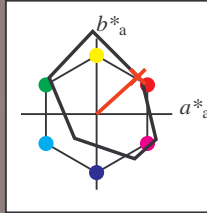
Buntontexte:

$u^*_e = r25j$ $u^*_d = o10y$

Kontrastreduzierungsfaktor:

$c_R = 1.0$

Dreiecks-Helligkeit t^*



FRS12_95a; adaptierte CIELAB-Daten

u^*_e	$L^*=L^*_a$	a^*_a	b^*_a	$C^*_{ab,a}$	$h^*_{ab,a}$
O _{Ma}	38.06	60.0	44.0	74.4	36
Y _{Ma}	86.77	-5.17	109.32	109.44	93
L _{Ma}	47.13	-62.67	48.24	79.09	142
C _{Ma}	55.66	-29.14	-31.99	43.27	228
V _{Ma}	17.15	50.3	-59.04	77.57	310
M _{Ma}	40.37	78.64	-33.5	85.48	337
N _{Ma}	11.58	0.0	0.0	0.0	0
W _{Ma}	95.02	0.0	0.0	0.0	0
R _{Ma}	39.92	58.74	27.99	65.07	25
J _{Ma}	81.26	-2.89	71.56	71.62	92
G _{Ma}	52.23	-42.42	13.6	44.55	162
B _{Ma}	30.57	1.41	-46.47	46.49	272

Daten für Maximalfarbe (Ma):

$LAB^*LAB^*_{Ma}$: 42 55 49

$LAB^*LCH^*_{Ma}$: 42 74 42

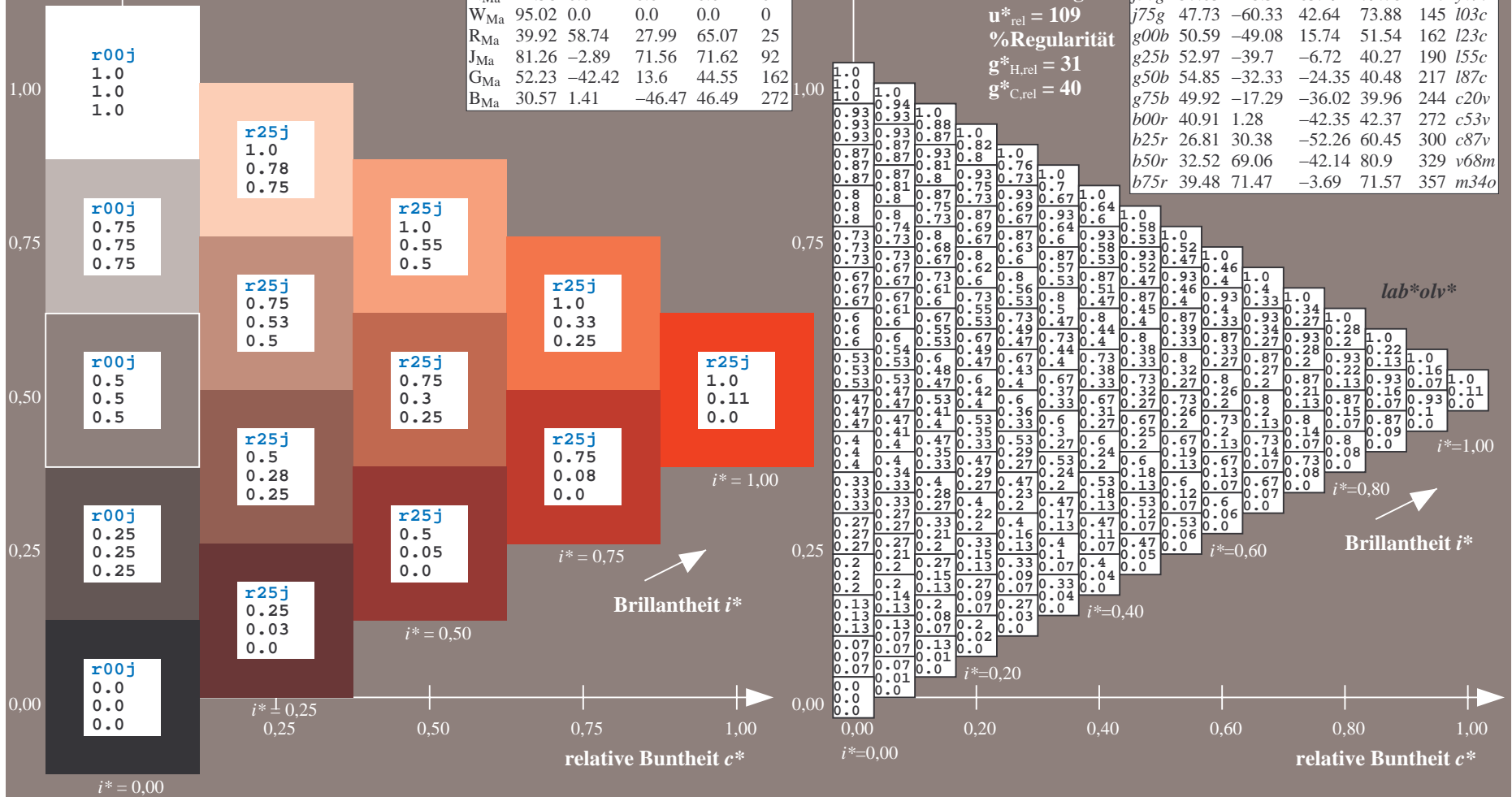
$lab^*rgb^*_{Ma}$: 1.0 0.25 0.0

$lab^*olv^*_{Ma}$: 1.0 0.11 0.0

Dreiecks-Helligkeit t^*

FRS12_95a; adaptierte CIELAB-Daten

u^*_e	$L^*=L^*_a$	a^*_a	b^*_a	$C^*_{ab,a}$	$h^*_{ab,a}$	u^*_d
r00j	38.47	63.32	30.17	70.15	25	m81o
r25j	42.12	54.56	49.45	73.64	42	o10y
r50j	53.64	39.15	64.89	75.79	59	o40y
r75j	67.01	21.26	82.83	85.52	76	o69y
j00g	86.18	-4.38	108.53	108.62	92	o98y
j25g	69.73	-29.89	83.06	88.28	110	y34l
j50g	57.03	-48.31	63.49	79.78	127	y69l
j75g	47.73	-60.33	42.64	73.88	145	l03c
g00b	50.59	-49.08	15.74	51.54	162	i23c
g25b	52.97	-39.7	-6.72	40.27	190	i55c
g50b	54.85	-32.33	-24.35	40.48	217	i87c
g75b	49.92	-17.29	-36.02	39.96	244	c20v
b00r	40.91	1.28	-42.35	42.37	272	c53v
b25r	26.81	30.38	-52.26	60.45	300	c87v
b50r	32.52	69.06	-42.14	80.9	329	v68m
b75r	39.48	71.47	-3.69	71.57	357	m34o



Ein und Ausgabe: Farbmatisches Drucker-Reflektiv-System FRS12_95a, $L^*=12_95$ für relativen CIELAB-Bunton $h^* = lab^*h^* = h_{ab}/360 = 0.164$ $u^*_e = r50j$

Daten für jede Farbe:

lab^*ch^* und lab^*icu^*

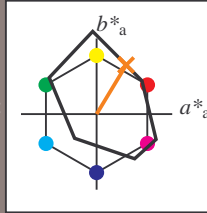
Buntontexte:

$u^*_e = r50j$ $u^*_d = o40y$

Kontrastreduzierungsfaktor:

$c_R = 1.0$

Dreiecks-Helligkeit t^*



FRS12_95a; adaptierte CIELAB-Daten

u^*_e	$L^*=L^*_a$	a^*_a	b^*_a	$C^*_{ab,a}$	$h^*_{ab,a}$
O _{Ma}	38.06	60.0	44.0	74.4	36
Y _{Ma}	86.77	-5.17	109.32	109.44	93
L _{Ma}	47.13	-62.67	48.24	79.09	142
C _{Ma}	55.66	-29.14	-31.99	43.27	228
V _{Ma}	17.15	50.3	-59.04	77.57	310
M _{Ma}	40.37	78.64	-33.5	85.48	337
N _{Ma}	11.58	0.0	0.0	0.0	0
W _{Ma}	95.02	0.0	0.0	0.0	0
R _{Ma}	39.92	58.74	27.99	65.07	25
J _{Ma}	81.26	-2.89	71.56	71.62	92
G _{Ma}	52.23	-42.42	13.6	44.55	162
B _{Ma}	30.57	1.41	-46.47	46.49	272

Daten für Maximalfarbe (Ma):

$LAB^*LAB^*_{Ma}$: 54 39 65

$LAB^*LCH^*_{Ma}$: 54 76 58

$lab^*rgb^*_{Ma}$: 1.0 0.5 0.0

$lab^*olv^*_{Ma}$: 1.0 0.4 0.0

Dreiecks-Helligkeit t^*

%Umfang

$u^*_{rel} = 109$

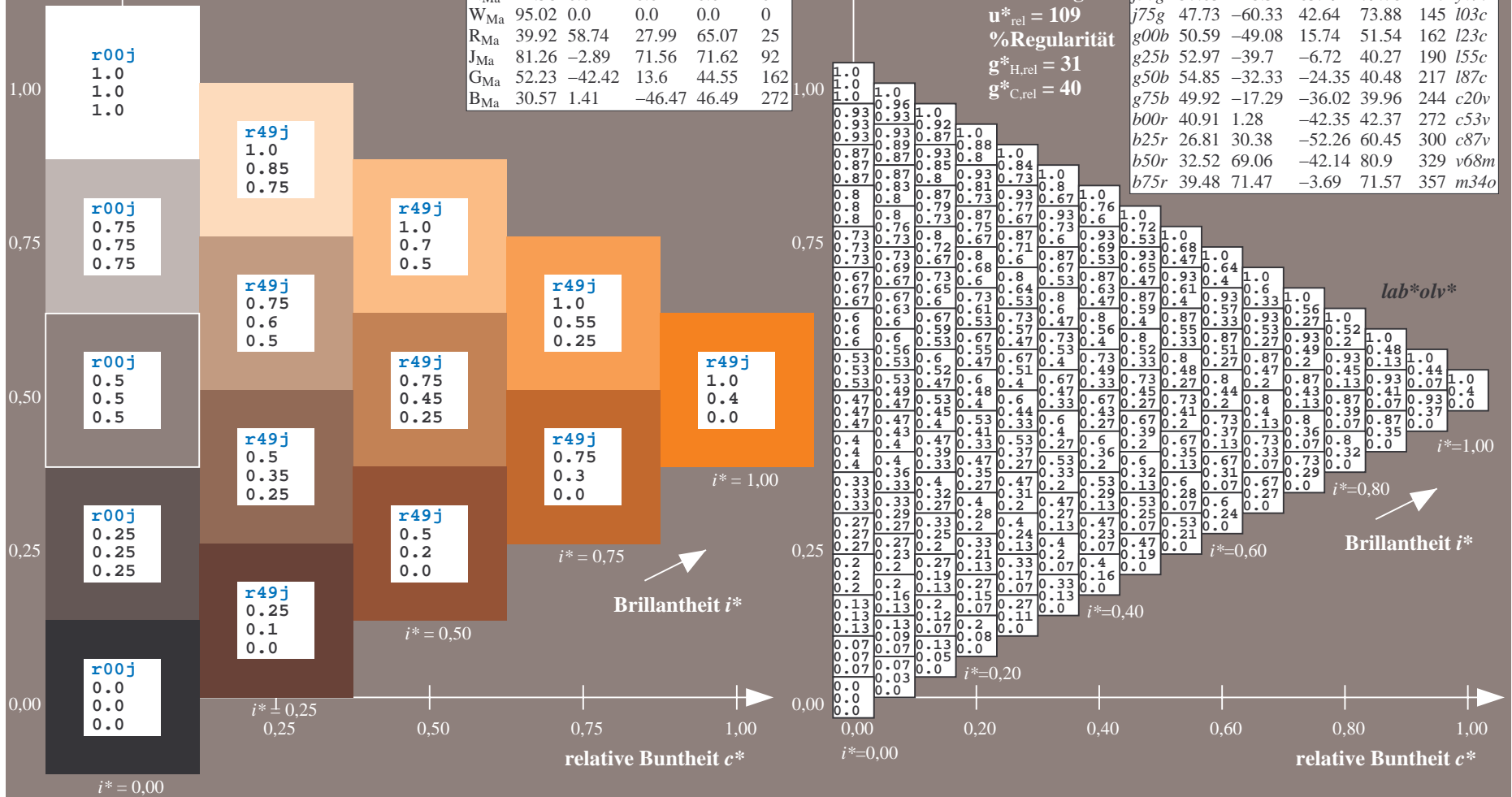
%Regularität

$g^*_{H,rel} = 31$

$g^*_{C,rel} = 40$

FRS12_95a; adaptierte CIELAB-Daten

u^*_e	$L^*=L^*_a$	a^*_a	b^*_a	$C^*_{ab,a}$	$h^*_{ab,a}$	u^*_d
r00j	38.47	63.32	30.17	70.15	25	m81o
r25j	42.12	54.56	49.45	73.64	42	o10y
r50j	53.64	39.15	64.89	75.79	59	o40y
r75j	67.01	21.26	82.83	85.52	76	o69y
j00g	86.18	-4.38	108.53	108.62	92	o98y
j25g	69.73	-29.89	83.06	88.28	110	y34l
j50g	57.03	-48.31	63.49	79.78	127	y69l
j75g	47.73	-60.33	42.64	73.88	145	103c
g00b	50.59	-49.08	15.74	51.54	162	l23c
g25b	52.97	-39.7	-6.72	40.27	190	l55c
g50b	54.85	-32.33	-24.35	40.48	217	l87c
g75b	49.92	-17.29	-36.02	39.96	244	c20v
b00r	40.91	1.28	-42.35	42.37	272	c53v
b25r	26.81	30.38	-52.26	60.45	300	c87v
b50r	32.52	69.06	-42.14	80.9	329	v68m
b75r	39.48	71.47	-3.69	71.57	357	m34o



Ein und Ausgabe: Farbmatisches Drucker-Reflektiv-System FRS12_95a, $L^*=12_95$ für relativen CIELAB-Bunton $h^* = lab^*h^* = h_{ab}/360 = 0.21$ $u^*_e = r75j$

Daten für jede Farbe:

lab^*tch^* und lab^*icu^*

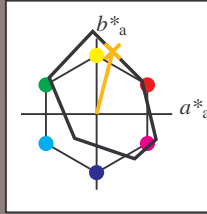
Buntontexte:

$u^*_e = r75j$ $u^*_d = o69y$

Kontrastreduzierungsfaktor:

$c_R = 1.0$

Dreiecks-Helligkeit t^*



FRS12_95a; adaptierte CIELAB-Daten

u^*_e	$L^*=L^*_a$	a^*_a	b^*_a	$C^*_{ab,a}$	$h^*_{ab,a}$
O _{Ma}	38.06	60.0	44.0	74.4	36
Y _{Ma}	86.77	-5.17	109.32	109.44	93
L _{Ma}	47.13	-62.67	48.24	79.09	142
C _{Ma}	55.66	-29.14	-31.99	43.27	228
V _{Ma}	17.15	50.3	-59.04	77.57	310
M _{Ma}	40.37	78.64	-33.5	85.48	337
N _{Ma}	11.58	0.0	0.0	0.0	0
W _{Ma}	95.02	0.0	0.0	0.0	0
R _{Ma}	39.92	58.74	27.99	65.07	25
J _{Ma}	81.26	-2.89	71.56	71.62	92
G _{Ma}	52.23	-42.42	13.6	44.55	162
B _{Ma}	30.57	1.41	-46.47	46.49	272

Daten für Maximalfarbe (Ma):

$LAB^*LAB^*_{Ma}$: 67 21 83

$LAB^*LCH^*_{Ma}$: 67 86 75

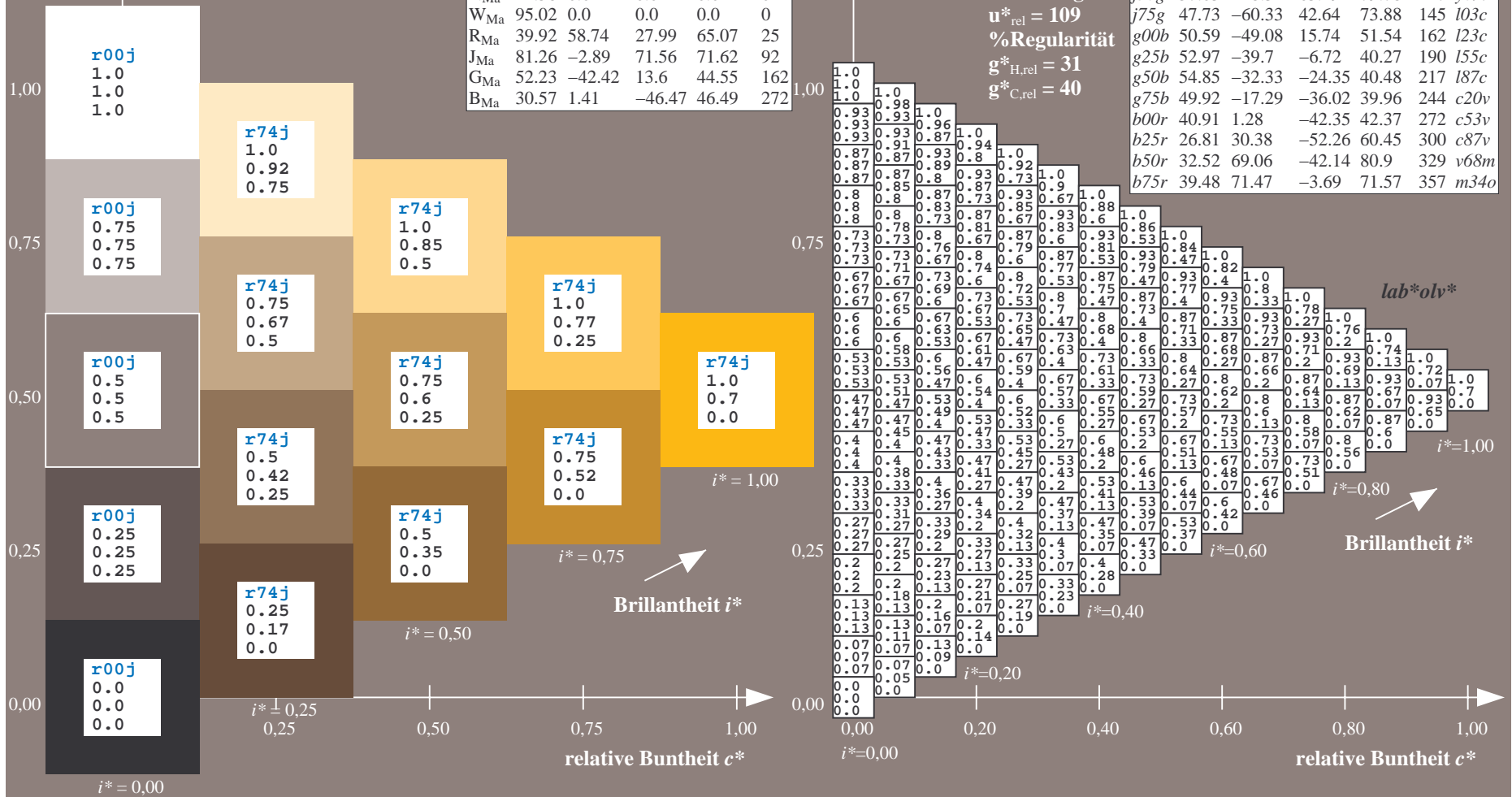
$lab^*rgb^*_{Ma}$: 1.0 0.75 0.0

$lab^*olv^*_{Ma}$: 1.0 0.7 0.0

Dreiecks-Helligkeit t^*

FRS12_95a; adaptierte CIELAB-Daten

u^*_e	$L^*=L^*_a$	a^*_a	b^*_a	$C^*_{ab,a}$	$h^*_{ab,a}$	u^*_d
r00j	38.47	63.32	30.17	70.15	25	m81o
r25j	42.12	54.56	49.45	73.64	42	o10y
r50j	53.64	39.15	64.89	75.79	59	o40y
r75j	67.01	21.26	82.83	85.52	76	o69y
j00g	86.18	-4.38	108.53	108.62	92	o98y
j25g	69.73	-29.89	83.06	88.28	110	y34l
j50g	57.03	-48.31	63.49	79.78	127	y69l
j75g	47.73	-60.33	42.64	73.88	145	103c
g00b	50.59	-49.08	15.74	51.54	162	i23c
g25b	52.97	-39.7	-6.72	40.27	190	i55c
g50b	54.85	-32.33	-24.35	40.48	217	i87c
g75b	49.92	-17.29	-36.02	39.96	244	c20v
b00r	40.91	1.28	-42.35	42.37	272	c53v
b25r	26.81	30.38	-52.26	60.45	300	c87v
b50r	32.52	69.06	-42.14	80.9	329	v68m
b75r	39.48	71.47	-3.69	71.57	357	m34o



Ein und Ausgabe: Farbmatisches Drucker-Reflektiv-System FRS12_95a, $L^*=12_95$ für relativen CIELAB-Bunton $h^* = lab^*h^* = h_{ab}/360 = 0.256$ $u^*_e = j00g$

Daten für jede Farbe:

lab^*tch^* und lab^*icu^*

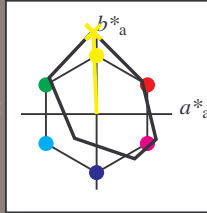
Buntontexte:

$u^*_e = j00g$ $u^*_d = o98y$

Kontrastreduzierungsfaktor:

$c_R = 1.0$

Dreiecks-Helligkeit t^*



FRS12_95a; adaptierte CIELAB-Daten

u^*_e	$L^*=L^*_a$	a^*_a	b^*_a	$C^*_{ab,a}$	$h^*_{ab,a}$
O _{Ma}	38.06	60.0	44.0	74.4	36
Y _{Ma}	86.77	-5.17	109.32	109.44	93
L _{Ma}	47.13	-62.67	48.24	79.09	142
C _{Ma}	55.66	-29.14	-31.99	43.27	228
V _{Ma}	17.15	50.3	-59.04	77.57	310
M _{Ma}	40.37	78.64	-33.5	85.48	337
N _{Ma}	11.58	0.0	0.0	0.0	0
W _{Ma}	95.02	0.0	0.0	0.0	0
R _{Ma}	39.92	58.74	27.99	65.07	25
J _{Ma}	81.26	-2.89	71.56	71.62	92
G _{Ma}	52.23	-42.42	13.6	44.55	162
B _{Ma}	30.57	1.41	-46.47	46.49	272

Daten für Maximalfarbe (Ma):

$LAB^*LAB^*_{Ma}$: 86 -4 109

$LAB^*LCH^*_{Ma}$: 86 109 92

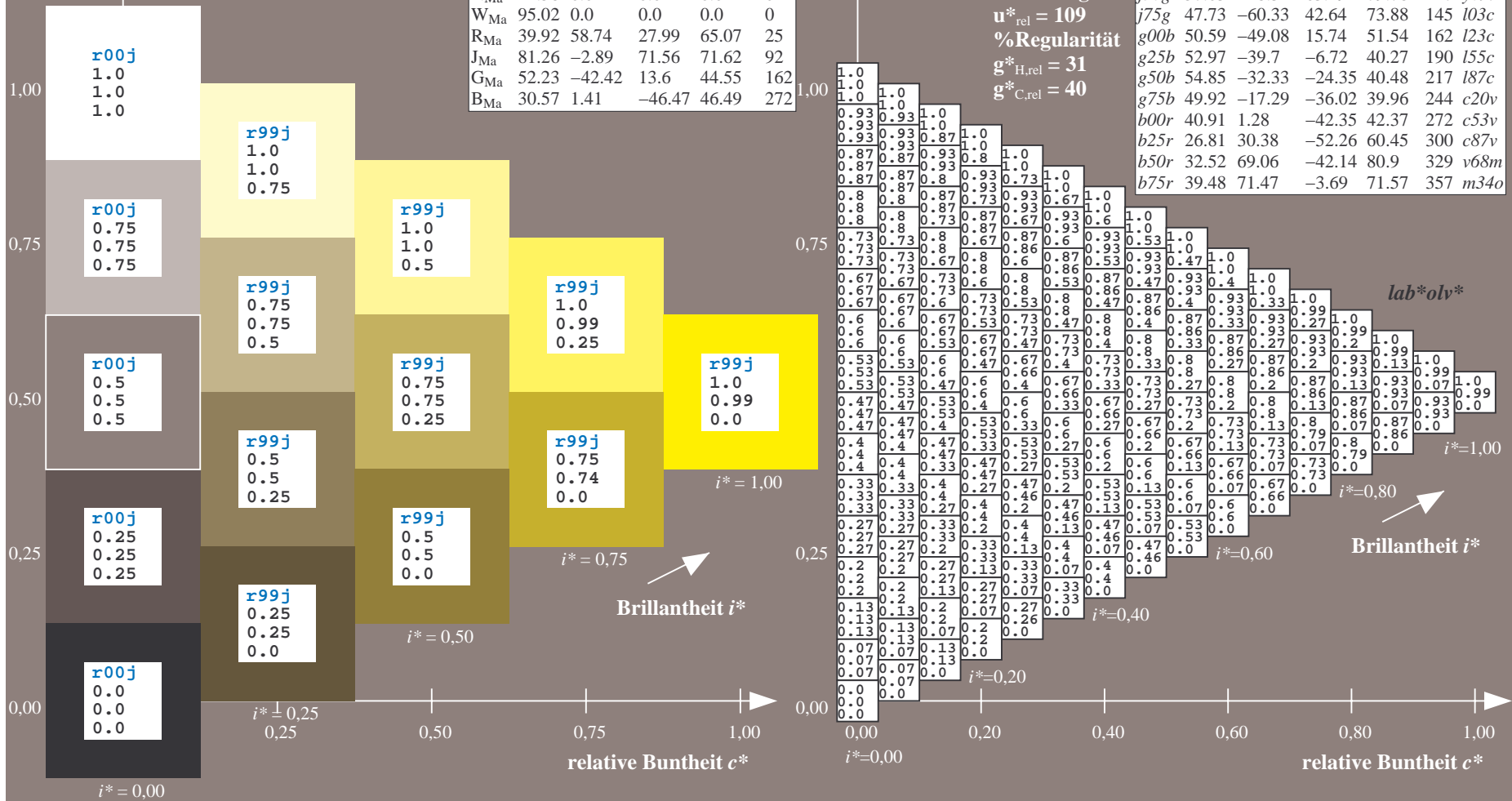
$lab^*rgb^*_{Ma}$: 1.0 1.0 0.0

$lab^*olv^*_{Ma}$: 1.0 0.99 0.0

Dreiecks-Helligkeit t^*

FRS12_95a; adaptierte CIELAB-Daten

u^*_e	$L^*=L^*_a$	a^*_a	b^*_a	$C^*_{ab,a}$	$h^*_{ab,a}$	u^*_d
r00j	38.47	63.32	30.17	70.15	25	m81o
r25j	42.12	54.56	49.45	73.64	42	o10y
r50j	53.64	39.15	64.89	75.79	59	o40y
r75j	67.01	21.26	82.83	85.52	76	o69y
j00g	86.18	-4.38	108.53	108.62	92	o98y
j25g	69.73	-29.89	83.06	88.28	110	y34l
j50g	57.03	-48.31	63.49	79.78	127	y69l
j75g	47.73	-60.33	42.64	73.88	145	l03c
g00b	50.59	-49.08	15.74	51.54	162	i23c
g25b	52.97	-39.7	-6.72	40.27	190	i55c
g50b	54.85	-32.33	-24.35	40.48	217	i87c
g75b	49.92	-17.29	-36.02	39.96	244	c20v
b00r	40.91	1.28	-42.35	42.37	272	c53v
b25r	26.81	30.38	-52.26	60.45	300	c87v
b50r	32.52	69.06	-42.14	80.9	329	v68m
b75r	39.48	71.47	-3.69	71.57	357	m34o



Ein und Ausgabe: Farbmatisches Drucker-Reflektiv-System FRS12_95a, $L^*=12_95$ für relativen CIELAB-Bunton $h^* = lab^*h^* = h_{ab}/360 = 0.305$ $u^*_e = j25g$

Daten für jede Farbe:

lab^*ch^* und lab^*icu^*

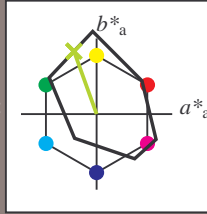
Buntontexte:

$u^*_e = j25g$ $u^*_d = y34l$

Kontrastreduzierungsfaktor:

$c_R = 1.0$

Dreiecks-Helligkeit t^*



FRS12_95a; adaptierte CIELAB-Daten

u^*_e	$L^*=L^*_a$	a^*_a	b^*_a	$C^*_{ab,a}$	$h^*_{ab,a}$
O _{Ma}	38.06	60.0	44.0	74.4	36
Y _{Ma}	86.77	-5.17	109.32	109.44	93
L _{Ma}	47.13	-62.67	48.24	79.09	142
C _{Ma}	55.66	-29.14	-31.99	43.27	228
V _{Ma}	17.15	50.3	-59.04	77.57	310
M _{Ma}	40.37	78.64	-33.5	85.48	337
N _{Ma}	11.58	0.0	0.0	0.0	0
W _{Ma}	95.02	0.0	0.0	0.0	0
R _{Ma}	39.92	58.74	27.99	65.07	25
J _{Ma}	81.26	-2.89	71.56	71.62	92
G _{Ma}	52.23	-42.42	13.6	44.55	162
B _{Ma}	30.57	1.41	-46.47	46.49	272

Daten für Maximalfarbe (Ma):

$LAB^*LAB^*_{Ma}: 70 -30 83$

$LAB^*LCH^*_{Ma}: 70 88 109$

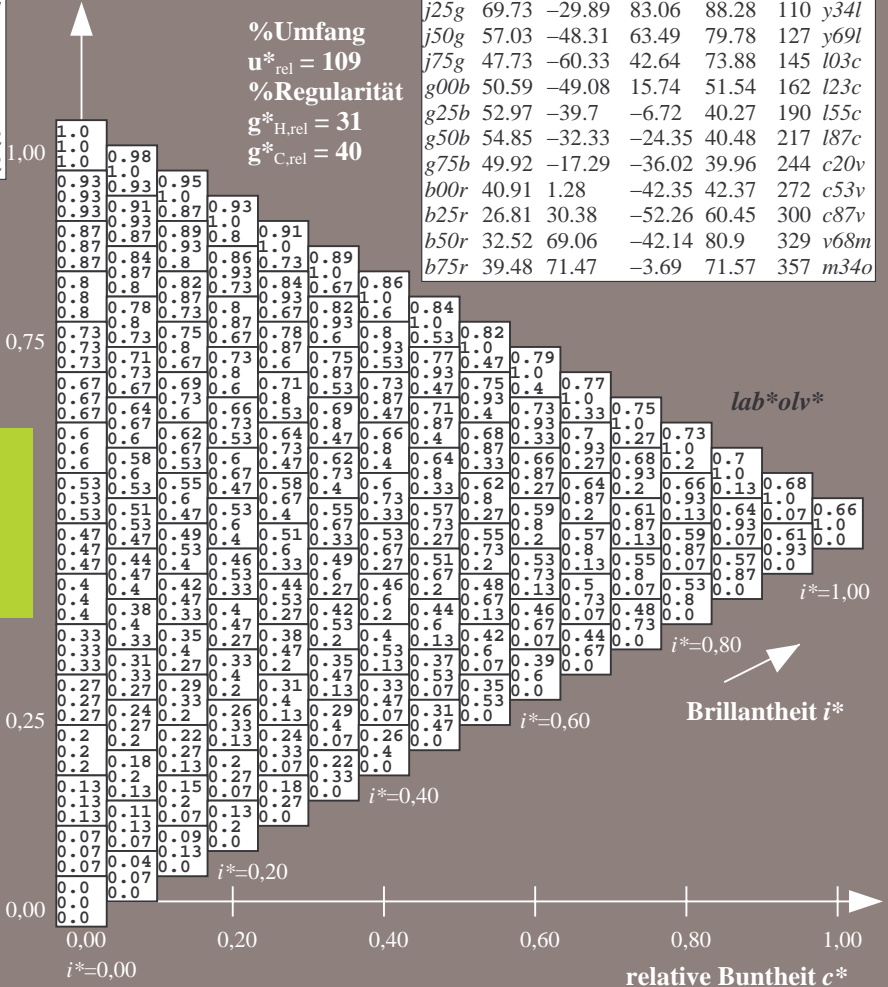
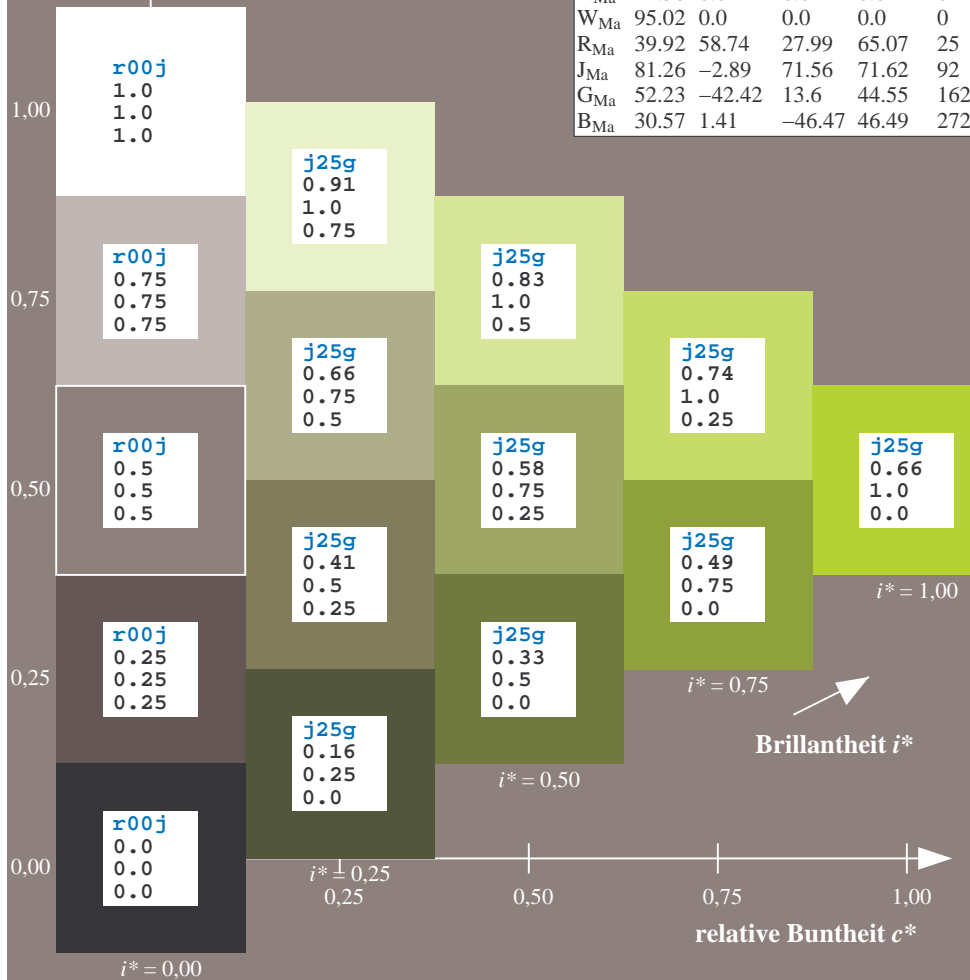
$lab^*rgb^*_{Ma}: 0.75 1.0 0.0$

$lab^*olv^*_{Ma}: 0.66 1.0 0.0$

Dreiecks-Helligkeit t^*

FRS12_95a; adaptierte CIELAB-Daten

u^*_e	$L^*=L^*_a$	a^*_a	b^*_a	$C^*_{ab,a}$	$h^*_{ab,a}$	u^*_d
r00j	38.47	63.32	30.17	70.15	25	m81o
r25j	42.12	54.56	49.45	73.64	42	o10y
r50j	53.64	39.15	64.89	75.79	59	o40y
r75j	67.01	21.26	82.83	85.52	76	o69y
j00g	86.18	-4.38	108.53	108.62	92	o98y
j25g	69.73	-29.89	83.06	88.28	110	y34l
j50g	57.03	-48.31	63.49	79.78	127	y69l
j75g	47.73	-60.33	42.64	73.88	145	l03c
g00b	50.59	-49.08	15.74	51.54	162	i23c
g25b	52.97	-39.7	-6.72	40.27	190	i55c
g50b	54.85	-32.33	-24.35	40.48	217	i87c
g75b	49.92	-17.29	-36.02	39.96	244	c20v
b00r	40.91	1.28	-42.35	42.37	272	c53v
b25r	26.81	30.38	-52.26	60.45	300	c87v
b50r	32.52	69.06	-42.14	80.9	329	v68m
b75r	39.48	71.47	-3.69	71.57	357	m34o



Ein und Ausgabe: Farbmatisches Drucker-Reflektiv-System FRS12_95a, $L^*=12_95$ für relativen CIELAB-Bunton $h^* = lab^*h^* = h_{ab}/360 = 0.354$ $u^*_e = j50g$
 $lab^*ol_v^*$

Daten für jede Farbe:

lab^*tch^* und lab^*icu^*

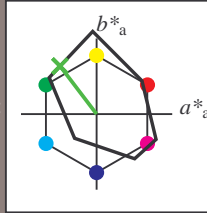
Buntontexte:

$u^*_e = j50g$ $u^*_d = y69l$

Kontrastreduzierungsfaktor:

$c_R = 1.0$

Dreiecks-Helligkeit t^*



FRS12_95a; adaptierte CIELAB-Daten

u^*_e	$L^*=L^*_a$	a^*_a	b^*_a	$C^*_{ab,a}$	$h^*_{ab,a}$
O _{Ma}	38.06	60.0	44.0	74.4	36
Y _{Ma}	86.77	-5.17	109.32	109.44	93
L _{Ma}	47.13	-62.67	48.24	79.09	142
C _{Ma}	55.66	-29.14	-31.99	43.27	228
V _{Ma}	17.15	50.3	-59.04	77.57	310
M _{Ma}	40.37	78.64	-33.5	85.48	337
N _{Ma}	11.58	0.0	0.0	0.0	0
W _{Ma}	95.02	0.0	0.0	0.0	0
R _{Ma}	39.92	58.74	27.99	65.07	25
J _{Ma}	81.26	-2.89	71.56	71.62	92
G _{Ma}	52.23	-42.42	13.6	44.55	162
B _{Ma}	30.57	1.41	-46.47	46.49	272

Daten für Maximalfarbe (Ma):

$LAB^*LAB^*_{Ma}$: 57 -48 63

$LAB^*LCH^*_{Ma}$: 57 80 127

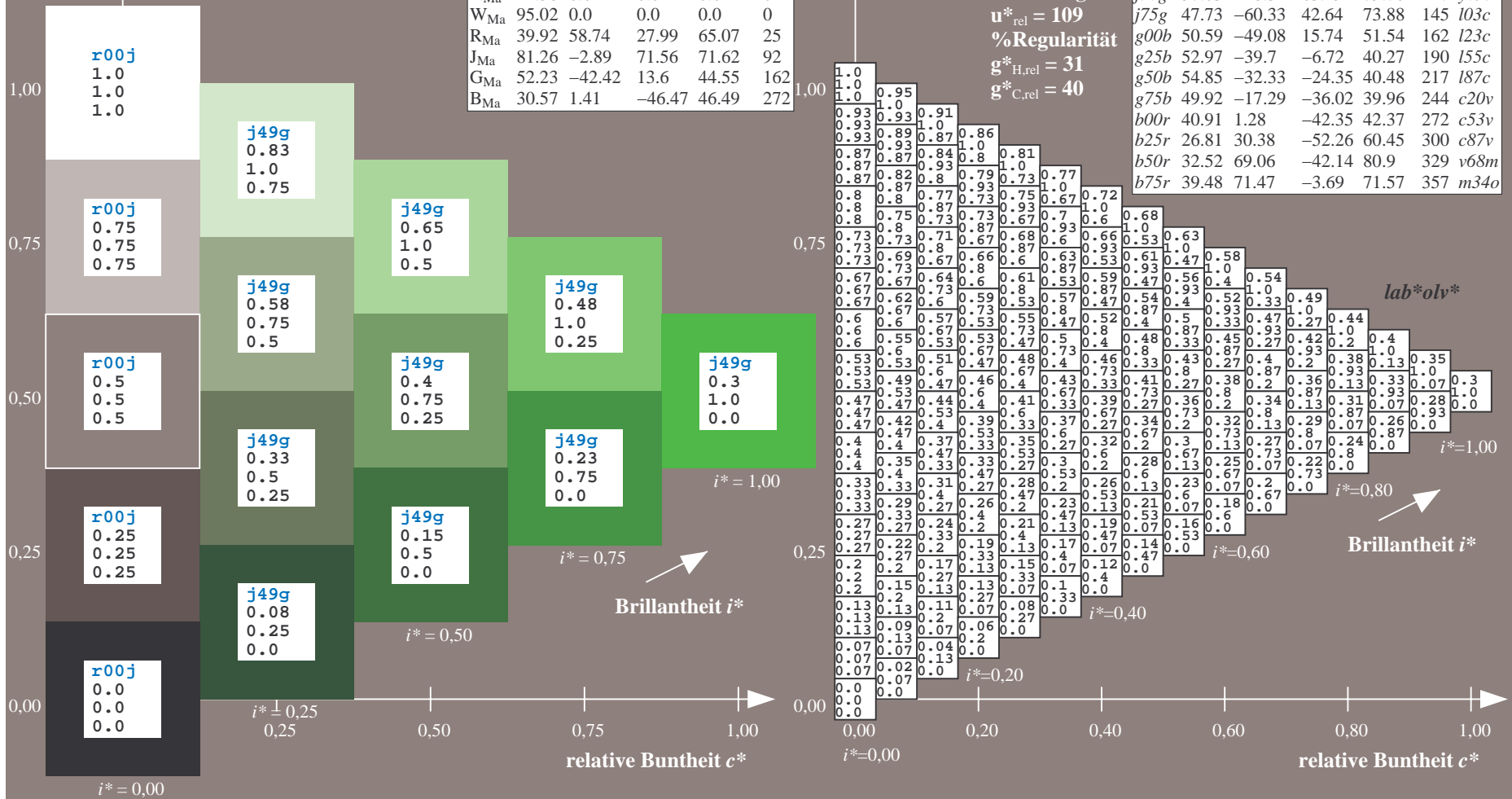
$lab^*rgb^*_{Ma}$: 0.5 1.0 0.0

$lab^*ol_v^*_{Ma}$: 0.3 1.0 0.0

Dreiecks-Helligkeit t^*

FRS12_95a; adaptierte CIELAB-Daten

u^*_e	$L^*=L^*_a$	a^*_a	b^*_a	$C^*_{ab,a}$	$h^*_{ab,a}$	u^*_d
r00j	38.47	63.32	30.17	70.15	25	m81o
r25j	42.12	54.56	49.45	73.64	42	o10y
r50j	53.64	39.15	64.89	75.79	59	o40y
r75j	67.01	21.26	82.83	85.52	76	o69y
j00g	86.18	-4.38	108.53	108.62	92	o98y
j25g	69.73	-29.89	83.06	88.28	110	y34l
j50g	57.03	-48.31	63.49	79.78	127	y69l
j75g	47.73	-60.33	42.64	73.88	145	l03c
g00b	50.59	-49.08	15.74	51.54	162	i23c
g25b	52.97	-39.7	-6.72	40.27	190	i55c
g50b	54.85	-32.33	-24.35	40.48	217	i87c
g75b	49.92	-17.29	-36.02	39.96	244	c20v
b00r	40.91	1.28	-42.35	42.37	272	c53v
b25r	26.81	30.38	-52.26	60.45	300	c87v
b50r	32.52	69.06	-42.14	80.9	329	v68m
b75r	39.48	71.47	-3.69	71.57	357	m34o



Ein und Ausgabe: Farbmatisches Drucker-Reflektiv-System FRS12_95a, $L^*=12_95$ für relativen CIELAB-Bunton $h^* = lab^*h^* = h_{ab}/360 = 0.402$ $u^*_e = j75g$

Daten für jede Farbe:

lab^*ch^* und lab^*icu^*

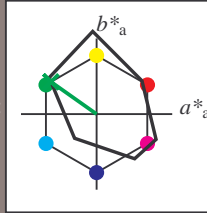
Buntontexte:

$u^*_e = j75g$ $u^*_d = l03c$

Kontrastreduzierungsfaktor:

$c_R = 1.0$

Dreiecks-Helligkeit t^*



FRS12_95a; adaptierte CIELAB-Daten

u^*_e	$L^*=L^*_a$	a^*_a	b^*_a	$C^*_{ab,a}$	$h^*_{ab,a}$
O _{Ma}	38.06	60.0	44.0	74.4	36
Y _{Ma}	86.77	-5.17	109.32	109.44	93
L _{Ma}	47.13	-62.67	48.24	79.09	142
C _{Ma}	55.66	-29.14	-31.99	43.27	228
V _{Ma}	17.15	50.3	-59.04	77.57	310
M _{Ma}	40.37	78.64	-33.5	85.48	337
N _{Ma}	11.58	0.0	0.0	0.0	0
W _{Ma}	95.02	0.0	0.0	0.0	0
R _{Ma}	39.92	58.74	27.99	65.07	25
J _{Ma}	81.26	-2.89	71.56	71.62	92
G _{Ma}	52.23	-42.42	13.6	44.55	162
B _{Ma}	30.57	1.41	-46.47	46.49	272

Daten für Maximalfarbe (Ma):

$LAB^*LAB^*_{Ma}$: 48 -60 43

$LAB^*LCH^*_{Ma}$: 48 74 144

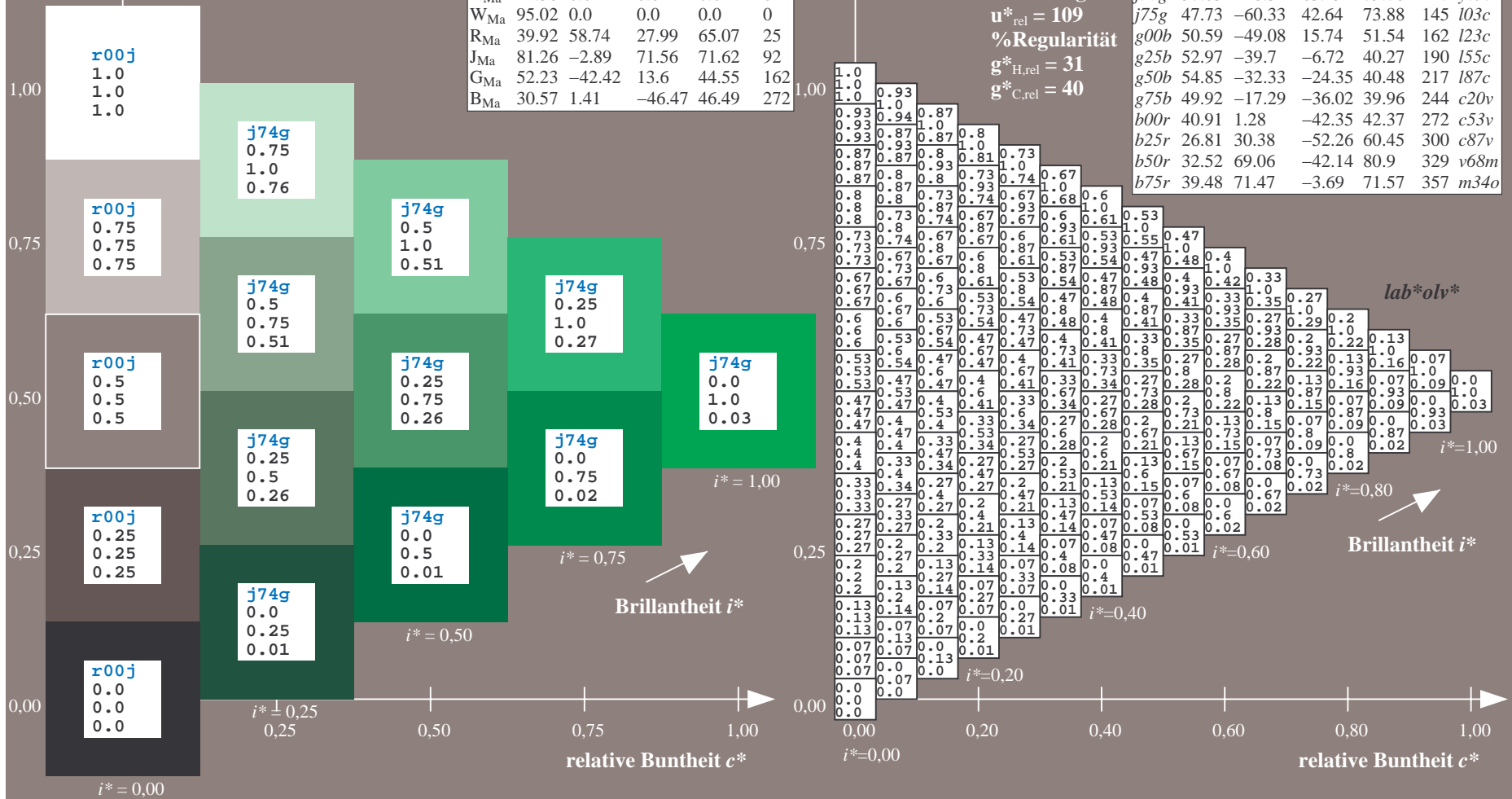
$lab^*rgb^*_{Ma}$: 0.25 1.0 0.0

$lab^*olv^*_{Ma}$: 0.0 1.0 0.03

Dreiecks-Helligkeit t^*

FRS12_95a; adaptierte CIELAB-Daten

u^*_e	$L^*=L^*_a$	a^*_a	b^*_a	$C^*_{ab,a}$	$h^*_{ab,a}$	u^*_d
r00j	38.47	63.32	30.17	70.15	25	m81o
r25j	42.12	54.56	49.45	73.64	42	o10y
r50j	53.64	39.15	64.89	75.79	59	o40y
r75j	67.01	21.26	82.83	85.52	76	o69y
j00g	86.18	-4.38	108.53	108.62	92	o98y
j25g	69.73	-29.89	83.06	88.28	110	y34l
j50g	57.03	-48.31	63.49	79.78	127	y69l
j75g	47.73	-60.33	42.64	73.88	145	l03c
g00b	50.59	-49.08	15.74	51.54	162	i23c
g25b	52.97	-39.7	-6.72	40.27	190	i55c
g50b	54.85	-32.33	-24.35	40.48	217	i87c
g75b	49.92	-17.29	-36.02	39.96	244	c20v
b00r	40.91	1.28	-42.35	42.37	272	c53v
b25r	26.81	30.38	-52.26	60.45	300	c87v
b50r	32.52	69.06	-42.14	80.9	329	v68m
b75r	39.48	71.47	-3.69	71.57	357	m34o



Ein und Ausgabe: Farbmatisches Drucker-Reflektiv-System FRS12_95a, $L^*=12_95$ für relativen CIELAB-Bunton $h^* = lab^*h^* = h_{ab}/360 = 0.451$ $u^*_e = g00b$

Daten für jede Farbe:

lab^*ch^* und lab^*icu^*

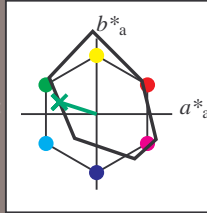
Buntontexte:

$u^*_e = g00b$ $u^*_d = l23c$

Kontrastreduzierungsfaktor:

$c_R = 1.0$

Dreiecks-Helligkeit t^*



FRS12_95a; adaptierte CIELAB-Daten

u^*_e	$L^*=L^*_a$	a^*_a	b^*_a	$C^*_{ab,a}$	$h^*_{ab,a}$
O _{Ma}	38.06	60.0	44.0	74.4	36
Y _{Ma}	86.77	-5.17	109.32	109.44	93
L _{Ma}	47.13	-62.67	48.24	79.09	142
C _{Ma}	55.66	-29.14	-31.99	43.27	228
V _{Ma}	17.15	50.3	-59.04	77.57	310
M _{Ma}	40.37	78.64	-33.5	85.48	337
N _{Ma}	11.58	0.0	0.0	0.0	0
W _{Ma}	95.02	0.0	0.0	0.0	0
R _{Ma}	39.92	58.74	27.99	65.07	25
J _{Ma}	81.26	-2.89	71.56	71.62	92
G _{Ma}	52.23	-42.42	13.6	44.55	162
B _{Ma}	30.57	1.41	-46.47	46.49	272

Daten für Maximalfarbe (Ma):

$LAB^*LAB^*_{Ma}$: 51 -49 16

$LAB^*LCH^*_{Ma}$: 51 52 162

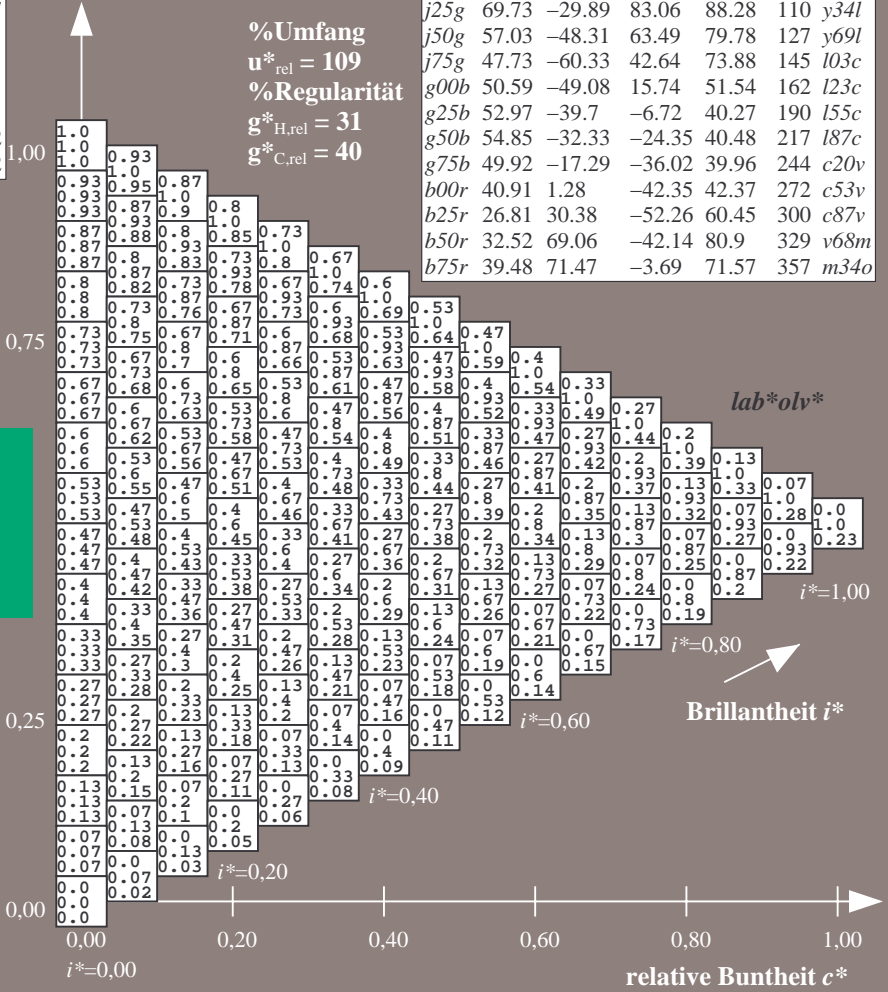
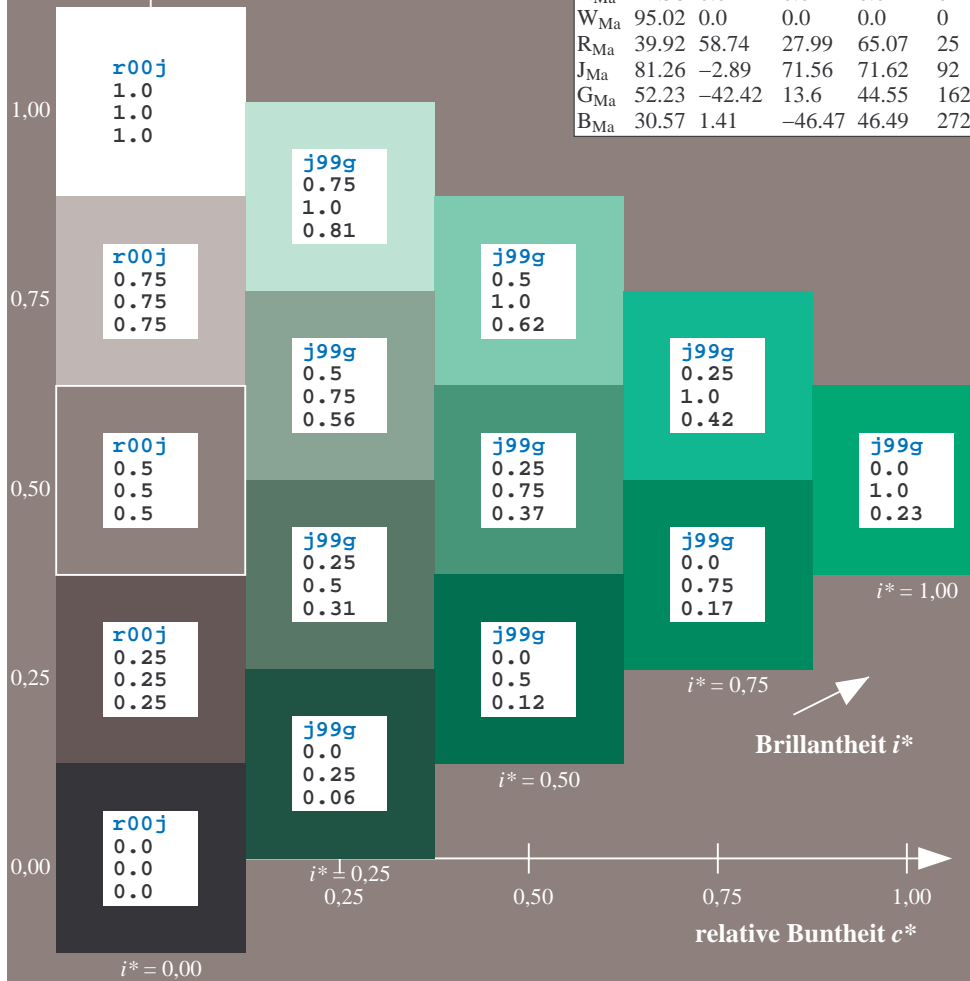
$lab^*rgb^*_{Ma}$: 0.0 1.0 0.0

$lab^*olv^*_{Ma}$: 0.0 1.0 0.23

Dreiecks-Helligkeit t^*

FRS12_95a; adaptierte CIELAB-Daten

u^*_e	$L^*=L^*_a$	a^*_a	b^*_a	$C^*_{ab,a}$	$h^*_{ab,a}$	u^*_d
r00j	38.47	63.32	30.17	70.15	25	m81o
r25j	42.12	54.56	49.45	73.64	42	o10y
r50j	53.64	39.15	64.89	75.79	59	o40y
r75j	67.01	21.26	82.83	85.52	76	o69y
j00g	86.18	-4.38	108.53	108.62	92	o98y
j25g	69.73	-29.89	83.06	88.28	110	y34l
j50g	57.03	-48.31	63.49	79.78	127	y69l
j75g	47.73	-60.33	42.64	73.88	145	l03c
g00b	50.59	-49.08	15.74	51.54	162	l23c
g25b	52.97	-39.7	-6.72	40.27	190	l55c
g50b	54.85	-32.33	-24.35	40.48	217	l87c
g75b	49.92	-17.29	-36.02	39.96	244	c20v
b00r	40.91	1.28	-42.35	42.37	272	c53v
b25r	26.81	30.38	-52.26	60.45	300	c87v
b50r	32.52	69.06	-42.14	80.9	329	v68m
b75r	39.48	71.47	-3.69	71.57	357	m34o



Ein und Ausgabe: Farbmatisches Drucker-Reflektiv-System FRS12_95a, $L^*=12_95$ für relativen CIELAB-Bunton $h^* = lab^*h^* = h_{ab}/360 = 0.527$ $u^*_e = g25b$

Daten für jede Farbe:

lab^*ch^* und lab^*icu^*

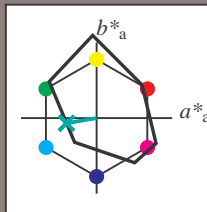
Buntontexte:

$u^*_e = g25b$ $u^*_d = l55c$

Kontrastreduzierungsfaktor:

$c_R = 1.0$

Dreiecks-Helligkeit t^*



FRS12_95a; adaptierte CIELAB-Daten

u^*_e	$L^*=L^*_a$	a^*_a	b^*_a	$C^*_{ab,a}$	$h^*_{ab,a}$
O _{Ma}	38.06	60.0	44.0	74.4	36
Y _{Ma}	86.77	-5.17	109.32	109.44	93
L _{Ma}	47.13	-62.67	48.24	79.09	142
C _{Ma}	55.66	-29.14	-31.99	43.27	228
V _{Ma}	17.15	50.3	-59.04	77.57	310
M _{Ma}	40.37	78.64	-33.5	85.48	337
N _{Ma}	11.58	0.0	0.0	0.0	0
W _{Ma}	95.02	0.0	0.0	0.0	0
R _{Ma}	39.92	58.74	27.99	65.07	25
J _{Ma}	81.26	-2.89	71.56	71.62	92
G _{Ma}	52.23	-42.42	13.6	44.55	162
B _{Ma}	30.57	1.41	-46.47	46.49	272

Daten für Maximalfarbe (Ma):

$LAB^*LAB^*_{Ma}$: 53 -40 -7

$LAB^*LCH^*_{Ma}$: 53 40 189

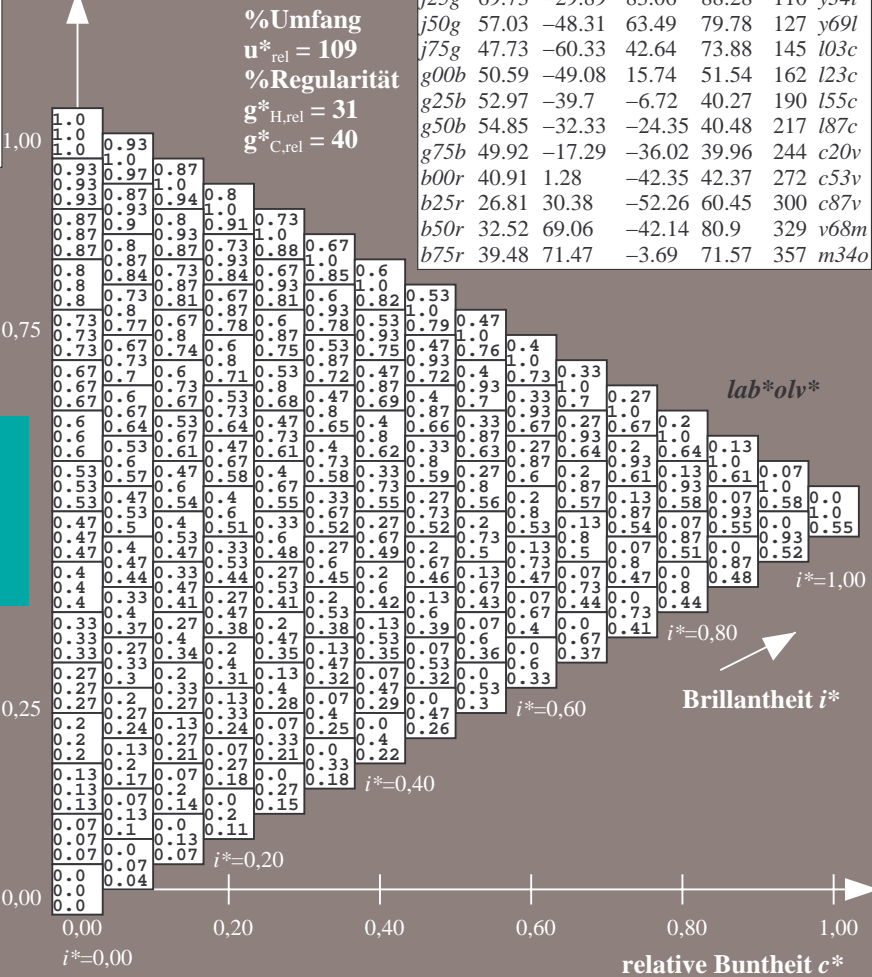
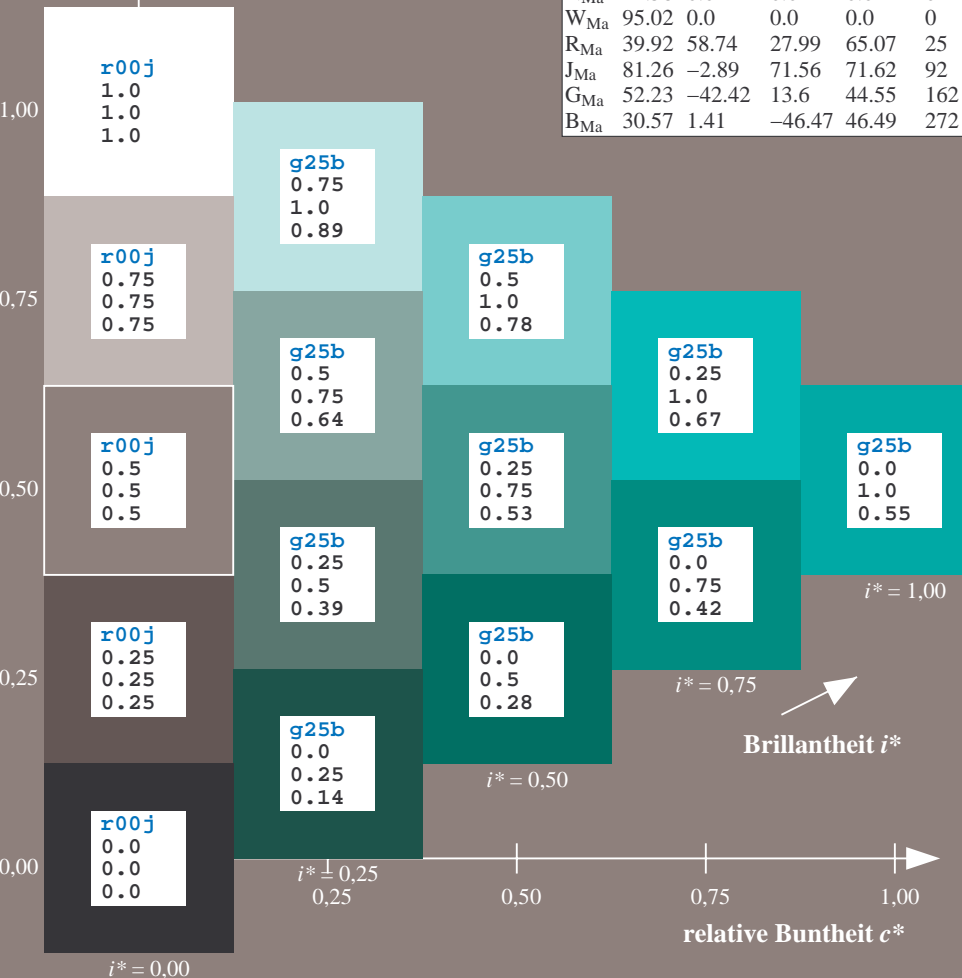
$lab^*rgb^*_{Ma}$: 0.0 1.0 0.5

$lab^*olv^*_{Ma}$: 0.0 1.0 0.55

Dreiecks-Helligkeit t^*

FRS12_95a; adaptierte CIELAB-Daten

u^*_e	$L^*=L^*_a$	a^*_a	b^*_a	$C^*_{ab,a}$	$h^*_{ab,a}$	u^*_d
r00j	38.47	63.32	30.17	70.15	25	m81o
r25j	42.12	54.56	49.45	73.64	42	o10y
r50j	53.64	39.15	64.89	75.79	59	o40y
r75j	67.01	21.26	82.83	85.52	76	o69y
j00g	86.18	-4.38	108.53	108.62	92	o98y
j25g	69.73	-29.89	83.06	88.28	110	y34l
j50g	57.03	-48.31	63.49	79.78	127	y69l
j75g	47.73	-60.33	42.64	73.88	145	l03c
g00b	50.59	-49.08	15.74	51.54	162	l23c
g25b	52.97	-39.7	-6.72	40.27	190	l55c
g50b	54.85	-32.33	-24.35	40.48	217	l87c
g75b	49.92	-17.29	-36.02	39.96	244	c20v
b00r	40.91	1.28	-42.35	42.37	272	c53v
b25r	26.81	30.38	-52.26	60.45	300	c87v
b50r	32.52	69.06	-42.14	80.9	329	v68m
b75r	39.48	71.47	-3.69	71.57	357	m34o



Ein und Ausgabe: Farbmatisches Drucker-Reflektiv-System FRS12_95a, $L^*=12_95$ für relativen CIELAB-Bunton $h^* = lab^*h^* = h_{ab}/360 = 0.603$ $u^*_e = g50b$

Daten für jede Farbe:

lab^*ch^* und lab^*icu^*

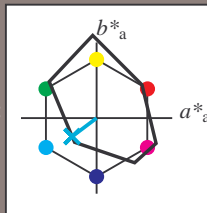
Buntontexte:

$u^*_e = g50b$ $u^*_d = l87c$

Kontrastreduzierungsfaktor:

$c_R = 1.0$

Dreiecks-Helligkeit t^*



FRS12_95a; adaptierte CIELAB-Daten

u^*_e	$L^*=L^*_a$	a^*_a	b^*_a	$C^*_{ab,a}$	$h^*_{ab,a}$
O _{Ma}	38.06	60.0	44.0	74.4	36
Y _{Ma}	86.77	-5.17	109.32	109.44	93
L _{Ma}	47.13	-62.67	48.24	79.09	142
C _{Ma}	55.66	-29.14	-31.99	43.27	228
V _{Ma}	17.15	50.3	-59.04	77.57	310
M _{Ma}	40.37	78.64	-33.5	85.48	337
N _{Ma}	11.58	0.0	0.0	0.0	0
W _{Ma}	95.02	0.0	0.0	0.0	0
R _{Ma}	39.92	58.74	27.99	65.07	25
J _{Ma}	81.26	-2.89	71.56	71.62	92
G _{Ma}	52.23	-42.42	13.6	44.55	162
B _{Ma}	30.57	1.41	-46.47	46.49	272

Daten für Maximalfarbe (Ma):

$LAB^*LAB^*_{Ma}: 55 -32 -24$

$LAB^*LCH^*_{Ma}: 55 40 216$

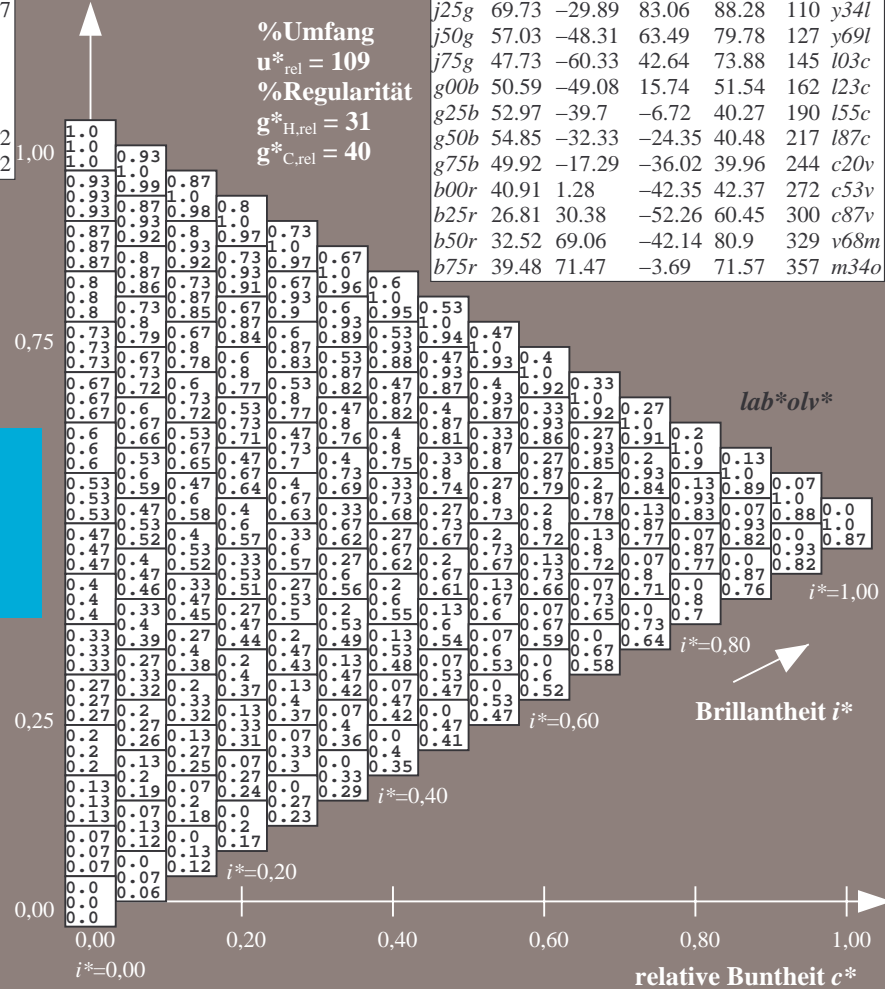
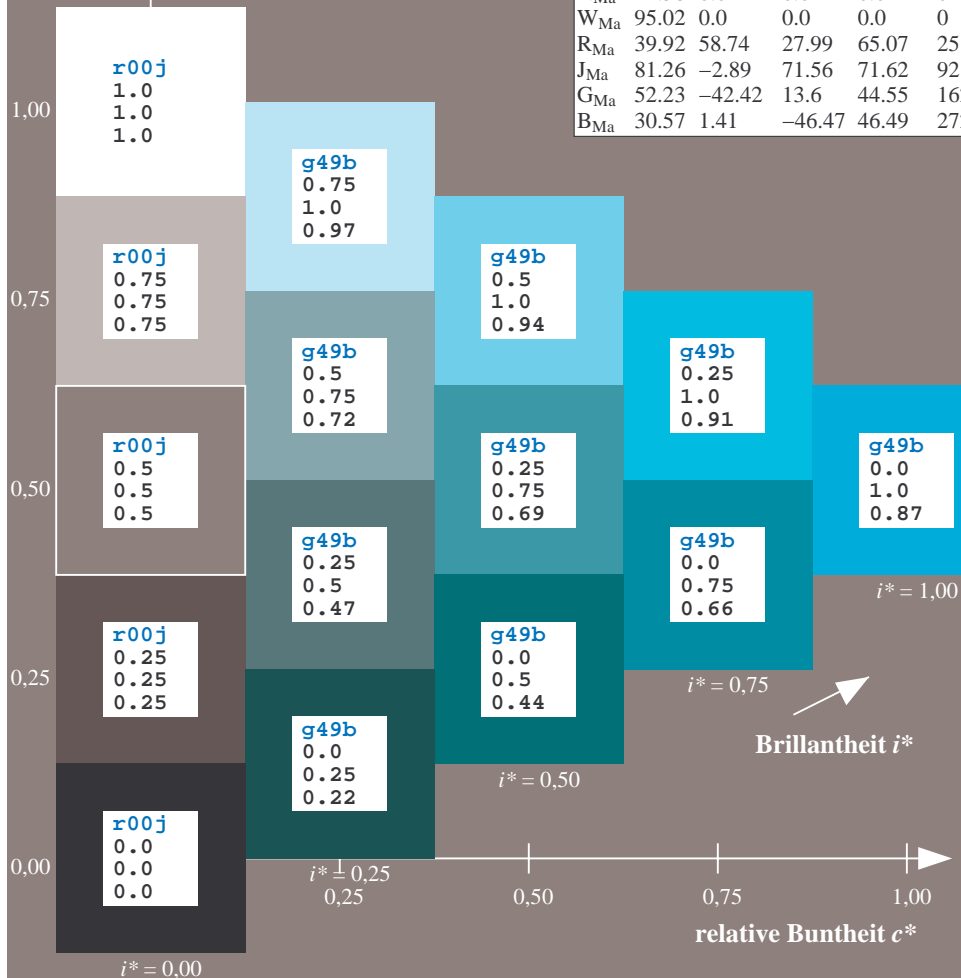
$lab^*rgb^*_{Ma}: 0.0 1.0 1.0$

$lab^*olv^*_{Ma}: 0.0 1.0 0.87$

Dreiecks-Helligkeit t^*

FRS12_95a; adaptierte CIELAB-Daten

u^*_e	$L^*=L^*_a$	a^*_a	b^*_a	$C^*_{ab,a}$	$h^*_{ab,a}$	u^*_d
r00j	38.47	63.32	30.17	70.15	25	m81o
r25j	42.12	54.56	49.45	73.64	42	o10y
r50j	53.64	39.15	64.89	75.79	59	o40y
r75j	67.01	21.26	82.83	85.52	76	o69y
j00g	86.18	-4.38	108.53	108.62	92	o98y
j25g	69.73	-29.89	83.06	88.28	110	y34l
j50g	57.03	-48.31	63.49	79.78	127	y69l
j75g	47.73	-60.33	42.64	73.88	145	103c
g00b	50.59	-49.08	15.74	51.54	162	l23c
g25b	52.97	-39.7	-6.72	40.27	190	l55c
g50b	54.85	-32.33	-24.35	40.48	217	l87c
g75b	49.92	-17.29	-36.02	39.96	244	c20v
b00r	40.91	1.28	-42.35	42.37	272	c53v
b25r	26.81	30.38	-52.26	60.45	300	c87v
b50r	32.52	69.06	-42.14	80.9	329	v68m
b75r	39.48	71.47	-3.69	71.57	357	m34o



Ein und Ausgabe: Farbmatisches Drucker-Reflektiv-System FRS12_95a, $L^*=12_{95}$ für relativen CIELAB-Bunton $h^* = lab^*h^* = h_{ab}/360 = 0.679$ $u^*_e = g75b$

Daten für jede Farbe:

lab^*tch^* und lab^*icu^*

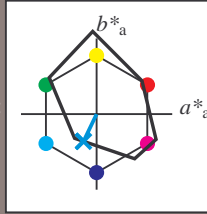
Buntontexte:

$u^*_e = g75b$ $u^*_d = c20v$

Kontrastreduzierungsfaktor:

$c_R = 1.0$

Dreiecks-Helligkeit t^*



FRS12_95a; adaptierte CIELAB-Daten

u^*_e	$L^*=L^*_a$	a^*_a	b^*_a	$C^*_{ab,a}$	$h^*_{ab,a}$
O _{Ma}	38.06	60.0	44.0	74.4	36
Y _{Ma}	86.77	-5.17	109.32	109.44	93
L _{Ma}	47.13	-62.67	48.24	79.09	142
C _{Ma}	55.66	-29.14	-31.99	43.27	228
V _{Ma}	17.15	50.3	-59.04	77.57	310
M _{Ma}	40.37	78.64	-33.5	85.48	337
N _{Ma}	11.58	0.0	0.0	0.0	0
W _{Ma}	95.02	0.0	0.0	0.0	0
R _{Ma}	39.92	58.74	27.99	65.07	25
J _{Ma}	81.26	-2.89	71.56	71.62	92
G _{Ma}	52.23	-42.42	13.6	44.55	162
B _{Ma}	30.57	1.41	-46.47	46.49	272

Daten für Maximalfarbe (Ma):

$LAB^*LAB^*_{Ma}$: 50 -17 -36

$LAB^*LCH^*_{Ma}$: 50 40 244

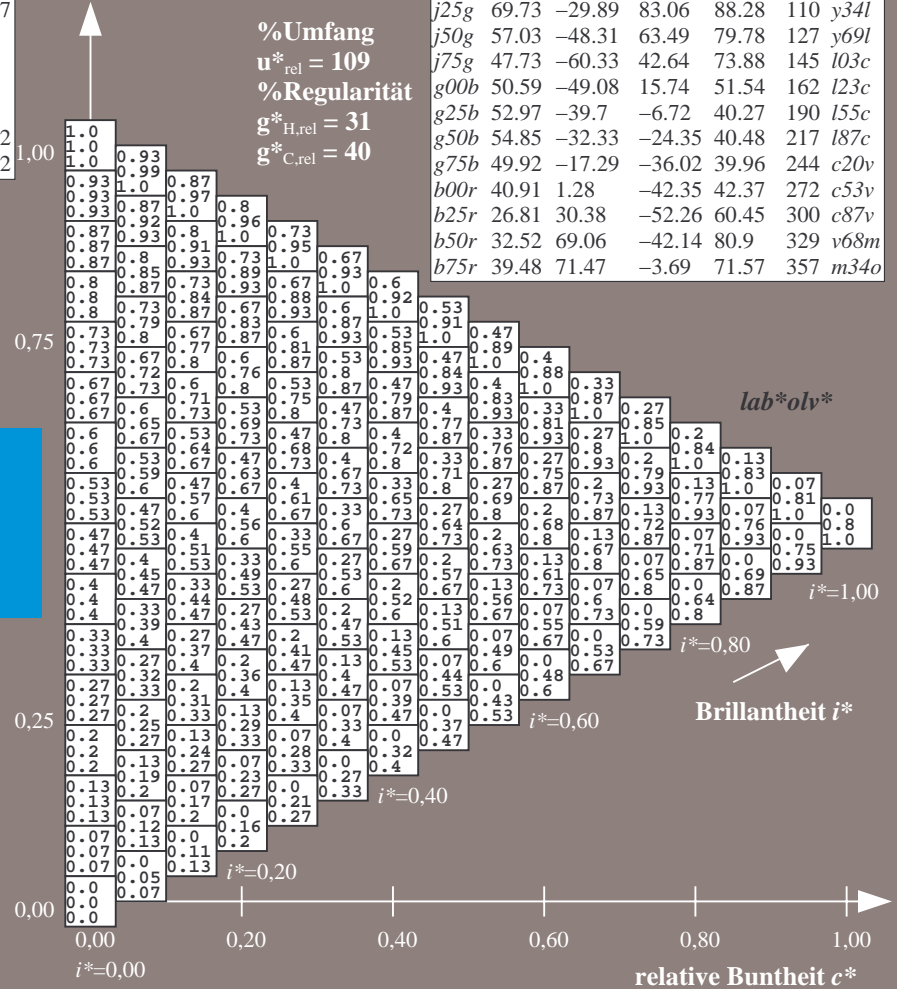
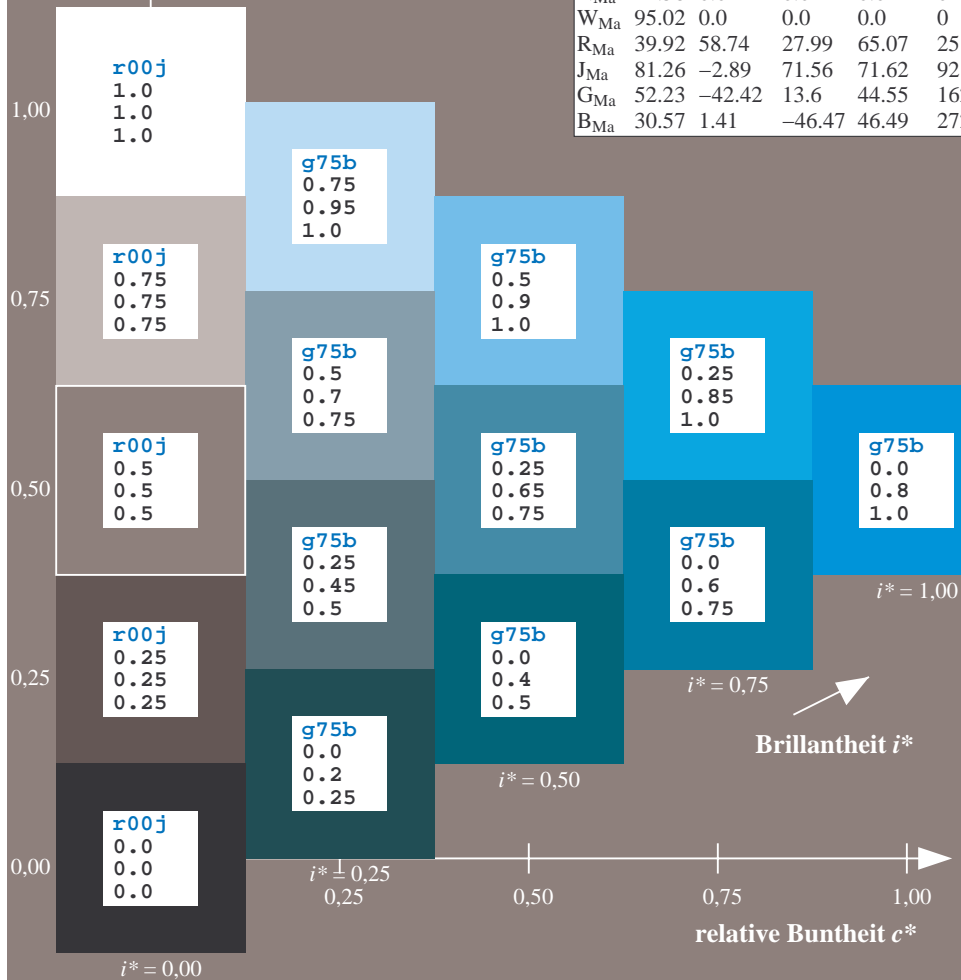
$lab^*rgb^*_{Ma}$: 0.0 0.5 1.0

$lab^*olv^*_{Ma}$: 0.0 0.8 1.0

Dreiecks-Helligkeit t^*

FRS12_95a; adaptierte CIELAB-Daten

u^*_e	$L^*=L^*_a$	a^*_a	b^*_a	$C^*_{ab,a}$	$h^*_{ab,a}$	u^*_d
r00j	38.47	63.32	30.17	70.15	25	m81o
r25j	42.12	54.56	49.45	73.64	42	o10y
r50j	53.64	39.15	64.89	75.79	59	o40y
r75j	67.01	21.26	82.83	85.52	76	o69y
j00g	86.18	-4.38	108.53	108.62	92	o98y
j25g	69.73	-29.89	83.06	88.28	110	y34l
j50g	57.03	-48.31	63.49	79.78	127	y69l
j75g	47.73	-60.33	42.64	73.88	145	103c
g00b	50.59	-49.08	15.74	51.54	162	123c
g25b	52.97	-39.7	-6.72	40.27	190	155c
g50b	54.85	-32.33	-24.35	40.48	217	187c
g75b	49.92	-17.29	-36.02	39.96	244	c20v
b00r	40.91	1.28	-42.35	42.37	272	c53v
b25r	26.81	30.38	-52.26	60.45	300	c87v
b50r	32.52	69.06	-42.14	80.9	329	v68m
b75r	39.48	71.47	-3.69	71.57	357	m34o



Ein und Ausgabe: Farbmatisches Drucker-Reflektiv-System FRS12_95a, $L^*=12_95$ für relativen CIELAB-Bunton $h^* = lab^*h^* = h_{ab}/360 = 0.755$ $u^*_e = b00r$

Daten für jede Farbe:

lab^*ch^* und lab^*icu^*

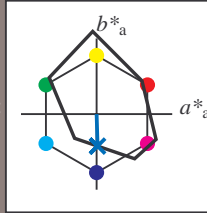
Buntontexte:

$u^*_e = b00r$ $u^*_d = c53v$

Kontrastreduzierungsfaktor:

$c_R = 1.0$

Dreiecks-Helligkeit t^*



FRS12_95a; adaptierte CIELAB-Daten

u^*_e	$L^*=L^*_a$	a^*_a	b^*_a	$C^*_{ab,a}$	$h^*_{ab,a}$
O _{Ma}	38.06	60.0	44.0	74.4	36
Y _{Ma}	86.77	-5.17	109.32	109.44	93
L _{Ma}	47.13	-62.67	48.24	79.09	142
C _{Ma}	55.66	-29.14	-31.99	43.27	228
V _{Ma}	17.15	50.3	-59.04	77.57	310
M _{Ma}	40.37	78.64	-33.5	85.48	337
N _{Ma}	11.58	0.0	0.0	0.0	0
W _{Ma}	95.02	0.0	0.0	0.0	0
R _{Ma}	39.92	58.74	27.99	65.07	25
J _{Ma}	81.26	-2.89	71.56	71.62	92
G _{Ma}	52.23	-42.42	13.6	44.55	162
B _{Ma}	30.57	1.41	-46.47	46.49	272

Daten für Maximalfarbe (Ma):

$LAB^*LAB^*_{Ma}$: 41 1 -42

$LAB^*LCH^*_{Ma}$: 41 42 271

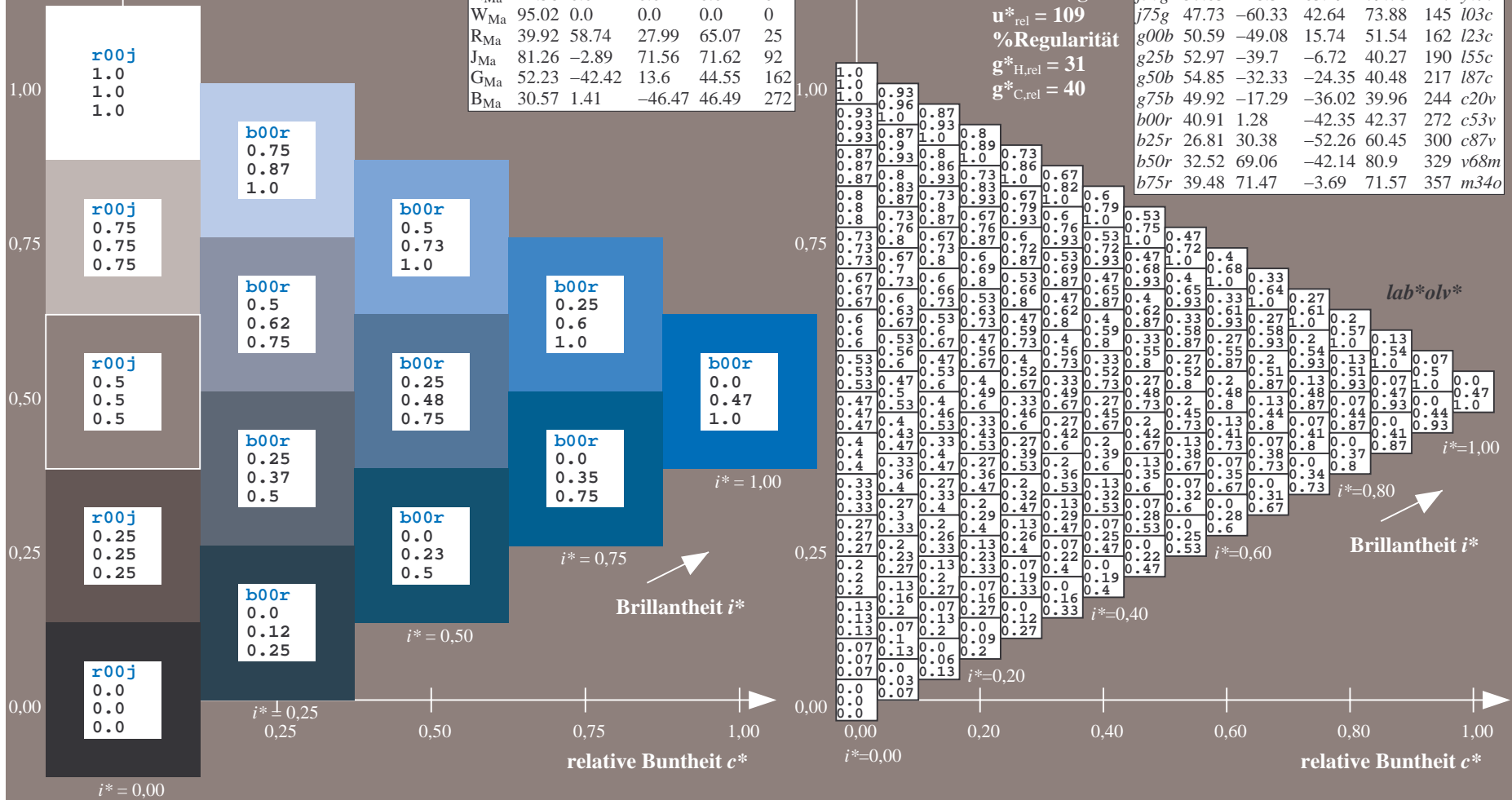
$lab^*rgb^*_{Ma}$: 0.0 0.0 1.0

$lab^*olv^*_{Ma}$: 0.0 0.47 1.0

Dreiecks-Helligkeit t^*

FRS12_95a; adaptierte CIELAB-Daten

u^*_e	$L^*=L^*_a$	a^*_a	b^*_a	$C^*_{ab,a}$	$h^*_{ab,a}$	u^*_d
r00j	38.47	63.32	30.17	70.15	25	m81o
r25j	42.12	54.56	49.45	73.64	42	o10y
r50j	53.64	39.15	64.89	75.79	59	o40y
r75j	67.01	21.26	82.83	85.52	76	o69y
j00g	86.18	-4.38	108.53	108.62	92	o98y
j25g	69.73	-29.89	83.06	88.28	110	y34l
j50g	57.03	-48.31	63.49	79.78	127	y69l
j75g	47.73	-60.33	42.64	73.88	145	103c
g00b	50.59	-49.08	15.74	51.54	162	l23c
g25b	52.97	-39.7	-6.72	40.27	190	l55c
g50b	54.85	-32.33	-24.35	40.48	217	l87c
g75b	49.92	-17.29	-36.02	39.96	244	c20v
b00r	40.91	1.28	-42.35	42.37	272	c53v
b25r	26.81	30.38	-52.26	60.45	300	c87v
b50r	32.52	69.06	-42.14	80.9	329	v68m
b75r	39.48	71.47	-3.69	71.57	357	m34o



Ein und Ausgabe: Farbmatisches Drucker-Reflektiv-System FRS12_95a, $L^*=12_95$ für relativen CIELAB-Bunton $h^* = lab^*h^* = h_{ab}/360 = 0.834$ $u^*_e = b25r$

Daten für jede Farbe:

lab^*ch^* und lab^*icu^*

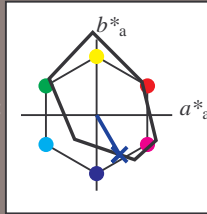
Bunntexte:

$u^*_e = b25r$ $u^*_d = c87v$

Kontrastreduzierungsfaktor:

$c_R = 1.0$

Dreiecks-Helligkeit t^*



FRS12_95a; adaptierte CIELAB-Daten

u^*_e	$L^*=L^*_a$	a^*_a	b^*_a	$C^*_{ab,a}$	$h^*_{ab,a}$
O _{Ma}	38.06	60.0	44.0	74.4	36
Y _{Ma}	86.77	-5.17	109.32	109.44	93
L _{Ma}	47.13	-62.67	48.24	79.09	142
C _{Ma}	55.66	-29.14	-31.99	43.27	228
V _{Ma}	17.15	50.3	-59.04	77.57	310
M _{Ma}	40.37	78.64	-33.5	85.48	337
N _{Ma}	11.58	0.0	0.0	0.0	0
W _{Ma}	95.02	0.0	0.0	0.0	0
R _{Ma}	39.92	58.74	27.99	65.07	25
J _{Ma}	81.26	-2.89	71.56	71.62	92
G _{Ma}	52.23	-42.42	13.6	44.55	162
B _{Ma}	30.57	1.41	-46.47	46.49	272

Daten für Maximalfarbe (Ma):

$LAB^*LAB^*_{Ma}$: 27 30 -52

$LAB^*LCH^*_{Ma}$: 27 60 300

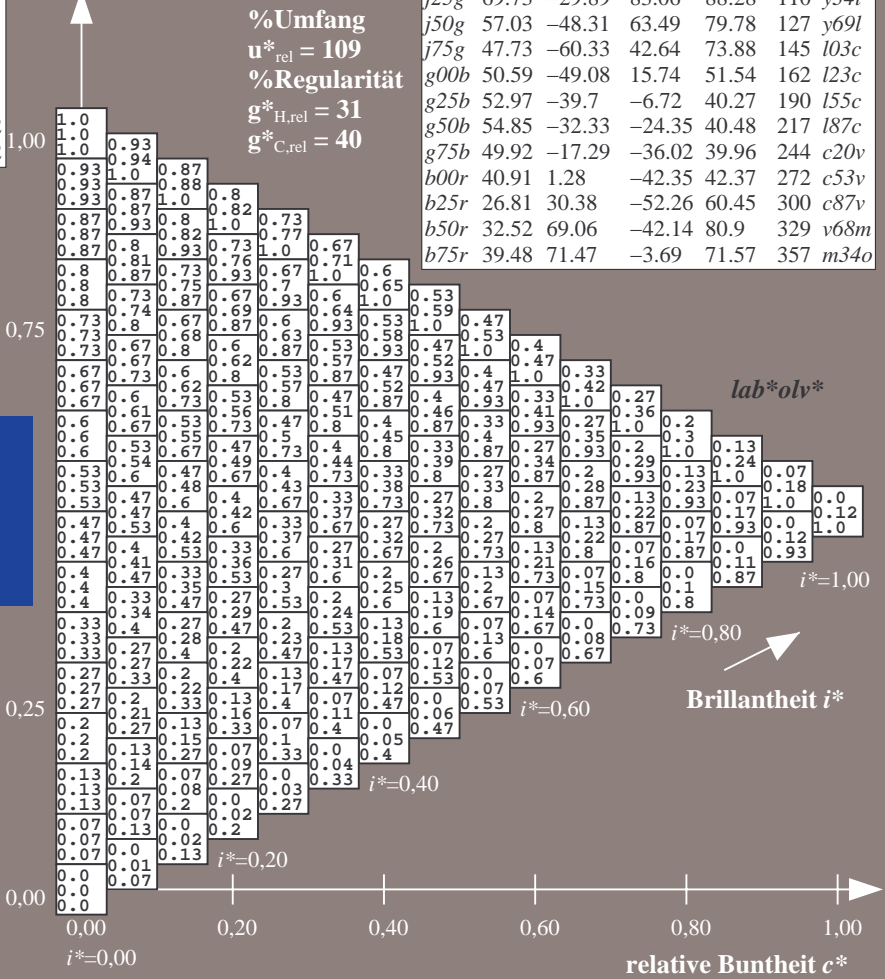
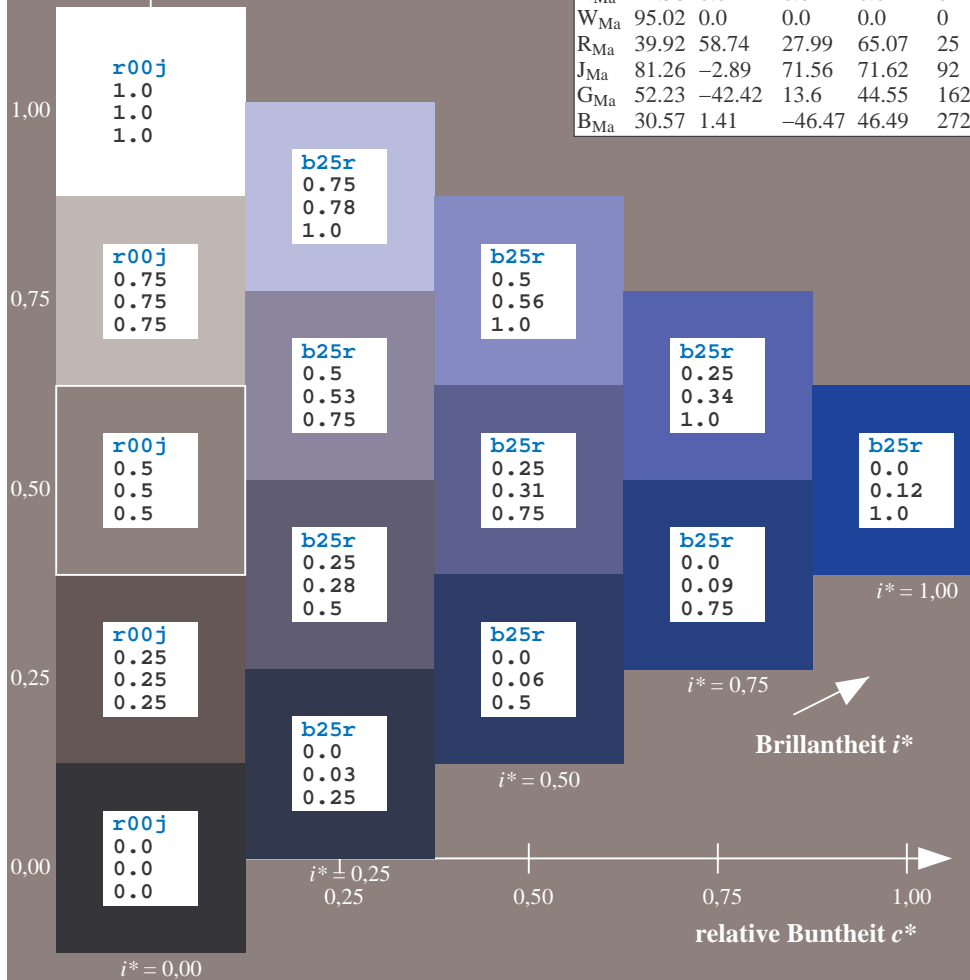
$lab^*rgb^*_{Ma}$: 0.5 0.0 1.0

$lab^*olv^*_{Ma}$: 0.0 0.12 1.0

Dreiecks-Helligkeit t^*

FRS12_95a; adaptierte CIELAB-Daten

u^*_e	$L^*=L^*_a$	a^*_a	b^*_a	$C^*_{ab,a}$	$h^*_{ab,a}$	u^*_d
r00j	38.47	63.32	30.17	70.15	25	m81o
r25j	42.12	54.56	49.45	73.64	42	o10y
r50j	53.64	39.15	64.89	75.79	59	o40y
r75j	67.01	21.26	82.83	85.52	76	o69y
j00g	86.18	-4.38	108.53	108.62	92	o98y
j25g	69.73	-29.89	83.06	88.28	110	y34l
j50g	57.03	-48.31	63.49	79.78	127	y69l
j75g	47.73	-60.33	42.64	73.88	145	103c
g00b	50.59	-49.08	15.74	51.54	162	l23c
g25b	52.97	-39.7	-6.72	40.27	190	l55c
g50b	54.85	-32.33	-24.35	40.48	217	l87c
g75b	49.92	-17.29	-36.02	39.96	244	c20v
b00r	40.91	1.28	-42.35	42.37	272	c53v
b25r	26.81	30.38	-52.26	60.45	300	c87v
b50r	32.52	69.06	-42.14	80.9	329	v68m
b75r	39.48	71.47	-3.69	71.57	357	m34o



Ein und Ausgabe: Farbmatisches Drucker-Reflektiv-System FRS12_95a, $L^*=12_95$ für relativen CIELAB-Bunton $h^* = lab^*h^* = h_{ab}/360 = 0.913$ $u^*_e = b50r$

Daten für jede Farbe:

lab^*ch^* und lab^*icu^*

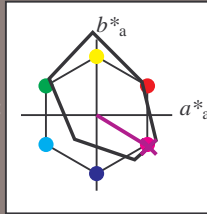
Buntontexte:

$u^*_e = b50r$ $u^*_d = v68m$

Kontrastreduzierungsfaktor:

$c_R = 1.0$

Dreiecks-Helligkeit t^*



FRS12_95a; adaptierte CIELAB-Daten

u^*_e	$L^*=L^*_a$	a^*_a	b^*_a	$C^*_{ab,a}$	$h^*_{ab,a}$
O _{Ma}	38.06	60.0	44.0	74.4	36
Y _{Ma}	86.77	-5.17	109.32	109.44	93
L _{Ma}	47.13	-62.67	48.24	79.09	142
C _{Ma}	55.66	-29.14	-31.99	43.27	228
V _{Ma}	17.15	50.3	-59.04	77.57	310
M _{Ma}	40.37	78.64	-33.5	85.48	337
N _{Ma}	11.58	0.0	0.0	0.0	0
W _{Ma}	95.02	0.0	0.0	0.0	0
R _{Ma}	39.92	58.74	27.99	65.07	25
J _{Ma}	81.26	-2.89	71.56	71.62	92
G _{Ma}	52.23	-42.42	13.6	44.55	162
B _{Ma}	30.57	1.41	-46.47	46.49	272

Daten für Maximalfarbe (Ma):

$LAB^*LAB^*_{Ma}$: 33 69 -42

$LAB^*LCH^*_{Ma}$: 33 81 328

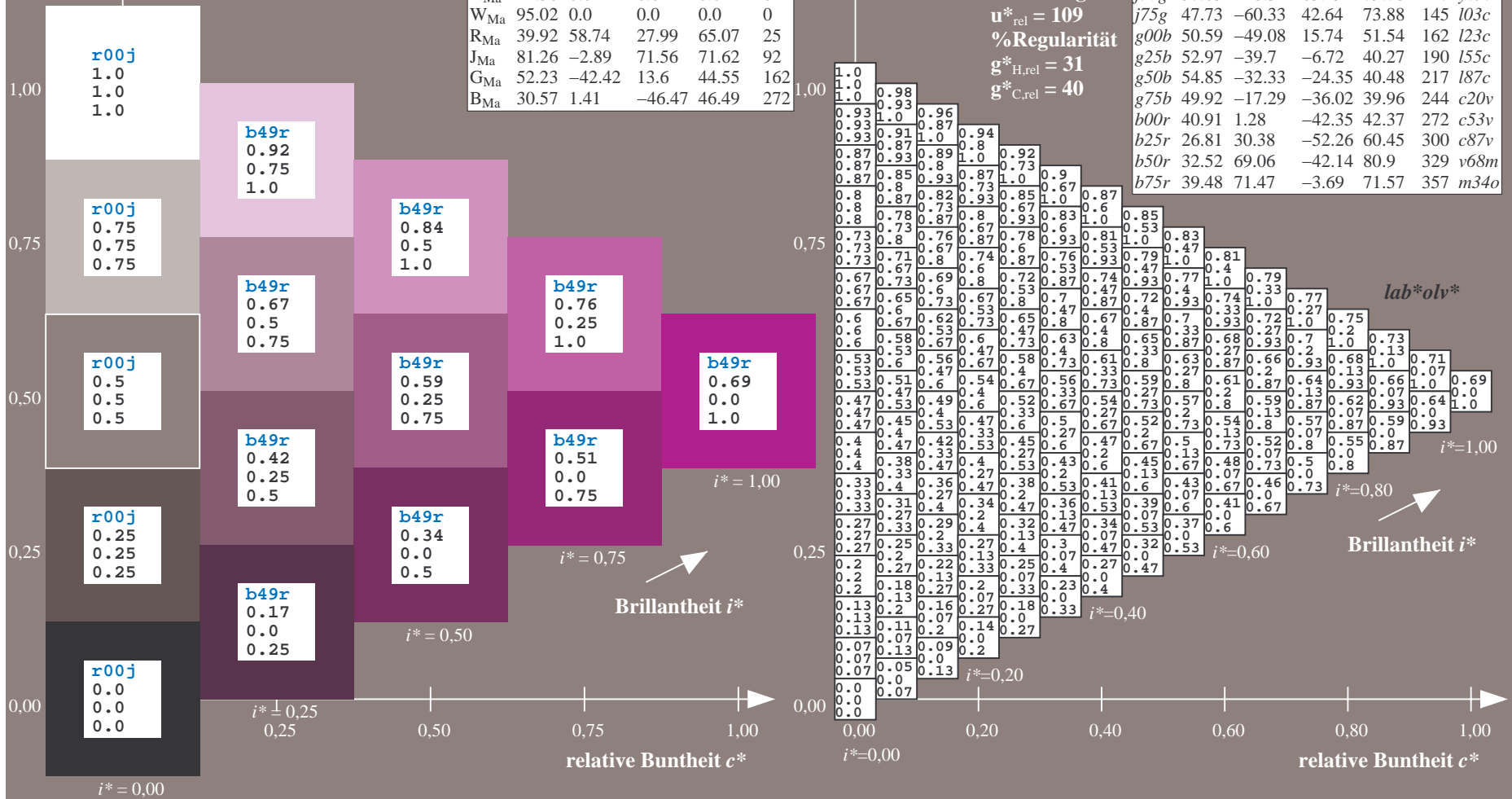
$lab^*rgb^*_{Ma}$: 1.0 0.0 1.0

$lab^*olv^*_{Ma}$: 0.69 0.0 1.0

Dreiecks-Helligkeit t^*

FRS12_95a; adaptierte CIELAB-Daten

u^*_e	$L^*=L^*_a$	a^*_a	b^*_a	$C^*_{ab,a}$	$h^*_{ab,a}$	u^*_d
r00j	38.47	63.32	30.17	70.15	25	m81o
r25j	42.12	54.56	49.45	73.64	42	o10y
r50j	53.64	39.15	64.89	75.79	59	o40y
r75j	67.01	21.26	82.83	85.52	76	o69y
j00g	86.18	-4.38	108.53	108.62	92	o98y
j25g	69.73	-29.89	83.06	88.28	110	y34l
j50g	57.03	-48.31	63.49	79.78	127	y69l
j75g	47.73	-60.33	42.64	73.88	145	l03c
g00b	50.59	-49.08	15.74	51.54	162	l23c
g25b	52.97	-39.7	-6.72	40.27	190	l55c
g50b	54.85	-32.33	-24.35	40.48	217	l87c
g75b	49.92	-17.29	-36.02	39.96	244	c20v
b00r	40.91	1.28	-42.35	42.37	272	c53v
b25r	26.81	30.38	-52.26	60.45	300	c87v
b50r	32.52	69.06	-42.14	80.9	329	v68m
b75r	39.48	71.47	-3.69	71.57	357	m34o



Ein und Ausgabe: Farbmatisches Drucker-Reflektiv-System FRS12_95a, $L^*=12_{95}$ für relativen CIELAB-Bunton $h^* = lab^*h^* = h_{ab}/360 = 0.992$ $u^*_e = b75r$

Daten für jede Farbe:

lab^*tch^* und lab^*icu^*

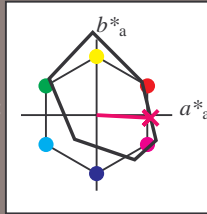
Buntontexte:

$u^*_e = b75r$ $u^*_d = m34o$

Kontrastreduzierungsfaktor:

$c_R = 1.0$

Dreiecks-Helligkeit t^*



FRS12_95a; adaptierte CIELAB-Daten

u^*_e	$L^*=L^*_a$	a^*_a	b^*_a	$C^*_{ab,a}$	$h^*_{ab,a}$
O _{Ma}	38.06	60.0	44.0	74.4	36
Y _{Ma}	86.77	-5.17	109.32	109.44	93
L _{Ma}	47.13	-62.67	48.24	79.09	142
C _{Ma}	55.66	-29.14	-31.99	43.27	228
V _{Ma}	17.15	50.3	-59.04	77.57	310
M _{Ma}	40.37	78.64	-33.5	85.48	337
N _{Ma}	11.58	0.0	0.0	0.0	0
W _{Ma}	95.02	0.0	0.0	0.0	0
R _{Ma}	39.92	58.74	27.99	65.07	25
J _{Ma}	81.26	-2.89	71.56	71.62	92
G _{Ma}	52.23	-42.42	13.6	44.55	162
B _{Ma}	30.57	1.41	-46.47	46.49	272

Daten für Maximalfarbe (Ma):

$LAB^*LAB^*_{Ma}$: 39 71 -4

$LAB^*LCH^*_{Ma}$: 39 72 357

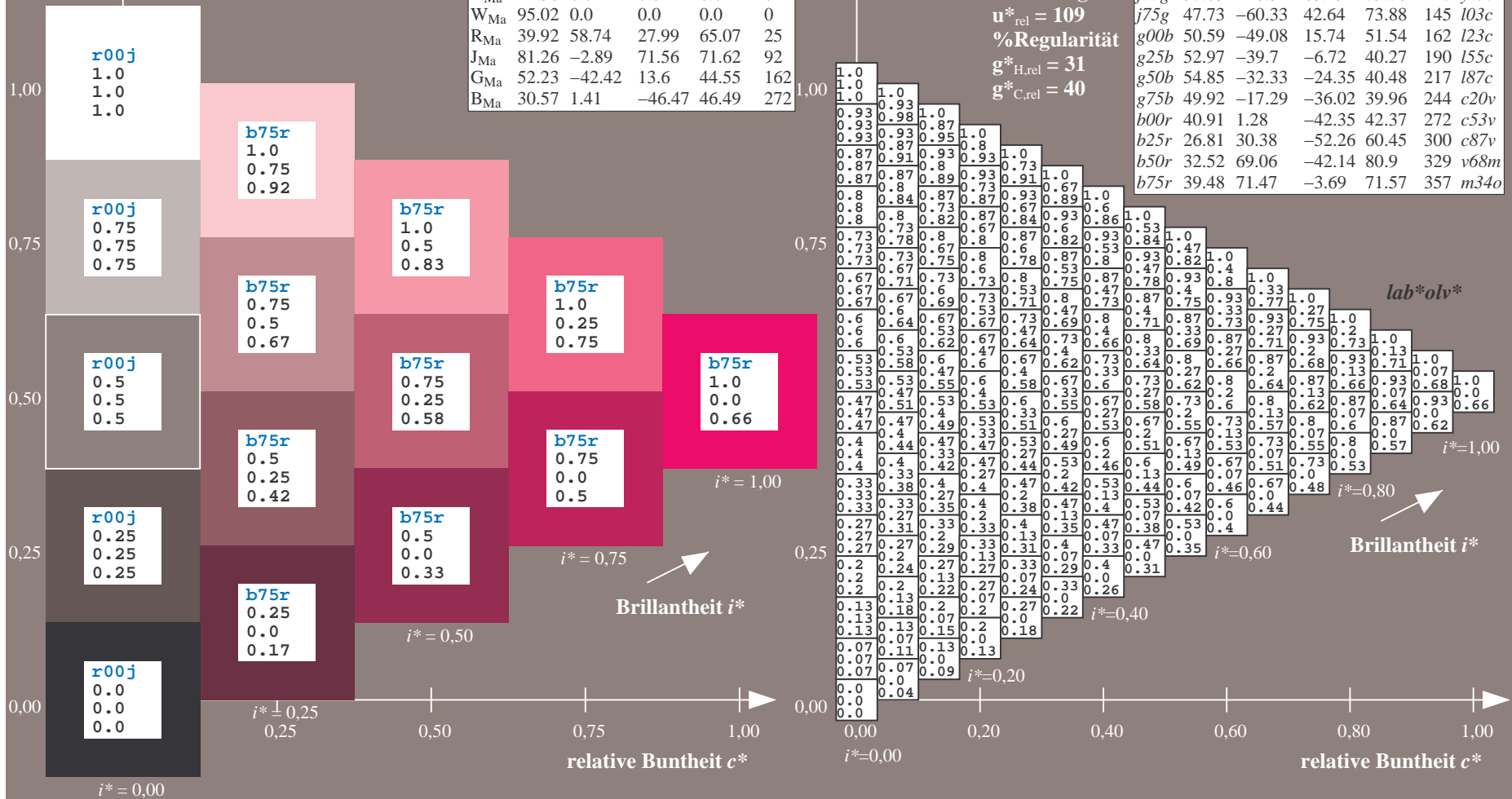
$lab^*rgb^*_{Ma}$: 1.0 0.0 0.5

$lab^*olv^*_{Ma}$: 1.0 0.0 0.66

Dreiecks-Helligkeit t^*

FRS12_95a; adaptierte CIELAB-Daten

u^*_e	$L^*=L^*_a$	a^*_a	b^*_a	$C^*_{ab,a}$	$h^*_{ab,a}$	u^*_d
r00j	38.47	63.32	30.17	70.15	25	m81o
r25j	42.12	54.56	49.45	73.64	42	o10y
r50j	53.64	39.15	64.89	75.79	59	o40y
r75j	67.01	21.26	82.83	85.52	76	o69y
j00g	86.18	-4.38	108.53	108.62	92	o98y
j25g	69.73	-29.89	83.06	88.28	110	y34l
j50g	57.03	-48.31	63.49	79.78	127	y69l
j75g	47.73	-60.33	42.64	73.88	145	103c
g00b	50.59	-49.08	15.74	51.54	162	l23c
g25b	52.97	-39.7	-6.72	40.27	190	l55c
g50b	54.85	-32.33	-24.35	40.48	217	l87c
g75b	49.92	-17.29	-36.02	39.96	244	c20v
b00r	40.91	1.28	-42.35	42.37	272	c53v
b25r	26.81	30.38	-52.26	60.45	300	c87v
b50r	32.52	69.06	-42.14	80.9	329	v68m
b75r	39.48	71.47	-3.69	71.57	357	m34o



Ein und Ausgabe:
Farbmetrisches Drucker-Reflektiv-System FRS12_95a

Daten für jede Farbe:

u^*_e und Nummer $Nr.$ = 00 .. 15

Elementar-Bunttextext:

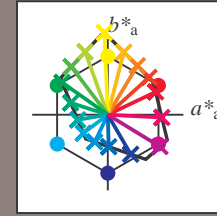
$u^*_e = 16$ Bunttoene $r00j, r25j, \dots, b75r$

Kontrastreduzierungsfaktor:

$c_R = 1.0$

FRS12_95a; adaptierte CIELAB-Daten

u^*_e	$L^*=L^*_a$	a^*_a	b^*_a	$C^*_{ab,a}$	$h^*_{ab,a}$	u^*_d
r00j	38.47	63.32	30.17	70.15	25	m81o
r25j	42.12	54.56	49.45	73.64	42	o10y
r50j	53.64	39.15	64.89	75.79	59	o40y
r75j	67.01	21.26	82.83	85.52	76	o69y
j00g	86.18	-4.38	108.53	108.62	92	o98y
j25g	69.73	-29.89	83.06	88.28	110	y34l
j50g	57.03	-48.31	63.49	79.78	127	y69l
j75g	47.73	-60.33	42.64	73.88	145	l03c
g00b	50.59	-49.08	15.74	51.54	162	l23c
g25b	52.97	-39.7	-6.72	40.27	190	l55c
g50b	54.85	-32.33	-24.35	40.48	217	l87c
g75b	49.92	-17.29	-36.02	39.96	244	c20v
b00r	40.91	1.28	-42.35	42.37	272	c53v
b25r	26.81	30.38	-52.26	60.45	300	c87v
b50r	32.52	69.06	-42.14	80.9	329	v68m
b75r	39.48	71.47	-3.69	71.57	357	m34o



%Umfang

$u^*_{rel} = 109$

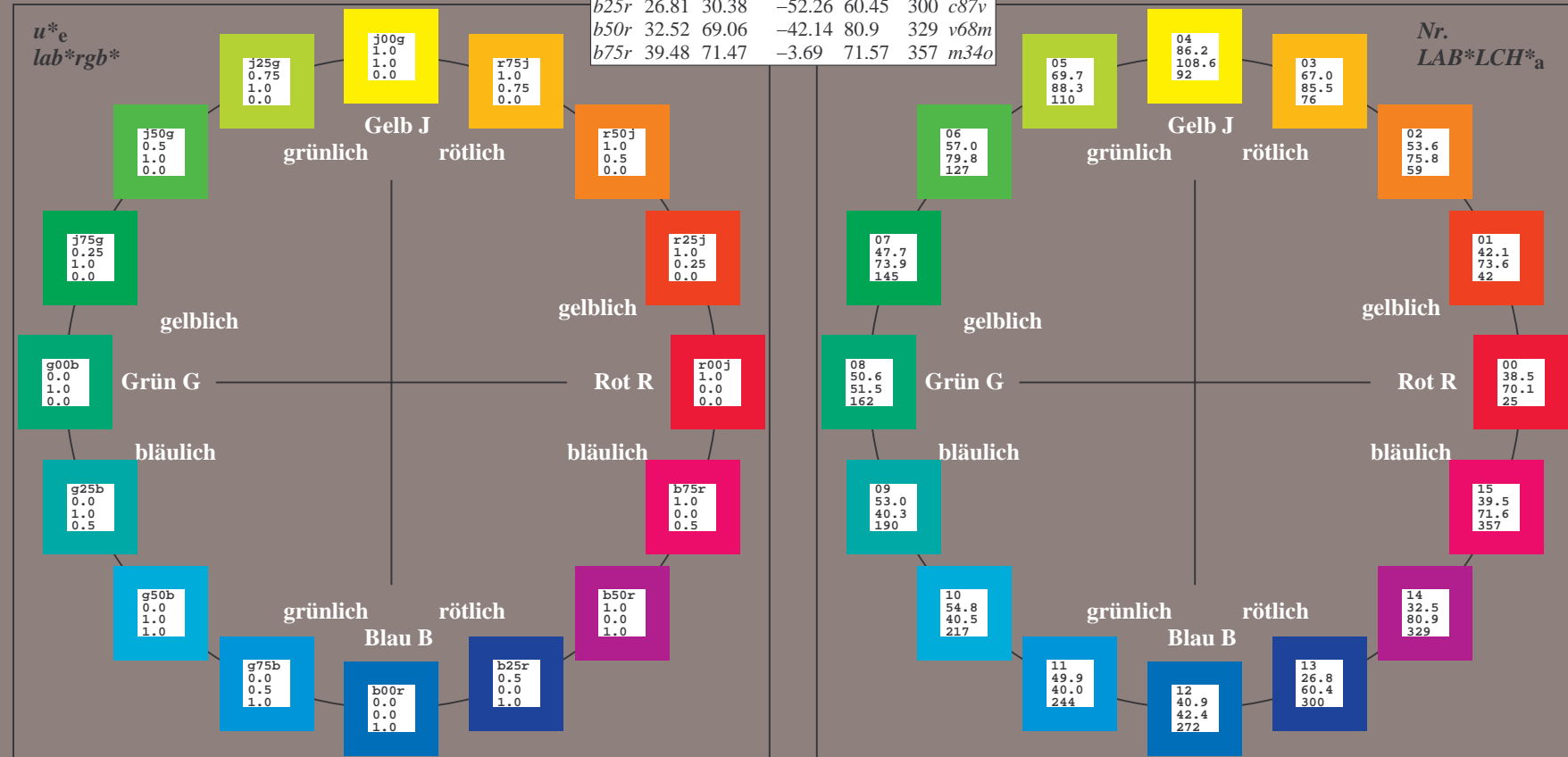
%Regularität

$g^*_{H,rel} = 31$

$g^*_{C,rel} = 40$

FRS12_95a; adaptierte CIELAB-Daten

Name	$L^*=L^*_a$	a^*_a	b^*_a	$C^*_{ab,a}$	$h^*_{ab,a}$
OMa	38.06	60.0	44.0	74.4	36
YMa	86.77	-5.17	109.32	109.44	93
LMa	47.13	-62.67	48.24	79.09	142
CMa	55.66	-29.14	-31.99	43.27	228
VMa	17.15	50.3	-59.04	77.57	310
MMa	40.37	78.64	-33.5	85.48	337
NMa	11.58	0.0	0.0	0.0	0
WMa	95.02	0.0	0.0	0.0	0
RCIE	39.92	58.74	27.99	65.07	25
JCIE	81.26	-2.89	71.56	71.62	92
GCIE	52.23	-42.42	13.6	44.55	162
BCIE	30.57	1.41	-46.47	46.49	272



Ein und Ausgabe: Farbmatisches Drucker-Reflektiv-System FRS12_95a, $L^*=12_95$ für relativen CIELAB-Bunton $h^* = lab^*h^* = h_{ab}/360 = 0.071$ $u^*_e = r00j$

Daten für jede Farbe:

lab^*ch^* und lab^*icu^*

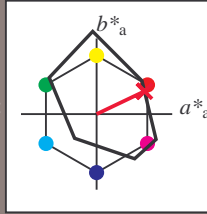
Buntontexte:

$u^*_e = r00j$ $u^*_d = m81o$

Kontrastreduzierungsfaktor:

$c_R = 1.0$

Dreiecks-Helligkeit t^*



FRS12_95a; adaptierte CIELAB-Daten

u^*_e	$L^*=L^*_a$	a^*_a	b^*_a	$C^*_{ab,a}$	$h^*_{ab,a}$
O _{Ma}	38.06	60.0	44.0	74.4	36
Y _{Ma}	86.77	-5.17	109.32	109.44	93
L _{Ma}	47.13	-62.67	48.24	79.09	142
C _{Ma}	55.66	-29.14	-31.99	43.27	228
V _{Ma}	17.15	50.3	-59.04	77.57	310
M _{Ma}	40.37	78.64	-33.5	85.48	337
N _{Ma}	11.58	0.0	0.0	0.0	0
W _{Ma}	95.02	0.0	0.0	0.0	0
R _{Ma}	39.92	58.74	27.99	65.07	25
J _{Ma}	81.26	-2.89	71.56	71.62	92
G _{Ma}	52.23	-42.42	13.6	44.55	162
B _{Ma}	30.57	1.41	-46.47	46.49	272

Daten für Maximalfarbe (Ma):

$LAB^*LAB^*_{Ma}$: 38 63 30

$LAB^*LCH^*_{Ma}$: 38 70 25

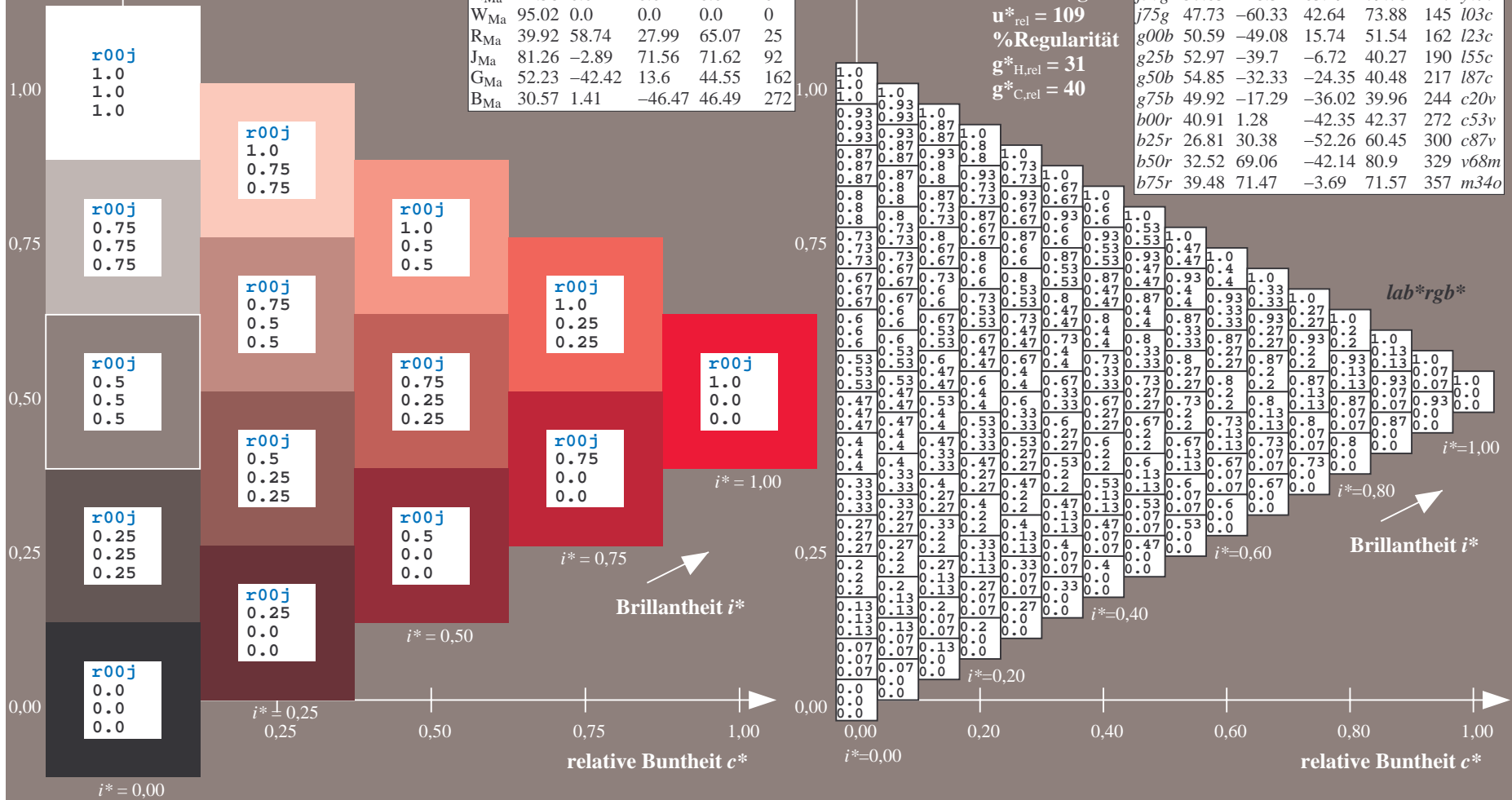
$lab^*rgb^*_{Ma}$: 1.0 0.0 0.0

$lab^*olv^*_{Ma}$: 1.0 0.0 0.18

Dreiecks-Helligkeit t^*

FRS12_95a; adaptierte CIELAB-Daten

u^*_e	$L^*=L^*_a$	a^*_a	b^*_a	$C^*_{ab,a}$	$h^*_{ab,a}$	u^*_d
r00j	38.47	63.32	30.17	70.15	25	m81o
r25j	42.12	54.56	49.45	73.64	42	o10y
r50j	53.64	39.15	64.89	75.79	59	o40y
r75j	67.01	21.26	82.83	85.52	76	o69y
j00g	86.18	-4.38	108.53	108.62	92	o98y
j25g	69.73	-29.89	83.06	88.28	110	y34l
j50g	57.03	-48.31	63.49	79.78	127	y69l
j75g	47.73	-60.33	42.64	73.88	145	l03c
g00b	50.59	-49.08	15.74	51.54	162	i23c
g25b	52.97	-39.7	-6.72	40.27	190	i55c
g50b	54.85	-32.33	-24.35	40.48	217	i87c
g75b	49.92	-17.29	-36.02	39.96	244	c20v
b00r	40.91	1.28	-42.35	42.37	272	c53v
b25r	26.81	30.38	-52.26	60.45	300	c87v
b50r	32.52	69.06	-42.14	80.9	329	v68m
b75r	39.48	71.47	-3.69	71.57	357	m34o



Ein und Ausgabe: Farbmatisches Drucker-Reflektiv-System FRS12_95a, $L^*=12_95$ für relativen CIELAB-Bunton $h^* = lab^*h^* = h_{ab}/360 = 0.117$ $u^*_e = r25j$

Daten für jede Farbe:

lab^*tch^* und lab^*icu^*

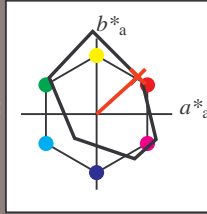
Buntontexte:

$u^*_e = r25j$ $u^*_d = o10y$

Kontrastreduzierungsfaktor:

$c_R = 1.0$

Dreiecks-Helligkeit t^*



FRS12_95a; adaptierte CIELAB-Daten

u^*_e	$L^*=L^*_a$	a^*_a	b^*_a	$C^*_{ab,a}$	$h^*_{ab,a}$
O _{Ma}	38.06	60.0	44.0	74.4	36
Y _{Ma}	86.77	-5.17	109.32	109.44	93
L _{Ma}	47.13	-62.67	48.24	79.09	142
C _{Ma}	55.66	-29.14	-31.99	43.27	228
V _{Ma}	17.15	50.3	-59.04	77.57	310
M _{Ma}	40.37	78.64	-33.5	85.48	337
N _{Ma}	11.58	0.0	0.0	0.0	0
W _{Ma}	95.02	0.0	0.0	0.0	0
R _{Ma}	39.92	58.74	27.99	65.07	25
J _{Ma}	81.26	-2.89	71.56	71.62	92
G _{Ma}	52.23	-42.42	13.6	44.55	162
B _{Ma}	30.57	1.41	-46.47	46.49	272

Daten für Maximalfarbe (Ma):

$LAB^*LAB^*_{Ma}$: 42 55 49

$LAB^*LCH^*_{Ma}$: 42 74 42

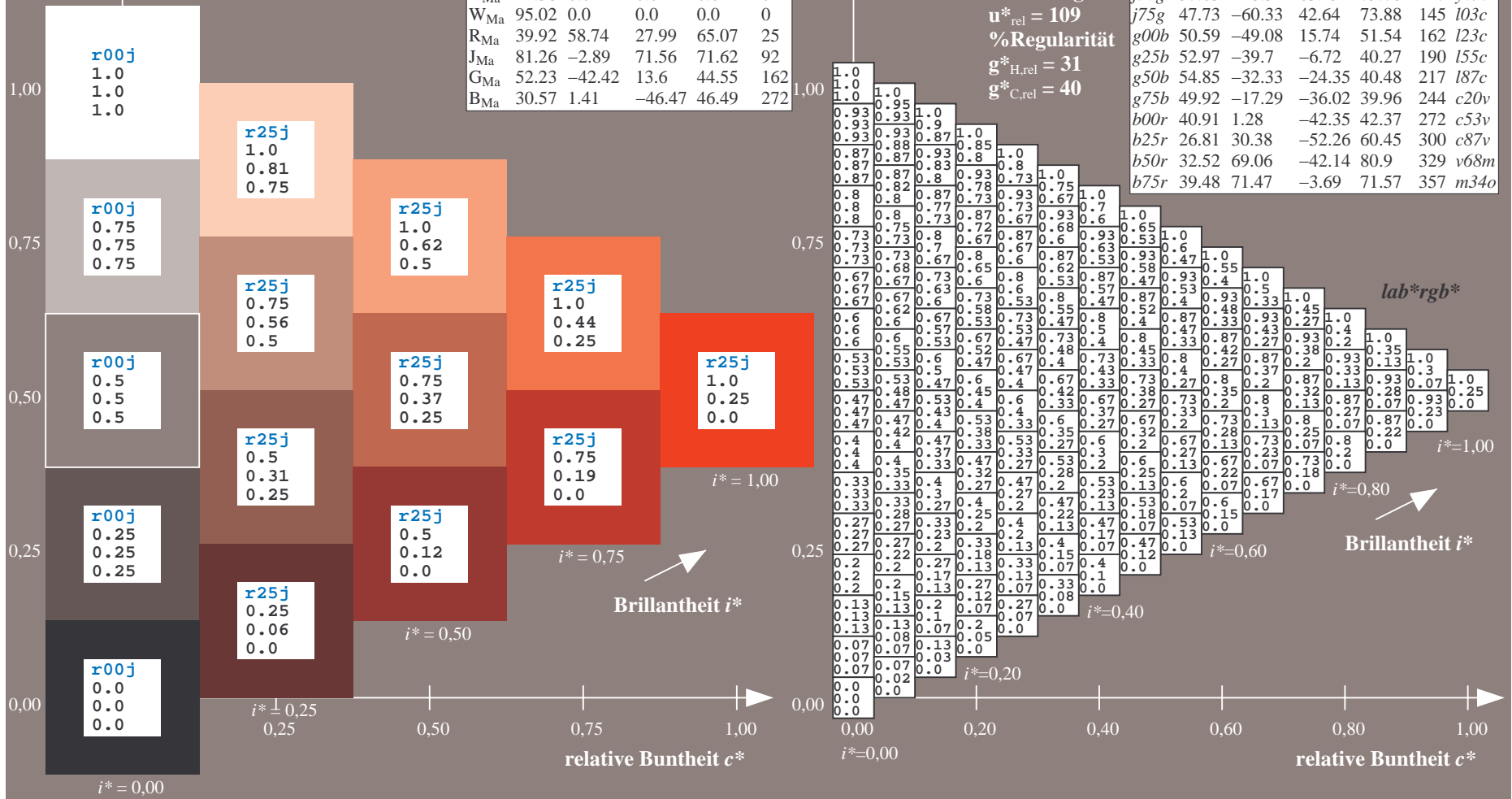
$lab^*rgb^*_{Ma}$: 1.0 0.25 0.0

$lab^*olv^*_{Ma}$: 1.0 0.11 0.0

Dreiecks-Helligkeit t^*

FRS12_95a; adaptierte CIELAB-Daten

u^*_e	$L^*=L^*_a$	a^*_a	b^*_a	$C^*_{ab,a}$	$h^*_{ab,a}$	u^*_d
r00j	38.47	63.32	30.17	70.15	25	m81o
r25j	42.12	54.56	49.45	73.64	42	o10y
r50j	53.64	39.15	64.89	75.79	59	o40y
r75j	67.01	21.26	82.83	85.52	76	o69y
j00g	86.18	-4.38	108.53	108.62	92	o98y
j25g	69.73	-29.89	83.06	88.28	110	y34l
j50g	57.03	-48.31	63.49	79.78	127	y69l
j75g	47.73	-60.33	42.64	73.88	145	l03c
g00b	50.59	-49.08	15.74	51.54	162	i23c
g25b	52.97	-39.7	-6.72	40.27	190	i55c
g50b	54.85	-32.33	-24.35	40.48	217	i87c
g75b	49.92	-17.29	-36.02	39.96	244	c20v
b00r	40.91	1.28	-42.35	42.37	272	c53v
b25r	26.81	30.38	-52.26	60.45	300	c87v
b50r	32.52	69.06	-42.14	80.9	329	v68m
b75r	39.48	71.47	-3.69	71.57	357	m34o



Ein und Ausgabe: Farbmatisches Drucker-Reflektiv-System FRS12_95a, $L^*=12_95$ für relativen CIELAB-Bunton $h^* = lab^*h^* = h_{ab}/360 = 0.164$ $u^*_e = r50j$

Daten für jede Farbe:

lab^*ch^* und lab^*icu^*

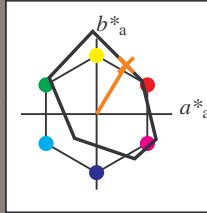
Buntontexte:

$u^*_e = r50j$ $u^*_d = o40y$

Kontrastreduzierungsfaktor:

$c_R = 1.0$

Dreiecks-Helligkeit t^*



FRS12_95a; adaptierte CIELAB-Daten

u^*_e	$L^*=L^*_a$	a^*_a	b^*_a	$C^*_{ab,a}$	$h^*_{ab,a}$
O _{Ma}	38.06	60.0	44.0	74.4	36
Y _{Ma}	86.77	-5.17	109.32	109.44	93
L _{Ma}	47.13	-62.67	48.24	79.09	142
C _{Ma}	55.66	-29.14	-31.99	43.27	228
V _{Ma}	17.15	50.3	-59.04	77.57	310
M _{Ma}	40.37	78.64	-33.5	85.48	337
N _{Ma}	11.58	0.0	0.0	0.0	0
W _{Ma}	95.02	0.0	0.0	0.0	0
R _{Ma}	39.92	58.74	27.99	65.07	25
J _{Ma}	81.26	-2.89	71.56	71.62	92
G _{Ma}	52.23	-42.42	13.6	44.55	162
B _{Ma}	30.57	1.41	-46.47	46.49	272

Daten für Maximalfarbe (Ma):

$LAB^*LAB^*_{Ma}$: 54 39 65

$LAB^*LCH^*_{Ma}$: 54 76 58

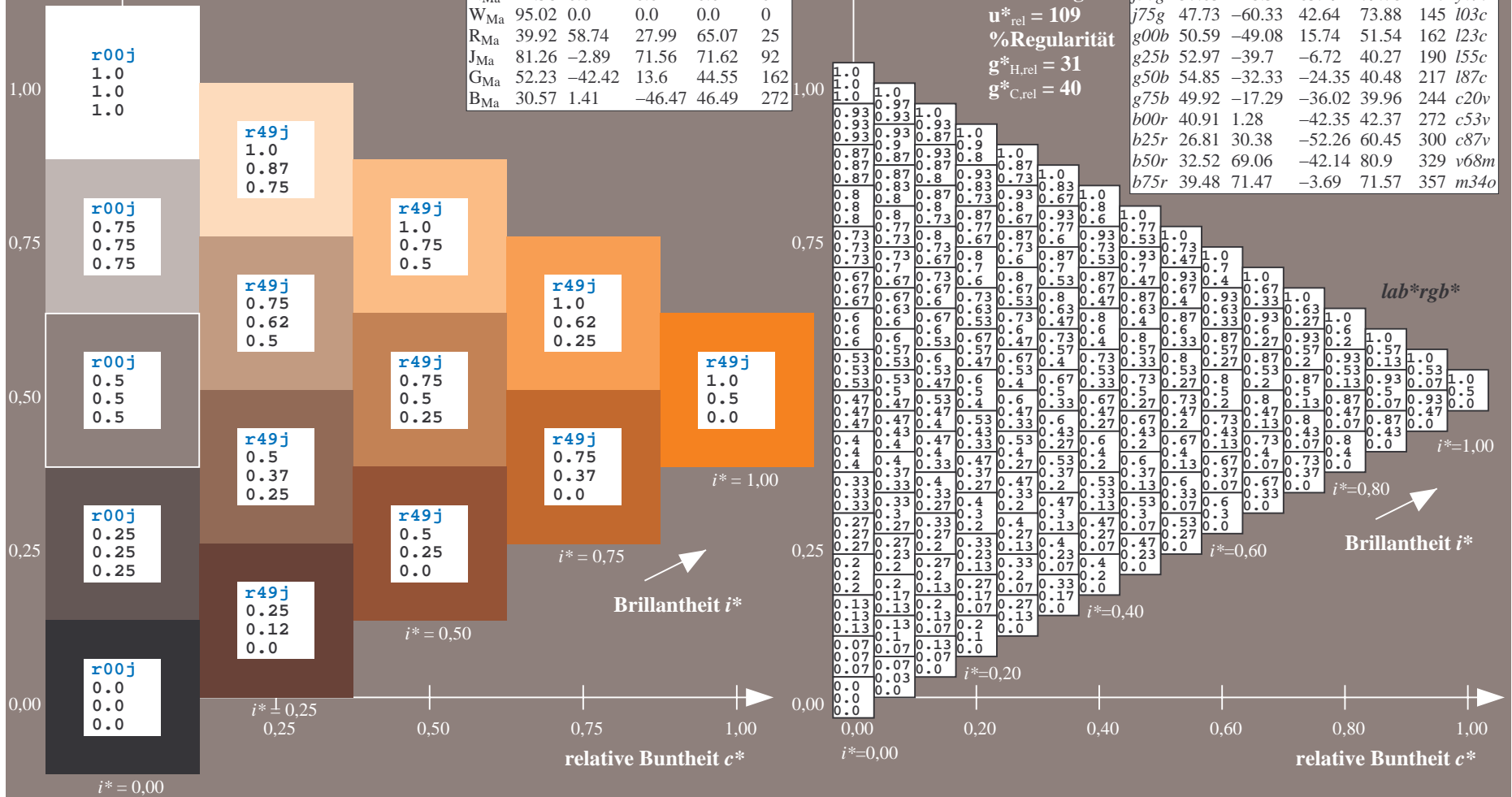
$lab^*rgb^*_{Ma}$: 1.0 0.5 0.0

$lab^*olv^*_{Ma}$: 1.0 0.4 0.0

Dreiecks-Helligkeit t^*

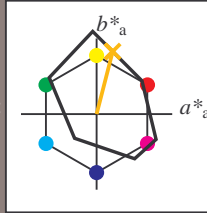
FRS12_95a; adaptierte CIELAB-Daten

u^*_e	$L^*=L^*_a$	a^*_a	b^*_a	$C^*_{ab,a}$	$h^*_{ab,a}$	u^*_d
r00j	38.47	63.32	30.17	70.15	25	m81o
r25j	42.12	54.56	49.45	73.64	42	o10y
r50j	53.64	39.15	64.89	75.79	59	o40y
r75j	67.01	21.26	82.83	85.52	76	o69y
j00g	86.18	-4.38	108.53	108.62	92	o98y
j25g	69.73	-29.89	83.06	88.28	110	y34l
j50g	57.03	-48.31	63.49	79.78	127	y69l
j75g	47.73	-60.33	42.64	73.88	145	l03c
g00b	50.59	-49.08	15.74	51.54	162	i23c
g25b	52.97	-39.7	-6.72	40.27	190	i55c
g50b	54.85	-32.33	-24.35	40.48	217	i87c
g75b	49.92	-17.29	-36.02	39.96	244	c20v
b00r	40.91	1.28	-42.35	42.37	272	c53v
b25r	26.81	30.38	-52.26	60.45	300	c87v
b50r	32.52	69.06	-42.14	80.9	329	v68m
b75r	39.48	71.47	-3.69	71.57	357	m34o



Ein und Ausgabe: Farbmatisches Drucker-Reflektiv-System FRS12_95a, $L^*=12_95$ für relativen CIELAB-Bunton $h^* = lab^*h^* = h_{ab}/360 = 0.21$ $u^*_e = r75j$
 Daten für jede Farbe: lab^*ch^* und lab^*icu^*

Buntontexte:
 $u^*_e = r75j$ $u^*_d = o69y$
 Kontrastreduzierungsfaktor:
 $c_R = 1.0$
 Dreiecks-Helligkeit t^*



FRS12_95a; adaptierte CIELAB-Daten

u^*_e	$L^*=L^*_a$	a^*_a	b^*_a	$C^*_{ab,a}$	$h^*_{ab,a}$
O _{Ma}	38.06	60.0	44.0	74.4	36
Y _{Ma}	86.77	-5.17	109.32	109.44	93
L _{Ma}	47.13	-62.67	48.24	79.09	142
C _{Ma}	55.66	-29.14	-31.99	43.27	228
V _{Ma}	17.15	50.3	-59.04	77.57	310
M _{Ma}	40.37	78.64	-33.5	85.48	337
N _{Ma}	11.58	0.0	0.0	0.0	0
W _{Ma}	95.02	0.0	0.0	0.0	0
R _{Ma}	39.92	58.74	27.99	65.07	25
J _{Ma}	81.26	-2.89	71.56	71.62	92
G _{Ma}	52.23	-42.42	13.6	44.55	162
B _{Ma}	30.57	1.41	-46.47	46.49	272

Daten für Maximalfarbe (Ma):

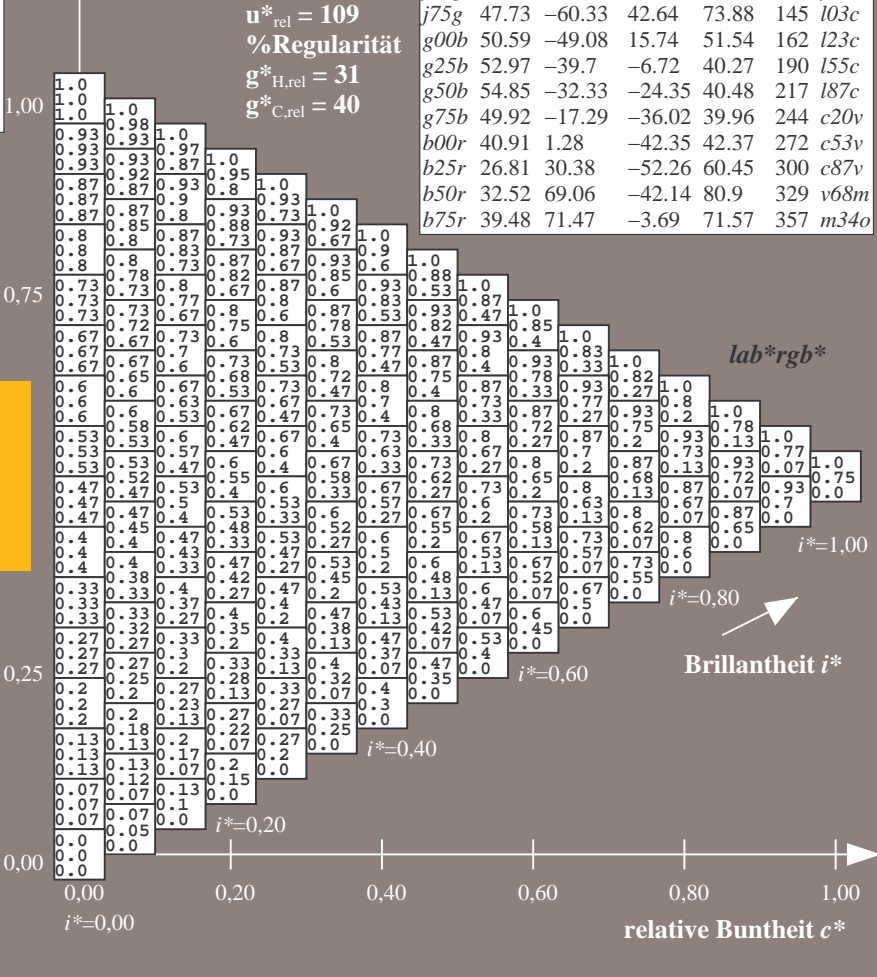
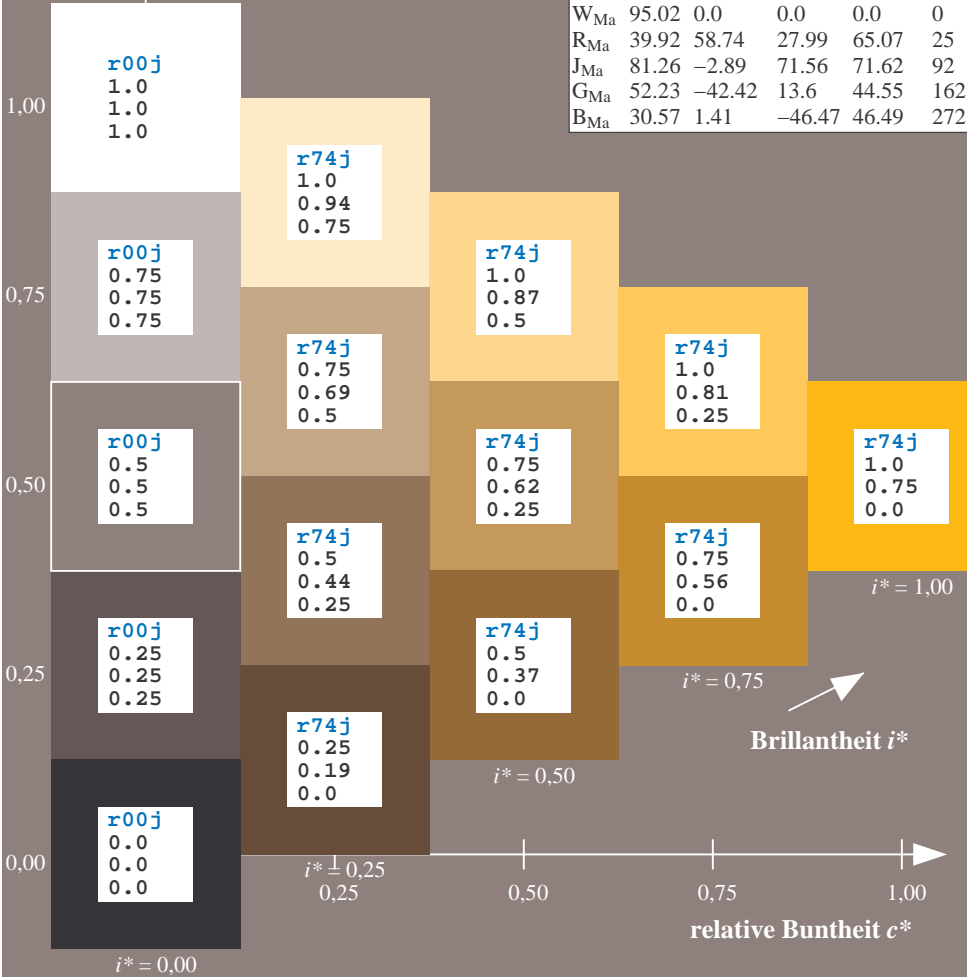
$LAB^*LAB^*_{Ma}$: 67 21 83
 $LAB^*LCH^*_{Ma}$: 67 86 75
 $lab^*rgb^*_{Ma}$: 1.0 0.75 0.0
 $lab^*olv^*_{Ma}$: 1.0 0.7 0.0

FRS12_95a; adaptierte CIELAB-Daten

u^*_e	$L^*=L^*_a$	a^*_a	b^*_a	$C^*_{ab,a}$	$h^*_{ab,a}$	u^*_d
r00j	38.47	63.32	30.17	70.15	25	m81o
r25j	42.12	54.56	49.45	73.64	42	o10y
r50j	53.64	39.15	64.89	75.79	59	o40y
r75j	67.01	21.26	82.83	85.52	76	o69y
j00g	86.18	-4.38	108.53	108.62	92	o98y
j25g	69.73	-29.89	83.06	88.28	110	y34l
j50g	57.03	-48.31	63.49	79.78	127	y69l
j75g	47.73	-60.33	42.64	73.88	145	l03c
g00b	50.59	-49.08	15.74	51.54	162	i23c
g25b	52.97	-39.7	-6.72	40.27	190	i55c
g50b	54.85	-32.33	-24.35	40.48	217	i87c
g75b	49.92	-17.29	-36.02	39.96	244	c20v
b00r	40.91	1.28	-42.35	42.37	272	c53v
b25r	26.81	30.38	-52.26	60.45	300	c87v
b50r	32.52	69.06	-42.14	80.9	329	v68m
b75r	39.48	71.47	-3.69	71.57	357	m34o

Dreiecks-Helligkeit t^*

%Umfang
 $u^*_{rel} = 109$
 %Regularität
 $g^*_{H,rel} = 31$
 $g^*_{C,rel} = 40$



Ein und Ausgabe: Farbmatisches Drucker-Reflektiv-System FRS12_95a, $L^*=12_{95}$ für relativen CIELAB-Bunton $h^* = lab^*h^* = h_{ab}/360 = 0.256$ $u^*_e = j00g$

Daten für jede Farbe:

lab^*tch^* und lab^*icu^*

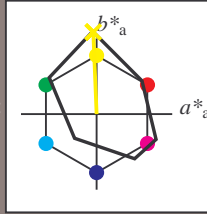
Buntontexte:

$u^*_e = j00g$ $u^*_d = o98y$

Kontrastreduzierungsfaktor:

$c_R = 1.0$

Dreiecks-Helligkeit t^*



FRS12_95a; adaptierte CIELAB-Daten

u^*_e	$L^*=L^*_a$	a^*_a	b^*_a	$C^*_{ab,a}$	$h^*_{ab,a}$
O _{Ma}	38.06	60.0	44.0	74.4	36
Y _{Ma}	86.77	-5.17	109.32	109.44	93
L _{Ma}	47.13	-62.67	48.24	79.09	142
C _{Ma}	55.66	-29.14	-31.99	43.27	228
V _{Ma}	17.15	50.3	-59.04	77.57	310
M _{Ma}	40.37	78.64	-33.5	85.48	337
N _{Ma}	11.58	0.0	0.0	0.0	0
W _{Ma}	95.02	0.0	0.0	0.0	0
R _{Ma}	39.92	58.74	27.99	65.07	25
J _{Ma}	81.26	-2.89	71.56	71.62	92
G _{Ma}	52.23	-42.42	13.6	44.55	162
B _{Ma}	30.57	1.41	-46.47	46.49	272

Daten für Maximalfarbe (Ma):

$LAB^*LAB^*_{Ma}$: 86 -4 109

$LAB^*LCH^*_{Ma}$: 86 109 92

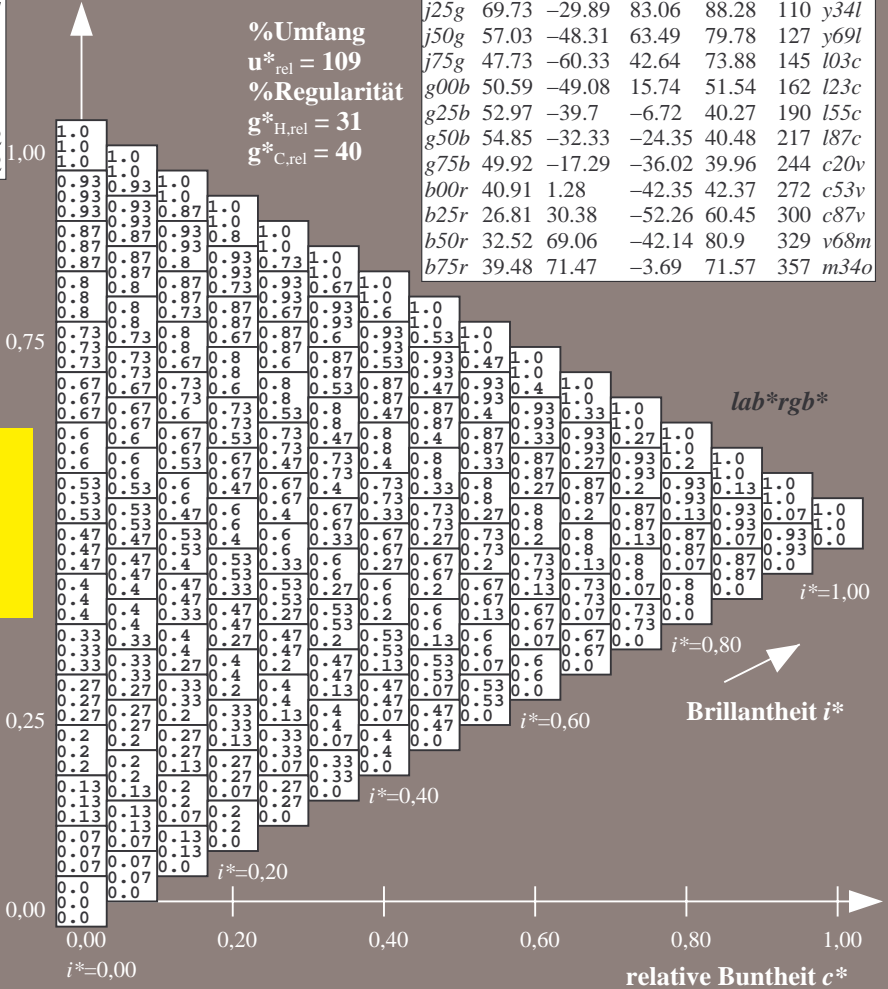
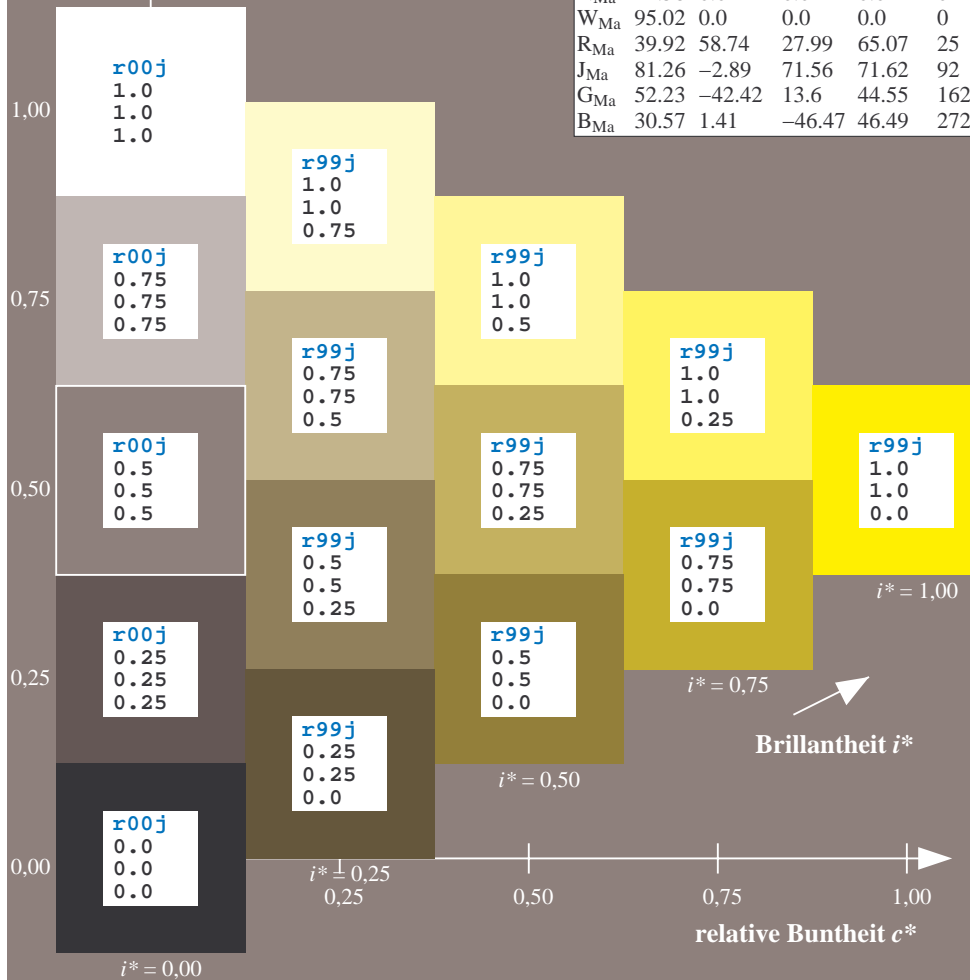
$lab^*rgb^*_{Ma}$: 1.0 1.0 0.0

$lab^*olv^*_{Ma}$: 1.0 0.99 0.0

Dreiecks-Helligkeit t^*

FRS12_95a; adaptierte CIELAB-Daten

u^*_e	$L^*=L^*_a$	a^*_a	b^*_a	$C^*_{ab,a}$	$h^*_{ab,a}$	u^*_d
r00j	38.47	63.32	30.17	70.15	25	m81o
r25j	42.12	54.56	49.45	73.64	42	o10y
r50j	53.64	39.15	64.89	75.79	59	o40y
r75j	67.01	21.26	82.83	85.52	76	o69y
j00g	86.18	-4.38	108.53	108.62	92	o98y
j25g	69.73	-29.89	83.06	88.28	110	y34l
j50g	57.03	-48.31	63.49	79.78	127	y69l
j75g	47.73	-60.33	42.64	73.88	145	l03c
g00b	50.59	-49.08	15.74	51.54	162	i23c
g25b	52.97	-39.7	-6.72	40.27	190	i55c
g50b	54.85	-32.33	-24.35	40.48	217	i87c
g75b	49.92	-17.29	-36.02	39.96	244	c20v
b00r	40.91	1.28	-42.35	42.37	272	c53v
b25r	26.81	30.38	-52.26	60.45	300	c87v
b50r	32.52	69.06	-42.14	80.9	329	v68m
b75r	39.48	71.47	-3.69	71.57	357	m34o



Ein und Ausgabe: Farbmatisches Drucker-Reflektiv-System FRS12_95a, $L^*=12_95$ für relativen CIELAB-Bunton $h^* = lab^*h^* = h_{ab}/360 = 0.305$ $u^*_e = j25g$

Daten für jede Farbe:

lab^*ch^* und lab^*icu^*

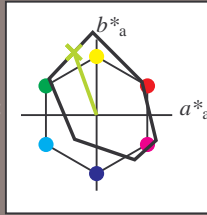
Buntontexte:

$u^*_e = j25g$ $u^*_d = y34l$

Kontrastreduzierungsfaktor:

$c_R = 1.0$

Dreiecks-Helligkeit t^*



FRS12_95a; adaptierte CIELAB-Daten

u^*_e	$L^*=L^*_a$	a^*_a	b^*_a	$C^*_{ab,a}$	$h^*_{ab,a}$
O _{Ma}	38.06	60.0	44.0	74.4	36
Y _{Ma}	86.77	-5.17	109.32	109.44	93
L _{Ma}	47.13	-62.67	48.24	79.09	142
C _{Ma}	55.66	-29.14	-31.99	43.27	228
V _{Ma}	17.15	50.3	-59.04	77.57	310
M _{Ma}	40.37	78.64	-33.5	85.48	337
N _{Ma}	11.58	0.0	0.0	0.0	0
W _{Ma}	95.02	0.0	0.0	0.0	0
R _{Ma}	39.92	58.74	27.99	65.07	25
J _{Ma}	81.26	-2.89	71.56	71.62	92
G _{Ma}	52.23	-42.42	13.6	44.55	162
B _{Ma}	30.57	1.41	-46.47	46.49	272

Daten für Maximalfarbe (Ma):

$LAB^*LAB^*_Ma: 70 -30 83$

$LAB^*LCH^*_Ma: 70 88 109$

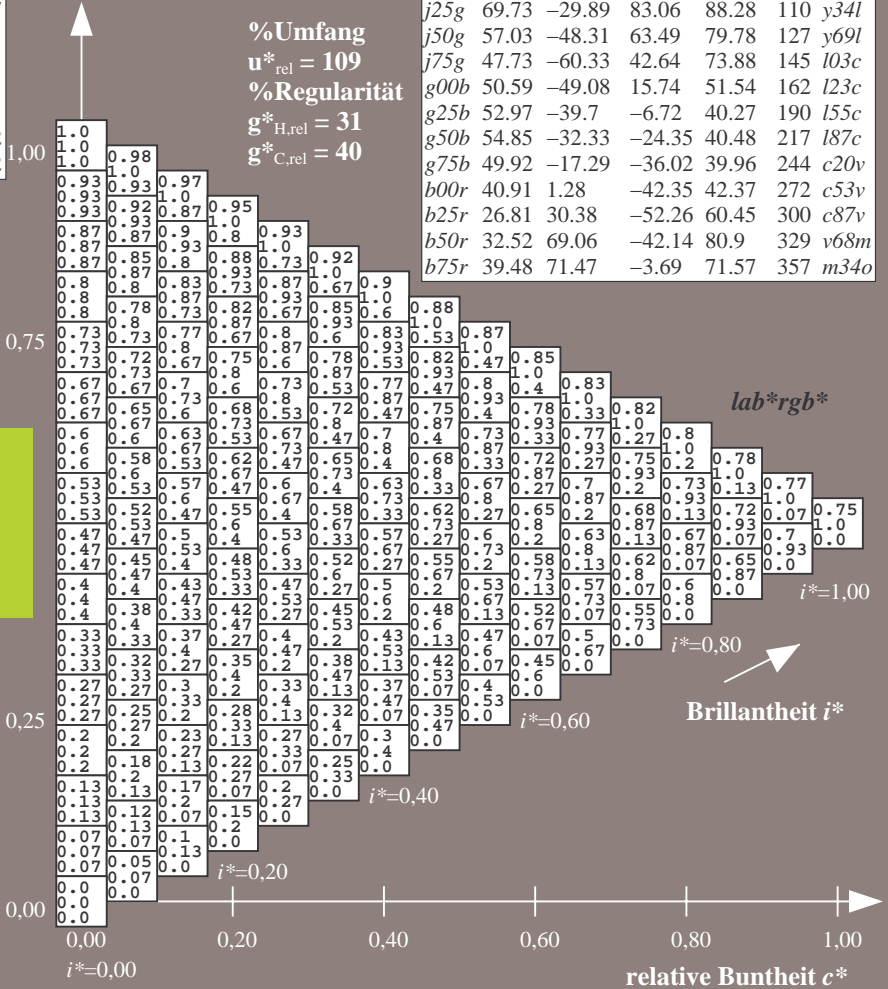
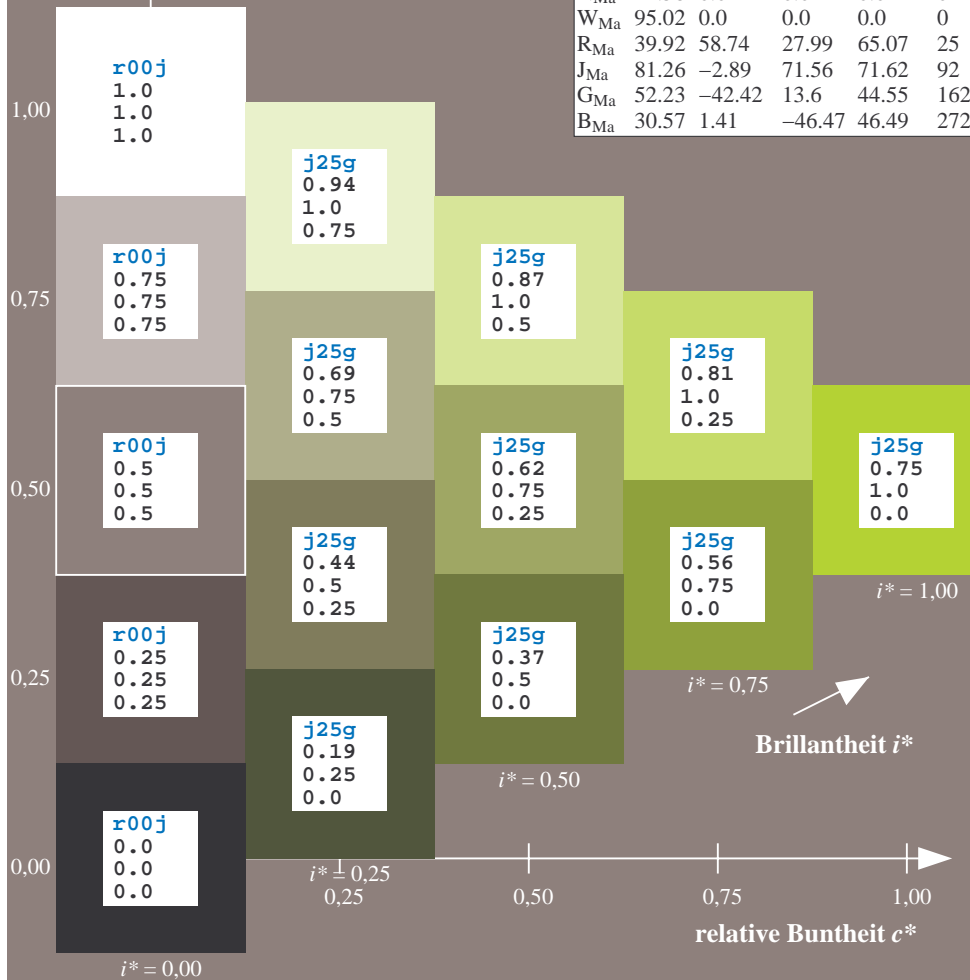
$lab^*rgb^*_Ma: 0.75 1.0 0.0$

$lab^*olv^*_Ma: 0.66 1.0 0.0$

Dreiecks-Helligkeit t^*

FRS12_95a; adaptierte CIELAB-Daten

u^*_e	$L^*=L^*_a$	a^*_a	b^*_a	$C^*_{ab,a}$	$h^*_{ab,a}$	u^*_d
r00j	38.47	63.32	30.17	70.15	25	m81o
r25j	42.12	54.56	49.45	73.64	42	o10y
r50j	53.64	39.15	64.89	75.79	59	o40y
r75j	67.01	21.26	82.83	85.52	76	o69y
j00g	86.18	-4.38	108.53	108.62	92	o98y
j25g	69.73	-29.89	83.06	88.28	110	y34l
j50g	57.03	-48.31	63.49	79.78	127	y69l
j75g	47.73	-60.33	42.64	73.88	145	l03c
g00b	50.59	-49.08	15.74	51.54	162	i23c
g25b	52.97	-39.7	-6.72	40.27	190	i55c
g50b	54.85	-32.33	-24.35	40.48	217	i87c
g75b	49.92	-17.29	-36.02	39.96	244	c20v
b00r	40.91	1.28	-42.35	42.37	272	c53v
b25r	26.81	30.38	-52.26	60.45	300	c87v
b50r	32.52	69.06	-42.14	80.9	329	v68m
b75r	39.48	71.47	-3.69	71.57	357	m34o



Ein und Ausgabe: Farbmetrisches Drucker-Reflektiv-System FRS12_95a, $L^*=12_95$ für relativen CIELAB-Bunton $h^* = lab^*h^* = h_{ab}/360 = 0.354$ $u^*_e = j50g$

Daten für jede Farbe:

lab^*ch^* und lab^*icu^*

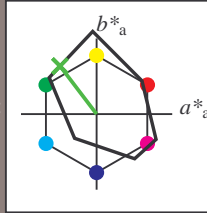
Buntontexte:

$u^*_e = j50g$ $u^*_d = y69l$

Kontrastreduzierungsfaktor:

$c_R = 1.0$

Dreiecks-Helligkeit t^*



FRS12_95a; adaptierte CIELAB-Daten

u^*_e	$L^*=L^*_a$	a^*_a	b^*_a	$C^*_{ab,a}$	$h^*_{ab,a}$
O _{Ma}	38.06	60.0	44.0	74.4	36
Y _{Ma}	86.77	-5.17	109.32	109.44	93
L _{Ma}	47.13	-62.67	48.24	79.09	142
C _{Ma}	55.66	-29.14	-31.99	43.27	228
V _{Ma}	17.15	50.3	-59.04	77.57	310
M _{Ma}	40.37	78.64	-33.5	85.48	337
N _{Ma}	11.58	0.0	0.0	0.0	0
W _{Ma}	95.02	0.0	0.0	0.0	0
R _{Ma}	39.92	58.74	27.99	65.07	25
J _{Ma}	81.26	-2.89	71.56	71.62	92
G _{Ma}	52.23	-42.42	13.6	44.55	162
B _{Ma}	30.57	1.41	-46.47	46.49	272

Daten für Maximalfarbe (Ma):

$LAB^*LAB^*_{Ma}$: 57 -48 63

$LAB^*LCH^*_{Ma}$: 57 80 127

$lab^*rgb^*_{Ma}$: 0.5 1.0 0.0

$lab^*olv^*_{Ma}$: 0.3 1.0 0.0

Dreiecks-Helligkeit t^*

%Umfang

$u^*_{rel} = 109$

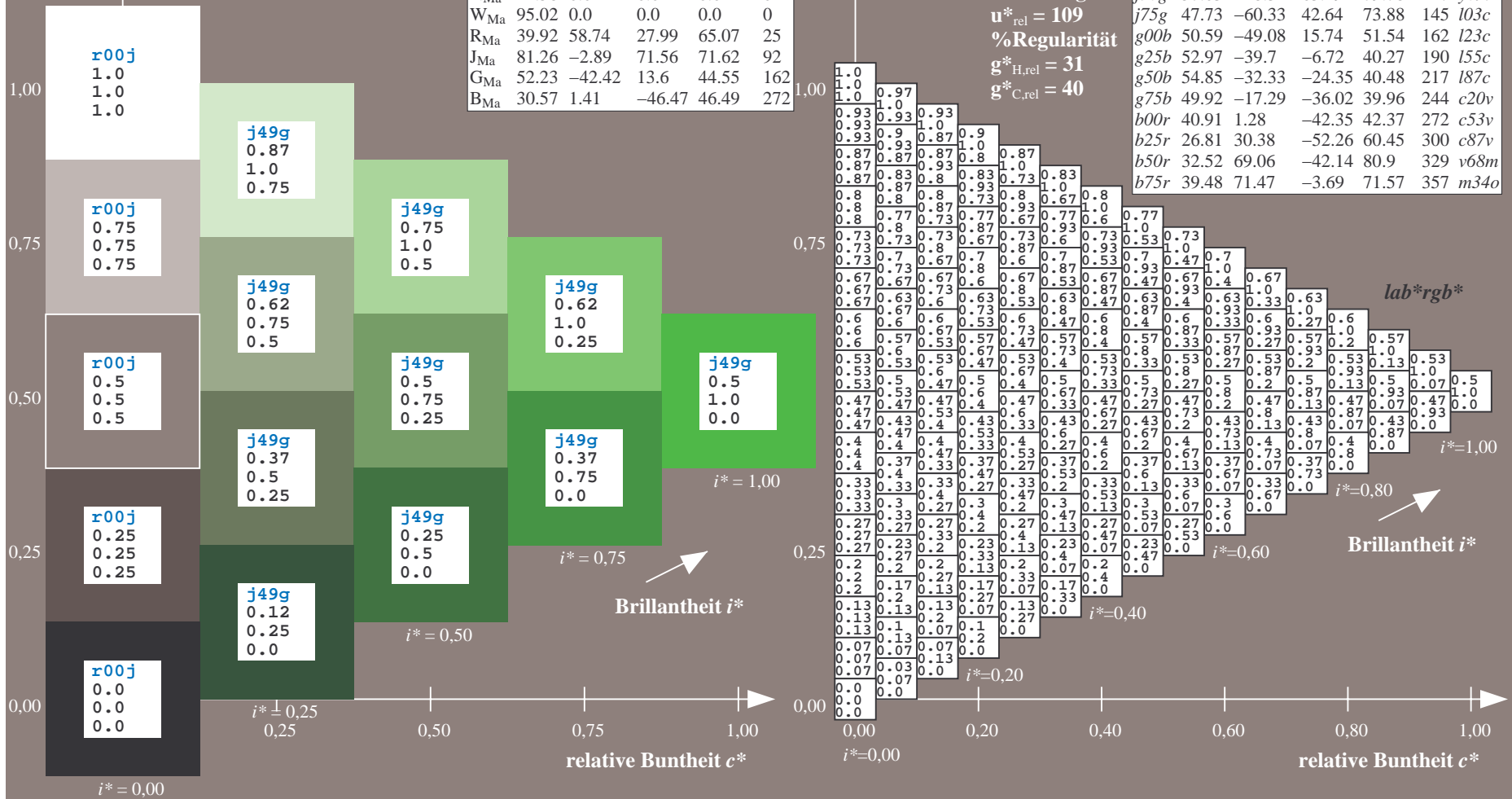
%Regularität

$g^*_{H,rel} = 31$

$g^*_{C,rel} = 40$

FRS12_95a; adaptierte CIELAB-Daten

u^*_e	$L^*=L^*_a$	a^*_a	b^*_a	$C^*_{ab,a}$	$h^*_{ab,a}$	u^*_d
r00j	38.47	63.32	30.17	70.15	25	m81o
r25j	42.12	54.56	49.45	73.64	42	o10y
r50j	53.64	39.15	64.89	75.79	59	o40y
r75j	67.01	21.26	82.83	85.52	76	o69y
j00g	86.18	-4.38	108.53	108.62	92	o98y
j25g	69.73	-29.89	83.06	88.28	110	y34l
j50g	57.03	-48.31	63.49	79.78	127	y69l
j75g	47.73	-60.33	42.64	73.88	145	l03c
g00b	50.59	-49.08	15.74	51.54	162	i23c
g25b	52.97	-39.7	-6.72	40.27	190	i55c
g50b	54.85	-32.33	-24.35	40.48	217	i87c
g75b	49.92	-17.29	-36.02	39.96	244	c20v
b00r	40.91	1.28	-42.35	42.37	272	c53v
b25r	26.81	30.38	-52.26	60.45	300	c87v
b50r	32.52	69.06	-42.14	80.9	329	v68m
b75r	39.48	71.47	-3.69	71.57	357	m34o



Ein und Ausgabe: Farbmatisches Drucker-Reflektiv-System FRS12_95a, $L^*=12_95$ für relativen CIELAB-Bunton $h^* = lab^*h^* = h_{ab}/360 = 0.402$ $u^*_e = j75g$

Daten für jede Farbe:

lab^*tch^* und lab^*icu^*

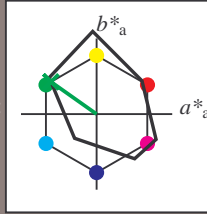
Buntontexte:

$u^*_e = j75g$ $u^*_d = l03c$

Kontrastreduzierungsfaktor:

$c_R = 1.0$

Dreiecks-Helligkeit t^*



FRS12_95a; adaptierte CIELAB-Daten

u^*_e	$L^*=L^*_a$	a^*_a	b^*_a	$C^*_{ab,a}$	$h^*_{ab,a}$
O _{Ma}	38.06	60.0	44.0	74.4	36
Y _{Ma}	86.77	-5.17	109.32	109.44	93
L _{Ma}	47.13	-62.67	48.24	79.09	142
C _{Ma}	55.66	-29.14	-31.99	43.27	228
V _{Ma}	17.15	50.3	-59.04	77.57	310
M _{Ma}	40.37	78.64	-33.5	85.48	337
N _{Ma}	11.58	0.0	0.0	0.0	0
W _{Ma}	95.02	0.0	0.0	0.0	0
R _{Ma}	39.92	58.74	27.99	65.07	25
J _{Ma}	81.26	-2.89	71.56	71.62	92
G _{Ma}	52.23	-42.42	13.6	44.55	162
B _{Ma}	30.57	1.41	-46.47	46.49	272

Daten für Maximalfarbe (Ma):

$LAB^*LAB^*_{Ma}$: 48 -60 43

$LAB^*LCH^*_{Ma}$: 48 74 144

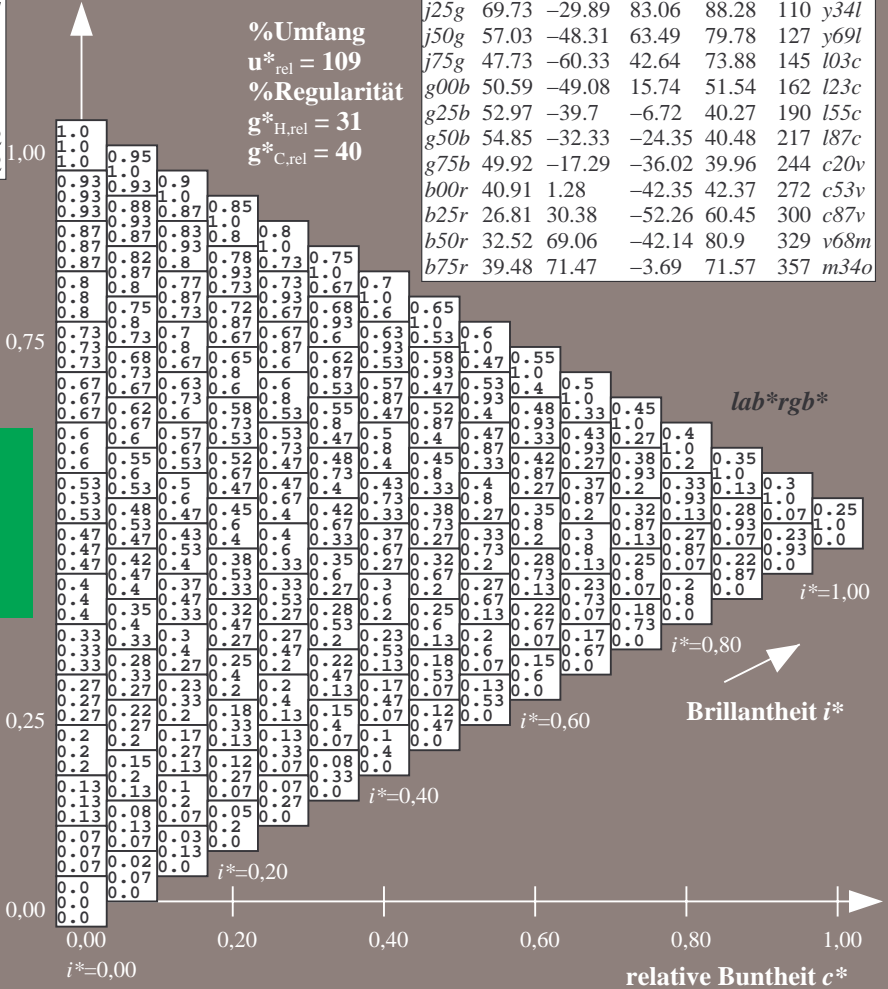
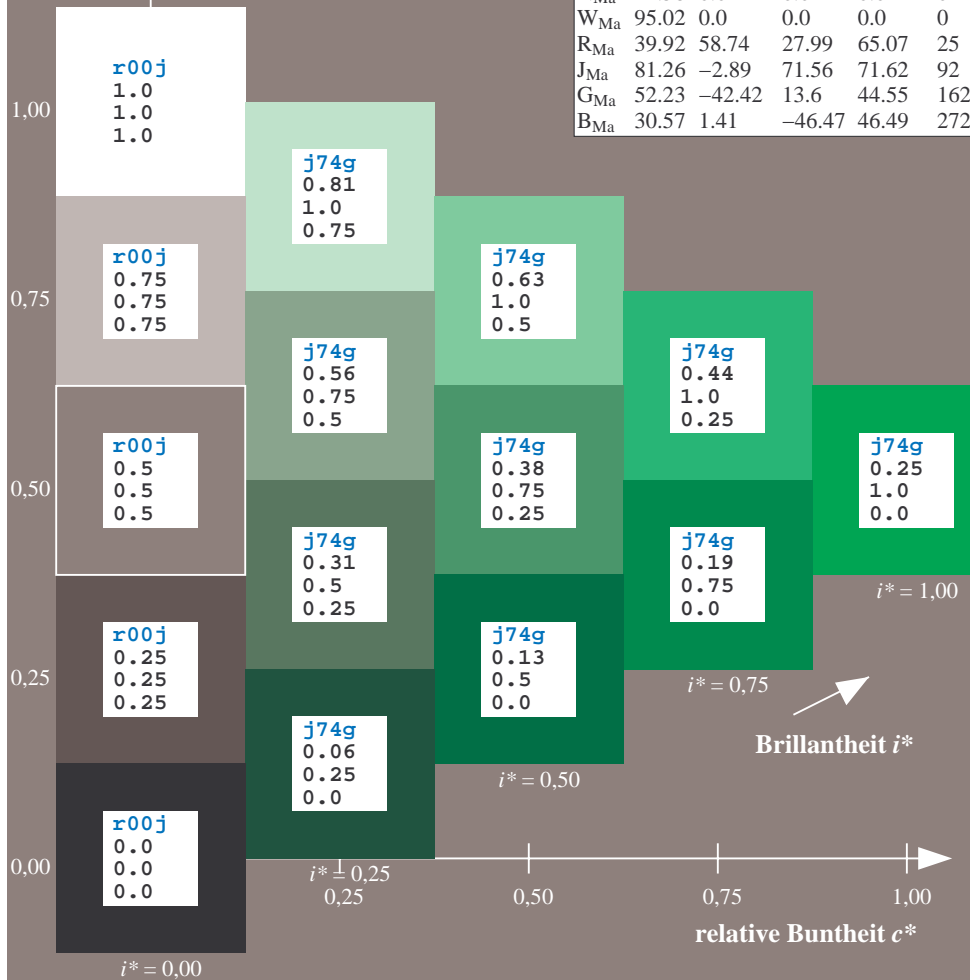
$lab^*rgb^*_{Ma}$: 0.25 1.0 0.0

$lab^*olv^*_{Ma}$: 0.0 1.0 0.03

Dreiecks-Helligkeit t^*

FRS12_95a; adaptierte CIELAB-Daten

u^*_e	$L^*=L^*_a$	a^*_a	b^*_a	$C^*_{ab,a}$	$h^*_{ab,a}$	u^*_d
r00j	38.47	63.32	30.17	70.15	25	m81o
r25j	42.12	54.56	49.45	73.64	42	o10y
r50j	53.64	39.15	64.89	75.79	59	o40y
r75j	67.01	21.26	82.83	85.52	76	o69y
j00g	86.18	-4.38	108.53	108.62	92	o98y
j25g	69.73	-29.89	83.06	88.28	110	y34l
j50g	57.03	-48.31	63.49	79.78	127	y69l
j75g	47.73	-60.33	42.64	73.88	145	l03c
g00b	50.59	-49.08	15.74	51.54	162	i23c
g25b	52.97	-39.7	-6.72	40.27	190	i55c
g50b	54.85	-32.33	-24.35	40.48	217	i87c
g75b	49.92	-17.29	-36.02	39.96	244	c20v
b00r	40.91	1.28	-42.35	42.37	272	c53v
b25r	26.81	30.38	-52.26	60.45	300	c87v
b50r	32.52	69.06	-42.14	80.9	329	v68m
b75r	39.48	71.47	-3.69	71.57	357	m34o



Ein und Ausgabe: Farbmatisches Drucker-Reflektiv-System FRS12_95a, $L^*=12_95$ für relativen CIELAB-Bunton $h^* = lab^*h^* = h_{ab}/360 = 0.451$ $u^*_e = g00b$

Daten für jede Farbe:

lab^*tch^* und lab^*icu^*

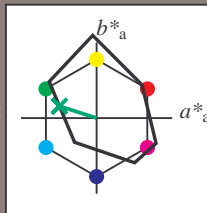
Buntontexte:

$u^*_e = g00b$ $u^*_d = l23c$

Kontrastreduzierungsfaktor:

$c_R = 1.0$

Dreiecks-Helligkeit t^*



FRS12_95a; adaptierte CIELAB-Daten

u^*_e	$L^*=L^*_a$	a^*_a	b^*_a	$C^*_{ab,a}$	$h^*_{ab,a}$
O _{Ma}	38.06	60.0	44.0	74.4	36
Y _{Ma}	86.77	-5.17	109.32	109.44	93
L _{Ma}	47.13	-62.67	48.24	79.09	142
C _{Ma}	55.66	-29.14	-31.99	43.27	228
V _{Ma}	17.15	50.3	-59.04	77.57	310
M _{Ma}	40.37	78.64	-33.5	85.48	337
N _{Ma}	11.58	0.0	0.0	0.0	0
W _{Ma}	95.02	0.0	0.0	0.0	0
R _{Ma}	39.92	58.74	27.99	65.07	25
J _{Ma}	81.26	-2.89	71.56	71.62	92
G _{Ma}	52.23	-42.42	13.6	44.55	162
B _{Ma}	30.57	1.41	-46.47	46.49	272

Daten für Maximalfarbe (Ma):

$LAB^*LAB^*_{Ma}$: 51 -49 16

$LAB^*LCH^*_{Ma}$: 51 52 162

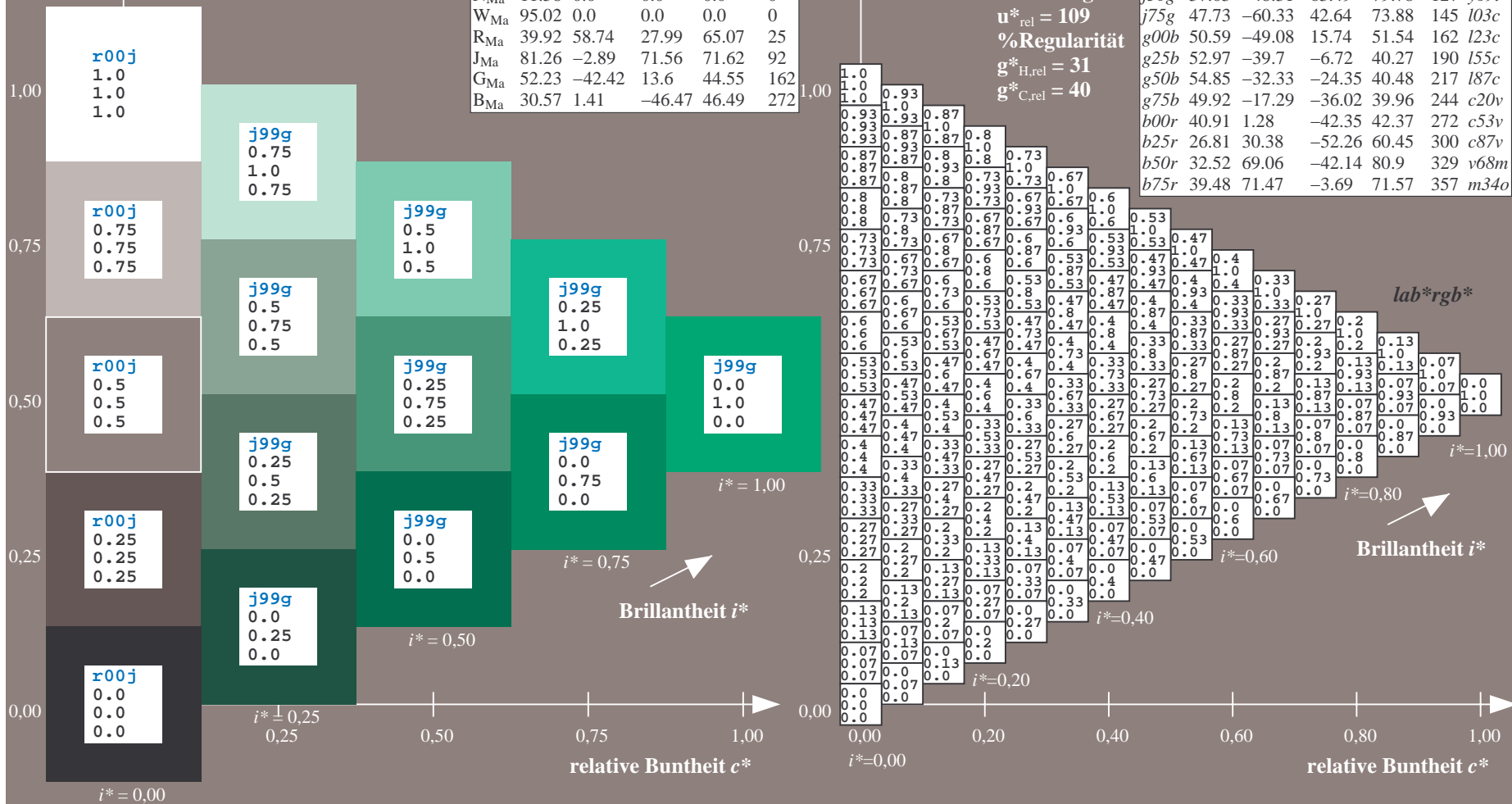
$lab^*rgb^*_{Ma}$: 0.0 1.0 0.0

$lab^*olv^*_{Ma}$: 0.0 1.0 0.23

Dreiecks-Helligkeit t^*

FRS12_95a; adaptierte CIELAB-Daten

u^*_e	$L^*=L^*_a$	a^*_a	b^*_a	$C^*_{ab,a}$	$h^*_{ab,a}$	u^*_d
r00j	38.47	63.32	30.17	70.15	25	m81o
r25j	42.12	54.56	49.45	73.64	42	o10y
r50j	53.64	39.15	64.89	75.79	59	o40y
r75j	67.01	21.26	82.83	85.52	76	o69y
j00g	86.18	-4.38	108.53	108.62	92	o98y
j25g	69.73	-29.89	83.06	88.28	110	y34l
j50g	57.03	-48.31	63.49	79.78	127	y69l
j75g	47.73	-60.33	42.64	73.88	145	l03c
g00b	50.59	-49.08	15.74	51.54	162	l23c
g25b	52.97	-39.7	-6.72	40.27	190	l55c
g50b	54.85	-32.33	-24.35	40.48	217	l87c
g75b	49.92	-17.29	-36.02	39.96	244	c20v
b00r	40.91	1.28	-42.35	42.37	272	c53v
b25r	26.81	30.38	-52.26	60.45	300	c87v
b50r	32.52	69.06	-42.14	80.9	329	v68m
b75r	39.48	71.47	-3.69	71.57	357	m34o



Ein und Ausgabe: Farbmatisches Drucker-Reflektiv-System FRS12_95a, $L^*=12_{95}$ für relativen CIELAB-Bunton $h^* = lab^*h^* = h_{ab}/360 = 0.527$ $u^*_e = g25b$

Daten für jede Farbe:

lab^*ch^* und lab^*icu^*

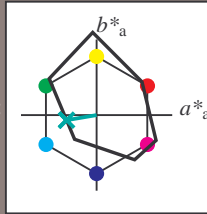
Buntontexte:

$u^*_e = g25b$ $u^*_d = l55c$

Kontrastreduzierungsfaktor:

$c_R = 1.0$

Dreiecks-Helligkeit t^*



FRS12_95a; adaptierte CIELAB-Daten

u^*_e	$L^*=L^*_a$	a^*_a	b^*_a	$C^*_{ab,a}$	$h^*_{ab,a}$
O _{Ma}	38.06	60.0	44.0	74.4	36
Y _{Ma}	86.77	-5.17	109.32	109.44	93
L _{Ma}	47.13	-62.67	48.24	79.09	142
C _{Ma}	55.66	-29.14	-31.99	43.27	228
V _{Ma}	17.15	50.3	-59.04	77.57	310
M _{Ma}	40.37	78.64	-33.5	85.48	337
N _{Ma}	11.58	0.0	0.0	0.0	0
W _{Ma}	95.02	0.0	0.0	0.0	0
R _{Ma}	39.92	58.74	27.99	65.07	25
J _{Ma}	81.26	-2.89	71.56	71.62	92
G _{Ma}	52.23	-42.42	13.6	44.55	162
B _{Ma}	30.57	1.41	-46.47	46.49	272

Daten für Maximalfarbe (Ma):

$LAB^*LAB^*_{Ma}$: 53 -40 -7

$LAB^*LCH^*_{Ma}$: 53 40 189

$lab^*rgb^*_{Ma}$: 0.0 1.0 0.5

$lab^*olv^*_{Ma}$: 0.0 1.0 0.55

Dreiecks-Helligkeit t^*

%Umfang

$u^*_{rel} = 109$

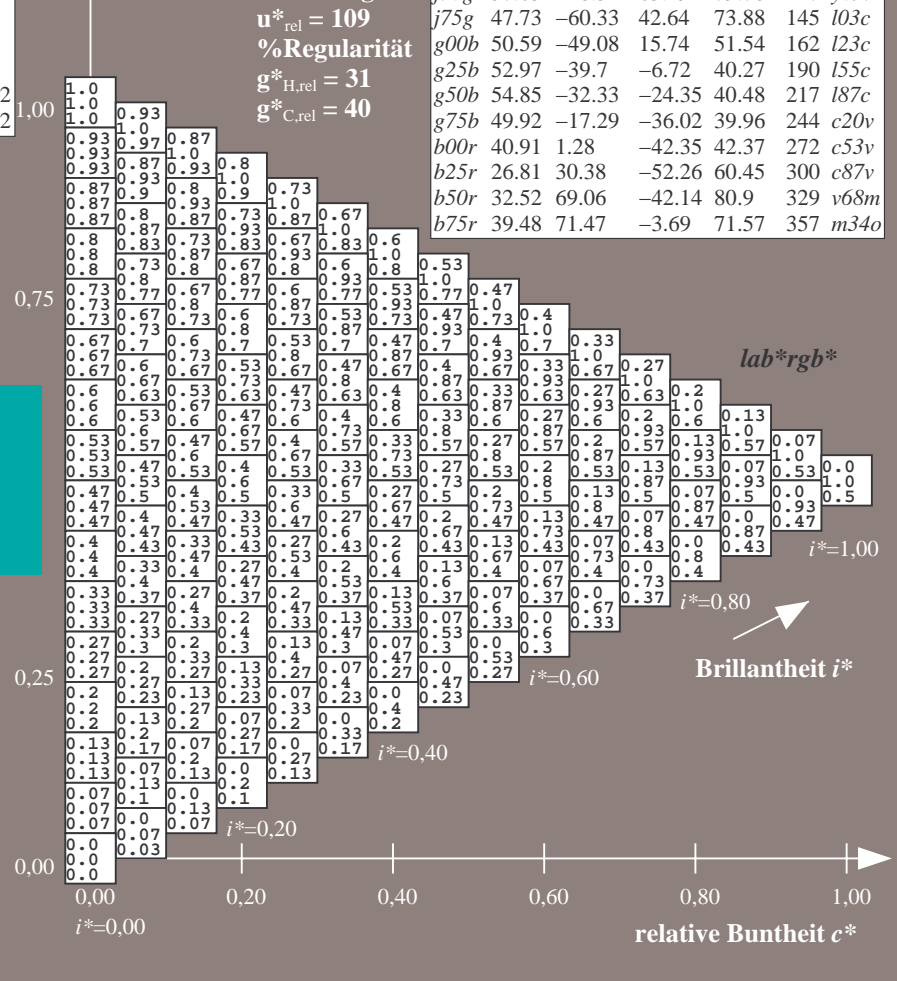
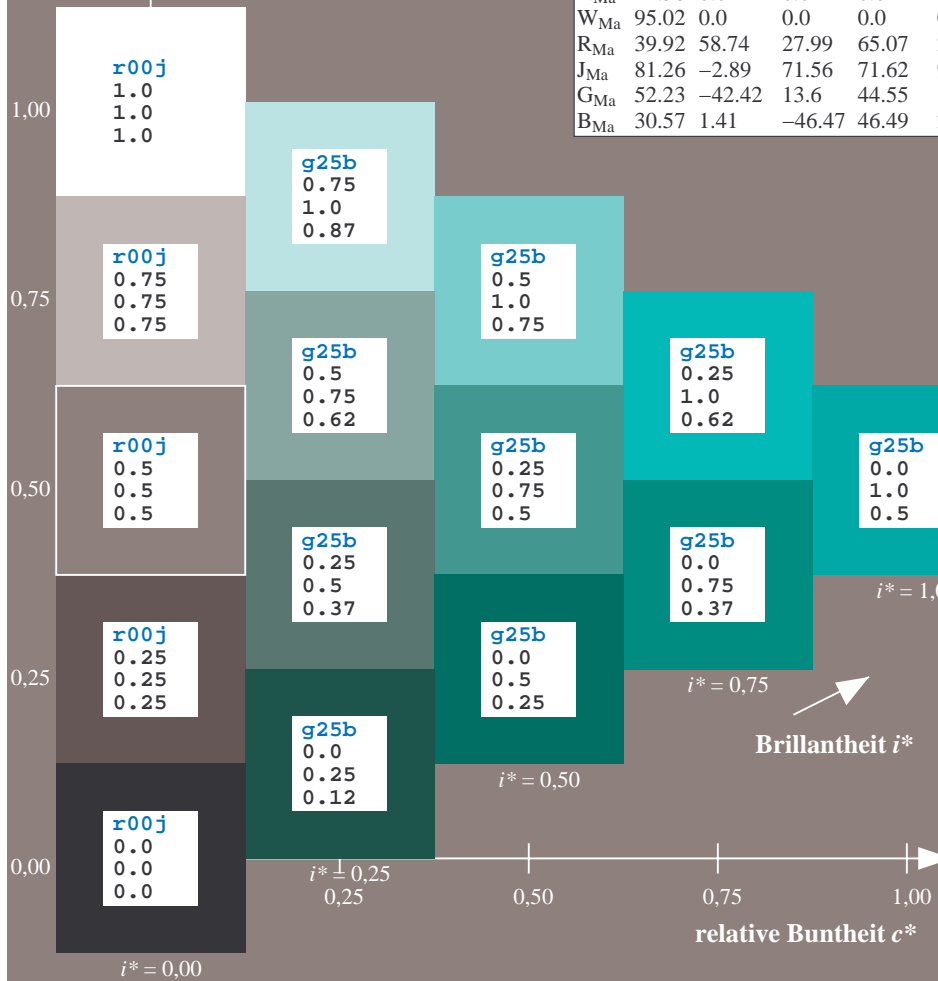
%Regularität

$g^*_{H,rel} = 31$

$g^*_{C,rel} = 40$

FRS12_95a; adaptierte CIELAB-Daten

u^*_e	$L^*=L^*_a$	a^*_a	b^*_a	$C^*_{ab,a}$	$h^*_{ab,a}$	u^*_d
r00j	38.47	63.32	30.17	70.15	25	m81o
r25j	42.12	54.56	49.45	73.64	42	o10y
r50j	53.64	39.15	64.89	75.79	59	o40y
r75j	67.01	21.26	82.83	85.52	76	o69y
j00g	86.18	-4.38	108.53	108.62	92	o98y
j25g	69.73	-29.89	83.06	88.28	110	y34l
j50g	57.03	-48.31	63.49	79.78	127	y69l
j75g	47.73	-60.33	42.64	73.88	145	l03c
g00b	50.59	-49.08	15.74	51.54	162	i23c
g25b	52.97	-39.7	-6.72	40.27	190	i55c
g50b	54.85	-32.33	-24.35	40.48	217	i87c
g75b	49.92	-17.29	-36.02	39.96	244	c20v
b00r	40.91	1.28	-42.35	42.37	272	c53v
b25r	26.81	30.38	-52.26	60.45	300	c87v
b50r	32.52	69.06	-42.14	80.9	329	v68m
b75r	39.48	71.47	-3.69	71.57	357	m34o



Ein und Ausgabe: Farbmatisches Drucker-Reflektiv-System FRS12_95a, $L^*=12_95$ für relativen CIELAB-Bunton $h^* = lab^*h^* = h_{ab}/360 = 0.603$ $u^*_e = g50b$

Daten für jede Farbe:

lab^*ch^* und lab^*icu^*

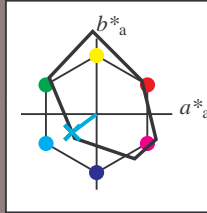
Buntontexte:

$u^*_e = g50b$ $u^*_d = l87c$

Kontrastreduzierungsfaktor:

$c_R = 1.0$

Dreiecks-Helligkeit t^*



FRS12_95a; adaptierte CIELAB-Daten

u^*_e	$L^*=L^*_a$	a^*_a	b^*_a	$C^*_{ab,a}$	$h^*_{ab,a}$
O _{Ma}	38.06	60.0	44.0	74.4	36
Y _{Ma}	86.77	-5.17	109.32	109.44	93
L _{Ma}	47.13	-62.67	48.24	79.09	142
C _{Ma}	55.66	-29.14	-31.99	43.27	228
V _{Ma}	17.15	50.3	-59.04	77.57	310
M _{Ma}	40.37	78.64	-33.5	85.48	337
N _{Ma}	11.58	0.0	0.0	0.0	0
W _{Ma}	95.02	0.0	0.0	0.0	0
R _{Ma}	39.92	58.74	27.99	65.07	25
J _{Ma}	81.26	-2.89	71.56	71.62	92
G _{Ma}	52.23	-42.42	13.6	44.55	162
B _{Ma}	30.57	1.41	-46.47	46.49	272

Daten für Maximalfarbe (Ma):

$LAB^*LAB^*_{Ma}$: 55 -32 -24

$LAB^*LCH^*_{Ma}$: 55 40 216

$lab^*rgb^*_{Ma}$: 0.0 1.0 1.0

$lab^*olv^*_{Ma}$: 0.0 1.0 0.87

Dreiecks-Helligkeit t^*

%Umfang

$u^*_{rel} = 109$

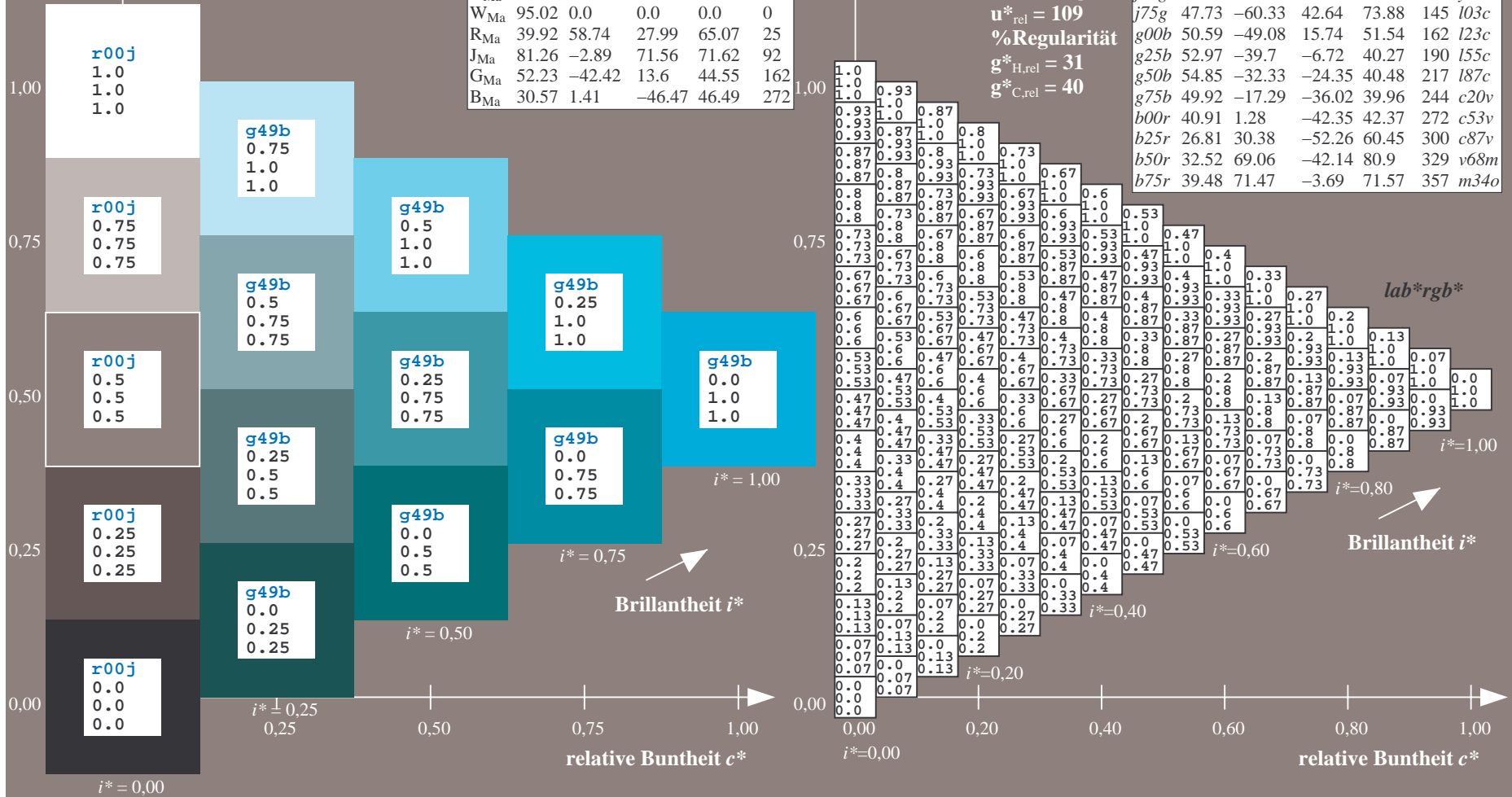
%Regularität

$g^*_{H,rel} = 31$

$g^*_{C,rel} = 40$

FRS12_95a; adaptierte CIELAB-Daten

u^*_e	$L^*=L^*_a$	a^*_a	b^*_a	$C^*_{ab,a}$	$h^*_{ab,a}$	u^*_d
r00j	38.47	63.32	30.17	70.15	25	m81o
r25j	42.12	54.56	49.45	73.64	42	o10y
r50j	53.64	39.15	64.89	75.79	59	o40y
r75j	67.01	21.26	82.83	85.52	76	o69y
j00g	86.18	-4.38	108.53	108.62	92	o98y
j25g	69.73	-29.89	83.06	88.28	110	y34l
j50g	57.03	-48.31	63.49	79.78	127	y69l
j75g	47.73	-60.33	42.64	73.88	145	l03c
g00b	50.59	-49.08	15.74	51.54	162	l23c
g25b	52.97	-39.7	-6.72	40.27	190	l55c
g50b	54.85	-32.33	-24.35	40.48	217	l87c
g75b	49.92	-17.29	-36.02	39.96	244	c20v
b00r	40.91	1.28	-42.35	42.37	272	c53v
b25r	26.81	30.38	-52.26	60.45	300	c87v
b50r	32.52	69.06	-42.14	80.9	329	v68m
b75r	39.48	71.47	-3.69	71.57	357	m34o



Ein und Ausgabe: Farbmatisches Drucker-Reflektiv-System FRS12_95a, $L^*=12_95$ für relativen CIELAB-Bunton $h^* = lab^*h^* = h_{ab}/360 = 0.679$ $u^*_e = g75b$

Daten für jede Farbe:

lab^*ch^* und lab^*icu^*

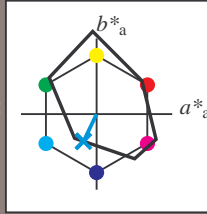
Buntontexte:

$u^*_e = g75b$ $u^*_d = c20v$

Kontrastreduzierungsfaktor:

$c_R = 1.0$

Dreiecks-Helligkeit t^*



FRS12_95a; adaptierte CIELAB-Daten

	u^*_e	$L^*=L^*_a$	a^*_a	b^*_a	$C^*_{ab,a}$	$h^*_{ab,a}$
O _{Ma}	38.06	60.0	44.0	74.4	36	
Y _{Ma}	86.77	-5.17	109.32	109.44	93	
L _{Ma}	47.13	-62.67	48.24	79.09	142	
C _{Ma}	55.66	-29.14	-31.99	43.27	228	
V _{Ma}	17.15	50.3	-59.04	77.57	310	
M _{Ma}	40.37	78.64	-33.5	85.48	337	
N _{Ma}	11.58	0.0	0.0	0.0	0	
W _{Ma}	95.02	0.0	0.0	0.0	0	
R _{Ma}	39.92	58.74	27.99	65.07	25	
J _{Ma}	81.26	-2.89	71.56	71.62	92	
G _{Ma}	52.23	-42.42	13.6	44.55	162	
B _{Ma}	30.57	1.41	-46.47	46.49	272	

Daten für Maximalfarbe (Ma):

$LAB^*LAB^*_{Ma}: 50 -17 -36$

$LAB^*LCH^*_{Ma}: 50 40 244$

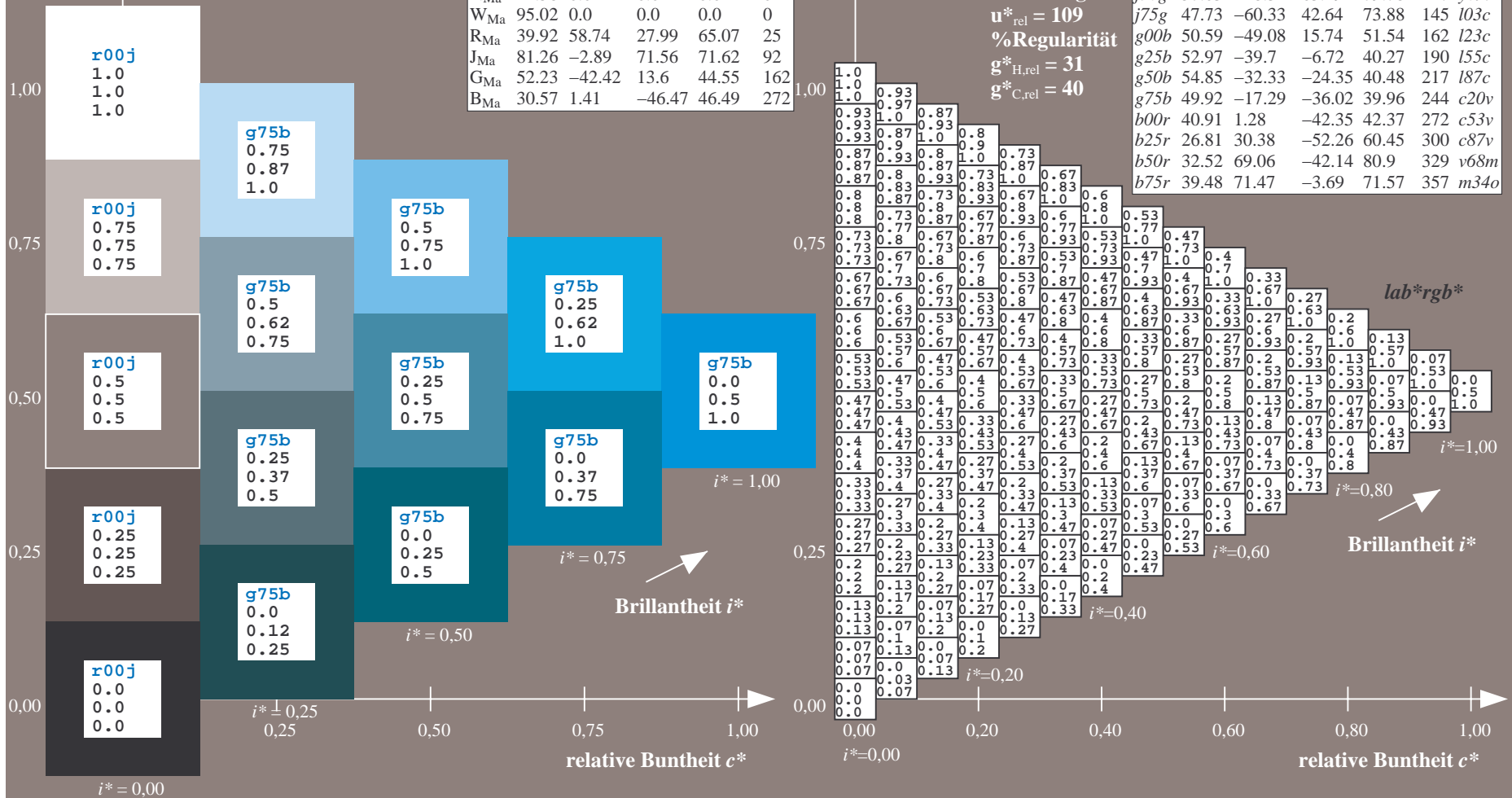
$lab^*rgb^*_{Ma}: 0.0 0.5 1.0$

$lab^*olv^*_{Ma}: 0.0 0.8 1.0$

Dreiecks-Helligkeit t^*

FRS12_95a; adaptierte CIELAB-Daten

	u^*_e	$L^*=L^*_a$	a^*_a	b^*_a	$C^*_{ab,a}$	$h^*_{ab,a}$	u^*_d
r00j	38.47	63.32	30.17	70.15	25	m81o	
r25j	42.12	54.56	49.45	73.64	42	o10y	
r50j	53.64	39.15	64.89	75.79	59	o40y	
r75j	67.01	21.26	82.83	85.52	76	o69y	
j00g	86.18	-4.38	108.53	108.62	92	o98y	
j25g	69.73	-29.89	83.06	88.28	110	y34l	
j50g	57.03	-48.31	63.49	79.78	127	y69l	
j75g	47.73	-60.33	42.64	73.88	145	103c	
g00b	50.59	-49.08	15.74	51.54	162	l23c	
g25b	52.97	-39.7	-6.72	40.27	190	l55c	
g50b	54.85	-32.33	-24.35	40.48	217	l87c	
g75b	49.92	-17.29	-36.02	39.96	244	c20v	
b00r	40.91	1.28	-42.35	42.37	272	c53v	
b25r	26.81	30.38	-52.26	60.45	300	c87v	
b50r	32.52	69.06	-42.14	80.9	329	v68m	
b75r	39.48	71.47	-3.69	71.57	357	m34o	



Ein und Ausgabe: Farbmetrisches Drucker-Reflektiv-System FRS12_95a, $L^*=12_95$ für relativen CIELAB-Bunton $h^* = lab^*h^* = h_{ab}/360 = 0.755$ $u^*_e = b00r$

Daten für jede Farbe:

lab^*ch^* und lab^*icu^*

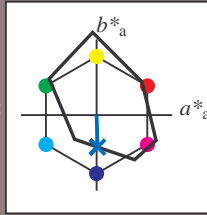
Bunntexte:

$u^*_e = b00r$ $u^*_d = c53v$

Kontrastreduzierungsfaktor:

$c_R = 1.0$

Dreiecks-Helligkeit t^*



FRS12_95a; adaptierte CIELAB-Daten

u^*_e	$L^*=L^*_a$	a^*_a	b^*_a	$C^*_{ab,a}$	$h^*_{ab,a}$
O _{Ma}	38.06	60.0	44.0	74.4	36
Y _{Ma}	86.77	-5.17	109.32	109.44	93
L _{Ma}	47.13	-62.67	48.24	79.09	142
C _{Ma}	55.66	-29.14	-31.99	43.27	228
V _{Ma}	17.15	50.3	-59.04	77.57	310
M _{Ma}	40.37	78.64	-33.5	85.48	337
N _{Ma}	11.58	0.0	0.0	0.0	0
W _{Ma}	95.02	0.0	0.0	0.0	0
R _{Ma}	39.92	58.74	27.99	65.07	25
J _{Ma}	81.26	-2.89	71.56	71.62	92
G _{Ma}	52.23	-42.42	13.6	44.55	162
B _{Ma}	30.57	1.41	-46.47	46.49	272

Daten für Maximalfarbe (Ma):

$LAB^*LAB^*_{Ma}$: 41 1 -42

$LAB^*LCH^*_{Ma}$: 41 42 271

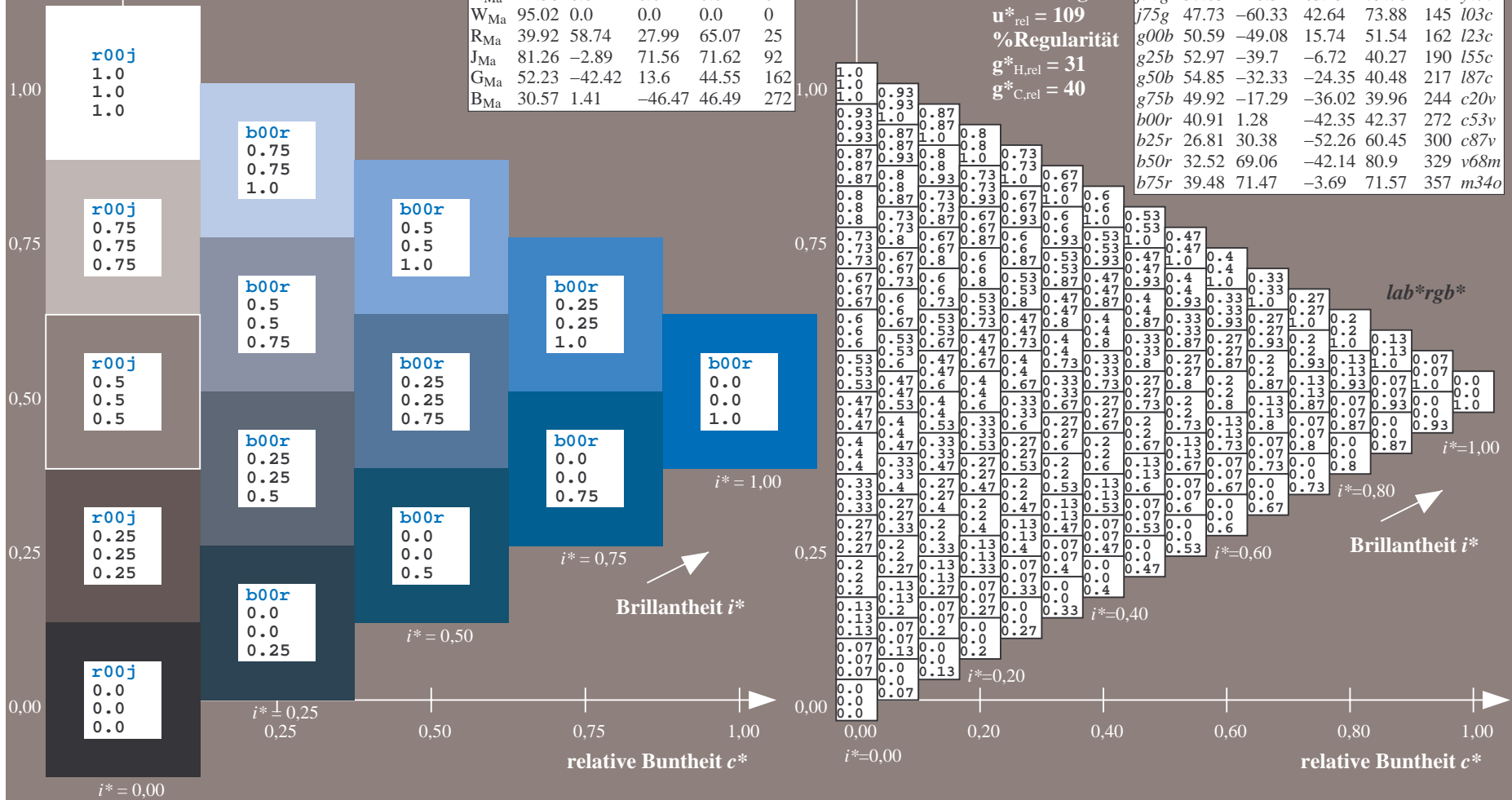
$lab^*rgb^*_{Ma}$: 0.0 0.0 1.0

$lab^*olv^*_{Ma}$: 0.0 0.47 1.0

Dreiecks-Helligkeit t^*

FRS12_95a; adaptierte CIELAB-Daten

u^*_e	$L^*=L^*_a$	a^*_a	b^*_a	$C^*_{ab,a}$	$h^*_{ab,a}$	u^*_d
r00j	38.47	63.32	30.17	70.15	25	m81o
r25j	42.12	54.56	49.45	73.64	42	o10y
r50j	53.64	39.15	64.89	75.79	59	o40y
r75j	67.01	21.26	82.83	85.52	76	o69y
j00g	86.18	-4.38	108.53	108.62	92	o98y
j25g	69.73	-29.89	83.06	88.28	110	y34l
j50g	57.03	-48.31	63.49	79.78	127	y69l
j75g	47.73	-60.33	42.64	73.88	145	l03c
g00b	50.59	-49.08	15.74	51.54	162	i23c
g25b	52.97	-39.7	-6.72	40.27	190	i55c
g50b	54.85	-32.33	-24.35	40.48	217	i87c
g75b	49.92	-17.29	-36.02	39.96	244	c20v
b00r	40.91	1.28	-42.35	42.37	272	c53v
b25r	26.81	30.38	-52.26	60.45	300	c87v
b50r	32.52	69.06	-42.14	80.9	329	v68m
b75r	39.48	71.47	-3.69	71.57	357	m34o



Ein und Ausgabe: Farbmatisches Drucker-Reflektiv-System FRS12_95a, $L^*=12_95$ für relativen CIELAB-Bunton $h^* = lab^*h^* = h_{ab}/360 = 0.834$ $u^*_e = b25r$

Daten für jede Farbe:

lab^*tch^* und lab^*icu^*

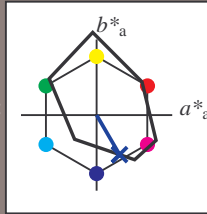
Buntontexte:

$u^*_e = b25r$ $u^*_d = c87v$

Kontrastreduzierungsfaktor:

$c_R = 1.0$

Dreiecks-Helligkeit t^*



FRS12_95a; adaptierte CIELAB-Daten

u^*_e	$L^*=L^*_a$	a^*_a	b^*_a	$C^*_{ab,a}$	$h^*_{ab,a}$
O _{Ma}	38.06	60.0	44.0	74.4	36
Y _{Ma}	86.77	-5.17	109.32	109.44	93
L _{Ma}	47.13	-62.67	48.24	79.09	142
C _{Ma}	55.66	-29.14	-31.99	43.27	228
V _{Ma}	17.15	50.3	-59.04	77.57	310
M _{Ma}	40.37	78.64	-33.5	85.48	337
N _{Ma}	11.58	0.0	0.0	0.0	0
W _{Ma}	95.02	0.0	0.0	0.0	0
R _{Ma}	39.92	58.74	27.99	65.07	25
J _{Ma}	81.26	-2.89	71.56	71.62	92
G _{Ma}	52.23	-42.42	13.6	44.55	162
B _{Ma}	30.57	1.41	-46.47	46.49	272

Daten für Maximalfarbe (Ma):

$LAB^*LAB^*_{Ma}$: 27 30 -52

$LAB^*LCH^*_{Ma}$: 27 60 300

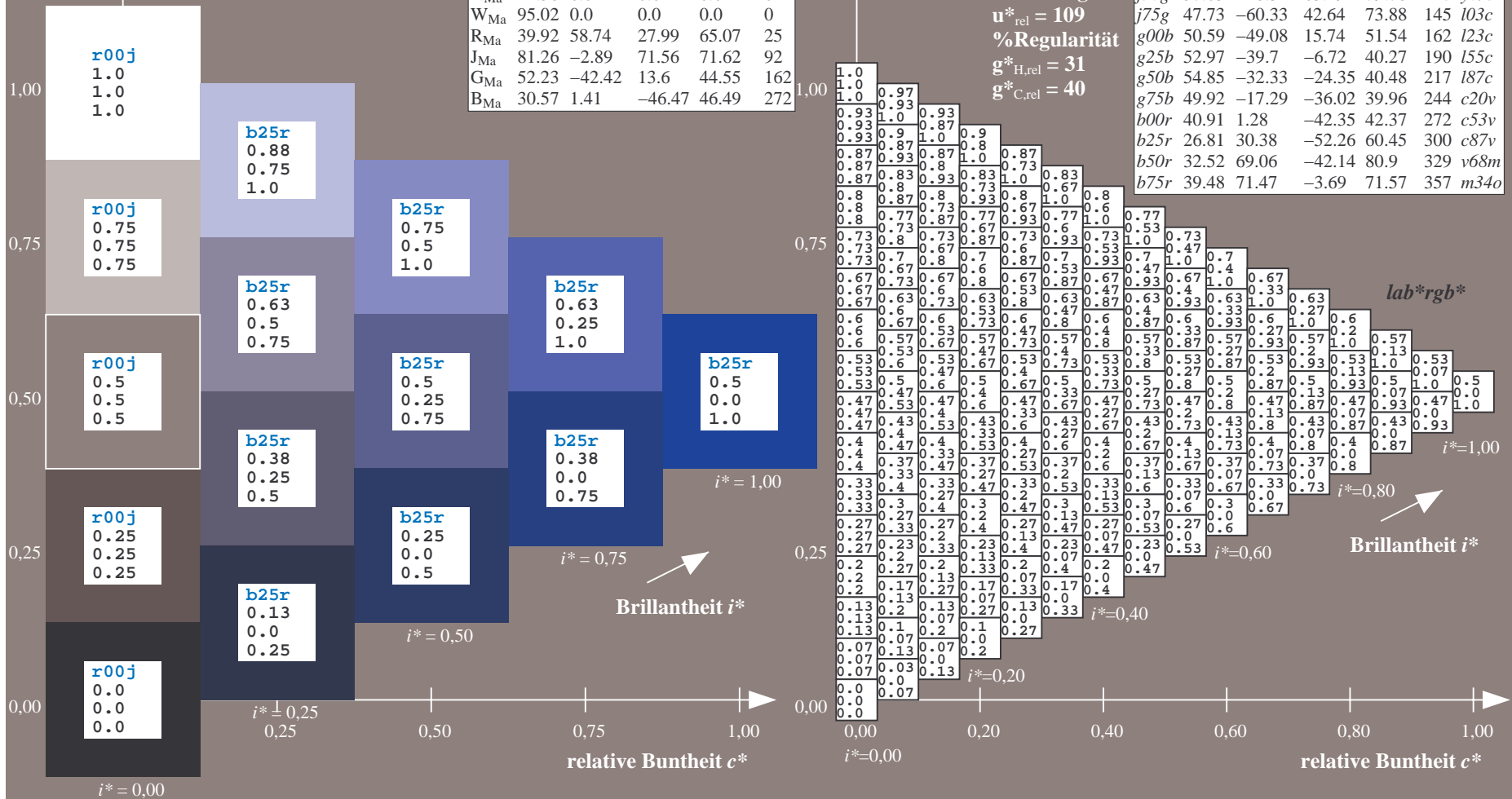
$lab^*rgb^*_{Ma}$: 0.5 0.0 1.0

$lab^*olv^*_{Ma}$: 0.0 0.12 1.0

Dreiecks-Helligkeit t^*

FRS12_95a; adaptierte CIELAB-Daten

u^*_e	$L^*=L^*_a$	a^*_a	b^*_a	$C^*_{ab,a}$	$h^*_{ab,a}$	u^*_d
r00j	38.47	63.32	30.17	70.15	25	m81o
r25j	42.12	54.56	49.45	73.64	42	o10y
r50j	53.64	39.15	64.89	75.79	59	o40y
r75j	67.01	21.26	82.83	85.52	76	o69y
j00g	86.18	-4.38	108.53	108.62	92	o98y
j25g	69.73	-29.89	83.06	88.28	110	y34l
j50g	57.03	-48.31	63.49	79.78	127	y69l
j75g	47.73	-60.33	42.64	73.88	145	103c
g00b	50.59	-49.08	15.74	51.54	162	l23c
g25b	52.97	-39.7	-6.72	40.27	190	l55c
g50b	54.85	-32.33	-24.35	40.48	217	l87c
g75b	49.92	-17.29	-36.02	39.96	244	c20v
b00r	40.91	1.28	-42.35	42.37	272	c53v
b25r	26.81	30.38	-52.26	60.45	300	c87v
b50r	32.52	69.06	-42.14	80.9	329	v68m
b75r	39.48	71.47	-3.69	71.57	357	m34o



Ein und Ausgabe: Farbmatisches Drucker-Reflektiv-System FRS12_95a, $L^*=12_95$ für relativen CIELAB-Bunton $h^* = lab^*h^* = h_{ab}/360 = 0.913$ $u^*_e = b50r$

Daten für jede Farbe:

lab^*ch^* und lab^*icu^*

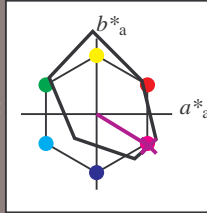
Buntontexte:

$u^*_e = b50r$ $u^*_d = v68m$

Kontrastreduzierungsfaktor:

$c_R = 1.0$

Dreiecks-Helligkeit t^*



FRS12_95a; adaptierte CIELAB-Daten

u^*_e	$L^*=L^*_a$	a^*_a	b^*_a	$C^*_{ab,a}$	$h^*_{ab,a}$
O _{Ma}	38.06	60.0	44.0	74.4	36
Y _{Ma}	86.77	-5.17	109.32	109.44	93
L _{Ma}	47.13	-62.67	48.24	79.09	142
C _{Ma}	55.66	-29.14	-31.99	43.27	228
V _{Ma}	17.15	50.3	-59.04	77.57	310
M _{Ma}	40.37	78.64	-33.5	85.48	337
N _{Ma}	11.58	0.0	0.0	0.0	0
W _{Ma}	95.02	0.0	0.0	0.0	0
R _{Ma}	39.92	58.74	27.99	65.07	25
J _{Ma}	81.26	-2.89	71.56	71.62	92
G _{Ma}	52.23	-42.42	13.6	44.55	162
B _{Ma}	30.57	1.41	-46.47	46.49	272

Daten für Maximalfarbe (Ma):

$LAB^*LAB^*_{Ma}$: 33 69 -42

$LAB^*LCH^*_{Ma}$: 33 81 328

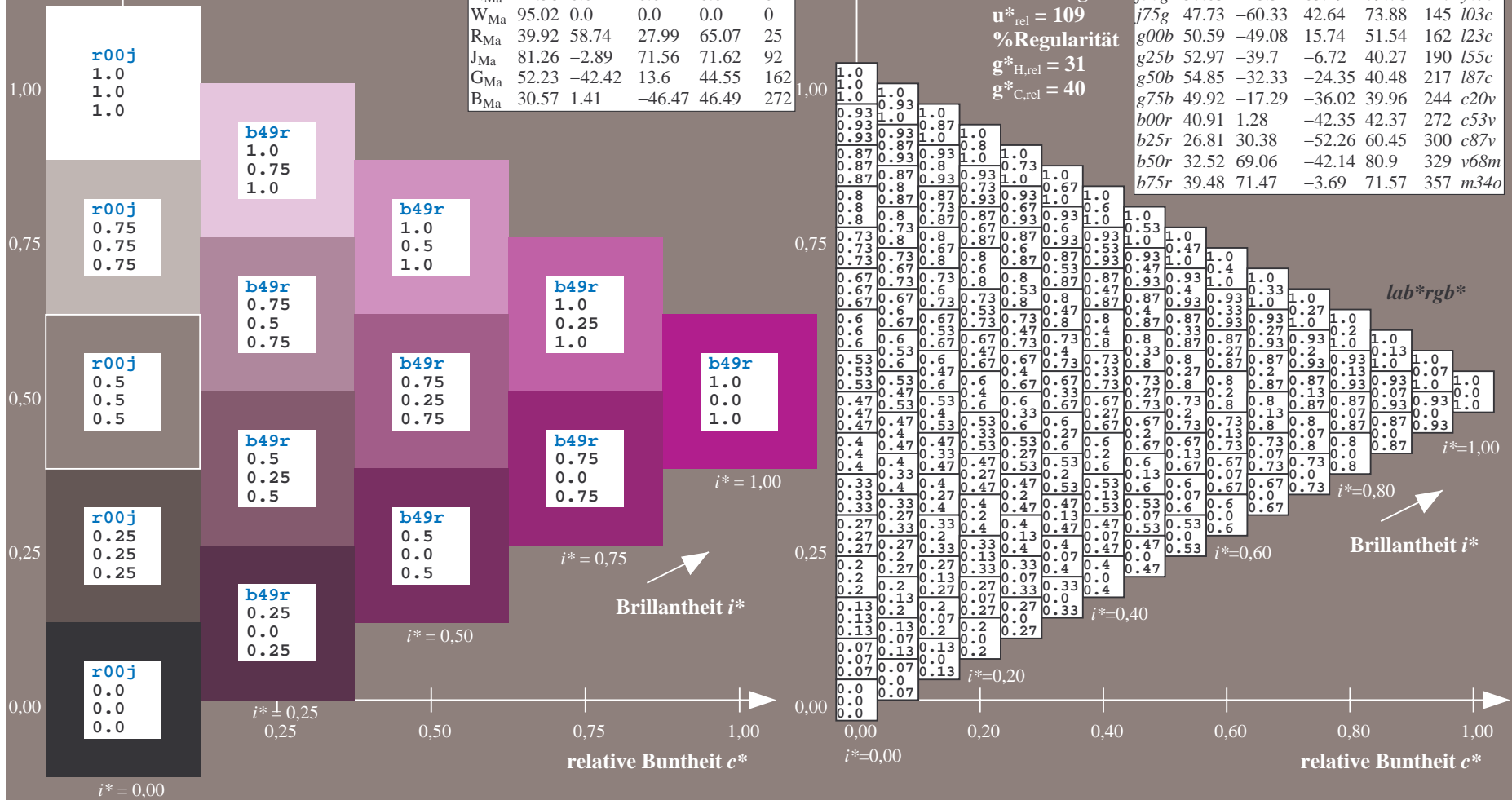
$lab^*rgb^*_{Ma}$: 1.0 0.0 1.0

$lab^*olv^*_{Ma}$: 0.69 0.0 1.0

Dreiecks-Helligkeit t^*

FRS12_95a; adaptierte CIELAB-Daten

u^*_e	$L^*=L^*_a$	a^*_a	b^*_a	$C^*_{ab,a}$	$h^*_{ab,a}$	u^*_d
r00j	38.47	63.32	30.17	70.15	25	m81o
r25j	42.12	54.56	49.45	73.64	42	o10y
r50j	53.64	39.15	64.89	75.79	59	o40y
r75j	67.01	21.26	82.83	85.52	76	o69y
j00g	86.18	-4.38	108.53	108.62	92	o98y
j25g	69.73	-29.89	83.06	88.28	110	y34l
j50g	57.03	-48.31	63.49	79.78	127	y69l
j75g	47.73	-60.33	42.64	73.88	145	i03c
g00b	50.59	-49.08	15.74	51.54	162	i23c
g25b	52.97	-39.7	-6.72	40.27	190	i55c
g50b	54.85	-32.33	-24.35	40.48	217	i87c
g75b	49.92	-17.29	-36.02	39.96	244	c20v
b00r	40.91	1.28	-42.35	42.37	272	c53v
b25r	26.81	30.38	-52.26	60.45	300	c87v
b50r	32.52	69.06	-42.14	80.9	329	v68m
b75r	39.48	71.47	-3.69	71.57	357	m34o



Ein und Ausgabe: Farbmatisches Drucker-Reflektiv-System FRS12_95a, $L^*=12_95$ für relativen CIELAB-Bunton $h^* = lab^*h^* = h_{ab}/360 = 0.992$ $u^*_e = b75r$

Daten für jede Farbe:

lab^*ch^* und lab^*icu^*

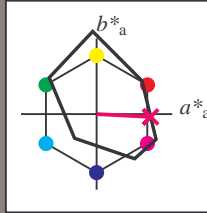
Buntontexte:

$u^*_e = b75r$ $u^*_d = m34o$

Kontrastreduzierungsfaktor:

$c_R = 1.0$

Dreiecks-Helligkeit t^*



FRS12_95a; adaptierte CIELAB-Daten

u^*_e	$L^*=L^*_a$	a^*_a	b^*_a	$C^*_{ab,a}$	$h^*_{ab,a}$
O _{Ma}	38.06	60.0	44.0	74.4	36
Y _{Ma}	86.77	-5.17	109.32	109.44	93
L _{Ma}	47.13	-62.67	48.24	79.09	142
C _{Ma}	55.66	-29.14	-31.99	43.27	228
V _{Ma}	17.15	50.3	-59.04	77.57	310
M _{Ma}	40.37	78.64	-33.5	85.48	337
N _{Ma}	11.58	0.0	0.0	0.0	0
W _{Ma}	95.02	0.0	0.0	0.0	0
R _{Ma}	39.92	58.74	27.99	65.07	25
J _{Ma}	81.26	-2.89	71.56	71.62	92
G _{Ma}	52.23	-42.42	13.6	44.55	162
B _{Ma}	30.57	1.41	-46.47	46.49	272

Daten für Maximalfarbe (Ma):

$LAB^*LAB^*_{Ma}$: 39 71 -4

$LAB^*LCH^*_{Ma}$: 39 72 357

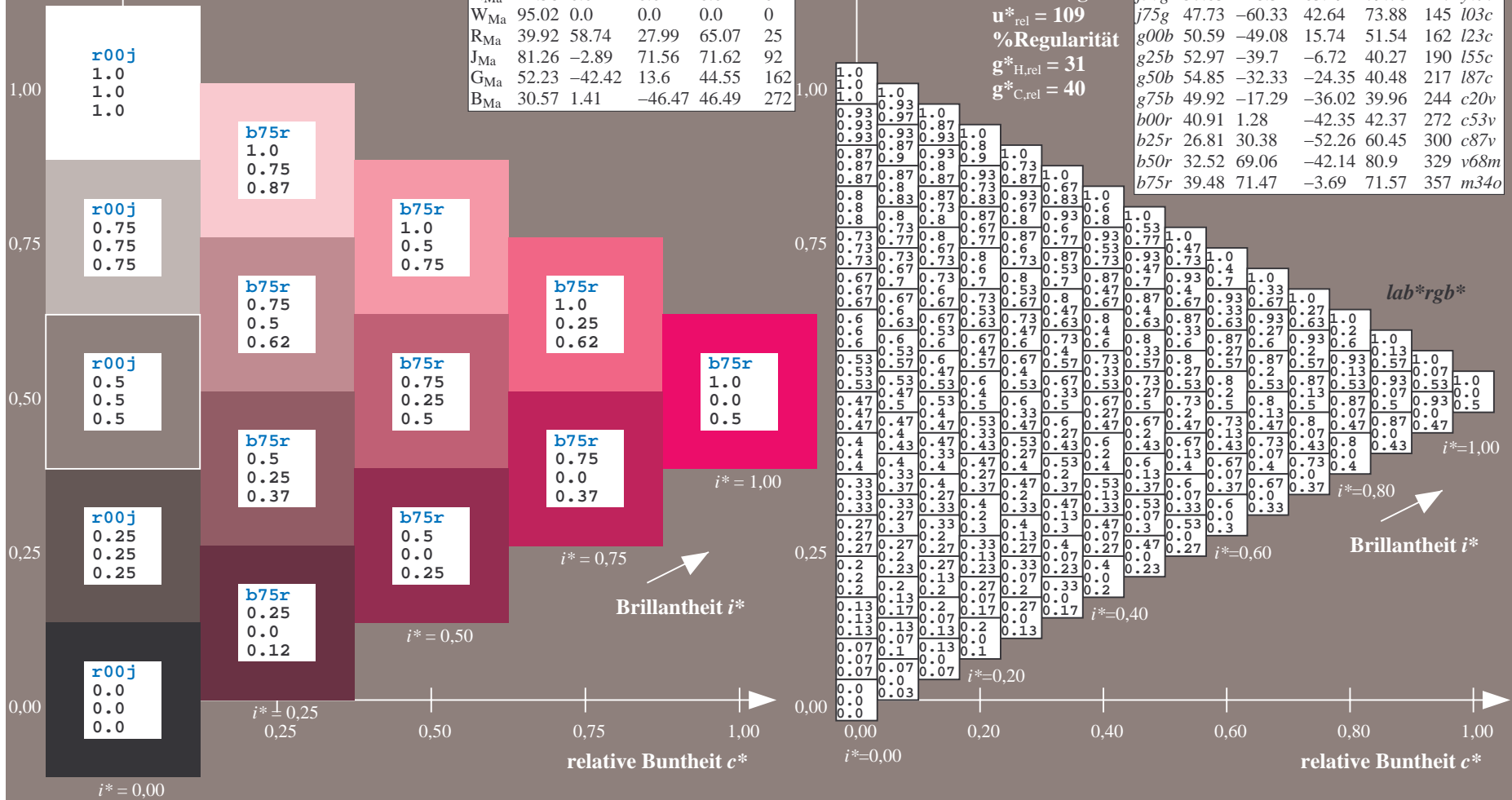
$lab^*rgb^*_{Ma}$: 1.0 0.0 0.5

$lab^*olv^*_{Ma}$: 1.0 0.0 0.66

Dreiecks-Helligkeit t^*

FRS12_95a; adaptierte CIELAB-Daten

u^*_e	$L^*=L^*_a$	a^*_a	b^*_a	$C^*_{ab,a}$	$h^*_{ab,a}$	u^*_d
r00j	38.47	63.32	30.17	70.15	25	m81o
r25j	42.12	54.56	49.45	73.64	42	o10y
r50j	53.64	39.15	64.89	75.79	59	o40y
r75j	67.01	21.26	82.83	85.52	76	o69y
j00g	86.18	-4.38	108.53	108.62	92	o98y
j25g	69.73	-29.89	83.06	88.28	110	y34l
j50g	57.03	-48.31	63.49	79.78	127	y69l
j75g	47.73	-60.33	42.64	73.88	145	l03c
g00b	50.59	-49.08	15.74	51.54	162	i23c
g25b	52.97	-39.7	-6.72	40.27	190	i55c
g50b	54.85	-32.33	-24.35	40.48	217	i87c
g75b	49.92	-17.29	-36.02	39.96	244	c20v
b00r	40.91	1.28	-42.35	42.37	272	c53v
b25r	26.81	30.38	-52.26	60.45	300	c87v
b50r	32.52	69.06	-42.14	80.9	329	v68m
b75r	39.48	71.47	-3.69	71.57	357	m34o



Ein und Ausgabe:
 Farbmetrisches Drucker-Reflektiv-System FRS12_95a

Daten für jede Farbe:

u^*_e und Nummer $Nr. = 00 \dots 15$

Elementar-Bunttextext:

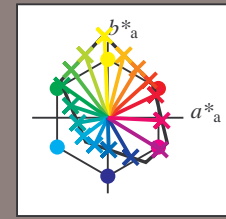
$u^*_e = 16$ Bunttoene $r00j, r25j, \dots, b75r$

Kontrastreduzierungsfaktor:

$c_R = 1.0$

FRS12_95a; adaptierte CIELAB-Daten

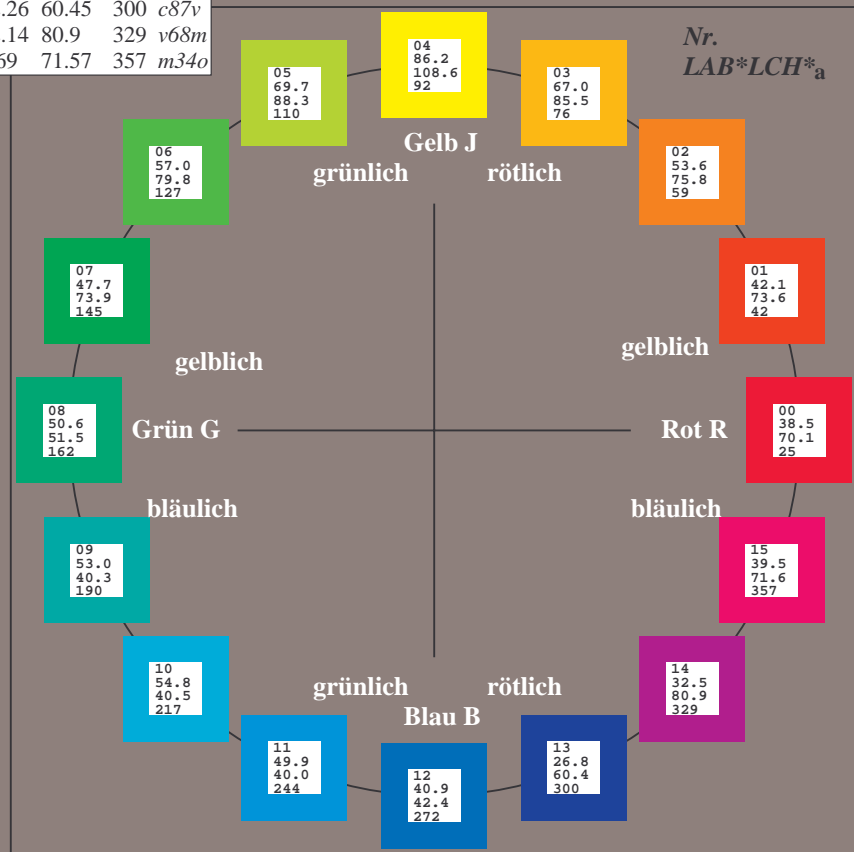
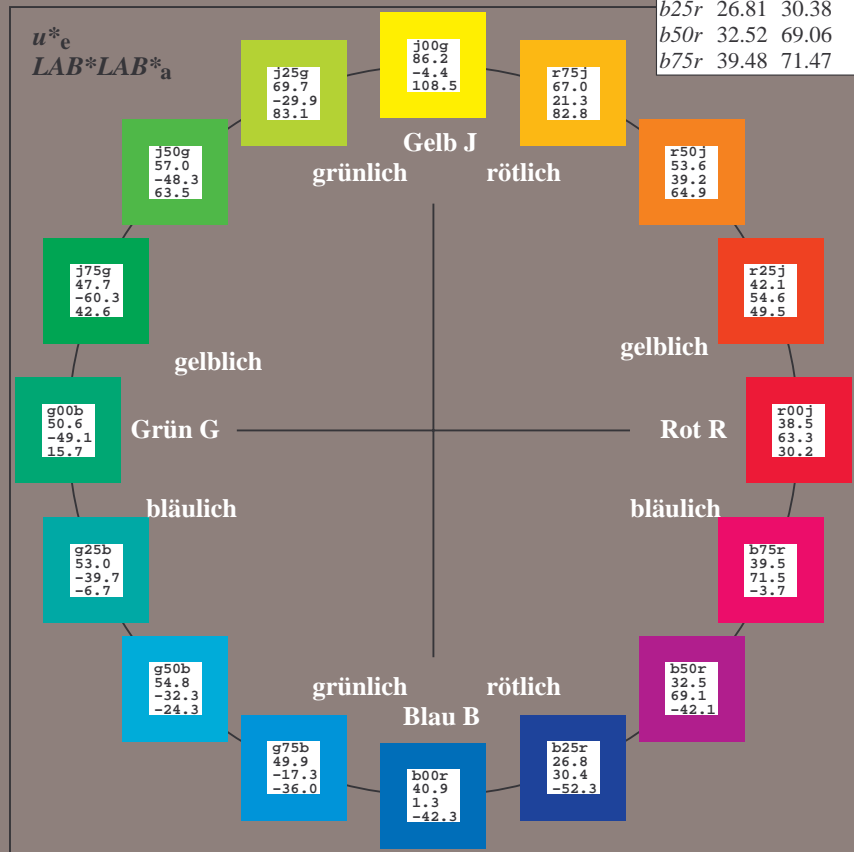
u^*_e	$L^*=L^*_a$	a^*_a	b^*_a	$C^*_{ab,a}$	$h^*_{ab,a}$	u^*_d
r00j	38.47	63.32	30.17	70.15	25	m8l0
r25j	42.12	54.56	49.45	73.64	42	o10y
r50j	53.64	39.15	64.89	75.79	59	o40y
r75j	67.01	21.26	82.83	85.52	76	o69y
j00g	86.18	-4.38	108.53	108.62	92	o98y
j25g	69.73	-29.89	83.06	88.28	110	y34l
j50g	57.03	-48.31	63.49	79.78	127	y69l
j75g	47.73	-60.33	42.64	73.88	145	l03c
g00b	50.59	-49.08	15.74	51.54	162	l23c
g25b	52.97	-39.7	-6.72	40.27	190	l55c
g50b	54.85	-32.33	-24.35	40.48	217	l87c
g75b	49.92	-17.29	-36.02	39.96	244	c20v
b00r	40.91	1.28	-42.35	42.37	272	c53v
b25r	26.81	30.38	-52.26	60.45	300	c87v
b50r	32.52	69.06	-42.14	80.9	329	v68m
b75r	39.48	71.47	-3.69	71.57	357	m34o



%Umfang
 $u^*_{rel} = 109$
 %Regularität
 $g^*_{H,rel} = 31$
 $g^*_{C,rel} = 40$

FRS12_95a; adaptierte CIELAB-Daten

Name	$L^*=L^*_a$	a^*_a	b^*_a	$C^*_{ab,a}$	$h^*_{ab,a}$
O _{Ma}	38.06	60.0	44.0	74.4	36
Y _{Ma}	86.77	-5.17	109.32	109.44	93
L _{Ma}	47.13	-62.67	48.24	79.09	142
C _{Ma}	55.66	-29.14	-31.99	43.27	228
V _{Ma}	17.15	50.3	-59.04	77.57	310
M _{Ma}	40.37	78.64	-33.5	85.48	337
N _{Ma}	11.58	0.0	0.0	0.0	0
W _{Ma}	95.02	0.0	0.0	0.0	0
R _{CIE}	39.92	58.74	27.99	65.07	25
J _{CIE}	81.26	-2.89	71.56	71.62	92
G _{CIE}	52.23	-42.42	13.6	44.55	162
B _{CIE}	30.57	1.41	-46.47	46.49	272



Ein und Ausgabe: Farbmatisches Drucker-Reflektiv-System FRS12_95a, $L^*=12_95$ für relative CIELAB-Bunton $h^* = lab^*h^* = h_{ab}/360 = 0.071$ $u^*_e = r00j$

Daten für jede Farbe:

lab^*ch^* und lab^*icu^*

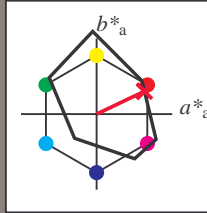
Buntontexte:

$u^*_e = r00j$ $u^*_d = m81o$

Kontrastreduzierungsfaktor:

$c_R = 1.0$

Dreiecks-Helligkeit t^*



FRS12_95a; adaptierte CIELAB-Daten						
u^*_e	$L^*=L^*_a$	a^*_a	b^*_a	$C^*_{ab,a}$	$h^*_{ab,a}$	
O _{Ma}	38.06	60.0	44.0	74.4	36	
Y _{Ma}	86.77	-5.17	109.32	109.44	93	
L _{Ma}	47.13	-62.67	48.24	79.09	142	
C _{Ma}	55.66	-29.14	-31.99	43.27	228	
V _{Ma}	17.15	50.3	-59.04	77.57	310	
M _{Ma}	40.37	78.64	-33.5	85.48	337	
N _{Ma}	11.58	0.0	0.0	0.0	0	
W _{Ma}	95.02	0.0	0.0	0.0	0	
R _{Ma}	39.92	58.74	27.99	65.07	25	
J _{Ma}	81.26	-2.89	71.56	71.62	92	
G _{Ma}	52.23	-42.42	13.6	44.55	162	
B _{Ma}	30.57	1.41	-46.47	46.49	272	

Daten für Maximalfarbe (Ma):

$LAB^*LAB^*_{Ma}$: 38 63 30

$LAB^*LCH^*_{Ma}$: 38 70 25

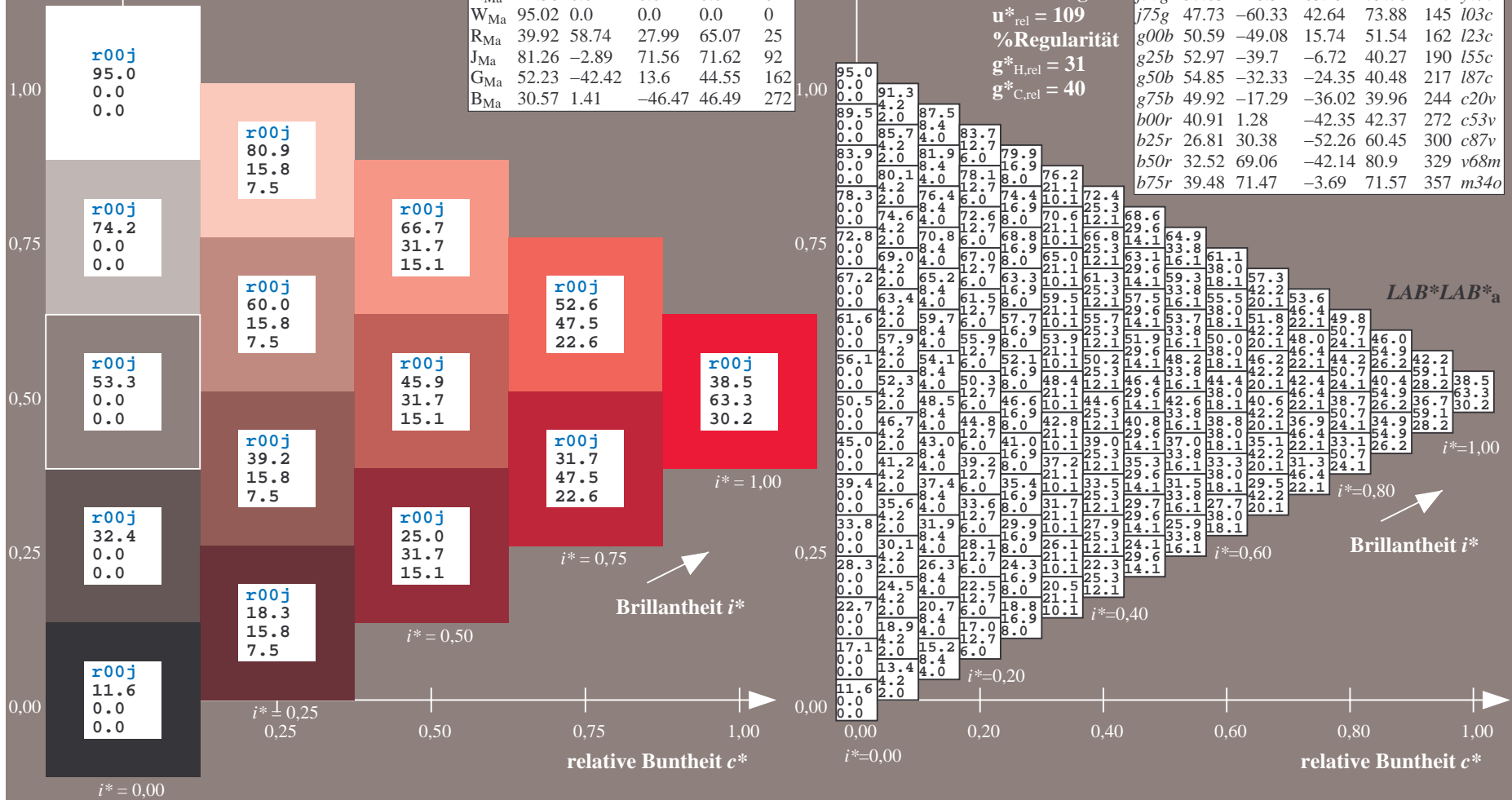
$lab^*rgb^*_{Ma}$: 1.0 0.0 0.0

$lab^*olv^*_{Ma}$: 1.0 0.0 0.18

Dreiecks-Helligkeit t^*

FRS12_95a; adaptierte CIELAB-Daten

u^*_e	$L^*=L^*_a$	a^*_a	b^*_a	$C^*_{ab,a}$	$h^*_{ab,a}$	u^*_d
r00j	38.47	63.32	30.17	70.15	25	m81o
r25j	42.12	54.56	49.45	73.64	42	o10y
r50j	53.64	39.15	64.89	75.79	59	o40y
r75j	67.01	21.26	82.83	85.52	76	o69y
j00g	86.18	-4.38	108.53	108.62	92	o98y
j25g	69.73	-29.89	83.06	88.28	110	y34l
j50g	57.03	-48.31	63.49	79.78	127	y69l
j75g	47.73	-60.33	42.64	73.88	145	i03c
g00b	50.59	-49.08	15.74	51.54	162	i23c
g25b	52.97	-39.7	-6.72	40.27	190	i55c
g50b	54.85	-32.33	-24.35	40.48	217	i87c
g75b	49.92	-17.29	-36.02	39.96	244	c20v
b00r	40.91	1.28	-42.35	42.37	272	c53v
b25r	26.81	30.38	-52.26	60.45	300	c87v
b50r	32.52	69.06	-42.14	80.9	329	v68m
b75r	39.48	71.47	-3.69	71.57	357	m34o



Ein und Ausgabe: Farbmatisches Drucker-Reflektiv-System FRS12_95a, $L^*=12_95$ für relativen CIELAB-Bunton $h^* = lab^*h^* = h_{ab}/360 = 0.117$ $u^*_e = r25j$

Daten für jede Farbe:

lab^*tch^* und lab^*icu^*

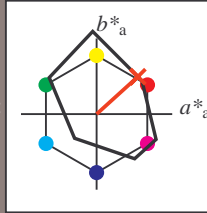
Bunntexte:

$u^*_e = r25j$ $u^*_d = o10y$

Kontrastreduzierungsfaktor:

$c_R = 1.0$

Dreiecks-Helligkeit t^*



FRS12_95a; adaptierte CIELAB-Daten

	u^*_e	$L^*=L^*_a$	a^*_a	b^*_a	$C^*_{ab,a}$	$h^*_{ab,a}$
O _{Ma}	38.06	60.0	44.0	74.4	36	
Y _{Ma}	86.77	-5.17	109.32	109.44	93	
L _{Ma}	47.13	-62.67	48.24	79.09	142	
C _{Ma}	55.66	-29.14	-31.99	43.27	228	
V _{Ma}	17.15	50.3	-59.04	77.57	310	
M _{Ma}	40.37	78.64	-33.5	85.48	337	
N _{Ma}	11.58	0.0	0.0	0.0	0	
W _{Ma}	95.02	0.0	0.0	0.0	0	
R _{Ma}	39.92	58.74	27.99	65.07	25	
J _{Ma}	81.26	-2.89	71.56	71.62	92	
G _{Ma}	52.23	-42.42	13.6	44.55	162	
B _{Ma}	30.57	1.41	-46.47	46.49	272	

Daten für Maximalfarbe (Ma):

$LAB^*LAB^*_Ma$: 42 55 49

$LAB^*LCH^*_Ma$: 42 74 42

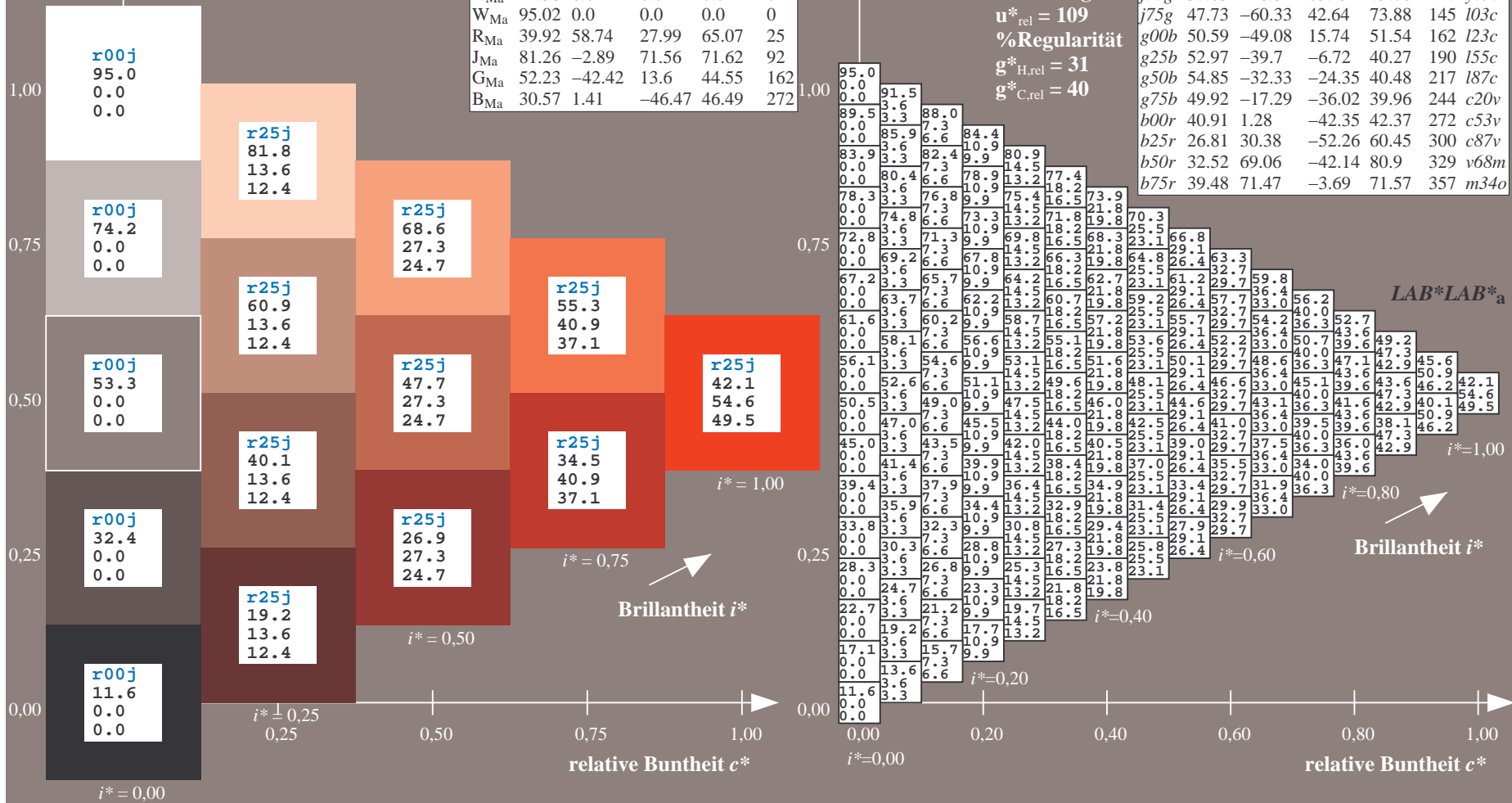
$lab^*rgb^*_Ma$: 1.0 0.25 0.0

$lab^*olv^*_Ma$: 1.0 0.11 0.0

Dreiecks-Helligkeit t^*

FRS12_95a; adaptierte CIELAB-Daten

	u^*_e	$L^*=L^*_a$	a^*_a	b^*_a	$C^*_{ab,a}$	$h^*_{ab,a}$	u^*_d
r00j	38.47	63.32	30.17	70.15	25	m81o	
r25j	42.12	54.56	49.45	73.64	42	o10y	
r50j	53.64	39.15	64.89	75.79	59	o40y	
r75j	67.01	21.26	82.83	85.52	76	o69y	
j00g	86.18	-4.38	108.53	108.62	92	o98y	
j25g	69.73	-29.89	83.06	88.28	110	y34l	
j50g	57.03	-48.31	63.49	79.78	127	y69l	
j75g	47.73	-60.33	42.64	73.88	145	i03c	
g00b	50.59	-49.08	15.74	51.54	162	i23c	
g25b	52.97	-39.7	-6.72	40.27	190	i55c	
g50b	54.85	-32.33	-24.35	40.48	217	i87c	
g75b	49.92	-17.29	-36.02	39.96	244	c20v	
b00r	40.91	1.28	-42.35	42.37	272	c53v	
b25r	26.81	30.38	-52.26	60.45	300	c87v	
b50r	32.52	69.06	-42.14	80.9	329	v68m	
b75r	39.48	71.47	-3.69	71.57	357	m34o	



Fg640-7A, Seite 75/198

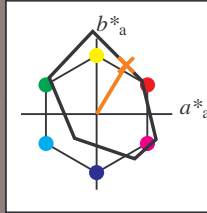
Ein und Ausgabe: Farbmatisches Drucker-Reflektiv-System FRS12_95a, $L^*=12_95$ für relativen CIELAB-Bunton $h^* = lab^*h^* = h_{ab}/360 = 0.164$ $u^*_e = r50j$

Daten für jede Farbe: lab^*ch^* und lab^*icu^*

Buntontexte: $u^*_e = r50j$ $u^*_d = o40y$

Kontrastreduzierungsfaktor: $c_R = 1.0$

Dreiecks-Helligkeit t^*



FRS12_95a; adaptierte CIELAB-Daten

	u^*_e	$L^*=L^*_a$	a^*_a	b^*_a	$C^*_{ab,a}$	$h^*_{ab,a}$
O _{Ma}	38.06	60.0	44.0	74.4	36	
Y _{Ma}	86.77	-5.17	109.32	109.44	93	
L _{Ma}	47.13	-62.67	48.24	79.09	142	
C _{Ma}	55.66	-29.14	-31.99	43.27	228	
V _{Ma}	17.15	50.3	-59.04	77.57	310	
M _{Ma}	40.37	78.64	-33.5	85.48	337	
N _{Ma}	11.58	0.0	0.0	0.0	0	
W _{Ma}	95.02	0.0	0.0	0.0	0	
R _{Ma}	39.92	58.74	27.99	65.07	25	
J _{Ma}	81.26	-2.89	71.56	71.62	92	
G _{Ma}	52.23	-42.42	13.6	44.55	162	
B _{Ma}	30.57	1.41	-46.47	46.49	272	

Daten für Maximalfarbe (Ma):

$LAB^*LAB^*_{Ma}$: 54 39 65

$LAB^*LCH^*_{Ma}$: 54 76 58

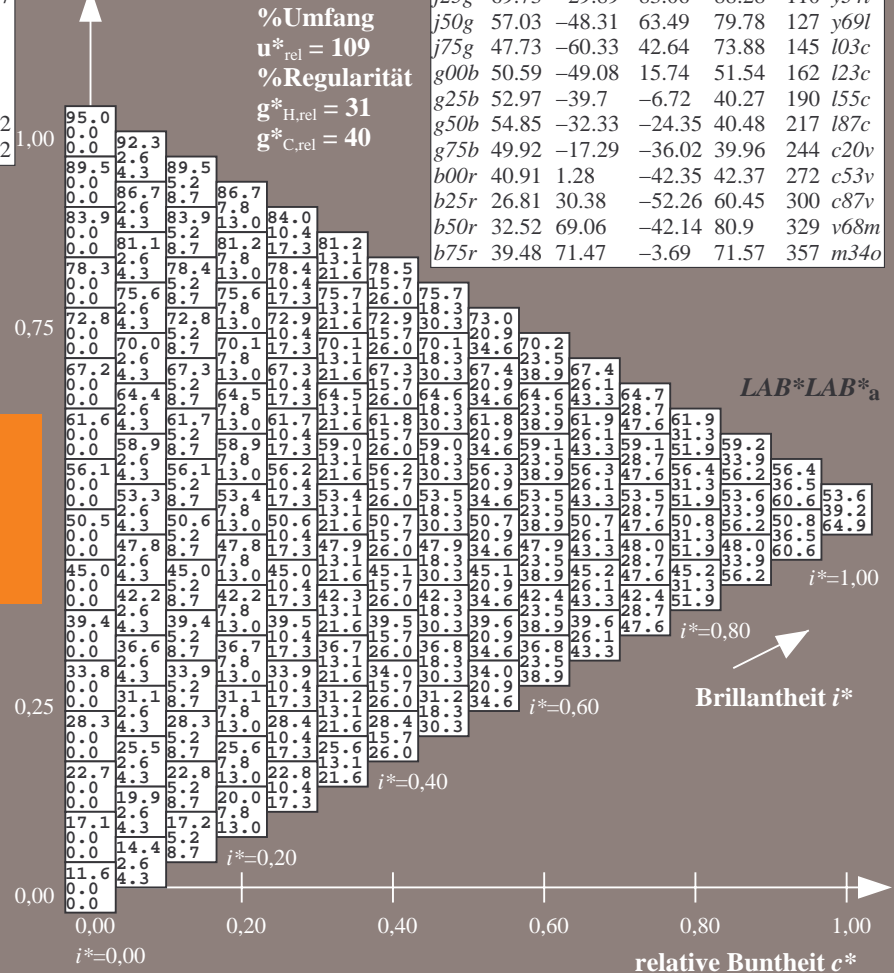
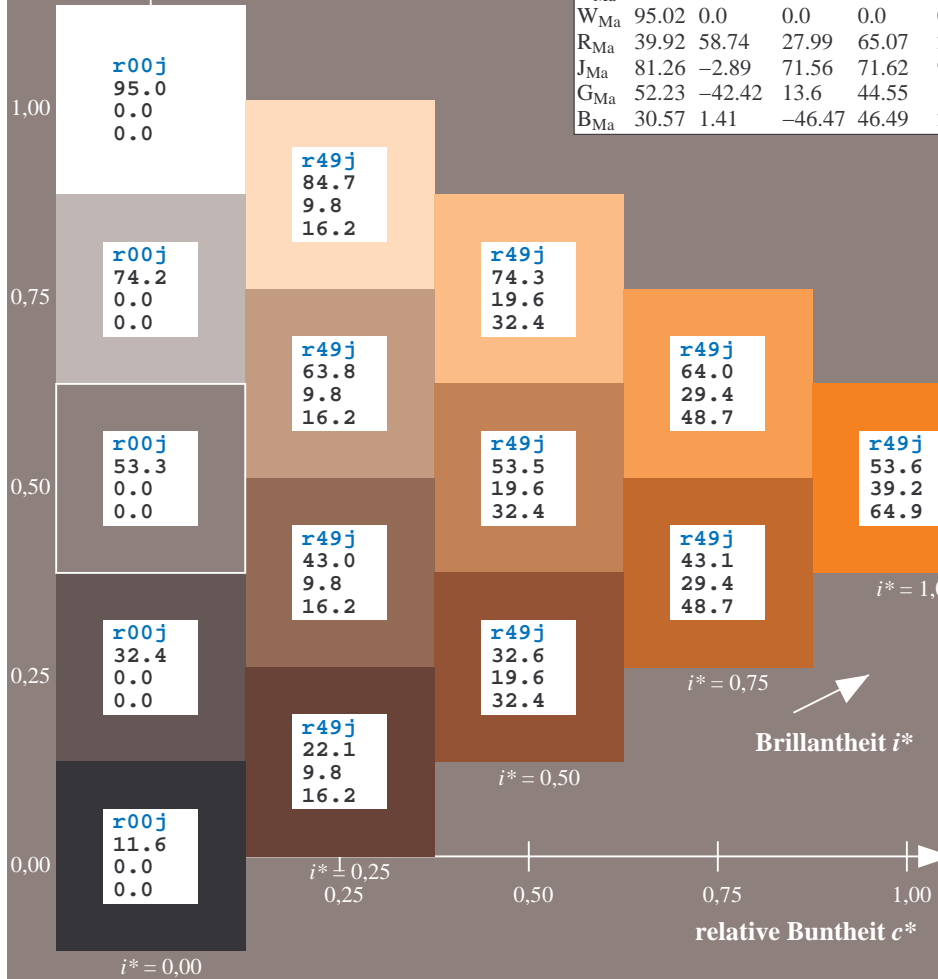
$lab^*rgb^*_{Ma}$: 1.0 0.5 0.0

$lab^*olv^*_{Ma}$: 1.0 0.4 0.0

Dreiecks-Helligkeit t^*

FRS12_95a; adaptierte CIELAB-Daten

	u^*_e	$L^*=L^*_a$	a^*_a	b^*_a	$C^*_{ab,a}$	$h^*_{ab,a}$	u^*_d
r00j	38.47	63.32	30.17	70.15	25	m81o	
r25j	42.12	54.56	49.45	73.64	42	o10y	
r50j	53.64	39.15	64.89	75.79	59	o40y	
r75j	67.01	21.26	82.83	85.52	76	o69y	
j00g	86.18	-4.38	108.53	108.62	92	o98y	
j25g	69.73	-29.89	83.06	88.28	110	y34l	
j50g	57.03	-48.31	63.49	79.78	127	y69l	
j75g	47.73	-60.33	42.64	73.88	145	i03c	
g00b	50.59	-49.08	15.74	51.54	162	i23c	
g25b	52.97	-39.7	-6.72	40.27	190	i55c	
g50b	54.85	-32.33	-24.35	40.48	217	i87c	
g75b	49.92	-17.29	-36.02	39.96	244	c20v	
b00r	40.91	1.28	-42.35	42.37	272	c53v	
b25r	26.81	30.38	-52.26	60.45	300	c87v	
b50r	32.52	69.06	-42.14	80.9	329	v68m	
b75r	39.48	71.47	-3.69	71.57	357	m34o	



Ein und Ausgabe: Farbmatisches Drucker-Reflektiv-System FRS12_95a, $L^*=12_95$ für relativen CIELAB-Bunton $h^* = lab^*h^* = h_{ab}/360 = 0.21$ $u^*_e = r75j$

Daten für jede Farbe:

lab^*ch^* und lab^*icu^*

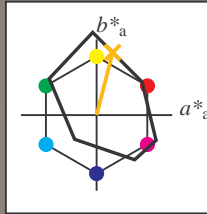
Buntontexte:

$u^*_e = r75j$ $u^*_d = o69y$

Kontrastreduzierungsfaktor:

$c_R = 1.0$

Dreiecks-Helligkeit t^*



FRS12_95a; adaptierte CIELAB-Daten						
	u^*_e	$L^*=L^*_a$	a^*_a	b^*_a	$C^*_{ab,a}$	$h^*_{ab,a}$
O _{Ma}	38.06	60.0	44.0	74.4	36	
Y _{Ma}	86.77	-5.17	109.32	109.44	93	
L _{Ma}	47.13	-62.67	48.24	79.09	142	
C _{Ma}	55.66	-29.14	-31.99	43.27	228	
V _{Ma}	17.15	50.3	-59.04	77.57	310	
M _{Ma}	40.37	78.64	-33.5	85.48	337	
N _{Ma}	11.58	0.0	0.0	0.0	0	
W _{Ma}	95.02	0.0	0.0	0.0	0	
R _{Ma}	39.92	58.74	27.99	65.07	25	
J _{Ma}	81.26	-2.89	71.56	71.62	92	
G _{Ma}	52.23	-42.42	13.6	44.55	162	
B _{Ma}	30.57	1.41	-46.47	46.49	272	

Daten für Maximalfarbe (Ma):

$LAB^*LAB^*_Ma$: 67 21 83

$LAB^*LCH^*_Ma$: 67 86 75

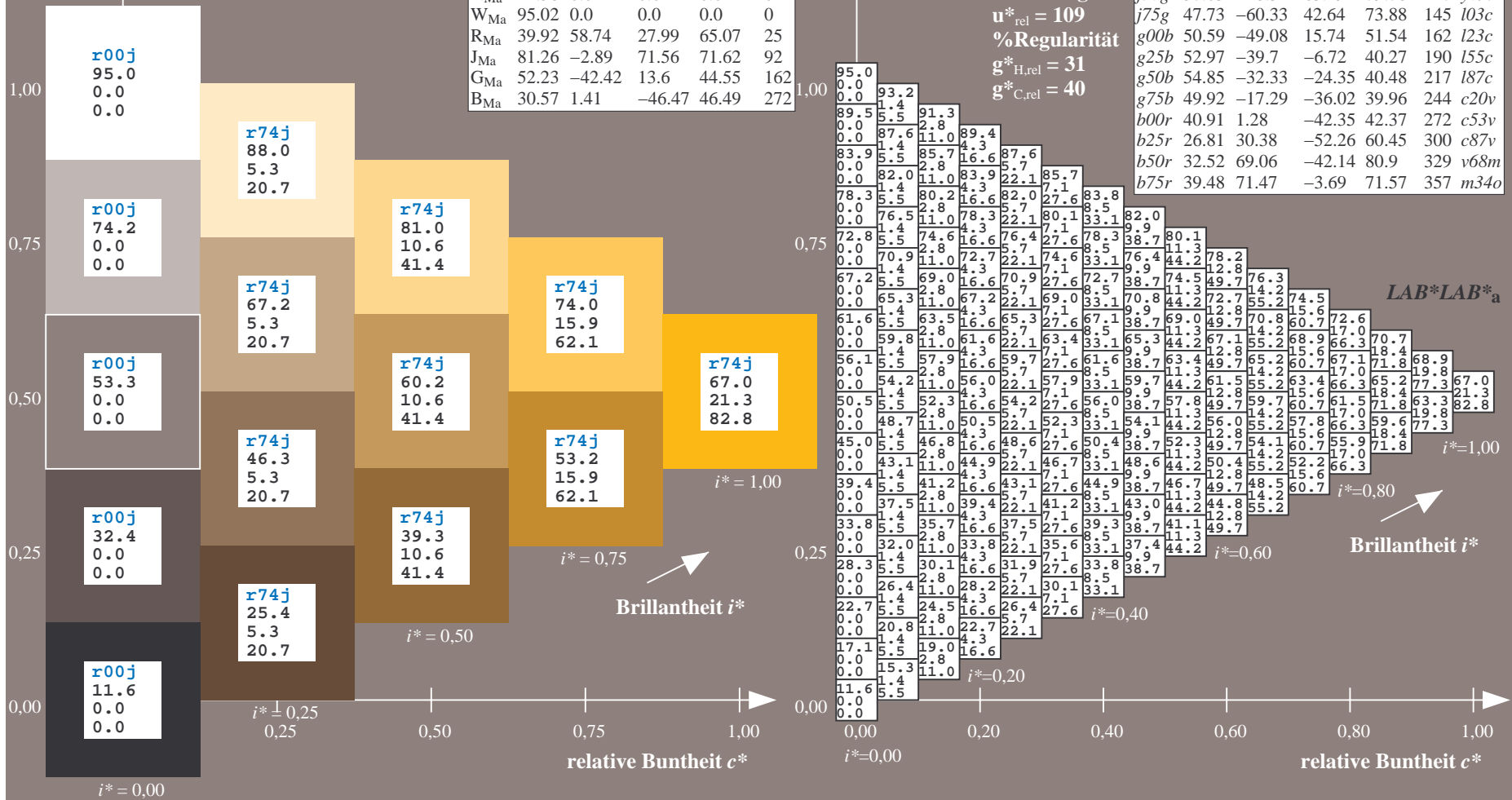
$lab^*rgb^*_Ma$: 1.0 0.75 0.0

$lab^*olv^*_Ma$: 1.0 0.7 0.0

Dreiecks-Helligkeit t^*

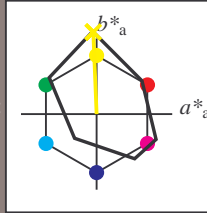
FRS12_95a; adaptierte CIELAB-Daten

	u^*_e	$L^*=L^*_a$	a^*_a	b^*_a	$C^*_{ab,a}$	$h^*_{ab,a}$	u^*_d
r00j	38.47	63.32	30.17	70.15	25	m81o	
r25j	42.12	54.56	49.45	73.64	42	o10y	
r50j	53.64	39.15	64.89	75.79	59	o40y	
r75j	67.01	21.26	82.83	85.52	76	o69y	
j00g	86.18	-4.38	108.53	108.62	92	o98y	
j25g	69.73	-29.89	83.06	88.28	110	y34l	
j50g	57.03	-48.31	63.49	79.78	127	y69l	
j75g	47.73	-60.33	42.64	73.88	145	l03c	
g00b	50.59	-49.08	15.74	51.54	162	i23c	
g25b	52.97	-39.7	-6.72	40.27	190	i55c	
g50b	54.85	-32.33	-24.35	40.48	217	i87c	
g75b	49.92	-17.29	-36.02	39.96	244	c20v	
b00r	40.91	1.28	-42.35	42.37	272	c53v	
b25r	26.81	30.38	-52.26	60.45	300	c87v	
b50r	32.52	69.06	-42.14	80.9	329	v68m	
b75r	39.48	71.47	-3.69	71.57	357	m34o	



Ein und Ausgabe: Farbmimetrisches Drucker-Reflektiv-System FRS12_95a, $L^*=12_95$ für relativen CIELAB-Bunton $h^* = lab^*h^* = h_{ab}/360 = 0.256$ $u^*_e = j00g$
 Daten für jede Farbe: lab^*tch^* und lab^*icu^* $LAB^*LAB^*_a$

Buntontexte:
 $u^*_e = j00g$ $u^*_d = o98y$
 Kontrastreduzierungsfaktor:
 $c_R = 1.0$
 Dreiecks-Helligkeit t^*



FRS12_95a; adaptierte CIELAB-Daten

u^*_e	$L^*=L^*_a$	a^*_a	b^*_a	$C^*_{ab,a}$	$h^*_{ab,a}$
O _{Ma}	38.06	60.0	44.0	74.4	36
Y _{Ma}	86.77	-5.17	109.32	109.44	93
L _{Ma}	47.13	-62.67	48.24	79.09	142
C _{Ma}	55.66	-29.14	-31.99	43.27	228
V _{Ma}	17.15	50.3	-59.04	77.57	310
M _{Ma}	40.37	78.64	-33.5	85.48	337
N _{Ma}	11.58	0.0	0.0	0.0	0
W _{Ma}	95.02	0.0	0.0	0.0	0
R _{Ma}	39.92	58.74	27.99	65.07	25
J _{Ma}	81.26	-2.89	71.56	71.62	92
G _{Ma}	52.23	-42.42	13.6	44.55	162
B _{Ma}	30.57	1.41	-46.47	46.49	272

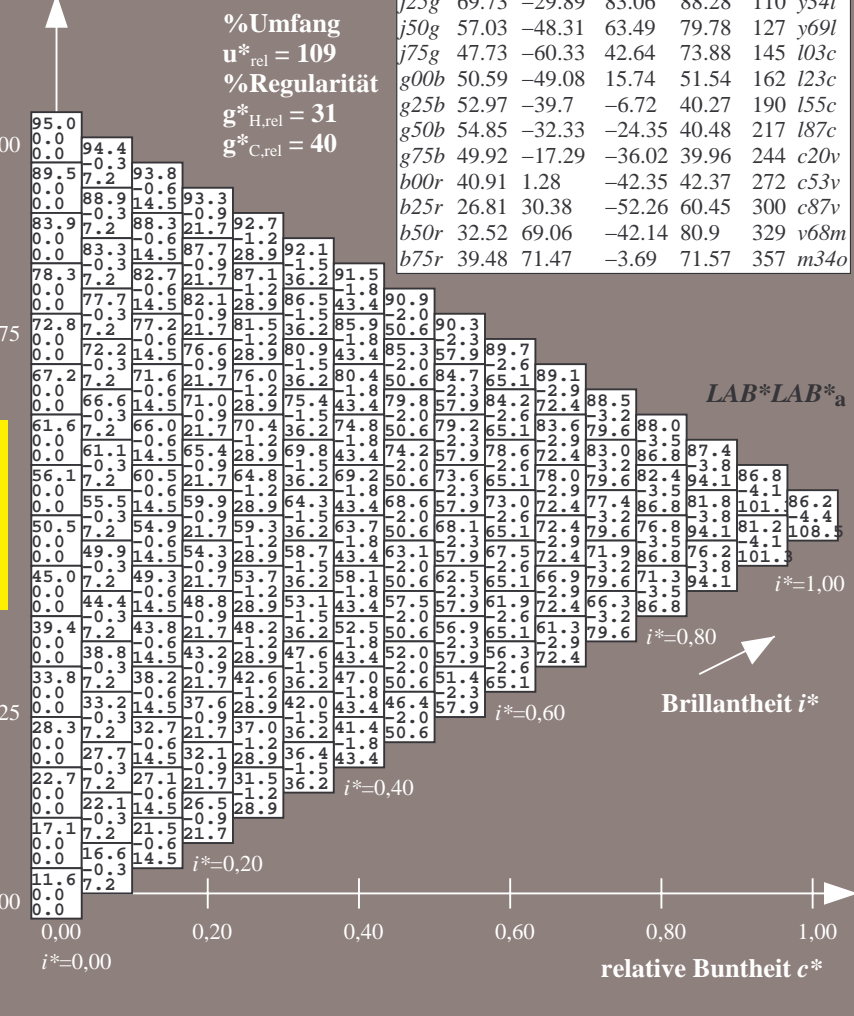
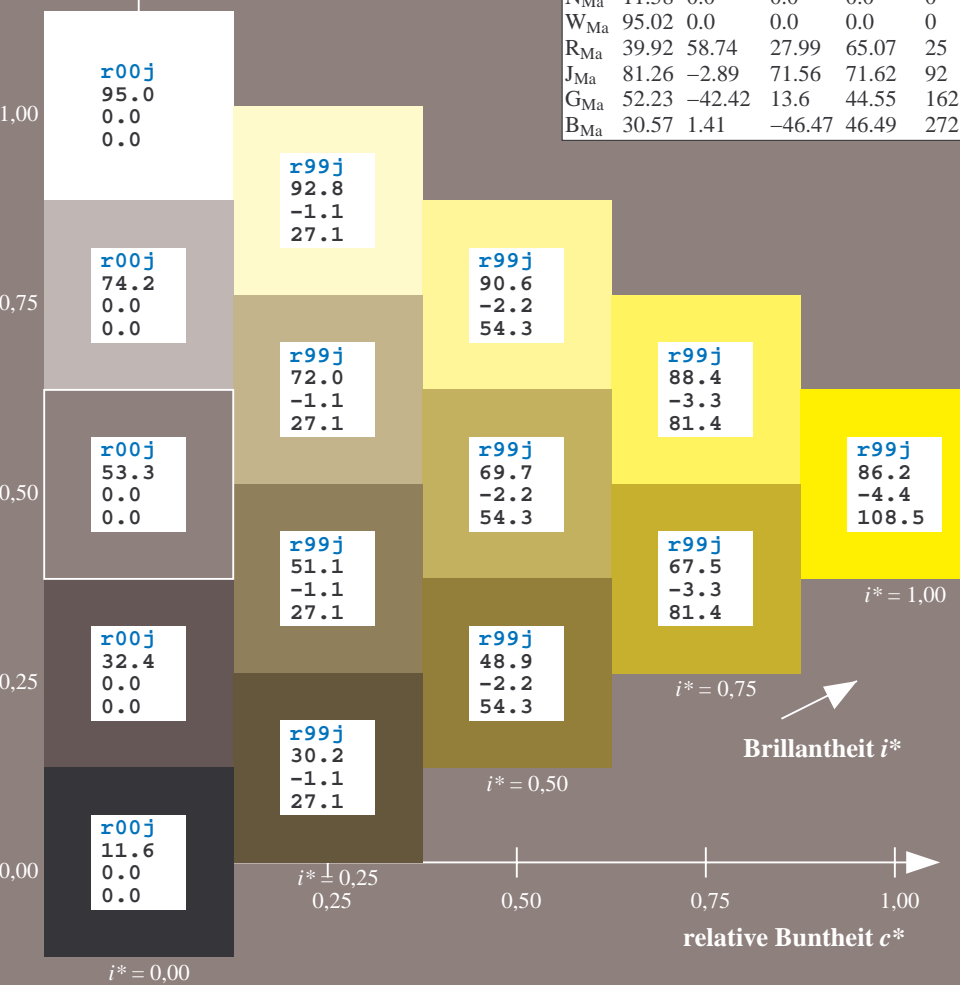
Daten für Maximalfarbe (Ma):

$LAB^*LAB^*_{Ma}$: 86 -4 109
 $LAB^*LCH^*_{Ma}$: 86 109 92
 $lab^*rgb^*_{Ma}$: 1.0 1.0 0.0
 $lab^*olv^*_{Ma}$: 1.0 0.99 0.0

Dreiecks-Helligkeit t^*

FRS12_95a; adaptierte CIELAB-Daten

u^*_e	$L^*=L^*_a$	a^*_a	b^*_a	$C^*_{ab,a}$	$h^*_{ab,a}$	u^*_d
r00j	38.47	63.32	30.17	70.15	25	m81o
r25j	42.12	54.56	49.45	73.64	42	o10y
r50j	53.64	39.15	64.89	75.79	59	o40y
r75j	67.01	21.26	82.83	85.52	76	o69y
j00g	86.18	-4.38	108.53	108.62	92	o98y
j25g	69.73	-29.89	83.06	88.28	110	y34l
j50g	57.03	-48.31	63.49	79.78	127	y69l
j75g	47.73	-60.33	42.64	73.88	145	l03c
g00b	50.59	-49.08	15.74	51.54	162	i23c
g25b	52.97	-39.7	-6.72	40.27	190	i55c
g50b	54.85	-32.33	-24.35	40.48	217	i87c
g75b	49.92	-17.29	-36.02	39.96	244	c20v
b00r	40.91	1.28	-42.35	42.37	272	c53v
b25r	26.81	30.38	-52.26	60.45	300	c87v
b50r	32.52	69.06	-42.14	80.9	329	v68m
b75r	39.48	71.47	-3.69	71.57	357	m34o



%Umfang
 $u^*_{rel} = 109$
 %Regularität
 $g^*_{H,rel} = 31$
 $g^*_{C,rel} = 40$

Ein und Ausgabe: Farbmimetrisches Drucker-Reflektiv-System FRS12_95a, $L^*=12_95$ für relative CIELAB-Bunton $h^* = lab^*h^* = h_{ab}/360 = 0.305$ $u^*_e = j25g$

Daten für jede Farbe:

lab^*tch^* und lab^*icu^*

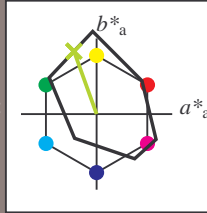
Buntontexte:

$u^*_e = j25g$ $u^*_d = y34l$

Kontrastreduzierungsfaktor:

$c_R = 1.0$

Dreiecks-Helligkeit t^*



FRS12_95a; adaptierte CIELAB-Daten

	u^*_e	$L^*=L^*_a$	a^*_a	b^*_a	$C^*_{ab,a}$	$h^*_{ab,a}$
O _{Ma}	38.06	60.0	44.0	74.4	36	
Y _{Ma}	86.77	-5.17	109.32	109.44	93	
L _{Ma}	47.13	-62.67	48.24	79.09	142	
C _{Ma}	55.66	-29.14	-31.99	43.27	228	
V _{Ma}	17.15	50.3	-59.04	77.57	310	
M _{Ma}	40.37	78.64	-33.5	85.48	337	
N _{Ma}	11.58	0.0	0.0	0.0	0	
W _{Ma}	95.02	0.0	0.0	0.0	0	
R _{Ma}	39.92	58.74	27.99	65.07	25	
J _{Ma}	81.26	-2.89	71.56	71.62	92	
G _{Ma}	52.23	-42.42	13.6	44.55	162	
B _{Ma}	30.57	1.41	-46.47	46.49	272	

Daten für Maximalfarbe (Ma):

$LAB^*LAB^*_{Ma}: 70 -30 83$

$LAB^*LCH^*_{Ma}: 70 88 109$

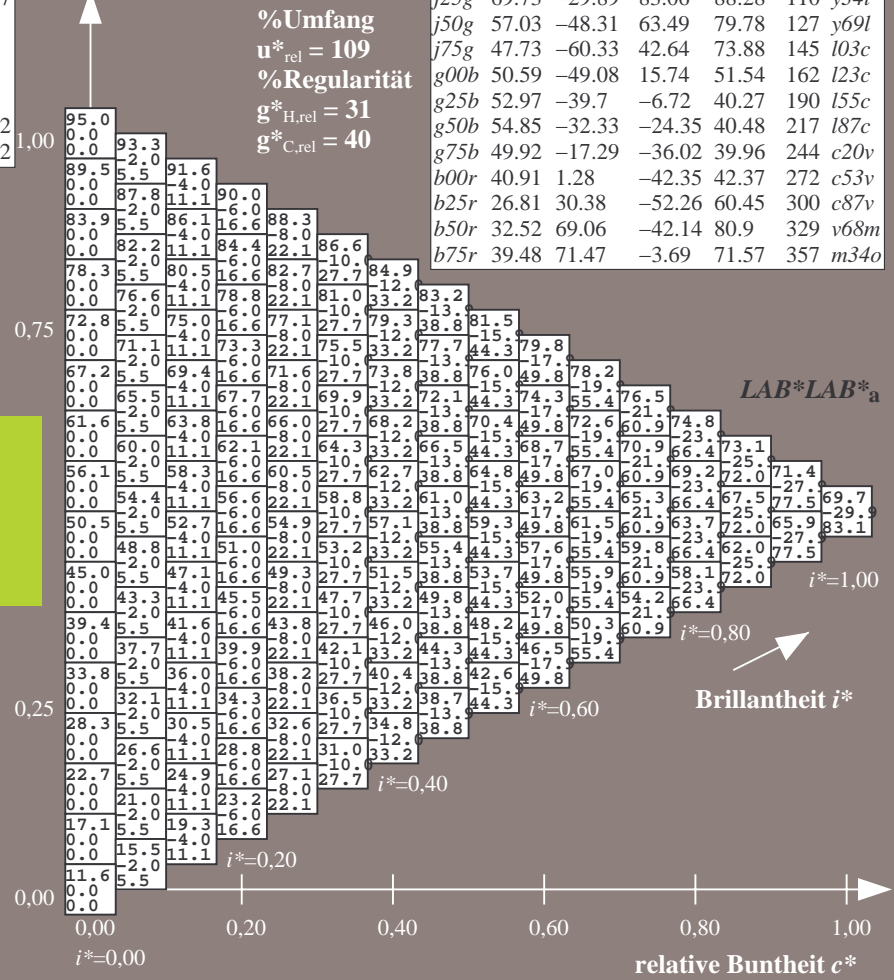
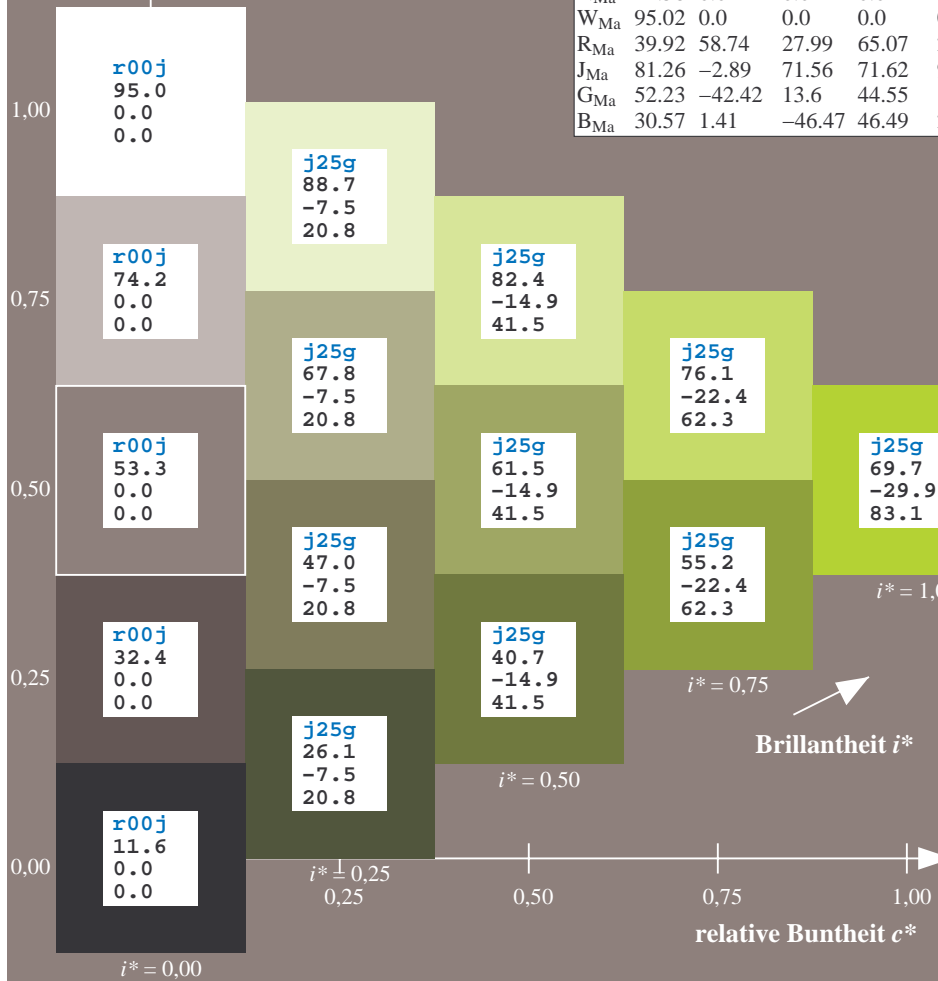
$lab^*rgb^*_{Ma}: 0.75 1.0 0.0$

$lab^*olv^*_{Ma}: 0.66 1.0 0.0$

Dreiecks-Helligkeit t^*

FRS12_95a; adaptierte CIELAB-Daten

	u^*_e	$L^*=L^*_a$	a^*_a	b^*_a	$C^*_{ab,a}$	$h^*_{ab,a}$	u^*_d
r00j	38.47	63.32	30.17	70.15	25	m81o	
r25j	42.12	54.56	49.45	73.64	42	o10y	
r50j	53.64	39.15	64.89	75.79	59	o40y	
r75j	67.01	21.26	82.83	85.52	76	o69y	
j00g	86.18	-4.38	108.53	108.62	92	o98y	
j25g	69.73	-29.89	83.06	88.28	110	y34l	
j50g	57.03	-48.31	63.49	79.78	127	y69l	
j75g	47.73	-60.33	42.64	73.88	145	l03c	
g00b	50.59	-49.08	15.74	51.54	162	i23c	
g25b	52.97	-39.7	-6.72	40.27	190	i55c	
g50b	54.85	-32.33	-24.35	40.48	217	i87c	
g75b	49.92	-17.29	-36.02	39.96	244	c20v	
b00r	40.91	1.28	-42.35	42.37	272	c53v	
b25r	26.81	30.38	-52.26	60.45	300	c87v	
b50r	32.52	69.06	-42.14	80.9	329	v68m	
b75r	39.48	71.47	-3.69	71.57	357	m34o	



Ein und Ausgabe: Farbmimetrisches Drucker-Reflektiv-System FRS12_95a, $L^*=12_95$ für relativen CIELAB-Bunton $h^* = lab^*h^* = h_{ab}/360 = 0.354$ $u^*_e = j50g$

Daten für jede Farbe:

lab^*tch^* und lab^*icu^*

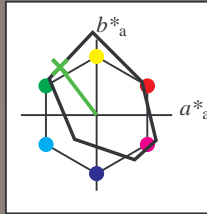
Buntontexte:

$u^*_e = j50g$ $u^*_d = y69l$

Kontrastreduzierungsfaktor:

$c_R = 1.0$

Dreiecks-Helligkeit t^*



FRS12_95a; adaptierte CIELAB-Daten

	u^*_e	$L^*=L^*_a$	a^*_a	b^*_a	$C^*_{ab,a}$	$h^*_{ab,a}$
O _{Ma}	38.06	60.0	44.0	74.4	36	
Y _{Ma}	86.77	-5.17	109.32	109.44	93	
L _{Ma}	47.13	-62.67	48.24	79.09	142	
C _{Ma}	55.66	-29.14	-31.99	43.27	228	
V _{Ma}	17.15	50.3	-59.04	77.57	310	
M _{Ma}	40.37	78.64	-33.5	85.48	337	
N _{Ma}	11.58	0.0	0.0	0.0	0	
W _{Ma}	95.02	0.0	0.0	0.0	0	
R _{Ma}	39.92	58.74	27.99	65.07	25	
J _{Ma}	81.26	-2.89	71.56	71.62	92	
G _{Ma}	52.23	-42.42	13.6	44.55	162	
B _{Ma}	30.57	1.41	-46.47	46.49	272	

Daten für Maximalfarbe (Ma):

$LAB^*LAB^*_{Ma}$: 57 -48 63

$LAB^*LCH^*_{Ma}$: 57 80 127

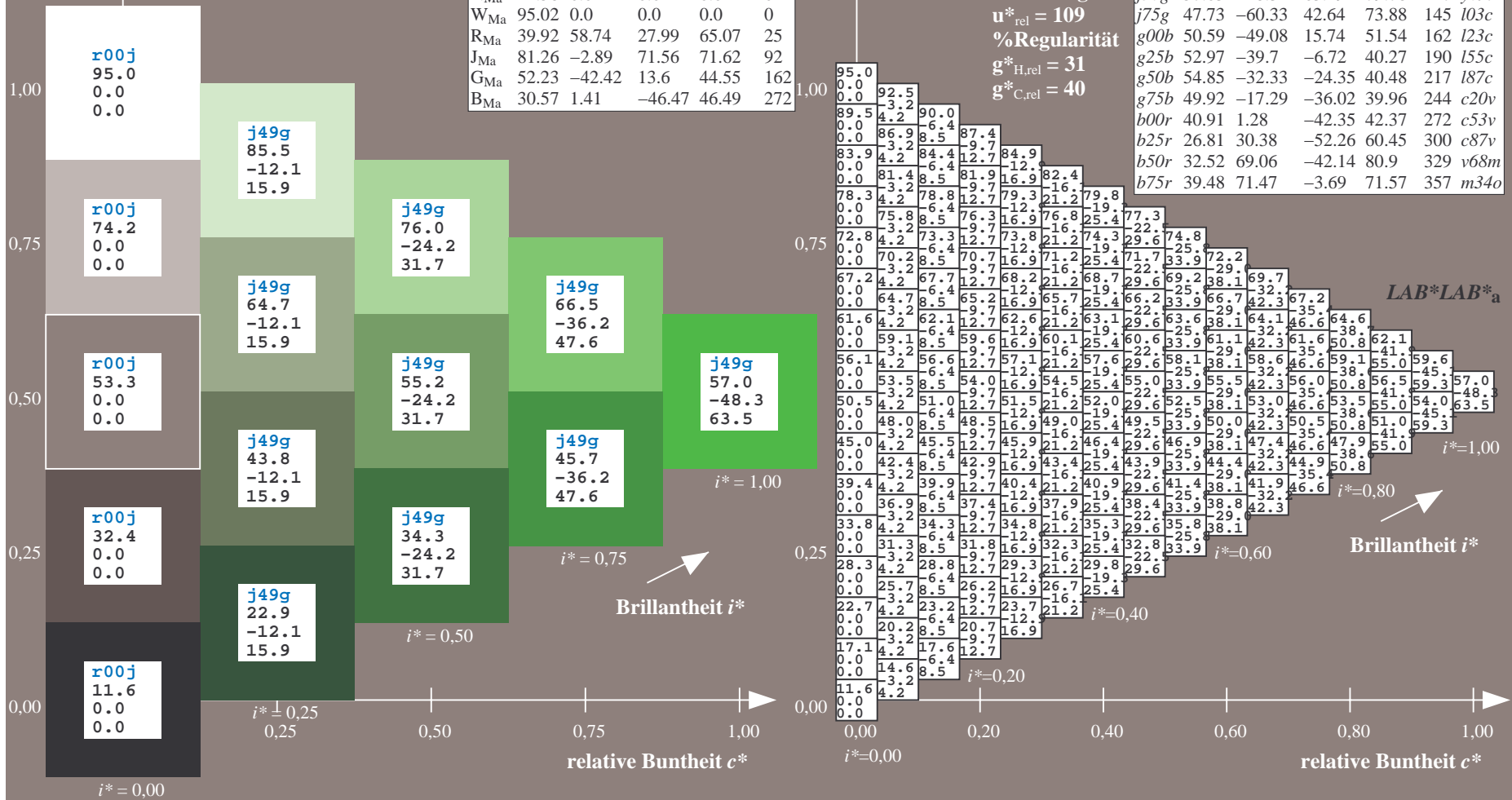
$lab^*rgb^*_{Ma}$: 0.5 1.0 0.0

$lab^*olv^*_{Ma}$: 0.3 1.0 0.0

Dreiecks-Helligkeit t^*

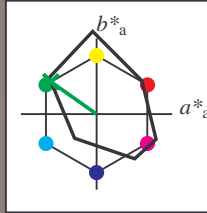
FRS12_95a; adaptierte CIELAB-Daten

	u^*_e	$L^*=L^*_a$	a^*_a	b^*_a	$C^*_{ab,a}$	$h^*_{ab,a}$	u^*_d
r00j	38.47	63.32	30.17	70.15	25	m81o	
r25j	42.12	54.56	49.45	73.64	42	o10y	
r50j	53.64	39.15	64.89	75.79	59	o40y	
r75j	67.01	21.26	82.83	85.52	76	o69y	
j00g	86.18	-4.38	108.53	108.62	92	o98y	
j25g	69.73	-29.89	83.06	88.28	110	y34l	
j50g	57.03	-48.31	63.49	79.78	127	y69l	
j75g	47.73	-60.33	42.64	73.88	145	l03c	
g00b	50.59	-49.08	15.74	51.54	162	i23c	
g25b	52.97	-39.7	-6.72	40.27	190	i55c	
g50b	54.85	-32.33	-24.35	40.48	217	i87c	
g75b	49.92	-17.29	-36.02	39.96	244	c20v	
b00r	40.91	1.28	-42.35	42.37	272	c53v	
b25r	26.81	30.38	-52.26	60.45	300	c87v	
b50r	32.52	69.06	-42.14	80.9	329	v68m	
b75r	39.48	71.47	-3.69	71.57	357	m34o	



Ein und Ausgabe: Farbmimetrisches Drucker-Reflektiv-System FRS12_95a, $L^*=12_95$ für relativen CIELAB-Bunton $h^* = lab^*h^* = h_{ab}/360 = 0.402$ $u^*_e = j75g$
 Daten für jede Farbe: lab^*tch^* und lab^*icu^* LAB*LAB*a

Buntontexte:
 $u^*_e = j75g$ $u^*_d = l03c$
 Kontrastreduzierungsfaktor:
 $c_R = 1.0$
 Dreiecks-Helligkeit t^*



FRS12_95a; adaptierte CIELAB-Daten

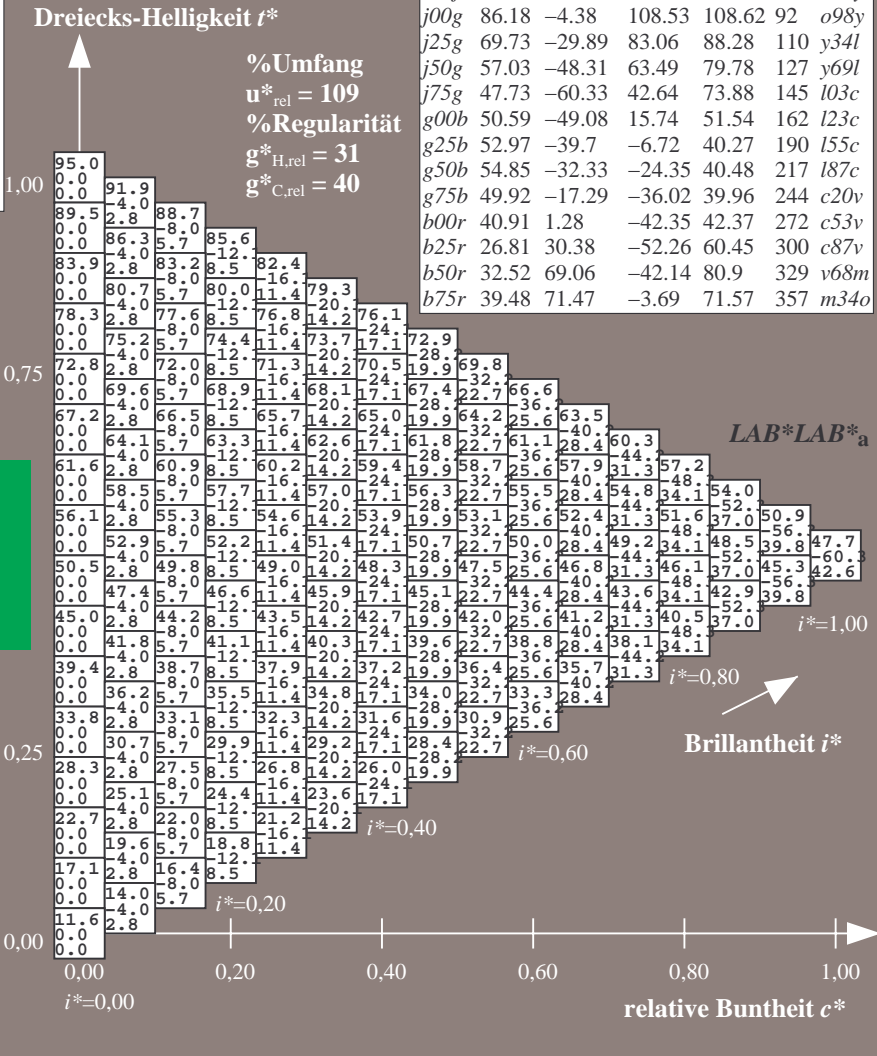
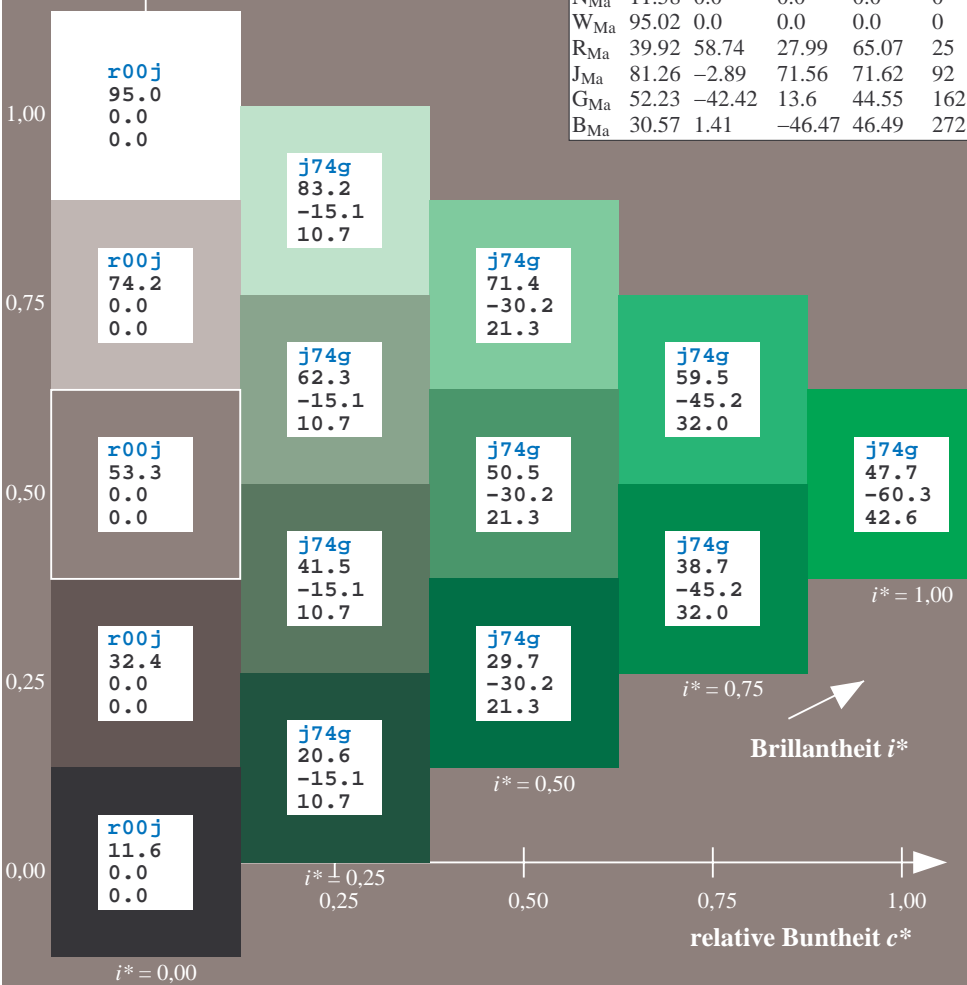
	u^*_e	$L^*=L^*_a$	a^*_a	b^*_a	$C^*_{ab,a}$	$h^*_{ab,a}$
O _{Ma}	38.06	60.0	44.0	74.4	36	
Y _{Ma}	86.77	-5.17	109.32	109.44	93	
L _{Ma}	47.13	-62.67	48.24	79.09	142	
C _{Ma}	55.66	-29.14	-31.99	43.27	228	
V _{Ma}	17.15	50.3	-59.04	77.57	310	
M _{Ma}	40.37	78.64	-33.5	85.48	337	
N _{Ma}	11.58	0.0	0.0	0.0	0	
W _{Ma}	95.02	0.0	0.0	0.0	0	
R _{Ma}	39.92	58.74	27.99	65.07	25	
J _{Ma}	81.26	-2.89	71.56	71.62	92	
G _{Ma}	52.23	-42.42	13.6	44.55	162	
B _{Ma}	30.57	1.41	-46.47	46.49	272	

Daten für Maximalfarbe (Ma):

LAB*LAB*_{Ma}: 48 -60 43
 LAB*LCH*_{Ma}: 48 74 144
 lab*rgb*_{Ma}: 0.25 1.0 0.0
 lab*olv*_{Ma}: 0.0 1.0 0.03

FRS12_95a; adaptierte CIELAB-Daten

	u^*_e	$L^*=L^*_a$	a^*_a	b^*_a	$C^*_{ab,a}$	$h^*_{ab,a}$	u^*_d
r00j	38.47	63.32	30.17	70.15	25	m81o	
r25j	42.12	54.56	49.45	73.64	42	o10y	
r50j	53.64	39.15	64.89	75.79	59	o40y	
r75j	67.01	21.26	82.83	85.52	76	o69y	
j00g	86.18	-4.38	108.53	108.62	92	o98y	
j25g	69.73	-29.89	83.06	88.28	110	y34l	
j50g	57.03	-48.31	63.49	79.78	127	y69l	
j75g	47.73	-60.33	42.64	73.88	145	l03c	
g00b	50.59	-49.08	15.74	51.54	162	i23c	
g25b	52.97	-39.7	-6.72	40.27	190	i55c	
g50b	54.85	-32.33	-24.35	40.48	217	i87c	
g75b	49.92	-17.29	-36.02	39.96	244	c20v	
b00r	40.91	1.28	-42.35	42.37	272	c53v	
b25r	26.81	30.38	-52.26	60.45	300	c87v	
b50r	32.52	69.06	-42.14	80.9	329	v68m	
b75r	39.48	71.47	-3.69	71.57	357	m34o	



Ein und Ausgabe: Farbmatisches Drucker-Reflektiv-System FRS12_95a, $L^*=12_95$ für relative CIELAB-Bunton $h^* = lab^*h^* = h_{ab}/360 = 0.451$ $u^*_e = g00b$

Daten für jede Farbe:

lab^*tch^* und lab^*icu^*

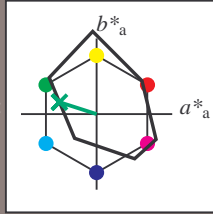
Buntontexte:

$u^*_e = g00b$ $u^*_d = l23c$

Kontrastreduzierungsfaktor:

$c_R = 1.0$

Dreiecks-Helligkeit t^*



FRS12_95a; adaptierte CIELAB-Daten

	u^*_e	$L^*=L^*_a$	a^*_a	b^*_a	$C^*_{ab,a}$	$h^*_{ab,a}$
O _{Ma}	38.06	60.0	44.0	74.4	36	
Y _{Ma}	86.77	-5.17	109.32	109.44	93	
L _{Ma}	47.13	-62.67	48.24	79.09	142	
C _{Ma}	55.66	-29.14	-31.99	43.27	228	
V _{Ma}	17.15	50.3	-59.04	77.57	310	
M _{Ma}	40.37	78.64	-33.5	85.48	337	
N _{Ma}	11.58	0.0	0.0	0.0	0	
W _{Ma}	95.02	0.0	0.0	0.0	0	
R _{Ma}	39.92	58.74	27.99	65.07	25	
J _{Ma}	81.26	-2.89	71.56	71.62	92	
G _{Ma}	52.23	-42.42	13.6	44.55	162	
B _{Ma}	30.57	1.41	-46.47	46.49	272	

Daten für Maximalfarbe (Ma):

$LAB^*LAB^*_{Ma}$: 51 -49 16

$LAB^*LCH^*_{Ma}$: 51 52 162

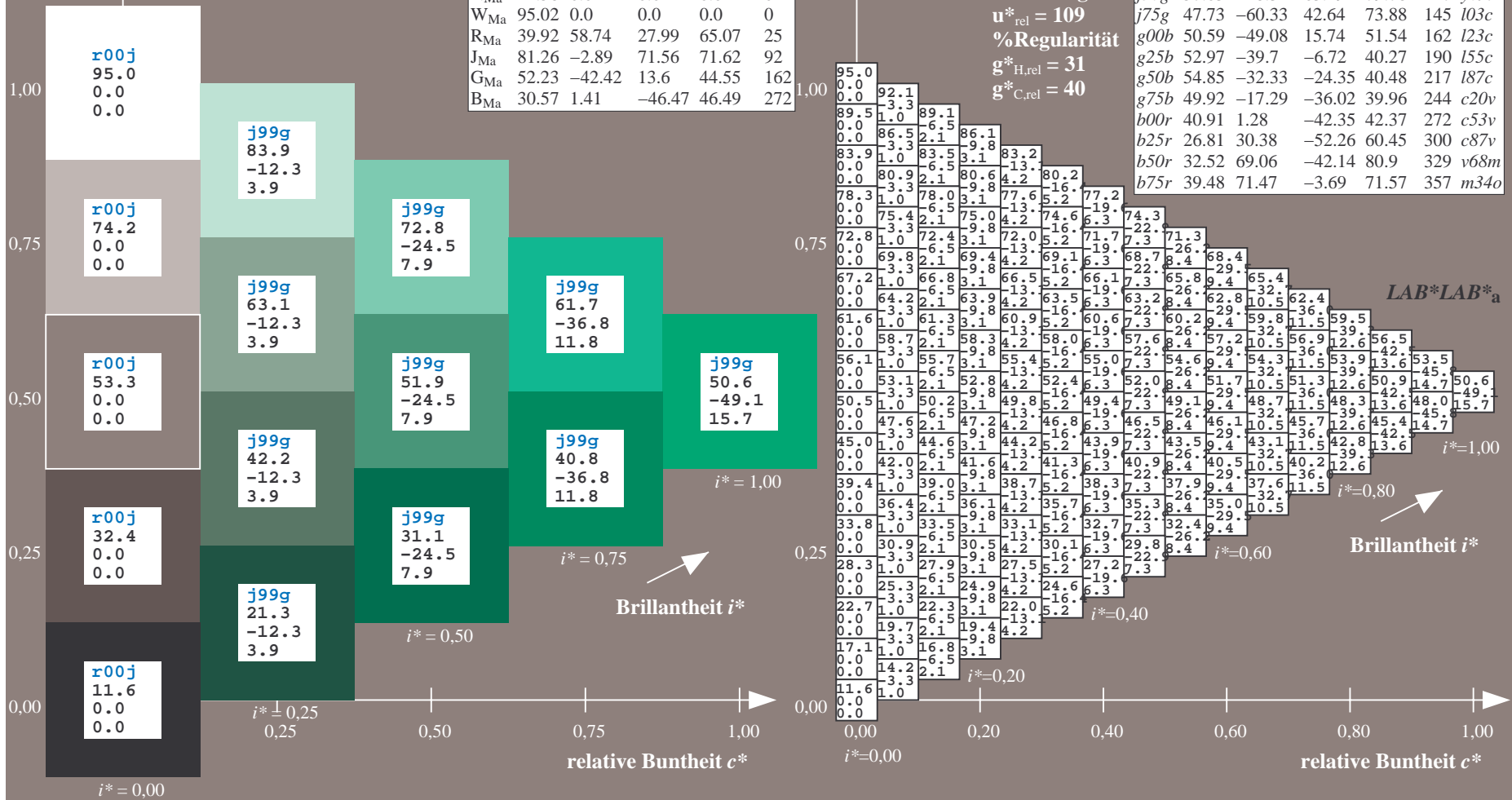
$lab^*rgb^*_{Ma}$: 0.0 1.0 0.0

$lab^*olv^*_{Ma}$: 0.0 1.0 0.23

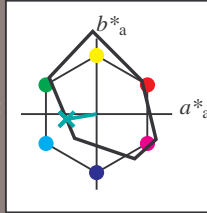
Dreiecks-Helligkeit t^*

FRS12_95a; adaptierte CIELAB-Daten

	u^*_e	$L^*=L^*_a$	a^*_a	b^*_a	$C^*_{ab,a}$	$h^*_{ab,a}$	u^*_d
r00j	38.47	63.32	30.17	70.15	25	m81o	
r25j	42.12	54.56	49.45	73.64	42	o10y	
r50j	53.64	39.15	64.89	75.79	59	o40y	
r75j	67.01	21.26	82.83	85.52	76	o69y	
j00g	86.18	-4.38	108.53	108.62	92	o98y	
j25g	69.73	-29.89	83.06	88.28	110	y34l	
j50g	57.03	-48.31	63.49	79.78	127	y69l	
j75g	47.73	-60.33	42.64	73.88	145	l03c	
g00b	50.59	-49.08	15.74	51.54	162	l23c	
g25b	52.97	-39.7	-6.72	40.27	190	l55c	
g50b	54.85	-32.33	-24.35	40.48	217	l87c	
g75b	49.92	-17.29	-36.02	39.96	244	c20v	
b00r	40.91	1.28	-42.35	42.37	272	c53v	
b25r	26.81	30.38	-52.26	60.45	300	c87v	
b50r	32.52	69.06	-42.14	80.9	329	v68m	
b75r	39.48	71.47	-3.69	71.57	357	m34o	



Ein und Ausgabe: Farbmatisches Drucker-Reflektiv-System FRS12_95a, $L^*=12_95$ für relativen CIELAB-Bunton $h^* = lab^*h^* = h_{ab}/360 = 0.527$ $u^*_e = g25b$
 Daten für jede Farbe: lab^*ch^* und lab^*icu^*
 $u^*_e = g25b$ $u^*_d = l55c$
 Kontrastreduzierungsfaktor: $c_R = 1.0$
 Dreiecks-Helligkeit t^*



FRS12_95a; adaptierte CIELAB-Daten

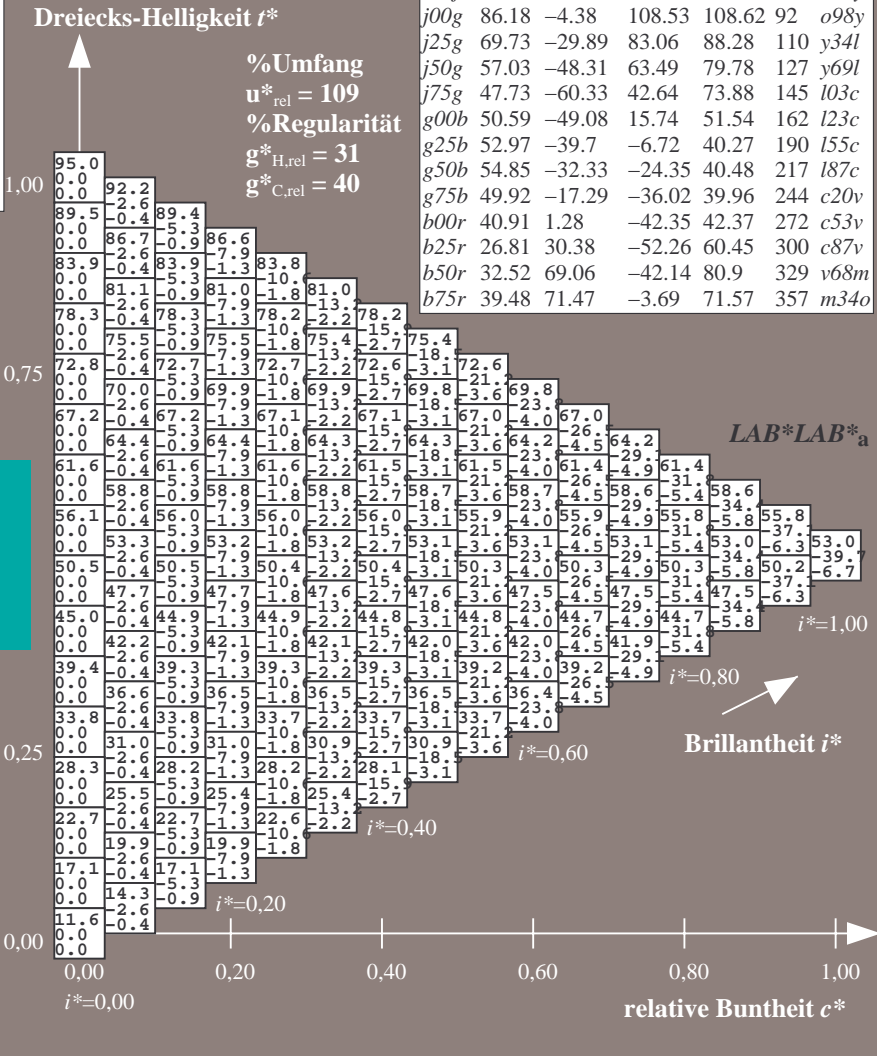
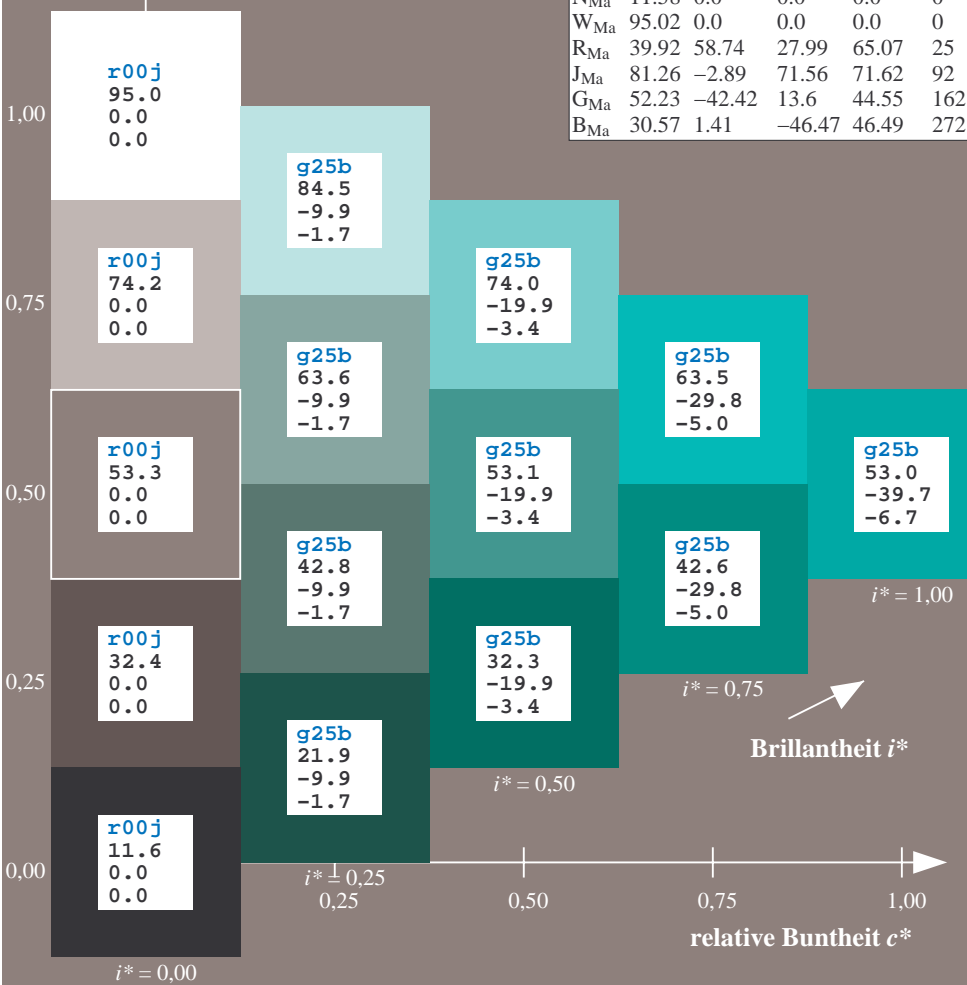
	u^*_e	$L^*=L^*_a$	a^*_a	b^*_a	$C^*_{ab,a}$	$h^*_{ab,a}$
O _{Ma}	38.06	60.0	44.0	74.4	36	
Y _{Ma}	86.77	-5.17	109.32	109.44	93	
L _{Ma}	47.13	-62.67	48.24	79.09	142	
C _{Ma}	55.66	-29.14	-31.99	43.27	228	
V _{Ma}	17.15	50.3	-59.04	77.57	310	
M _{Ma}	40.37	78.64	-33.5	85.48	337	
N _{Ma}	11.58	0.0	0.0	0.0	0	
W _{Ma}	95.02	0.0	0.0	0.0	0	
R _{Ma}	39.92	58.74	27.99	65.07	25	
J _{Ma}	81.26	-2.89	71.56	71.62	92	
G _{Ma}	52.23	-42.42	13.6	44.55	162	
B _{Ma}	30.57	1.41	-46.47	46.49	272	

Daten für Maximalfarbe (Ma):

$LAB^*LAB^*_{Ma}$: 53 -40 -7
 $LAB^*LCH^*_{Ma}$: 53 40 189
 $lab^*rgb^*_{Ma}$: 0.0 1.0 0.5
 $lab^*olv^*_{Ma}$: 0.0 1.0 0.55

FRS12_95a; adaptierte CIELAB-Daten

	u^*_e	$L^*=L^*_a$	a^*_a	b^*_a	$C^*_{ab,a}$	$h^*_{ab,a}$	u^*_d
r00j	38.47	63.32	30.17	70.15	25	m81o	
r25j	42.12	54.56	49.45	73.64	42	o10y	
r50j	53.64	39.15	64.89	75.79	59	o40y	
r75j	67.01	21.26	82.83	85.52	76	o69y	
j00g	86.18	-4.38	108.53	108.62	92	o98y	
j25g	69.73	-29.89	83.06	88.28	110	y34l	
j50g	57.03	-48.31	63.49	79.78	127	y69l	
j75g	47.73	-60.33	42.64	73.88	145	l03c	
g00b	50.59	-49.08	15.74	51.54	162	l23c	
g25b	52.97	-39.7	-6.72	40.27	190	l55c	
g50b	54.85	-32.33	-24.35	40.48	217	l87c	
g75b	49.92	-17.29	-36.02	39.96	244	c20v	
b00r	40.91	1.28	-42.35	42.37	272	c53v	
b25r	26.81	30.38	-52.26	60.45	300	c87v	
b50r	32.52	69.06	-42.14	80.9	329	v68m	
b75r	39.48	71.47	-3.69	71.57	357	m34o	



%Umfang
 $u^*_{rel} = 109$
 %Regularität
 $g^*_{H,rel} = 31$
 $g^*_{C,rel} = 40$

Brillantheit i^*

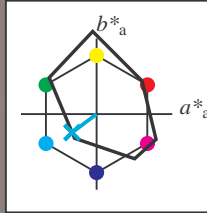
Ein und Ausgabe: Farbmatisches Drucker-Reflektiv-System FRS12_95a, $L^*=12_95$ für relativen CIELAB-Bunton $h^* = lab^*h^* = h_{ab}/360 = 0.603$ $u^*_e = g50b$

Daten für jede Farbe: lab^*ch^* und lab^*icu^*

Buntontexte: $u^*_e = g50b$ $u^*_d = l87c$

Kontrastreduzierungsfaktor: $c_R = 1.0$

Dreiecks-Helligkeit t^*



FRS12_95a; adaptierte CIELAB-Daten

	u^*_e	$L^*=L^*_a$	a^*_a	b^*_a	$C^*_{ab,a}$	$h^*_{ab,a}$
O _{Ma}	38.06	60.0	44.0	74.4	36	
Y _{Ma}	86.77	-5.17	109.32	109.44	93	
L _{Ma}	47.13	-62.67	48.24	79.09	142	
C _{Ma}	55.66	-29.14	-31.99	43.27	228	
V _{Ma}	17.15	50.3	-59.04	77.57	310	
M _{Ma}	40.37	78.64	-33.5	85.48	337	
N _{Ma}	11.58	0.0	0.0	0.0	0	
W _{Ma}	95.02	0.0	0.0	0.0	0	
R _{Ma}	39.92	58.74	27.99	65.07	25	
J _{Ma}	81.26	-2.89	71.56	71.62	92	
G _{Ma}	52.23	-42.42	13.6	44.55	162	
B _{Ma}	30.57	1.41	-46.47	46.49	272	

Daten für Maximalfarbe (Ma):

$LAB^*LAB^*_{Ma}: 55 -32 -24$

$LAB^*LCH^*_{Ma}: 55 40 216$

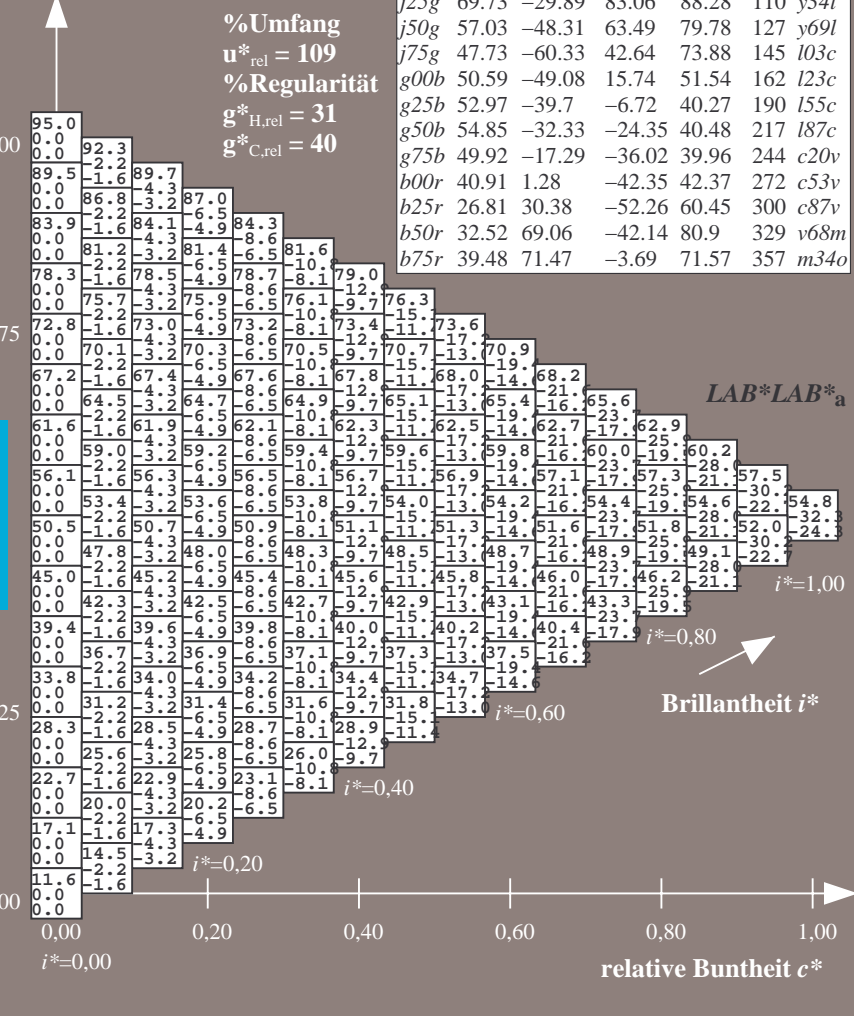
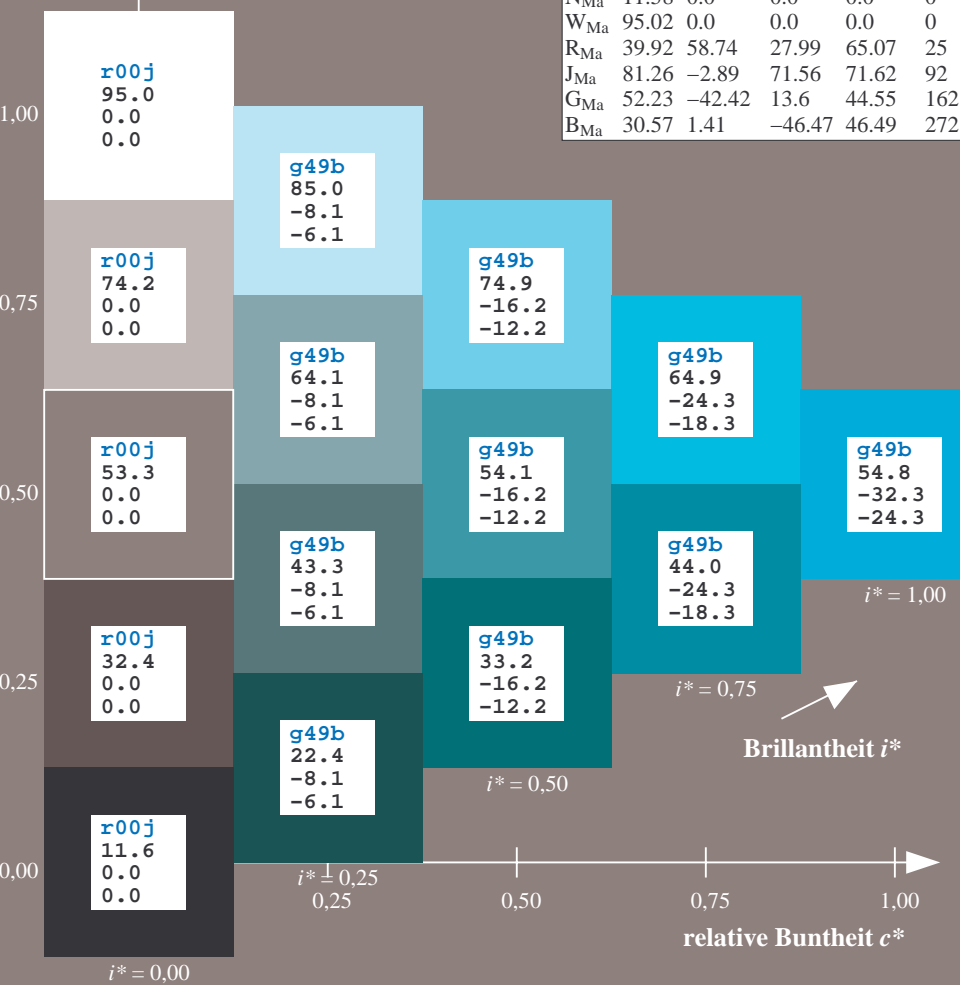
$lab^*rgb^*_{Ma}: 0.0 1.0 1.0$

$lab^*olv^*_{Ma}: 0.0 1.0 0.87$

Dreiecks-Helligkeit t^*

FRS12_95a; adaptierte CIELAB-Daten

	u^*_e	$L^*=L^*_a$	a^*_a	b^*_a	$C^*_{ab,a}$	$h^*_{ab,a}$	u^*_d
r00j	38.47	63.32	30.17	70.15	25	m81o	
r25j	42.12	54.56	49.45	73.64	42	o10y	
r50j	53.64	39.15	64.89	75.79	59	o40y	
r75j	67.01	21.26	82.83	85.52	76	o69y	
j00g	86.18	-4.38	108.53	108.62	92	o98y	
j25g	69.73	-29.89	83.06	88.28	110	y34l	
j50g	57.03	-48.31	63.49	79.78	127	y69l	
j75g	47.73	-60.33	42.64	73.88	145	l03c	
g00b	50.59	-49.08	15.74	51.54	162	l23c	
g25b	52.97	-39.7	-6.72	40.27	190	l55c	
g50b	54.85	-32.33	-24.35	40.48	217	l87c	
g75b	49.92	-17.29	-36.02	39.96	244	c20v	
b00r	40.91	1.28	-42.35	42.37	272	c53v	
b25r	26.81	30.38	-52.26	60.45	300	c87v	
b50r	32.52	69.06	-42.14	80.9	329	v68m	
b75r	39.48	71.47	-3.69	71.57	357	m34o	



Ein und Ausgabe: Farbmatisches Drucker-Reflektiv-System FRS12_95a, $L^*=12_95$ für relative CIELAB-Bunton $h^* = lab^*h^* = h_{ab}/360 = 0.679$ $u^*_e = g75b$

Daten für jede Farbe:

lab^*tch^* und lab^*icu^*

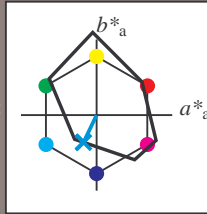
Buntontexte:

$u^*_e = g75b$ $u^*_d = c20v$

Kontrastreduzierungsfaktor:

$c_R = 1.0$

Dreiecks-Helligkeit t^*



FRS12_95a; adaptierte CIELAB-Daten

	u^*_e	$L^*=L^*_a$	a^*_a	b^*_a	$C^*_{ab,a}$	$h^*_{ab,a}$
O _{Ma}	38.06	60.0	44.0	74.4	36	
Y _{Ma}	86.77	-5.17	109.32	109.44	93	
L _{Ma}	47.13	-62.67	48.24	79.09	142	
C _{Ma}	55.66	-29.14	-31.99	43.27	228	
V _{Ma}	17.15	50.3	-59.04	77.57	310	
M _{Ma}	40.37	78.64	-33.5	85.48	337	
N _{Ma}	11.58	0.0	0.0	0.0	0	
W _{Ma}	95.02	0.0	0.0	0.0	0	
R _{Ma}	39.92	58.74	27.99	65.07	25	
J _{Ma}	81.26	-2.89	71.56	71.62	92	
G _{Ma}	52.23	-42.42	13.6	44.55	162	
B _{Ma}	30.57	1.41	-46.47	46.49	272	

Daten für Maximalfarbe (Ma):

$LAB^*LAB^*_{Ma}$: 50 -17 -36

$LAB^*LCH^*_{Ma}$: 50 40 244

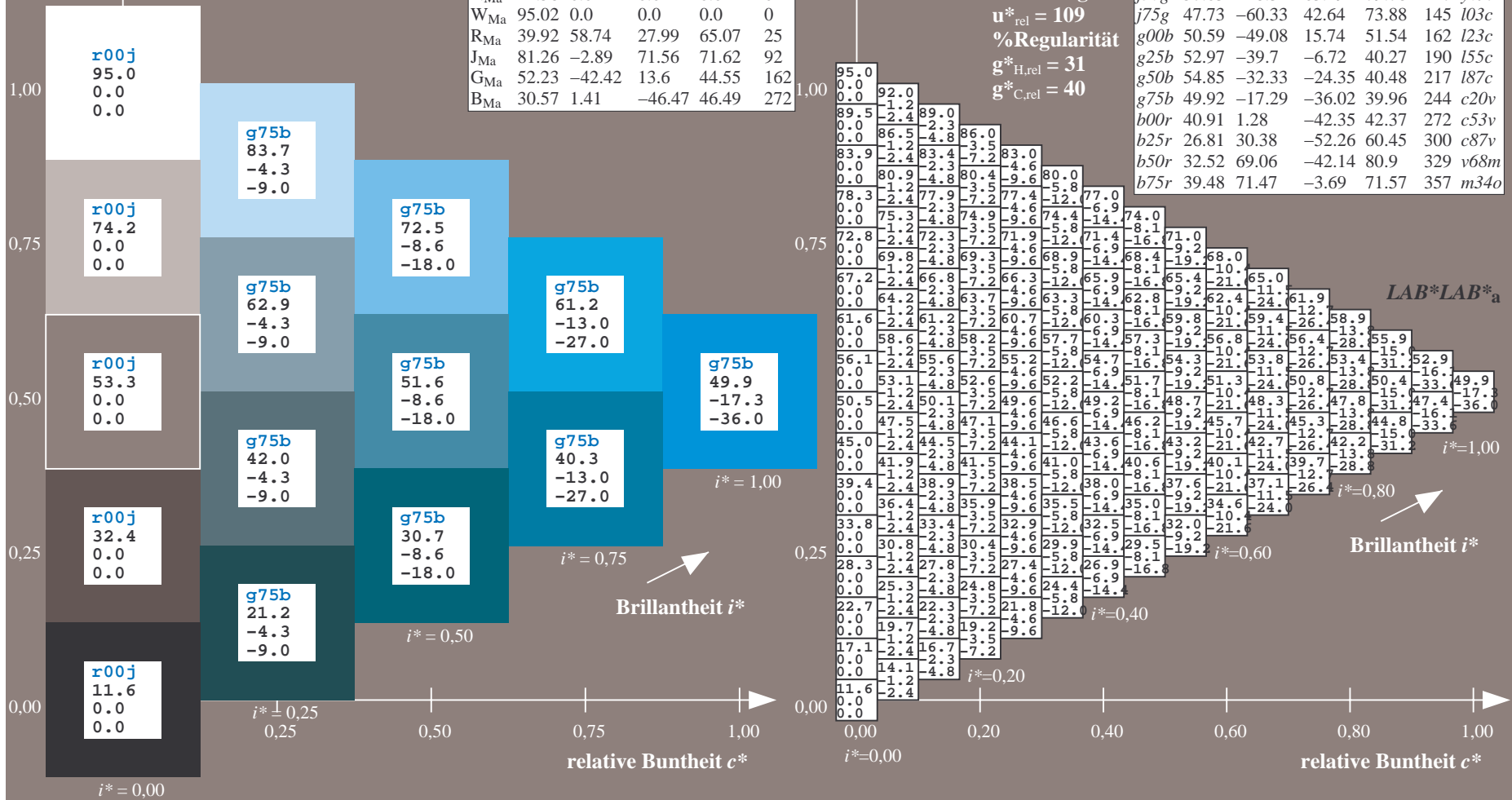
$lab^*rgb^*_{Ma}$: 0.0 0.5 1.0

$lab^*olv^*_{Ma}$: 0.0 0.8 1.0

Dreiecks-Helligkeit t^*

FRS12_95a; adaptierte CIELAB-Daten

	u^*_e	$L^*=L^*_a$	a^*_a	b^*_a	$C^*_{ab,a}$	$h^*_{ab,a}$	u^*_d
r00j	38.47	63.32	30.17	70.15	25	m81o	
r25j	42.12	54.56	49.45	73.64	42	o10y	
r50j	53.64	39.15	64.89	75.79	59	o40y	
r75j	67.01	21.26	82.83	85.52	76	o69y	
j00g	86.18	-4.38	108.53	108.62	92	o98y	
j25g	69.73	-29.89	83.06	88.28	110	y34l	
j50g	57.03	-48.31	63.49	79.78	127	y69l	
j75g	47.73	-60.33	42.64	73.88	145	i03c	
g00b	50.59	-49.08	15.74	51.54	162	i23c	
g25b	52.97	-39.7	-6.72	40.27	190	i55c	
g50b	54.85	-32.33	-24.35	40.48	217	i87c	
g75b	49.92	-17.29	-36.02	39.96	244	c20v	
b00r	40.91	1.28	-42.35	42.37	272	c53v	
b25r	26.81	30.38	-52.26	60.45	300	c87v	
b50r	32.52	69.06	-42.14	80.9	329	v68m	
b75r	39.48	71.47	-3.69	71.57	357	m34o	



Ein und Ausgabe: Farbmatisches Drucker-Reflektiv-System FRS12_95a, $L^*=12_95$ für relativen CIELAB-Bunton $h^* = lab^*h^* = h_{ab}/360 = 0.755$ $u^*_e = b00r$

Daten für jede Farbe:

lab^*tch^* und lab^*icu^*

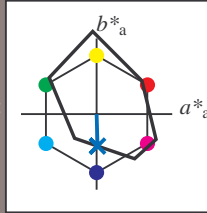
Buntontexte:

$u^*_e = b00r$ $u^*_d = c53v$

Kontrastreduzierungsfaktor:

$c_R = 1.0$

Dreiecks-Helligkeit t^*



FRS12_95a; adaptierte CIELAB-Daten

	u^*_e	$L^*=L^*_a$	a^*_a	b^*_a	$C^*_{ab,a}$	$h^*_{ab,a}$
O _{Ma}	38.06	60.0	44.0	74.4	36	
Y _{Ma}	86.77	-5.17	109.32	109.44	93	
L _{Ma}	47.13	-62.67	48.24	79.09	142	
C _{Ma}	55.66	-29.14	-31.99	43.27	228	
V _{Ma}	17.15	50.3	-59.04	77.57	310	
M _{Ma}	40.37	78.64	-33.5	85.48	337	
N _{Ma}	11.58	0.0	0.0	0.0	0	
W _{Ma}	95.02	0.0	0.0	0.0	0	
R _{Ma}	39.92	58.74	27.99	65.07	25	
J _{Ma}	81.26	-2.89	71.56	71.62	92	
G _{Ma}	52.23	-42.42	13.6	44.55	162	
B _{Ma}	30.57	1.41	-46.47	46.49	272	

Daten für Maximalfarbe (Ma):

$LAB^*LAB^*_{Ma}$: 41 1 -42

$LAB^*LCH^*_{Ma}$: 41 42 271

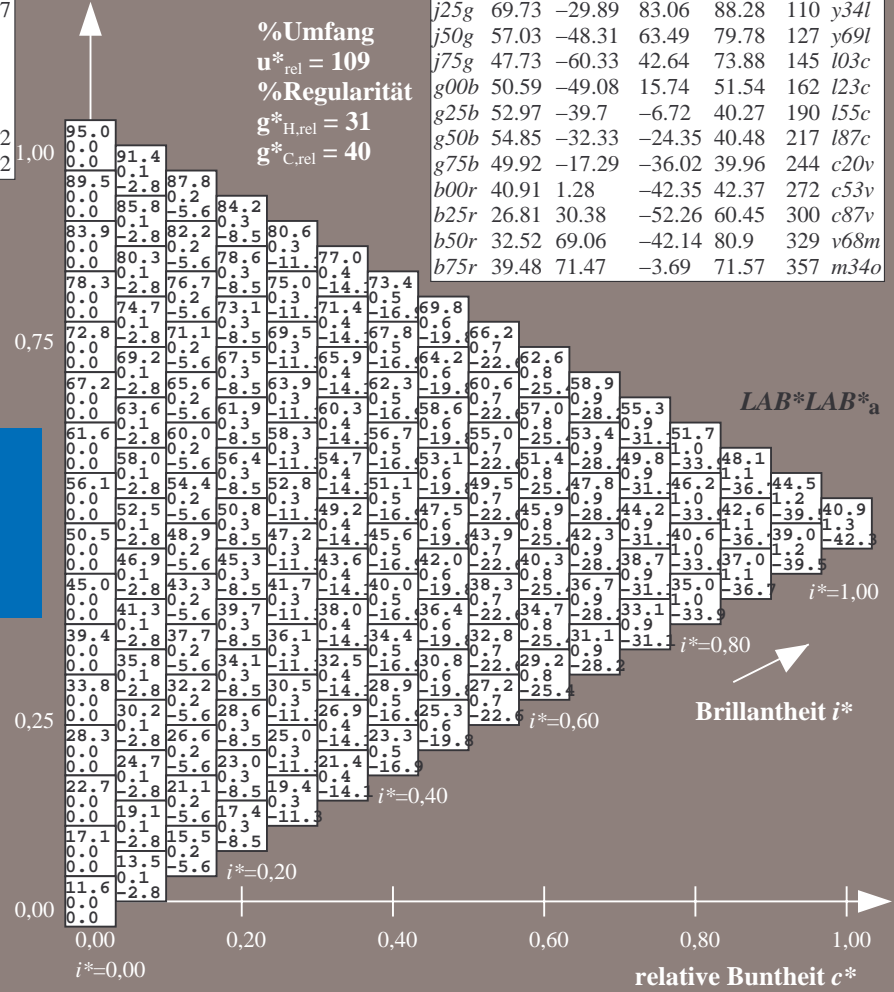
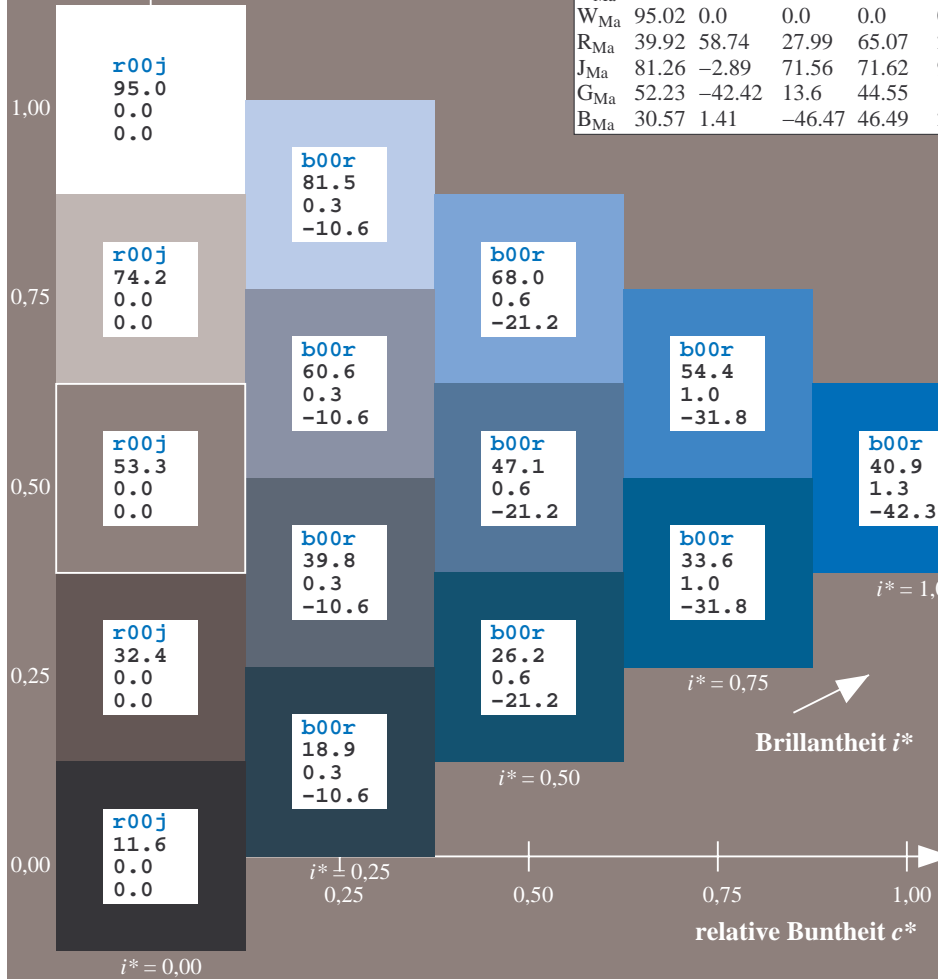
$lab^*rgb^*_{Ma}$: 0.0 0.0 1.0

$lab^*olv^*_{Ma}$: 0.0 0.47 1.0

Dreiecks-Helligkeit t^*

FRS12_95a; adaptierte CIELAB-Daten

	u^*_e	$L^*=L^*_a$	a^*_a	b^*_a	$C^*_{ab,a}$	$h^*_{ab,a}$	u^*_d
r00j	38.47	63.32	30.17	70.15	25	m81o	
r25j	42.12	54.56	49.45	73.64	42	o10y	
r50j	53.64	39.15	64.89	75.79	59	o40y	
r75j	67.01	21.26	82.83	85.52	76	o69y	
j00g	86.18	-4.38	108.53	108.62	92	o98y	
j25g	69.73	-29.89	83.06	88.28	110	y34l	
j50g	57.03	-48.31	63.49	79.78	127	y69l	
j75g	47.73	-60.33	42.64	73.88	145	103c	
g00b	50.59	-49.08	15.74	51.54	162	l23c	
g25b	52.97	-39.7	-6.72	40.27	190	l55c	
g50b	54.85	-32.33	-24.35	40.48	217	l87c	
g75b	49.92	-17.29	-36.02	39.96	244	c20v	
b00r	40.91	1.28	-42.35	42.37	272	c53v	
b25r	26.81	30.38	-52.26	60.45	300	c87v	
b50r	32.52	69.06	-42.14	80.9	329	v68m	
b75r	39.48	71.47	-3.69	71.57	357	m34o	



%Umfang
 $u^*_{rel} = 109$
%Regularität
 $g^*_{H,rel} = 31$
 $g^*_{C,rel} = 40$

$LAB^*LAB^*_a$

Brillanzheit i^*

Ein und Ausgabe: Farbmatisches Drucker-Reflektiv-System FRS12_95a, $L^*=12_95$ für relativen CIELAB-Bunton $h^* = lab^*h^* = h_{ab}/360 = 0.834$ $u^*_e = b25r$

Daten für jede Farbe:

lab^*ch^* und lab^*icu^*

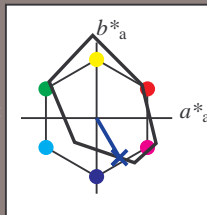
Buntontexte:

$u^*_e = b25r$ $u^*_d = c87v$

Kontrastreduzierungsfaktor:

$c_R = 1.0$

Dreiecks-Helligkeit t^*



FRS12_95a; adaptierte CIELAB-Daten

	u^*_e	$L^*=L^*_a$	a^*_a	b^*_a	$C^*_{ab,a}$	$h^*_{ab,a}$
O _{Ma}	38.06	60.0	44.0	74.4	36	
Y _{Ma}	86.77	-5.17	109.32	109.44	93	
L _{Ma}	47.13	-62.67	48.24	79.09	142	
C _{Ma}	55.66	-29.14	-31.99	43.27	228	
V _{Ma}	17.15	50.3	-59.04	77.57	310	
M _{Ma}	40.37	78.64	-33.5	85.48	337	
N _{Ma}	11.58	0.0	0.0	0.0	0	
W _{Ma}	95.02	0.0	0.0	0.0	0	
R _{Ma}	39.92	58.74	27.99	65.07	25	
J _{Ma}	81.26	-2.89	71.56	71.62	92	
G _{Ma}	52.23	-42.42	13.6	44.55	162	
B _{Ma}	30.57	1.41	-46.47	46.49	272	

Daten für Maximalfarbe (Ma):

$LAB^*LAB^*_{Ma}$: 27 30 -52

$LAB^*LCH^*_{Ma}$: 27 60 300

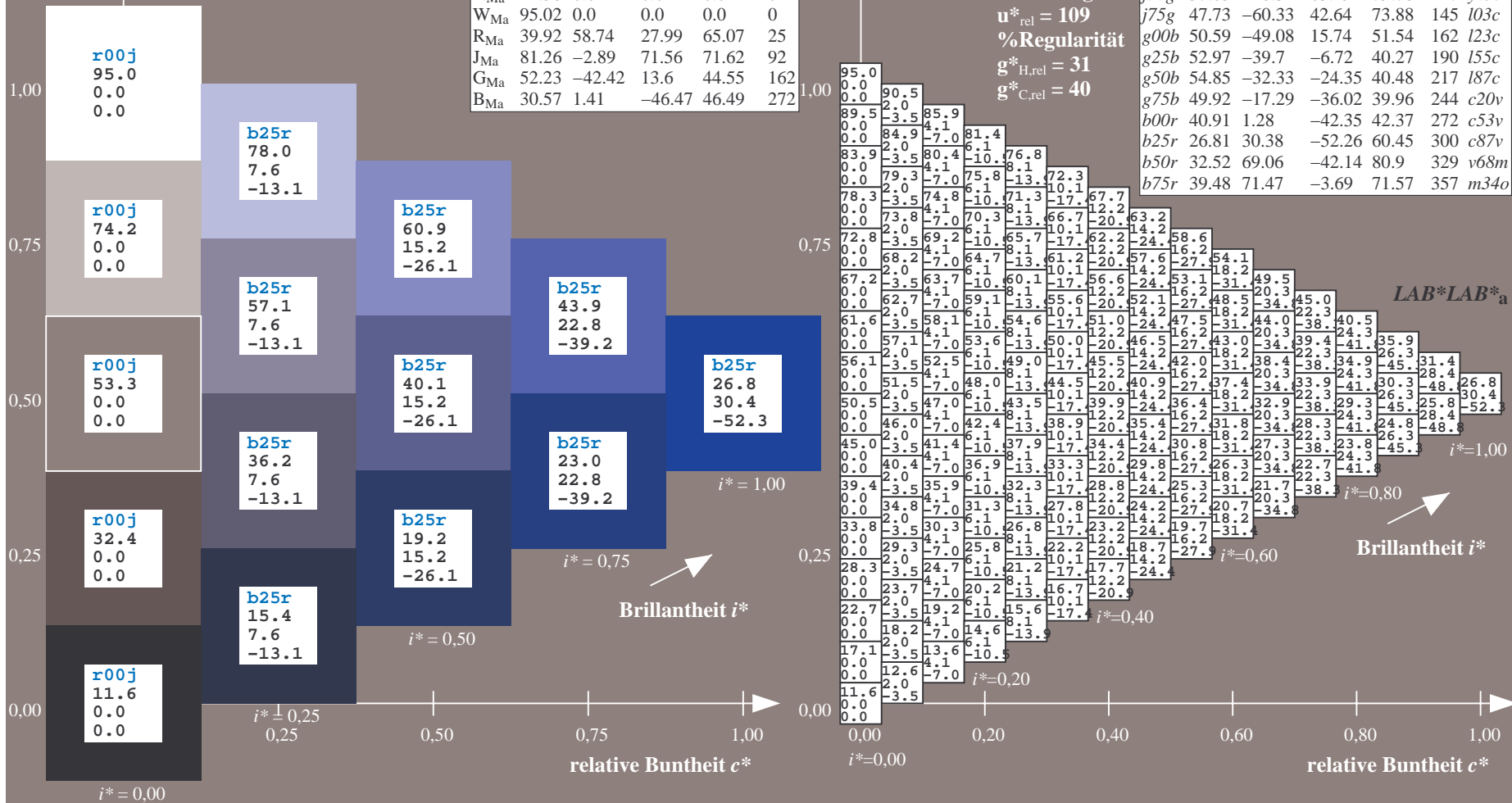
$lab^*rgb^*_{Ma}$: 0.5 0.0 1.0

$lab^*olv^*_{Ma}$: 0.0 0.12 1.0

Dreiecks-Helligkeit t^*

FRS12_95a; adaptierte CIELAB-Daten

	u^*_e	$L^*=L^*_a$	a^*_a	b^*_a	$C^*_{ab,a}$	$h^*_{ab,a}$	u^*_d
r00j	38.47	63.32	30.17	70.15	25	m81o	
r25j	42.12	54.56	49.45	73.64	42	o10y	
r50j	53.64	39.15	64.89	75.79	59	o40y	
r75j	67.01	21.26	82.83	85.52	76	o69y	
j00g	86.18	-4.38	108.53	108.62	92	o98y	
j25g	69.73	-29.89	83.06	88.28	110	y34l	
j50g	57.03	-48.31	63.49	79.78	127	y69l	
j75g	47.73	-60.33	42.64	73.88	145	l03c	
g00b	50.59	-49.08	15.74	51.54	162	i23c	
g25b	52.97	-39.7	-6.72	40.27	190	i55c	
g50b	54.85	-32.33	-24.35	40.48	217	i87c	
g75b	49.92	-17.29	-36.02	39.96	244	c20v	
b00r	40.91	1.28	-42.35	42.37	272	c53v	
b25r	26.81	30.38	-52.26	60.45	300	c87v	
b50r	32.52	69.06	-42.14	80.9	329	v68m	
b75r	39.48	71.47	-3.69	71.57	357	m34o	



Ein und Ausgabe: Farbmatisches Drucker-Reflektiv-System FRS12_95a, $L^*=12_95$ für relativen CIELAB-Bunton $h^* = lab^*h^* = h_{ab}/360 = 0.913$ $u^*_e = b50r$

Daten für jede Farbe:

lab^*tch^* und lab^*icu^*

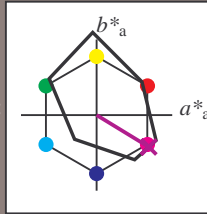
Buntontexte:

$u^*_e = b50r$ $u^*_d = v68m$

Kontrastreduzierungsfaktor:

$c_R = 1.0$

Dreiecks-Helligkeit t^*



FRS12_95a; adaptierte CIELAB-Daten

	u^*_e	$L^*=L^*_a$	a^*_a	b^*_a	$C^*_{ab,a}$	$h^*_{ab,a}$
O _{Ma}	38.06	60.0	44.0	74.4	36	
Y _{Ma}	86.77	-5.17	109.32	109.44	93	
L _{Ma}	47.13	-62.67	48.24	79.09	142	
C _{Ma}	55.66	-29.14	-31.99	43.27	228	
V _{Ma}	17.15	50.3	-59.04	77.57	310	
M _{Ma}	40.37	78.64	-33.5	85.48	337	
N _{Ma}	11.58	0.0	0.0	0.0	0	
W _{Ma}	95.02	0.0	0.0	0.0	0	
R _{Ma}	39.92	58.74	27.99	65.07	25	
J _{Ma}	81.26	-2.89	71.56	71.62	92	
G _{Ma}	52.23	-42.42	13.6	44.55	162	
B _{Ma}	30.57	1.41	-46.47	46.49	272	

Daten für Maximalfarbe (Ma):

$LAB^*LAB^*_{Ma}$: 33 69 -42

$LAB^*LCH^*_{Ma}$: 33 81 328

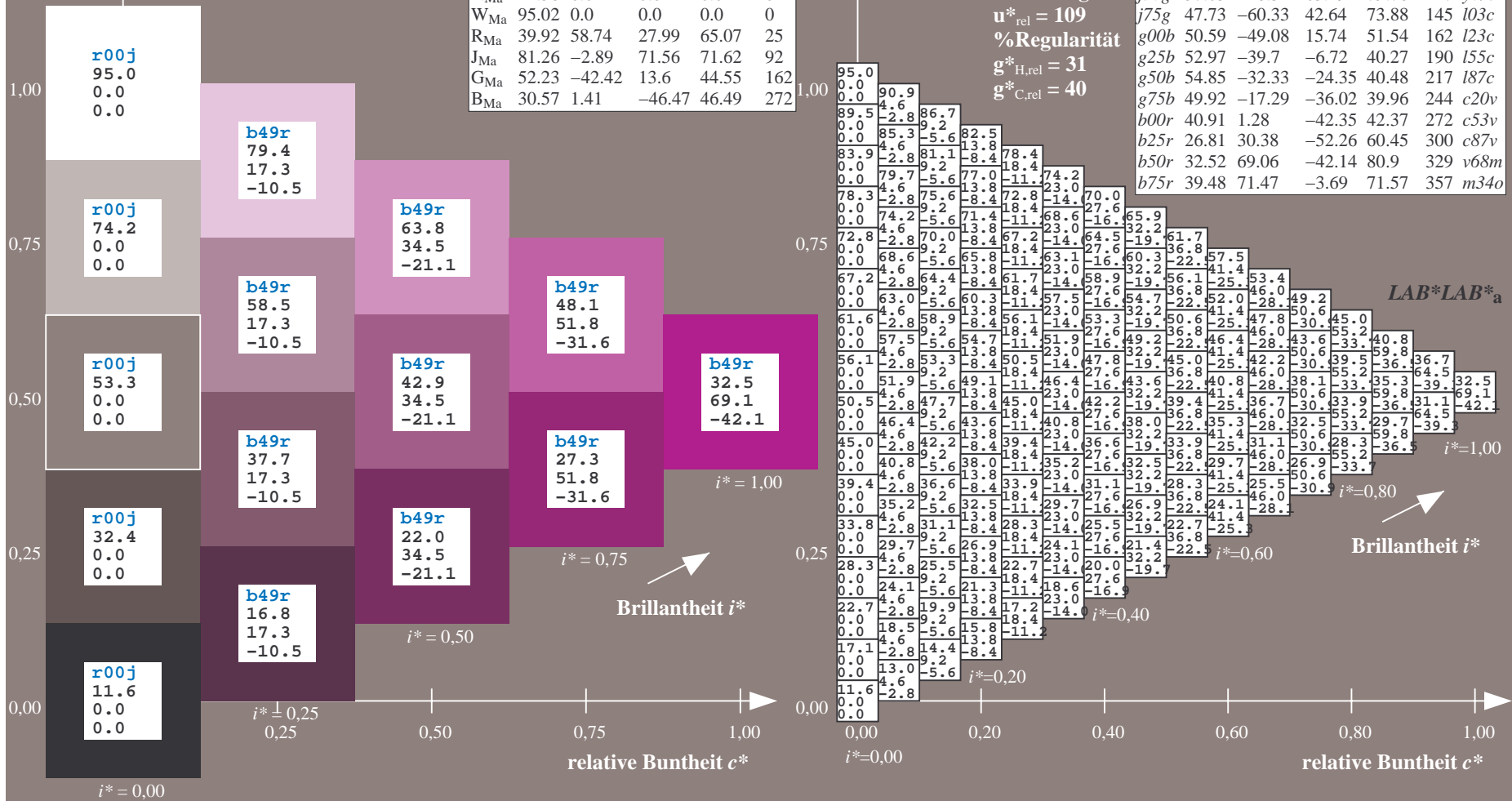
$lab^*rgb^*_{Ma}$: 1.0 0.0 1.0

$lab^*olv^*_{Ma}$: 0.69 0.0 1.0

Dreiecks-Helligkeit t^*

FRS12_95a; adaptierte CIELAB-Daten

	u^*_e	$L^*=L^*_a$	a^*_a	b^*_a	$C^*_{ab,a}$	$h^*_{ab,a}$	u^*_d
r00j	38.47	63.32	30.17	70.15	25	m81o	
r25j	42.12	54.56	49.45	73.64	42	o10y	
r50j	53.64	39.15	64.89	75.79	59	o40y	
r75j	67.01	21.26	82.83	85.52	76	o69y	
j00g	86.18	-4.38	108.53	108.62	92	o98y	
j25g	69.73	-29.89	83.06	88.28	110	y34l	
j50g	57.03	-48.31	63.49	79.78	127	y69l	
j75g	47.73	-60.33	42.64	73.88	145	l03c	
g00b	50.59	-49.08	15.74	51.54	162	i23c	
g25b	52.97	-39.7	-6.72	40.27	190	i55c	
g50b	54.85	-32.33	-24.35	40.48	217	i87c	
g75b	49.92	-17.29	-36.02	39.96	244	c20v	
b00r	40.91	1.28	-42.35	42.37	272	c53v	
b25r	26.81	30.38	-52.26	60.45	300	c87v	
b50r	32.52	69.06	-42.14	80.9	329	v68m	
b75r	39.48	71.47	-3.69	71.57	357	m34o	



Ein und Ausgabe: Farbmatisches Drucker-Reflektiv-System FRS12_95a, $L^*=12_95$ für relativen CIELAB-Bunton $h^* = lab^*h^* = h_{ab}/360 = 0.992$ $u^*_e = b75r$

Daten für jede Farbe:

lab^*tch^* und lab^*icu^*

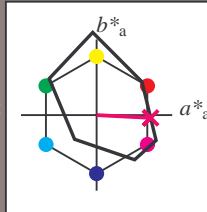
Buntontexte:

$u^*_e = b75r$ $u^*_d = m34o$

Kontrastreduzierungsfaktor:

$c_R = 1.0$

Dreiecks-Helligkeit t^*



FRS12_95a; adaptierte CIELAB-Daten

	u^*_e	$L^*=L^*_a$	a^*_a	b^*_a	$C^*_{ab,a}$	$h^*_{ab,a}$
O _{Ma}	38.06	60.0	44.0	74.4	36	
Y _{Ma}	86.77	-5.17	109.32	109.44	93	
L _{Ma}	47.13	-62.67	48.24	79.09	142	
C _{Ma}	55.66	-29.14	-31.99	43.27	228	
V _{Ma}	17.15	50.3	-59.04	77.57	310	
M _{Ma}	40.37	78.64	-33.5	85.48	337	
N _{Ma}	11.58	0.0	0.0	0.0	0	
W _{Ma}	95.02	0.0	0.0	0.0	0	
R _{Ma}	39.92	58.74	27.99	65.07	25	
J _{Ma}	81.26	-2.89	71.56	71.62	92	
G _{Ma}	52.23	-42.42	13.6	44.55	162	
B _{Ma}	30.57	1.41	-46.47	46.49	272	

Daten für Maximalfarbe (Ma):

$LAB^*LAB^*_Ma: 39\ 71\ -4$

$LAB^*LCH^*_Ma: 39\ 72\ 357$

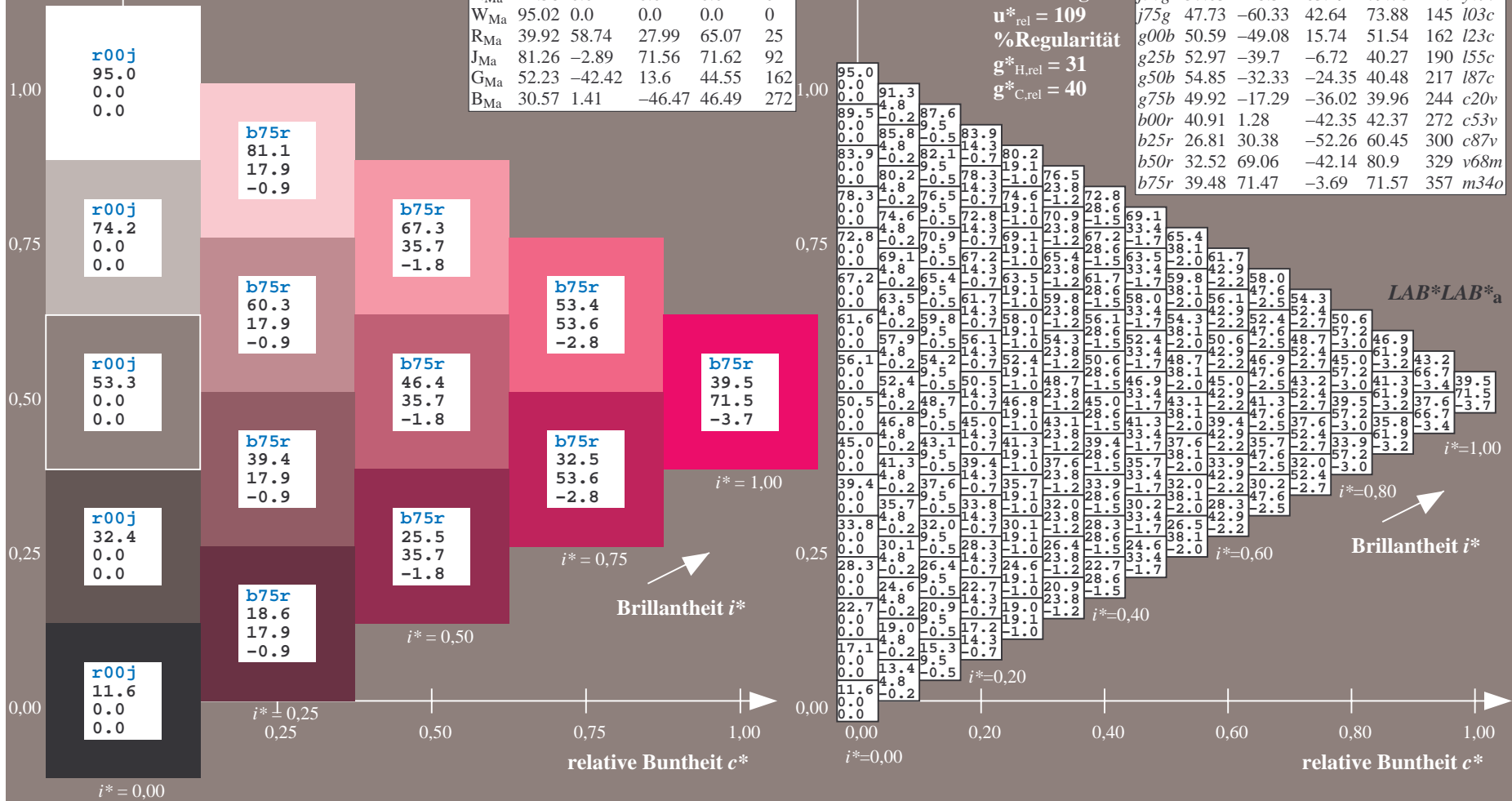
$lab^*rgb^*_Ma: 1.0\ 0.0\ 0.5$

$lab^*olv^*_Ma: 1.0\ 0.0\ 0.66$

Dreiecks-Helligkeit t^*

FRS12_95a; adaptierte CIELAB-Daten

	u^*_e	$L^*=L^*_a$	a^*_a	b^*_a	$C^*_{ab,a}$	$h^*_{ab,a}$	u^*_d
r00j	38.47	63.32	30.17	70.15	25	m81o	
r25j	42.12	54.56	49.45	73.64	42	o10y	
r50j	53.64	39.15	64.89	75.79	59	o40y	
r75j	67.01	21.26	82.83	85.52	76	o69y	
j00g	86.18	-4.38	108.53	108.62	92	o98y	
j25g	69.73	-29.89	83.06	88.28	110	y34l	
j50g	57.03	-48.31	63.49	79.78	127	y69l	
j75g	47.73	-60.33	42.64	73.88	145	l03c	
g00b	50.59	-49.08	15.74	51.54	162	l23c	
g25b	52.97	-39.7	-6.72	40.27	190	l55c	
g50b	54.85	-32.33	-24.35	40.48	217	l87c	
g75b	49.92	-17.29	-36.02	39.96	244	c20v	
b00r	40.91	1.28	-42.35	42.37	272	c53v	
b25r	26.81	30.38	-52.26	60.45	300	c87v	
b50r	32.52	69.06	-42.14	80.9	329	v68m	
b75r	39.48	71.47	-3.69	71.57	357	m34o	



Ein und Ausgabe:
 Farbmimetrisches Drucker-Reflektiv-System FRS12_95a

Daten für jede Farbe:

u^*_e und Nummer $Nr.$ = 00 .. 15

Elementar-Bunttextext:

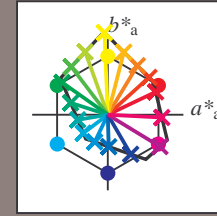
$u^*_e = 16$ Bunttoene $r00j, r25j, \dots, b75r$

Kontrastreduzierungsfaktor:

$c_R = 1.0$

FRS12_95a; adaptierte CIELAB-Daten

u^*_e	$L^*=L^*_a$	a^*_a	b^*_a	$C^*_{ab,a}$	$h^*_{ab,a}$	u^*_d
r00j	38.47	63.32	30.17	70.15	25	m81o
r25j	42.12	54.56	49.45	73.64	42	o10y
r50j	53.64	39.15	64.89	75.79	59	o40y
r75j	67.01	21.26	82.83	85.52	76	o69y
j00g	86.18	-4.38	108.53	108.62	92	o98y
j25g	69.73	-29.89	83.06	88.28	110	y34l
j50g	57.03	-48.31	63.49	79.78	127	y69l
j75g	47.73	-60.33	42.64	73.88	145	l03c
g00b	50.59	-49.08	15.74	51.54	162	l23c
g25b	52.97	-39.7	-6.72	40.27	190	l55c
g50b	54.85	-32.33	-24.35	40.48	217	l87c
g75b	49.92	-17.29	-36.02	39.96	244	c20v
b00r	40.91	1.28	-42.35	42.37	272	c53v
b25r	26.81	30.38	-52.26	60.45	300	c87v
b50r	32.52	69.06	-42.14	80.9	329	v68m
b75r	39.48	71.47	-3.69	71.57	357	m34o



%Umfang

$u^*_{rel} = 109$

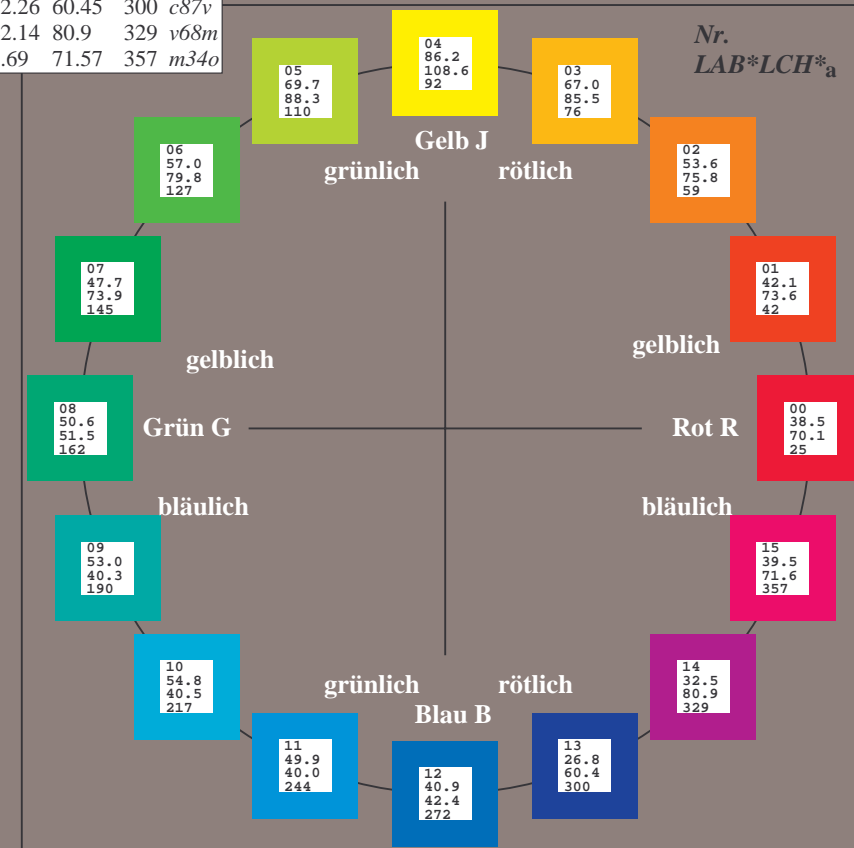
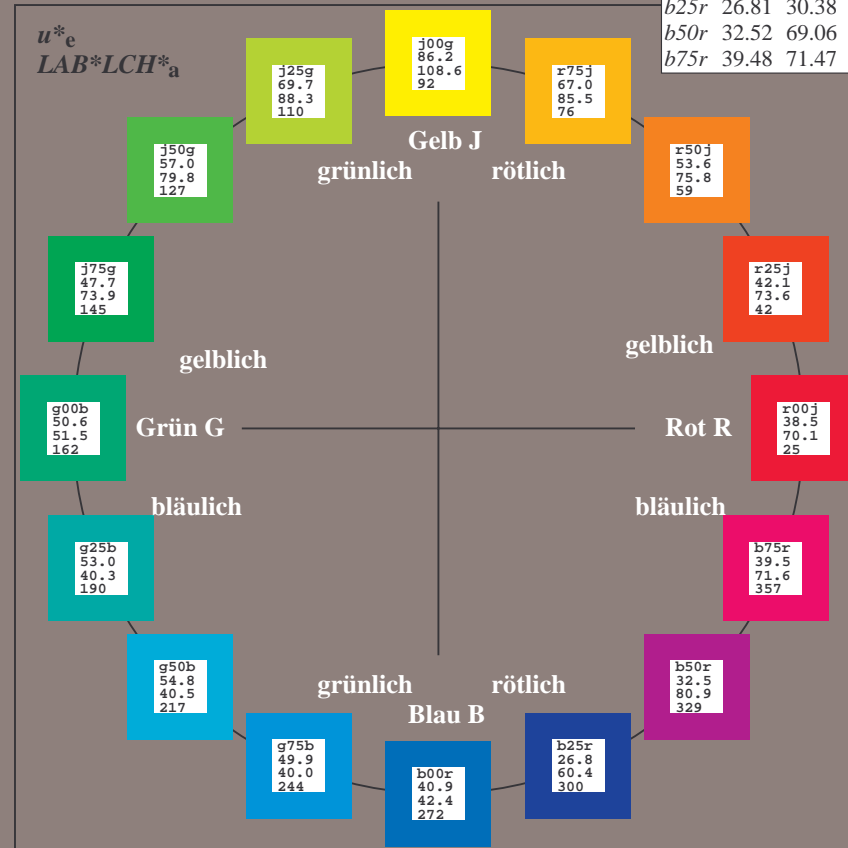
%Regularität

$g^*_{H,rel} = 31$

$g^*_{C,rel} = 40$

FRS12_95a; adaptierte CIELAB-Daten

Name	$L^*=L^*_a$	a^*_a	b^*_a	$C^*_{ab,a}$	$h^*_{ab,a}$
O _{Ma}	38.06	60.0	44.0	74.4	36
Y _{Ma}	86.77	-5.17	109.32	109.44	93
L _{Ma}	47.13	-62.67	48.24	79.09	142
C _{Ma}	55.66	-29.14	-31.99	43.27	228
V _{Ma}	17.15	50.3	-59.04	77.57	310
M _{Ma}	40.37	78.64	-33.5	85.48	337
N _{Ma}	11.58	0.0	0.0	0.0	0
W _{Ma}	95.02	0.0	0.0	0.0	0
R _{CIE}	39.92	58.74	27.99	65.07	25
J _{CIE}	81.26	-2.89	71.56	71.62	92
G _{CIE}	52.23	-42.42	13.6	44.55	162
B _{CIE}	30.57	1.41	-46.47	46.49	272



Ein und Ausgabe: Farbmatisches Drucker-Reflektiv-System FRS12_95a, $L^*=12_95$ für relative CIELAB-Bunton $h^* = lab^*h^* = h_{ab}/360 = 0.071$ $u^*_e = r00j$

Daten für jede Farbe:

lab^*tch^* und lab^*icu^*

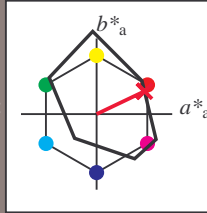
Buntontexte:

$u^*_e = r00j$ $u^*_d = m81o$

Kontrastreduzierungsfaktor:

$c_R = 1.0$

Dreiecks-Helligkeit t^*



FRS12_95a; adaptierte CIELAB-Daten

	u^*_e	$L^*=L^*_a$	a^*_a	b^*_a	$C^*_{ab,a}$	$h^*_{ab,a}$
O _{Ma}	38.06	60.0	44.0	74.4	36	
Y _{Ma}	86.77	-5.17	109.32	109.44	93	
L _{Ma}	47.13	-62.67	48.24	79.09	142	
C _{Ma}	55.66	-29.14	-31.99	43.27	228	
V _{Ma}	17.15	50.3	-59.04	77.57	310	
M _{Ma}	40.37	78.64	-33.5	85.48	337	
N _{Ma}	11.58	0.0	0.0	0.0	0	
W _{Ma}	95.02	0.0	0.0	0.0	0	
R _{Ma}	39.92	58.74	27.99	65.07	25	
J _{Ma}	81.26	-2.89	71.56	71.62	92	
G _{Ma}	52.23	-42.42	13.6	44.55	162	
B _{Ma}	30.57	1.41	-46.47	46.49	272	

Daten für Maximalfarbe (Ma):

$LAB^*LAB^*_Ma$: 38 63 30

$LAB^*LCH^*_Ma$: 38 70 25

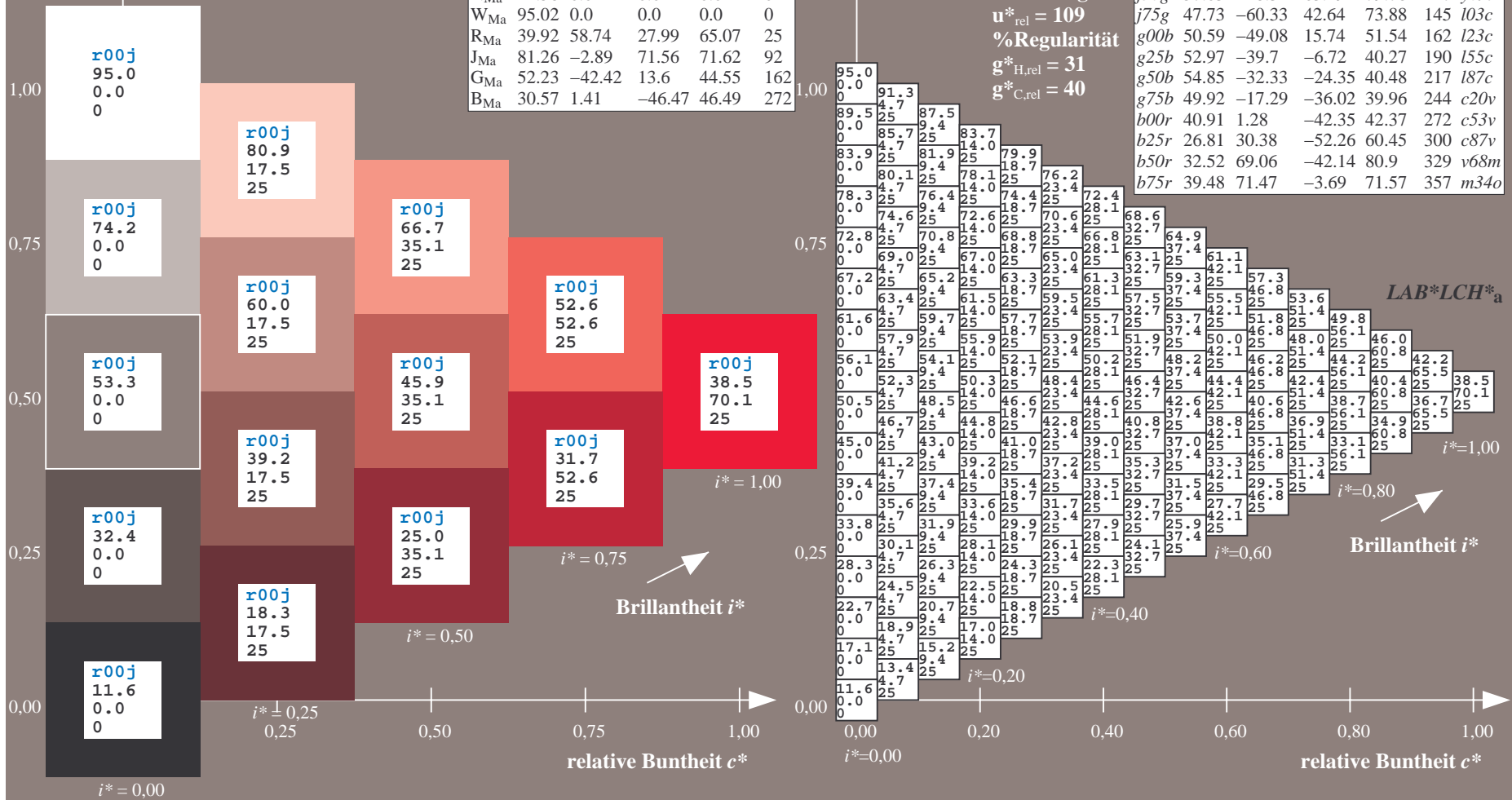
$lab^*rgb^*_Ma$: 1.0 0.0 0.0

$lab^*olv^*_Ma$: 1.0 0.0 0.18

Dreiecks-Helligkeit t^*

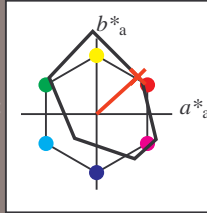
FRS12_95a; adaptierte CIELAB-Daten

	u^*_e	$L^*=L^*_a$	a^*_a	b^*_a	$C^*_{ab,a}$	$h^*_{ab,a}$	u^*_d
r00j	38.47	63.32	30.17	70.15	25	m81o	
r25j	42.12	54.56	49.45	73.64	42	o10y	
r50j	53.64	39.15	64.89	75.79	59	o40y	
r75j	67.01	21.26	82.83	85.52	76	o69y	
j00g	86.18	-4.38	108.53	108.62	92	o98y	
j25g	69.73	-29.89	83.06	88.28	110	y34l	
j50g	57.03	-48.31	63.49	79.78	127	y69l	
j75g	47.73	-60.33	42.64	73.88	145	103c	
g00b	50.59	-49.08	15.74	51.54	162	l23c	
g25b	52.97	-39.7	-6.72	40.27	190	l55c	
g50b	54.85	-32.33	-24.35	40.48	217	l87c	
g75b	49.92	-17.29	-36.02	39.96	244	c20v	
b00r	40.91	1.28	-42.35	42.37	272	c53v	
b25r	26.81	30.38	-52.26	60.45	300	c87v	
b50r	32.52	69.06	-42.14	80.9	329	v68m	
b75r	39.48	71.47	-3.69	71.57	357	m34o	



Ein und Ausgabe: Farbmatisches Drucker-Reflektiv-System FRS12_95a, $L^*=12_95$ für relativen CIELAB-Bunton $h^* = lab^*h^* = h_{ab}/360 = 0.117$ $u^*_e = r25j$
 Daten für jede Farbe: lab^*ch^* und lab^*icu^* $LAB^*LCH^*_a$

Buntontexte:
 $u^*_e = r25j$ $u^*_d = o10y$
 Kontrastreduzierungsfaktor:
 $c_R = 1.0$
 Dreiecks-Helligkeit t^*



FRS12_95a; adaptierte CIELAB-Daten

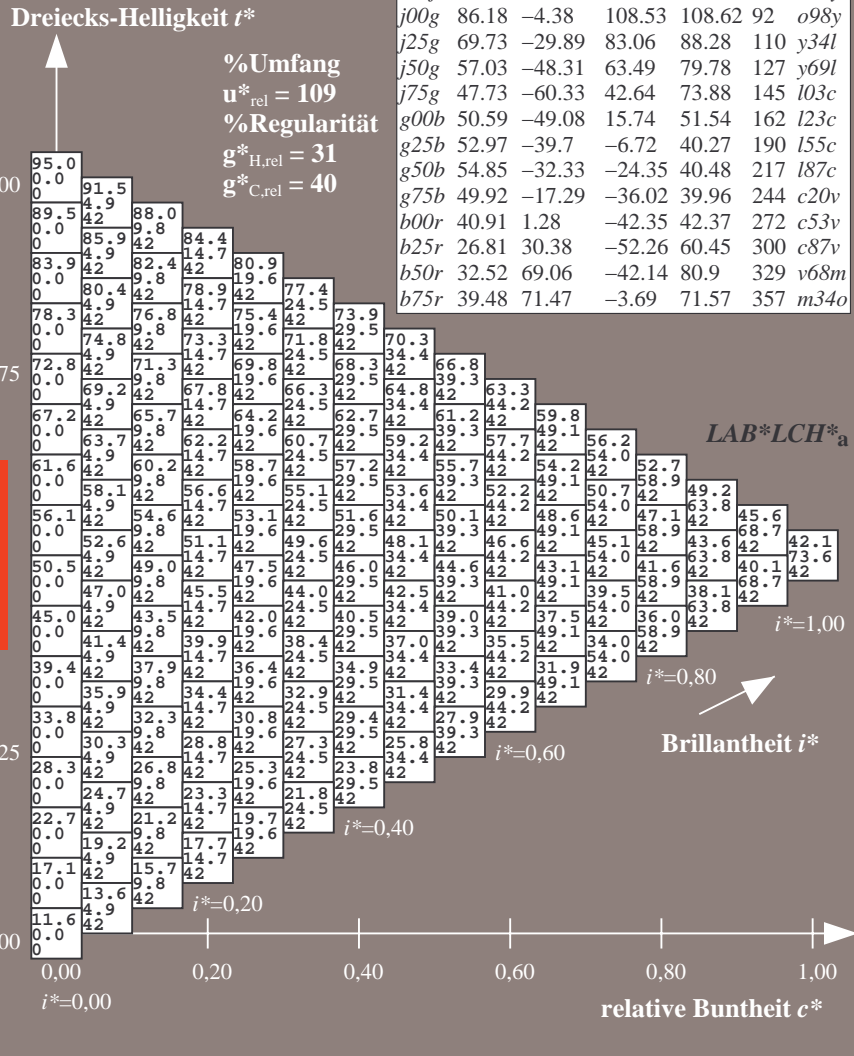
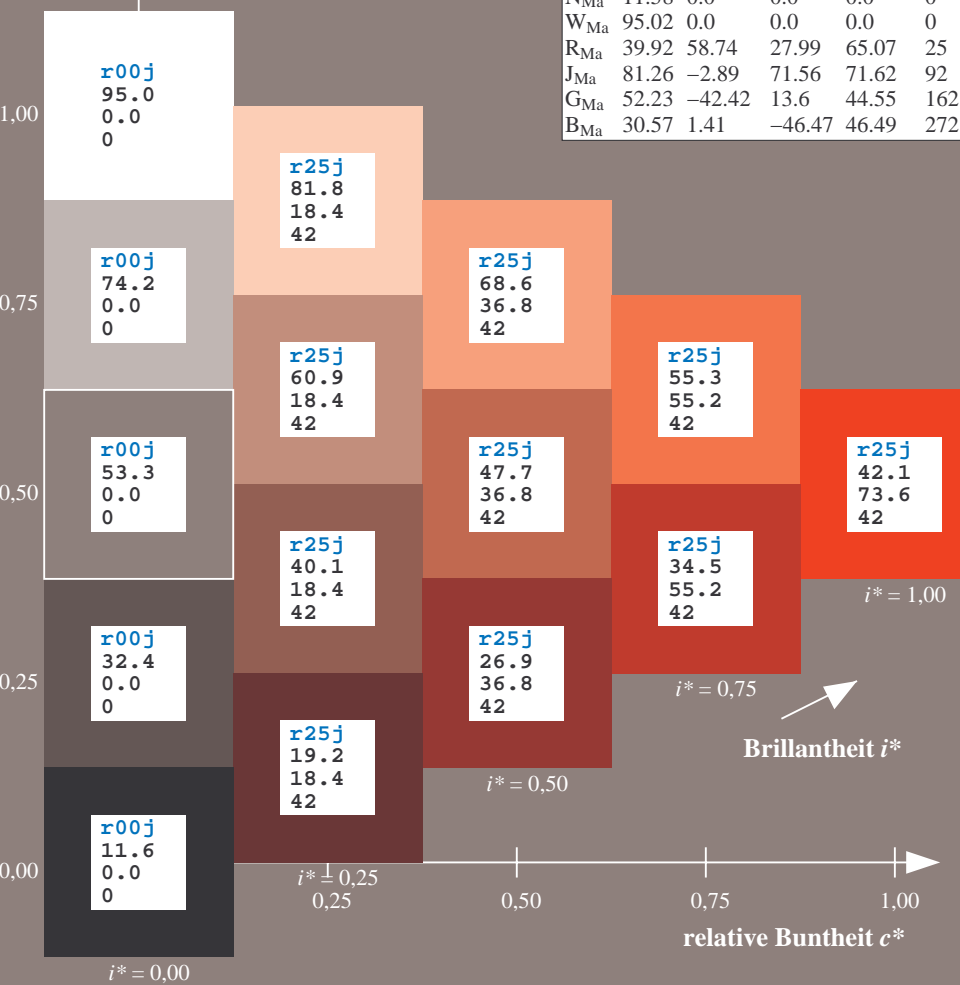
	u^*_e	$L^*=L^*_a$	a^*_a	b^*_a	$C^*_{ab,a}$	$h^*_{ab,a}$
O _{Ma}	38.06	60.0	44.0	74.4	36	
Y _{Ma}	86.77	-5.17	109.32	109.44	93	
L _{Ma}	47.13	-62.67	48.24	79.09	142	
C _{Ma}	55.66	-29.14	-31.99	43.27	228	
V _{Ma}	17.15	50.3	-59.04	77.57	310	
M _{Ma}	40.37	78.64	-33.5	85.48	337	
N _{Ma}	11.58	0.0	0.0	0.0	0	
W _{Ma}	95.02	0.0	0.0	0.0	0	
R _{Ma}	39.92	58.74	27.99	65.07	25	
J _{Ma}	81.26	-2.89	71.56	71.62	92	
G _{Ma}	52.23	-42.42	13.6	44.55	162	
B _{Ma}	30.57	1.41	-46.47	46.49	272	

Daten für Maximalfarbe (Ma):

$LAB^*LAB^*_Ma$: 42 55 49
 $LAB^*LCH^*_Ma$: 42 74 42
 $lab^*rgb^*_Ma$: 1.0 0.25 0.0
 $lab^*olv^*_Ma$: 1.0 0.11 0.0

FRS12_95a; adaptierte CIELAB-Daten

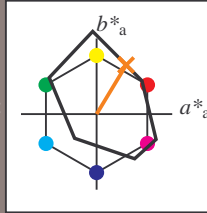
	u^*_e	$L^*=L^*_a$	a^*_a	b^*_a	$C^*_{ab,a}$	$h^*_{ab,a}$	u^*_d
r00j	38.47	63.32	30.17	70.15	25	m81o	
r25j	42.12	54.56	49.45	73.64	42	o10y	
r50j	53.64	39.15	64.89	75.79	59	o40y	
r75j	67.01	21.26	82.83	85.52	76	o69y	
j00g	86.18	-4.38	108.53	108.62	92	o98y	
j25g	69.73	-29.89	83.06	88.28	110	y34l	
j50g	57.03	-48.31	63.49	79.78	127	y69l	
j75g	47.73	-60.33	42.64	73.88	145	103c	
g00b	50.59	-49.08	15.74	51.54	162	l23c	
g25b	52.97	-39.7	-6.72	40.27	190	l55c	
g50b	54.85	-32.33	-24.35	40.48	217	l87c	
g75b	49.92	-17.29	-36.02	39.96	244	c20v	
b00r	40.91	1.28	-42.35	42.37	272	c53v	
b25r	26.81	30.38	-52.26	60.45	300	c87v	
b50r	32.52	69.06	-42.14	80.9	329	v68m	
b75r	39.48	71.47	-3.69	71.57	357	m34o	



%Umfang
 $u^*_{rel} = 109$
 %Regularität
 $g^*_{H,rel} = 31$
 $g^*_{C,rel} = 40$

Ein und Ausgabe: Farbmatisches Drucker-Reflektiv-System FRS12_95a, $L^*=12_95$ für relativen CIELAB-Bunton $h^* = lab^*h^* = h_{ab}/360 = 0.164$ $u^*_e = r50j$
 Daten für jede Farbe: lab^*tch^* und lab^*icu^* LAB*LCH*_a

Bunntexte:
 $u^*_e = r50j$ $u^*_d = o40y$
 Kontrastreduzierungsfaktor:
 $c_R = 1.0$
 Dreiecks-Helligkeit t^*



FRS12_95a; adaptierte CIELAB-Daten

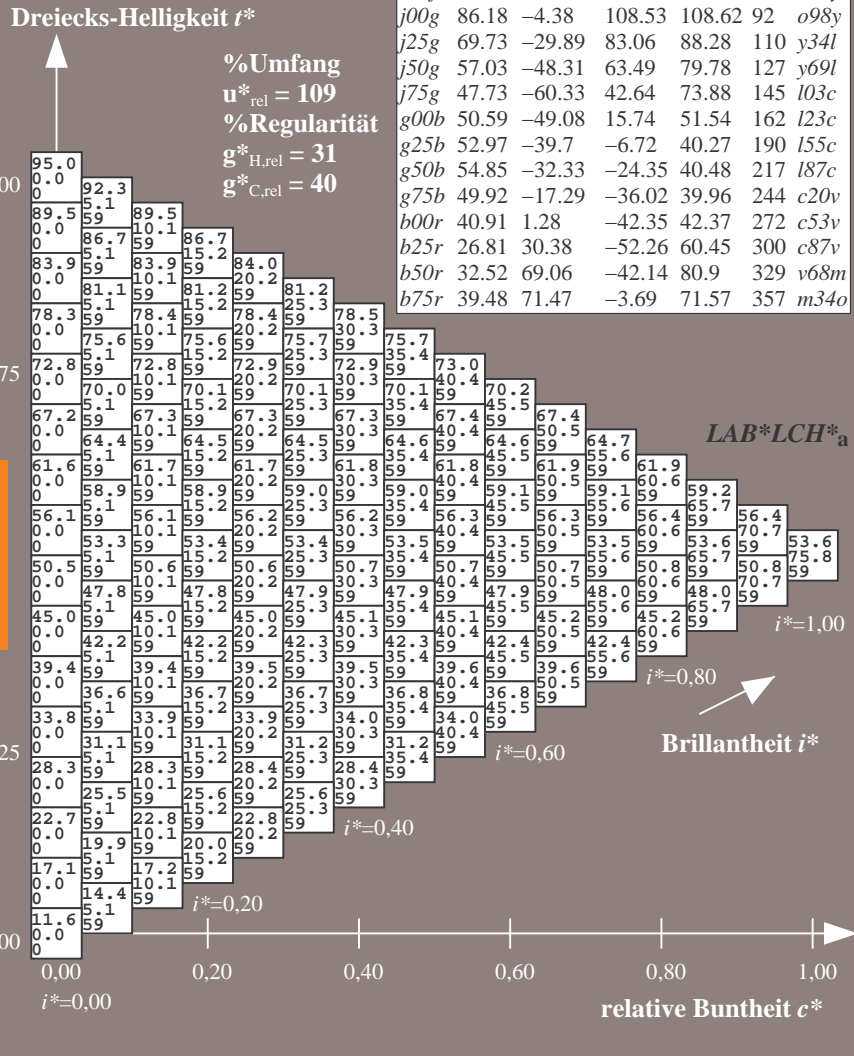
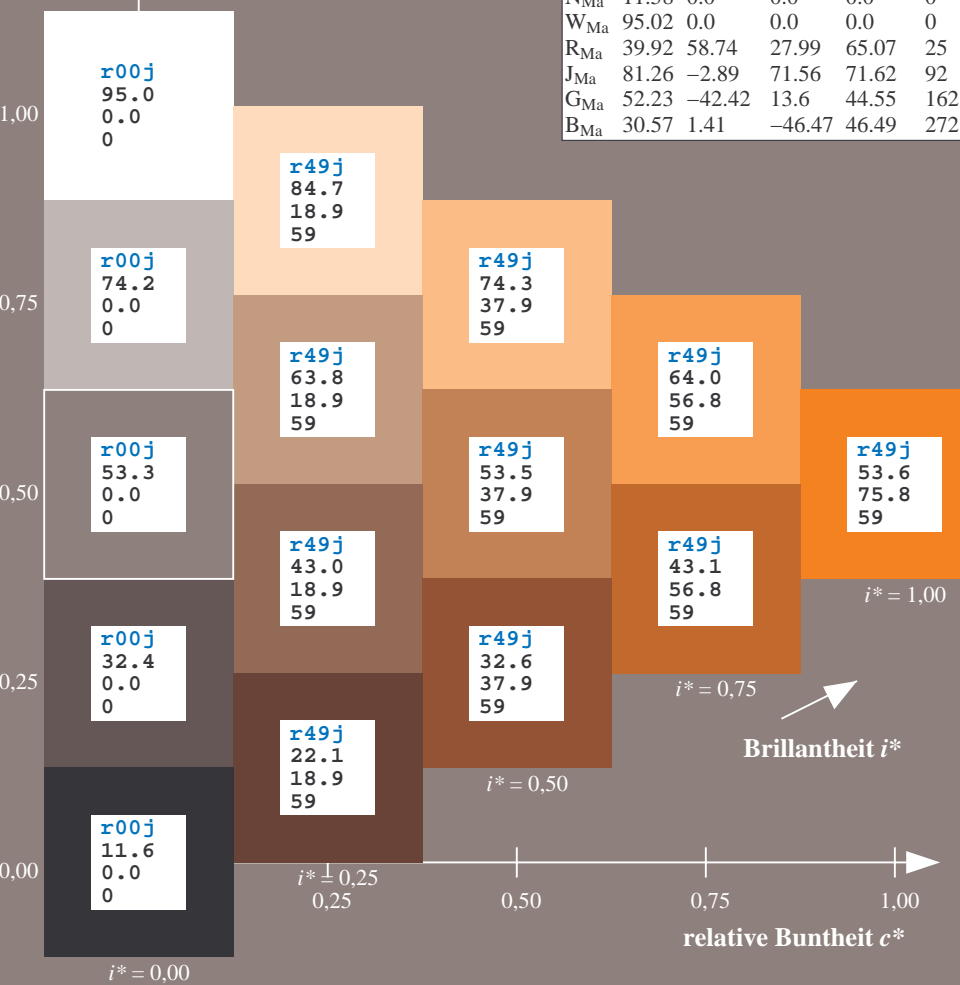
	u^*_e	$L^*=L^*_a$	a^*_a	b^*_a	$C^*_{ab,a}$	$h^*_{ab,a}$
O _{Ma}	38.06	60.0	44.0	74.4	36	
Y _{Ma}	86.77	-5.17	109.32	109.44	93	
L _{Ma}	47.13	-62.67	48.24	79.09	142	
C _{Ma}	55.66	-29.14	-31.99	43.27	228	
V _{Ma}	17.15	50.3	-59.04	77.57	310	
M _{Ma}	40.37	78.64	-33.5	85.48	337	
N _{Ma}	11.58	0.0	0.0	0.0	0	
W _{Ma}	95.02	0.0	0.0	0.0	0	
R _{Ma}	39.92	58.74	27.99	65.07	25	
J _{Ma}	81.26	-2.89	71.56	71.62	92	
G _{Ma}	52.23	-42.42	13.6	44.55	162	
B _{Ma}	30.57	1.41	-46.47	46.49	272	

Daten für Maximalfarbe (Ma):

LAB*LAB*_{Ma}: 54 39 65
 LAB*LCH*_{Ma}: 54 76 58
 $lab^*rgb^*_{Ma}$: 1.0 0.5 0.0
 $lab^*olv^*_{Ma}$: 1.0 0.4 0.0

FRS12_95a; adaptierte CIELAB-Daten

	u^*_e	$L^*=L^*_a$	a^*_a	b^*_a	$C^*_{ab,a}$	$h^*_{ab,a}$	u^*_d
r00j	38.47	63.32	30.17	70.15	25	m81o	
r25j	42.12	54.56	49.45	73.64	42	o10y	
r50j	53.64	39.15	64.89	75.79	59	o40y	
r75j	67.01	21.26	82.83	85.52	76	o69y	
j00g	86.18	-4.38	108.53	108.62	92	o98y	
j25g	69.73	-29.89	83.06	88.28	110	y34l	
j50g	57.03	-48.31	63.49	79.78	127	y69l	
j75g	47.73	-60.33	42.64	73.88	145	103c	
g00b	50.59	-49.08	15.74	51.54	162	l23c	
g25b	52.97	-39.7	-6.72	40.27	190	l55c	
g50b	54.85	-32.33	-24.35	40.48	217	l87c	
g75b	49.92	-17.29	-36.02	39.96	244	c20v	
b00r	40.91	1.28	-42.35	42.37	272	c53v	
b25r	26.81	30.38	-52.26	60.45	300	c87v	
b50r	32.52	69.06	-42.14	80.9	329	v68m	
b75r	39.48	71.47	-3.69	71.57	357	m34o	



Ein und Ausgabe: Farbmatisches Drucker-Reflektiv-System FRS12_95a, $L^*=12_95$ für relativen CIELAB-Bunton $h^* = lab^*h^* = h_{ab}/360 = 0.21$ $u^*_e = r75j$

$LAB^*LCH^*_a$

Daten für jede Farbe:

lab^*tch^* und lab^*icu^*

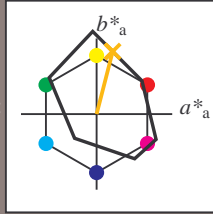
Buntontexte:

$u^*_e = r75j$ $u^*_d = o69y$

Kontrastreduzierungsfaktor:

$c_R = 1.0$

Dreiecks-Helligkeit t^*



FRS12_95a; adaptierte CIELAB-Daten

	u^*_e	$L^*=L^*_a$	a^*_a	b^*_a	$C^*_{ab,a}$	$h^*_{ab,a}$
O _{Ma}	38.06	60.0	44.0	74.4	36	
Y _{Ma}	86.77	-5.17	109.32	109.44	93	
L _{Ma}	47.13	-62.67	48.24	79.09	142	
C _{Ma}	55.66	-29.14	-31.99	43.27	228	
V _{Ma}	17.15	50.3	-59.04	77.57	310	
M _{Ma}	40.37	78.64	-33.5	85.48	337	
N _{Ma}	11.58	0.0	0.0	0.0	0	
W _{Ma}	95.02	0.0	0.0	0.0	0	
R _{Ma}	39.92	58.74	27.99	65.07	25	
J _{Ma}	81.26	-2.89	71.56	71.62	92	
G _{Ma}	52.23	-42.42	13.6	44.55	162	
B _{Ma}	30.57	1.41	-46.47	46.49	272	

Daten für Maximalfarbe (Ma):

$LAB^*LAB^*_Ma$: 67 21 83

$LAB^*LCH^*_Ma$: 67 86 75

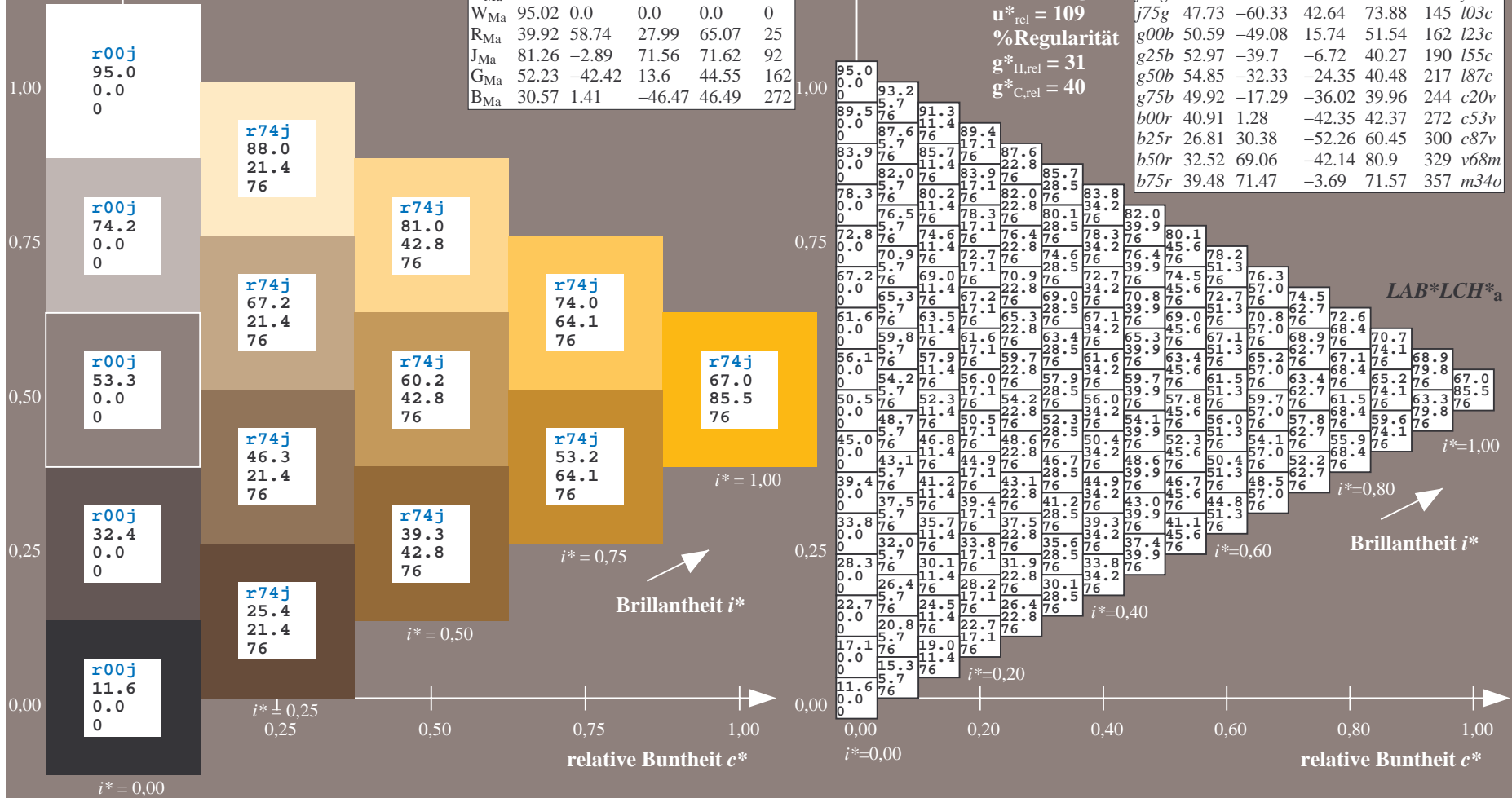
$lab^*rgb^*_Ma$: 1.0 0.75 0.0

$lab^*olv^*_Ma$: 1.0 0.7 0.0

Dreiecks-Helligkeit t^*

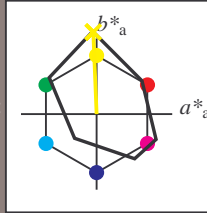
FRS12_95a; adaptierte CIELAB-Daten

	u^*_e	$L^*=L^*_a$	a^*_a	b^*_a	$C^*_{ab,a}$	$h^*_{ab,a}$	u^*_d
r00j	38.47	63.32	30.17	70.15	25	m81o	
r25j	42.12	54.56	49.45	73.64	42	o10y	
r50j	53.64	39.15	64.89	75.79	59	o40y	
r75j	67.01	21.26	82.83	85.52	76	o69y	
j00g	86.18	-4.38	108.53	108.62	92	o98y	
j25g	69.73	-29.89	83.06	88.28	110	y34l	
j50g	57.03	-48.31	63.49	79.78	127	y69l	
j75g	47.73	-60.33	42.64	73.88	145	103c	
g00b	50.59	-49.08	15.74	51.54	162	i23c	
g25b	52.97	-39.7	-6.72	40.27	190	i55c	
g50b	54.85	-32.33	-24.35	40.48	217	i87c	
g75b	49.92	-17.29	-36.02	39.96	244	c20v	
b00r	40.91	1.28	-42.35	42.37	272	c53v	
b25r	26.81	30.38	-52.26	60.45	300	c87v	
b50r	32.52	69.06	-42.14	80.9	329	v68m	
b75r	39.48	71.47	-3.69	71.57	357	m34o	



Ein und Ausgabe: Farbmatisches Drucker-Reflektiv-System FRS12_95a, $L^*=12_95$ für relative CIELAB-Bunton $h^* = lab^*h^* = h_{ab}/360 = 0.256$ $u^*_e = j00g$
 Daten für jede Farbe: lab^*tch^* und lab^*icu^* $LAB^*LCH^*_a$

Buntontexte:
 $u^*_e = j00g$ $u^*_d = o98y$
 Kontrastreduzierungsfaktor:
 $c_R = 1.0$
 Dreiecks-Helligkeit t^*



FRS12_95a; adaptierte CIELAB-Daten

	u^*_e	$L^*=L^*_a$	a^*_a	b^*_a	$C^*_{ab,a}$	$h^*_{ab,a}$
O _{Ma}	38.06	60.0	44.0	74.4	36	
Y _{Ma}	86.77	-5.17	109.32	109.44	93	
L _{Ma}	47.13	-62.67	48.24	79.09	142	
C _{Ma}	55.66	-29.14	-31.99	43.27	228	
V _{Ma}	17.15	50.3	-59.04	77.57	310	
M _{Ma}	40.37	78.64	-33.5	85.48	337	
N _{Ma}	11.58	0.0	0.0	0.0	0	
W _{Ma}	95.02	0.0	0.0	0.0	0	
R _{Ma}	39.92	58.74	27.99	65.07	25	
J _{Ma}	81.26	-2.89	71.56	71.62	92	
G _{Ma}	52.23	-42.42	13.6	44.55	162	
B _{Ma}	30.57	1.41	-46.47	46.49	272	

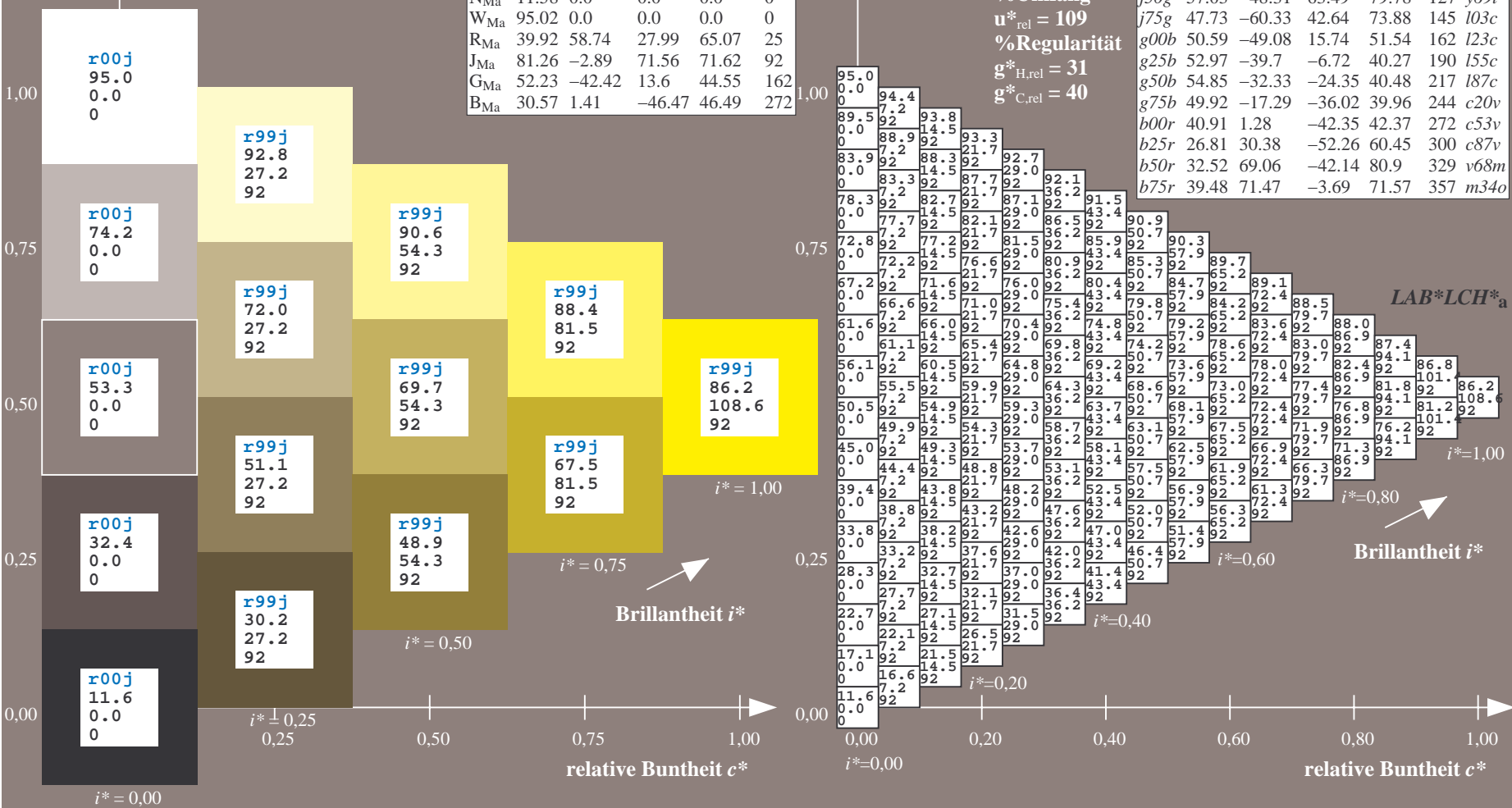
Daten für Maximalfarbe (Ma):

$LAB^*LAB^*_Ma$: 86 -4 109
 $LAB^*LCH^*_Ma$: 86 109 92
 $lab^*rgb^*_Ma$: 1.0 1.0 0.0
 $lab^*olv^*_Ma$: 1.0 0.99 0.0

FRS12_95a; adaptierte CIELAB-Daten

	u^*_e	$L^*=L^*_a$	a^*_a	b^*_a	$C^*_{ab,a}$	$h^*_{ab,a}$	u^*_d
r00j	38.47	63.32	30.17	70.15	25	m81o	
r25j	42.12	54.56	49.45	73.64	42	o10y	
r50j	53.64	39.15	64.89	75.79	59	o40y	
r75j	67.01	21.26	82.83	85.52	76	o69y	
j00g	86.18	-4.38	108.53	108.62	92	o98y	
j25g	69.73	-29.89	83.06	88.28	110	y34l	
j50g	57.03	-48.31	63.49	79.78	127	y69l	
j75g	47.73	-60.33	42.64	73.88	145	l03c	
g00b	50.59	-49.08	15.74	51.54	162	l23c	
g25b	52.97	-39.7	-6.72	40.27	190	l55c	
g50b	54.85	-32.33	-24.35	40.48	217	l87c	
g75b	49.92	-17.29	-36.02	39.96	244	c20v	
b00r	40.91	1.28	-42.35	42.37	272	c53v	
b25r	26.81	30.38	-52.26	60.45	300	c87v	
b50r	32.52	69.06	-42.14	80.9	329	v68m	
b75r	39.48	71.47	-3.69	71.57	357	m34o	

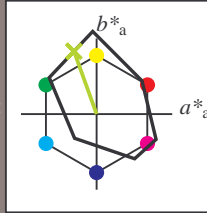
Dreiecks-Helligkeit t^*
 %Umfang
 $u^*_{rel} = 109$
 %Regularität
 $g^*_{H,rel} = 31$
 $g^*_{C,rel} = 40$



Fg640-7A, Seite 96/198

Ein und Ausgabe: Farbmimetrisches Drucker-Reflektiv-System FRS12_95a, $L^*=12_95$ für relativen CIELAB-Bunton $h^* = lab^*h^* = h_{ab}/360 = 0.305$ $u^*_e = j25g$
 Daten für jede Farbe: lab^*tch^* und lab^*icu^* $LAB^*LCH^*_a$

Buntontexte:
 $u^*_e = j25g$ $u^*_d = y34l$
 Kontrastreduzierungsfaktor:
 $c_R = 1.0$
 Dreiecks-Helligkeit t^*



FRS12_95a; adaptierte CIELAB-Daten

	u^*_e	$L^*=L^*_a$	a^*_a	b^*_a	$C^*_{ab,a}$	$h^*_{ab,a}$
O _{Ma}	38.06	60.0	44.0	74.4	36	
Y _{Ma}	86.77	-5.17	109.32	109.44	93	
L _{Ma}	47.13	-62.67	48.24	79.09	142	
C _{Ma}	55.66	-29.14	-31.99	43.27	228	
V _{Ma}	17.15	50.3	-59.04	77.57	310	
M _{Ma}	40.37	78.64	-33.5	85.48	337	
N _{Ma}	11.58	0.0	0.0	0.0	0	
W _{Ma}	95.02	0.0	0.0	0.0	0	
R _{Ma}	39.92	58.74	27.99	65.07	25	
J _{Ma}	81.26	-2.89	71.56	71.62	92	
G _{Ma}	52.23	-42.42	13.6	44.55	162	
B _{Ma}	30.57	1.41	-46.47	46.49	272	

Daten für Maximalfarbe (Ma):

$LAB^*LAB^*_Ma: 70 -30 83$

$LAB^*LCH^*_Ma: 70 88 109$

$lab^*rgb^*_Ma: 0.75 1.0 0.0$

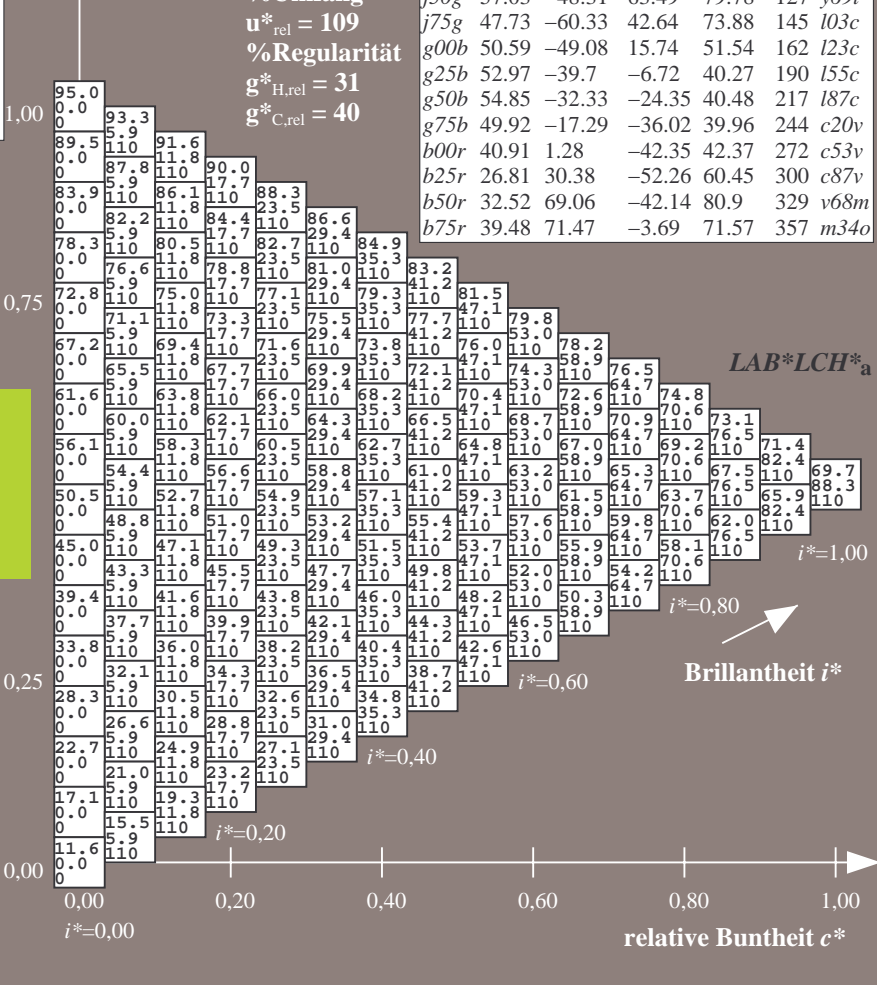
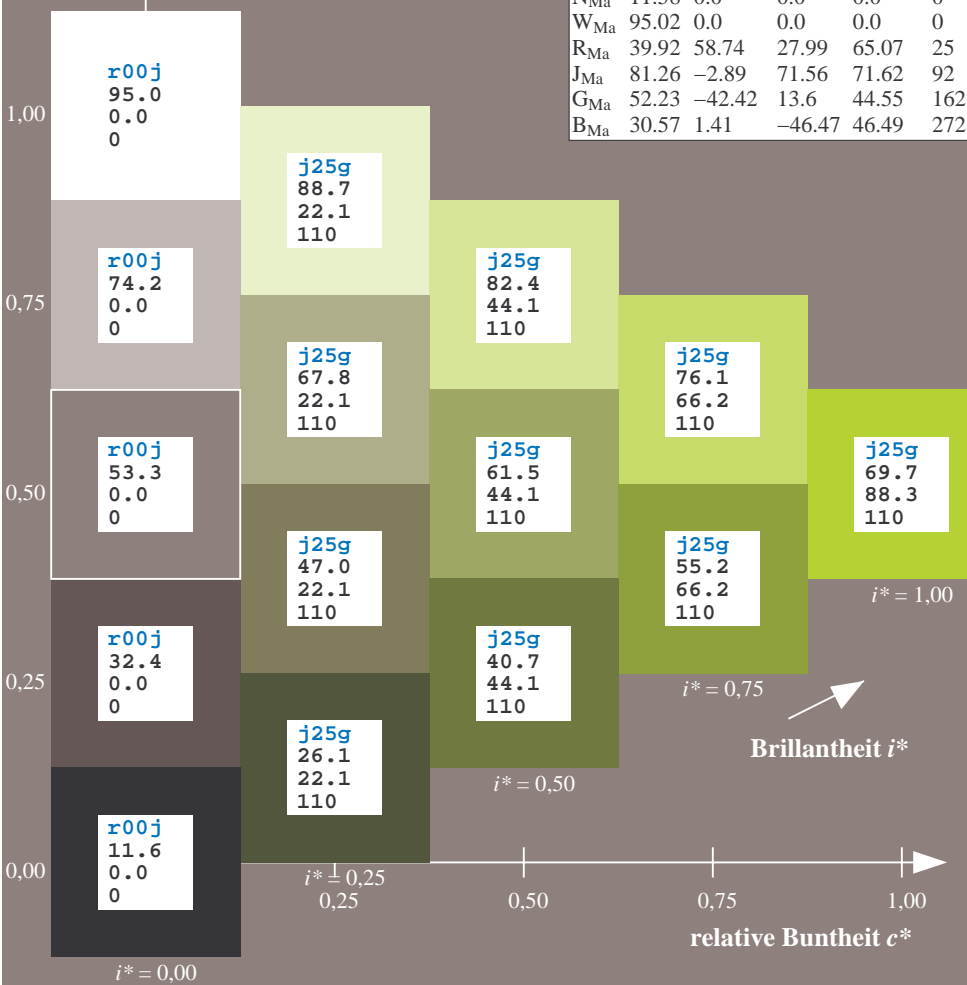
$lab^*olv^*_Ma: 0.66 1.0 0.0$

Dreiecks-Helligkeit t^*

FRS12_95a; adaptierte CIELAB-Daten

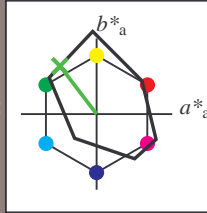
	u^*_e	$L^*=L^*_a$	a^*_a	b^*_a	$C^*_{ab,a}$	$h^*_{ab,a}$	u^*_d
r00j	38.47	63.32	30.17	70.15	25	m81o	
r25j	42.12	54.56	49.45	73.64	42	o10y	
r50j	53.64	39.15	64.89	75.79	59	o40y	
r75j	67.01	21.26	82.83	85.52	76	o69y	
j00g	86.18	-4.38	108.53	108.62	92	o98y	
j25g	69.73	-29.89	83.06	88.28	110	y34l	
j50g	57.03	-48.31	63.49	79.78	127	y69l	
j75g	47.73	-60.33	42.64	73.88	145	l03c	
g00b	50.59	-49.08	15.74	51.54	162	i23c	
g25b	52.97	-39.7	-6.72	40.27	190	i55c	
g50b	54.85	-32.33	-24.35	40.48	217	i87c	
g75b	49.92	-17.29	-36.02	39.96	244	c20v	
b00r	40.91	1.28	-42.35	42.47	272	c53v	
b25r	26.81	30.38	-52.26	60.45	300	c87v	
b50r	32.52	69.06	-42.14	80.9	329	v68m	
b75r	39.48	71.47	-3.69	71.57	357	m34o	

%Umfang
 $u^*_{rel} = 109$
 %Regularität
 $g^*_{H,rel} = 31$
 $g^*_{C,rel} = 40$



Ein und Ausgabe: Farbmatisches Drucker-Reflektiv-System FRS12_95a, $L^*=12_95$ für relativen CIELAB-Bunton $h^* = lab^*h^* = h_{ab}/360 = 0.354$ $u^*_e = j50g$
 Daten für jede Farbe: lab^*tch^* und lab^*icu^* $LAB^*LCH^*_a$

Buntontexte:
 $u^*_e = j50g$ $u^*_d = y69l$
 Kontrastreduzierungsfaktor:
 $c_R = 1.0$
 Dreiecks-Helligkeit t^*



FRS12_95a; adaptierte CIELAB-Daten

u^*_e	$L^*=L^*_a$	a^*_a	b^*_a	$C^*_{ab,a}$	$h^*_{ab,a}$
O _{Ma}	38.06	60.0	44.0	74.4	36
Y _{Ma}	86.77	-5.17	109.32	109.44	93
L _{Ma}	47.13	-62.67	48.24	79.09	142
C _{Ma}	55.66	-29.14	-31.99	43.27	228
V _{Ma}	17.15	50.3	-59.04	77.57	310
M _{Ma}	40.37	78.64	-33.5	85.48	337
N _{Ma}	11.58	0.0	0.0	0.0	0
W _{Ma}	95.02	0.0	0.0	0.0	0
R _{Ma}	39.92	58.74	27.99	65.07	25
J _{Ma}	81.26	-2.89	71.56	71.62	92
G _{Ma}	52.23	-42.42	13.6	44.55	162
B _{Ma}	30.57	1.41	-46.47	46.49	272

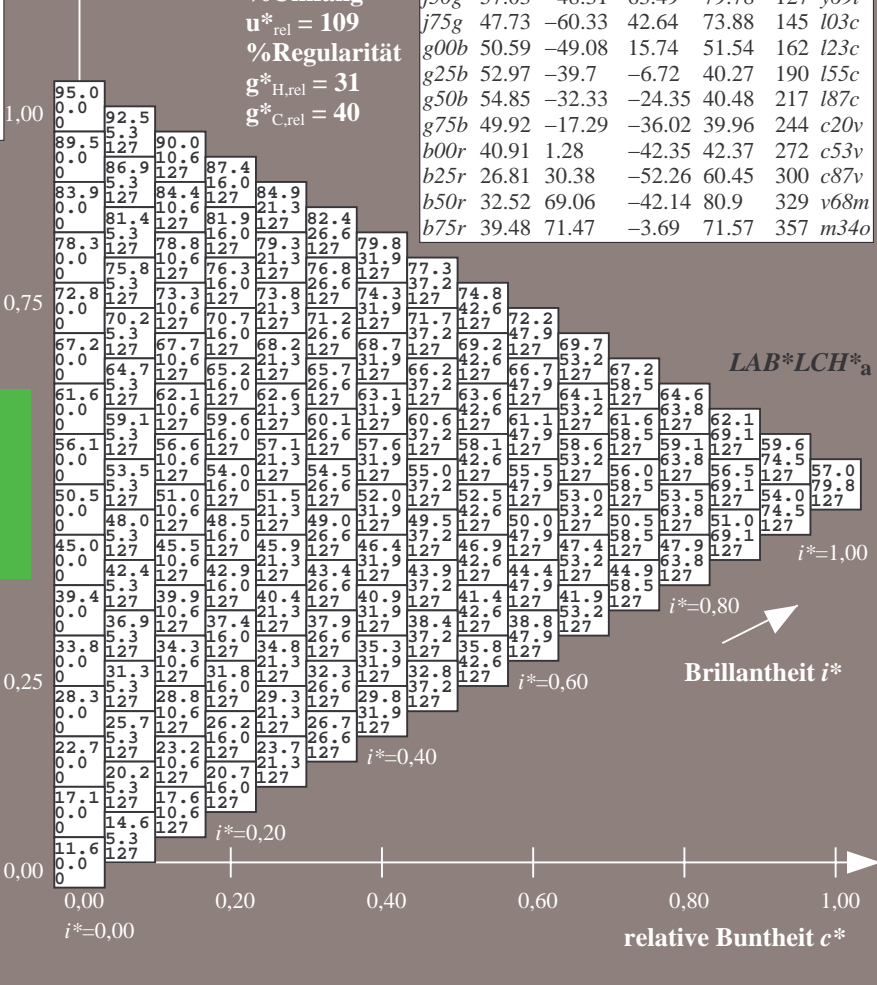
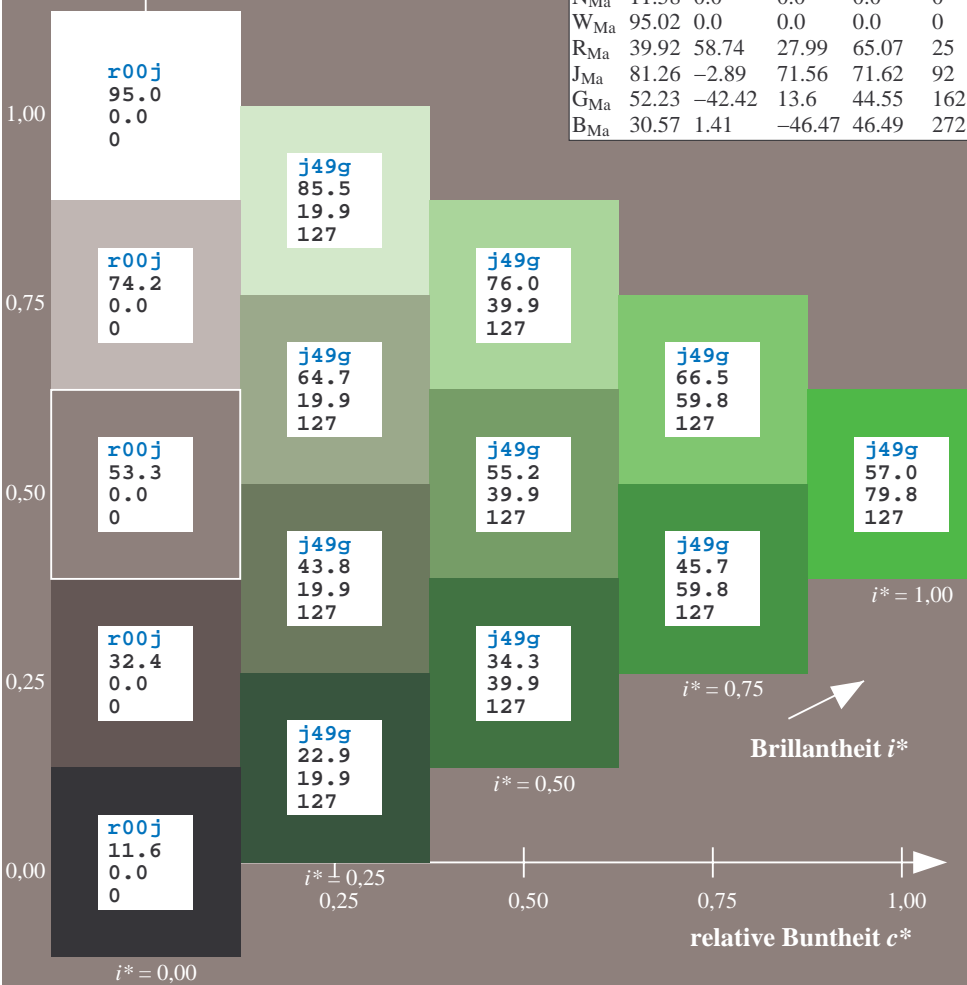
Daten für Maximalfarbe (Ma):

$LAB^*LAB^*_{Ma}: 57 -48 63$
 $LAB^*LCH^*_{Ma}: 57 80 127$
 $lab^*rgb^*_{Ma}: 0.5 1.0 0.0$
 $lab^*olv^*_{Ma}: 0.3 1.0 0.0$

FRS12_95a; adaptierte CIELAB-Daten

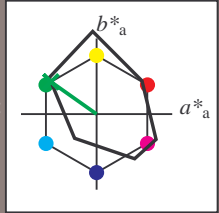
u^*_e	$L^*=L^*_a$	a^*_a	b^*_a	$C^*_{ab,a}$	$h^*_{ab,a}$	u^*_d
r00j	38.47	63.32	30.17	70.15	25	m81o
r25j	42.12	54.56	49.45	73.64	42	o10y
r50j	53.64	39.15	64.89	75.79	59	o40y
r75j	67.01	21.26	82.83	85.52	76	o69y
j00g	86.18	-4.38	108.53	108.62	92	o98y
j25g	69.73	-29.89	83.06	88.28	110	y34l
j50g	57.03	-48.31	63.49	79.78	127	y69l
j75g	47.73	-60.33	42.64	73.88	145	i03c
g00b	50.59	-49.08	15.74	51.54	162	i23c
g25b	52.97	-39.7	-6.72	40.27	190	i55c
g50b	54.85	-32.33	-24.35	40.48	217	i87c
g75b	49.92	-17.29	-36.02	39.96	244	c20v
b00r	40.91	1.28	-42.35	42.37	272	c53v
b25r	26.81	30.38	-52.26	60.45	300	c87v
b50r	32.52	69.06	-42.14	80.9	329	v68m
b75r	39.48	71.47	-3.69	71.57	357	m34o

Dreiecks-Helligkeit t^*
 %Umfang
 $u^*_{rel} = 109$
 %Regularität
 $g^*_{H,rel} = 31$
 $g^*_{C,rel} = 40$



Ein und Ausgabe: Farbmimetrisches Drucker-Reflektiv-System FRS12_95a, $L^*=12_95$ für relative CIELAB-Bunton $h^* = lab^*h^* = h_{ab}/360 = 0.402$ $u^*_e = j75g$
 Daten für jede Farbe: lab^*tch^* und lab^*icu^* **LAB*LCH*_a**

Buntontexte:
 $u^*_e = j75g$ $u^*_d = l03c$
 Kontrastreduzierungsfaktor:
 $c_R = 1.0$
 Dreiecks-Helligkeit t^*



FRS12_95a; adaptierte CIELAB-Daten

	u^*_e	$L^*=L^*_a$	a^*_a	b^*_a	$C^*_{ab,a}$	$h^*_{ab,a}$
O _{Ma}	38.06	60.0	44.0	74.4	36	
Y _{Ma}	86.77	-5.17	109.32	109.44	93	
L _{Ma}	47.13	-62.67	48.24	79.09	142	
C _{Ma}	55.66	-29.14	-31.99	43.27	228	
V _{Ma}	17.15	50.3	-59.04	77.57	310	
M _{Ma}	40.37	78.64	-33.5	85.48	337	
N _{Ma}	11.58	0.0	0.0	0.0	0	
W _{Ma}	95.02	0.0	0.0	0.0	0	
R _{Ma}	39.92	58.74	27.99	65.07	25	
J _{Ma}	81.26	-2.89	71.56	71.62	92	
G _{Ma}	52.23	-42.42	13.6	44.55	162	
B _{Ma}	30.57	1.41	-46.47	46.49	272	

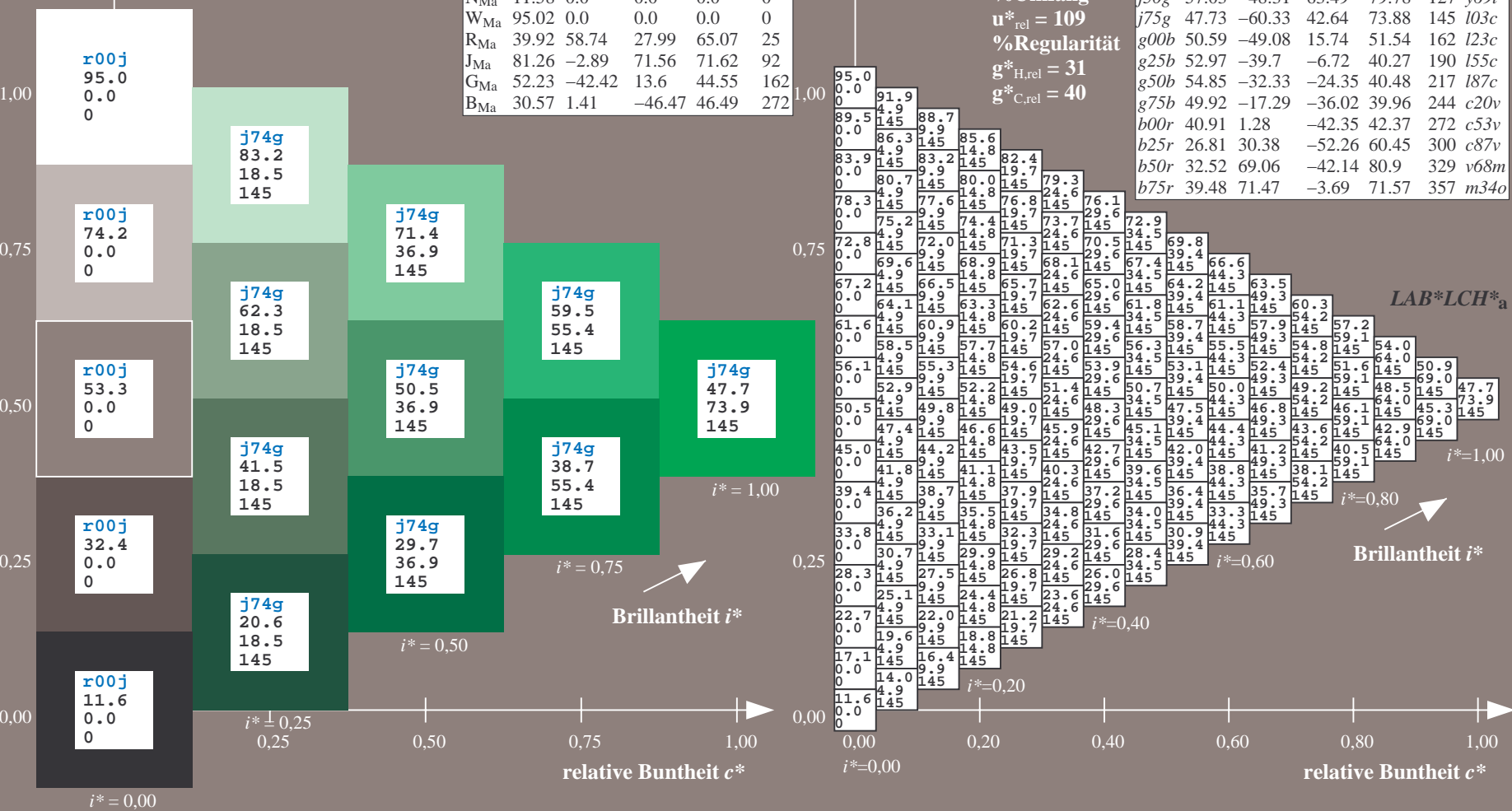
Daten für Maximalfarbe (Ma):

$LAB^*LAB^*_{Ma}$: 48 -60 43
 $LAB^*LCH^*_{Ma}$: 48 74 144
 $lab^*rgb^*_{Ma}$: 0.25 1.0 0.0
 $lab^*olv^*_{Ma}$: 0.0 1.0 0.03

FRS12_95a; adaptierte CIELAB-Daten

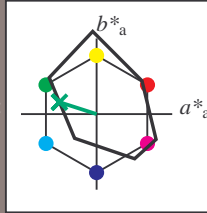
	u^*_e	$L^*=L^*_a$	a^*_a	b^*_a	$C^*_{ab,a}$	$h^*_{ab,a}$	u^*_d
r00j	38.47	63.32	30.17	70.15	25	m81o	
r25j	42.12	54.56	49.45	73.64	42	o10y	
r50j	53.64	39.15	64.89	75.79	59	o40y	
r75j	67.01	21.26	82.83	85.52	76	o69y	
j00g	86.18	-4.38	108.53	108.62	92	o98y	
j25g	69.73	-29.89	83.06	88.28	110	y34l	
j50g	57.03	-48.31	63.49	79.78	127	y69l	
j75g	47.73	-60.33	42.64	73.88	145	l03c	
g00b	50.59	-49.08	15.74	51.54	162	l23c	
g25b	52.97	-39.7	-6.72	40.27	190	l55c	
g50b	54.85	-32.33	-24.35	40.48	217	l87c	
g75b	49.92	-17.29	-36.02	39.96	244	c20v	
b00r	40.91	1.28	-42.35	42.37	272	c53v	
b25r	26.81	30.38	-52.26	60.45	300	c87v	
b50r	32.52	69.06	-42.14	80.9	329	v68m	
b75r	39.48	71.47	-3.69	71.57	357	m34o	

Dreiecks-Helligkeit t^*
 %Umfang
 $u^*_{rel} = 109$
 %Regularität
 $g^*_{H,rel} = 31$
 $g^*_{C,rel} = 40$



Ein und Ausgabe: Farbmatisches Drucker-Reflektiv-System FRS12_95a, $L^*=12_95$ für relativen CIELAB-Bunton $h^* = lab^*h^* = h_{ab}/360 = 0.451$ $u^*_e = g00b$
 Daten für jede Farbe: lab^*tch^* und lab^*icu^* **LAB*LCH*_a**

Buntontexte:
 $u^*_e = g00b$ $u^*_d = l23c$
 Kontrastreduzierungsfaktor:
 $c_R = 1.0$
 Dreiecks-Helligkeit t^*



FRS12_95a; adaptierte CIELAB-Daten

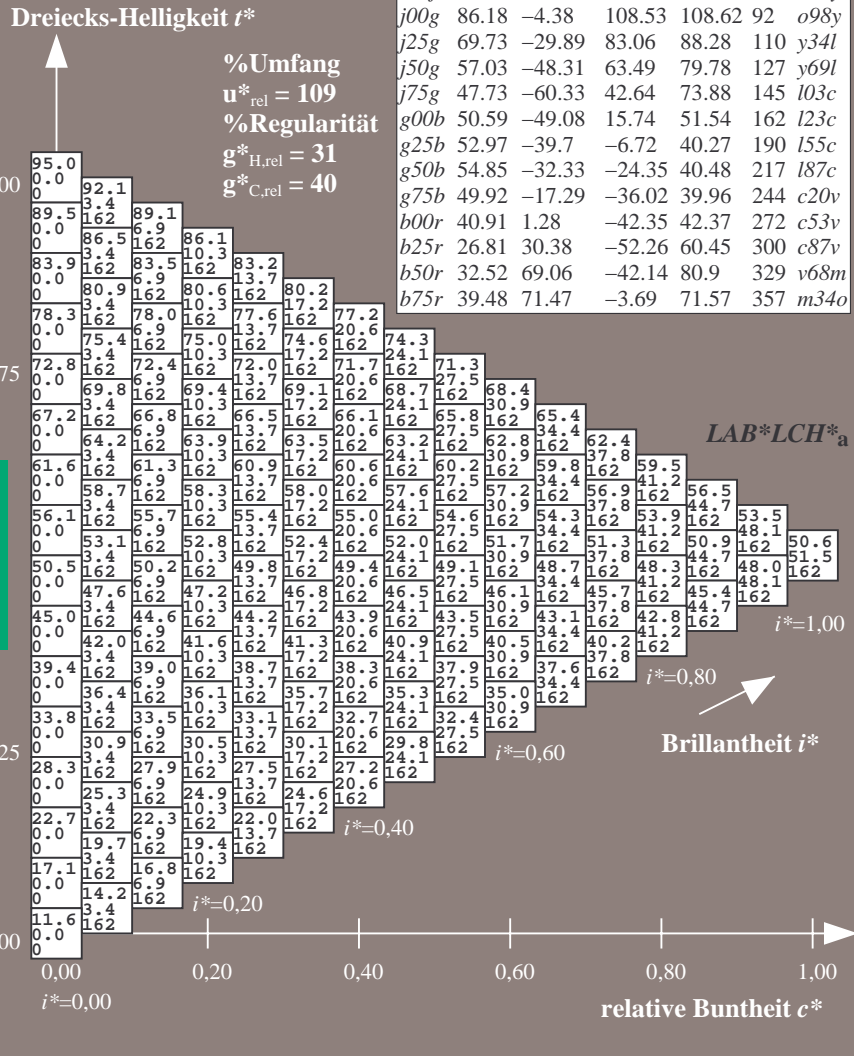
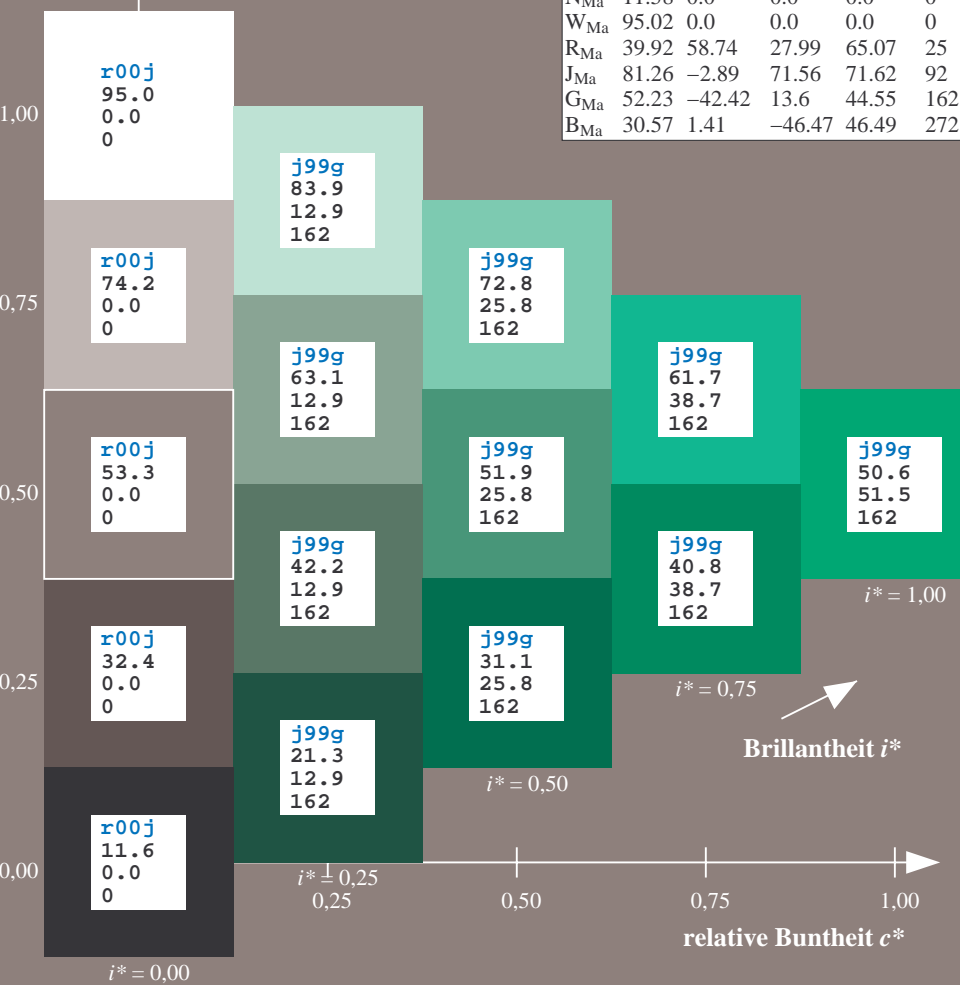
	u^*_e	$L^*=L^*_a$	a^*_a	b^*_a	$C^*_{ab,a}$	$h^*_{ab,a}$
O _{Ma}	38.06	60.0	44.0	74.4	36	
Y _{Ma}	86.77	-5.17	109.32	109.44	93	
L _{Ma}	47.13	-62.67	48.24	79.09	142	
C _{Ma}	55.66	-29.14	-31.99	43.27	228	
V _{Ma}	17.15	50.3	-59.04	77.57	310	
M _{Ma}	40.37	78.64	-33.5	85.48	337	
N _{Ma}	11.58	0.0	0.0	0.0	0	
W _{Ma}	95.02	0.0	0.0	0.0	0	
R _{Ma}	39.92	58.74	27.99	65.07	25	
J _{Ma}	81.26	-2.89	71.56	71.62	92	
G _{Ma}	52.23	-42.42	13.6	44.55	162	
B _{Ma}	30.57	1.41	-46.47	46.49	272	

Daten für Maximalfarbe (Ma):

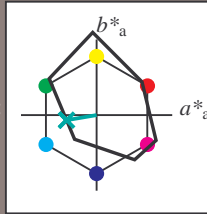
$LAB^*LAB^*_Ma: 51 -49 16$
 $LAB^*LCH^*_Ma: 51 52 162$
 $lab^*rgb^*_Ma: 0.0 1.0 0.0$
 $lab^*olv^*_Ma: 0.0 1.0 0.23$

FRS12_95a; adaptierte CIELAB-Daten

	u^*_e	$L^*=L^*_a$	a^*_a	b^*_a	$C^*_{ab,a}$	$h^*_{ab,a}$	u^*_d
r00j	38.47	63.32	30.17	70.15	25	m81o	
r25j	42.12	54.56	49.45	73.64	42	o10y	
r50j	53.64	39.15	64.89	75.79	59	o40y	
r75j	67.01	21.26	82.83	85.52	76	o69y	
j00g	86.18	-4.38	108.53	108.62	92	o98y	
j25g	69.73	-29.89	83.06	88.28	110	y34l	
j50g	57.03	-48.31	63.49	79.78	127	y69l	
j75g	47.73	-60.33	42.64	73.88	145	l03c	
g00b	50.59	-49.08	15.74	51.54	162	l23c	
g25b	52.97	-39.7	-6.72	40.27	190	l55c	
g50b	54.85	-32.33	-24.35	40.48	217	l87c	
g75b	49.92	-17.29	-36.02	39.96	244	c20v	
b00r	40.91	1.28	-42.35	42.37	272	c53v	
b25r	26.81	30.38	-52.26	60.45	300	c87v	
b50r	32.52	69.06	-42.14	80.9	329	v68m	
b75r	39.48	71.47	-3.69	71.57	357	m34o	



Ein und Ausgabe: Farbmimetrisches Drucker-Reflektiv-System FRS12_95a, $L^*=12_95$ für relative CIELAB-Bunton $h^* = lab^*h^* = h_{ab}/360 = 0.527$ $u^*_e = g25b$
 Daten für jede Farbe: lab^*ch^* und lab^*icu^*
Buntontexte:
 $u^*_e = g25b$ $u^*_d = l55c$
Kontrastreduzierungsfaktor:
 $c_R = 1.0$
Dreiecks-Helligkeit t^*



FRS12_95a; adaptierte CIELAB-Daten

	u^*_e	$L^*=L^*_a$	a^*_a	b^*_a	$C^*_{ab,a}$	$h^*_{ab,a}$
O _{Ma}	38.06	60.0	44.0	74.4	36	
Y _{Ma}	86.77	-5.17	109.32	109.44	93	
L _{Ma}	47.13	-62.67	48.24	79.09	142	
C _{Ma}	55.66	-29.14	-31.99	43.27	228	
V _{Ma}	17.15	50.3	-59.04	77.57	310	
M _{Ma}	40.37	78.64	-33.5	85.48	337	
N _{Ma}	11.58	0.0	0.0	0.0	0	
W _{Ma}	95.02	0.0	0.0	0.0	0	
R _{Ma}	39.92	58.74	27.99	65.07	25	
J _{Ma}	81.26	-2.89	71.56	71.62	92	
G _{Ma}	52.23	-42.42	13.6	44.55	162	
B _{Ma}	30.57	1.41	-46.47	46.49	272	

Daten für Maximalfarbe (Ma):

$LAB^*LAB^*_{Ma}: 53 -40 -7$

$LAB^*LCH^*_{Ma}: 53 40 189$

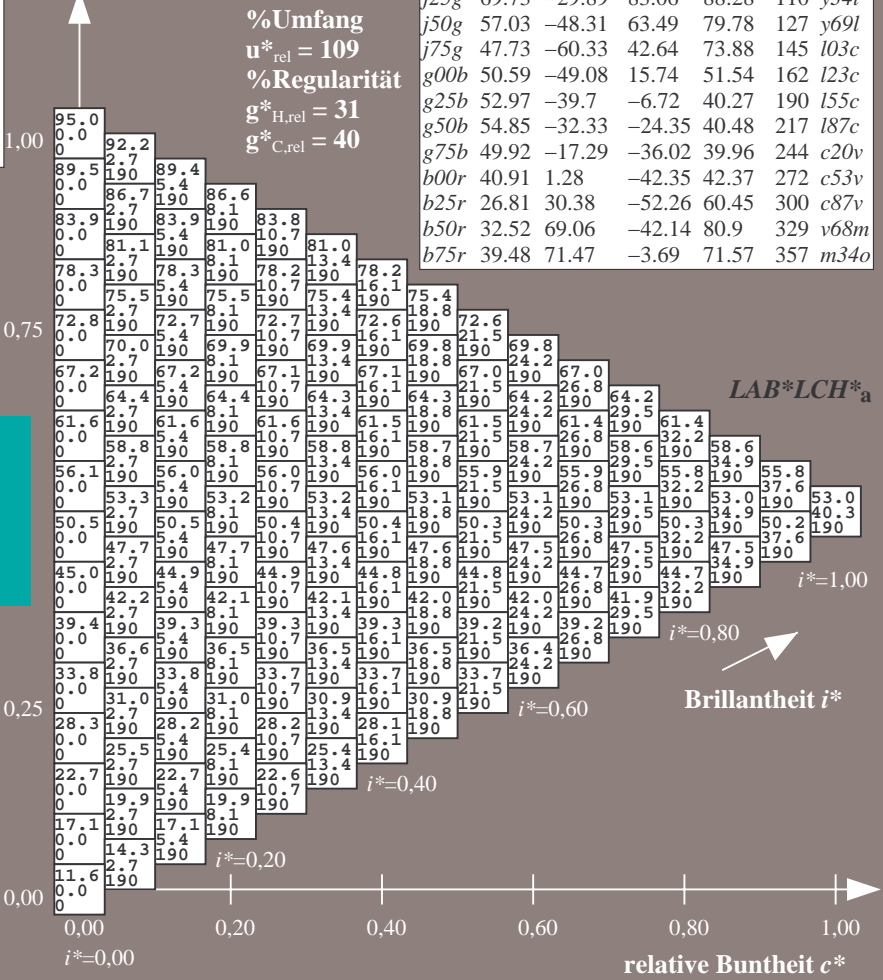
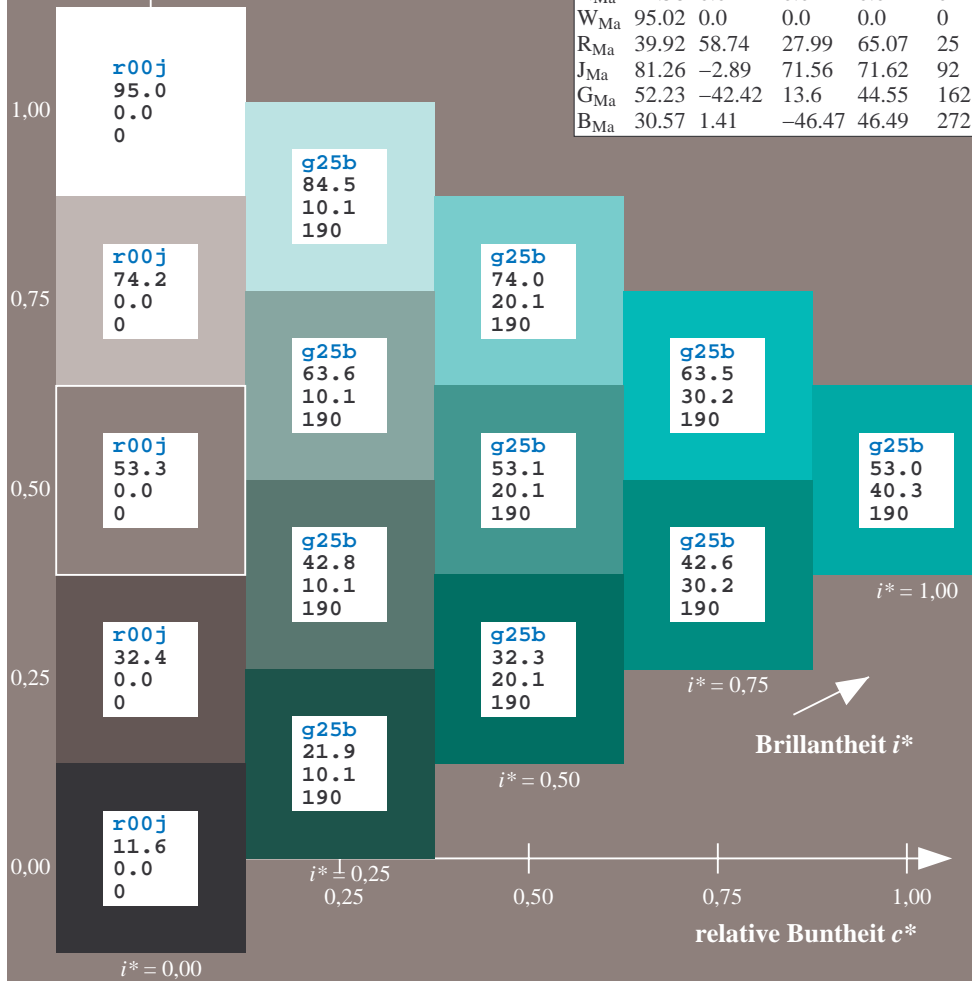
$lab^*rgb^*_{Ma}: 0.0 1.0 0.5$

$lab^*olv^*_{Ma}: 0.0 1.0 0.55$

Dreiecks-Helligkeit t^*

FRS12_95a; adaptierte CIELAB-Daten

	u^*_e	$L^*=L^*_a$	a^*_a	b^*_a	$C^*_{ab,a}$	$h^*_{ab,a}$	u^*_d
r00j	38.47	63.32	30.17	70.15	25	m81o	
r25j	42.12	54.56	49.45	73.64	42	o10y	
r50j	53.64	39.15	64.89	75.79	59	o40y	
r75j	67.01	21.26	82.83	85.52	76	o69y	
j00g	86.18	-4.38	108.53	108.62	92	o98y	
j25g	69.73	-29.89	83.06	88.28	110	y34l	
j50g	57.03	-48.31	63.49	79.78	127	y69l	
j75g	47.73	-60.33	42.64	73.88	145	l03c	
g00b	50.59	-49.08	15.74	51.54	162	l23c	
g25b	52.97	-39.7	-6.72	40.27	190	l55c	
g50b	54.85	-32.33	-24.35	40.48	217	l87c	
g75b	49.92	-17.29	-36.02	39.96	244	c20v	
b00r	40.91	1.28	-42.35	42.37	272	c53v	
b25r	26.81	30.38	-52.26	60.45	300	c87v	
b50r	32.52	69.06	-42.14	80.9	329	v68m	
b75r	39.48	71.47	-3.69	71.57	357	m34o	



%Umfang
 $u^*_{rel} = 109$
 %Regularität
 $g^*_{H,rel} = 31$
 $g^*_{C,rel} = 40$

Ein und Ausgabe: Farbmatisches Drucker-Reflektiv-System FRS12_95a, $L^*=12_95$ für relativen CIELAB-Bunton $h^* = lab^*h^* = h_{ab}/360 = 0.603$ $u^*_e = g50b$

Daten für jede Farbe:

lab^*tch^* und lab^*icu^*

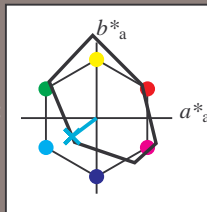
Buntontexte:

$u^*_e = g50b$ $u^*_d = l87c$

Kontrastreduzierungsfaktor:

$c_R = 1.0$

Dreiecks-Helligkeit t^*



FRS12_95a; adaptierte CIELAB-Daten

	u^*_e	$L^*=L^*_a$	a^*_a	b^*_a	$C^*_{ab,a}$	$h^*_{ab,a}$
O _{Ma}	38.06	60.0	44.0	74.4	36	
Y _{Ma}	86.77	-5.17	109.32	109.44	93	
L _{Ma}	47.13	-62.67	48.24	79.09	142	
C _{Ma}	55.66	-29.14	-31.99	43.27	228	
V _{Ma}	17.15	50.3	-59.04	77.57	310	
M _{Ma}	40.37	78.64	-33.5	85.48	337	
N _{Ma}	11.58	0.0	0.0	0.0	0	
W _{Ma}	95.02	0.0	0.0	0.0	0	
R _{Ma}	39.92	58.74	27.99	65.07	25	
J _{Ma}	81.26	-2.89	71.56	71.62	92	
G _{Ma}	52.23	-42.42	13.6	44.55	162	
B _{Ma}	30.57	1.41	-46.47	46.49	272	

Daten für Maximalfarbe (Ma):

$LAB^*LAB^*_Ma: 55 -32 -24$

$LAB^*LCH^*_Ma: 55 40 216$

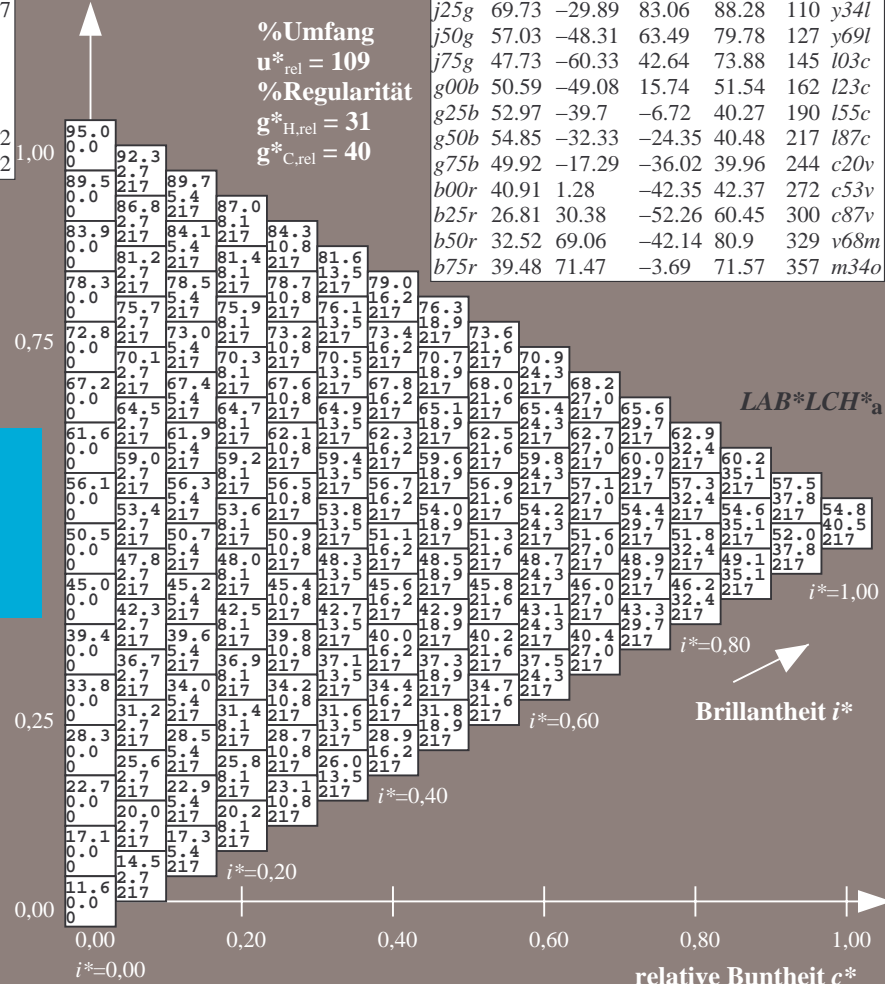
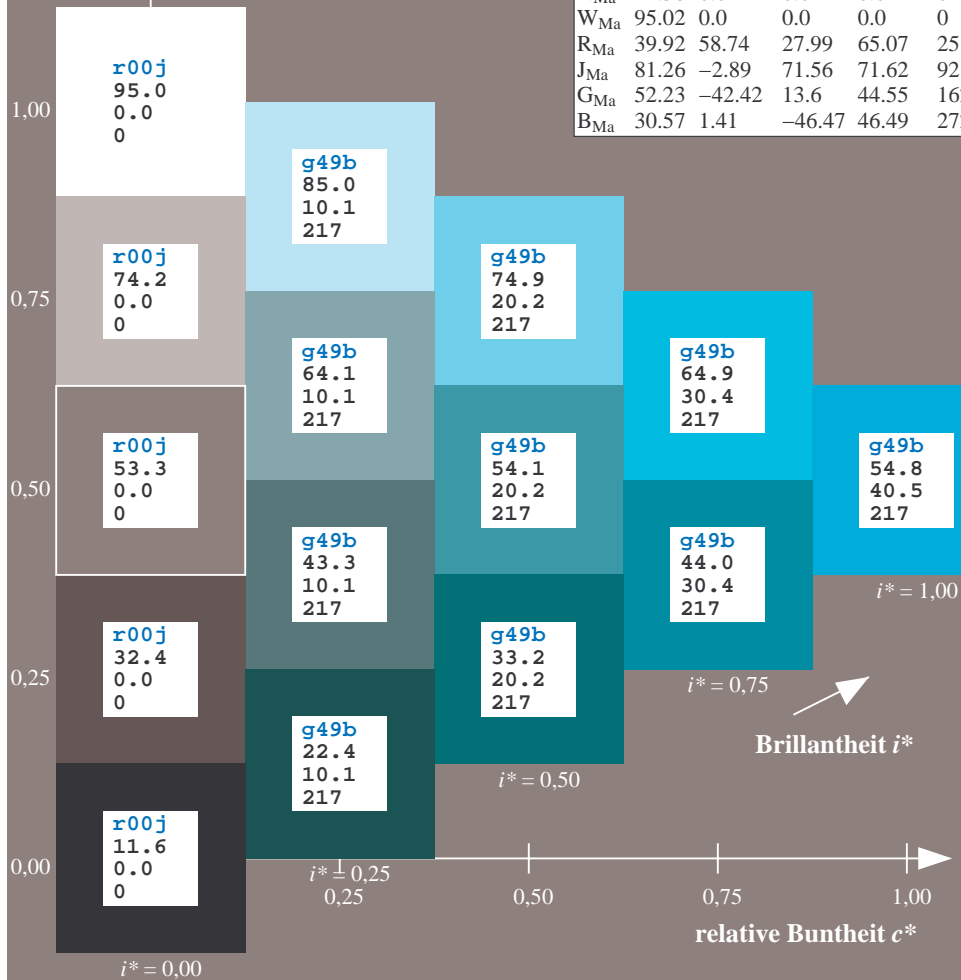
$lab^*rgb^*_Ma: 0.0 1.0 1.0$

$lab^*olv^*_Ma: 0.0 1.0 0.87$

Dreiecks-Helligkeit t^*

FRS12_95a; adaptierte CIELAB-Daten

	u^*_e	$L^*=L^*_a$	a^*_a	b^*_a	$C^*_{ab,a}$	$h^*_{ab,a}$	u^*_d
r00j	38.47	63.32	30.17	70.15	25	m81o	
r25j	42.12	54.56	49.45	73.64	42	o10y	
r50j	53.64	39.15	64.89	75.79	59	o40y	
r75j	67.01	21.26	82.83	85.52	76	o69y	
j00g	86.18	-4.38	108.53	108.62	92	o98y	
j25g	69.73	-29.89	83.06	88.28	110	y34l	
j50g	57.03	-48.31	63.49	79.78	127	y69l	
j75g	47.73	-60.33	42.64	73.88	145	103c	
g00b	50.59	-49.08	15.74	51.54	162	l23c	
g25b	52.97	-39.7	-6.72	40.27	190	l55c	
g50b	54.85	-32.33	-24.35	40.48	217	l87c	
g75b	49.92	-17.29	-36.02	39.96	244	c20v	
b00r	40.91	1.28	-42.35	42.37	272	c53v	
b25r	26.81	30.38	-52.26	60.45	300	c87v	
b50r	32.52	69.06	-42.14	80.9	329	v68m	
b75r	39.48	71.47	-3.69	71.57	357	m34o	



Ein und Ausgabe: Farbmatisches Drucker-Reflektiv-System FRS12_95a, $L^*=12_95$ für relativen CIELAB-Bunton $h^* = lab^*h^* = h_{ab}/360 = 0.679$ $u^*_e = g75b$

Daten für jede Farbe:

lab^*tch^* und lab^*icu^*

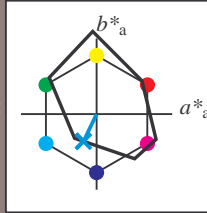
Buntontexte:

$u^*_e = g75b$ $u^*_d = c20v$

Kontrastreduzierungsfaktor:

$c_R = 1.0$

Dreiecks-Helligkeit t^*



FRS12_95a; adaptierte CIELAB-Daten

	u^*_e	$L^*=L^*_a$	a^*_a	b^*_a	$C^*_{ab,a}$	$h^*_{ab,a}$
O _{Ma}	38.06	60.0	44.0	74.4	36	
Y _{Ma}	86.77	-5.17	109.32	109.44	93	
L _{Ma}	47.13	-62.67	48.24	79.09	142	
C _{Ma}	55.66	-29.14	-31.99	43.27	228	
V _{Ma}	17.15	50.3	-59.04	77.57	310	
M _{Ma}	40.37	78.64	-33.5	85.48	337	
N _{Ma}	11.58	0.0	0.0	0.0	0	
W _{Ma}	95.02	0.0	0.0	0.0	0	
R _{Ma}	39.92	58.74	27.99	65.07	25	
J _{Ma}	81.26	-2.89	71.56	71.62	92	
G _{Ma}	52.23	-42.42	13.6	44.55	162	
B _{Ma}	30.57	1.41	-46.47	46.49	272	

Daten für Maximalfarbe (Ma):

$LAB^*LAB^*_{Ma}$: 50 -17 -36

$LAB^*LCH^*_{Ma}$: 50 40 244

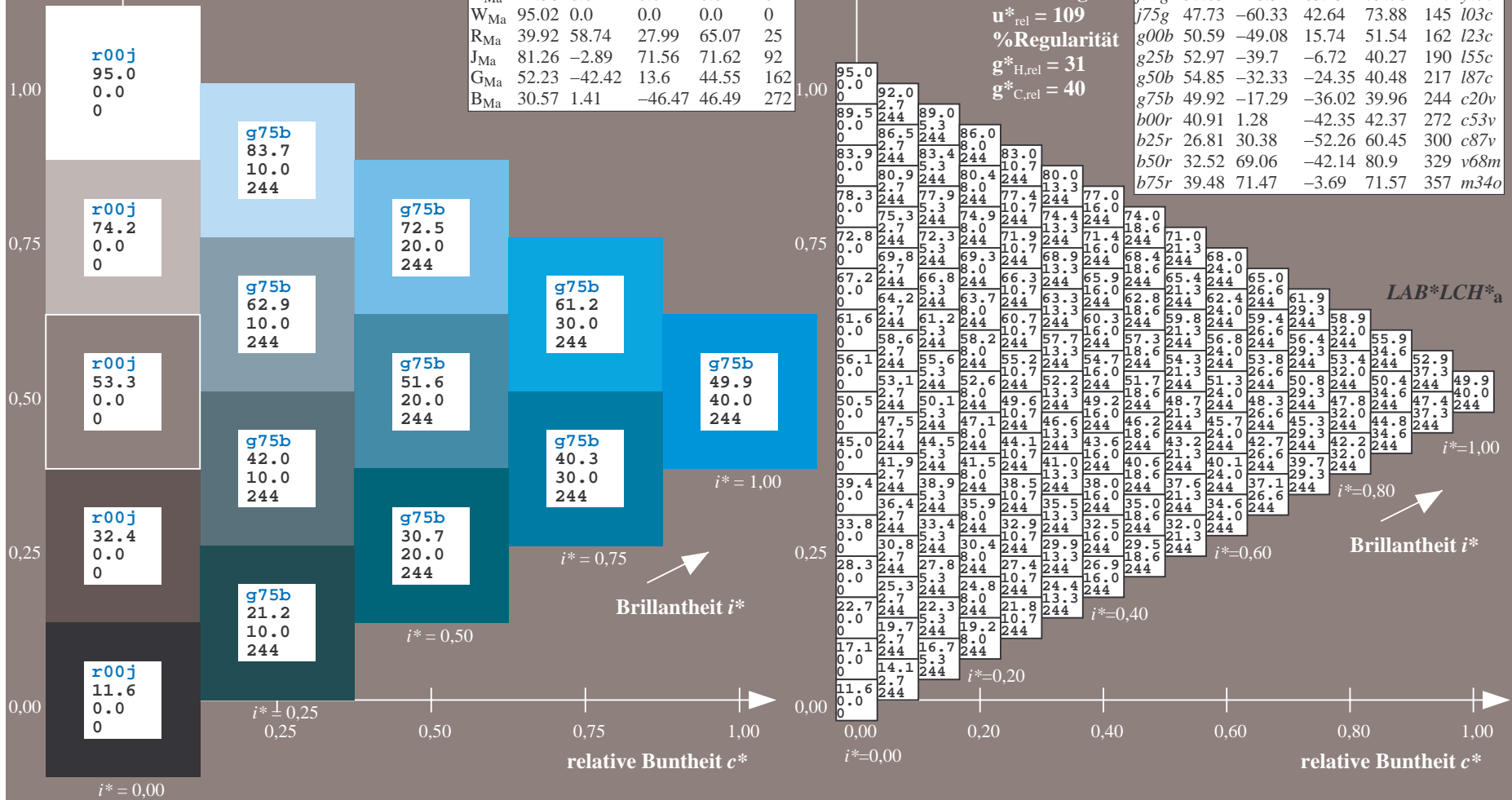
$lab^*rgb^*_{Ma}$: 0.0 0.5 1.0

$lab^*olv^*_{Ma}$: 0.0 0.8 1.0

Dreiecks-Helligkeit t^*

FRS12_95a; adaptierte CIELAB-Daten

	u^*_e	$L^*=L^*_a$	a^*_a	b^*_a	$C^*_{ab,a}$	$h^*_{ab,a}$	u^*_d
r00j	38.47	63.32	30.17	70.15	25	m81o	
r25j	42.12	54.56	49.45	73.64	42	o10y	
r50j	53.64	39.15	64.89	75.79	59	o40y	
r75j	67.01	21.26	82.83	85.52	76	o69y	
j00g	86.18	-4.38	108.53	108.62	92	o98y	
j25g	69.73	-29.89	83.06	88.28	110	y34l	
j50g	57.03	-48.31	63.49	79.78	127	y69l	
j75g	47.73	-60.33	42.64	73.88	145	l03c	
g00b	50.59	-49.08	15.74	51.54	162	l23c	
g25b	52.97	-39.7	-6.72	40.27	190	l55c	
g50b	54.85	-32.33	-24.35	40.48	217	l87c	
g75b	49.92	-17.29	-36.02	39.96	244	c20v	
b00r	40.91	1.28	-42.35	42.37	272	c53v	
b25r	26.81	30.38	-52.26	60.45	300	c87v	
b50r	32.52	69.06	-42.14	80.9	329	v68m	
b75r	39.48	71.47	-3.69	71.57	357	m34o	



Fg640-7A, Seite 103/198

Ein und Ausgabe: Farbmatisches Drucker-Reflektiv-System FRS12_95a, $L^*=12_95$ für relative CIELAB-Bunton $h^* = lab^*h^* = h_{ab}/360 = 0.755$ $u^*_e = b00r$

Daten für jede Farbe:

lab^*tch^* und lab^*icu^*

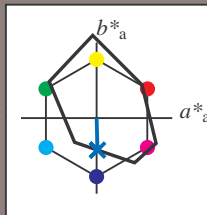
Buntontexte:

$u^*_e = b00r$ $u^*_d = c53v$

Kontrastreduzierungsfaktor:

$c_R = 1.0$

Dreiecks-Helligkeit t^*



FRS12_95a; adaptierte CIELAB-Daten

	u^*_e	$L^*=L^*_a$	a^*_a	b^*_a	$C^*_{ab,a}$	$h^*_{ab,a}$
O _{Ma}	38.06	60.0	44.0	74.4	36	
Y _{Ma}	86.77	-5.17	109.32	109.44	93	
L _{Ma}	47.13	-62.67	48.24	79.09	142	
C _{Ma}	55.66	-29.14	-31.99	43.27	228	
V _{Ma}	17.15	50.3	-59.04	77.57	310	
M _{Ma}	40.37	78.64	-33.5	85.48	337	
N _{Ma}	11.58	0.0	0.0	0.0	0	
W _{Ma}	95.02	0.0	0.0	0.0	0	
R _{Ma}	39.92	58.74	27.99	65.07	25	
J _{Ma}	81.26	-2.89	71.56	71.62	92	
G _{Ma}	52.23	-42.42	13.6	44.55	162	
B _{Ma}	30.57	1.41	-46.47	46.49	272	

Daten für Maximalfarbe (Ma):

$LAB^*LAB^*_{Ma}$: 41 1 -42

$LAB^*LCH^*_{Ma}$: 41 42 271

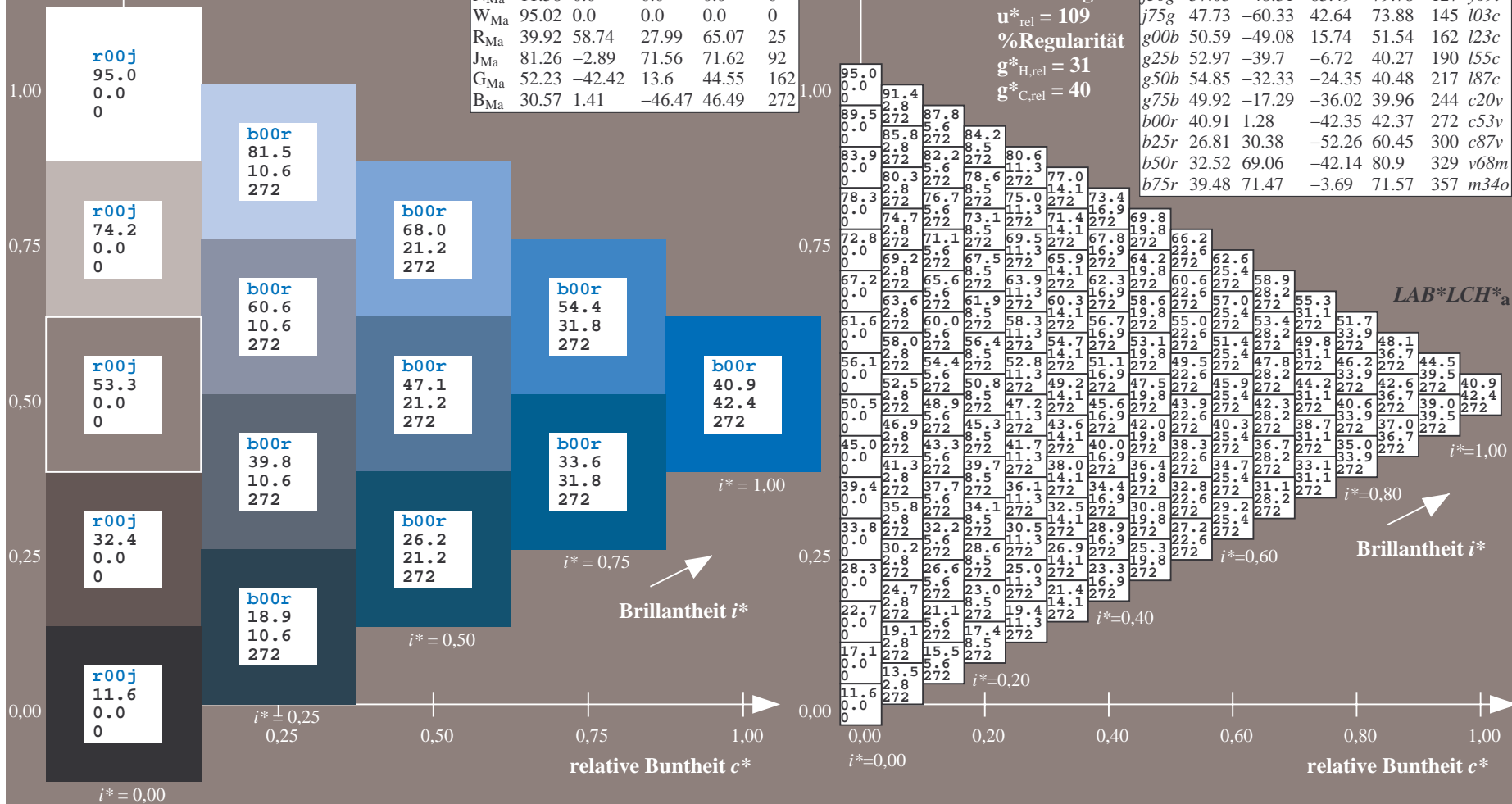
$lab^*rgb^*_{Ma}$: 0.0 0.0 1.0

$lab^*olv^*_{Ma}$: 0.0 0.47 1.0

Dreiecks-Helligkeit t^*

FRS12_95a; adaptierte CIELAB-Daten

	u^*_e	$L^*=L^*_a$	a^*_a	b^*_a	$C^*_{ab,a}$	$h^*_{ab,a}$	u^*_d
r00j	38.47	63.32	30.17	70.15	25	m81o	
r25j	42.12	54.56	49.45	73.64	42	o10y	
r50j	53.64	39.15	64.89	75.79	59	o40y	
r75j	67.01	21.26	82.83	85.52	76	o69y	
j00g	86.18	-4.38	108.53	108.62	92	o98y	
j25g	69.73	-29.89	83.06	88.28	110	y34l	
j50g	57.03	-48.31	63.49	79.78	127	y69l	
j75g	47.73	-60.33	42.64	73.88	145	i03c	
g00b	50.59	-49.08	15.74	51.54	162	l23c	
g25b	52.97	-39.7	-6.72	40.27	190	i55c	
g50b	54.85	-32.33	-24.35	40.48	217	i87c	
g75b	49.92	-17.29	-36.02	39.96	244	c20v	
b00r	40.91	1.28	-42.35	42.37	272	c53v	
b25r	26.81	30.38	-52.26	60.45	300	c87v	
b50r	32.52	69.06	-42.14	80.9	329	v68m	
b75r	39.48	71.47	-3.69	71.57	357	m34o	



Ein und Ausgabe: Farbmatisches Drucker-Reflektiv-System FRS12_95a, $L^*=12_95$ für relative CIELAB-Bunton $h^* = lab^*h^* = h_{ab}/360 = 0.834$ $u^*_e = b25r$

Daten für jede Farbe:

lab^*tch^* und lab^*icu^*

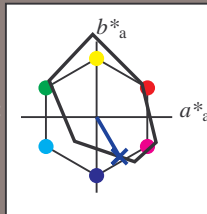
Buntontexte:

$u^*_e = b25r$ $u^*_d = c87v$

Kontrastreduzierungsfaktor:

$c_R = 1.0$

Dreiecks-Helligkeit t^*



FRS12_95a; adaptierte CIELAB-Daten

	u^*_e	$L^*=L^*_a$	a^*_a	b^*_a	$C^*_{ab,a}$	$h^*_{ab,a}$
O _{Ma}	38.06	60.0	44.0	74.4	36	
Y _{Ma}	86.77	-5.17	109.32	109.44	93	
L _{Ma}	47.13	-62.67	48.24	79.09	142	
C _{Ma}	55.66	-29.14	-31.99	43.27	228	
V _{Ma}	17.15	50.3	-59.04	77.57	310	
M _{Ma}	40.37	78.64	-33.5	85.48	337	
N _{Ma}	11.58	0.0	0.0	0.0	0	
W _{Ma}	95.02	0.0	0.0	0.0	0	
R _{Ma}	39.92	58.74	27.99	65.07	25	
J _{Ma}	81.26	-2.89	71.56	71.62	92	
G _{Ma}	52.23	-42.42	13.6	44.55	162	
B _{Ma}	30.57	1.41	-46.47	46.49	272	

Daten für Maximalfarbe (Ma):

$LAB^*LAB^*_{Ma}: 27\ 30\ -52$

$LAB^*LCH^*_{Ma}: 27\ 60\ 300$

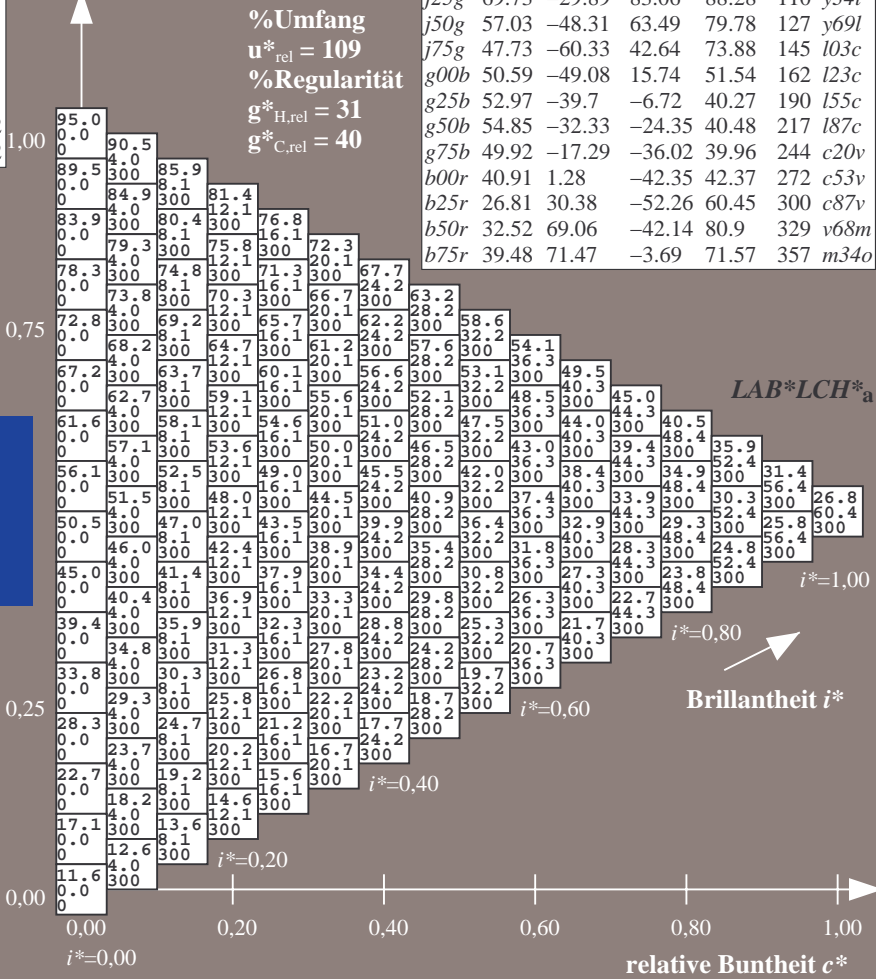
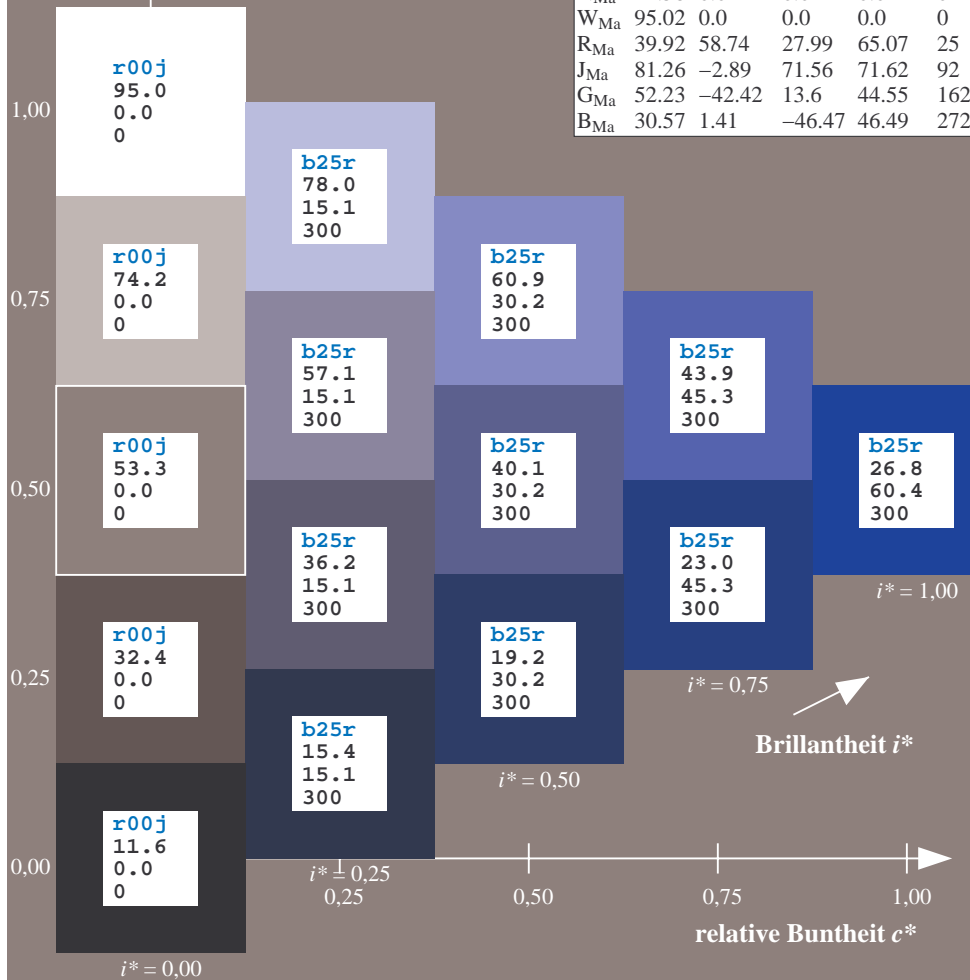
$lab^*rgb^*_{Ma}: 0.5\ 0.0\ 1.0$

$lab^*olv^*_{Ma}: 0.0\ 0.12\ 1.0$

Dreiecks-Helligkeit t^*

FRS12_95a; adaptierte CIELAB-Daten

	u^*_e	$L^*=L^*_a$	a^*_a	b^*_a	$C^*_{ab,a}$	$h^*_{ab,a}$	u^*_d
r00j	38.47	63.32	30.17	70.15	25	m81o	
r25j	42.12	54.56	49.45	73.64	42	o10y	
r50j	53.64	39.15	64.89	75.79	59	o40y	
r75j	67.01	21.26	82.83	85.52	76	o69y	
j00g	86.18	-4.38	108.53	108.62	92	o98y	
j25g	69.73	-29.89	83.06	88.28	110	y34l	
j50g	57.03	-48.31	63.49	79.78	127	y69l	
j75g	47.73	-60.33	42.64	73.88	145	i03c	
g00b	50.59	-49.08	15.74	51.54	162	i23c	
g25b	52.97	-39.7	-6.72	40.27	190	i55c	
g50b	54.85	-32.33	-24.35	40.48	217	i87c	
g75b	49.92	-17.29	-36.02	39.96	244	c20v	
b00r	40.91	1.28	-42.35	42.37	272	c53v	
b25r	26.81	30.38	-52.26	60.45	300	c87v	
b50r	32.52	69.06	-42.14	80.9	329	v68m	
b75r	39.48	71.47	-3.69	71.57	357	m34o	



Ein und Ausgabe: Farbmatisches Drucker-Reflektiv-System FRS12_95a, $L^*=12_95$ für relativen CIELAB-Bunton $h^* = lab^*h^* = h_{ab}/360 = 0.913$ $u^*_e = b50r$

Daten für jede Farbe:

lab^*tch^* und lab^*icu^*

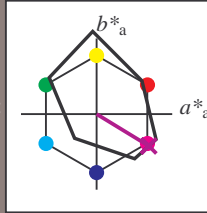
Buntontexte:

$u^*_e = b50r$ $u^*_d = v68m$

Kontrastreduzierungsfaktor:

$c_R = 1.0$

Dreiecks-Helligkeit t^*



FRS12_95a; adaptierte CIELAB-Daten

u^*_e	$L^*=L^*_a$	a^*_a	b^*_a	$C^*_{ab,a}$	$h^*_{ab,a}$
O _{Ma}	38.06	60.0	44.0	74.4	36
Y _{Ma}	86.77	-5.17	109.32	109.44	93
L _{Ma}	47.13	-62.67	48.24	79.09	142
C _{Ma}	55.66	-29.14	-31.99	43.27	228
V _{Ma}	17.15	50.3	-59.04	77.57	310
M _{Ma}	40.37	78.64	-33.5	85.48	337
N _{Ma}	11.58	0.0	0.0	0.0	0
W _{Ma}	95.02	0.0	0.0	0.0	0
R _{Ma}	39.92	58.74	27.99	65.07	25
J _{Ma}	81.26	-2.89	71.56	71.62	92
G _{Ma}	52.23	-42.42	13.6	44.55	162
B _{Ma}	30.57	1.41	-46.47	46.49	272

Daten für Maximalfarbe (Ma):

$LAB^*LAB^*_Ma$: 33 69 -42

$LAB^*LCH^*_Ma$: 33 81 328

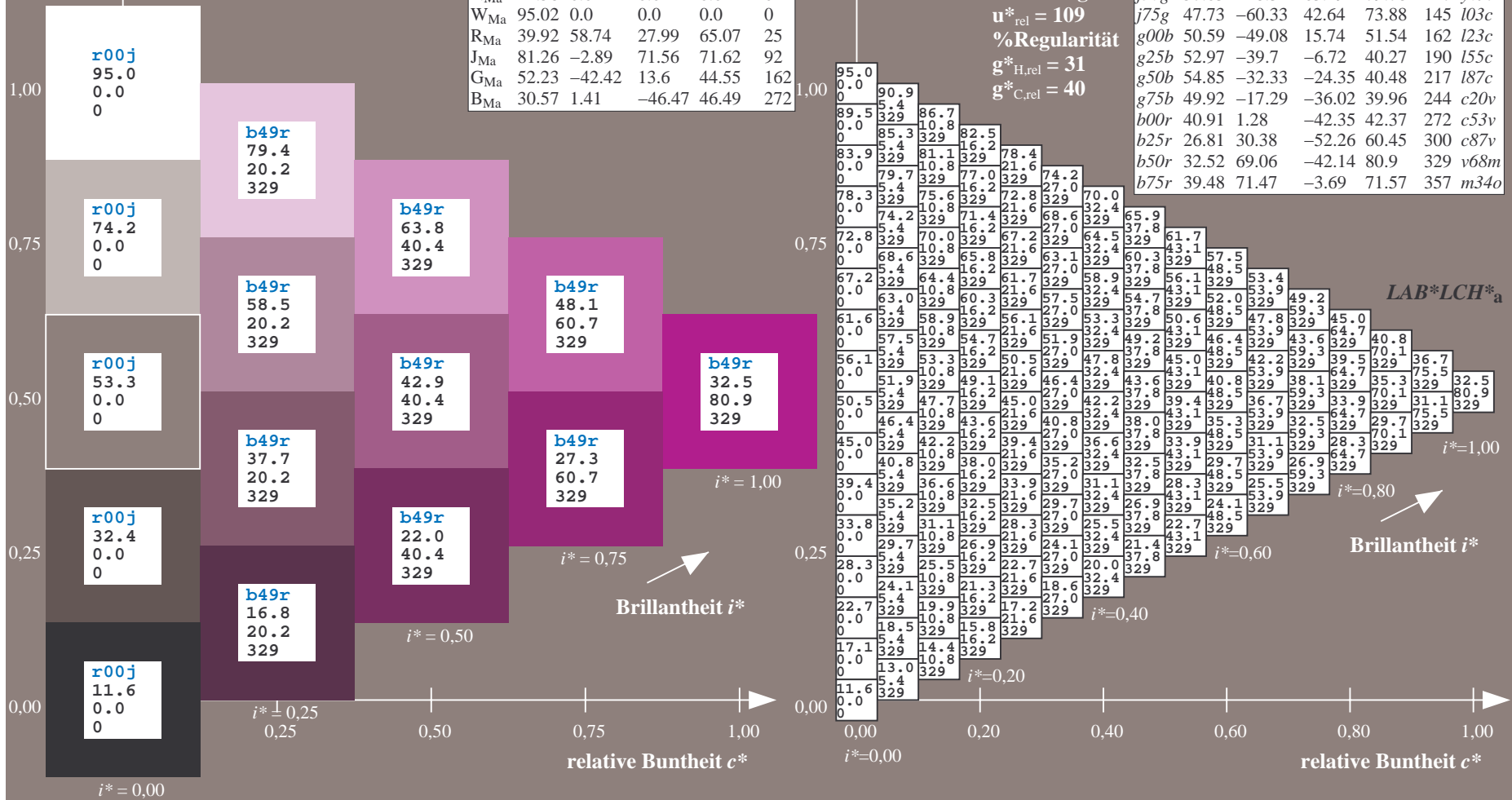
$lab^*rgb^*_Ma$: 1.0 0.0 1.0

$lab^*olv^*_Ma$: 0.69 0.0 1.0

Dreiecks-Helligkeit t^*

FRS12_95a; adaptierte CIELAB-Daten

u^*_e	$L^*=L^*_a$	a^*_a	b^*_a	$C^*_{ab,a}$	$h^*_{ab,a}$	u^*_d
r00j	38.47	63.32	30.17	70.15	25	m81o
r25j	42.12	54.56	49.45	73.64	42	o10y
r50j	53.64	39.15	64.89	75.79	59	o40y
r75j	67.01	21.26	82.83	85.52	76	o69y
j00g	86.18	-4.38	108.53	108.62	92	o98y
j25g	69.73	-29.89	83.06	88.28	110	y34l
j50g	57.03	-48.31	63.49	79.78	127	y69l
j75g	47.73	-60.33	42.64	73.88	145	l03c
g00b	50.59	-49.08	15.74	51.54	162	l23c
g25b	52.97	-39.7	-6.72	40.27	190	l55c
g50b	54.85	-32.33	-24.35	40.48	217	l87c
g75b	49.92	-17.29	-36.02	39.96	244	c20v
b00r	40.91	1.28	-42.35	42.37	272	c53v
b25r	26.81	30.38	-52.26	60.45	300	c87v
b50r	32.52	69.06	-42.14	80.9	329	v68m
b75r	39.48	71.47	-3.69	71.57	357	m34o



Ein und Ausgabe: Farbmatisches Drucker-Reflektiv-System FRS12_95a, $L^*=12_95$ für relativen CIELAB-Bunton $h^* = lab^*h^* = h_{ab}/360 = 0.992$ $u^*_e = b75r$

Daten für jede Farbe:

lab^*tch^* und lab^*icu^*

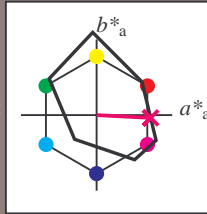
Buntontexte:

$u^*_e = b75r$ $u^*_d = m34o$

Kontrastreduzierungsfaktor:

$c_R = 1.0$

Dreiecks-Helligkeit t^*



FRS12_95a; adaptierte CIELAB-Daten

	u^*_e	$L^*=L^*_a$	a^*_a	b^*_a	$C^*_{ab,a}$	$h^*_{ab,a}$
O _{Ma}	38.06	60.0	44.0	74.4	36	
Y _{Ma}	86.77	-5.17	109.32	109.44	93	
L _{Ma}	47.13	-62.67	48.24	79.09	142	
C _{Ma}	55.66	-29.14	-31.99	43.27	228	
V _{Ma}	17.15	50.3	-59.04	77.57	310	
M _{Ma}	40.37	78.64	-33.5	85.48	337	
N _{Ma}	11.58	0.0	0.0	0.0	0	
W _{Ma}	95.02	0.0	0.0	0.0	0	
R _{Ma}	39.92	58.74	27.99	65.07	25	
J _{Ma}	81.26	-2.89	71.56	71.62	92	
G _{Ma}	52.23	-42.42	13.6	44.55	162	
B _{Ma}	30.57	1.41	-46.47	46.49	272	

Daten für Maximalfarbe (Ma):

$LAB^*LAB^*_{Ma}$: 39 71 -4

$LAB^*LCH^*_{Ma}$: 39 72 357

$lab^*rgb^*_{Ma}$: 1.0 0.0 0.5

$lab^*olv^*_{Ma}$: 1.0 0.0 0.66

Dreiecks-Helligkeit t^*

FRS12_95a; adaptierte CIELAB-Daten

	u^*_e	$L^*=L^*_a$	a^*_a	b^*_a	$C^*_{ab,a}$	$h^*_{ab,a}$	u^*_d
r00j	38.47	63.32	30.17	70.15	25	m81o	
r25j	42.12	54.56	49.45	73.64	42	o10y	
r50j	53.64	39.15	64.89	75.79	59	o40y	
r75j	67.01	21.26	82.83	85.52	76	o69y	
j00g	86.18	-4.38	108.53	108.62	92	o98y	
j25g	69.73	-29.89	83.06	88.28	110	y34l	
j50g	57.03	-48.31	63.49	79.78	127	y69l	
j75g	47.73	-60.33	42.64	73.88	145	l03c	
g00b	50.59	-49.08	15.74	51.54	162	l23c	
g25b	52.97	-39.7	-6.72	40.27	190	l55c	
g50b	54.85	-32.33	-24.35	40.48	217	l87c	
g75b	49.92	-17.29	-36.02	39.96	244	c20v	
b00r	40.91	1.28	-42.35	42.37	272	c53v	
b25r	26.81	30.38	-52.26	60.45	300	c87v	
b50r	32.52	69.06	-42.14	80.9	329	v68m	
b75r	39.48	71.47	-3.69	71.57	357	m34o	

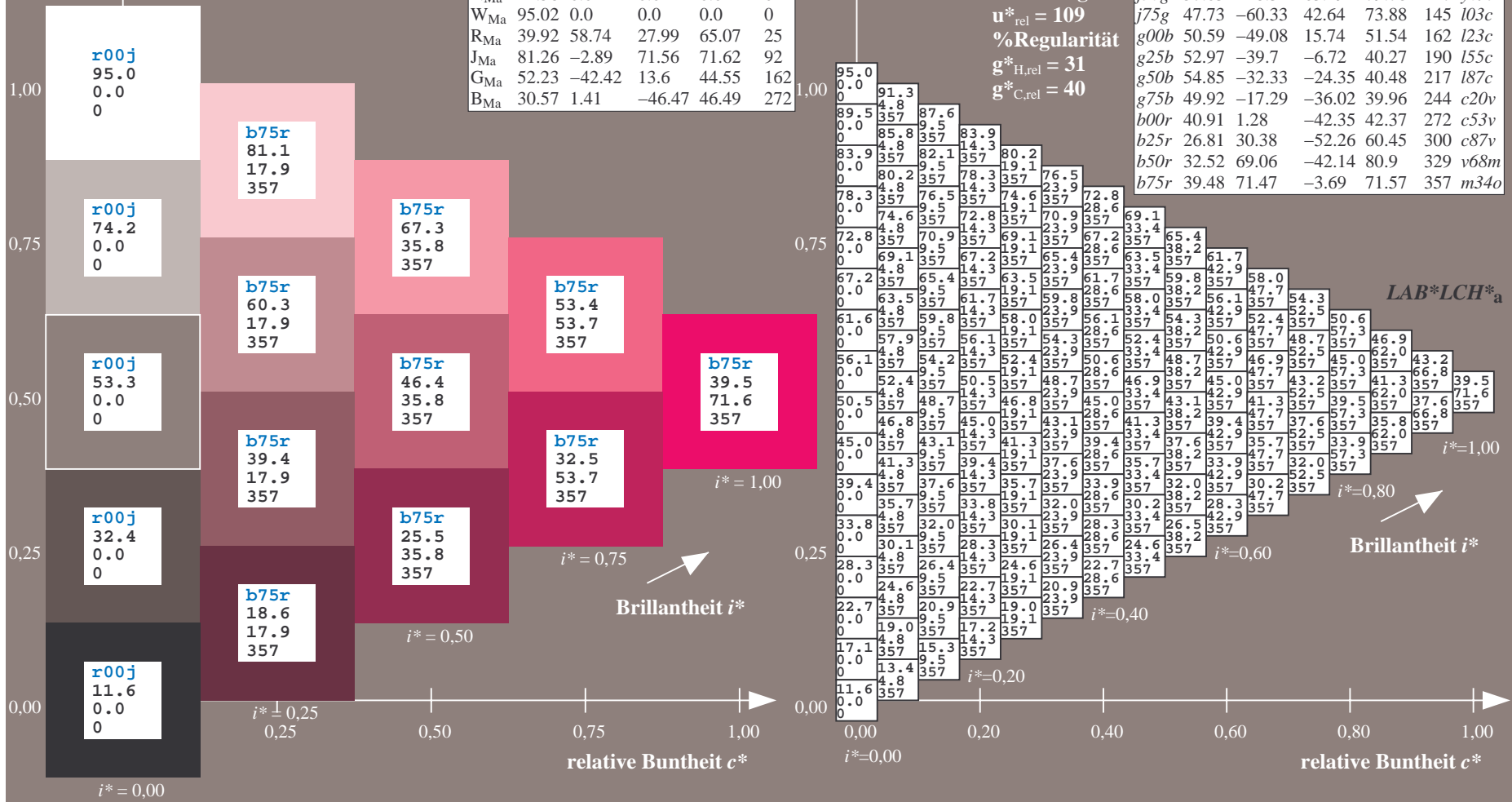


Table with columns A through a and rows 01 through 27. Each cell contains a numerical value. The last column is labeled 'LAB*LCH*a'. The table contains a grid of numbers ranging from approximately 0.0 to 95.0.

Ein und Ausgabe:
 Farbmetrisches Drucker-Reflektiv-System FRS12_95a

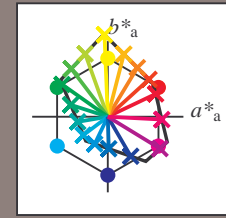
Daten für jede Farbe:
 u^*_e und Nummer $Nr. = 00 \dots 15$

Elementar-Bunttontext:
 $u^*_e = 16$ Bunttoene $r00j, r25j, \dots, b75r$

Kontrastreduzierungsfaktor:
 $c_R = 1.0$

FRS12_95a; adaptierte CIELAB-Daten

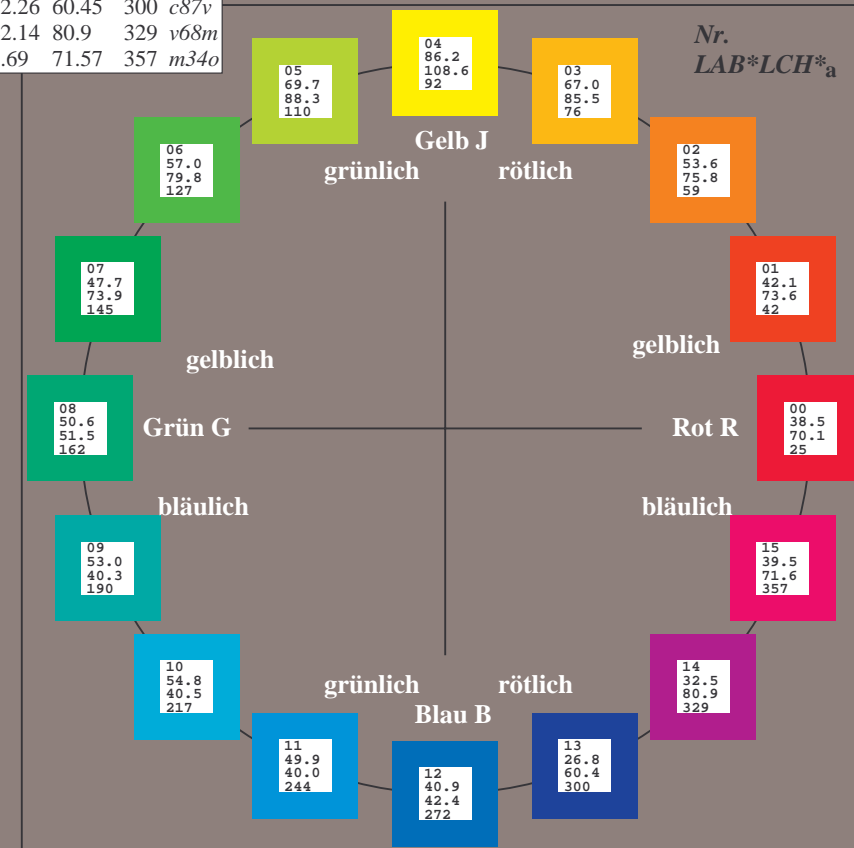
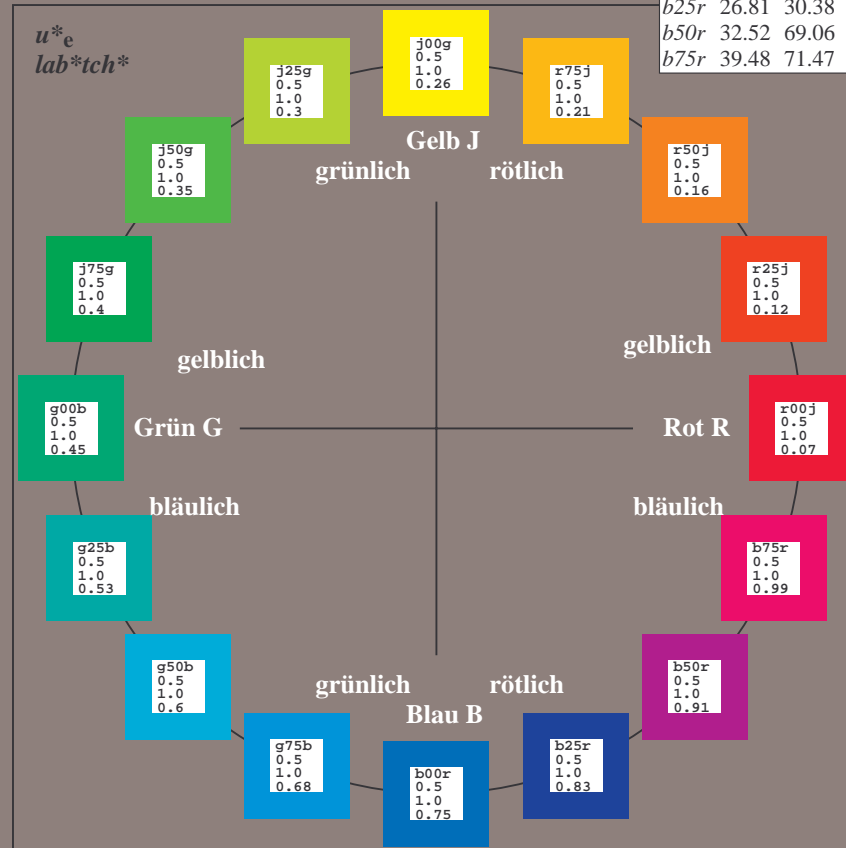
u^*_e	$L^*=L^*_a$	a^*_a	b^*_a	$C^*_{ab,a}$	$h^*_{ab,a}$	u^*_d
$r00j$	38.47	63.32	30.17	70.15	25	$m81o$
$r25j$	42.12	54.56	49.45	73.64	42	$o10y$
$r50j$	53.64	39.15	64.89	75.79	59	$o40y$
$r75j$	67.01	21.26	82.83	85.52	76	$o69y$
$j00g$	86.18	-4.38	108.53	108.62	92	$o98y$
$j25g$	69.73	-29.89	83.06	88.28	110	$y34l$
$j50g$	57.03	-48.31	63.49	79.78	127	$y69l$
$j75g$	47.73	-60.33	42.64	73.88	145	$l03c$
$g00b$	50.59	-49.08	15.74	51.54	162	$l23c$
$g25b$	52.97	-39.7	-6.72	40.27	190	$l55c$
$g50b$	54.85	-32.33	-24.35	40.48	217	$l87c$
$g75b$	49.92	-17.29	-36.02	39.96	244	$c20v$
$b00r$	40.91	1.28	-42.35	42.37	272	$c53v$
$b25r$	26.81	30.38	-52.26	60.45	300	$c87v$
$b50r$	32.52	69.06	-42.14	80.9	329	$v68m$
$b75r$	39.48	71.47	-3.69	71.57	357	$m34o$



%Umfang
 $u^*_{rel} = 109$
 %Regularität
 $g^*_{H,rel} = 31$
 $g^*_{C,rel} = 40$

FRS12_95a; adaptierte CIELAB-Daten

Name	$L^*=L^*_a$	a^*_a	b^*_a	$C^*_{ab,a}$	$h^*_{ab,a}$
O_{Ma}	38.06	60.0	44.0	74.4	36
Y_{Ma}	86.77	-5.17	109.32	109.44	93
L_{Ma}	47.13	-62.67	48.24	79.09	142
C_{Ma}	55.66	-29.14	-31.99	43.27	228
V_{Ma}	17.15	50.3	-59.04	77.57	310
M_{Ma}	40.37	78.64	-33.5	85.48	337
N_{Ma}	11.58	0.0	0.0	0.0	0
W_{Ma}	95.02	0.0	0.0	0.0	0
R_{CIE}	39.92	58.74	27.99	65.07	25
J_{CIE}	81.26	-2.89	71.56	71.62	92
G_{CIE}	52.23	-42.42	13.6	44.55	162
B_{CIE}	30.57	1.41	-46.47	46.49	272



Ein und Ausgabe: Farbmatisches Drucker-Reflektiv-System FRS12_95a, $L^*=12_95$ für relativen CIELAB-Bunton $h^* = lab^*h^* = h_{ab}/360 = 0.071$ $u^*_e = r00j$

Daten für jede Farbe:

lab^*tch^* und lab^*icu^*

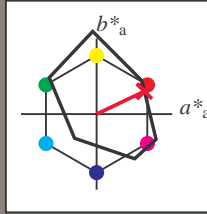
Bunntexte:

$u^*_e = r00j$ $u^*_d = m81o$

Kontrastreduzierungsfaktor:

$c_R = 1.0$

Dreiecks-Helligkeit t^*



FRS12_95a; adaptierte CIELAB-Daten

	u^*_e	$L^*=L^*_a$	a^*_a	b^*_a	$C^*_{ab,a}$	$h^*_{ab,a}$
O _{Ma}	38.06	60.0	44.0	74.4	36	
Y _{Ma}	86.77	-5.17	109.32	109.44	93	
L _{Ma}	47.13	-62.67	48.24	79.09	142	
C _{Ma}	55.66	-29.14	-31.99	43.27	228	
V _{Ma}	17.15	50.3	-59.04	77.57	310	
M _{Ma}	40.37	78.64	-33.5	85.48	337	
N _{Ma}	11.58	0.0	0.0	0.0	0	
W _{Ma}	95.02	0.0	0.0	0.0	0	
R _{Ma}	39.92	58.74	27.99	65.07	25	
J _{Ma}	81.26	-2.89	71.56	71.62	92	
G _{Ma}	52.23	-42.42	13.6	44.55	162	
B _{Ma}	30.57	1.41	-46.47	46.49	272	

Daten für Maximalfarbe (Ma):

$LAB^*LAB^*_Ma$: 38 63 30

$LAB^*LCH^*_Ma$: 38 70 25

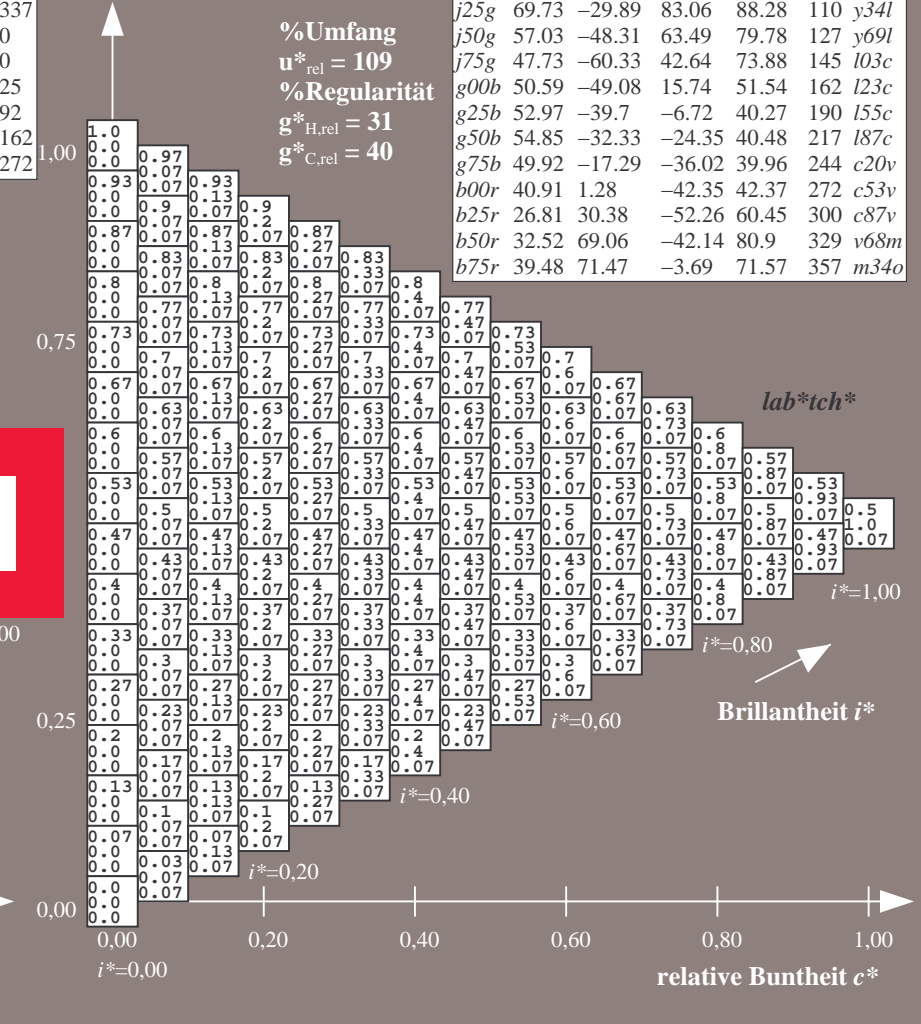
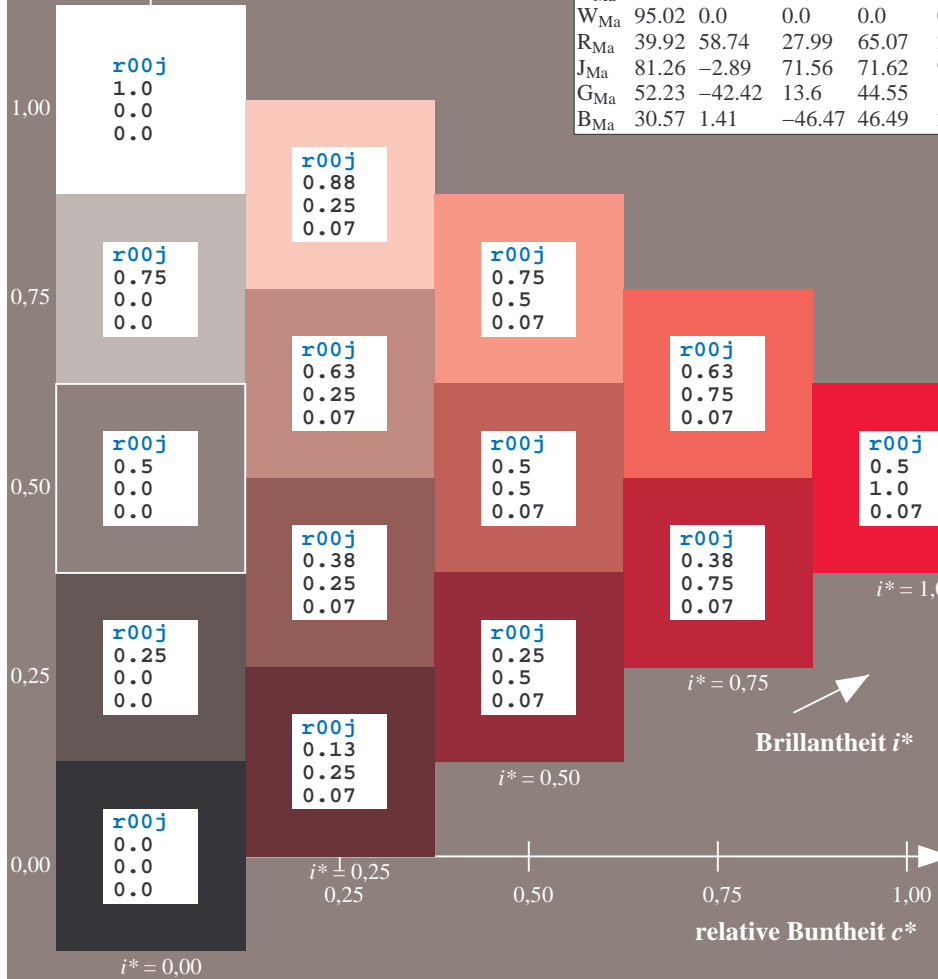
$lab^*rgb^*_Ma$: 1.0 0.0 0.0

$lab^*olv^*_Ma$: 1.0 0.0 0.18

Dreiecks-Helligkeit t^*

FRS12_95a; adaptierte CIELAB-Daten

	u^*_e	$L^*=L^*_a$	a^*_a	b^*_a	$C^*_{ab,a}$	$h^*_{ab,a}$	u^*_d
r00j	38.47	63.32	30.17	70.15	25	m81o	
r25j	42.12	54.56	49.45	73.64	42	o10y	
r50j	53.64	39.15	64.89	75.79	59	o40y	
r75j	67.01	21.26	82.83	85.52	76	o69y	
j00g	86.18	-4.38	108.53	108.62	92	o98y	
j25g	69.73	-29.89	83.06	88.28	110	y34l	
j50g	57.03	-48.31	63.49	79.78	127	y69l	
j75g	47.73	-60.33	42.64	73.88	145	103c	
g00b	50.59	-49.08	15.74	51.54	162	l23c	
g25b	52.97	-39.7	-6.72	40.27	190	l55c	
g50b	54.85	-32.33	-24.35	40.48	217	l87c	
g75b	49.92	-17.29	-36.02	39.96	244	c20v	
b00r	40.91	1.28	-42.35	42.37	272	c53v	
b25r	26.81	30.38	-52.26	60.45	300	c87v	
b50r	32.52	69.06	-42.14	80.9	329	v68m	
b75r	39.48	71.47	-3.69	71.57	357	m34o	



Ein und Ausgabe: Farbmatisches Drucker-Reflektiv-System FRS12_95a, $L^*=12_95$ für relativen CIELAB-Bunton $h^* = lab^*h^* = h_{ab}/360 = 0.117$ $u^*_e = r25j$

Daten für jede Farbe:

lab^*tch^* und lab^*icu^*

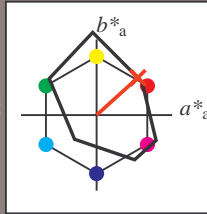
Bunntexte:

$u^*_e = r25j$ $u^*_d = o10y$

Kontrastreduzierungsfaktor:

$c_R = 1.0$

Dreiecks-Helligkeit t^*



FRS12_95a; adaptierte CIELAB-Daten

u^*_e	$L^*=L^*_a$	a^*_a	b^*_a	$C^*_{ab,a}$	$h^*_{ab,a}$
O _{Ma}	38.06	60.0	44.0	74.4	36
Y _{Ma}	86.77	-5.17	109.32	109.44	93
L _{Ma}	47.13	-62.67	48.24	79.09	142
C _{Ma}	55.66	-29.14	-31.99	43.27	228
V _{Ma}	17.15	50.3	-59.04	77.57	310
M _{Ma}	40.37	78.64	-33.5	85.48	337
N _{Ma}	11.58	0.0	0.0	0.0	0
W _{Ma}	95.02	0.0	0.0	0.0	0
R _{Ma}	39.92	58.74	27.99	65.07	25
J _{Ma}	81.26	-2.89	71.56	71.62	92
G _{Ma}	52.23	-42.42	13.6	44.55	162
B _{Ma}	30.57	1.41	-46.47	46.49	272

Daten für Maximalfarbe (Ma):

$LAB^*LAB^*_{Ma}$: 42 55 49

$LAB^*LCH^*_{Ma}$: 42 74 42

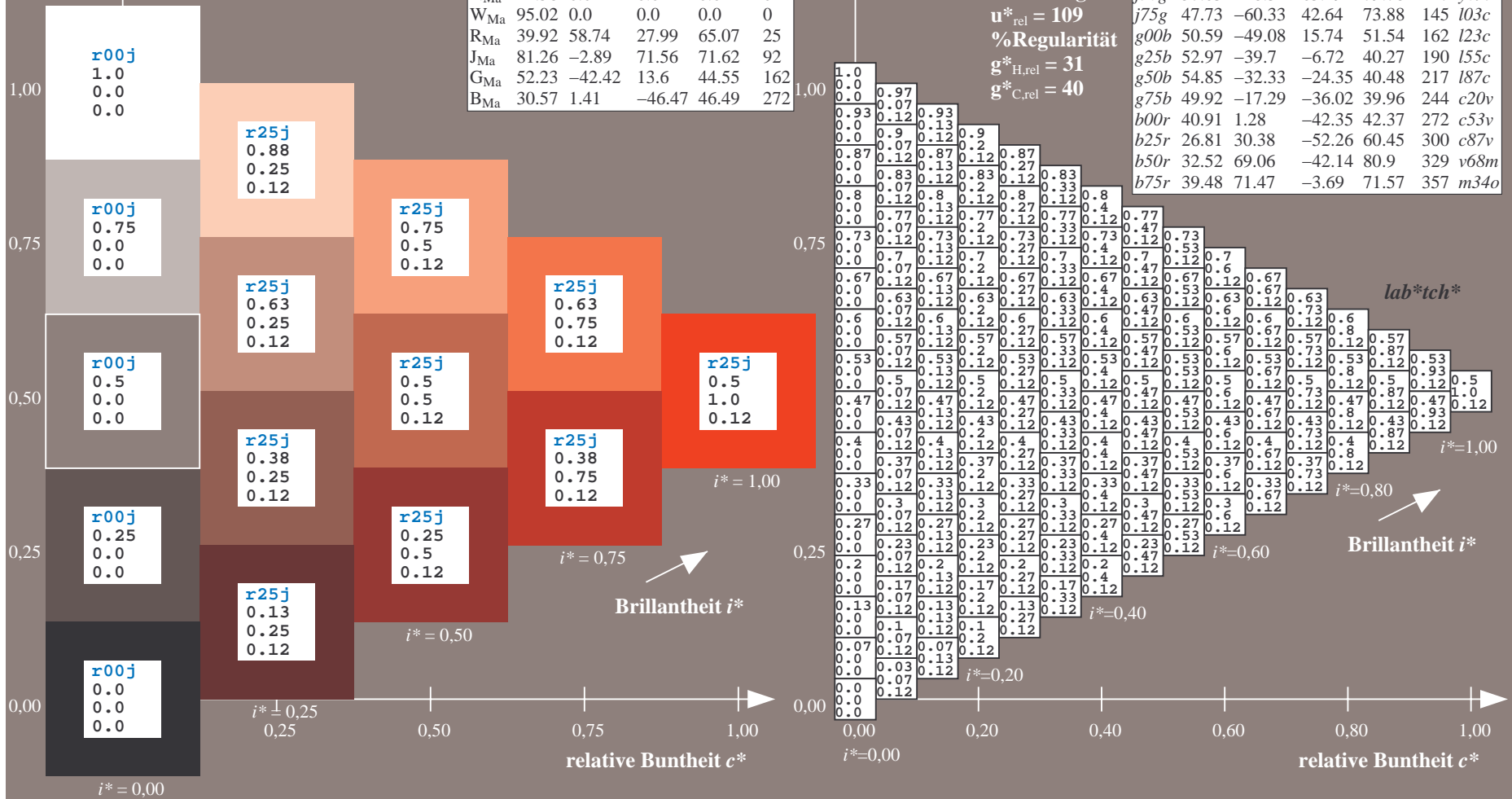
$lab^*rgb^*_{Ma}$: 1.0 0.25 0.0

$lab^*olv^*_{Ma}$: 1.0 0.11 0.0

Dreiecks-Helligkeit t^*

FRS12_95a; adaptierte CIELAB-Daten

u^*_e	$L^*=L^*_a$	a^*_a	b^*_a	$C^*_{ab,a}$	$h^*_{ab,a}$	u^*_d
r00j	38.47	63.32	30.17	70.15	25	m81o
r25j	42.12	54.56	49.45	73.64	42	o10y
r50j	53.64	39.15	64.89	75.79	59	o40y
r75j	67.01	21.26	82.83	85.52	76	o69y
j00g	86.18	-4.38	108.53	108.62	92	o98y
j25g	69.73	-29.89	83.06	88.28	110	y34l
j50g	57.03	-48.31	63.49	79.78	127	y69l
j75g	47.73	-60.33	42.64	73.88	145	l03c
g00b	50.59	-49.08	15.74	51.54	162	i23c
g25b	52.97	-39.7	-6.72	40.27	190	i55c
g50b	54.85	-32.33	-24.35	40.48	217	i87c
g75b	49.92	-17.29	-36.02	39.96	244	c20v
b00r	40.91	1.28	-42.35	42.37	272	c53v
b25r	26.81	30.38	-52.26	60.45	300	c87v
b50r	32.52	69.06	-42.14	80.9	329	v68m
b75r	39.48	71.47	-3.69	71.57	357	m34o



Ein und Ausgabe: Farbmatisches Drucker-Reflektiv-System FRS12_95a, $L^*=12_95$ für relativen CIELAB-Bunton $h^* = lab^*h^* = h_{ab}/360 = 0.164$ $u^*_e = r50j$

Daten für jede Farbe:

lab^*tch^* und lab^*icu^*

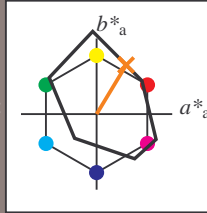
Buntontexte:

$u^*_e = r50j$ $u^*_d = o40y$

Kontrastreduzierungsfaktor:

$c_R = 1.0$

Dreiecks-Helligkeit t^*



FRS12_95a; adaptierte CIELAB-Daten

u^*_e	$L^*=L^*_a$	a^*_a	b^*_a	$C^*_{ab,a}$	$h^*_{ab,a}$
O _{Ma}	38.06	60.0	44.0	74.4	36
Y _{Ma}	86.77	-5.17	109.32	109.44	93
L _{Ma}	47.13	-62.67	48.24	79.09	142
C _{Ma}	55.66	-29.14	-31.99	43.27	228
V _{Ma}	17.15	50.3	-59.04	77.57	310
M _{Ma}	40.37	78.64	-33.5	85.48	337
N _{Ma}	11.58	0.0	0.0	0.0	0
W _{Ma}	95.02	0.0	0.0	0.0	0
R _{Ma}	39.92	58.74	27.99	65.07	25
J _{Ma}	81.26	-2.89	71.56	71.62	92
G _{Ma}	52.23	-42.42	13.6	44.55	162
B _{Ma}	30.57	1.41	-46.47	46.49	272

Daten für Maximalfarbe (Ma):

$LAB^*LAB^*_Ma: 54\ 39\ 65$

$LAB^*LCH^*_Ma: 54\ 76\ 58$

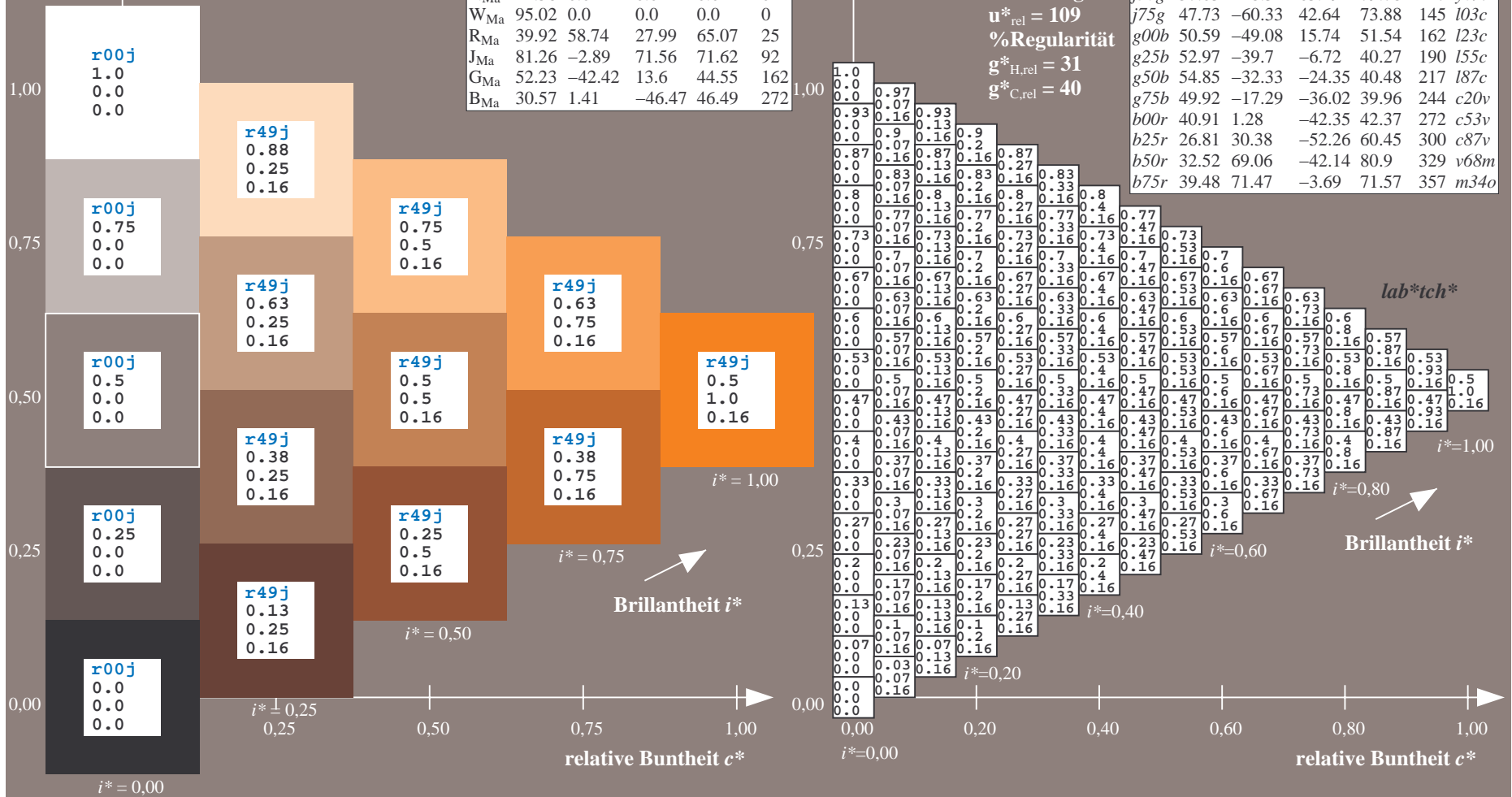
$lab^*rgb^*_Ma: 1.0\ 0.5\ 0.0$

$lab^*olv^*_Ma: 1.0\ 0.4\ 0.0$

Dreiecks-Helligkeit t^*

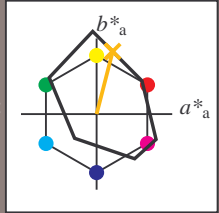
FRS12_95a; adaptierte CIELAB-Daten

u^*_e	$L^*=L^*_a$	a^*_a	b^*_a	$C^*_{ab,a}$	$h^*_{ab,a}$	u^*_d
r00j	38.47	63.32	30.17	70.15	25	m81o
r25j	42.12	54.56	49.45	73.64	42	o10y
r50j	53.64	39.15	64.89	75.79	59	o40y
r75j	67.01	21.26	82.83	85.52	76	o69y
j00g	86.18	-4.38	108.53	108.62	92	o98y
j25g	69.73	-29.89	83.06	88.28	110	y34l
j50g	57.03	-48.31	63.49	79.78	127	y69l
j75g	47.73	-60.33	42.64	73.88	145	103c
g00b	50.59	-49.08	15.74	51.54	162	l23c
g25b	52.97	-39.7	-6.72	40.27	190	l55c
g50b	54.85	-32.33	-24.35	40.48	217	l87c
g75b	49.92	-17.29	-36.02	39.96	244	c20v
b00r	40.91	1.28	-42.35	42.37	272	c53v
b25r	26.81	30.38	-52.26	60.45	300	c87v
b50r	32.52	69.06	-42.14	80.9	329	v68m
b75r	39.48	71.47	-3.69	71.57	357	m34o



Ein und Ausgabe: Farbmetrisches Drucker-Reflektiv-System FRS12_95a, $L^*=12_95$ für relativen CIELAB-Bunton $h^* = lab^*h^* = h_{ab}/360 = 0.21$ $u^*_e = r75j$
 Daten für jede Farbe: lab^*tch^* und lab^*icu^*

Buntontexte:
 $u^*_e = r75j$ $u^*_d = o69y$
 Kontrastreduzierungsfaktor:
 $c_R = 1.0$
 Dreiecks-Helligkeit t^*



FRS12_95a; adaptierte CIELAB-Daten

	u^*_e	$L^*=L^*_a$	a^*_a	b^*_a	$C^*_{ab,a}$	$h^*_{ab,a}$
O _{Ma}	38.06	60.0	44.0	74.4	36	
Y _{Ma}	86.77	-5.17	109.32	109.44	93	
L _{Ma}	47.13	-62.67	48.24	79.09	142	
C _{Ma}	55.66	-29.14	-31.99	43.27	228	
V _{Ma}	17.15	50.3	-59.04	77.57	310	
M _{Ma}	40.37	78.64	-33.5	85.48	337	
N _{Ma}	11.58	0.0	0.0	0.0	0	
W _{Ma}	95.02	0.0	0.0	0.0	0	
R _{Ma}	39.92	58.74	27.99	65.07	25	
J _{Ma}	81.26	-2.89	71.56	71.62	92	
G _{Ma}	52.23	-42.42	13.6	44.55	162	
B _{Ma}	30.57	1.41	-46.47	46.49	272	

Daten für Maximalfarbe (Ma):

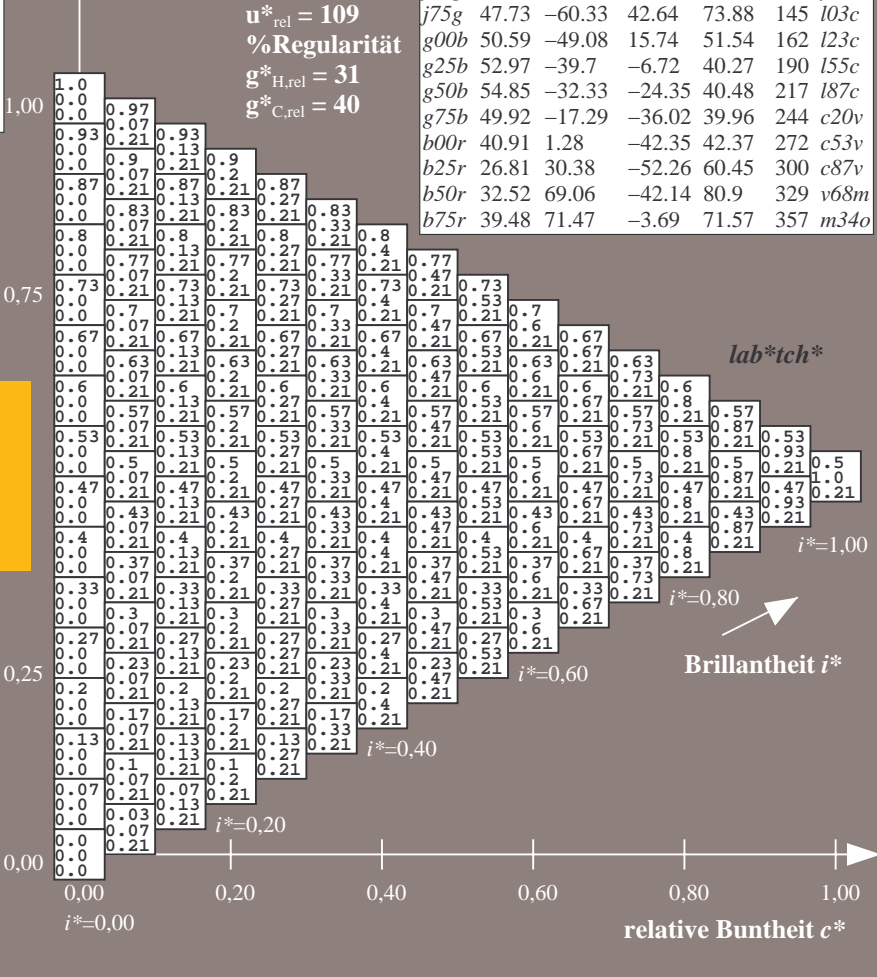
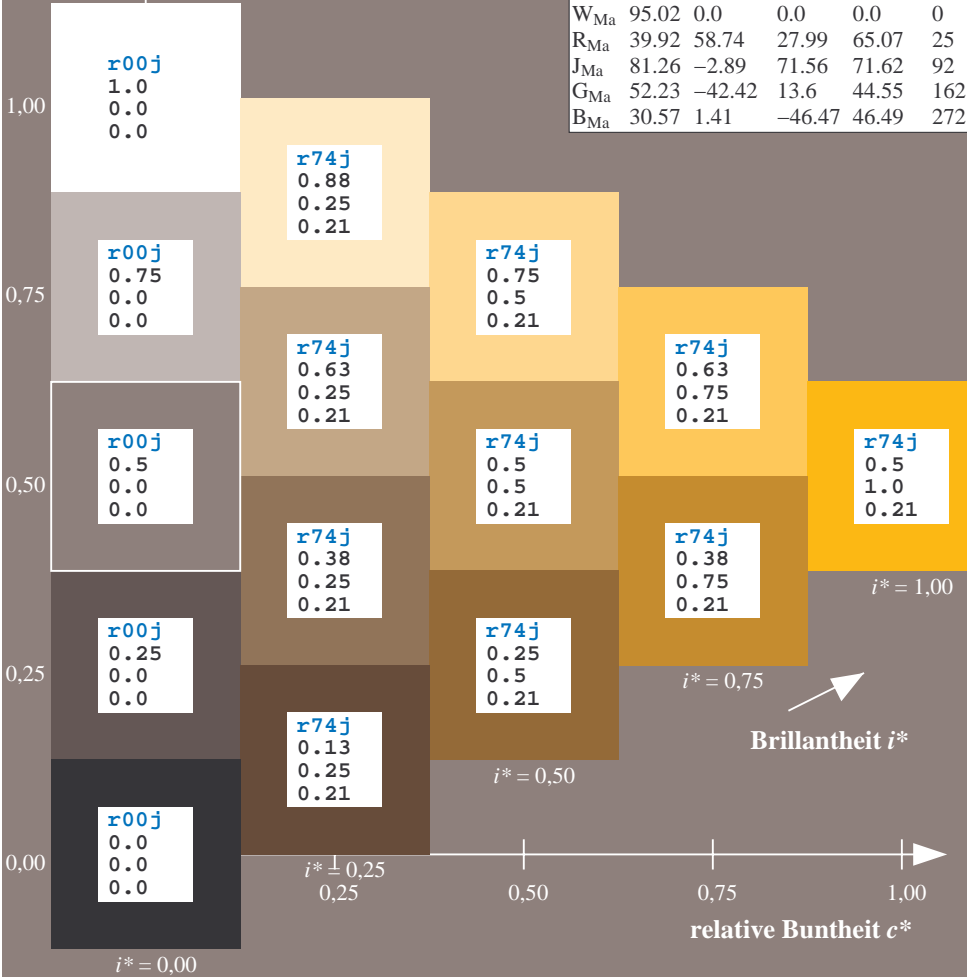
$LAB^*LAB^*_{Ma}$: 67 21 83
 $LAB^*LCH^*_{Ma}$: 67 86 75
 $lab^*rgb^*_{Ma}$: 1.0 0.75 0.0
 $lab^*olv^*_{Ma}$: 1.0 0.7 0.0

Dreiecks-Helligkeit t^*

FRS12_95a; adaptierte CIELAB-Daten

	u^*_e	$L^*=L^*_a$	a^*_a	b^*_a	$C^*_{ab,a}$	$h^*_{ab,a}$	u^*_d
r00j	38.47	63.32	30.17	70.15	25	m81o	
r25j	42.12	54.56	49.45	73.64	42	o10y	
r50j	53.64	39.15	64.89	75.79	59	o40y	
r75j	67.01	21.26	82.83	85.52	76	o69y	
j00g	86.18	-4.38	108.53	108.62	92	o98y	
j25g	69.73	-29.89	83.06	88.28	110	y34l	
j50g	57.03	-48.31	63.49	79.78	127	y69l	
j75g	47.73	-60.33	42.64	73.88	145	103c	
g00b	50.59	-49.08	15.74	51.54	162	l23c	
g25b	52.97	-39.7	-6.72	40.27	190	l55c	
g50b	54.85	-32.33	-24.35	40.48	217	l87c	
g75b	49.92	-17.29	-36.02	39.96	244	c20v	
b00r	40.91	1.28	-42.35	42.37	272	c53v	
b25r	26.81	30.38	-52.26	60.45	300	c87v	
b50r	32.52	69.06	-42.14	80.9	329	v68m	
b75r	39.48	71.47	-3.69	71.57	357	m34o	

%Umfang
 $u^*_{rel} = 109$
 %Regularität
 $g^*_{H,rel} = 31$
 $g^*_{C,rel} = 40$



Ein und Ausgabe: Farbmatisches Drucker-Reflektiv-System FRS12_95a, $L^*=12_95$ für relativen CIELAB-Bunton $h^* = lab^*h^* = h_{ab}/360 = 0.256$ $u^*_e = j00g$

Daten für jede Farbe:

lab^*tch^* und lab^*icu^*

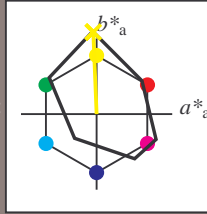
Buntontexte:

$u^*_e = j00g$ $u^*_d = o98y$

Kontrastreduzierungsfaktor:

$c_R = 1.0$

Dreiecks-Helligkeit t^*



FRS12_95a; adaptierte CIELAB-Daten						
u^*_e	$L^*=L^*_a$	a^*_a	b^*_a	$C^*_{ab,a}$	$h^*_{ab,a}$	
O _{Ma}	38.06	60.0	44.0	74.4	36	
Y _{Ma}	86.77	-5.17	109.32	109.44	93	
L _{Ma}	47.13	-62.67	48.24	79.09	142	
C _{Ma}	55.66	-29.14	-31.99	43.27	228	
V _{Ma}	17.15	50.3	-59.04	77.57	310	
M _{Ma}	40.37	78.64	-33.5	85.48	337	
N _{Ma}	11.58	0.0	0.0	0.0	0	
W _{Ma}	95.02	0.0	0.0	0.0	0	
R _{Ma}	39.92	58.74	27.99	65.07	25	
J _{Ma}	81.26	-2.89	71.56	71.62	92	
G _{Ma}	52.23	-42.42	13.6	44.55	162	
B _{Ma}	30.57	1.41	-46.47	46.49	272	

Daten für Maximalfarbe (Ma):

$LAB^*LAB^*_{Ma}$: 86 -4 109

$LAB^*LCH^*_{Ma}$: 86 109 92

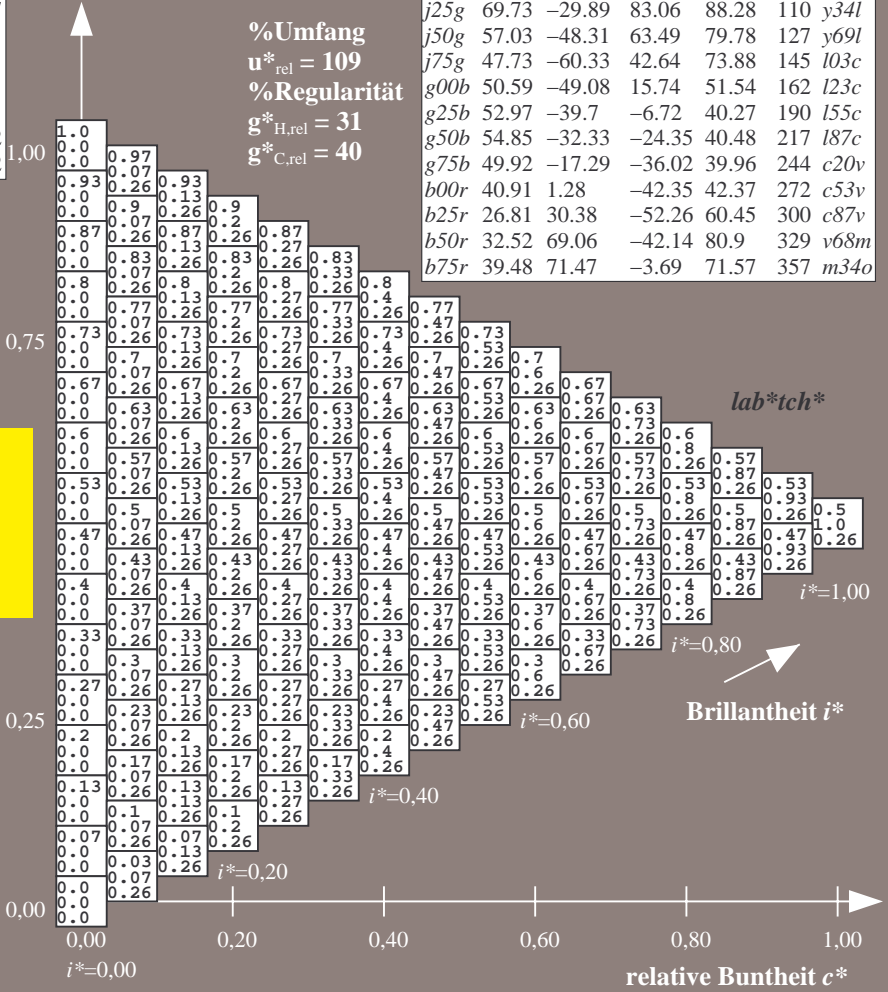
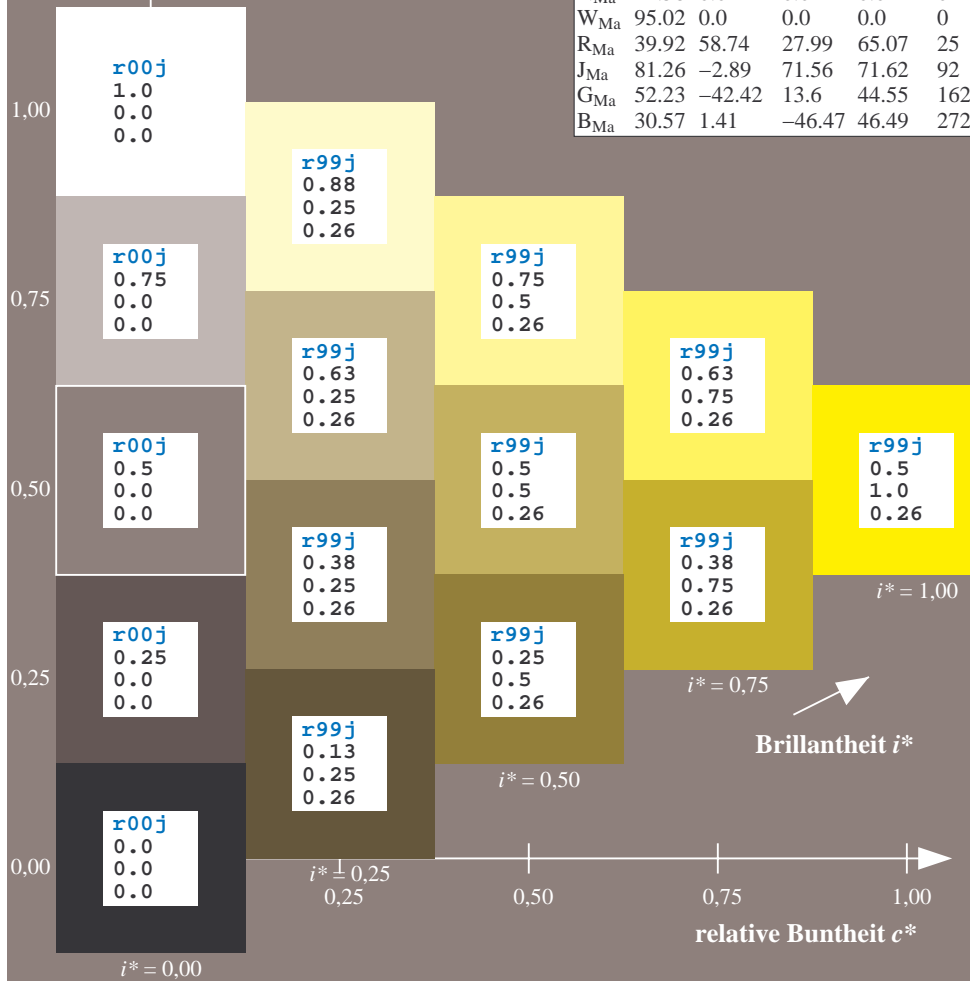
$lab^*rgb^*_{Ma}$: 1.0 1.0 0.0

$lab^*olv^*_{Ma}$: 1.0 0.99 0.0

Dreiecks-Helligkeit t^*

FRS12_95a; adaptierte CIELAB-Daten

u^*_e	$L^*=L^*_a$	a^*_a	b^*_a	$C^*_{ab,a}$	$h^*_{ab,a}$	u^*_d
r00j	38.47	63.32	30.17	70.15	25	m81o
r25j	42.12	54.56	49.45	73.64	42	o10y
r50j	53.64	39.15	64.89	75.79	59	o40y
r75j	67.01	21.26	82.83	85.52	76	o69y
j00g	86.18	-4.38	108.53	108.62	92	o98y
j25g	69.73	-29.89	83.06	88.28	110	y34l
j50g	57.03	-48.31	63.49	79.78	127	y69l
j75g	47.73	-60.33	42.64	73.88	145	l03c
g00b	50.59	-49.08	15.74	51.54	162	i23c
g25b	52.97	-39.7	-6.72	40.27	190	i55c
g50b	54.85	-32.33	-24.35	40.48	217	i87c
g75b	49.92	-17.29	-36.02	39.96	244	c20v
b00r	40.91	1.28	-42.35	42.37	272	c53v
b25r	26.81	30.38	-52.26	60.45	300	c87v
b50r	32.52	69.06	-42.14	80.9	329	v68m
b75r	39.48	71.47	-3.69	71.57	357	m34o



%Umfang
 $u^*_{rel} = 109$
%Regularität
 $g^*_{H,rel} = 31$
 $g^*_{C,rel} = 40$

lab^*tch^*

Brillantheit i^*

Ein und Ausgabe: Farbmatisches Drucker-Reflektiv-System FRS12_95a, $L^*=12_95$ für relativen CIELAB-Bunton $h^* = lab^*h^* = h_{ab}/360 = 0.305$ $u^*_e = j25g$
 lab^*tch^* und lab^*icu^*

Daten für jede Farbe:

lab^*tch^* und lab^*icu^*

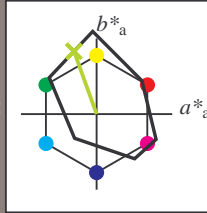
Buntontexte:

$u^*_e = j25g$ $u^*_d = y34l$

Kontrastreduzierungsfaktor:

$c_R = 1.0$

Dreiecks-Helligkeit t^*



FRS12_95a; adaptierte CIELAB-Daten

u^*_e	$L^*=L^*_a$	a^*_a	b^*_a	$C^*_{ab,a}$	$h^*_{ab,a}$
O _{Ma}	38.06	60.0	44.0	74.4	36
Y _{Ma}	86.77	-5.17	109.32	109.44	93
L _{Ma}	47.13	-62.67	48.24	79.09	142
C _{Ma}	55.66	-29.14	-31.99	43.27	228
V _{Ma}	17.15	50.3	-59.04	77.57	310
M _{Ma}	40.37	78.64	-33.5	85.48	337
N _{Ma}	11.58	0.0	0.0	0.0	0
W _{Ma}	95.02	0.0	0.0	0.0	0
R _{Ma}	39.92	58.74	27.99	65.07	25
J _{Ma}	81.26	-2.89	71.56	71.62	92
G _{Ma}	52.23	-42.42	13.6	44.55	162
B _{Ma}	30.57	1.41	-46.47	46.49	272

Daten für Maximalfarbe (Ma):

$LAB^*LAB^*_{Ma}: 70 -30 83$

$LAB^*LCH^*_{Ma}: 70 88 109$

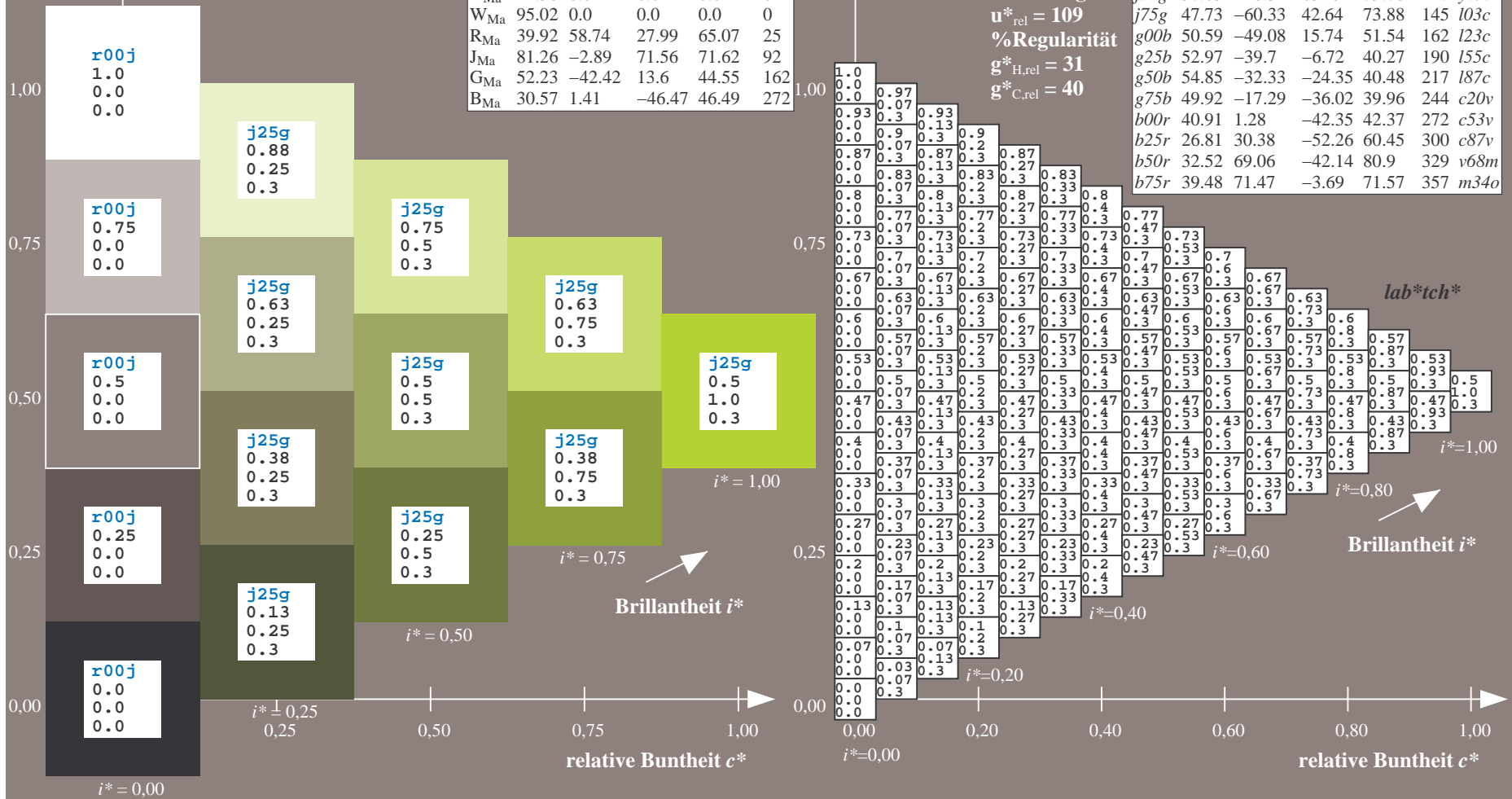
$lab^*rgb^*_{Ma}: 0.75 1.0 0.0$

$lab^*olv^*_{Ma}: 0.66 1.0 0.0$

Dreiecks-Helligkeit t^*

FRS12_95a; adaptierte CIELAB-Daten

u^*_e	$L^*=L^*_a$	a^*_a	b^*_a	$C^*_{ab,a}$	$h^*_{ab,a}$	u^*_d
r00j	38.47	63.32	30.17	70.15	25	m81o
r25j	42.12	54.56	49.45	73.64	42	o10y
r50j	53.64	39.15	64.89	75.79	59	o40y
r75j	67.01	21.26	82.83	85.52	76	o69y
j00g	86.18	-4.38	108.53	108.62	92	o98y
j25g	69.73	-29.89	83.06	88.28	110	y34l
j50g	57.03	-48.31	63.49	79.78	127	y69l
j75g	47.73	-60.33	42.64	73.88	145	l03c
g00b	50.59	-49.08	15.74	51.54	162	i23c
g25b	52.97	-39.7	-6.72	40.27	190	i55c
g50b	54.85	-32.33	-24.35	40.48	217	i87c
g75b	49.92	-17.29	-36.02	39.96	244	c20v
b00r	40.91	1.28	-42.35	42.37	272	c53v
b25r	26.81	30.38	-52.26	60.45	300	c87v
b50r	32.52	69.06	-42.14	80.9	329	v68m
b75r	39.48	71.47	-3.69	71.57	357	m34o



Ein und Ausgabe: Farbmetrisches Drucker-Reflektiv-System FRS12_95a, $L^*=12_95$ für relativen CIELAB-Bunton $h^* = lab^*h^* = h_{ab}/360 = 0.354$ $u^*_e = j50g$

Daten für jede Farbe:

lab^*tch^* und lab^*icu^*

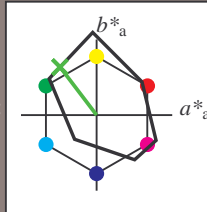
Buntontexte:

$u^*_e = j50g$ $u^*_d = y69l$

Kontrastreduzierungsfaktor:

$c_R = 1.0$

Dreiecks-Helligkeit t^*



FRS12_95a; adaptierte CIELAB-Daten

	u^*_e	$L^*=L^*_a$	a^*_a	b^*_a	$C^*_{ab,a}$	$h^*_{ab,a}$
O _{Ma}	38.06	60.0	44.0	74.4	36	
Y _{Ma}	86.77	-5.17	109.32	109.44	93	
L _{Ma}	47.13	-62.67	48.24	79.09	142	
C _{Ma}	55.66	-29.14	-31.99	43.27	228	
V _{Ma}	17.15	50.3	-59.04	77.57	310	
M _{Ma}	40.37	78.64	-33.5	85.48	337	
N _{Ma}	11.58	0.0	0.0	0.0	0	
W _{Ma}	95.02	0.0	0.0	0.0	0	
R _{Ma}	39.92	58.74	27.99	65.07	25	
J _{Ma}	81.26	-2.89	71.56	71.62	92	
G _{Ma}	52.23	-42.42	13.6	44.55	162	
B _{Ma}	30.57	1.41	-46.47	46.49	272	

Daten für Maximalfarbe (Ma):

$LAB^*LAB^*_{Ma}: 57 -48 63$

$LAB^*LCH^*_{Ma}: 57 80 127$

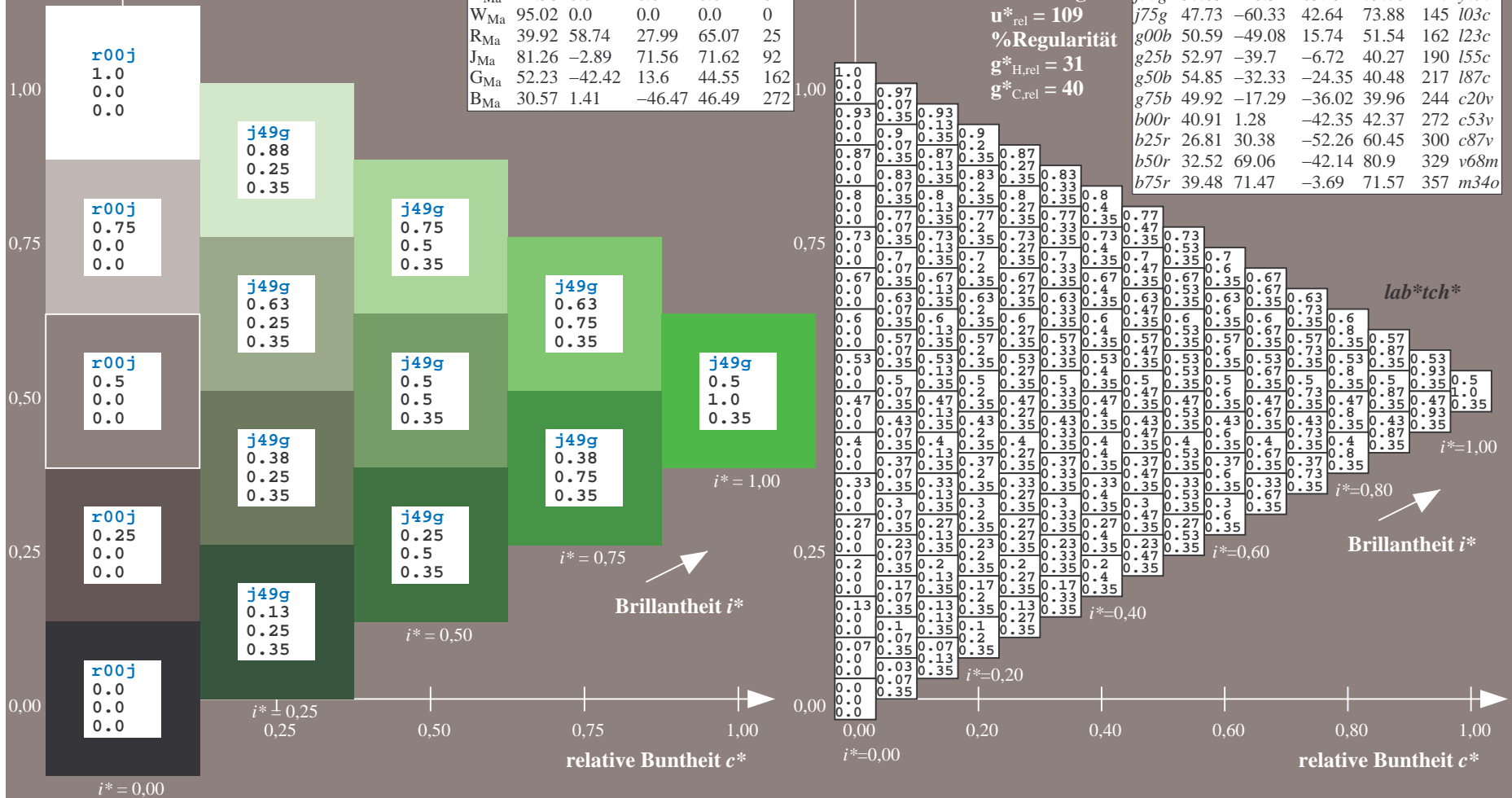
$lab^*rgb^*_{Ma}: 0.5 1.0 0.0$

$lab^*olv^*_{Ma}: 0.3 1.0 0.0$

Dreiecks-Helligkeit t^*

FRS12_95a; adaptierte CIELAB-Daten

	u^*_e	$L^*=L^*_a$	a^*_a	b^*_a	$C^*_{ab,a}$	$h^*_{ab,a}$	u^*_d
r00j	38.47	63.32	30.17	70.15	25	m81o	
r25j	42.12	54.56	49.45	73.64	42	o10y	
r50j	53.64	39.15	64.89	75.79	59	o40y	
r75j	67.01	21.26	82.83	85.52	76	o69y	
j00g	86.18	-4.38	108.53	108.62	92	o98y	
j25g	69.73	-29.89	83.06	88.28	110	y34l	
j50g	57.03	-48.31	63.49	79.78	127	y69l	
j75g	47.73	-60.33	42.64	73.88	145	l03c	
g00b	50.59	-49.08	15.74	51.54	162	i23c	
g25b	52.97	-39.7	-6.72	40.27	190	i55c	
g50b	54.85	-32.33	-24.35	40.48	217	i87c	
g75b	49.92	-17.29	-36.02	39.96	244	c20v	
b00r	40.91	1.28	-42.35	42.37	272	c53v	
b25r	26.81	30.38	-52.26	60.45	300	c87v	
b50r	32.52	69.06	-42.14	80.9	329	v68m	
b75r	39.48	71.47	-3.69	71.57	357	m34o	



Ein und Ausgabe: Farbmetrisches Drucker-Reflektiv-System FRS12_95a, $L^*=12_95$ für relativen CIELAB-Bunton $h^* = lab^*h^* = h_{ab}/360 = 0.402$ $u^*_e = j75g$

Daten für jede Farbe:

lab^*tch^* und lab^*icu^*

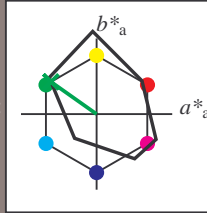
Buntontexte:

$u^*_e = j75g$ $u^*_d = l03c$

Kontrastreduzierungsfaktor:

$c_R = 1.0$

Dreiecks-Helligkeit t^*



FRS12_95a; adaptierte CIELAB-Daten

u^*_e	$L^*=L^*_a$	a^*_a	b^*_a	$C^*_{ab,a}$	$h^*_{ab,a}$
O _{Ma}	38.06	60.0	44.0	74.4	36
Y _{Ma}	86.77	-5.17	109.32	109.44	93
L _{Ma}	47.13	-62.67	48.24	79.09	142
C _{Ma}	55.66	-29.14	-31.99	43.27	228
V _{Ma}	17.15	50.3	-59.04	77.57	310
M _{Ma}	40.37	78.64	-33.5	85.48	337
N _{Ma}	11.58	0.0	0.0	0.0	0
W _{Ma}	95.02	0.0	0.0	0.0	0
R _{Ma}	39.92	58.74	27.99	65.07	25
J _{Ma}	81.26	-2.89	71.56	71.62	92
G _{Ma}	52.23	-42.42	13.6	44.55	162
B _{Ma}	30.57	1.41	-46.47	46.49	272

Daten für Maximalfarbe (Ma):

$LAB^*LAB^*_{Ma}$: 48 -60 43

$LAB^*LCH^*_{Ma}$: 48 74 144

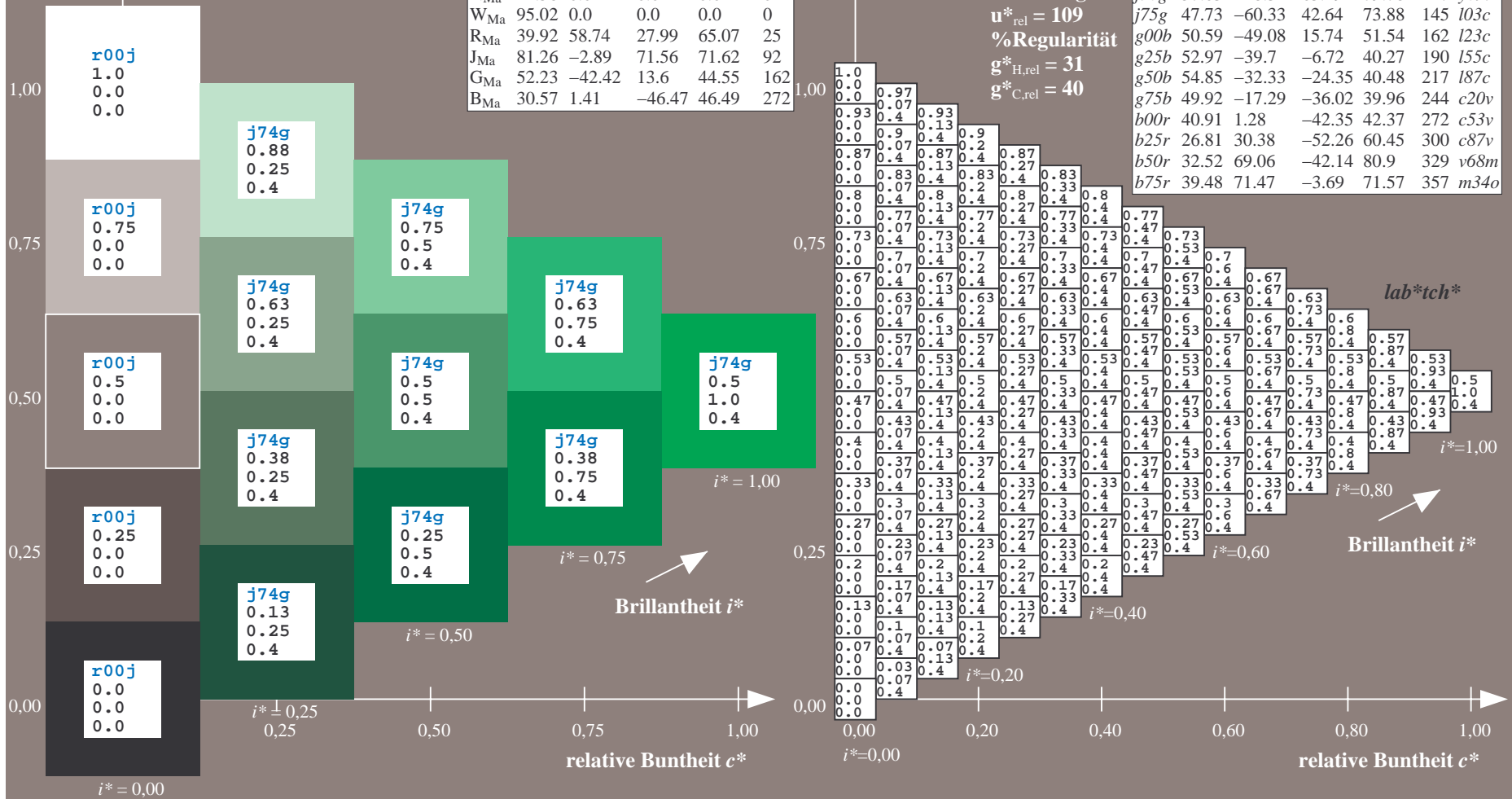
$lab^*rgb^*_{Ma}$: 0.25 1.0 0.0

$lab^*olv^*_{Ma}$: 0.0 1.0 0.03

Dreiecks-Helligkeit t^*

FRS12_95a; adaptierte CIELAB-Daten

u^*_e	$L^*=L^*_a$	a^*_a	b^*_a	$C^*_{ab,a}$	$h^*_{ab,a}$	u^*_d
r00j	38.47	63.32	30.17	70.15	25	m81o
r25j	42.12	54.56	49.45	73.64	42	o10y
r50j	53.64	39.15	64.89	75.79	59	o40y
r75j	67.01	21.26	82.83	85.52	76	o69y
j00g	86.18	-4.38	108.53	108.62	92	o98y
j25g	69.73	-29.89	83.06	88.28	110	y34l
j50g	57.03	-48.31	63.49	79.78	127	y69l
j75g	47.73	-60.33	42.64	73.88	145	l03c
g00b	50.59	-49.08	15.74	51.54	162	i23c
g25b	52.97	-39.7	-6.72	40.27	190	i55c
g50b	54.85	-32.33	-24.35	40.48	217	i87c
g75b	49.92	-17.29	-36.02	39.96	244	c20v
b00r	40.91	1.28	-42.35	42.37	272	c53v
b25r	26.81	30.38	-52.26	60.45	300	c87v
b50r	32.52	69.06	-42.14	80.9	329	v68m
b75r	39.48	71.47	-3.69	71.57	357	m34o



Ein und Ausgabe: Farbmatisches Drucker-Reflektiv-System FRS12_95a, $L^*=12_95$ für relativen CIELAB-Bunton $h^* = lab^*h^* = h_{ab}/360 = 0.451$ $u^*_e = g00b$

Daten für jede Farbe:

lab^*tch^* und lab^*icu^*

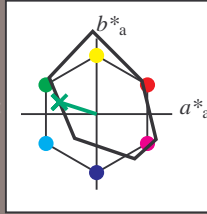
Buntontexte:

$u^*_e = g00b$ $u^*_d = l23c$

Kontrastreduzierungsfaktor:

$c_R = 1.0$

Dreiecks-Helligkeit t^*



FRS12_95a; adaptierte CIELAB-Daten

	u^*_e	$L^*=L^*_a$	a^*_a	b^*_a	$C^*_{ab,a}$	$h^*_{ab,a}$
O _{Ma}	38.06	60.0	44.0	74.4	36	
Y _{Ma}	86.77	-5.17	109.32	109.44	93	
L _{Ma}	47.13	-62.67	48.24	79.09	142	
C _{Ma}	55.66	-29.14	-31.99	43.27	228	
V _{Ma}	17.15	50.3	-59.04	77.57	310	
M _{Ma}	40.37	78.64	-33.5	85.48	337	
N _{Ma}	11.58	0.0	0.0	0.0	0	
W _{Ma}	95.02	0.0	0.0	0.0	0	
R _{Ma}	39.92	58.74	27.99	65.07	25	
J _{Ma}	81.26	-2.89	71.56	71.62	92	
G _{Ma}	52.23	-42.42	13.6	44.55	162	
B _{Ma}	30.57	1.41	-46.47	46.49	272	

Daten für Maximalfarbe (Ma):

$LAB^*LAB^*_{Ma}: 51 -49 16$

$LAB^*LCH^*_{Ma}: 51 52 162$

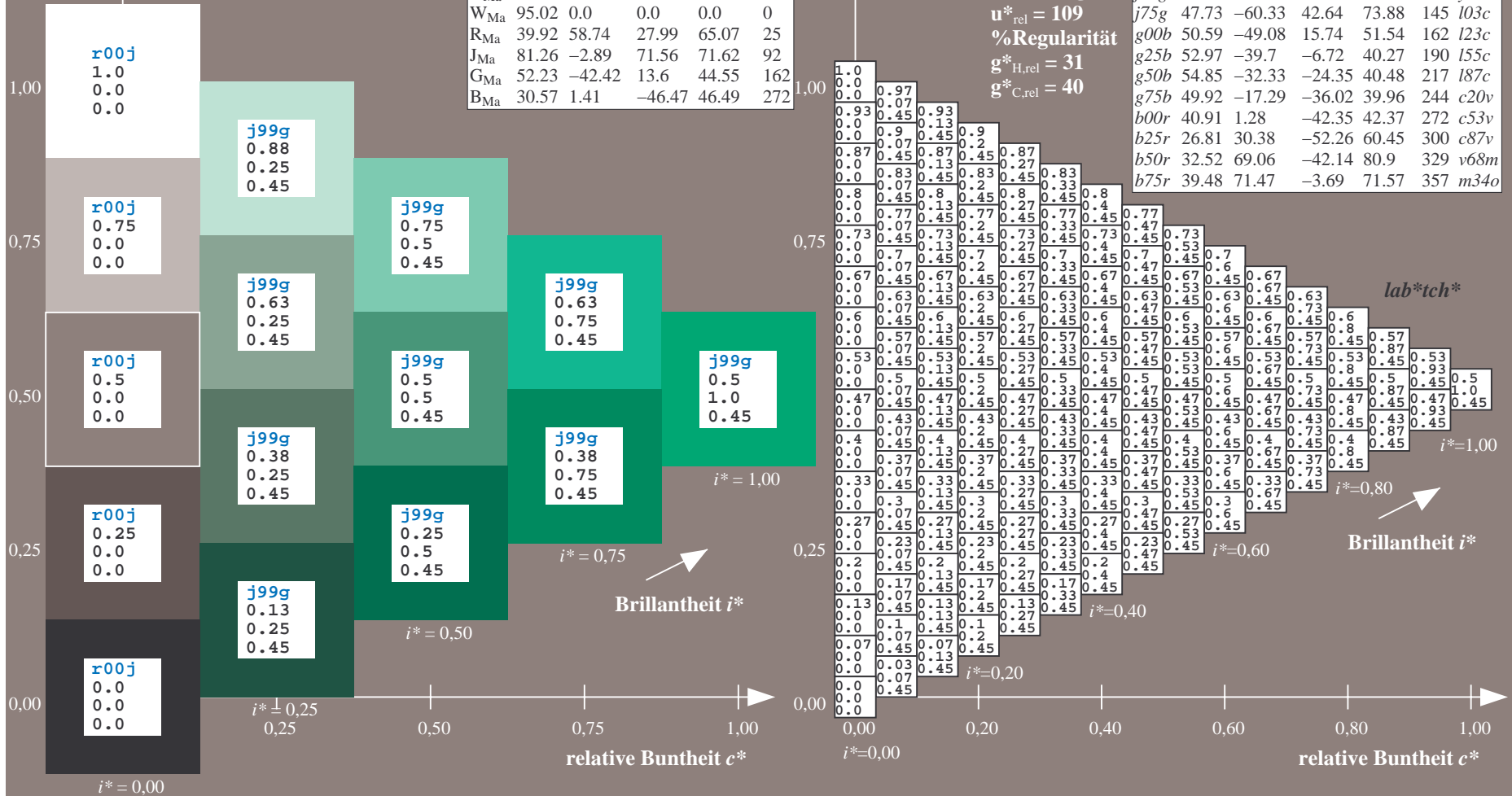
$lab^*rgb^*_{Ma}: 0.0 1.0 0.0$

$lab^*olv^*_{Ma}: 0.0 1.0 0.23$

Dreiecks-Helligkeit t^*

FRS12_95a; adaptierte CIELAB-Daten

	u^*_e	$L^*=L^*_a$	a^*_a	b^*_a	$C^*_{ab,a}$	$h^*_{ab,a}$	u^*_d
r00j	38.47	63.32	30.17	70.15	25	m81o	
r25j	42.12	54.56	49.45	73.64	42	o10y	
r50j	53.64	39.15	64.89	75.79	59	o40y	
r75j	67.01	21.26	82.83	85.52	76	o69y	
j00g	86.18	-4.38	108.53	108.62	92	o98y	
j25g	69.73	-29.89	83.06	88.28	110	y34l	
j50g	57.03	-48.31	63.49	79.78	127	y69l	
j75g	47.73	-60.33	42.64	73.88	145	l03c	
g00b	50.59	-49.08	15.74	51.54	162	i23c	
g25b	52.97	-39.7	-6.72	40.27	190	i55c	
g50b	54.85	-32.33	-24.35	40.48	217	i87c	
g75b	49.92	-17.29	-36.02	39.96	244	c20v	
b00r	40.91	1.28	-42.35	42.37	272	c53v	
b25r	26.81	30.38	-52.26	60.45	300	c87v	
b50r	32.52	69.06	-42.14	80.9	329	v68m	
b75r	39.48	71.47	-3.69	71.57	357	m34o	



Ein und Ausgabe: Farbmatisches Drucker-Reflektiv-System FRS12_95a, $L^*=12_{95}$ für relativen CIELAB-Bunton $h^* = lab^*h^* = h_{ab}/360 = 0.527$ $u^*_e = g25b$

Daten für jede Farbe:

lab^*tch^* und lab^*icu^*

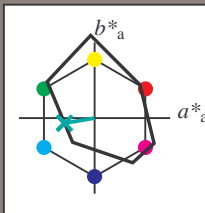
Buntontexte:

$u^*_e = g25b$ $u^*_d = l55c$

Kontrastreduzierungsfaktor:

$c_R = 1.0$

Dreiecks-Helligkeit t^*



FRS12_95a; adaptierte CIELAB-Daten

u^*_e	$L^*=L^*_a$	a^*_a	b^*_a	$C^*_{ab,a}$	$h^*_{ab,a}$
O _{Ma}	38.06	60.0	44.0	74.4	36
Y _{Ma}	86.77	-5.17	109.32	109.44	93
L _{Ma}	47.13	-62.67	48.24	79.09	142
C _{Ma}	55.66	-29.14	-31.99	43.27	228
V _{Ma}	17.15	50.3	-59.04	77.57	310
M _{Ma}	40.37	78.64	-33.5	85.48	337
N _{Ma}	11.58	0.0	0.0	0.0	0
W _{Ma}	95.02	0.0	0.0	0.0	0
R _{Ma}	39.92	58.74	27.99	65.07	25
J _{Ma}	81.26	-2.89	71.56	71.62	92
G _{Ma}	52.23	-42.42	13.6	44.55	162
B _{Ma}	30.57	1.41	-46.47	46.49	272

Daten für Maximalfarbe (Ma):

$LAB^*LAB^*_{Ma}: 53 -40 -7$

$LAB^*LCH^*_{Ma}: 53 40 189$

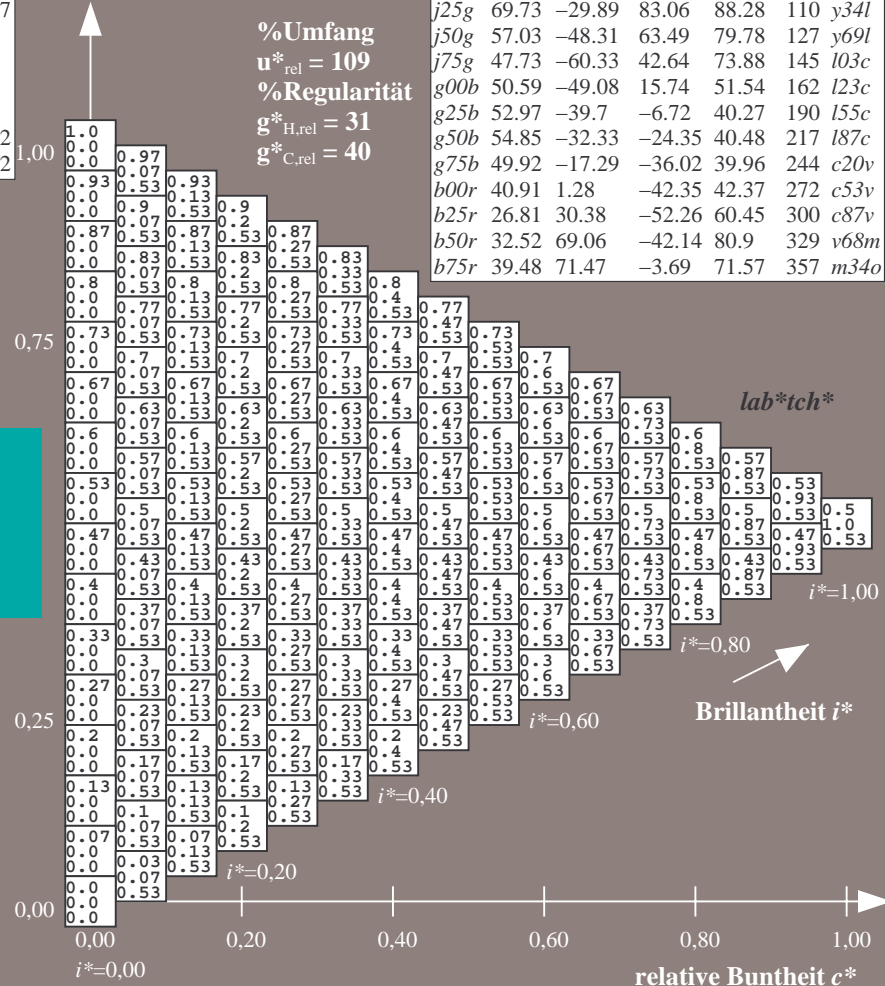
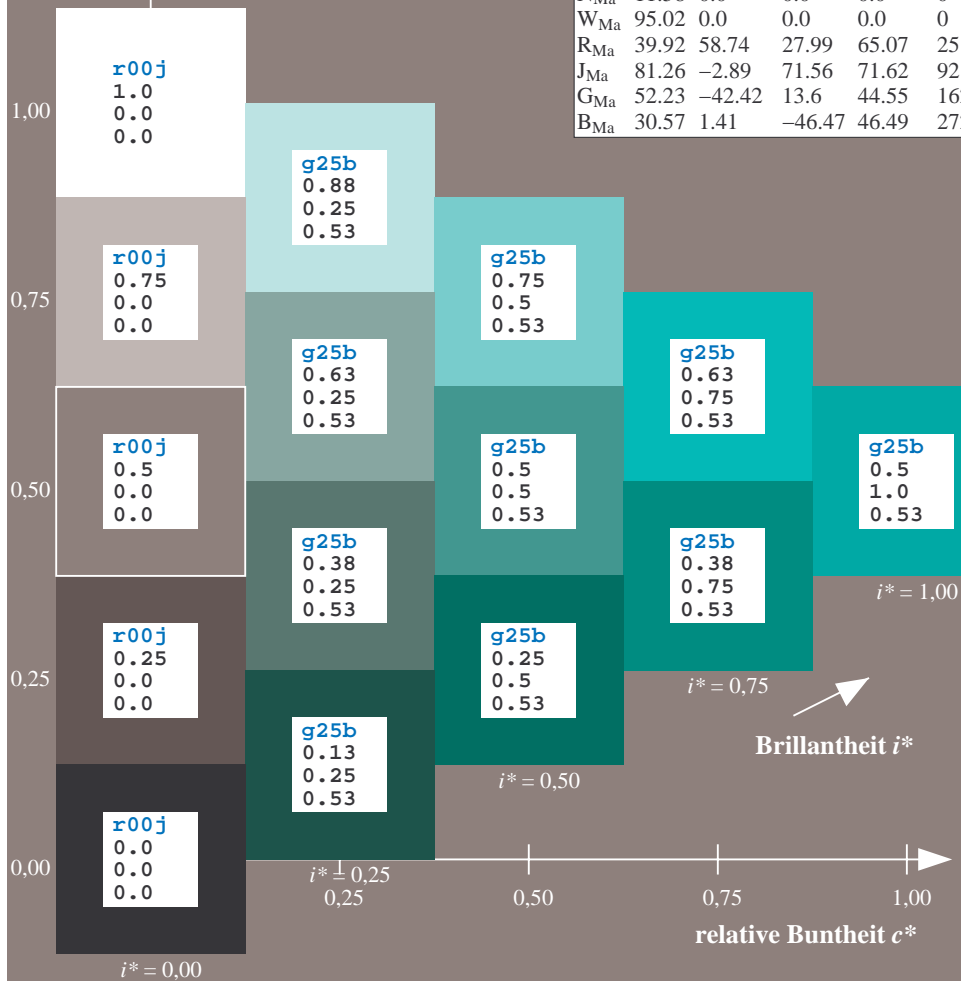
$lab^*rgb^*_{Ma}: 0.0 1.0 0.5$

$lab^*olv^*_{Ma}: 0.0 1.0 0.55$

Dreiecks-Helligkeit t^*

FRS12_95a; adaptierte CIELAB-Daten

u^*_e	$L^*=L^*_a$	a^*_a	b^*_a	$C^*_{ab,a}$	$h^*_{ab,a}$	u^*_d
r00j	38.47	63.32	30.17	70.15	25	m81o
r25j	42.12	54.56	49.45	73.64	42	o10y
r50j	53.64	39.15	64.89	75.79	59	o40y
r75j	67.01	21.26	82.83	85.52	76	o69y
j00g	86.18	-4.38	108.53	108.62	92	o98y
j25g	69.73	-29.89	83.06	88.28	110	y34l
j50g	57.03	-48.31	63.49	79.78	127	y69l
j75g	47.73	-60.33	42.64	73.88	145	l03c
g00b	50.59	-49.08	15.74	51.54	162	l23c
g25b	52.97	-39.7	-6.72	40.27	190	l55c
g50b	54.85	-32.33	-24.35	40.48	217	l87c
g75b	49.92	-17.29	-36.02	39.96	244	c20v
b00r	40.91	1.28	-42.35	42.37	272	c53v
b25r	26.81	30.38	-52.26	60.45	300	c87v
b50r	32.52	69.06	-42.14	80.9	329	v68m
b75r	39.48	71.47	-3.69	71.57	357	m34o



Ein und Ausgabe: Farbmetrisches Drucker-Reflektiv-System FRS12_95a, $L^*=12_{95}$ für relativen CIELAB-Bunton $h^* = lab^*h^* = h_{ab}/360 = 0.603$ $u^*_e = g50b$

Daten für jede Farbe:

lab^*tch^* und lab^*icu^*

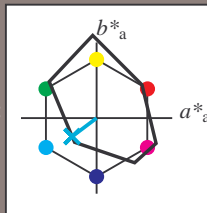
Bunntexte:

$u^*_e = g50b$ $u^*_d = l87c$

Kontrastreduzierungsfaktor:

$c_R = 1.0$

Dreiecks-Helligkeit t^*



FRS12_95a; adaptierte CIELAB-Daten

	u^*_e	$L^*=L^*_a$	a^*_a	b^*_a	$C^*_{ab,a}$	$h^*_{ab,a}$
O _{Ma}	38.06	60.0	44.0	74.4	36	
Y _{Ma}	86.77	-5.17	109.32	109.44	93	
L _{Ma}	47.13	-62.67	48.24	79.09	142	
C _{Ma}	55.66	-29.14	-31.99	43.27	228	
V _{Ma}	17.15	50.3	-59.04	77.57	310	
M _{Ma}	40.37	78.64	-33.5	85.48	337	
N _{Ma}	11.58	0.0	0.0	0.0	0	
W _{Ma}	95.02	0.0	0.0	0.0	0	
R _{Ma}	39.92	58.74	27.99	65.07	25	
J _{Ma}	81.26	-2.89	71.56	71.62	92	
G _{Ma}	52.23	-42.42	13.6	44.55	162	
B _{Ma}	30.57	1.41	-46.47	46.49	272	

Daten für Maximalfarbe (Ma):

$LAB^*LAB^*_{Ma}: 55 -32 -24$

$LAB^*LCH^*_{Ma}: 55 40 216$

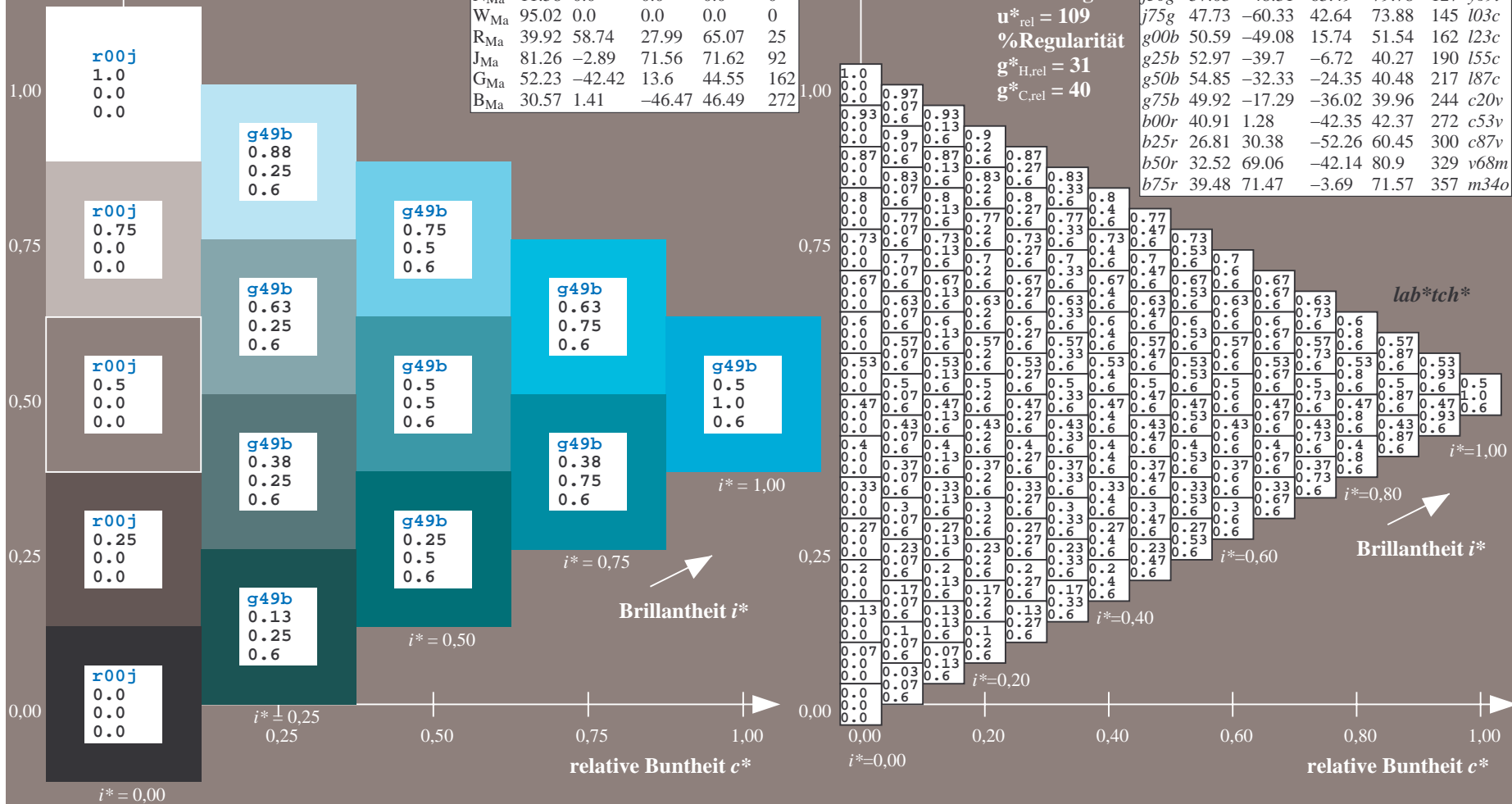
$lab^*rgb^*_{Ma}: 0.0 1.0 1.0$

$lab^*olv^*_{Ma}: 0.0 1.0 0.87$

Dreiecks-Helligkeit t^*

FRS12_95a; adaptierte CIELAB-Daten

	u^*_e	$L^*=L^*_a$	a^*_a	b^*_a	$C^*_{ab,a}$	$h^*_{ab,a}$	u^*_d
r00j	38.47	63.32	30.17	70.15	25	m81o	
r25j	42.12	54.56	49.45	73.64	42	o10y	
r50j	53.64	39.15	64.89	75.79	59	o40y	
r75j	67.01	21.26	82.83	85.52	76	o69y	
j00g	86.18	-4.38	108.53	108.62	92	o98y	
j25g	69.73	-29.89	83.06	88.28	110	y34l	
j50g	57.03	-48.31	63.49	79.78	127	y69l	
j75g	47.73	-60.33	42.64	73.88	145	103c	
g00b	50.59	-49.08	15.74	51.54	162	l23c	
g25b	52.97	-39.7	-6.72	40.27	190	l55c	
g50b	54.85	-32.33	-24.35	40.48	217	l87c	
g75b	49.92	-17.29	-36.02	39.96	244	c20v	
b00r	40.91	1.28	-42.35	42.37	272	c53v	
b25r	26.81	30.38	-52.26	60.45	300	c87v	
b50r	32.52	69.06	-42.14	80.9	329	v68m	
b75r	39.48	71.47	-3.69	71.57	357	m34o	



Ein und Ausgabe: Farbmatisches Drucker-Reflektiv-System FRS12_95a, $L^*=12_{95}$ für relativen CIELAB-Bunton $h^* = lab^*h^* = h_{ab}/360 = 0.679$ $u^*_e = g75b$

Daten für jede Farbe:

lab^*tch^* und lab^*icu^*

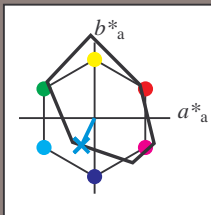
Buntontexte:

$u^*_e = g75b$ $u^*_d = c20v$

Kontrastreduzierungsfaktor:

$c_R = 1.0$

Dreiecks-Helligkeit t^*



FRS12_95a; adaptierte CIELAB-Daten

	u^*_e	$L^*=L^*_a$	a^*_a	b^*_a	$C^*_{ab,a}$	$h^*_{ab,a}$
O _{Ma}	38.06	60.0	44.0	74.4	36	
Y _{Ma}	86.77	-5.17	109.32	109.44	93	
L _{Ma}	47.13	-62.67	48.24	79.09	142	
C _{Ma}	55.66	-29.14	-31.99	43.27	228	
V _{Ma}	17.15	50.3	-59.04	77.57	310	
M _{Ma}	40.37	78.64	-33.5	85.48	337	
N _{Ma}	11.58	0.0	0.0	0.0	0	
W _{Ma}	95.02	0.0	0.0	0.0	0	
R _{Ma}	39.92	58.74	27.99	65.07	25	
J _{Ma}	81.26	-2.89	71.56	71.62	92	
G _{Ma}	52.23	-42.42	13.6	44.55	162	
B _{Ma}	30.57	1.41	-46.47	46.49	272	

Daten für Maximalfarbe (Ma):

$LAB^*LAB^*_{Ma}: 50 -17 -36$

$LAB^*LCH^*_{Ma}: 50 40 244$

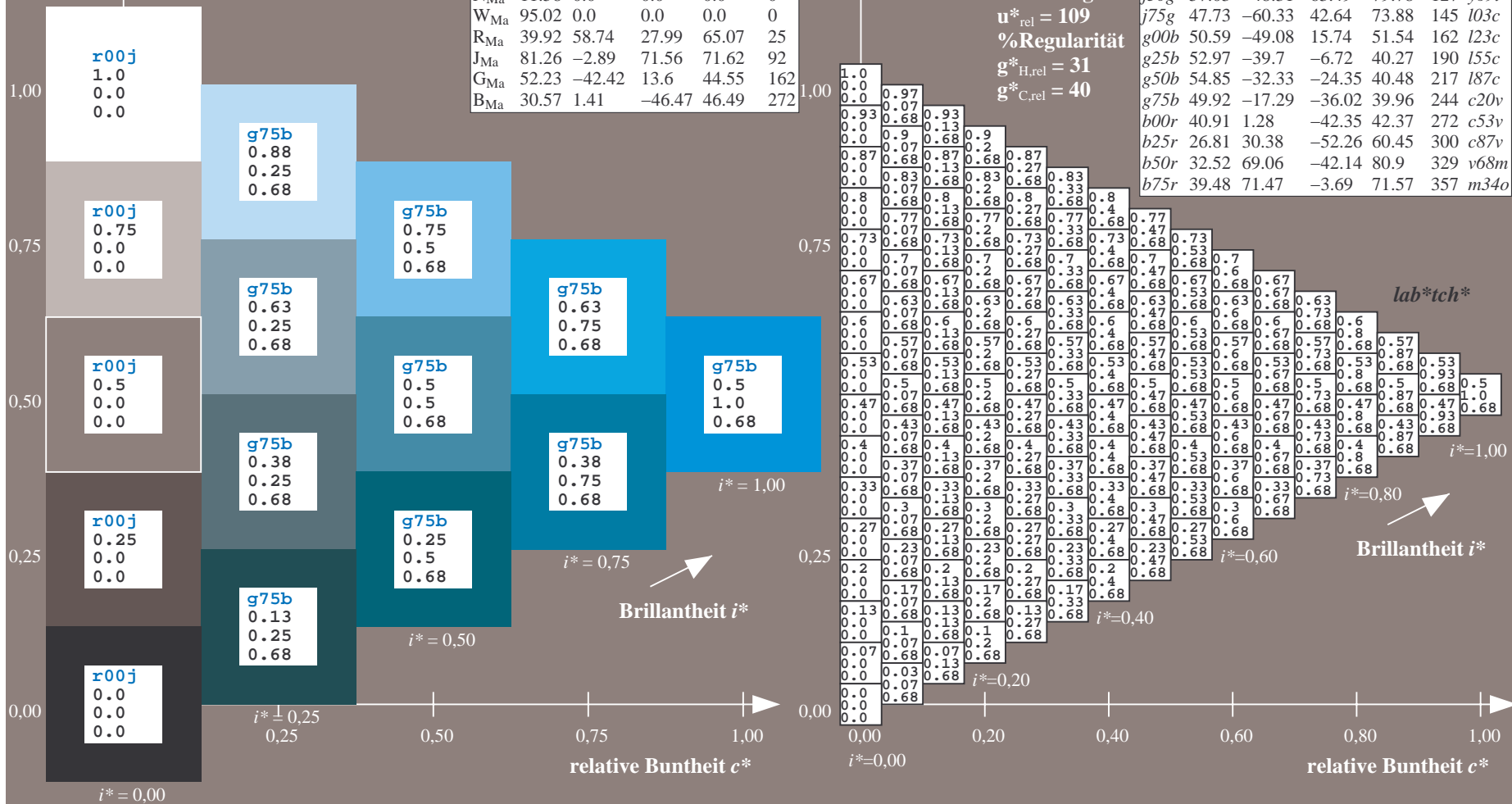
$lab^*rgb^*_{Ma}: 0.0 0.5 1.0$

$lab^*olv^*_{Ma}: 0.0 0.8 1.0$

Dreiecks-Helligkeit t^*

FRS12_95a; adaptierte CIELAB-Daten

	u^*_e	$L^*=L^*_a$	a^*_a	b^*_a	$C^*_{ab,a}$	$h^*_{ab,a}$	u^*_d
r00j	38.47	63.32	30.17	70.15	25	m81o	
r25j	42.12	54.56	49.45	73.64	42	o10y	
r50j	53.64	39.15	64.89	75.79	59	o40y	
r75j	67.01	21.26	82.83	85.52	76	o69y	
j00g	86.18	-4.38	108.53	108.62	92	o98y	
j25g	69.73	-29.89	83.06	88.28	110	y34l	
j50g	57.03	-48.31	63.49	79.78	127	y69l	
j75g	47.73	-60.33	42.64	73.88	145	103c	
g00b	50.59	-49.08	15.74	51.54	162	l23c	
g25b	52.97	-39.7	-6.72	40.27	190	l55c	
g50b	54.85	-32.33	-24.35	40.48	217	l87c	
g75b	49.92	-17.29	-36.02	39.96	244	c20v	
b00r	40.91	1.28	-42.35	42.37	272	c53v	
b25r	26.81	30.38	-52.26	60.45	300	c87v	
b50r	32.52	69.06	-42.14	80.9	329	v68m	
b75r	39.48	71.47	-3.69	71.57	357	m34o	



Ein und Ausgabe: Farbmetrisches Drucker-Reflektiv-System FRS12_95a, $L^*=12_95$ für relativen CIELAB-Bunton $h^* = lab^*h^* = h_{ab}/360 = 0.755$ $u^*_e = b00r$

Daten für jede Farbe:

lab^*tch^* und lab^*icu^*

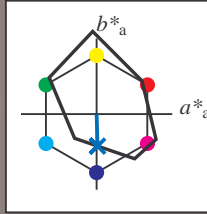
Buntontexte:

$u^*_e = b00r$ $u^*_d = c53v$

Kontrastreduzierungsfaktor:

$c_R = 1.0$

Dreiecks-Helligkeit t^*



FRS12_95a; adaptierte CIELAB-Daten

u^*_e	$L^*=L^*_a$	a^*_a	b^*_a	$C^*_{ab,a}$	$h^*_{ab,a}$
O _{Ma}	38.06	60.0	44.0	74.4	36
Y _{Ma}	86.77	-5.17	109.32	109.44	93
L _{Ma}	47.13	-62.67	48.24	79.09	142
C _{Ma}	55.66	-29.14	-31.99	43.27	228
V _{Ma}	17.15	50.3	-59.04	77.57	310
M _{Ma}	40.37	78.64	-33.5	85.48	337
N _{Ma}	11.58	0.0	0.0	0.0	0
W _{Ma}	95.02	0.0	0.0	0.0	0
R _{Ma}	39.92	58.74	27.99	65.07	25
J _{Ma}	81.26	-2.89	71.56	71.62	92
G _{Ma}	52.23	-42.42	13.6	44.55	162
B _{Ma}	30.57	1.41	-46.47	46.49	272

Daten für Maximalfarbe (Ma):

$LAB^*LAB^*_{Ma}$: 41 1 -42

$LAB^*LCH^*_{Ma}$: 41 42 271

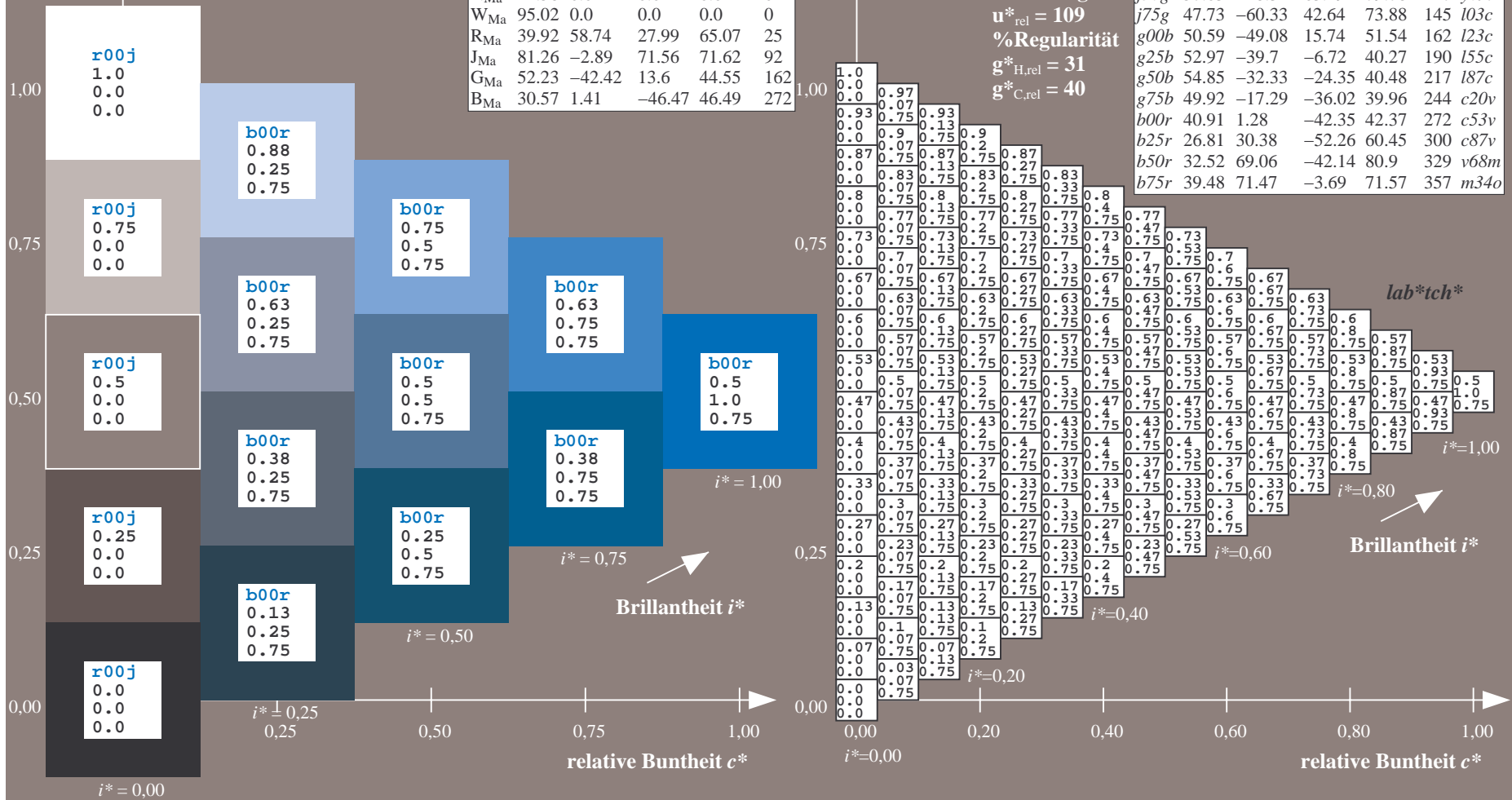
$lab^*rgb^*_{Ma}$: 0.0 0.0 1.0

$lab^*olv^*_{Ma}$: 0.0 0.47 1.0

Dreiecks-Helligkeit t^*

FRS12_95a; adaptierte CIELAB-Daten

u^*_e	$L^*=L^*_a$	a^*_a	b^*_a	$C^*_{ab,a}$	$h^*_{ab,a}$	u^*_d
r00j	38.47	63.32	30.17	70.15	25	m81o
r25j	42.12	54.56	49.45	73.64	42	o10y
r50j	53.64	39.15	64.89	75.79	59	o40y
r75j	67.01	21.26	82.83	85.52	76	o69y
j00g	86.18	-4.38	108.53	108.62	92	o98y
j25g	69.73	-29.89	83.06	88.28	110	y34l
j50g	57.03	-48.31	63.49	79.78	127	y69l
j75g	47.73	-60.33	42.64	73.88	145	103c
g00b	50.59	-49.08	15.74	51.54	162	l23c
g25b	52.97	-39.7	-6.72	40.27	190	l55c
g50b	54.85	-32.33	-24.35	40.48	217	l87c
g75b	49.92	-17.29	-36.02	39.96	244	c20v
b00r	40.91	1.28	-42.35	42.37	272	c53v
b25r	26.81	30.38	-52.26	60.45	300	c87v
b50r	32.52	69.06	-42.14	80.9	329	v68m
b75r	39.48	71.47	-3.69	71.57	357	m34o



Ein und Ausgabe: Farbmatisches Drucker-Reflektiv-System FRS12_95a, $L^*=12_95$ für relativen CIELAB-Bunton $h^* = lab^*h^* = h_{ab}/360 = 0.834$ $u^*_e = b25r$

Daten für jede Farbe:

lab^*tch^* und lab^*icu^*

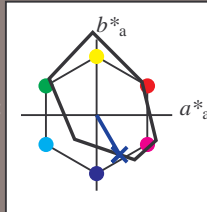
Buntontexte:

$u^*_e = b25r$ $u^*_d = c87v$

Kontrastreduzierungsfaktor:

$c_R = 1.0$

Dreiecks-Helligkeit t^*



FRS12_95a; adaptierte CIELAB-Daten

	u^*_e	$L^*=L^*_a$	a^*_a	b^*_a	$C^*_{ab,a}$	$h^*_{ab,a}$
O _{Ma}	38.06	60.0	44.0	74.4	36	
Y _{Ma}	86.77	-5.17	109.32	109.44	93	
L _{Ma}	47.13	-62.67	48.24	79.09	142	
C _{Ma}	55.66	-29.14	-31.99	43.27	228	
V _{Ma}	17.15	50.3	-59.04	77.57	310	
M _{Ma}	40.37	78.64	-33.5	85.48	337	
N _{Ma}	11.58	0.0	0.0	0.0	0	
W _{Ma}	95.02	0.0	0.0	0.0	0	
R _{Ma}	39.92	58.74	27.99	65.07	25	
J _{Ma}	81.26	-2.89	71.56	71.62	92	
G _{Ma}	52.23	-42.42	13.6	44.55	162	
B _{Ma}	30.57	1.41	-46.47	46.49	272	

Daten für Maximalfarbe (Ma):

$LAB^*LAB^*_{Ma}$: 27 30 -52

$LAB^*LCH^*_{Ma}$: 27 60 300

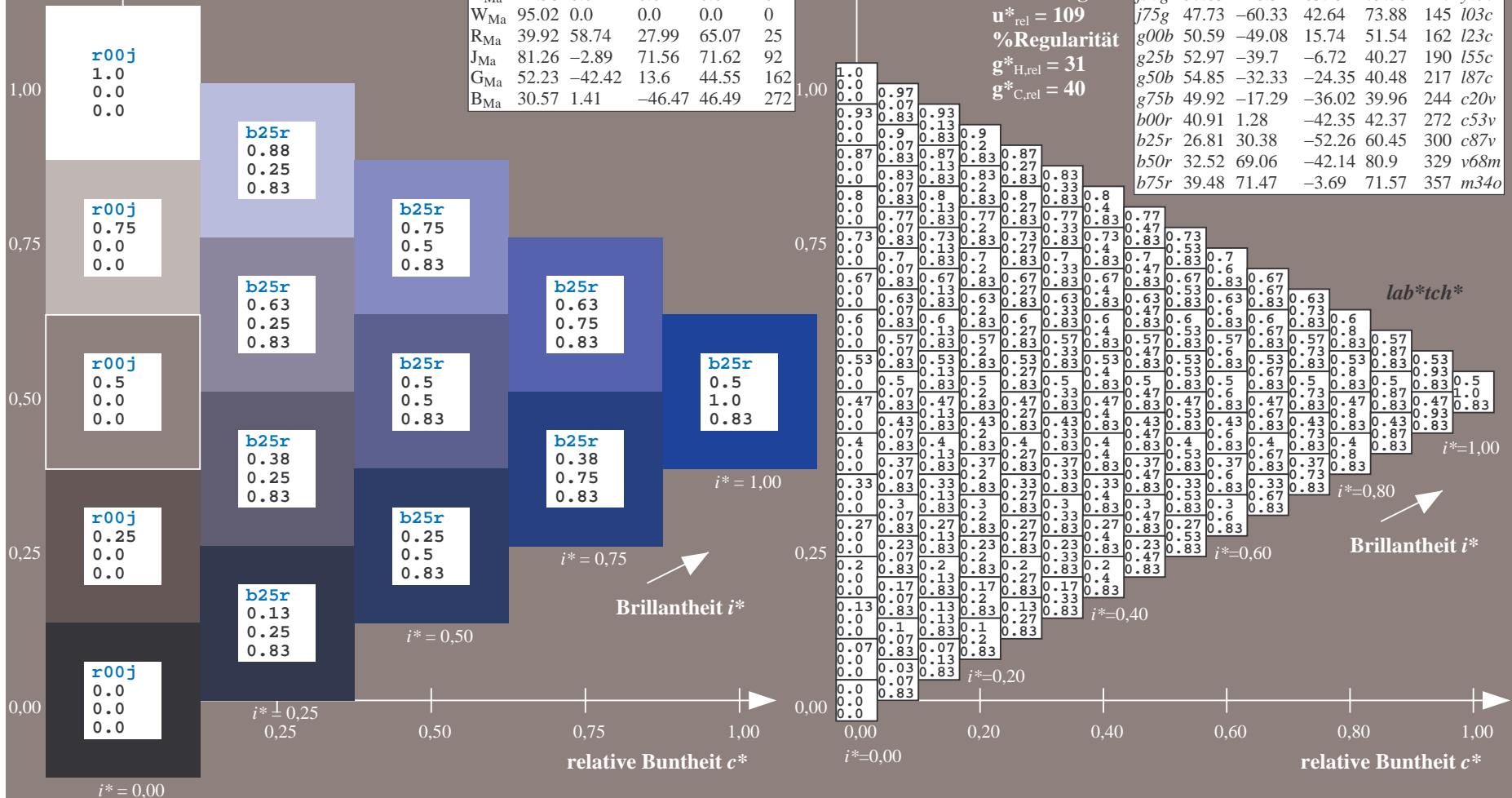
$lab^*rgb^*_{Ma}$: 0.5 0.0 1.0

$lab^*olv^*_{Ma}$: 0.0 0.12 1.0

Dreiecks-Helligkeit t^*

FRS12_95a; adaptierte CIELAB-Daten

	u^*_e	$L^*=L^*_a$	a^*_a	b^*_a	$C^*_{ab,a}$	$h^*_{ab,a}$	u^*_d
r00j	38.47	63.32	30.17	70.15	25	m81o	
r25j	42.12	54.56	49.45	73.64	42	o10y	
r50j	53.64	39.15	64.89	75.79	59	o40y	
r75j	67.01	21.26	82.83	85.52	76	o69y	
j00g	86.18	-4.38	108.53	108.62	92	o98y	
j25g	69.73	-29.89	83.06	88.28	110	y34l	
j50g	57.03	-48.31	63.49	79.78	127	y69l	
j75g	47.73	-60.33	42.64	73.88	145	103c	
g00b	50.59	-49.08	15.74	51.54	162	l23c	
g25b	52.97	-39.7	-6.72	40.27	190	l55c	
g50b	54.85	-32.33	-24.35	40.48	217	l87c	
g75b	49.92	-17.29	-36.02	39.96	244	c20v	
b00r	40.91	1.28	-42.35	42.37	272	c53v	
b25r	26.81	30.38	-52.26	60.45	300	c87v	
b50r	32.52	69.06	-42.14	80.9	329	v68m	
b75r	39.48	71.47	-3.69	71.57	357	m34o	



Ein und Ausgabe: Farbmatisches Drucker-Reflektiv-System FRS12_95a, $L^*=12_95$ für relativen CIELAB-Bunton $h^* = lab^*h^* = h_{ab}/360 = 0.913$ $u^*_e = b50r$

Daten für jede Farbe:

lab^*tch^* und lab^*icu^*

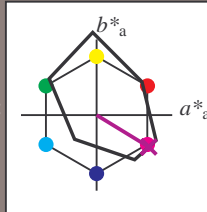
Buntontexte:

$u^*_e = b50r$ $u^*_d = v68m$

Kontrastreduzierungsfaktor:

$c_R = 1.0$

Dreiecks-Helligkeit t^*



FRS12_95a; adaptierte CIELAB-Daten

u^*_e	$L^*=L^*_a$	a^*_a	b^*_a	$C^*_{ab,a}$	$h^*_{ab,a}$
O _{Ma}	38.06	60.0	44.0	74.4	36
Y _{Ma}	86.77	-5.17	109.32	109.44	93
L _{Ma}	47.13	-62.67	48.24	79.09	142
C _{Ma}	55.66	-29.14	-31.99	43.27	228
V _{Ma}	17.15	50.3	-59.04	77.57	310
M _{Ma}	40.37	78.64	-33.5	85.48	337
N _{Ma}	11.58	0.0	0.0	0.0	0
W _{Ma}	95.02	0.0	0.0	0.0	0
R _{Ma}	39.92	58.74	27.99	65.07	25
J _{Ma}	81.26	-2.89	71.56	71.62	92
G _{Ma}	52.23	-42.42	13.6	44.55	162
B _{Ma}	30.57	1.41	-46.47	46.49	272

Daten für Maximalfarbe (Ma):

$LAB^*LAB^*_{Ma}$: 33 69 -42

$LAB^*LCH^*_{Ma}$: 33 81 328

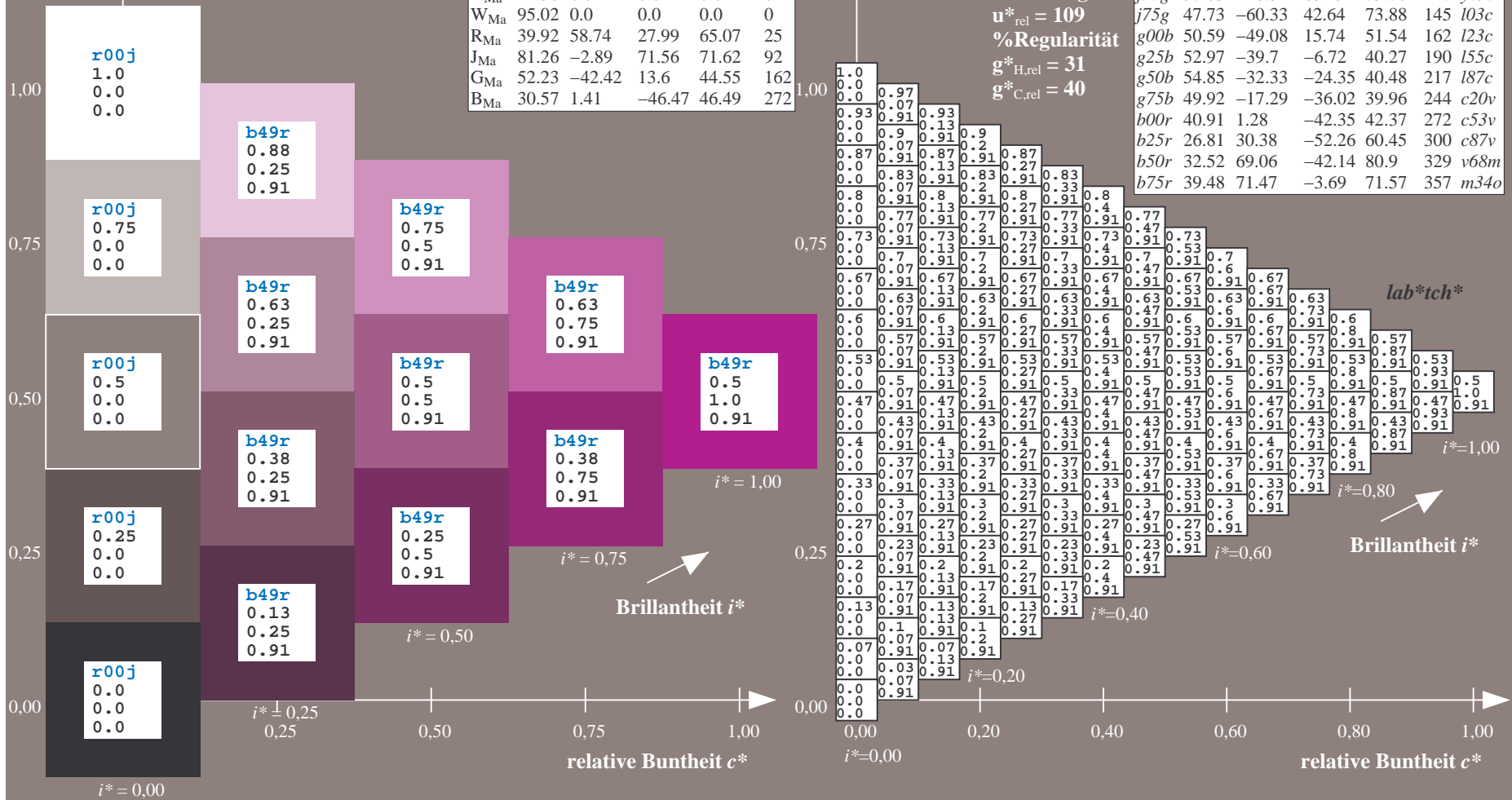
$lab^*rgb^*_{Ma}$: 1.0 0.0 1.0

$lab^*olv^*_{Ma}$: 0.69 0.0 1.0

Dreiecks-Helligkeit t^*

FRS12_95a; adaptierte CIELAB-Daten

u^*_e	$L^*=L^*_a$	a^*_a	b^*_a	$C^*_{ab,a}$	$h^*_{ab,a}$	u^*_d
r00j	38.47	63.32	30.17	70.15	25	m81o
r25j	42.12	54.56	49.45	73.64	42	o10y
r50j	53.64	39.15	64.89	75.79	59	o40y
r75j	67.01	21.26	82.83	85.52	76	o69y
j00g	86.18	-4.38	108.53	108.62	92	o98y
j25g	69.73	-29.89	83.06	88.28	110	y34l
j50g	57.03	-48.31	63.49	79.78	127	y69l
j75g	47.73	-60.33	42.64	73.88	145	103c
g00b	50.59	-49.08	15.74	51.54	162	l23c
g25b	52.97	-39.7	-6.72	40.27	190	l55c
g50b	54.85	-32.33	-24.35	40.48	217	l87c
g75b	49.92	-17.29	-36.02	39.96	244	c20v
b00r	40.91	1.28	-42.35	42.37	272	c53v
b25r	26.81	30.38	-52.26	60.45	300	c87v
b50r	32.52	69.06	-42.14	80.9	329	v68m
b75r	39.48	71.47	-3.69	71.57	357	m34o



Ein und Ausgabe: Farbmatisches Drucker-Reflektiv-System FRS12_95a, $L^*=12_95$ für relativen CIELAB-Bunton $h^* = lab^*h^* = h_{ab}/360 = 0.992$ $u^*_e = b75r$

Daten für jede Farbe:

lab^*tch^* und lab^*icu^*

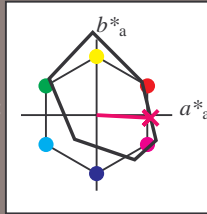
Buntontexte:

$u^*_e = b75r$ $u^*_d = m34o$

Kontrastreduzierungsfaktor:

$c_R = 1.0$

Dreiecks-Helligkeit t^*



FRS12_95a; adaptierte CIELAB-Daten

	u^*_e	$L^*=L^*_a$	a^*_a	b^*_a	$C^*_{ab,a}$	$h^*_{ab,a}$
O _{Ma}	38.06	60.0	44.0	74.4	36	
Y _{Ma}	86.77	-5.17	109.32	109.44	93	
L _{Ma}	47.13	-62.67	48.24	79.09	142	
C _{Ma}	55.66	-29.14	-31.99	43.27	228	
V _{Ma}	17.15	50.3	-59.04	77.57	310	
M _{Ma}	40.37	78.64	-33.5	85.48	337	
N _{Ma}	11.58	0.0	0.0	0.0	0	
W _{Ma}	95.02	0.0	0.0	0.0	0	
R _{Ma}	39.92	58.74	27.99	65.07	25	
J _{Ma}	81.26	-2.89	71.56	71.62	92	
G _{Ma}	52.23	-42.42	13.6	44.55	162	
B _{Ma}	30.57	1.41	-46.47	46.49	272	

Daten für Maximalfarbe (Ma):

$LAB^*LAB^*_Ma: 39\ 71\ -4$

$LAB^*LCH^*_Ma: 39\ 72\ 357$

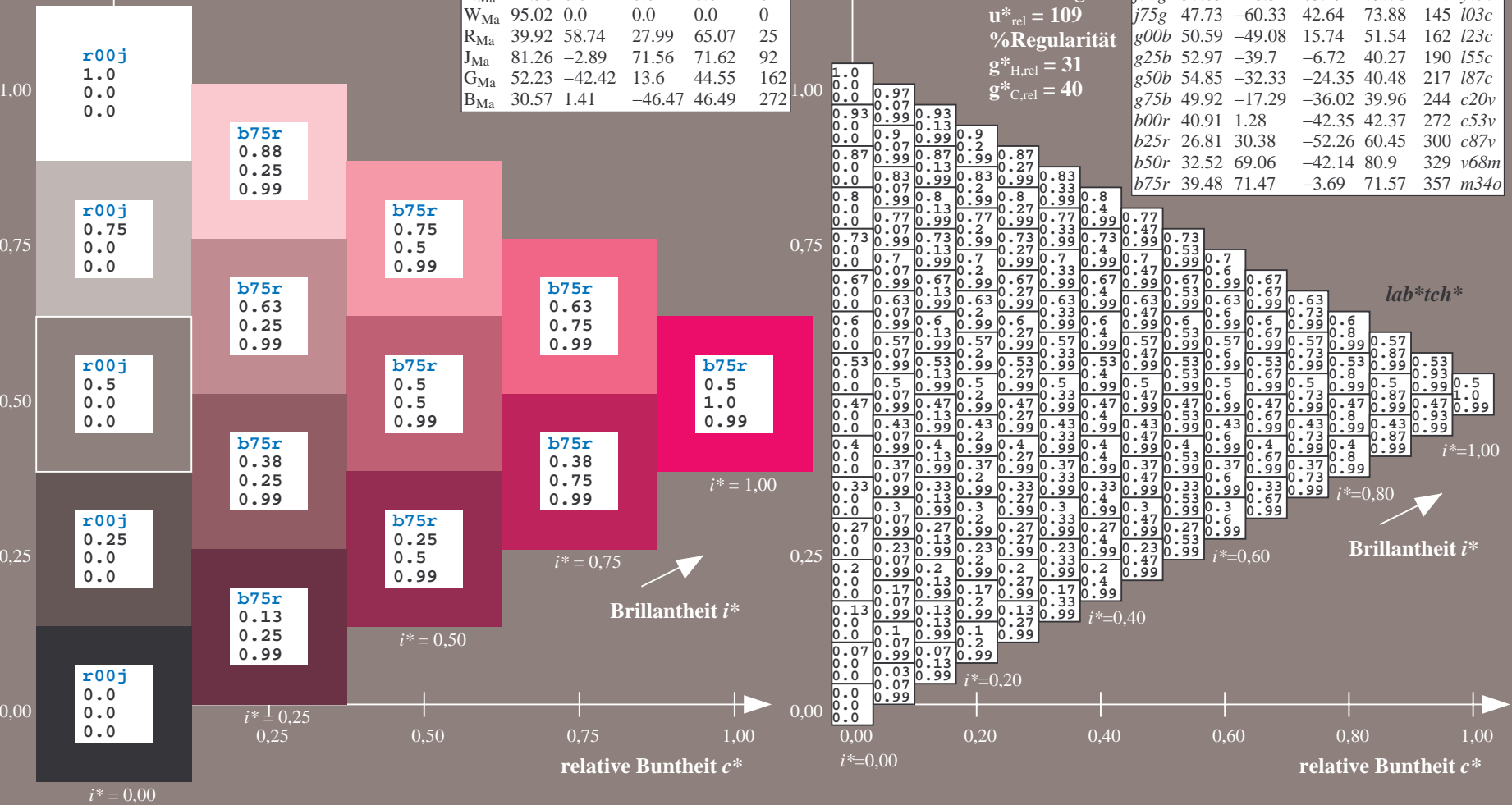
$lab^*rgb^*_Ma: 1.0\ 0.0\ 0.5$

$lab^*olv^*_Ma: 1.0\ 0.0\ 0.66$

Dreiecks-Helligkeit t^*

FRS12_95a; adaptierte CIELAB-Daten

	u^*_e	$L^*=L^*_a$	a^*_a	b^*_a	$C^*_{ab,a}$	$h^*_{ab,a}$	u^*_d
r00j	38.47	63.32	30.17	70.15	25	m81o	
r25j	42.12	54.56	49.45	73.64	42	o10y	
r50j	53.64	39.15	64.89	75.79	59	o40y	
r75j	67.01	21.26	82.83	85.52	76	o69y	
j00g	86.18	-4.38	108.53	108.62	92	o98y	
j25g	69.73	-29.89	83.06	88.28	110	y34l	
j50g	57.03	-48.31	63.49	79.78	127	y69l	
j75g	47.73	-60.33	42.64	73.88	145	l03c	
g00b	50.59	-49.08	15.74	51.54	162	i23c	
g25b	52.97	-39.7	-6.72	40.27	190	i55c	
g50b	54.85	-32.33	-24.35	40.48	217	i87c	
g75b	49.92	-17.29	-36.02	39.96	244	c20v	
b00r	40.91	1.28	-42.35	42.37	272	c53v	
b25r	26.81	30.38	-52.26	60.45	300	c87v	
b50r	32.52	69.06	-42.14	80.9	329	v68m	
b75r	39.48	71.47	-3.69	71.57	357	m34o	



Ein und Ausgabe:
 Farbmetrisches Drucker-Reflektiv-System FRS12_95a

Daten für jede Farbe:

u^*_e und Nummer $Nr. = 00 \dots 15$

Elementar-Bunttontext:

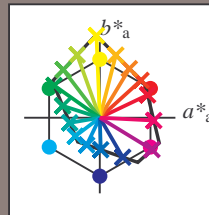
$u^*_e = 16$ Bunttoene $r00j, r25j, \dots, b75r$

Kontrastreduzierungsfaktor:

$c_R = 1.0$

FRS12_95a; adaptierte CIELAB-Daten

u^*_e	$L^*=L^*_a$	a^*_a	b^*_a	$C^*_{ab,a}$	$h^*_{ab,a}$	u^*_d
r00j	38.47	63.32	30.17	70.15	25	m81o
r25j	42.12	54.56	49.45	73.64	42	o10y
r50j	53.64	39.15	64.89	75.79	59	o40y
r75j	67.01	21.26	82.83	85.52	76	o69y
j00g	86.18	-4.38	108.53	108.62	92	o98y
j25g	69.73	-29.89	83.06	88.28	110	y34l
j50g	57.03	-48.31	63.49	79.78	127	y69l
j75g	47.73	-60.33	42.64	73.88	145	l03c
g00b	50.59	-49.08	15.74	51.54	162	l23c
g25b	52.97	-39.7	-6.72	40.27	190	l55c
g50b	54.85	-32.33	-24.35	40.48	217	l87c
g75b	49.92	-17.29	-36.02	39.96	244	c20v
b00r	40.91	1.28	-42.35	42.37	272	c53v
b25r	26.81	30.38	-52.26	60.45	300	c87v
b50r	32.52	69.06	-42.14	80.9	329	v68m
b75r	39.48	71.47	-3.69	71.57	357	m34o



%Umfang

$u^*_{rel} = 109$

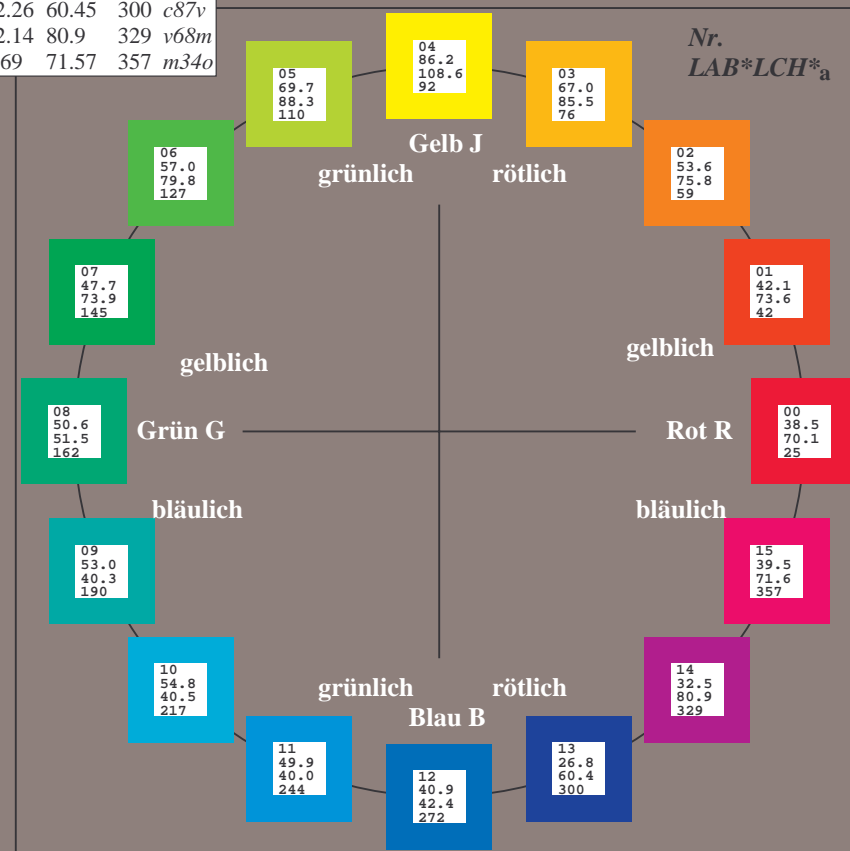
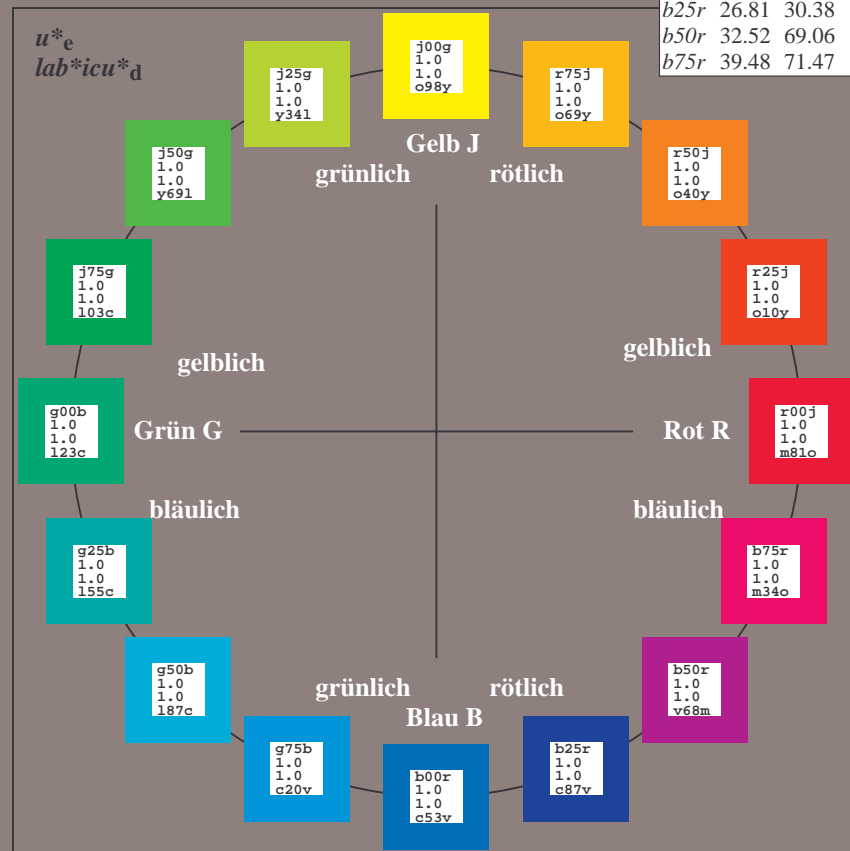
%Regularität

$g^*_{H,rel} = 31$

$g^*_{C,rel} = 40$

FRS12_95a; adaptierte CIELAB-Daten

Name	$L^*=L^*_a$	a^*_a	b^*_a	$C^*_{ab,a}$	$h^*_{ab,a}$
OMa	38.06	60.0	44.0	74.4	36
YMa	86.77	-5.17	109.32	109.44	93
LMa	47.13	-62.67	48.24	79.09	142
CMa	55.66	-29.14	-31.99	43.27	228
VMa	17.15	50.3	-59.04	77.57	310
MMa	40.37	78.64	-33.5	85.48	337
NMa	11.58	0.0	0.0	0.0	0
WMa	95.02	0.0	0.0	0.0	0
RCIE	39.92	58.74	27.99	65.07	25
JCIE	81.26	-2.89	71.56	71.62	92
GCIE	52.23	-42.42	13.6	44.55	162
BCIE	30.57	1.41	-46.47	46.49	272



Ein und Ausgabe: Farbmatisches Drucker-Reflektiv-System FRS12_95a, $L^*=12_95$ für relativen CIELAB-Bunton $h^* = lab^*h^* = h_{ab}/360 = 0.071$ $u^*_e = r00j$
 $lab^*icu^*_d$

Daten für jede Farbe:

lab^*tch^* und lab^*icu^*

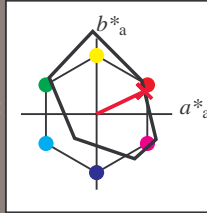
Buntontexte:

$u^*_e = r00j$ $u^*_d = m81o$

Kontrastreduzierungsfaktor:

$c_R = 1.0$

Dreiecks-Helligkeit t^*



FRS12_95a; adaptierte CIELAB-Daten

	u^*_e	$L^*=L^*_a$	a^*_a	b^*_a	$C^*_{ab,a}$	$h^*_{ab,a}$
O _{Ma}	38.06	60.0	44.0	74.4	36	
Y _{Ma}	86.77	-5.17	109.32	109.44	93	
L _{Ma}	47.13	-62.67	48.24	79.09	142	
C _{Ma}	55.66	-29.14	-31.99	43.27	228	
V _{Ma}	17.15	50.3	-59.04	77.57	310	
M _{Ma}	40.37	78.64	-33.5	85.48	337	
N _{Ma}	11.58	0.0	0.0	0.0	0	
W _{Ma}	95.02	0.0	0.0	0.0	0	
R _{Ma}	39.92	58.74	27.99	65.07	25	
J _{Ma}	81.26	-2.89	71.56	71.62	92	
G _{Ma}	52.23	-42.42	13.6	44.55	162	
B _{Ma}	30.57	1.41	-46.47	46.49	272	

Daten für Maximalfarbe (Ma):

$LAB^*LAB^*_{Ma}$: 38 63 30

$LAB^*LCH^*_{Ma}$: 38 70 25

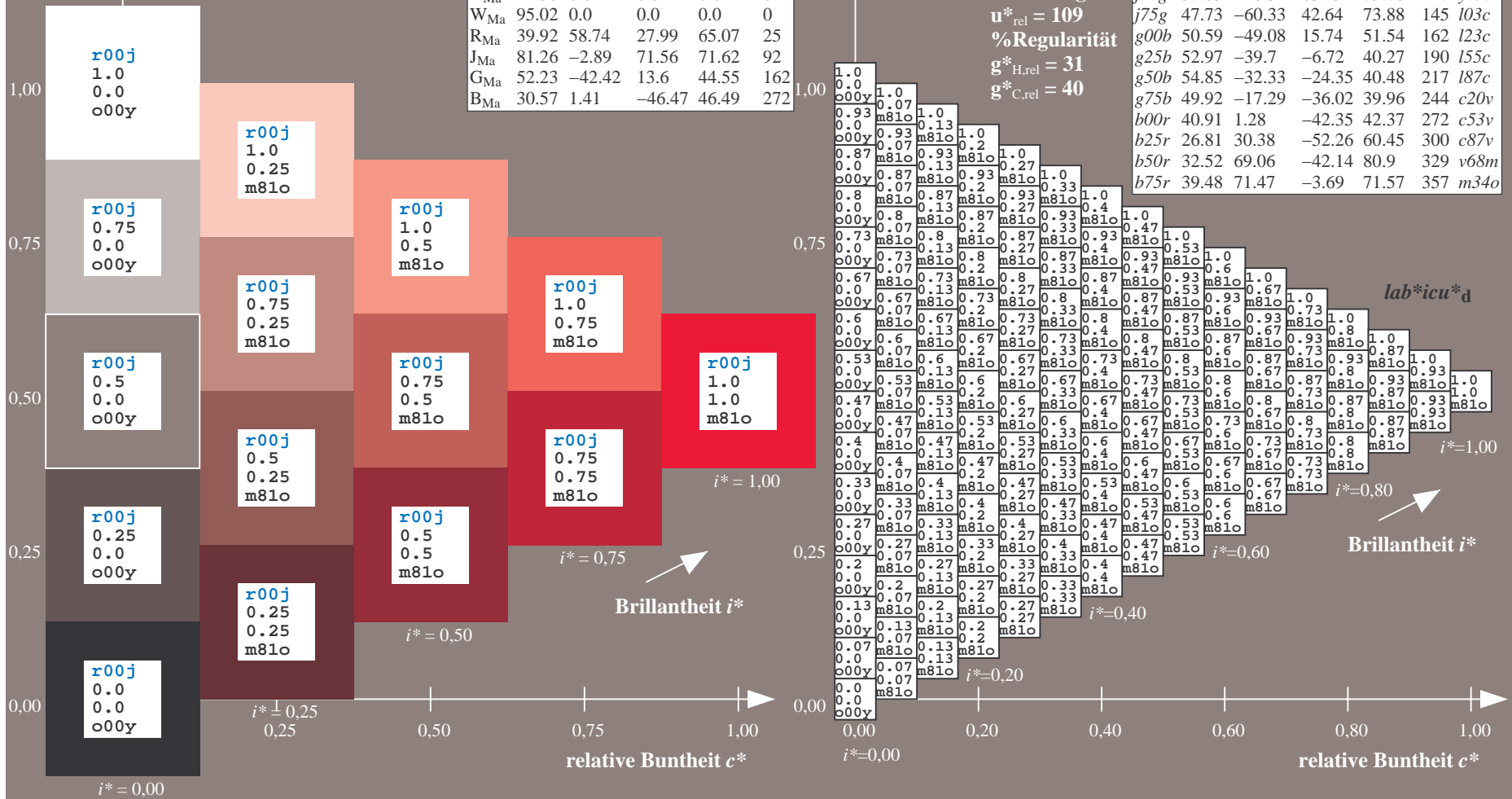
$lab^*rgb^*_{Ma}$: 1.0 0.0 0.0

$lab^*olv^*_{Ma}$: 1.0 0.0 0.18

Dreiecks-Helligkeit t^*

FRS12_95a; adaptierte CIELAB-Daten

	u^*_e	$L^*=L^*_a$	a^*_a	b^*_a	$C^*_{ab,a}$	$h^*_{ab,a}$	u^*_d
r00j	38.47	63.32	30.17	70.15	25	m81o	
r25j	42.12	54.56	49.45	73.64	42	o10y	
r50j	53.64	39.15	64.89	75.79	59	o40y	
r75j	67.01	21.26	82.83	85.52	76	o69y	
j00g	86.18	-4.38	108.53	108.62	92	o98y	
j25g	69.73	-29.89	83.06	88.28	110	y34l	
j50g	57.03	-48.31	63.49	79.78	127	y69l	
j75g	47.73	-60.33	42.64	73.88	145	l03c	
g00b	50.59	-49.08	15.74	51.54	162	l23c	
g25b	52.97	-39.7	-6.72	40.27	190	l55c	
g50b	54.85	-32.33	-24.35	40.48	217	l87c	
g75b	49.92	-17.29	-36.02	39.96	244	c20v	
b00r	40.91	1.28	-42.35	42.37	272	c53v	
b25r	26.81	30.38	-52.26	60.45	300	c87v	
b50r	32.52	69.06	-42.14	80.9	329	v68m	
b75r	39.48	71.47	-3.69	71.57	357	m34o	



Ein und Ausgabe: Farbmatisches Drucker-Reflektiv-System FRS12_95a, $L^*=12_95$ für relativen CIELAB-Bunton $h^* = lab^*h^* = h_{ab}/360 = 0.117$ $u^*_e = r25j$
 $lab^*icu^*_d$

Daten für jede Farbe:

lab^*tch^* und lab^*icu^*

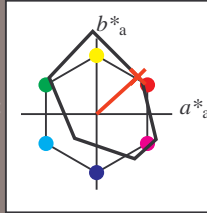
Buntontexte:

$u^*_e = r25j$ $u^*_d = o10y$

Kontrastreduzierungsfaktor:

$c_R = 1.0$

Dreiecks-Helligkeit t^*



FRS12_95a; adaptierte CIELAB-Daten

u^*_e	$L^*=L^*_a$	a^*_a	b^*_a	$C^*_{ab,a}$	$h^*_{ab,a}$
O _{Ma}	38.06	60.0	44.0	74.4	36
Y _{Ma}	86.77	-5.17	109.32	109.44	93
L _{Ma}	47.13	-62.67	48.24	79.09	142
C _{Ma}	55.66	-29.14	-31.99	43.27	228
V _{Ma}	17.15	50.3	-59.04	77.57	310
M _{Ma}	40.37	78.64	-33.5	85.48	337
N _{Ma}	11.58	0.0	0.0	0.0	0
W _{Ma}	95.02	0.0	0.0	0.0	0
R _{Ma}	39.92	58.74	27.99	65.07	25
J _{Ma}	81.26	-2.89	71.56	71.62	92
G _{Ma}	52.23	-42.42	13.6	44.55	162
B _{Ma}	30.57	1.41	-46.47	46.49	272

Daten für Maximalfarbe (Ma):

$LAB^*LAB^*_Ma$: 42 55 49

$LAB^*LCH^*_Ma$: 42 74 42

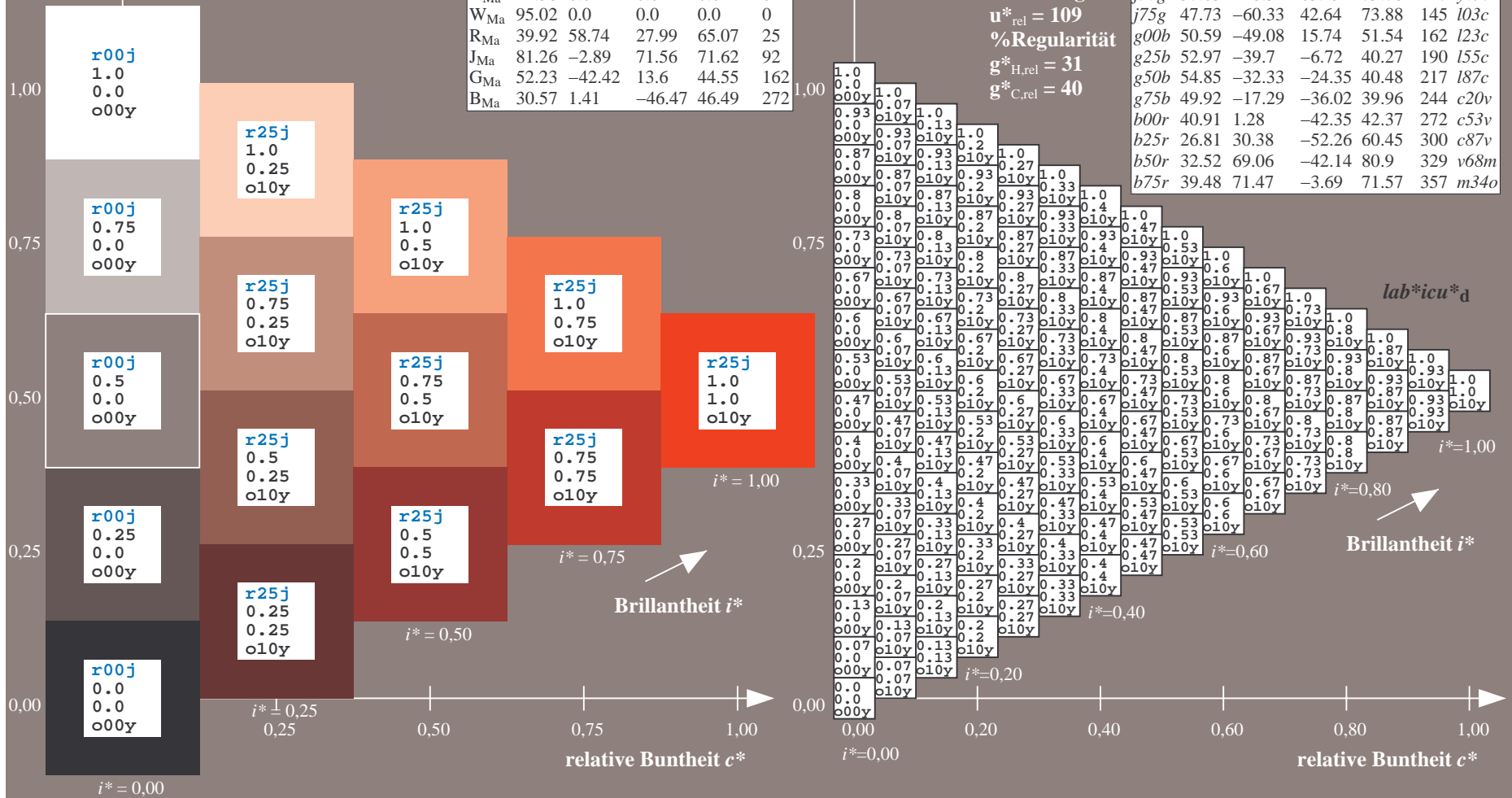
$lab^*rgb^*_Ma$: 1.0 0.25 0.0

$lab^*olv^*_Ma$: 1.0 0.11 0.0

Dreiecks-Helligkeit t^*

FRS12_95a; adaptierte CIELAB-Daten

u^*_e	$L^*=L^*_a$	a^*_a	b^*_a	$C^*_{ab,a}$	$h^*_{ab,a}$	u^*_d
r00j	38.47	63.32	30.17	70.15	25	m81o
r25j	42.12	54.56	49.45	73.64	42	o10y
r50j	53.64	39.15	64.89	75.79	59	o40y
r75j	67.01	21.26	82.83	85.52	76	o69y
j00g	86.18	-4.38	108.53	108.62	92	o98y
j25g	69.73	-29.89	83.06	88.28	110	y34l
j50g	57.03	-48.31	63.49	79.78	127	y69l
j75g	47.73	-60.33	42.64	73.88	145	l03c
g00b	50.59	-49.08	15.74	51.54	162	l23c
g25b	52.97	-39.7	-6.72	40.27	190	l55c
g50b	54.85	-32.33	-24.35	40.48	217	l87c
g75b	49.92	-17.29	-36.02	39.96	244	c20v
b00r	40.91	1.28	-42.35	42.37	272	c53v
b25r	26.81	30.38	-52.26	60.45	300	c87v
b50r	32.52	69.06	-42.14	80.9	329	v68m
b75r	39.48	71.47	-3.69	71.57	357	m34o



Ein und Ausgabe: Farbmatisches Drucker-Reflektiv-System FRS12_95a, $L^*=12_95$ für relativen CIELAB-Bunton $h^* = lab^*h^* = h_{ab}/360 = 0.164$ $u^*_e = r50j$
 $lab^*icu^*_d$

Daten für jede Farbe:

lab^*tch^* und lab^*icu^*

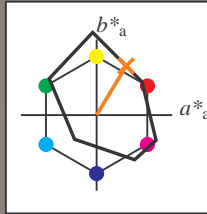
Buntontexte:

$u^*_e = r50j$ $u^*_d = o40y$

Kontrastreduzierungsfaktor:

$c_R = 1.0$

Dreiecks-Helligkeit t^*



FRS12_95a; adaptierte CIELAB-Daten

u^*_e	$L^*=L^*_a$	a^*_a	b^*_a	$C^*_{ab,a}$	$h^*_{ab,a}$
O _{Ma}	38.06	60.0	44.0	74.4	36
Y _{Ma}	86.77	-5.17	109.32	109.44	93
L _{Ma}	47.13	-62.67	48.24	79.09	142
C _{Ma}	55.66	-29.14	-31.99	43.27	228
V _{Ma}	17.15	50.3	-59.04	77.57	310
M _{Ma}	40.37	78.64	-33.5	85.48	337
N _{Ma}	11.58	0.0	0.0	0.0	0
W _{Ma}	95.02	0.0	0.0	0.0	0
R _{Ma}	39.92	58.74	27.99	65.07	25
J _{Ma}	81.26	-2.89	71.56	71.62	92
G _{Ma}	52.23	-42.42	13.6	44.55	162
B _{Ma}	30.57	1.41	-46.47	46.49	272

Daten für Maximalfarbe (Ma):

$LAB^*LAB^*_{Ma}$: 54 39 65

$LAB^*LCH^*_{Ma}$: 54 76 58

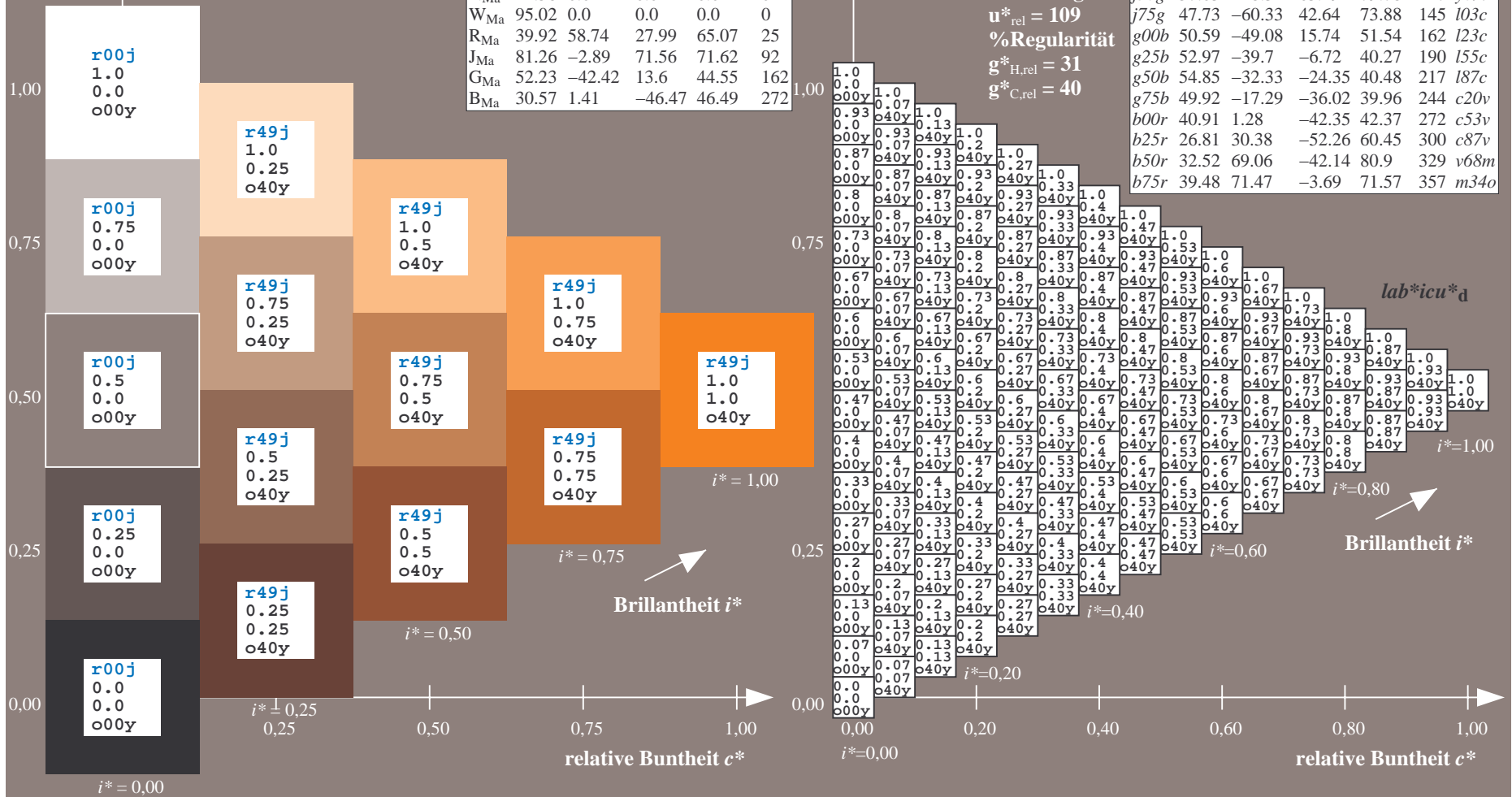
$lab^*rgb^*_{Ma}$: 1.0 0.5 0.0

$lab^*olv^*_{Ma}$: 1.0 0.4 0.0

Dreiecks-Helligkeit t^*

FRS12_95a; adaptierte CIELAB-Daten

u^*_e	$L^*=L^*_a$	a^*_a	b^*_a	$C^*_{ab,a}$	$h^*_{ab,a}$	u^*_d
r00j	38.47	63.32	30.17	70.15	25	m81o
r25j	42.12	54.56	49.45	73.64	42	o10y
r50j	53.64	39.15	64.89	75.79	59	o40y
r75j	67.01	21.26	82.83	85.52	76	o69y
j00g	86.18	-4.38	108.53	108.62	92	o98y
j25g	69.73	-29.89	83.06	88.28	110	y34l
j50g	57.03	-48.31	63.49	79.78	127	y69l
j75g	47.73	-60.33	42.64	73.88	145	l03c
g00b	50.59	-49.08	15.74	51.54	162	l23c
g25b	52.97	-39.7	-6.72	40.27	190	l55c
g50b	54.85	-32.33	-24.35	40.48	217	l87c
g75b	49.92	-17.29	-36.02	39.96	244	c20v
b00r	40.91	1.28	-42.35	42.37	272	c53v
b25r	26.81	30.38	-52.26	60.45	300	c87v
b50r	32.52	69.06	-42.14	80.9	329	v68m
b75r	39.48	71.47	-3.69	71.57	357	m34o



Ein und Ausgabe: Farbmetrisches Drucker-Reflektiv-System FRS12_95a, $L^*=12_95$ für relativen CIELAB-Bunton $h^* = lab^*h^* = h_{ab}/360 = 0.21$ $u^*_e = r75j$
 $lab^*icu^*_d$

Daten für jede Farbe:

lab^*tch^* und lab^*icu^*

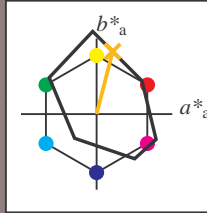
Buntontexte:

$u^*_e = r75j$ $u^*_d = o69y$

Kontrastreduzierungsfaktor:

$c_R = 1.0$

Dreiecks-Helligkeit t^*



FRS12_95a; adaptierte CIELAB-Daten

	u^*_e	$L^*=L^*_a$	a^*_a	b^*_a	$C^*_{ab,a}$	$h^*_{ab,a}$
O _{Ma}	38.06	60.0	44.0	74.4	36	
Y _{Ma}	86.77	-5.17	109.32	109.44	93	
L _{Ma}	47.13	-62.67	48.24	79.09	142	
C _{Ma}	55.66	-29.14	-31.99	43.27	228	
V _{Ma}	17.15	50.3	-59.04	77.57	310	
M _{Ma}	40.37	78.64	-33.5	85.48	337	
N _{Ma}	11.58	0.0	0.0	0.0	0	
W _{Ma}	95.02	0.0	0.0	0.0	0	
R _{Ma}	39.92	58.74	27.99	65.07	25	
J _{Ma}	81.26	-2.89	71.56	71.62	92	
G _{Ma}	52.23	-42.42	13.6	44.55	162	
B _{Ma}	30.57	1.41	-46.47	46.49	272	

Daten für Maximalfarbe (Ma):

$LAB^*LAB^*_{Ma}$: 67 21 83

$LAB^*LCH^*_{Ma}$: 67 86 75

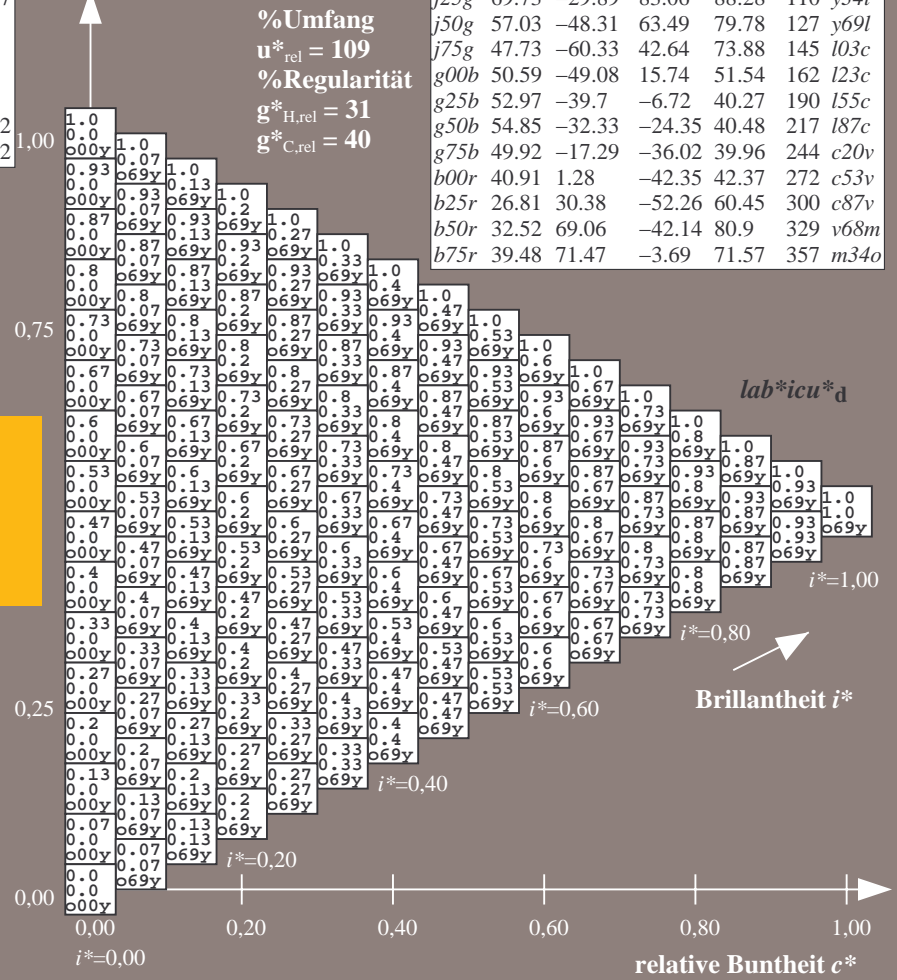
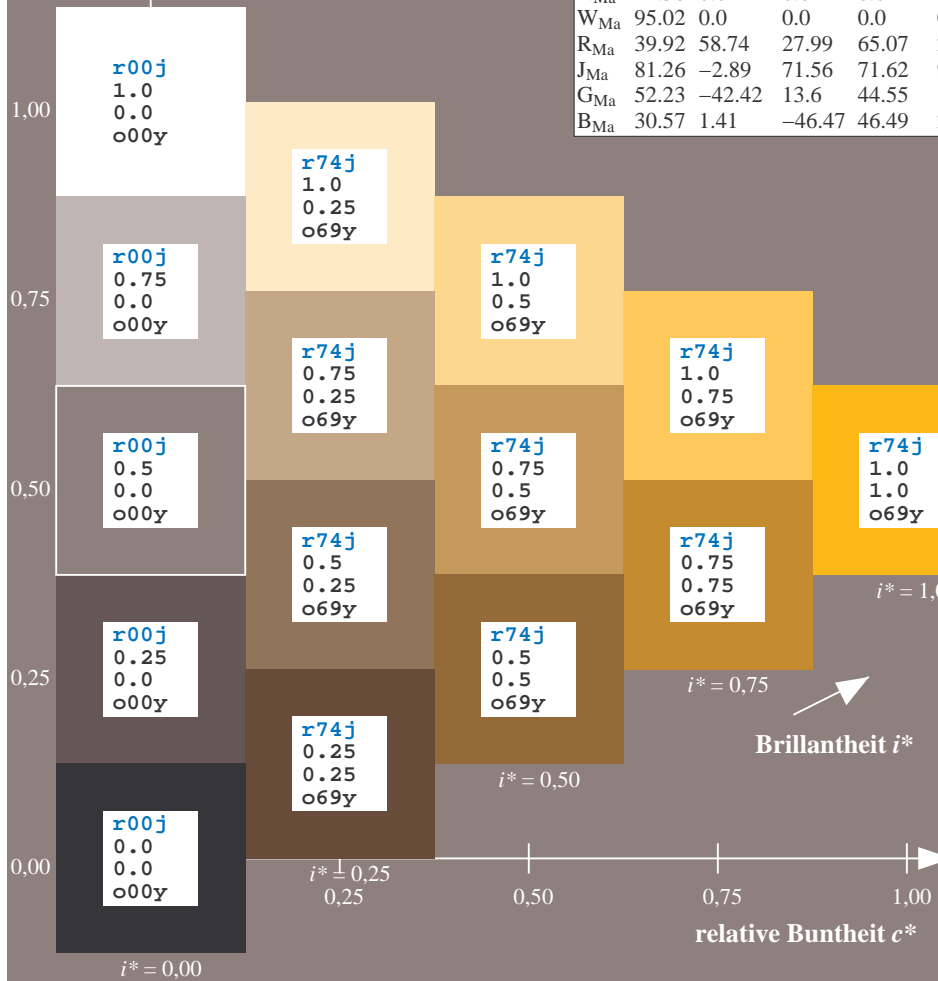
$lab^*rgb^*_{Ma}$: 1.0 0.75 0.0

$lab^*olv^*_{Ma}$: 1.0 0.7 0.0

Dreiecks-Helligkeit t^*

FRS12_95a; adaptierte CIELAB-Daten

	u^*_e	$L^*=L^*_a$	a^*_a	b^*_a	$C^*_{ab,a}$	$h^*_{ab,a}$	u^*_d
r00j	38.47	63.32	30.17	70.15	25	m81o	
r25j	42.12	54.56	49.45	73.64	42	o10y	
r50j	53.64	39.15	64.89	75.79	59	o40y	
r75j	67.01	21.26	82.83	85.52	76	o69y	
j00g	86.18	-4.38	108.53	108.62	92	o98y	
j25g	69.73	-29.89	83.06	88.28	110	y34l	
j50g	57.03	-48.31	63.49	79.78	127	y69l	
j75g	47.73	-60.33	42.64	73.88	145	l03c	
g00b	50.59	-49.08	15.74	51.54	162	l23c	
g25b	52.97	-39.7	-6.72	40.27	190	l55c	
g50b	54.85	-32.33	-24.35	40.48	217	l87c	
g75b	49.92	-17.29	-36.02	39.96	244	c20v	
b00r	40.91	1.28	-42.35	42.37	272	c53v	
b25r	26.81	30.38	-52.26	60.45	300	c87v	
b50r	32.52	69.06	-42.14	80.9	329	v68m	
b75r	39.48	71.47	-3.69	71.57	357	m34o	



Ein und Ausgabe: Farbmatisches Drucker-Reflektiv-System FRS12_95a, $L^*=12_95$ für relativen CIELAB-Bunton $h^* = lab^*h^* = h_{ab}/360 = 0.256$ $u^*_e = j00g$
 $lab^*icu^*_d$

Daten für jede Farbe:

lab^*tch^* und lab^*icu^*

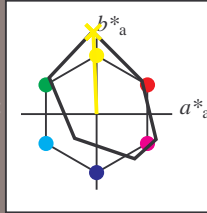
Buntontexte:

$u^*_e = j00g$ $u^*_d = o98y$

Kontrastreduzierungsfaktor:

$c_R = 1.0$

Dreiecks-Helligkeit t^*



FRS12_95a; adaptierte CIELAB-Daten

u^*_e	$L^*=L^*_a$	a^*_a	b^*_a	$C^*_{ab,a}$	$h^*_{ab,a}$
O _{Ma}	38.06	60.0	44.0	74.4	36
Y _{Ma}	86.77	-5.17	109.32	109.44	93
L _{Ma}	47.13	-62.67	48.24	79.09	142
C _{Ma}	55.66	-29.14	-31.99	43.27	228
V _{Ma}	17.15	50.3	-59.04	77.57	310
M _{Ma}	40.37	78.64	-33.5	85.48	337
N _{Ma}	11.58	0.0	0.0	0.0	0
W _{Ma}	95.02	0.0	0.0	0.0	0
R _{Ma}	39.92	58.74	27.99	65.07	25
J _{Ma}	81.26	-2.89	71.56	71.62	92
G _{Ma}	52.23	-42.42	13.6	44.55	162
B _{Ma}	30.57	1.41	-46.47	46.49	272

Daten für Maximalfarbe (Ma):

$LAB^*LAB^*_{Ma}$: 86 -4 109

$LAB^*LCH^*_{Ma}$: 86 109 92

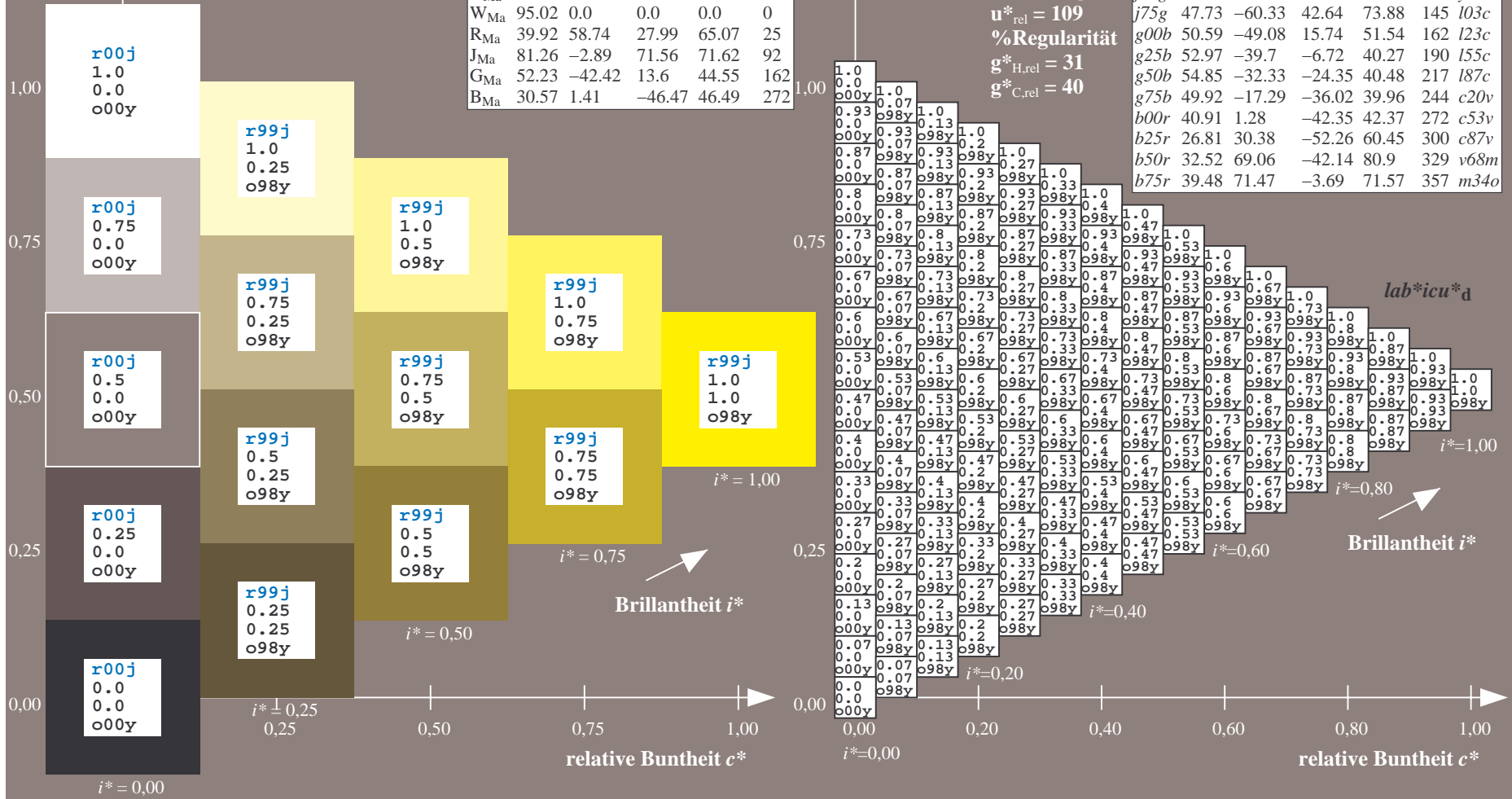
$lab^*rgb^*_{Ma}$: 1.0 1.0 0.0

$lab^*olv^*_{Ma}$: 1.0 0.99 0.0

Dreiecks-Helligkeit t^*

FRS12_95a; adaptierte CIELAB-Daten

u^*_e	$L^*=L^*_a$	a^*_a	b^*_a	$C^*_{ab,a}$	$h^*_{ab,a}$	u^*_d
r00j	38.47	63.32	30.17	70.15	25	m81o
r25j	42.12	54.56	49.45	73.64	42	o10y
r50j	53.64	39.15	64.89	75.79	59	o40y
r75j	67.01	21.26	82.83	85.52	76	o69y
j00g	86.18	-4.38	108.53	108.62	92	o98y
j25g	69.73	-29.89	83.06	88.28	110	y34l
j50g	57.03	-48.31	63.49	79.78	127	y69l
j75g	47.73	-60.33	42.64	73.88	145	l03c
g00b	50.59	-49.08	15.74	51.54	162	i23c
g25b	52.97	-39.7	-6.72	40.27	190	i55c
g50b	54.85	-32.33	-24.35	40.48	217	i87c
g75b	49.92	-17.29	-36.02	39.96	244	c20v
b00r	40.91	1.28	-42.35	42.37	272	c53v
b25r	26.81	30.38	-52.26	60.45	300	c87v
b50r	32.52	69.06	-42.14	80.9	329	v68m
b75r	39.48	71.47	-3.69	71.57	357	m34o



Ein und Ausgabe: Farbmatisches Drucker-Reflektiv-System FRS12_95a, $L^*=12_95$ für relativen CIELAB-Bunton $h^* = lab^*h^* = h_{ab}/360 = 0.305$ $u^*_e = j25g$
 $lab^*icu^*_d$

Daten für jede Farbe:

lab^*tch^* und lab^*icu^*

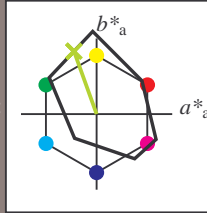
Buntontexte:

$u^*_e = j25g$ $u^*_d = y34l$

Kontrastreduzierungsfaktor:

$c_R = 1.0$

Dreiecks-Helligkeit t^*



FRS12_95a; adaptierte CIELAB-Daten

u^*_e	$L^*=L^*_a$	a^*_a	b^*_a	$C^*_{ab,a}$	$h^*_{ab,a}$
O _{Ma}	38.06	60.0	44.0	74.4	36
Y _{Ma}	86.77	-5.17	109.32	109.44	93
L _{Ma}	47.13	-62.67	48.24	79.09	142
C _{Ma}	55.66	-29.14	-31.99	43.27	228
V _{Ma}	17.15	50.3	-59.04	77.57	310
M _{Ma}	40.37	78.64	-33.5	85.48	337
N _{Ma}	11.58	0.0	0.0	0.0	0
W _{Ma}	95.02	0.0	0.0	0.0	0
R _{Ma}	39.92	58.74	27.99	65.07	25
J _{Ma}	81.26	-2.89	71.56	71.62	92
G _{Ma}	52.23	-42.42	13.6	44.55	162
B _{Ma}	30.57	1.41	-46.47	46.49	272

Daten für Maximalfarbe (Ma):

$LAB^*LAB^*_{Ma}: 70 -30 83$

$LAB^*LCH^*_{Ma}: 70 88 109$

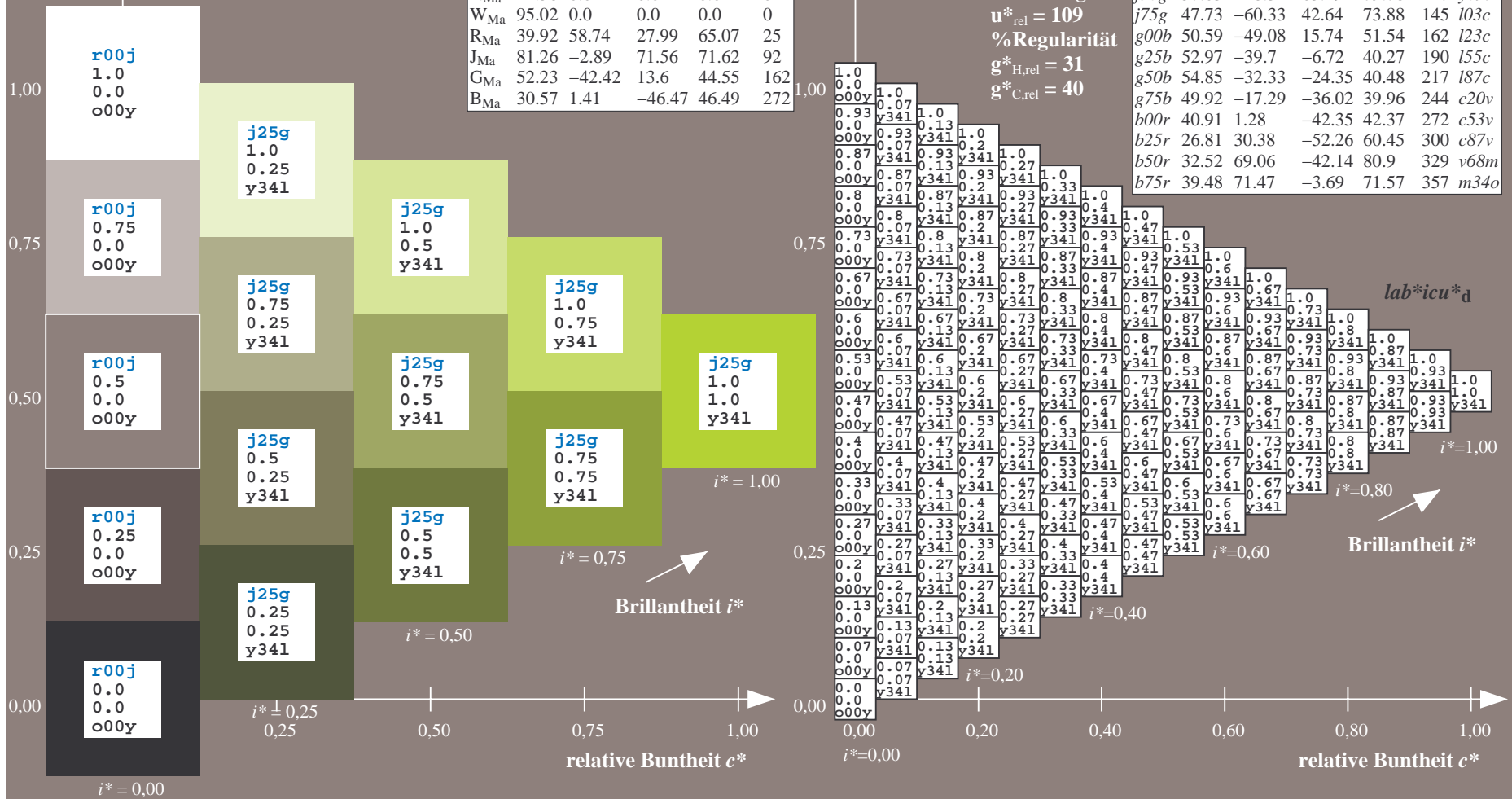
$lab^*rgb^*_{Ma}: 0.75 1.0 0.0$

$lab^*olv^*_{Ma}: 0.66 1.0 0.0$

Dreiecks-Helligkeit t^*

FRS12_95a; adaptierte CIELAB-Daten

u^*_e	$L^*=L^*_a$	a^*_a	b^*_a	$C^*_{ab,a}$	$h^*_{ab,a}$	u^*_d
r00j	38.47	63.32	30.17	70.15	25	m81o
r25j	42.12	54.56	49.45	73.64	42	o10y
r50j	53.64	39.15	64.89	75.79	59	o40y
r75j	67.01	21.26	82.83	85.52	76	o69y
j00g	86.18	-4.38	108.53	108.62	92	o98y
j25g	69.73	-29.89	83.06	88.28	110	y34l
j50g	57.03	-48.31	63.49	79.78	127	y69l
j75g	47.73	-60.33	42.64	73.88	145	l03c
g00b	50.59	-49.08	15.74	51.54	162	l23c
g25b	52.97	-39.7	-6.72	40.27	190	l55c
g50b	54.85	-32.33	-24.35	40.48	217	l87c
g75b	49.92	-17.29	-36.02	39.96	244	c20v
b00r	40.91	1.28	-42.35	42.37	272	c53v
b25r	26.81	30.38	-52.26	60.45	300	c87v
b50r	32.52	69.06	-42.14	80.9	329	v68m
b75r	39.48	71.47	-3.69	71.57	357	m34o



Ein und Ausgabe: Farbmatisches Drucker-Reflektiv-System FRS12_95a, $L^*=12_95$ für relativen CIELAB-Bunton $h^* = lab^*h^* = h_{ab}/360 = 0.354$ $u^*_e = j50g$
 $lab^*icu^*_d$

Daten für jede Farbe:

lab^*tch^* und $lab^*icu^*_d$

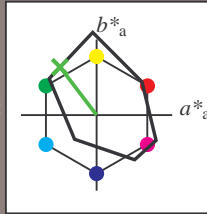
Buntontexte:

$u^*_e = j50g$ $u^*_d = y69l$

Kontrastreduzierungsfaktor:

$c_R = 1.0$

Dreiecks-Helligkeit t^*



FRS12_95a; adaptierte CIELAB-Daten

u^*_e	$L^*=L^*_a$	a^*_a	b^*_a	$C^*_{ab,a}$	$h^*_{ab,a}$
O _{Ma}	38.06	60.0	44.0	74.4	36
Y _{Ma}	86.77	-5.17	109.32	109.44	93
L _{Ma}	47.13	-62.67	48.24	79.09	142
C _{Ma}	55.66	-29.14	-31.99	43.27	228
V _{Ma}	17.15	50.3	-59.04	77.57	310
M _{Ma}	40.37	78.64	-33.5	85.48	337
N _{Ma}	11.58	0.0	0.0	0.0	0
W _{Ma}	95.02	0.0	0.0	0.0	0
R _{Ma}	39.92	58.74	27.99	65.07	25
J _{Ma}	81.26	-2.89	71.56	71.62	92
G _{Ma}	52.23	-42.42	13.6	44.55	162
B _{Ma}	30.57	1.41	-46.47	46.49	272

Daten für Maximalfarbe (Ma):

$LAB^*LAB^*_{Ma}$: 57 -48 63

$LAB^*LCH^*_{Ma}$: 57 80 127

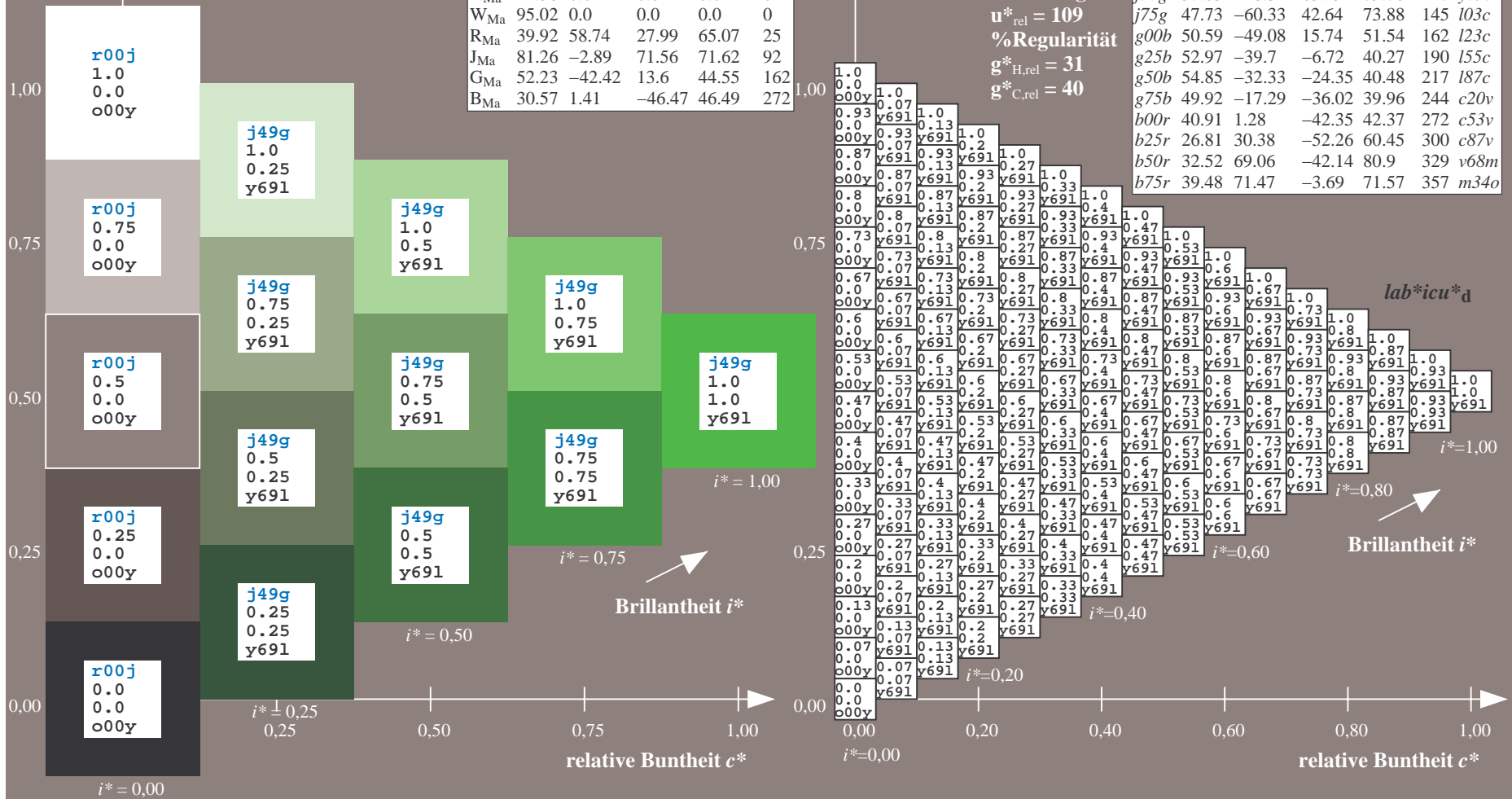
$lab^*rgb^*_{Ma}$: 0.5 1.0 0.0

$lab^*olv^*_{Ma}$: 0.3 1.0 0.0

Dreiecks-Helligkeit t^*

FRS12_95a; adaptierte CIELAB-Daten

u^*_e	$L^*=L^*_a$	a^*_a	b^*_a	$C^*_{ab,a}$	$h^*_{ab,a}$	u^*_d
r00j	38.47	63.32	30.17	70.15	25	m81o
r25j	42.12	54.56	49.45	73.64	42	o10y
r50j	53.64	39.15	64.89	75.79	59	o40y
r75j	67.01	21.26	82.83	85.52	76	o69y
j00g	86.18	-4.38	108.53	108.62	92	o98y
j25g	69.73	-29.89	83.06	88.28	110	y34l
j50g	57.03	-48.31	63.49	79.78	127	y69l
j75g	47.73	-60.33	42.64	73.88	145	l03c
g00b	50.59	-49.08	15.74	51.54	162	l23c
g25b	52.97	-39.7	-6.72	40.27	190	l55c
g50b	54.85	-32.33	-24.35	40.48	217	l87c
g75b	49.92	-17.29	-36.02	39.96	244	c20v
b00r	40.91	1.28	-42.35	42.37	272	c53v
b25r	26.81	30.38	-52.26	60.45	300	c87v
b50r	32.52	69.06	-42.14	80.9	329	v68m
b75r	39.48	71.47	-3.69	71.57	357	m34o



Ein und Ausgabe: Farbmatisches Drucker-Reflektiv-System FRS12_95a, $L^*=12_95$ für relativen CIELAB-Bunton $h^* = lab^*h^* = h_{ab}/360 = 0.402$ $u^*_e = j75g$

Daten für jede Farbe:

lab^*ch^* und lab^*icu^*

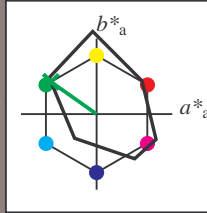
Buntontexte:

$u^*_e = j75g$ $u^*_d = l03c$

Kontrastreduzierungsfaktor:

$c_R = 1.0$

Dreiecks-Helligkeit t^*



FRS12_95a; adaptierte CIELAB-Daten

u^*_e	$L^*=L^*_a$	a^*_a	b^*_a	$C^*_{ab,a}$	$h^*_{ab,a}$
O _{Ma}	38.06	60.0	44.0	74.4	36
Y _{Ma}	86.77	-5.17	109.32	109.44	93
L _{Ma}	47.13	-62.67	48.24	79.09	142
C _{Ma}	55.66	-29.14	-31.99	43.27	228
V _{Ma}	17.15	50.3	-59.04	77.57	310
M _{Ma}	40.37	78.64	-33.5	85.48	337
N _{Ma}	11.58	0.0	0.0	0.0	0
W _{Ma}	95.02	0.0	0.0	0.0	0
R _{Ma}	39.92	58.74	27.99	65.07	25
J _{Ma}	81.26	-2.89	71.56	71.62	92
G _{Ma}	52.23	-42.42	13.6	44.55	162
B _{Ma}	30.57	1.41	-46.47	46.49	272

Daten für Maximalfarbe (Ma):

$LAB^*LAB^*_Ma$: 48 -60 43

$LAB^*LCH^*_Ma$: 48 74 144

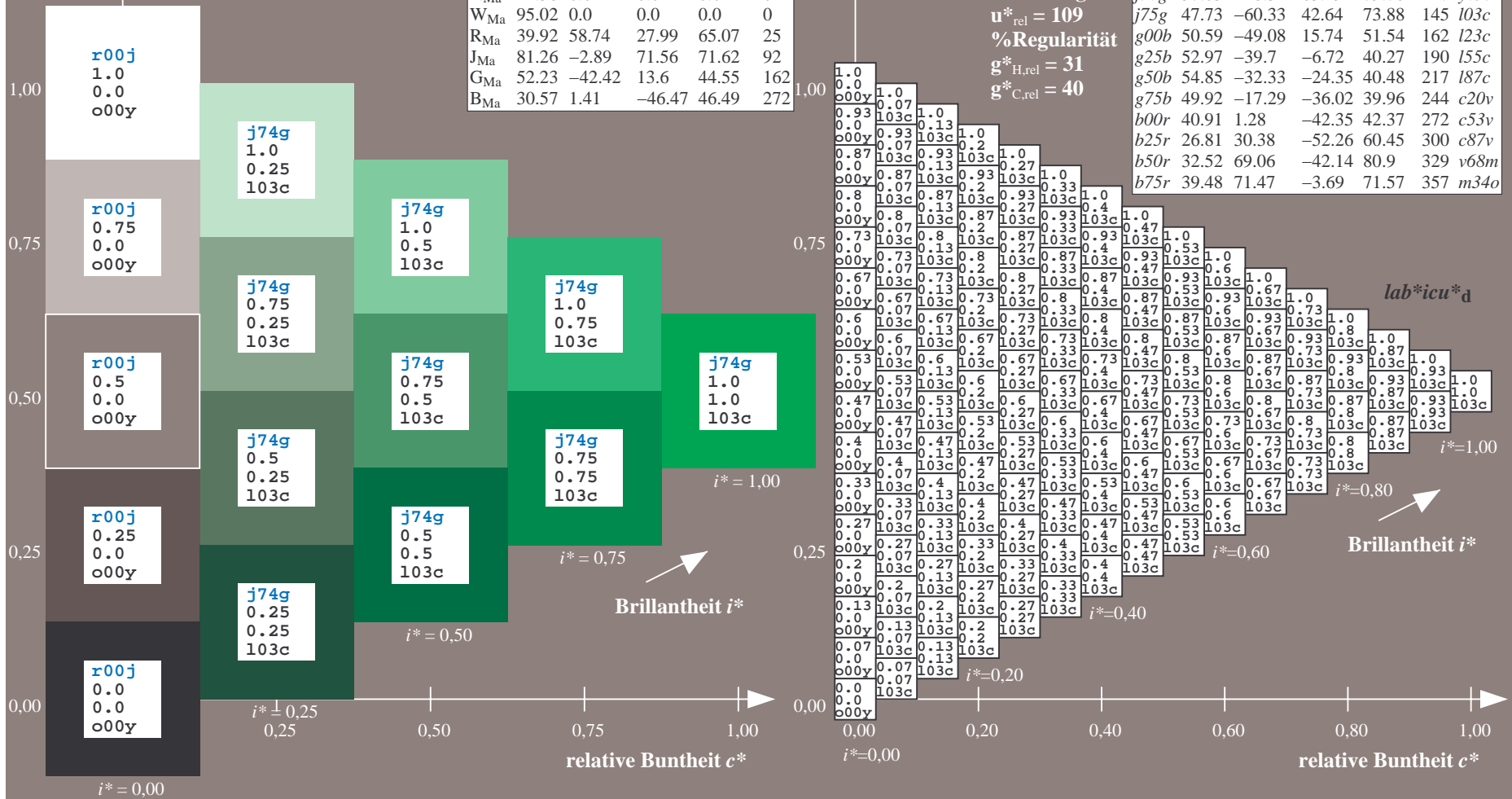
$lab^*rgb^*_Ma$: 0.25 1.0 0.0

$lab^*olv^*_Ma$: 0.0 1.0 0.03

Dreiecks-Helligkeit t^*

FRS12_95a; adaptierte CIELAB-Daten

u^*_e	$L^*=L^*_a$	a^*_a	b^*_a	$C^*_{ab,a}$	$h^*_{ab,a}$	u^*_d
r00j	38.47	63.32	30.17	70.15	25	m81o
r25j	42.12	54.56	49.45	73.64	42	o10y
r50j	53.64	39.15	64.89	75.79	59	o40y
r75j	67.01	21.26	82.83	85.52	76	o69y
j00g	86.18	-4.38	108.53	108.62	92	o98y
j25g	69.73	-29.89	83.06	88.28	110	y34l
j50g	57.03	-48.31	63.49	79.78	127	y69l
j75g	47.73	-60.33	42.64	73.88	145	l03c
g00b	50.59	-49.08	15.74	51.54	162	l23c
g25b	52.97	-39.7	-6.72	40.27	190	l55c
g50b	54.85	-32.33	-24.35	40.48	217	l87c
g75b	49.92	-17.29	-36.02	39.96	244	c20v
b00r	40.91	1.28	-42.35	42.37	272	c53v
b25r	26.81	30.38	-52.26	60.45	300	c87v
b50r	32.52	69.06	-42.14	80.9	329	v68m
b75r	39.48	71.47	-3.69	71.57	357	m34o



Ein und Ausgabe: Farbmimetrisches Drucker-Reflektiv-System FRS12_95a, $L^*=12_95$ für relativen CIELAB-Bunton $h^* = lab^*h^* = h_{ab}/360 = 0.451$ $u^*_e = g00b$
 $lab^*icu^*_d$

Daten für jede Farbe:

lab^*tch^* und lab^*icu^*

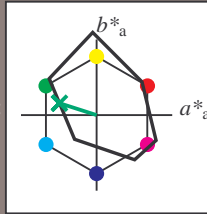
Buntontexte:

$u^*_e = g00b$ $u^*_d = l23c$

Kontrastreduzierungsfaktor:

$c_R = 1.0$

Dreiecks-Helligkeit t^*



FRS12_95a; adaptierte CIELAB-Daten

u^*_e	$L^*=L^*_a$	a^*_a	b^*_a	$C^*_{ab,a}$	$h^*_{ab,a}$
O _{Ma}	38.06	60.0	44.0	74.4	36
Y _{Ma}	86.77	-5.17	109.32	109.44	93
L _{Ma}	47.13	-62.67	48.24	79.09	142
C _{Ma}	55.66	-29.14	-31.99	43.27	228
V _{Ma}	17.15	50.3	-59.04	77.57	310
M _{Ma}	40.37	78.64	-33.5	85.48	337
N _{Ma}	11.58	0.0	0.0	0.0	0
W _{Ma}	95.02	0.0	0.0	0.0	0
R _{Ma}	39.92	58.74	27.99	65.07	25
J _{Ma}	81.26	-2.89	71.56	71.62	92
G _{Ma}	52.23	-42.42	13.6	44.55	162
B _{Ma}	30.57	1.41	-46.47	46.49	272

Daten für Maximalfarbe (Ma):

$LAB^*LAB^*_Ma: 51 -49 16$

$LAB^*LCH^*_Ma: 51 52 162$

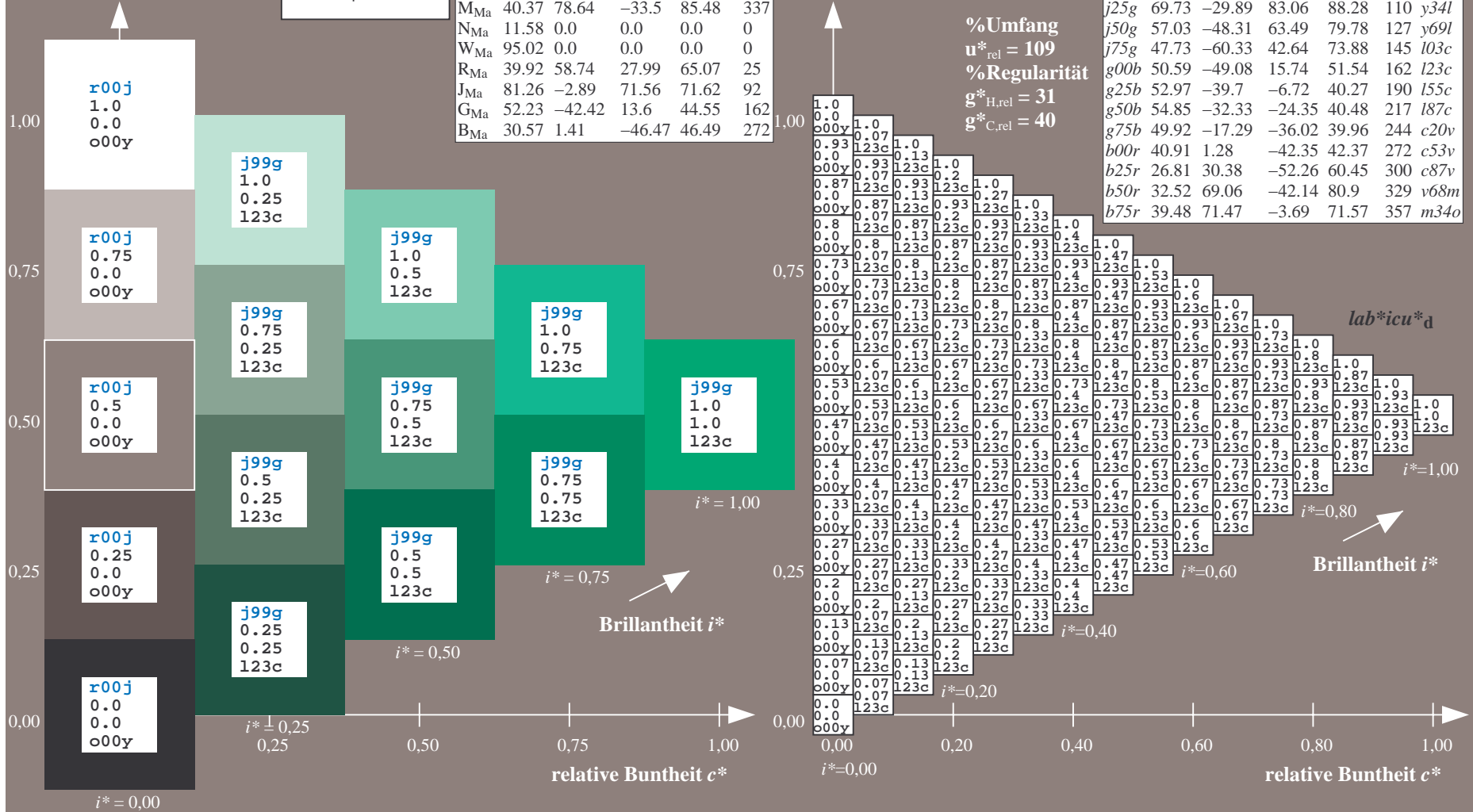
$lab^*rgb^*_Ma: 0.0 1.0 0.0$

$lab^*olv^*_Ma: 0.0 1.0 0.23$

Dreiecks-Helligkeit t^*

FRS12_95a; adaptierte CIELAB-Daten

u^*_e	$L^*=L^*_a$	a^*_a	b^*_a	$C^*_{ab,a}$	$h^*_{ab,a}$	u^*_d
r00j	38.47	63.32	30.17	70.15	25	m81o
r25j	42.12	54.56	49.45	73.64	42	o10y
r50j	53.64	39.15	64.89	75.79	59	o40y
r75j	67.01	21.26	82.83	85.52	76	o69y
j00g	86.18	-4.38	108.53	108.62	92	o98y
j25g	69.73	-29.89	83.06	88.28	110	y34l
j50g	57.03	-48.31	63.49	79.78	127	y69l
j75g	47.73	-60.33	42.64	73.88	145	l03c
g00b	50.59	-49.08	15.74	51.54	162	l23c
g25b	52.97	-39.7	-6.72	40.27	190	l55c
g50b	54.85	-32.33	-24.35	40.48	217	l87c
g75b	49.92	-17.29	-36.02	39.96	244	c20v
b00r	40.91	1.28	-42.35	42.37	272	c53v
b25r	26.81	30.38	-52.26	60.45	300	c87v
b50r	32.52	69.06	-42.14	80.9	329	v68m
b75r	39.48	71.47	-3.69	71.57	357	m34o



Ein und Ausgabe: Farbmimetrisches Drucker-Reflektiv-System FRS12_95a, $L^*=12_95$ für relative CIELAB-Bunton $h^* = lab^*h^* = h_{ab}/360 = 0.527$ $u^*_e = g25b$
 $lab^*icu^*_d$

Daten für jede Farbe:

lab^*tch^* und lab^*icu^*

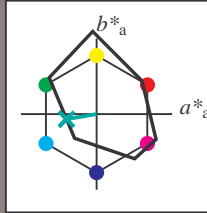
Buntontexte:

$u^*_e = g25b$ $u^*_d = l55c$

Kontrastreduzierungsfaktor:

$c_R = 1.0$

Dreiecks-Helligkeit t^*



FRS12_95a; adaptierte CIELAB-Daten

u^*_e	$L^*=L^*_a$	a^*_a	b^*_a	$C^*_{ab,a}$	$h^*_{ab,a}$
O _{Ma}	38.06	60.0	44.0	74.4	36
Y _{Ma}	86.77	-5.17	109.32	109.44	93
L _{Ma}	47.13	-62.67	48.24	79.09	142
C _{Ma}	55.66	-29.14	-31.99	43.27	228
V _{Ma}	17.15	50.3	-59.04	77.57	310
M _{Ma}	40.37	78.64	-33.5	85.48	337
N _{Ma}	11.58	0.0	0.0	0.0	0
W _{Ma}	95.02	0.0	0.0	0.0	0
R _{Ma}	39.92	58.74	27.99	65.07	25
J _{Ma}	81.26	-2.89	71.56	71.62	92
G _{Ma}	52.23	-42.42	13.6	44.55	162
B _{Ma}	30.57	1.41	-46.47	46.49	272

Daten für Maximalfarbe (Ma):

$LAB^*LAB^*_{Ma}: 53 -40 -7$

$LAB^*LCH^*_{Ma}: 53 40 189$

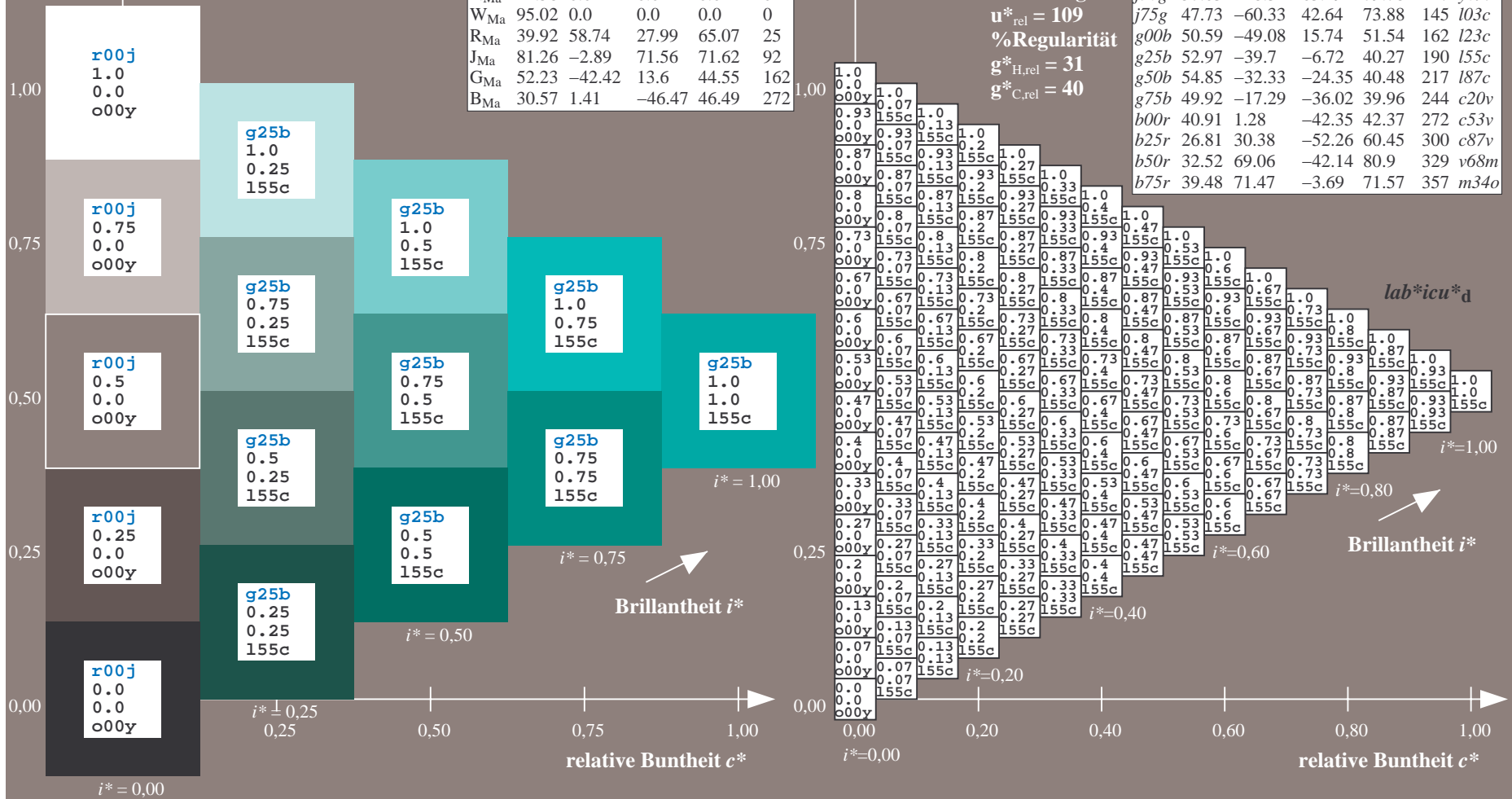
$lab^*rgb^*_{Ma}: 0.0 1.0 0.5$

$lab^*olv^*_{Ma}: 0.0 1.0 0.55$

Dreiecks-Helligkeit t^*

FRS12_95a; adaptierte CIELAB-Daten

u^*_e	$L^*=L^*_a$	a^*_a	b^*_a	$C^*_{ab,a}$	$h^*_{ab,a}$	u^*_d
r00j	38.47	63.32	30.17	70.15	25	m81o
r25j	42.12	54.56	49.45	73.64	42	o10y
r50j	53.64	39.15	64.89	75.79	59	o40y
r75j	67.01	21.26	82.83	85.52	76	o69y
j00g	86.18	-4.38	108.53	108.62	92	o98y
j25g	69.73	-29.89	83.06	88.28	110	y34l
j50g	57.03	-48.31	63.49	79.78	127	y69l
j75g	47.73	-60.33	42.64	73.88	145	l03c
g00b	50.59	-49.08	15.74	51.54	162	l23c
g25b	52.97	-39.7	-6.72	40.27	190	l55c
g50b	54.85	-32.33	-24.35	40.48	217	l87c
g75b	49.92	-17.29	-36.02	39.96	244	c20v
b00r	40.91	1.28	-42.35	42.37	272	c53v
b25r	26.81	30.38	-52.26	60.45	300	c87v
b50r	32.52	69.06	-42.14	80.9	329	v68m
b75r	39.48	71.47	-3.69	71.57	357	m34o



Ein und Ausgabe: Farbmatisches Drucker-Reflektiv-System FRS12_95a, $L^*=12_95$ für relativen CIELAB-Bunton $h^* = lab^*h^* = h_{ab}/360 = 0.603$ $u^*_e = g50b$
 $lab^*icu^*_d$

Daten für jede Farbe:

lab^*tch^* und lab^*icu^*

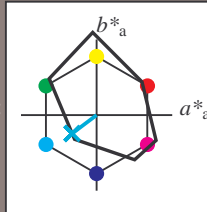
Buntontexte:

$u^*_e = g50b$ $u^*_d = l87c$

Kontrastreduzierungsfaktor:

$c_R = 1.0$

Dreiecks-Helligkeit t^*



FRS12_95a; adaptierte CIELAB-Daten

u^*_e	$L^*=L^*_a$	a^*_a	b^*_a	$C^*_{ab,a}$	$h^*_{ab,a}$
O _{Ma}	38.06	60.0	44.0	74.4	36
Y _{Ma}	86.77	-5.17	109.32	109.44	93
L _{Ma}	47.13	-62.67	48.24	79.09	142
C _{Ma}	55.66	-29.14	-31.99	43.27	228
V _{Ma}	17.15	50.3	-59.04	77.57	310
M _{Ma}	40.37	78.64	-33.5	85.48	337
N _{Ma}	11.58	0.0	0.0	0.0	0
W _{Ma}	95.02	0.0	0.0	0.0	0
R _{Ma}	39.92	58.74	27.99	65.07	25
J _{Ma}	81.26	-2.89	71.56	71.62	92
G _{Ma}	52.23	-42.42	13.6	44.55	162
B _{Ma}	30.57	1.41	-46.47	46.49	272

Daten für Maximalfarbe (Ma):

$LAB^*LAB^*_{Ma}$: 55 -32 -24

$LAB^*LCH^*_{Ma}$: 55 40 216

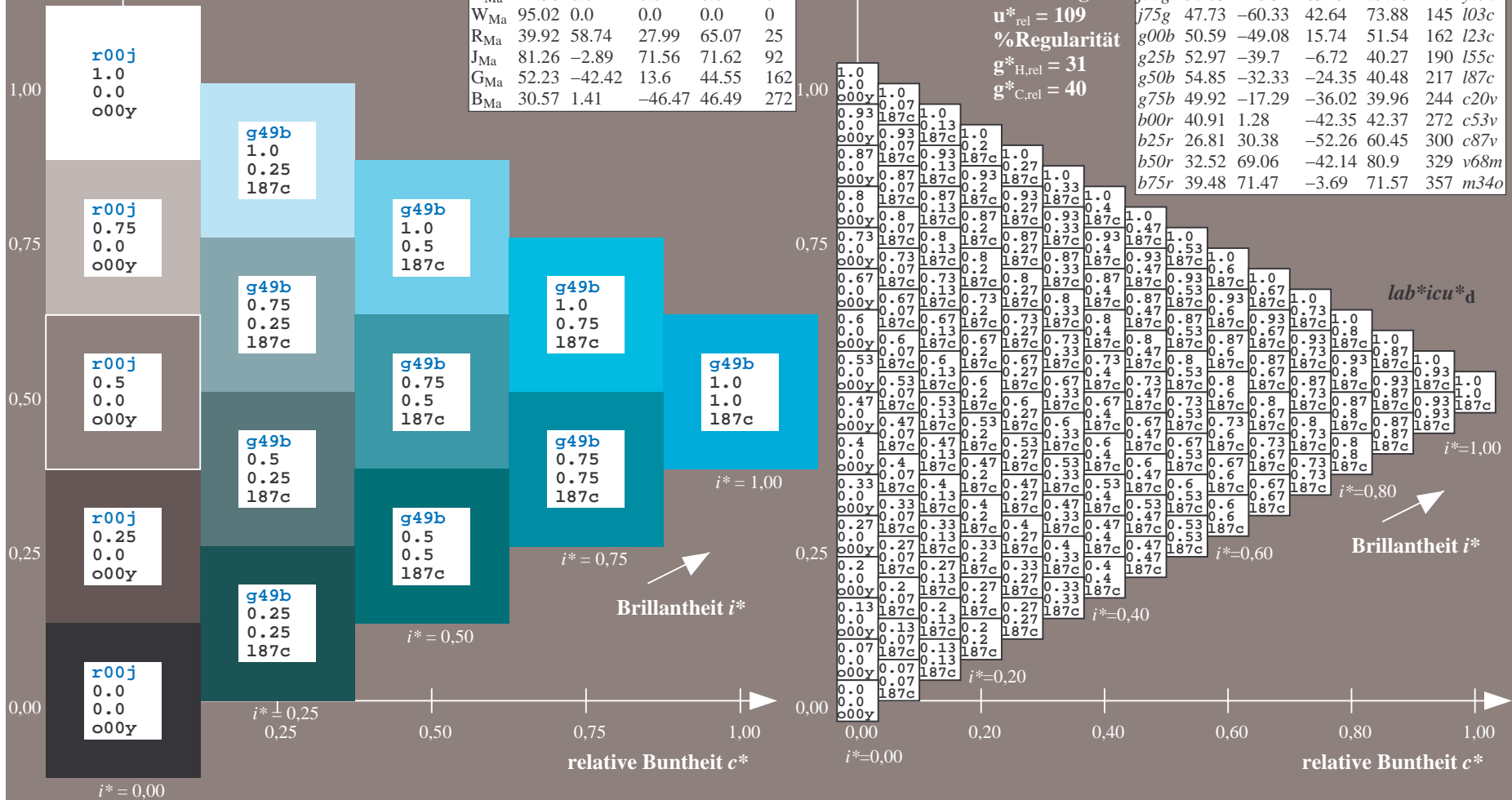
$lab^*rgb^*_{Ma}$: 0.0 1.0 1.0

$lab^*olv^*_{Ma}$: 0.0 1.0 0.87

Dreiecks-Helligkeit t^*

FRS12_95a; adaptierte CIELAB-Daten

u^*_e	$L^*=L^*_a$	a^*_a	b^*_a	$C^*_{ab,a}$	$h^*_{ab,a}$	u^*_d
r00j	38.47	63.32	30.17	70.15	25	m81o
r25j	42.12	54.56	49.45	73.64	42	o10y
r50j	53.64	39.15	64.89	75.79	59	o40y
r75j	67.01	21.26	82.83	85.52	76	o69y
j00g	86.18	-4.38	108.53	108.62	92	o98y
j25g	69.73	-29.89	83.06	88.28	110	y34l
j50g	57.03	-48.31	63.49	79.78	127	y69l
j75g	47.73	-60.33	42.64	73.88	145	l03c
g00b	50.59	-49.08	15.74	51.54	162	l23c
g25b	52.97	-39.7	-6.72	40.27	190	l55c
g50b	54.85	-32.33	-24.35	40.48	217	l87c
g75b	49.92	-17.29	-36.02	39.96	244	c20v
b00r	40.91	1.28	-42.35	42.37	272	c53v
b25r	26.81	30.38	-52.26	60.45	300	c87v
b50r	32.52	69.06	-42.14	80.9	329	v68m
b75r	39.48	71.47	-3.69	71.57	357	m34o



Ein und Ausgabe: Farbmimetrisches Drucker-Reflektiv-System FRS12_95a, $L^*=12_{95}$ für relativen CIELAB-Bunton $h^* = lab^*h^* = h_{ab}/360 = 0.679$ $u^*_e = g75b$
 $lab^*icu^*_d$

Daten für jede Farbe:

lab^*tch^* und lab^*icu^*

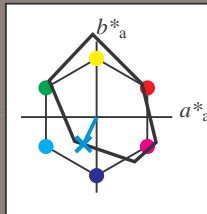
Buntontexte:

$u^*_e = g75b$ $u^*_d = c20v$

Kontrastreduzierungsfaktor:

$c_R = 1.0$

Dreiecks-Helligkeit t^*



FRS12_95a; adaptierte CIELAB-Daten

u^*_e	$L^*=L^*_a$	a^*_a	b^*_a	$C^*_{ab,a}$	$h^*_{ab,a}$
O _{Ma}	38.06	60.0	44.0	74.4	36
Y _{Ma}	86.77	-5.17	109.32	109.44	93
L _{Ma}	47.13	-62.67	48.24	79.09	142
C _{Ma}	55.66	-29.14	-31.99	43.27	228
V _{Ma}	17.15	50.3	-59.04	77.57	310
M _{Ma}	40.37	78.64	-33.5	85.48	337
N _{Ma}	11.58	0.0	0.0	0.0	0
W _{Ma}	95.02	0.0	0.0	0.0	0
R _{Ma}	39.92	58.74	27.99	65.07	25
J _{Ma}	81.26	-2.89	71.56	71.62	92
G _{Ma}	52.23	-42.42	13.6	44.55	162
B _{Ma}	30.57	1.41	-46.47	46.49	272

Daten für Maximalfarbe (Ma):

$LAB^*LAB^*_{Ma}: 50 -17 -36$

$LAB^*LCH^*_{Ma}: 50 40 244$

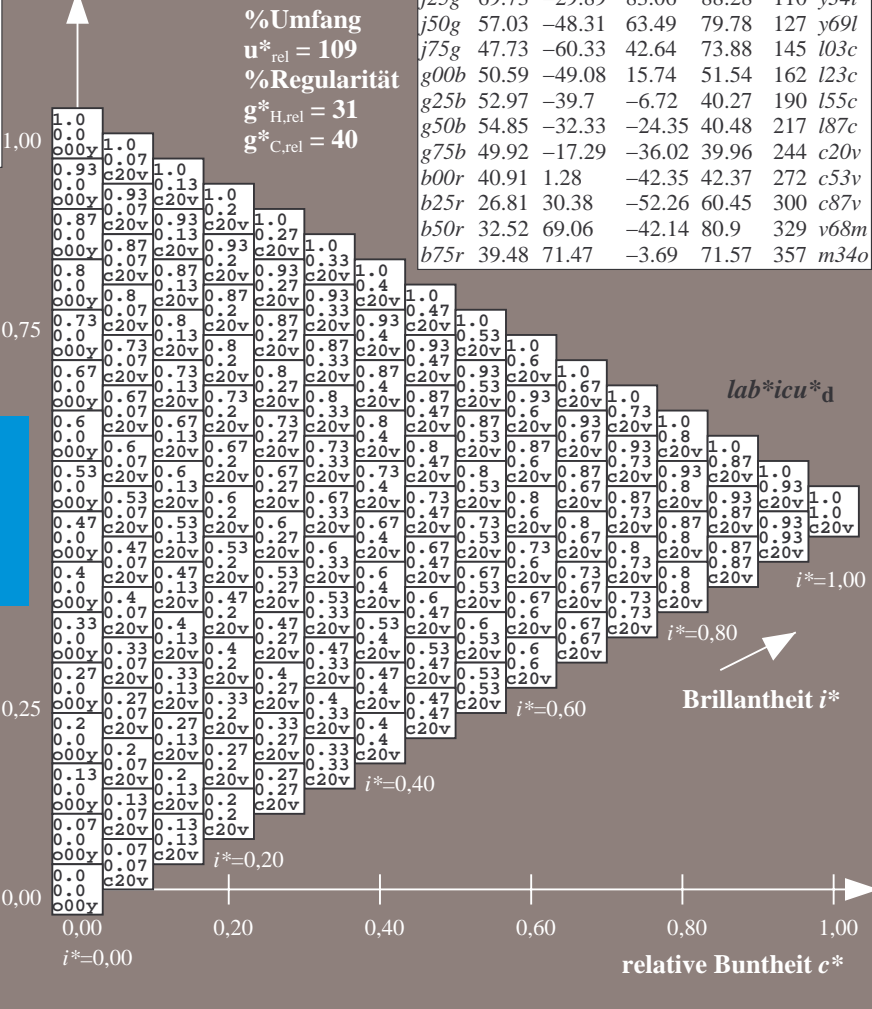
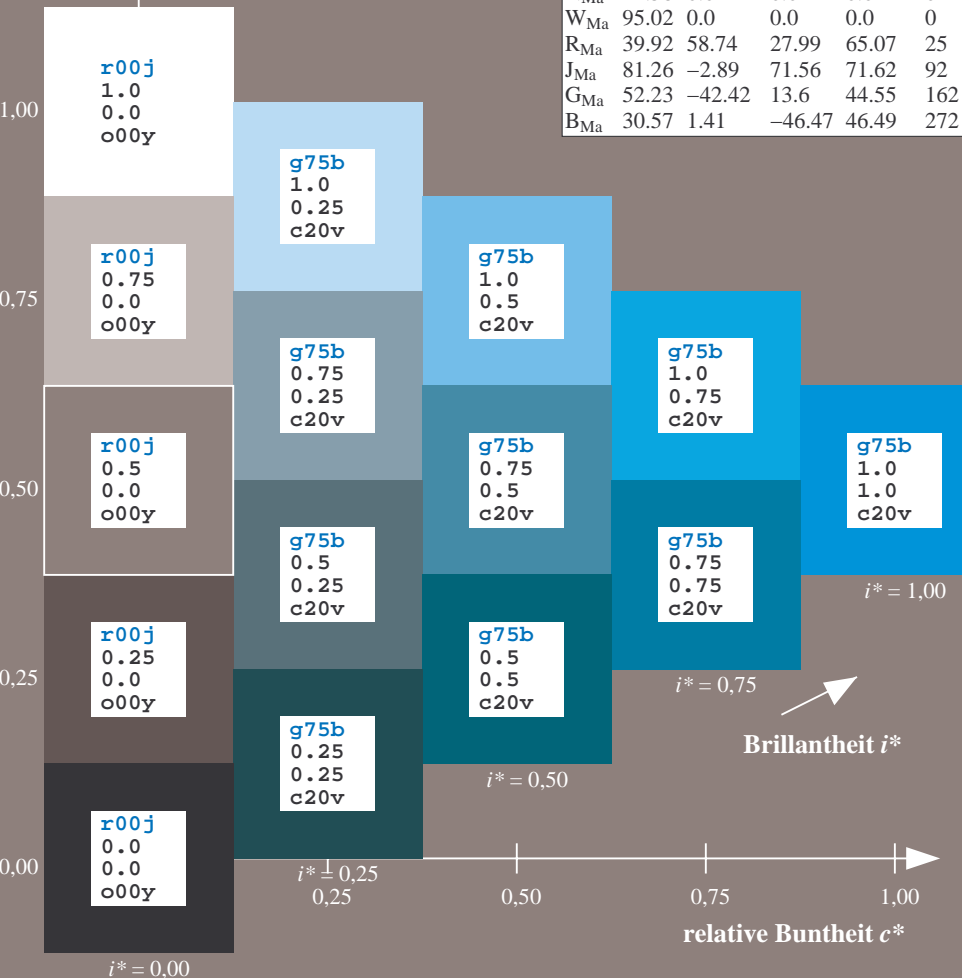
$lab^*rgb^*_{Ma}: 0.0 0.5 1.0$

$lab^*olv^*_{Ma}: 0.0 0.8 1.0$

Dreiecks-Helligkeit t^*

FRS12_95a; adaptierte CIELAB-Daten

u^*_e	$L^*=L^*_a$	a^*_a	b^*_a	$C^*_{ab,a}$	$h^*_{ab,a}$	u^*_d
r00j	38.47	63.32	30.17	70.15	25	m81o
r25j	42.12	54.56	49.45	73.64	42	o10y
r50j	53.64	39.15	64.89	75.79	59	o40y
r75j	67.01	21.26	82.83	85.52	76	o69y
j00g	86.18	-4.38	108.53	108.62	92	o98y
j25g	69.73	-29.89	83.06	88.28	110	y34l
j50g	57.03	-48.31	63.49	79.78	127	y69l
j75g	47.73	-60.33	42.64	73.88	145	l03c
g00b	50.59	-49.08	15.74	51.54	162	l23c
g25b	52.97	-39.7	-6.72	40.27	190	l55c
g50b	54.85	-32.33	-24.35	40.48	217	l87c
g75b	49.92	-17.29	-36.02	39.96	244	c20v
b00r	40.91	1.28	-42.35	42.37	272	c53v
b25r	26.81	30.38	-52.26	60.45	300	c87v
b50r	32.52	69.06	-42.14	80.9	329	v68m
b75r	39.48	71.47	-3.69	71.57	357	m34o



Ein und Ausgabe: Farbmimetrisches Drucker-Reflektiv-System FRS12_95a, $L^*=12_95$ für relative CIELAB-Bunton $h^* = lab^*h^* = h_{ab}/360 = 0.755$ $u^*_e = b00r$
 $lab^*icu^*_d$

Daten für jede Farbe:

lab^*tch^* und lab^*icu^*

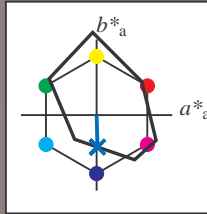
Buntontexte:

$u^*_e = b00r$ $u^*_d = c53v$

Kontrastreduzierungsfaktor:

$c_R = 1.0$

Dreiecks-Helligkeit t^*



FRS12_95a; adaptierte CIELAB-Daten

	u^*_e	$L^*=L^*_a$	a^*_a	b^*_a	$C^*_{ab,a}$	$h^*_{ab,a}$
O _{Ma}	38.06	60.0	44.0	74.4	36	
Y _{Ma}	86.77	-5.17	109.32	109.44	93	
L _{Ma}	47.13	-62.67	48.24	79.09	142	
C _{Ma}	55.66	-29.14	-31.99	43.27	228	
V _{Ma}	17.15	50.3	-59.04	77.57	310	
M _{Ma}	40.37	78.64	-33.5	85.48	337	
N _{Ma}	11.58	0.0	0.0	0.0	0	
W _{Ma}	95.02	0.0	0.0	0.0	0	
R _{Ma}	39.92	58.74	27.99	65.07	25	
J _{Ma}	81.26	-2.89	71.56	71.62	92	
G _{Ma}	52.23	-42.42	13.6	44.55	162	
B _{Ma}	30.57	1.41	-46.47	46.49	272	

Daten für Maximalfarbe (Ma):

$LAB^*LAB^*_{Ma}$: 41 1 -42

$LAB^*LCH^*_{Ma}$: 41 42 271

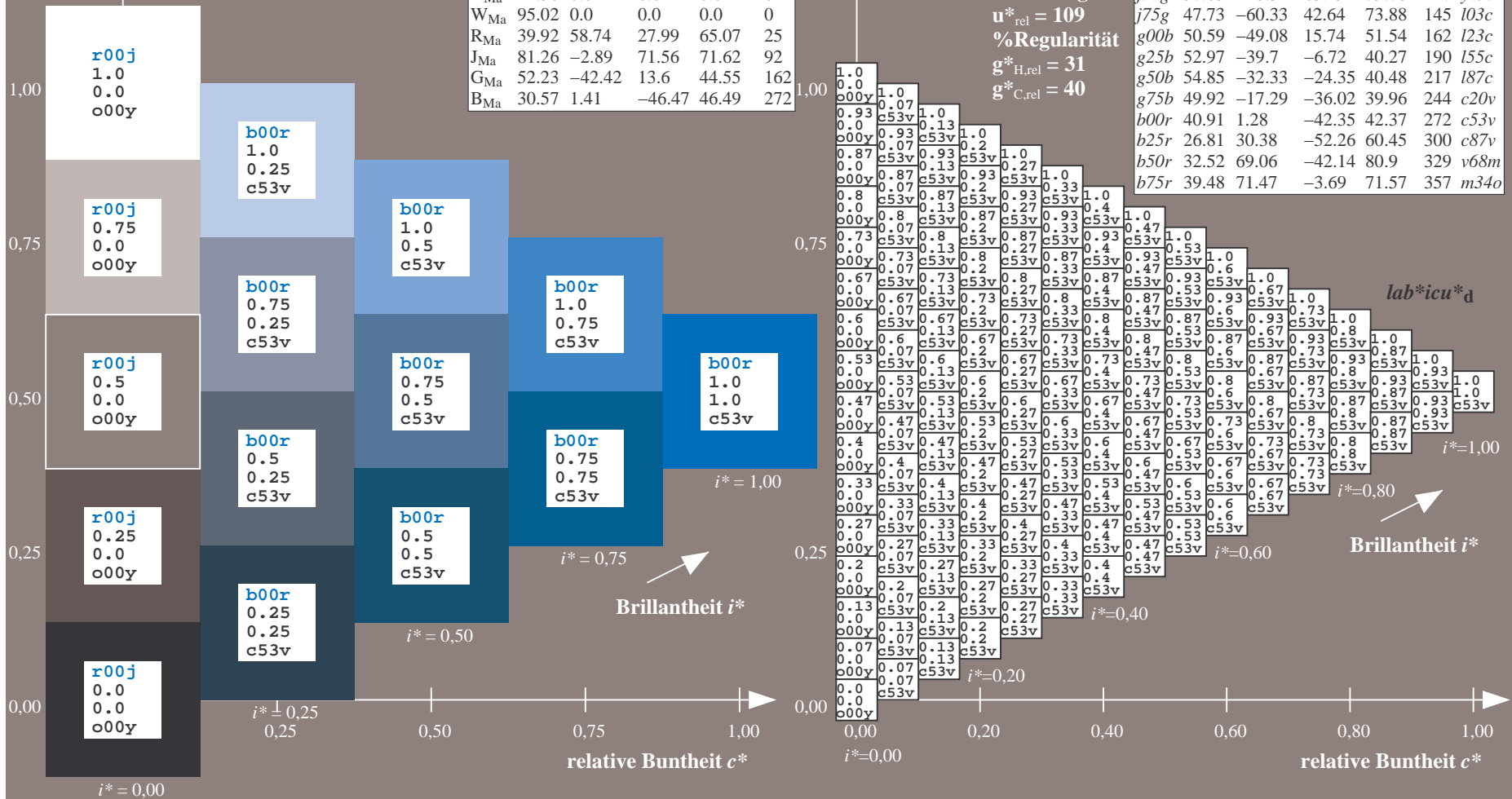
$lab^*rgb^*_{Ma}$: 0.0 0.0 1.0

$lab^*olv^*_{Ma}$: 0.0 0.47 1.0

Dreiecks-Helligkeit t^*

FRS12_95a; adaptierte CIELAB-Daten

	u^*_e	$L^*=L^*_a$	a^*_a	b^*_a	$C^*_{ab,a}$	$h^*_{ab,a}$	u^*_d
r00j	38.47	63.32	30.17	70.15	25	m81o	
r25j	42.12	54.56	49.45	73.64	42	o10y	
r50j	53.64	39.15	64.89	75.79	59	o40y	
r75j	67.01	21.26	82.83	85.52	76	o69y	
j00g	86.18	-4.38	108.53	108.62	92	o98y	
j25g	69.73	-29.89	83.06	88.28	110	y34l	
j50g	57.03	-48.31	63.49	79.78	127	y69l	
j75g	47.73	-60.33	42.64	73.88	145	l03c	
g00b	50.59	-49.08	15.74	51.54	162	l23c	
g25b	52.97	-39.7	-6.72	40.27	190	l55c	
g50b	54.85	-32.33	-24.35	40.48	217	l87c	
g75b	49.92	-17.29	-36.02	39.96	244	c20v	
b00r	40.91	1.28	-42.35	42.37	272	c53v	
b25r	26.81	30.38	-52.26	60.45	300	c87v	
b50r	32.52	69.06	-42.14	80.9	329	v68m	
b75r	39.48	71.47	-3.69	71.57	357	m34o	



Ein und Ausgabe: Farbmimetrisches Drucker-Reflektiv-System FRS12_95a, $L^*=12_95$ für relativen CIELAB-Bunton $h^* = lab^*h^* = h_{ab}/360 = 0.834$ $u^*_e = b25r$
 $lab^*icu^*_d$

Daten für jede Farbe:

lab^*tch^* und lab^*icu^*

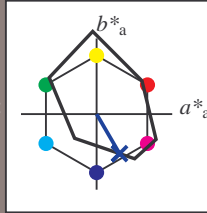
Buntontexte:

$u^*_e = b25r$ $u^*_d = c87v$

Kontrastreduzierungsfaktor:

$c_R = 1.0$

Dreiecks-Helligkeit t^*



FRS12_95a; adaptierte CIELAB-Daten

u^*_e	$L^*=L^*_a$	a^*_a	b^*_a	$C^*_{ab,a}$	$h^*_{ab,a}$
O _{Ma}	38.06	60.0	44.0	74.4	36
Y _{Ma}	86.77	-5.17	109.32	109.44	93
L _{Ma}	47.13	-62.67	48.24	79.09	142
C _{Ma}	55.66	-29.14	-31.99	43.27	228
V _{Ma}	17.15	50.3	-59.04	77.57	310
M _{Ma}	40.37	78.64	-33.5	85.48	337
N _{Ma}	11.58	0.0	0.0	0.0	0
W _{Ma}	95.02	0.0	0.0	0.0	0
R _{Ma}	39.92	58.74	27.99	65.07	25
J _{Ma}	81.26	-2.89	71.56	71.62	92
G _{Ma}	52.23	-42.42	13.6	44.55	162
B _{Ma}	30.57	1.41	-46.47	46.49	272

Daten für Maximalfarbe (Ma):

$LAB^*LAB^*_{Ma}$: 27 30 -52

$LAB^*LCH^*_{Ma}$: 27 60 300

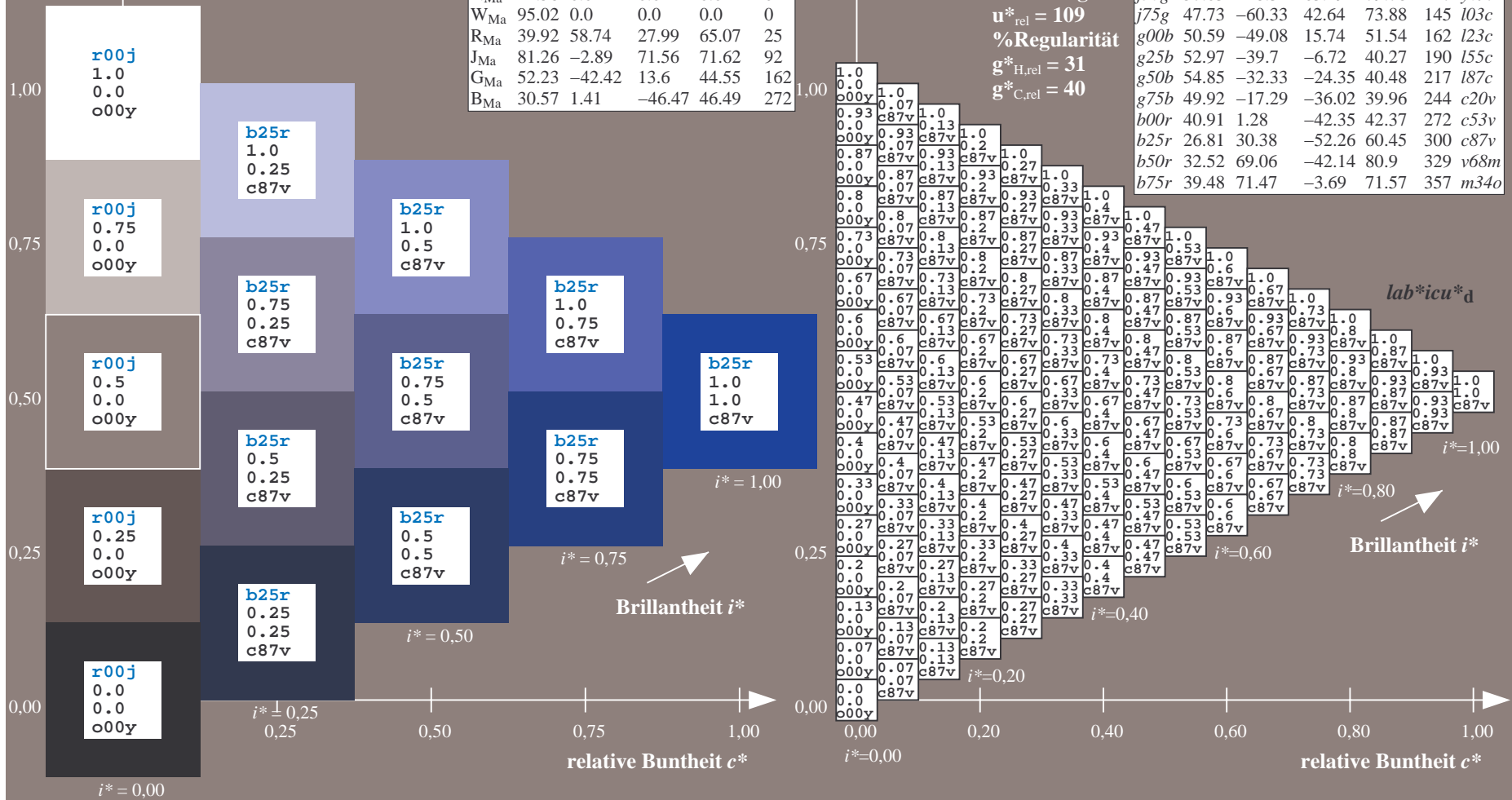
$lab^*rgb^*_{Ma}$: 0.5 0.0 1.0

$lab^*olv^*_{Ma}$: 0.0 0.12 1.0

Dreiecks-Helligkeit t^*

FRS12_95a; adaptierte CIELAB-Daten

u^*_e	$L^*=L^*_a$	a^*_a	b^*_a	$C^*_{ab,a}$	$h^*_{ab,a}$	u^*_d
r00j	38.47	63.32	30.17	70.15	25	m81o
r25j	42.12	54.56	49.45	73.64	42	o10y
r50j	53.64	39.15	64.89	75.79	59	o40y
r75j	67.01	21.26	82.83	85.52	76	o69y
j00g	86.18	-4.38	108.53	108.62	92	o98y
j25g	69.73	-29.89	83.06	88.28	110	y34l
j50g	57.03	-48.31	63.49	79.78	127	y69l
j75g	47.73	-60.33	42.64	73.88	145	l03c
g00b	50.59	-49.08	15.74	51.54	162	l23c
g25b	52.97	-39.7	-6.72	40.27	190	l55c
g50b	54.85	-32.33	-24.35	40.48	217	l87c
g75b	49.92	-17.29	-36.02	39.96	244	c20v
b00r	40.91	1.28	-42.35	42.37	272	c53v
b25r	26.81	30.38	-52.26	60.45	300	c87v
b50r	32.52	69.06	-42.14	80.9	329	v68m
b75r	39.48	71.47	-3.69	71.57	357	m34o



Ein und Ausgabe: Farbmatisches Drucker-Reflektiv-System FRS12_95a, $L^*=12_95$ für relative CIELAB-Bunton $h^* = lab^*h^* = h_{ab}/360 = 0.913$ $u^*_e = b50r$
 $lab^*icu^*_d$

Daten für jede Farbe:

lab^*tch^* und lab^*icu^*

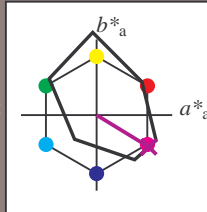
Buntontexte:

$u^*_e = b50r$ $u^*_d = v68m$

Kontrastreduzierungsfaktor:

$c_R = 1.0$

Dreiecks-Helligkeit t^*



FRS12_95a; adaptierte CIELAB-Daten

u^*_e	$L^*=L^*_a$	a^*_a	b^*_a	$C^*_{ab,a}$	$h^*_{ab,a}$
O _{Ma}	38.06	60.0	44.0	74.4	36
Y _{Ma}	86.77	-5.17	109.32	109.44	93
L _{Ma}	47.13	-62.67	48.24	79.09	142
C _{Ma}	55.66	-29.14	-31.99	43.27	228
V _{Ma}	17.15	50.3	-59.04	77.57	310
M _{Ma}	40.37	78.64	-33.5	85.48	337
N _{Ma}	11.58	0.0	0.0	0.0	0
W _{Ma}	95.02	0.0	0.0	0.0	0
R _{Ma}	39.92	58.74	27.99	65.07	25
J _{Ma}	81.26	-2.89	71.56	71.62	92
G _{Ma}	52.23	-42.42	13.6	44.55	162
B _{Ma}	30.57	1.41	-46.47	46.49	272

Daten für Maximalfarbe (Ma):

$LAB^*LAB^*_{Ma}$: 33 69 -42

$LAB^*LCH^*_{Ma}$: 33 81 328

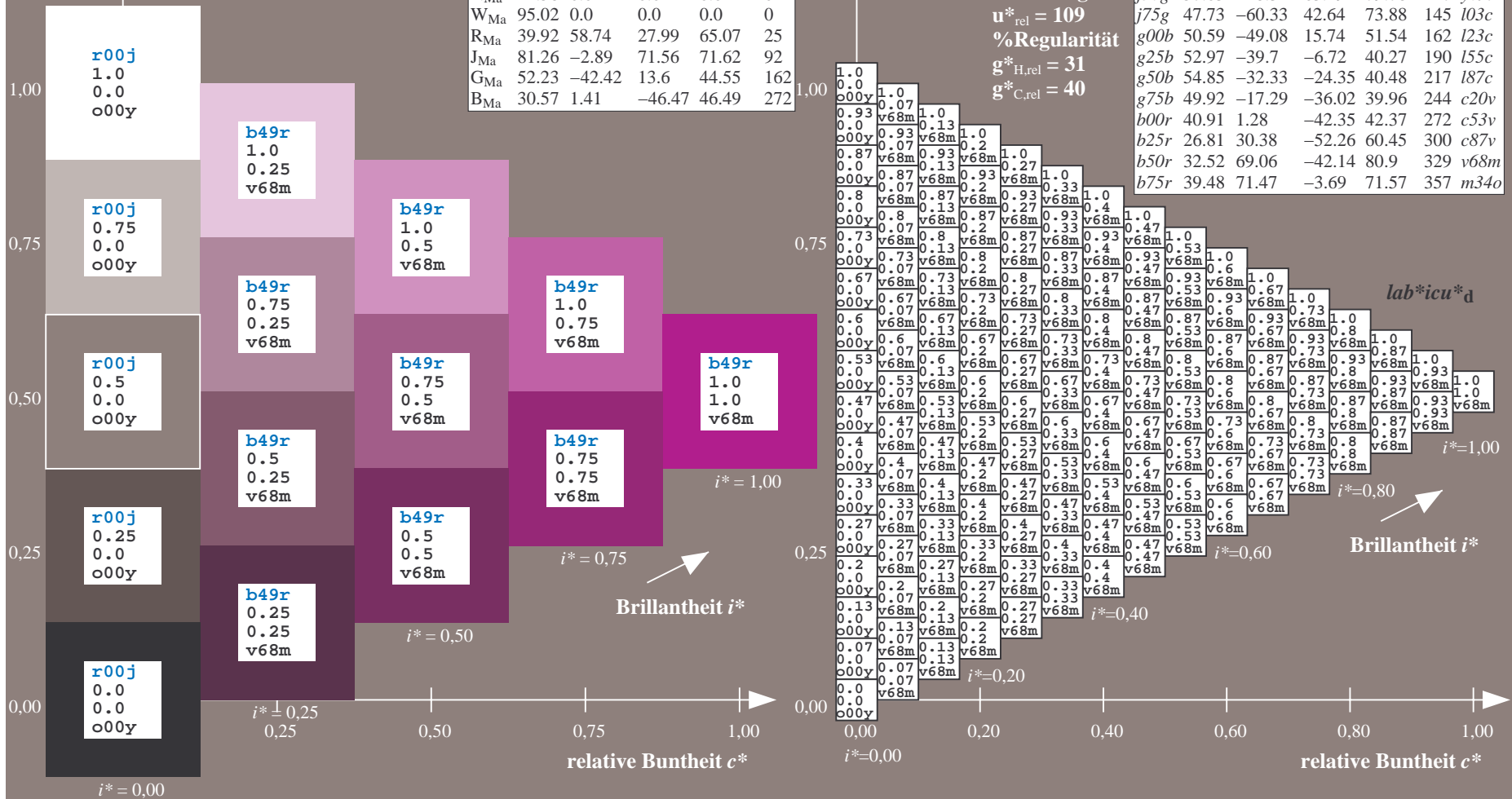
$lab^*rgb^*_{Ma}$: 1.0 0.0 1.0

$lab^*olv^*_{Ma}$: 0.69 0.0 1.0

Dreiecks-Helligkeit t^*

FRS12_95a; adaptierte CIELAB-Daten

u^*_e	$L^*=L^*_a$	a^*_a	b^*_a	$C^*_{ab,a}$	$h^*_{ab,a}$	u^*_d
r00j	38.47	63.32	30.17	70.15	25	m81o
r25j	42.12	54.56	49.45	73.64	42	o10y
r50j	53.64	39.15	64.89	75.79	59	o40y
r75j	67.01	21.26	82.83	85.52	76	o69y
j00g	86.18	-4.38	108.53	108.62	92	o98y
j25g	69.73	-29.89	83.06	88.28	110	y34l
j50g	57.03	-48.31	63.49	79.78	127	y69l
j75g	47.73	-60.33	42.64	73.88	145	l03c
g00b	50.59	-49.08	15.74	51.54	162	l23c
g25b	52.97	-39.7	-6.72	40.27	190	l55c
g50b	54.85	-32.33	-24.35	40.48	217	l87c
g75b	49.92	-17.29	-36.02	39.96	244	c20v
b00r	40.91	1.28	-42.35	42.37	272	c53v
b25r	26.81	30.38	-52.26	60.45	300	c87v
b50r	32.52	69.06	-42.14	80.9	329	v68m
b75r	39.48	71.47	-3.69	71.57	357	m34o



Ein und Ausgabe: Farbmatisches Drucker-Reflektiv-System FRS12_95a, $L^*=12_{95}$ für relativen CIELAB-Bunton $h^* = lab^*h^* = h_{ab}/360 = 0.992$ $u^*_e = b75r$
 $lab^*icu^*_d$

Daten für jede Farbe:

lab^*tch^* und lab^*icu^*

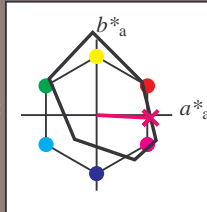
Buntontexte:

$u^*_e = b75r$ $u^*_d = m34o$

Kontrastreduzierungsfaktor:

$c_R = 1.0$

Dreiecks-Helligkeit t^*



FRS12_95a; adaptierte CIELAB-Daten

u^*_e	$L^*=L^*_a$	a^*_a	b^*_a	$C^*_{ab,a}$	$h^*_{ab,a}$
O _{Ma}	38.06	60.0	44.0	74.4	36
Y _{Ma}	86.77	-5.17	109.32	109.44	93
L _{Ma}	47.13	-62.67	48.24	79.09	142
C _{Ma}	55.66	-29.14	-31.99	43.27	228
V _{Ma}	17.15	50.3	-59.04	77.57	310
M _{Ma}	40.37	78.64	-33.5	85.48	337
N _{Ma}	11.58	0.0	0.0	0.0	0
W _{Ma}	95.02	0.0	0.0	0.0	0
R _{Ma}	39.92	58.74	27.99	65.07	25
J _{Ma}	81.26	-2.89	71.56	71.62	92
G _{Ma}	52.23	-42.42	13.6	44.55	162
B _{Ma}	30.57	1.41	-46.47	46.49	272

Daten für Maximalfarbe (Ma):

$LAB^*LAB^*_{Ma}: 39\ 71\ -4$

$LAB^*LCH^*_{Ma}: 39\ 72\ 357$

$lab^*rgb^*_{Ma}: 1.0\ 0.0\ 0.5$

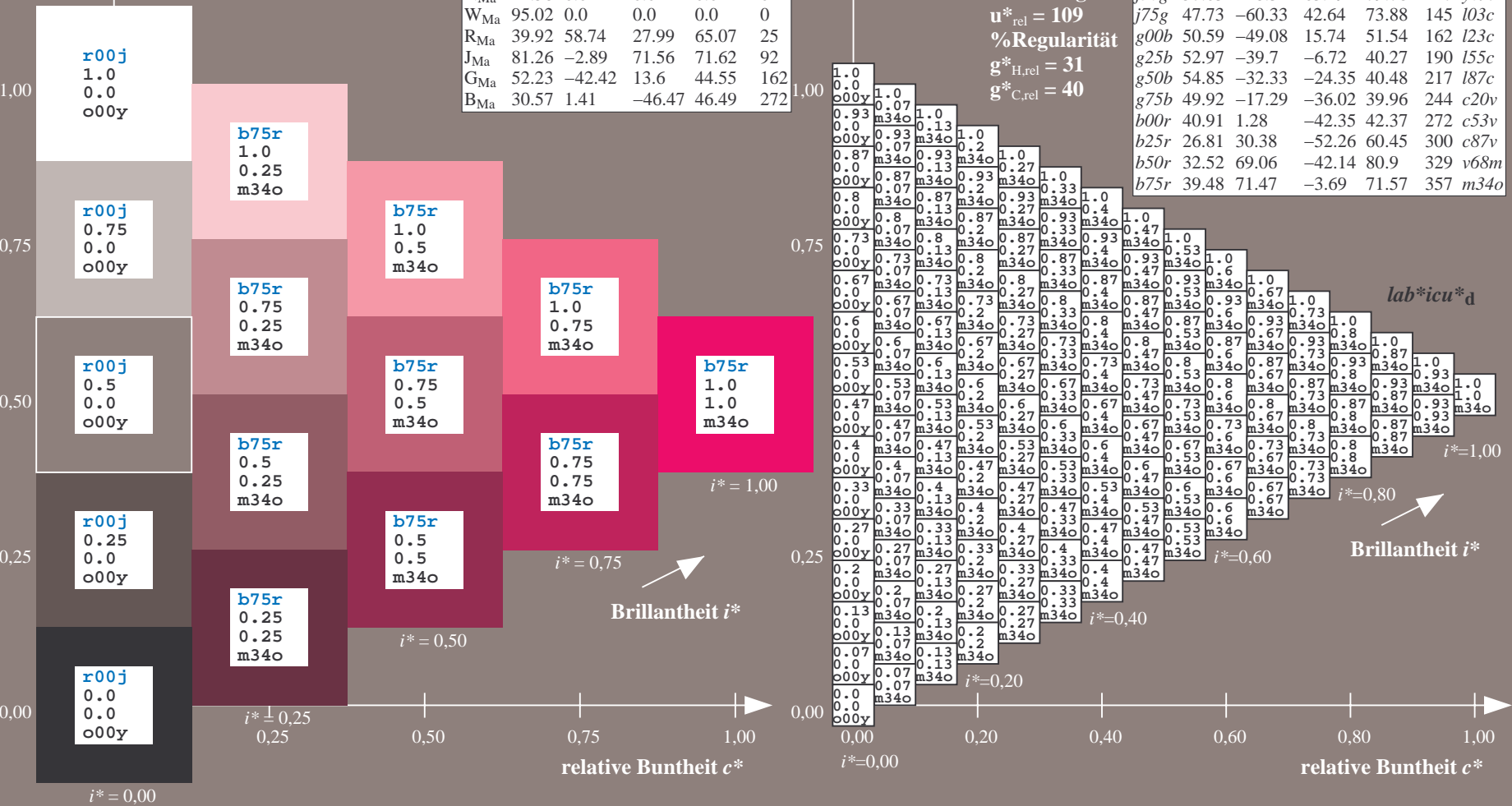
$lab^*olv^*_{Ma}: 1.0\ 0.0\ 0.66$

$lab^*olv^*_{Ma}: 1.0\ 0.0\ 0.66$

Dreiecks-Helligkeit t^*

FRS12_95a; adaptierte CIELAB-Daten

u^*_e	$L^*=L^*_a$	a^*_a	b^*_a	$C^*_{ab,a}$	$h^*_{ab,a}$	u^*_d
r00j	38.47	63.32	30.17	70.15	25	m81o
r25j	42.12	54.56	49.45	73.64	42	o10y
r50j	53.64	39.15	64.89	75.79	59	o40y
r75j	67.01	21.26	82.83	85.52	76	o69y
j00g	86.18	-4.38	108.53	108.62	92	o98y
j25g	69.73	-29.89	83.06	88.28	110	y34l
j50g	57.03	-48.31	63.49	79.78	127	y69l
j75g	47.73	-60.33	42.64	73.88	145	l03c
g00b	50.59	-49.08	15.74	51.54	162	l23c
g25b	52.97	-39.7	-6.72	40.27	190	l55c
g50b	54.85	-32.33	-24.35	40.48	217	l87c
g75b	49.92	-17.29	-36.02	39.96	244	c20v
b00r	40.91	1.28	-42.35	42.37	272	c53v
b25r	26.81	30.38	-52.26	60.45	300	c87v
b50r	32.52	69.06	-42.14	80.9	329	v68m
b75r	39.48	71.47	-3.69	71.57	357	m34o



Fg640-7A, Seite 143/198

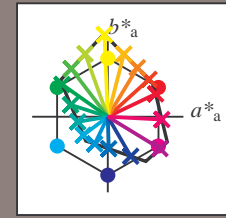
Ein und Ausgabe:
 Farbmetrisches Drucker-Reflektiv-System FRS12_95a

Daten für jede Farbe:
 u^*_e und Nummer $Nr. = 00 \dots 15$

Elementar-Bunttextext:
 $u^*_e = 16$ Bunttoene $r00j, r25j, \dots, b75r$

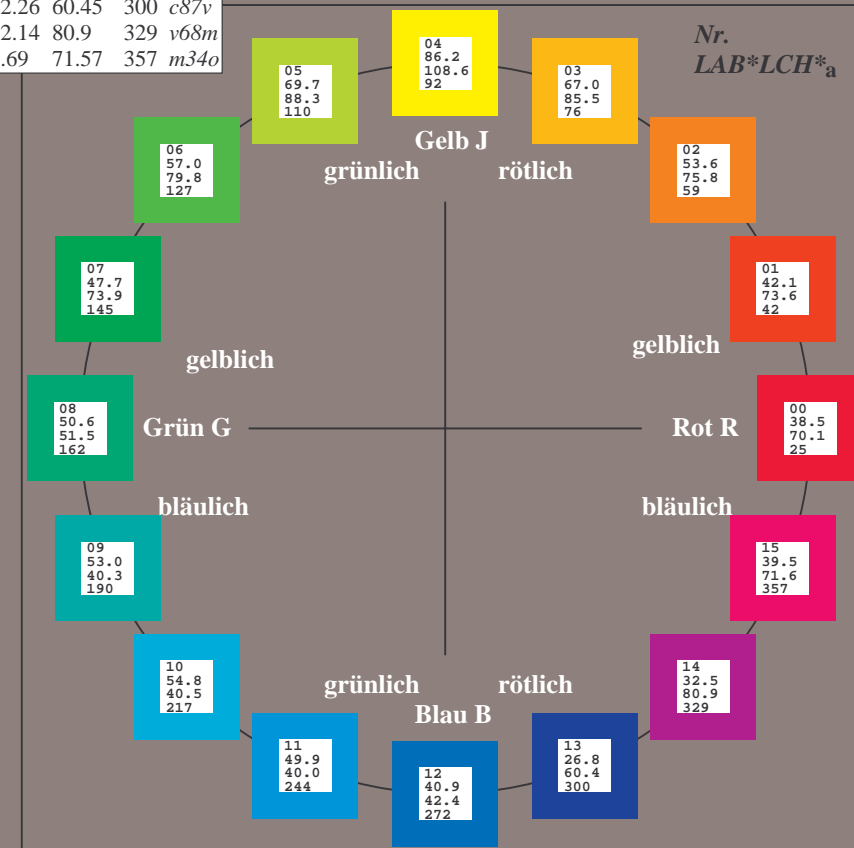
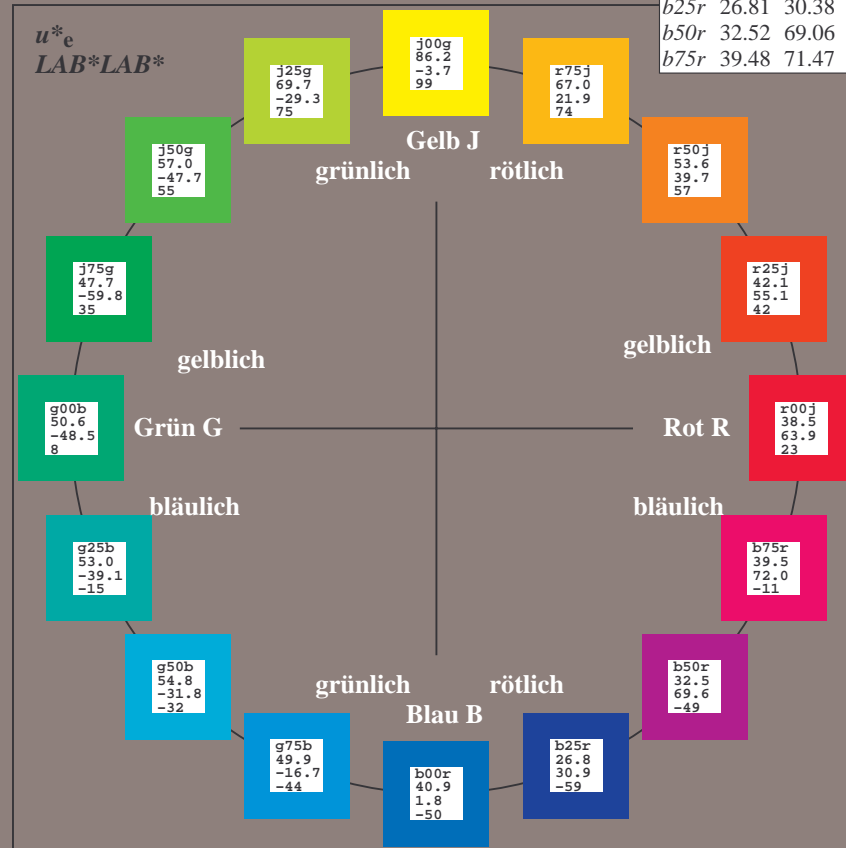
Kontrastreduzierungsfaktor:
 $c_R = 1.0$

FRS12_95a; adaptierte CIELAB-Daten							
u^*_e	$L^*=L^*_a$	a^*_a	b^*_a	$C^*_{ab,a}$	$h^*_{ab,a}$	u^*_d	
r00j	38.47	63.32	30.17	70.15	25	m81o	
r25j	42.12	54.56	49.45	73.64	42	o10y	
r50j	53.64	39.15	64.89	75.79	59	o40y	
r75j	67.01	21.26	82.83	85.52	76	o69y	
j00g	86.18	-4.38	108.53	108.62	92	o98y	
j25g	69.73	-29.89	83.06	88.28	110	y34l	
j50g	57.03	-48.31	63.49	79.78	127	y69l	
j75g	47.73	-60.33	42.64	73.88	145	l03c	
g00b	50.59	-49.08	15.74	51.54	162	l23c	
g25b	52.97	-39.7	-6.72	40.27	190	l55c	
g50b	54.85	-32.33	-24.35	40.48	217	l87c	
g75b	49.92	-17.29	-36.02	39.96	244	c20v	
b00r	40.91	1.28	-42.35	42.37	272	c53v	
b25r	26.81	30.38	-52.26	60.45	300	c87v	
b50r	32.52	69.06	-42.14	80.9	329	v68m	
b75r	39.48	71.47	-3.69	71.57	357	m34o	



%Umfang
 $u^*_{rel} = 109$
 %Regularität
 $g^*_{H,rel} = 31$
 $g^*_{C,rel} = 40$

FRS12_95; CIELAB-Daten					
Name	$L^*=L^*$	a^*	b^*	C^*_{ab}	h^*_{ab}
O _M	38.06	60.53	36.66	70.77	31
Y _M	86.77	-4.5	100.15	100.25	93
L _M	47.13	-62.11	40.56	74.18	147
C _M	55.66	-28.56	-39.99	49.14	234
V _M	17.15	50.78	-65.6	82.96	308
M _M	40.37	79.18	-40.93	89.13	333
N _M	11.58	0.46	-6.35	6.37	274
W _M	95.02	0.69	-9.48	9.51	274
R _{CIE}	39.92	58.74	27.99	65.07	25
J _{CIE}	81.26	-2.89	71.56	71.62	92
G _{CIE}	52.23	-42.42	13.6	44.55	162
B _{CIE}	30.57	1.41	-46.47	46.49	272



Ein und Ausgabe: Farbmimetrisches Drucker-Reflektiv-System FRS12_95a, L*=12_95 für relative CIELAB-Buntheit $h^* = lab^*h^* = h_{ab}/360 = 0.071$ $u^*_e = r00j$

Daten für jede Farbe:

lab^*ch^* und lab^*icu^*

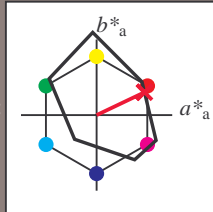
Buntextexte:

$u^*_e = r00j$ $u^*_d = m81o$

Kontrastreduzierungsfaktor:

$c_R = 1.0$

Dreiecks-Helligkeit t^*



FRS12_95; CIELAB-Daten						
	u^*_e	$L^*=L^*_a$	a^*	b^*	C^*_{ab}	h^*_{ab}
O _M	38.06	60.53	36.66	70.77	31	
Y _M	86.77	-4.5	100.15	100.25	93	
L _M	47.13	-62.11	40.56	74.18	147	
C _M	55.66	-28.56	-39.99	49.14	234	
V _M	17.15	50.78	-65.6	82.96	308	
M _M	40.37	79.18	-40.93	89.13	333	
N _M	11.58	0.46	-6.35	6.37	274	
W _M	95.02	0.69	-9.48	9.51	274	
R _M	39.92	58.74	27.99	65.07	25	
J _M	81.26	-2.89	71.56	71.62	92	
G _M	52.23	-42.42	13.6	44.55	162	
B _M	30.57	1.41	-46.47	46.49	272	

Daten für Maximalfarbe (Ma):

$LAB^*LAB^*_{Ma}$: 38 63 30

$LAB^*LCH^*_{Ma}$: 38 70 25

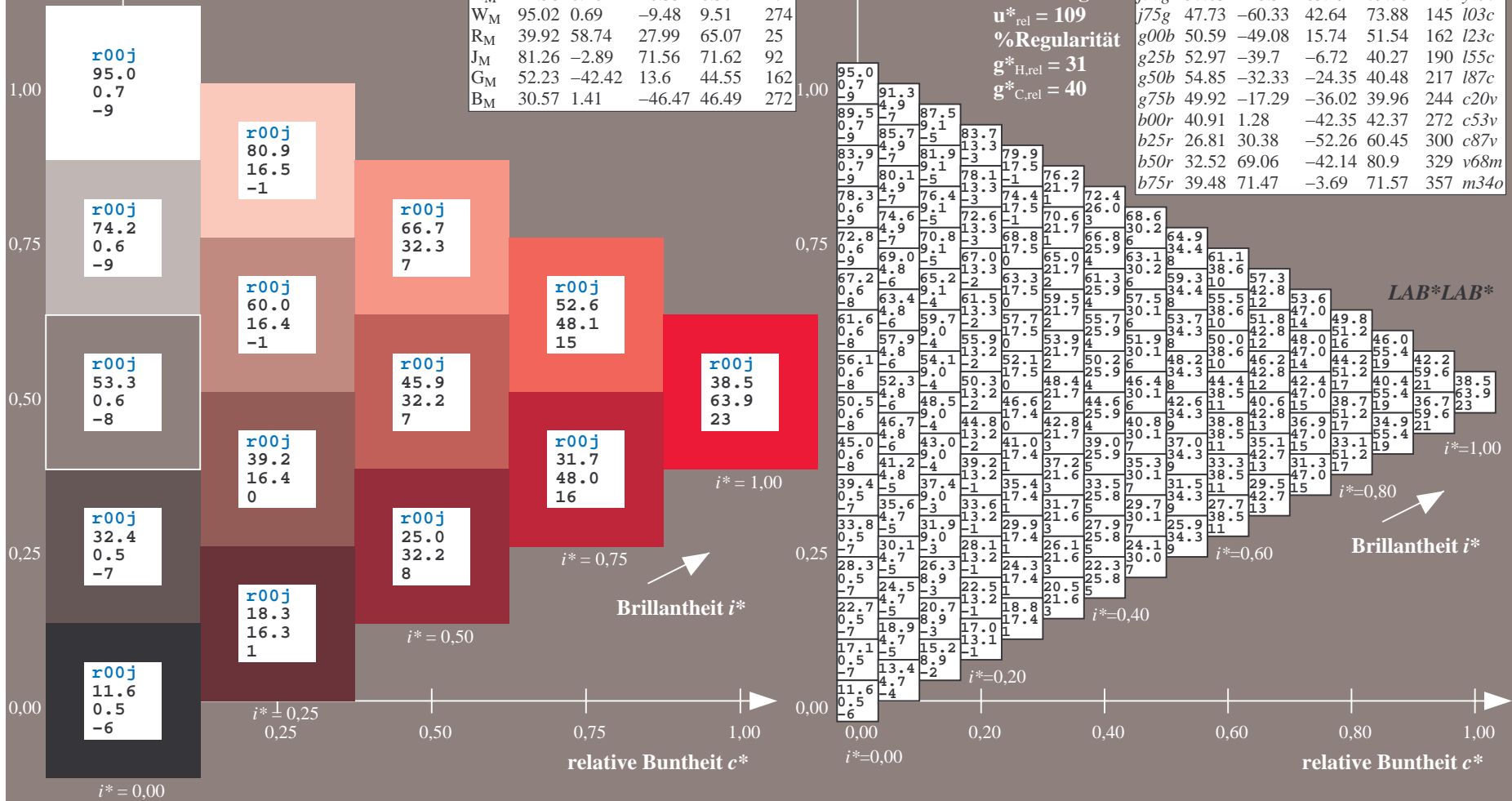
$lab^*rgb^*_{Ma}$: 1.0 0.0 0.0

$lab^*olv^*_{Ma}$: 1.0 0.0 0.18

Dreiecks-Helligkeit t^*

FRS12_95a; adaptierte CIELAB-Daten

	u^*_e	$L^*=L^*_a$	a^*_a	b^*_a	$C^*_{ab,a}$	$h^*_{ab,a}$	u^*_d
r00j	38.47	63.32	30.17	70.15	25	m81o	
r25j	42.12	54.56	49.45	73.64	42	o10y	
r50j	53.64	39.15	64.89	75.79	59	o40y	
r75j	67.01	21.26	82.83	85.52	76	o69y	
j00g	86.18	-4.38	108.53	108.62	92	o98y	
j25g	69.73	-29.89	83.06	88.28	110	y34l	
j50g	57.03	-48.31	63.49	79.78	127	y69l	
j75g	47.73	-60.33	42.64	73.88	145	i03c	
g00b	50.59	-49.08	15.74	51.54	162	l23c	
g25b	52.97	-39.7	-6.72	40.27	190	i55c	
g50b	54.85	-32.33	-24.35	40.48	217	i87c	
g75b	49.92	-17.29	-36.02	39.96	244	c20v	
b00r	40.91	1.28	-42.35	42.37	272	c53v	
b25r	26.81	30.38	-52.26	60.45	300	c87v	
b50r	32.52	69.06	-42.14	80.9	329	v68m	
b75r	39.48	71.47	-3.69	71.57	357	m34o	



Ein und Ausgabe: Farbmatisches Drucker-Reflektiv-System FRS12_95a, L*=12_95 für relativen CIELAB-Bunton $h^* = lab^*h^* = h_{ab}/360 = 0.117$ $u^*_e = r25j$

Daten für jede Farbe:

lab^*ch^* und lab^*icu^*

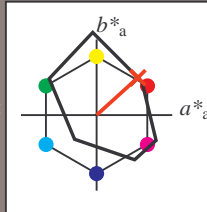
Buntontexte:

$u^*_e = r25j$ $u^*_d = o10y$

Kontrastreduzierungsfaktor:

$c_R = 1.0$

Dreiecks-Helligkeit t^*



FRS12_95; CIELAB-Daten

	u^*_e	$L^*=L^*$	a^*	b^*	C^*_{ab}	h^*_{ab}
O _M	38.06	60.53	36.66	70.77	31	
Y _M	86.77	-4.5	100.15	100.25	93	
L _M	47.13	-62.11	40.56	74.18	147	
C _M	55.66	-28.56	-39.99	49.14	234	
V _M	17.15	50.78	-65.6	82.96	308	
M _M	40.37	79.18	-40.93	89.13	333	
N _M	11.58	0.46	-6.35	6.37	274	
W _M	95.02	0.69	-9.48	9.51	274	
R _M	39.92	58.74	27.99	65.07	25	
J _M	81.26	-2.89	71.56	71.62	92	
G _M	52.23	-42.42	13.6	44.55	162	
B _M	30.57	1.41	-46.47	46.49	272	

Daten für Maximalfarbe (Ma):

$LAB^*LAB^*_{Ma}: 42\ 55\ 49$

$LAB^*LCH^*_{Ma}: 42\ 74\ 42$

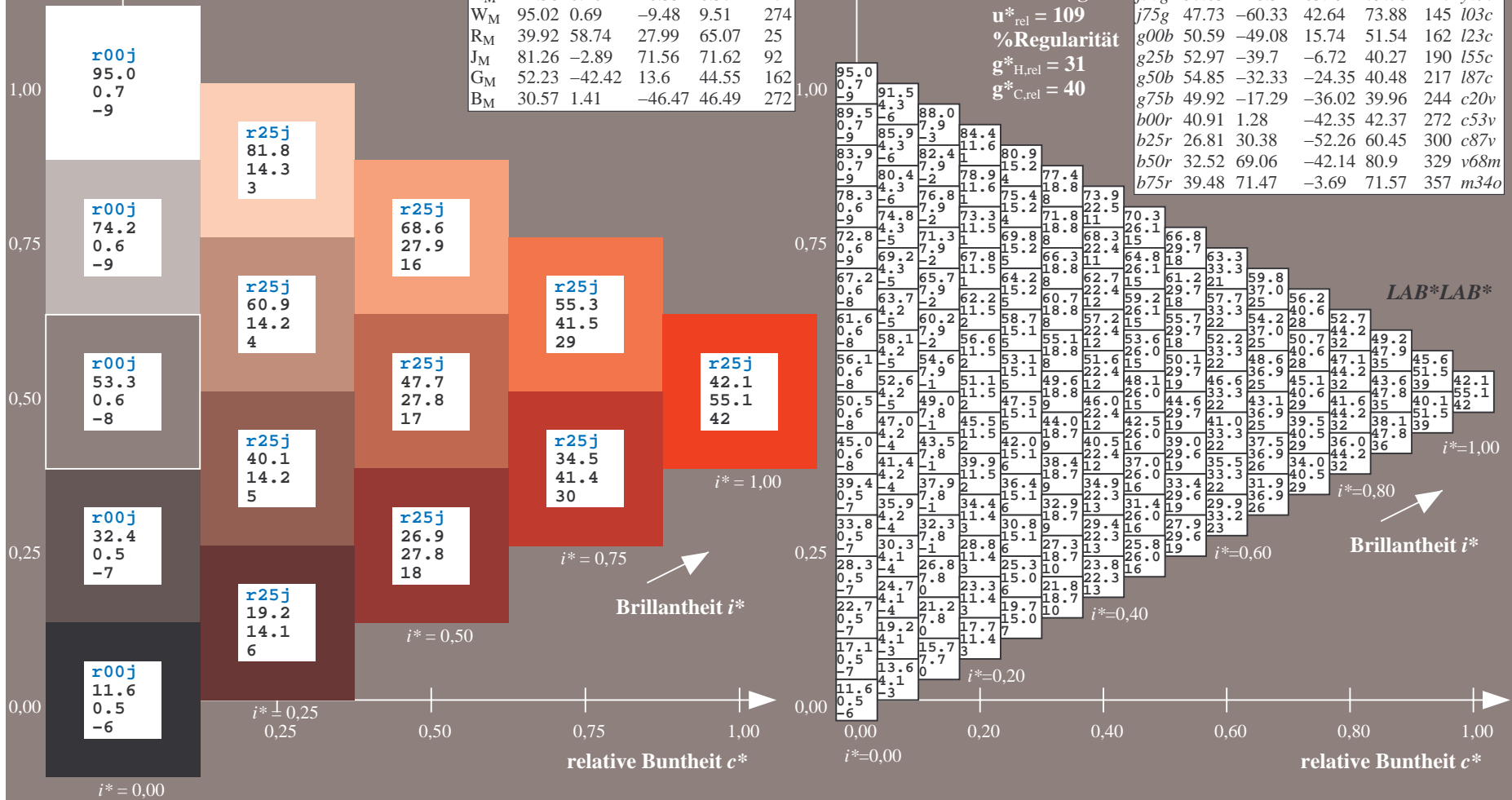
$lab^*rgb^*_{Ma}: 1.0\ 0.25\ 0.0$

$lab^*olv^*_{Ma}: 1.0\ 0.11\ 0.0$

Dreiecks-Helligkeit t^*

FRS12_95a; adaptierte CIELAB-Daten

	u^*_e	$L^*=L^*_a$	a^*_a	b^*_a	$C^*_{ab,a}$	$h^*_{ab,a}$	u^*_d
r00j	38.47	63.32	30.17	70.15	25	m81o	
r25j	42.12	54.56	49.45	73.64	42	o10y	
r50j	53.64	39.15	64.89	75.79	59	o40y	
r75j	67.01	21.26	82.83	85.52	76	o69y	
j00g	86.18	-4.38	108.53	108.62	92	o98y	
j25g	69.73	-29.89	83.06	88.28	110	y34l	
j50g	57.03	-48.31	63.49	79.78	127	y69l	
j75g	47.73	-60.33	42.64	73.88	145	103c	
g00b	50.59	-49.08	15.74	51.54	162	i23c	
g25b	52.97	-39.7	-6.72	40.27	190	i55c	
g50b	54.85	-32.33	-24.35	40.48	217	i87c	
g75b	49.92	-17.29	-36.02	39.96	244	c20v	
b00r	40.91	1.28	-42.35	42.37	272	c53v	
b25r	26.81	30.38	-52.26	60.45	300	c87v	
b50r	32.52	69.06	-42.14	80.9	329	v68m	
b75r	39.48	71.47	-3.69	71.57	357	m34o	



Ein und Ausgabe: Farbmatisches Drucker-Reflektiv-System FRS12_95a, $L^*=12_95$ für relativen CIELAB-Bunton $h^* = lab^*h^* = h_{ab}/360 = 0.164$ $u^*_e = r50j$

Daten für jede Farbe:

lab^*ch^* und lab^*icu^*

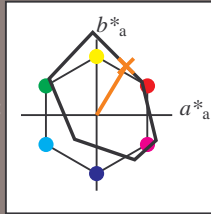
Buntontexte:

$u^*_e = r50j$ $u^*_d = o40y$

Kontrastreduzierungsfaktor:

$c_R = 1.0$

Dreiecks-Helligkeit t^*



FRS12_95; CIELAB-Daten

	u^*_e	$L^*=L^*$	a^*	b^*	C^*_{ab}	h^*_{ab}
O _M	38.06	60.53	36.66	70.77	31	
Y _M	86.77	-4.5	100.15	100.25	93	
L _M	47.13	-62.11	40.56	74.18	147	
C _M	55.66	-28.56	-39.99	49.14	234	
V _M	17.15	50.78	-65.6	82.96	308	
M _M	40.37	79.18	-40.93	89.13	333	
N _M	11.58	0.46	-6.35	6.37	274	
W _M	95.02	0.69	-9.48	9.51	274	
R _M	39.92	58.74	27.99	65.07	25	
J _M	81.26	-2.89	71.56	71.62	92	
G _M	52.23	-42.42	13.6	44.55	162	
B _M	30.57	1.41	-46.47	46.49	272	

Daten für Maximalfarbe (Ma):

$LAB^*LAB^*_{Ma}: 54\ 39\ 65$

$LAB^*LCH^*_{Ma}: 54\ 76\ 58$

$lab^*rgb^*_{Ma}: 1.0\ 0.5\ 0.0$

$lab^*olv^*_{Ma}: 1.0\ 0.4\ 0.0$

Dreiecks-Helligkeit t^*

%Umfang

$u^*_{rel} = 109$

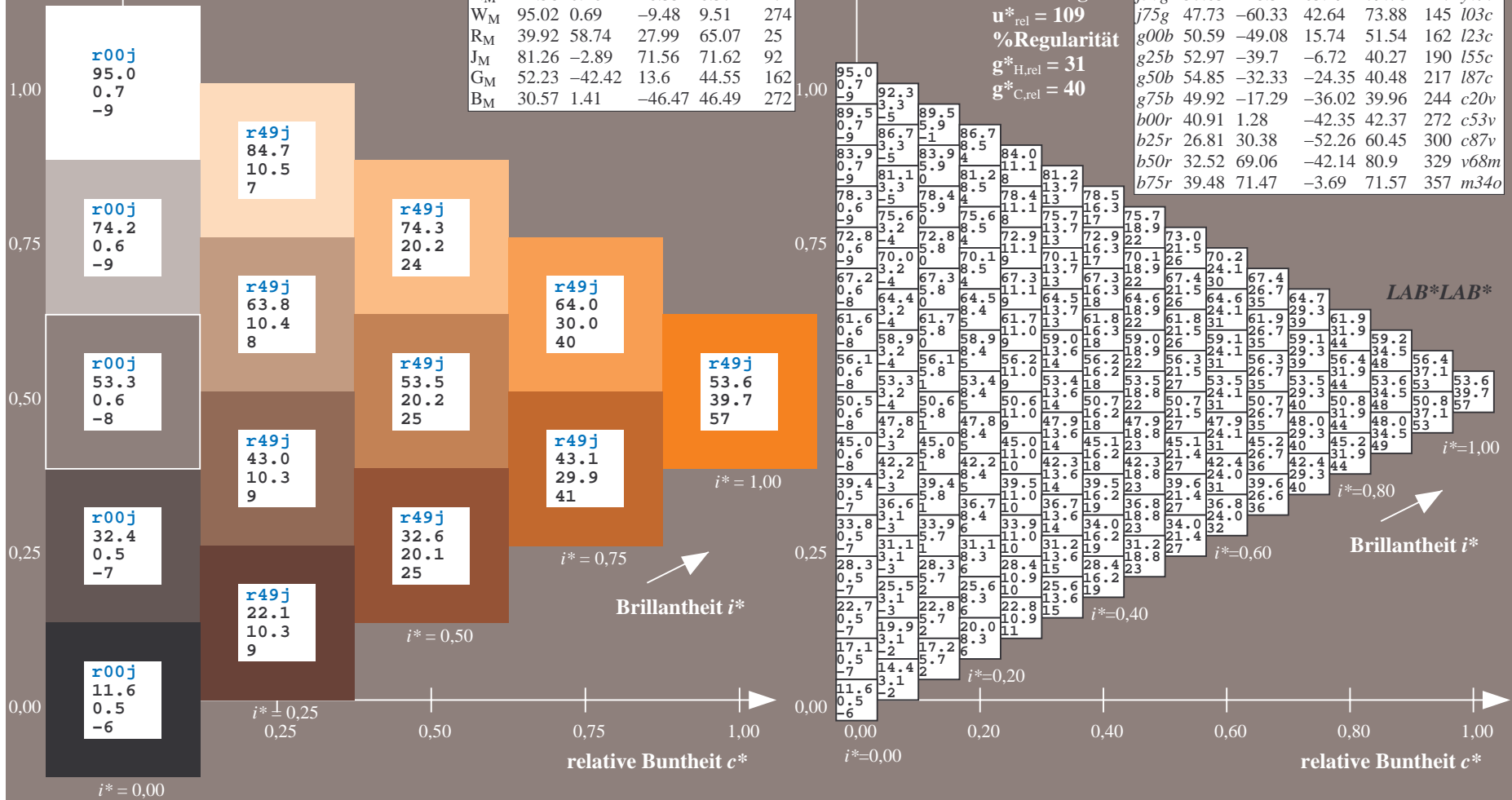
%Regularität

$g^*_{H,rel} = 31$

$g^*_{C,rel} = 40$

FRS12_95a; adaptierte CIELAB-Daten

	u^*_e	$L^*=L^*_a$	a^*_a	b^*_a	$C^*_{ab,a}$	$h^*_{ab,a}$	u^*_d
r00j	38.47	63.32	30.17	70.15	25	m81o	
r25j	42.12	54.56	49.45	73.64	42	o10y	
r50j	53.64	39.15	64.89	75.79	59	o40y	
r75j	67.01	21.26	82.83	85.52	76	o69y	
j00g	86.18	-4.38	108.53	108.62	92	o98y	
j25g	69.73	-29.89	83.06	88.28	110	y34l	
j50g	57.03	-48.31	63.49	79.78	127	y69l	
j75g	47.73	-60.33	42.64	73.88	145	103c	
g00b	50.59	-49.08	15.74	51.54	162	i23c	
g25b	52.97	-39.7	-6.72	40.27	190	i55c	
g50b	54.85	-32.33	-24.35	40.48	217	i87c	
g75b	49.92	-17.29	-36.02	39.96	244	c20v	
b00r	40.91	1.28	-42.35	42.37	272	c53v	
b25r	26.81	30.38	-52.26	60.45	300	c87v	
b50r	32.52	69.06	-42.14	80.9	329	v68m	
b75r	39.48	71.47	-3.69	71.57	357	m34o	



Fg640-7A, Seite 148/198

Ein und Ausgabe: Farbmatisches Drucker-Reflektiv-System FRS12_95a, L*=12_95 für relativen CIELAB-Bunton $h^* = lab^*h^* = h_{ab}/360 = 0.21$ $u^*_e = r75j$

Daten für jede Farbe:

lab^*ch^* und lab^*icu^*

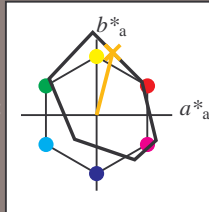
Buntontexte:

$u^*_e = r75j$ $u^*_d = o69y$

Kontrastreduzierungsfaktor:

$c_R = 1.0$

Dreiecks-Helligkeit t^*



FRS12_95; CIELAB-Daten

u^*_e	$L^*=L^*$	a^*	b^*	C^*_{ab}	h^*_{ab}
O _M	38.06	60.53	36.66	70.77	31
Y _M	86.77	-4.5	100.15	100.25	93
L _M	47.13	-62.11	40.56	74.18	147
C _M	55.66	-28.56	-39.99	49.14	234
V _M	17.15	50.78	-65.6	82.96	308
M _M	40.37	79.18	-40.93	89.13	333
N _M	11.58	0.46	-6.35	6.37	274
W _M	95.02	0.69	-9.48	9.51	274
R _M	39.92	58.74	27.99	65.07	25
J _M	81.26	-2.89	71.56	71.62	92
G _M	52.23	-42.42	13.6	44.55	162
B _M	30.57	1.41	-46.47	46.49	272

Daten für Maximalfarbe (Ma):

$LAB^*LAB^*_{Ma}$: 67 21 83

$LAB^*LCH^*_{Ma}$: 67 86 75

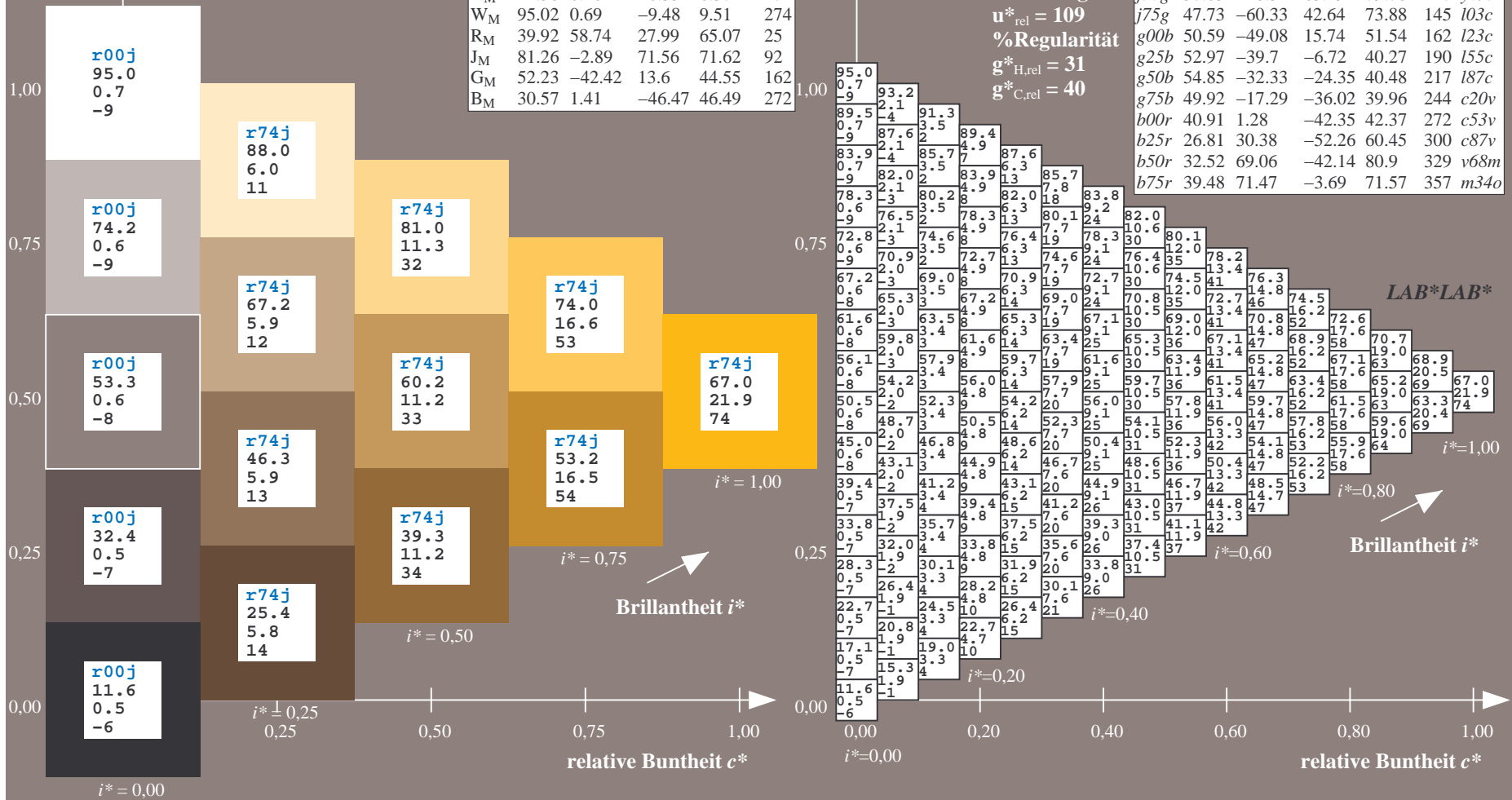
$lab^*rgb^*_{Ma}$: 1.0 0.75 0.0

$lab^*olv^*_{Ma}$: 1.0 0.7 0.0

Dreiecks-Helligkeit t^*

FRS12_95a; adaptierte CIELAB-Daten

u^*_e	$L^*=L^*_a$	a^*_a	b^*_a	$C^*_{ab,a}$	$h^*_{ab,a}$	u^*_d
r00j	38.47	63.32	30.17	70.15	25	m81o
r25j	42.12	54.56	49.45	73.64	42	o10y
r50j	53.64	39.15	64.89	75.79	59	o40y
r75j	67.01	21.26	82.83	85.52	76	o69y
j00g	86.18	-4.38	108.53	108.62	92	o98y
j25g	69.73	-29.89	83.06	88.28	110	y34l
j50g	57.03	-48.31	63.49	79.78	127	y69l
j75g	47.73	-60.33	42.64	73.88	145	i03c
g00b	50.59	-49.08	15.74	51.54	162	i23c
g25b	52.97	-39.7	-6.72	40.27	190	i55c
g50b	54.85	-32.33	-24.35	40.48	217	i87c
g75b	49.92	-17.29	-36.02	39.96	244	c20v
b00r	40.91	1.28	-42.35	42.37	272	c53v
b25r	26.81	30.38	-52.26	60.45	300	c87v
b50r	32.52	69.06	-42.14	80.9	329	v68m
b75r	39.48	71.47	-3.69	71.57	357	m34o



Ein und Ausgabe: Farbmatisches Drucker-Reflektiv-System FRS12_95a, L*=12_95 für relativen CIELAB-Bunton $h^* = lab^*h^* = h_{ab}/360 = 0.256$ $u^*_e = j00g$

Daten für jede Farbe:

lab^*ch^* und lab^*icu^*

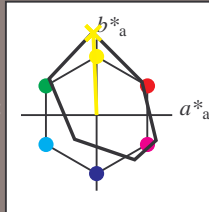
Buntontexte:

$u^*_e = j00g$ $u^*_d = o98y$

Kontrastreduzierungsfaktor:

$c_R = 1.0$

Dreiecks-Helligkeit t^*



FRS12_95; CIELAB-Daten

	u^*_e	$L^*=L^*$	a^*	b^*	C^*_{ab}	h^*_{ab}
O _M	38.06	60.53	36.66	70.77	31	
Y _M	86.77	-4.5	100.15	100.25	93	
L _M	47.13	-62.11	40.56	74.18	147	
C _M	55.66	-28.56	-39.99	49.14	234	
V _M	17.15	50.78	-65.6	82.96	308	
M _M	40.37	79.18	-40.93	89.13	333	
N _M	11.58	0.46	-6.35	6.37	274	
W _M	95.02	0.69	-9.48	9.51	274	
R _M	39.92	58.74	27.99	65.07	25	
J _M	81.26	-2.89	71.56	71.62	92	
G _M	52.23	-42.42	13.6	44.55	162	
B _M	30.57	1.41	-46.47	46.49	272	

Daten für Maximalfarbe (Ma):

$LAB^*LAB^*_{Ma}$: 86 -4 109

$LAB^*LCH^*_{Ma}$: 86 109 92

$lab^*rgb^*_{Ma}$: 1.0 1.0 0.0

$lab^*olv^*_{Ma}$: 1.0 0.99 0.0

Dreiecks-Helligkeit t^*

%Umfang

$u^*_{rel} = 109$

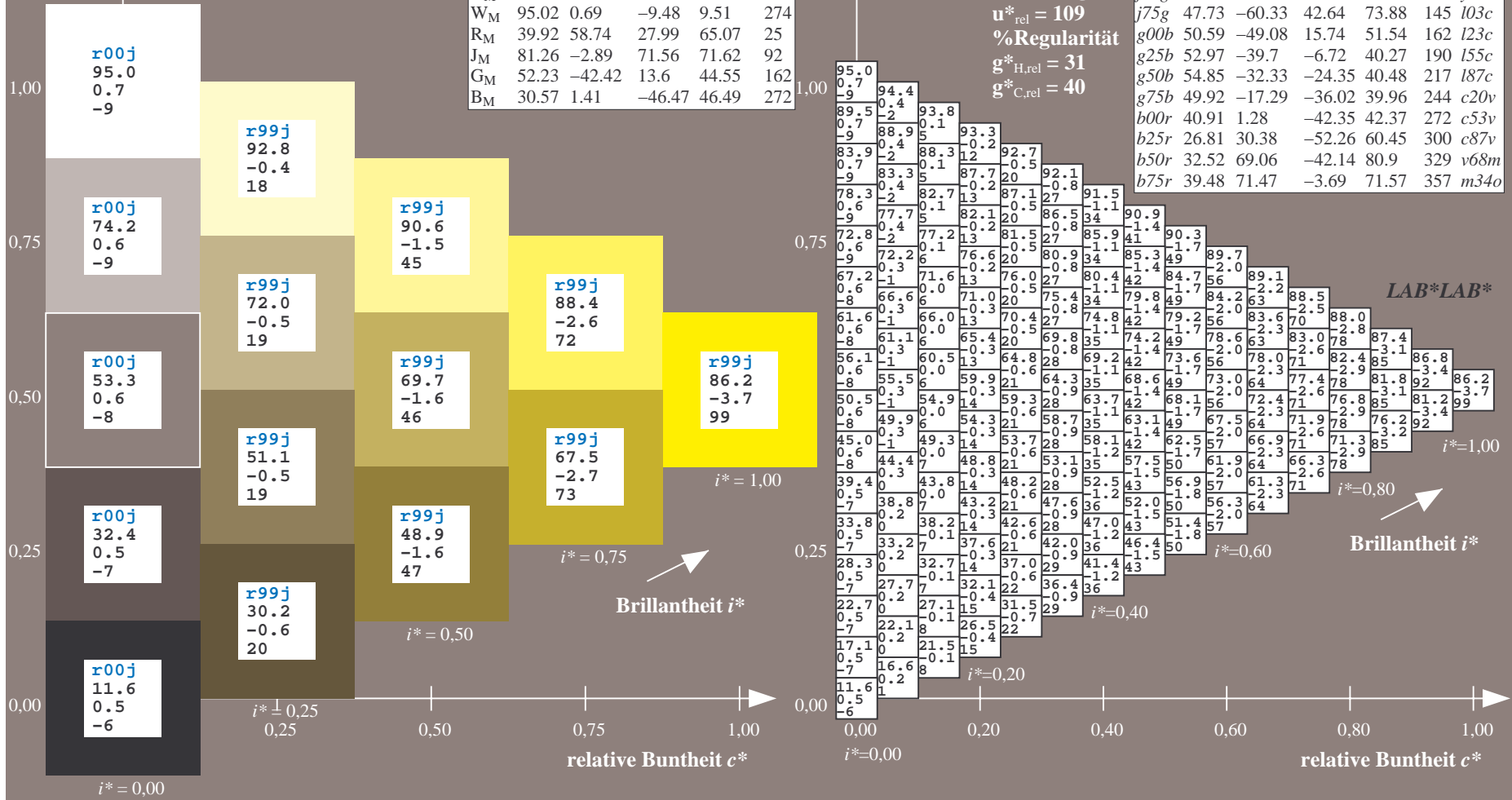
%Regularität

$g^*_{H,rel} = 31$

$g^*_{C,rel} = 40$

FRS12_95a; adaptierte CIELAB-Daten

	u^*_e	$L^*=L^*_a$	a^*_a	b^*_a	$C^*_{ab,a}$	$h^*_{ab,a}$	u^*_d
r00j	38.47	63.32	30.17	70.15	25	m81o	
r25j	42.12	54.56	49.45	73.64	42	o10y	
r50j	53.64	39.15	64.89	75.79	59	o40y	
r75j	67.01	21.26	82.83	85.52	76	o69y	
j00g	86.18	-4.38	108.53	108.62	92	o98y	
j25g	69.73	-29.89	83.06	88.28	110	y34l	
j50g	57.03	-48.31	63.49	79.78	127	y69l	
j75g	47.73	-60.33	42.64	73.88	145	i03c	
g00b	50.59	-49.08	15.74	51.54	162	l23c	
g25b	52.97	-39.7	-6.72	40.27	190	i55c	
g50b	54.85	-32.33	-24.35	40.48	217	i87c	
g75b	49.92	-17.29	-36.02	39.96	244	c20v	
b00r	40.91	1.28	-42.35	42.37	272	c53v	
b25r	26.81	30.38	-52.26	60.45	300	c87v	
b50r	32.52	69.06	-42.14	80.9	329	v68m	
b75r	39.48	71.47	-3.69	71.57	357	m34o	



Ein und Ausgabe: Farbmatisches Drucker-Reflektiv-System FRS12_95a, $L^*=12_95$ für relativen CIELAB-Bunton $h^* = lab^*h^* = h_{ab}/360 = 0.305$ $u^*_e = j25g$

Daten für jede Farbe:

lab^*ch^* und lab^*icu^*

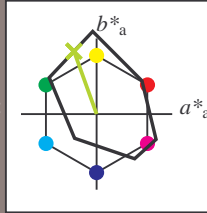
Buntontexte:

$u^*_e = j25g$ $u^*_d = y34l$

Kontrastreduzierungsfaktor:

$c_R = 1.0$

Dreiecks-Helligkeit t^*



FRS12_95; CIELAB-Daten						
u^*_e	$L^*=L^*$	a^*	b^*	C^*_{ab}	h^*_{ab}	
O _M	38.06	60.53	36.66	70.77	31	
Y _M	86.77	-4.5	100.15	100.25	93	
L _M	47.13	-62.11	40.56	74.18	147	
C _M	55.66	-28.56	-39.99	49.14	234	
V _M	17.15	50.78	-65.6	82.96	308	
M _M	40.37	79.18	-40.93	89.13	333	
N _M	11.58	0.46	-6.35	6.37	274	
W _M	95.02	0.69	-9.48	9.51	274	
R _M	39.92	58.74	27.99	65.07	25	
J _M	81.26	-2.89	71.56	71.62	92	
G _M	52.23	-42.42	13.6	44.55	162	
B _M	30.57	1.41	-46.47	46.49	272	

Daten für Maximalfarbe (Ma):

$LAB^*LAB^*_{Ma}: 70 -30 83$

$LAB^*LCH^*_{Ma}: 70 88 109$

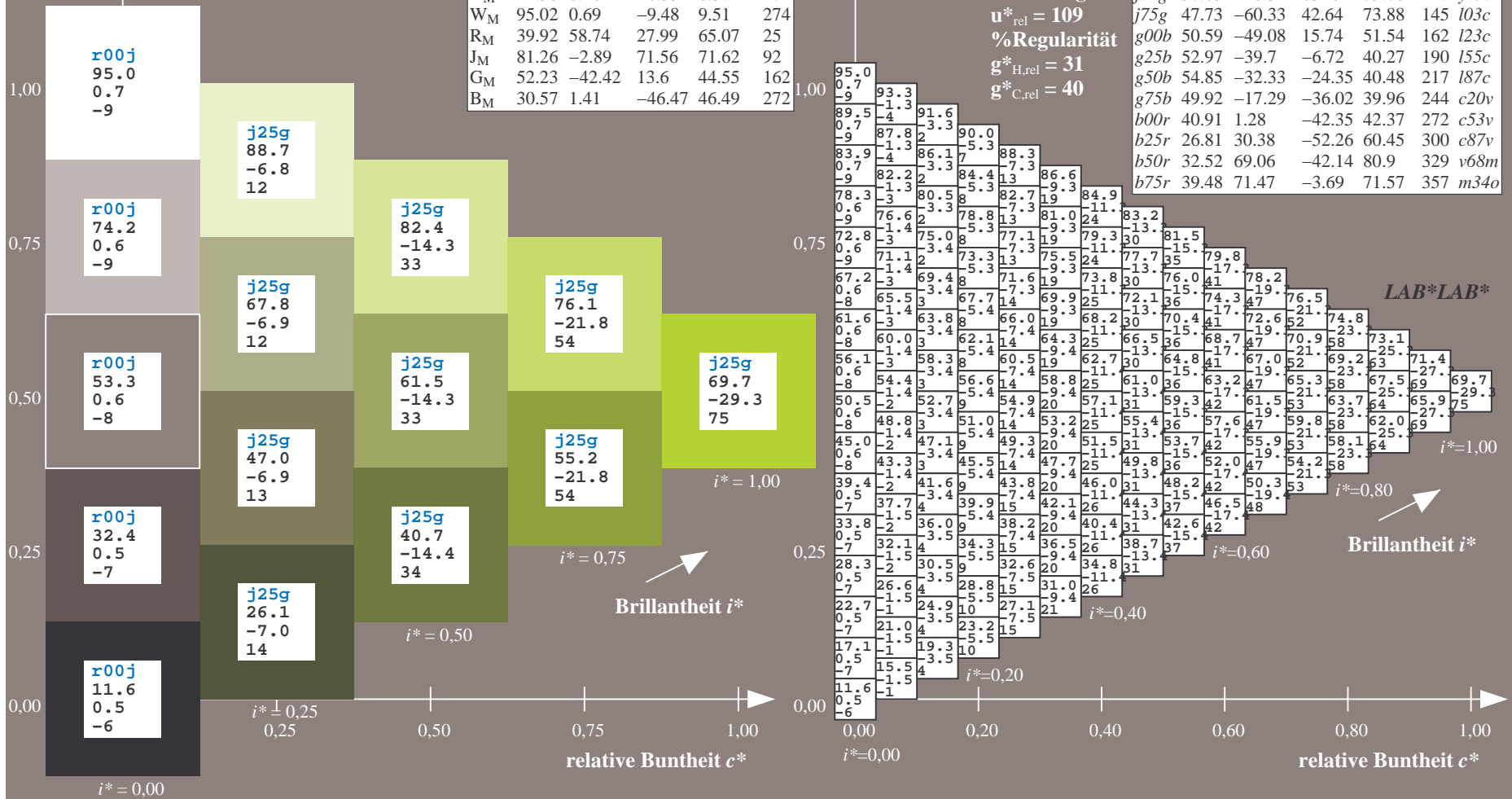
$lab^*rgb^*_{Ma}: 0.75 1.0 0.0$

$lab^*olv^*_{Ma}: 0.66 1.0 0.0$

Dreiecks-Helligkeit t^*

FRS12_95a; adaptierte CIELAB-Daten

u^*_e	$L^*=L^*_a$	a^*_a	b^*_a	$C^*_{ab,a}$	$h^*_{ab,a}$	u^*_d
r00j	38.47	63.32	30.17	70.15	25	m81o
r25j	42.12	54.56	49.45	73.64	42	o10y
r50j	53.64	39.15	64.89	75.79	59	o40y
r75j	67.01	21.26	82.83	85.52	76	o69y
j00g	86.18	-4.38	108.53	108.62	92	o98y
j25g	69.73	-29.89	83.06	88.28	110	y34l
j50g	57.03	-48.31	63.49	79.78	127	y69l
j75g	47.73	-60.33	42.64	73.88	145	i03c
g00b	50.59	-49.08	15.74	51.54	162	l23c
g25b	52.97	-39.7	-6.72	40.27	190	i55c
g50b	54.85	-32.33	-24.35	40.48	217	i87c
g75b	49.92	-17.29	-36.02	39.96	244	c20v
b00r	40.91	1.28	-42.35	42.37	272	c53v
b25r	26.81	30.38	-52.26	60.45	300	c87v
b50r	32.52	69.06	-42.14	80.9	329	v68m
b75r	39.48	71.47	-3.69	71.57	357	m34o



Ein und Ausgabe: Farbmimetrisches Drucker-Reflektiv-System FRS12_95a, $L^*=12_95$ für relativen CIELAB-Bunton $h^* = lab^*h^* = h_{ab}/360 = 0.354$ $u^*_e = j50g$

Daten für jede Farbe:

lab^*ch^* und lab^*icu^*

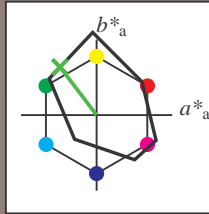
Buntontexte:

$u^*_e = j50g$ $u^*_d = y69l$

Kontrastreduzierungsfaktor:

$c_R = 1.0$

Dreiecks-Helligkeit t^*



FRS12_95; CIELAB-Daten						
	u^*_e	$L^*=L^*_a$	a^*_a	b^*_a	C^*_{ab}	h^*_{ab}
O _M	38.06	60.53	36.66	70.77	31	
Y _M	86.77	-4.5	100.15	100.25	93	
L _M	47.13	-62.11	40.56	74.18	147	
C _M	55.66	-28.56	-39.99	49.14	234	
V _M	17.15	50.78	-65.6	82.96	308	
M _M	40.37	79.18	-40.93	89.13	333	
N _M	11.58	0.46	-6.35	6.37	274	
W _M	95.02	0.69	-9.48	9.51	274	
R _M	39.92	58.74	27.99	65.07	25	
J _M	81.26	-2.89	71.56	71.62	92	
G _M	52.23	-42.42	13.6	44.55	162	
B _M	30.57	1.41	-46.47	46.49	272	

Daten für Maximalfarbe (Ma):

$LAB^*LAB^*_{Ma}: 57 -48 63$

$LAB^*LCH^*_{Ma}: 57 80 127$

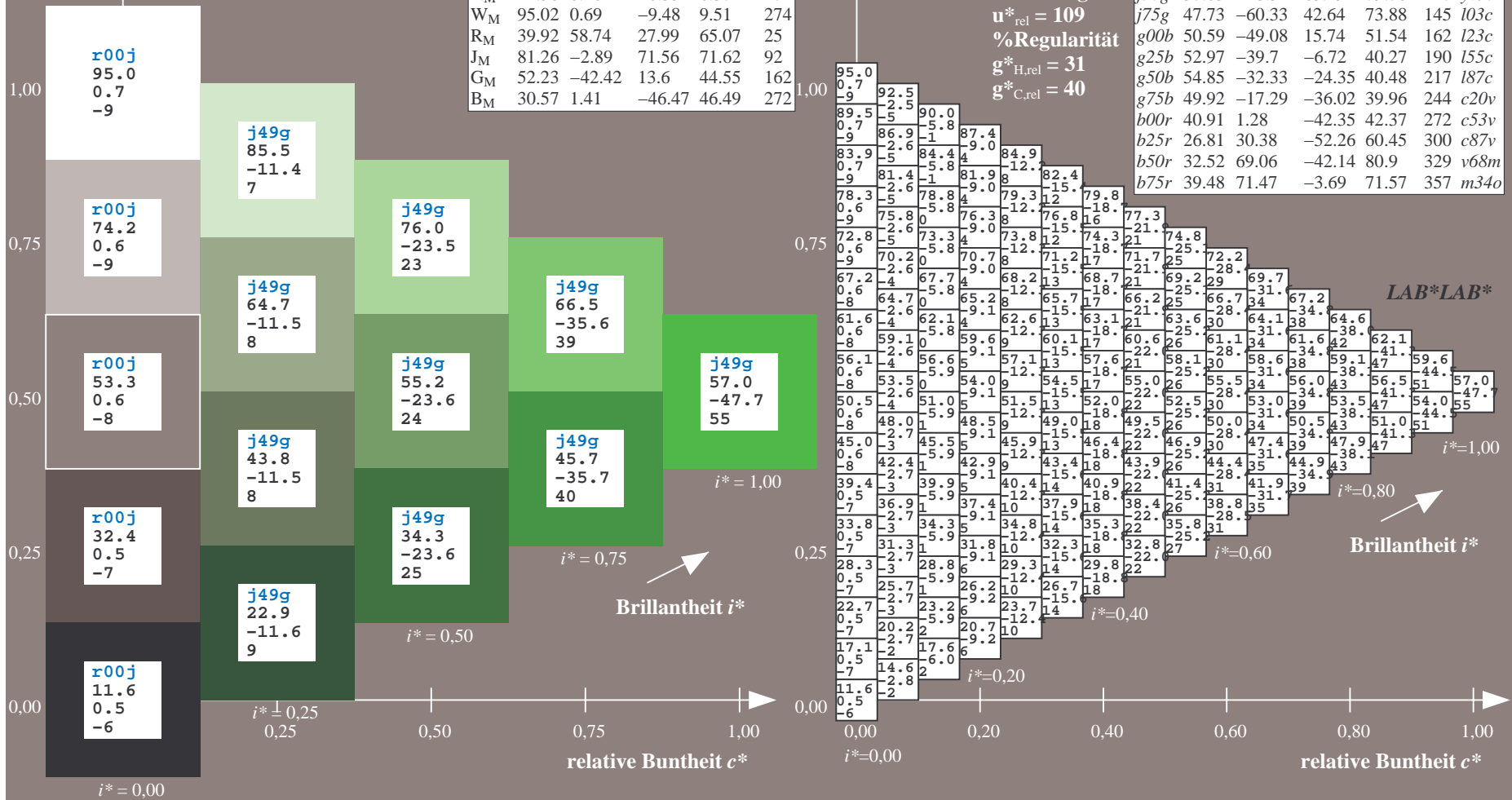
$lab^*rgb^*_{Ma}: 0.5 1.0 0.0$

$lab^*olv^*_{Ma}: 0.3 1.0 0.0$

Dreiecks-Helligkeit t^*

FRS12_95a; adaptierte CIELAB-Daten

	u^*_e	$L^*=L^*_a$	a^*_a	b^*_a	$C^*_{ab,a}$	$h^*_{ab,a}$	u^*_d
r00j	38.47	63.32	30.17	70.15	25	m81o	
r25j	42.12	54.56	49.45	73.64	42	o10y	
r50j	53.64	39.15	64.89	75.79	59	o40y	
r75j	67.01	21.26	82.83	85.52	76	o69y	
j00g	86.18	-4.38	108.53	108.62	92	o98y	
j25g	69.73	-29.89	83.06	88.28	110	y34l	
j50g	57.03	-48.31	63.49	79.78	127	y69l	
j75g	47.73	-60.33	42.64	73.88	145	i03c	
g00b	50.59	-49.08	15.74	51.54	162	l23c	
g25b	52.97	-39.7	-6.72	40.27	190	i55c	
g50b	54.85	-32.33	-24.35	40.48	217	i87c	
g75b	49.92	-17.29	-36.02	39.96	244	c20v	
b00r	40.91	1.28	-42.35	42.37	272	c53v	
b25r	26.81	30.38	-52.26	60.45	300	c87v	
b50r	32.52	69.06	-42.14	80.9	329	v68m	
b75r	39.48	71.47	-3.69	71.57	357	m34o	



Ein und Ausgabe: Farbmatisches Drucker-Reflektiv-System FRS12_95a, $L^*=12_95$ für relativen CIELAB-Bunton $h^* = lab^*h^* = h_{ab}/360 = 0.402$ $u^*_e = j75g$

Daten für jede Farbe:

lab^*ch^* und lab^*icu^*

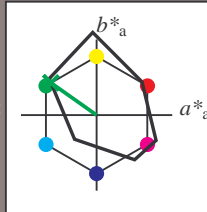
Buntontexte:

$u^*_e = j75g$ $u^*_d = l03c$

Kontrastreduzierungsfaktor:

$c_R = 1.0$

Dreiecks-Helligkeit t^*



FRS12_95; CIELAB-Daten

	u^*_e	$L^*=L^*_a$	a^*_a	b^*_a	C^*_{ab}	h^*_{ab}
O _M	38.06	60.53	36.66	70.77	31	
Y _M	86.77	-4.5	100.15	100.25	93	
L _M	47.13	-62.11	40.56	74.18	147	
C _M	55.66	-28.56	-39.99	49.14	234	
V _M	17.15	50.78	-65.6	82.96	308	
M _M	40.37	79.18	-40.93	89.13	333	
N _M	11.58	0.46	-6.35	6.37	274	
W _M	95.02	0.69	-9.48	9.51	274	
R _M	39.92	58.74	27.99	65.07	25	
J _M	81.26	-2.89	71.56	71.62	92	
G _M	52.23	-42.42	13.6	44.55	162	
B _M	30.57	1.41	-46.47	46.49	272	

Daten für Maximalfarbe (Ma):

$LAB^*LAB^*_Ma: 48 -60 43$

$LAB^*LCH^*_Ma: 48 74 144$

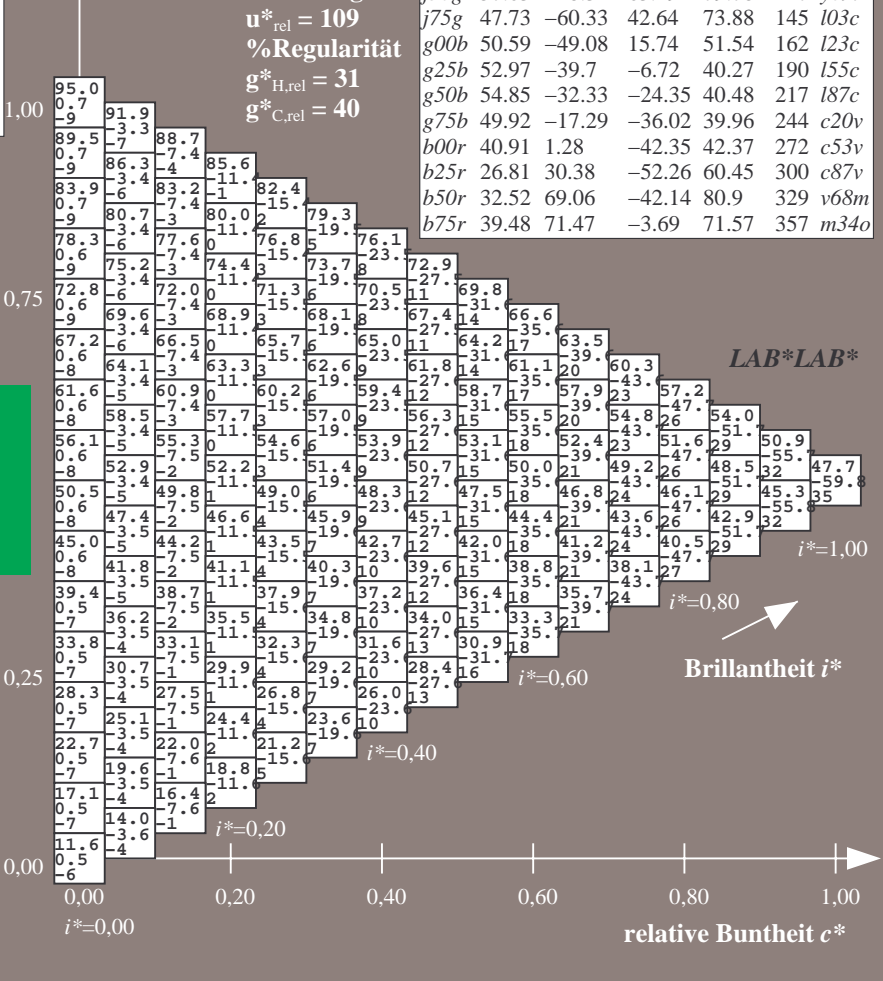
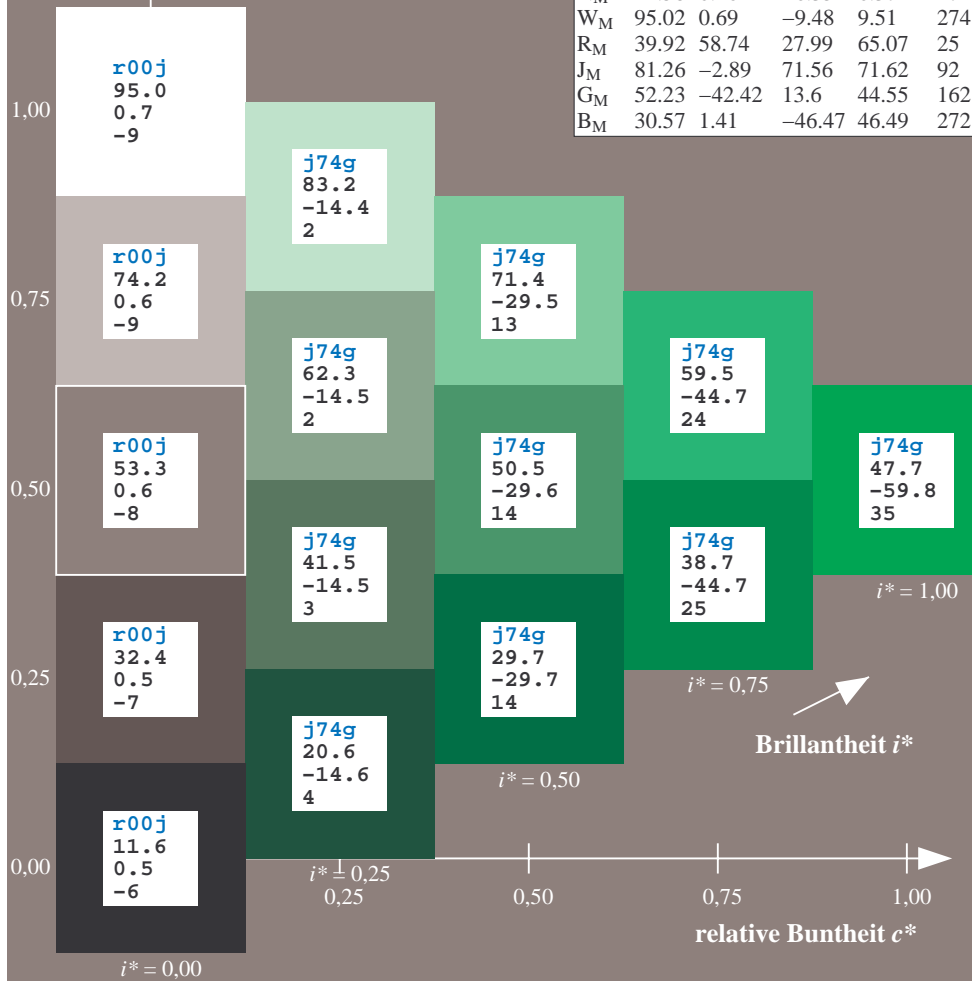
$lab^*rgb^*_Ma: 0.25 1.0 0.0$

$lab^*olv^*_Ma: 0.0 1.0 0.03$

Dreiecks-Helligkeit t^*

FRS12_95a; adaptierte CIELAB-Daten

	u^*_e	$L^*=L^*_a$	a^*_a	b^*_a	$C^*_{ab,a}$	$h^*_{ab,a}$	u^*_d
r00j	38.47	63.32	30.17	70.15	25	m81o	
r25j	42.12	54.56	49.45	73.64	42	o10y	
r50j	53.64	39.15	64.89	75.79	59	o40y	
r75j	67.01	21.26	82.83	85.52	76	o69y	
j00g	86.18	-4.38	108.53	108.62	92	o98y	
j25g	69.73	-29.89	83.06	88.28	110	y34l	
j50g	57.03	-48.31	63.49	79.78	127	y69l	
j75g	47.73	-60.33	42.64	73.88	145	l03c	
g00b	50.59	-49.08	15.74	51.54	162	l23c	
g25b	52.97	-39.7	-6.72	40.27	190	l55c	
g50b	54.85	-32.33	-24.35	40.48	217	l87c	
g75b	49.92	-17.29	-36.02	39.96	244	c20v	
b00r	40.91	1.28	-42.35	42.37	272	c53v	
b25r	26.81	30.38	-52.26	60.45	300	c87v	
b50r	32.52	69.06	-42.14	80.9	329	v68m	
b75r	39.48	71.47	-3.69	71.57	357	m34o	



%Umfang
 $u^*_{rel} = 109$
 %Regularität
 $g^*_{H,rel} = 31$
 $g^*_{C,rel} = 40$

Ein und Ausgabe: Farbmatisches Drucker-Reflektiv-System FRS12_95a, $L^*=12_95$ für relativen CIELAB-Bunton $h^* = lab^*h^* = h_{ab}/360 = 0.451$ $u^*_e = g00b$

Daten für jede Farbe:

lab^*tch^* und lab^*icu^*

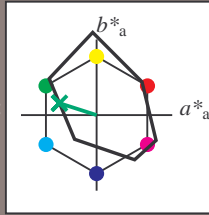
Buntontexte:

$u^*_e = g00b$ $u^*_d = l23c$

Kontrastreduzierungsfaktor:

$c_R = 1.0$

Dreiecks-Helligkeit t^*



FRS12_95; CIELAB-Daten

	u^*_e	$L^*=L^*$	a^*	b^*	C^*_{ab}	h^*_{ab}
O _M	38.06	60.53	36.66	70.77	31	
Y _M	86.77	-4.5	100.15	100.25	93	
L _M	47.13	-62.11	40.56	74.18	147	
C _M	55.66	-28.56	-39.99	49.14	234	
V _M	17.15	50.78	-65.6	82.96	308	
M _M	40.37	79.18	-40.93	89.13	333	
N _M	11.58	0.46	-6.35	6.37	274	
W _M	95.02	0.69	-9.48	9.51	274	
R _M	39.92	58.74	27.99	65.07	25	
J _M	81.26	-2.89	71.56	71.62	92	
G _M	52.23	-42.42	13.6	44.55	162	
B _M	30.57	1.41	-46.47	46.49	272	

Daten für Maximalfarbe (Ma):

$LAB^*LAB^*_{Ma}: 51 -49 16$

$LAB^*LCH^*_{Ma}: 51 52 162$

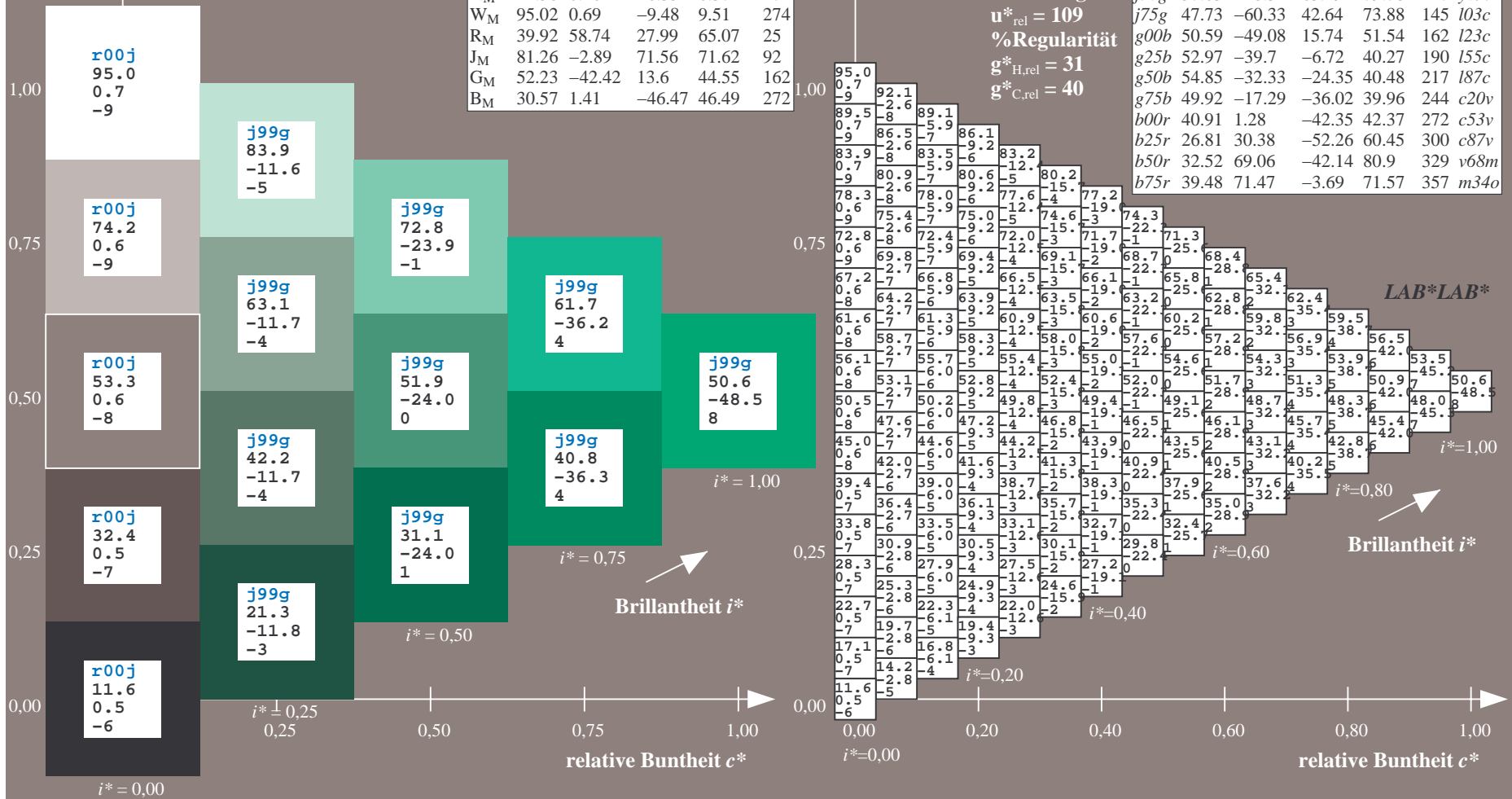
$lab^*rgb^*_{Ma}: 0.0 1.0 0.0$

$lab^*olv^*_{Ma}: 0.0 1.0 0.23$

Dreiecks-Helligkeit t^*

FRS12_95a; adaptierte CIELAB-Daten

	u^*_e	$L^*=L^*_a$	a^*_a	b^*_a	$C^*_{ab,a}$	$h^*_{ab,a}$	u^*_d
r00j	38.47	63.32	30.17	70.15	25	m81o	
r25j	42.12	54.56	49.45	73.64	42	o10y	
r50j	53.64	39.15	64.89	75.79	59	o40y	
r75j	67.01	21.26	82.83	85.52	76	o69y	
j00g	86.18	-4.38	108.53	108.62	92	o98y	
j25g	69.73	-29.89	83.06	88.28	110	y34l	
j50g	57.03	-48.31	63.49	79.78	127	y69l	
j75g	47.73	-60.33	42.64	73.88	145	i03c	
g00b	50.59	-49.08	15.74	51.54	162	l23c	
g25b	52.97	-39.7	-6.72	40.27	190	i55c	
g50b	54.85	-32.33	-24.35	40.48	217	i87c	
g75b	49.92	-17.29	-36.02	39.96	244	c20v	
b00r	40.91	1.28	-42.35	42.37	272	c53v	
b25r	26.81	30.38	-52.26	60.45	300	c87v	
b50r	32.52	69.06	-42.14	80.9	329	v68m	
b75r	39.48	71.47	-3.69	71.57	357	m34o	



Ein und Ausgabe: Farbmatisches Drucker-Reflektiv-System FRS12_95a, $L^*=12_95$ für relativen CIELAB-Bunton $h^* = lab^*h^* = h_{ab}/360 = 0.527$ $u^*_e = g25b$

Daten für jede Farbe:

lab^*ch^* und lab^*icu^*

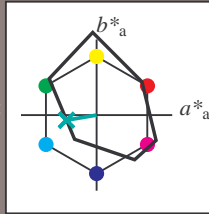
Buntontexte:

$u^*_e = g25b$ $u^*_d = l55c$

Kontrastreduzierungsfaktor:

$c_R = 1.0$

Dreiecks-Helligkeit t^*



FRS12_95; CIELAB-Daten

	u^*_e	$L^*=L^*$	a^*	b^*	C^*_{ab}	h^*_{ab}
O _M	38.06	60.53	36.66	70.77	31	
Y _M	86.77	-4.5	100.15	100.25	93	
L _M	47.13	-62.11	40.56	74.18	147	
C _M	55.66	-28.56	-39.99	49.14	234	
V _M	17.15	50.78	-65.6	82.96	308	
M _M	40.37	79.18	-40.93	89.13	333	
N _M	11.58	0.46	-6.35	6.37	274	
W _M	95.02	0.69	-9.48	9.51	274	
R _M	39.92	58.74	27.99	65.07	25	
J _M	81.26	-2.89	71.56	71.62	92	
G _M	52.23	-42.42	13.6	44.55	162	
B _M	30.57	1.41	-46.47	46.49	272	

Daten für Maximalfarbe (Ma):

$LAB^*LAB^*_{Ma}: 53 -40 -7$

$LAB^*LCH^*_{Ma}: 53 40 189$

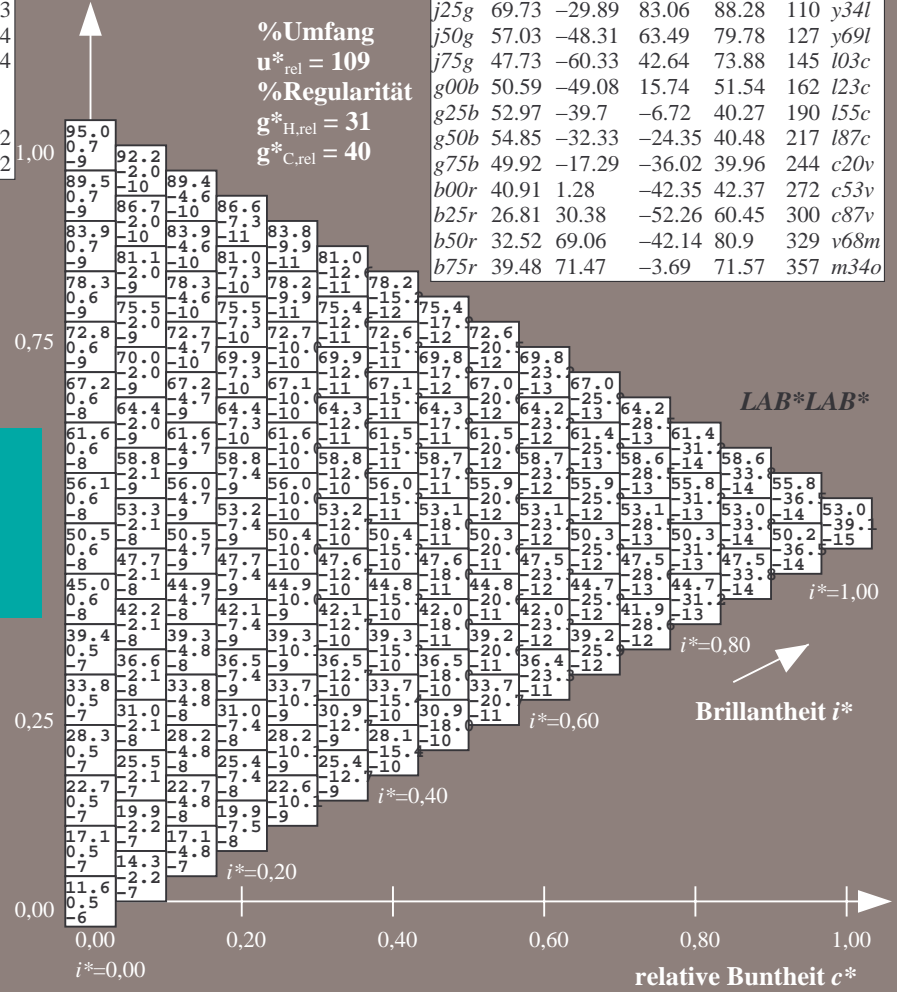
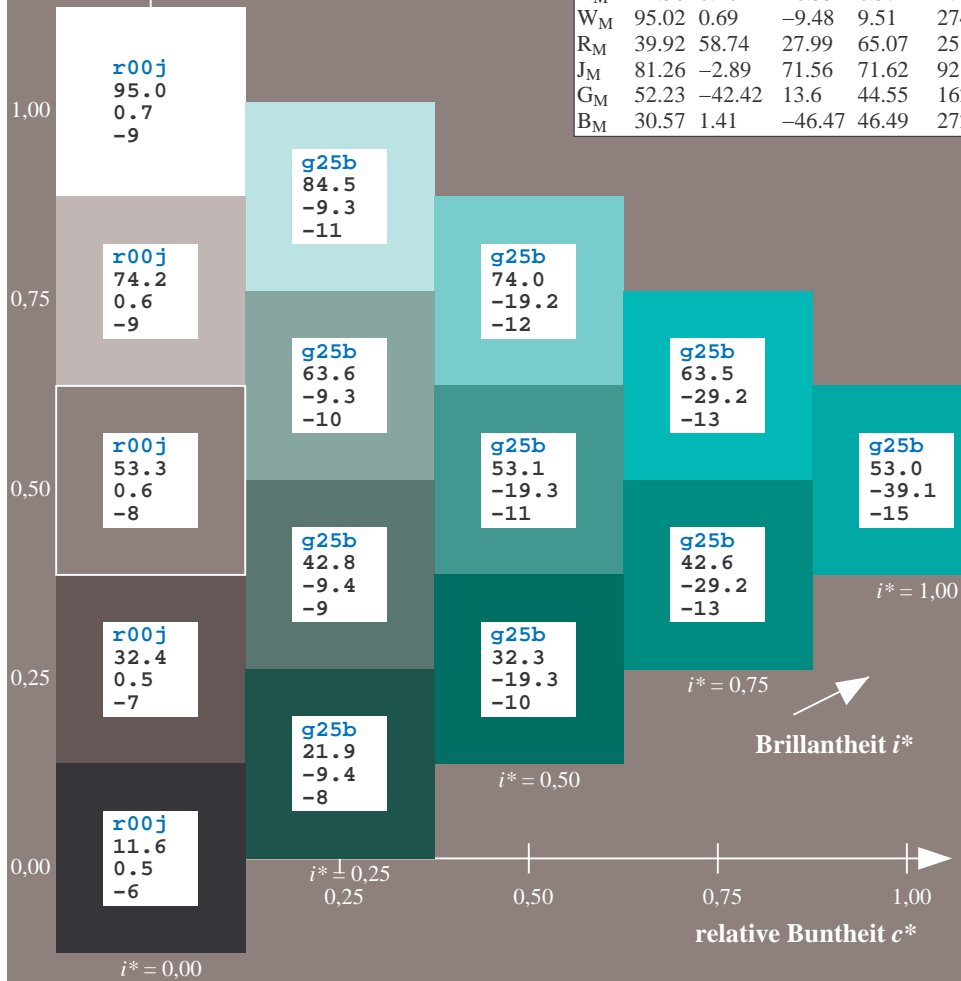
$lab^*rgb^*_{Ma}: 0.0 1.0 0.5$

$lab^*olv^*_{Ma}: 0.0 1.0 0.55$

Dreiecks-Helligkeit t^*

FRS12_95a; adaptierte CIELAB-Daten

	u^*_e	$L^*=L^*_a$	a^*_a	b^*_a	$C^*_{ab,a}$	$h^*_{ab,a}$	u^*_d
r00j	38.47	63.32	30.17	70.15	25	m81o	
r25j	42.12	54.56	49.45	73.64	42	o10y	
r50j	53.64	39.15	64.89	75.79	59	o40y	
r75j	67.01	21.26	82.83	85.52	76	o69y	
j00g	86.18	-4.38	108.53	108.62	92	o98y	
j25g	69.73	-29.89	83.06	88.28	110	y34l	
j50g	57.03	-48.31	63.49	79.78	127	y69l	
j75g	47.73	-60.33	42.64	73.88	145	l03c	
g00b	50.59	-49.08	15.74	51.54	162	l23c	
g25b	52.97	-39.7	-6.72	40.27	190	l55c	
g50b	54.85	-32.33	-24.35	40.48	217	l87c	
g75b	49.92	-17.29	-36.02	39.96	244	c20v	
b00r	40.91	1.28	-42.35	42.37	272	c53v	
b25r	26.81	30.38	-52.26	60.45	300	c87v	
b50r	32.52	69.06	-42.14	80.9	329	v68m	
b75r	39.48	71.47	-3.69	71.57	357	m34o	



%Umfang
 $u^*_{rel} = 109$
%Regularität
 $g^*_{H,rel} = 31$
 $g^*_{C,rel} = 40$

LAB^*LAB^*

Brillantheit i^*

Ein und Ausgabe: Farbmatisches Drucker-Reflektiv-System FRS12_95a, $L^*=12_95$ für relativen CIELAB-Bunton $h^* = lab^*h^* = h_{ab}/360 = 0.603$ $u^*_e = g50b$

Daten für jede Farbe:

lab^*ch^* und lab^*icu^*

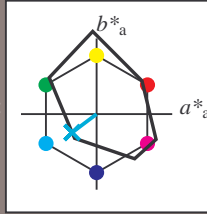
Buntontexte:

$u^*_e = g50b$ $u^*_d = l87c$

Kontrastreduzierungsfaktor:

$c_R = 1.0$

Dreiecks-Helligkeit t^*



FRS12_95; CIELAB-Daten

	u^*_e	$L^*=L^*$	a^*	b^*	C^*_{ab}	h^*_{ab}
O _M	38.06	60.53	36.66	70.77	31	
Y _M	86.77	-4.5	100.15	100.25	93	
L _M	47.13	-62.11	40.56	74.18	147	
C _M	55.66	-28.56	-39.99	49.14	234	
V _M	17.15	50.78	-65.6	82.96	308	
M _M	40.37	79.18	-40.93	89.13	333	
N _M	11.58	0.46	-6.35	6.37	274	
W _M	95.02	0.69	-9.48	9.51	274	
R _M	39.92	58.74	27.99	65.07	25	
J _M	81.26	-2.89	71.56	71.62	92	
G _M	52.23	-42.42	13.6	44.55	162	
B _M	30.57	1.41	-46.47	46.49	272	

Daten für Maximalfarbe (Ma):

$LAB^*LAB^*_{Ma}: 55 -32 -24$

$LAB^*LCH^*_{Ma}: 55 40 216$

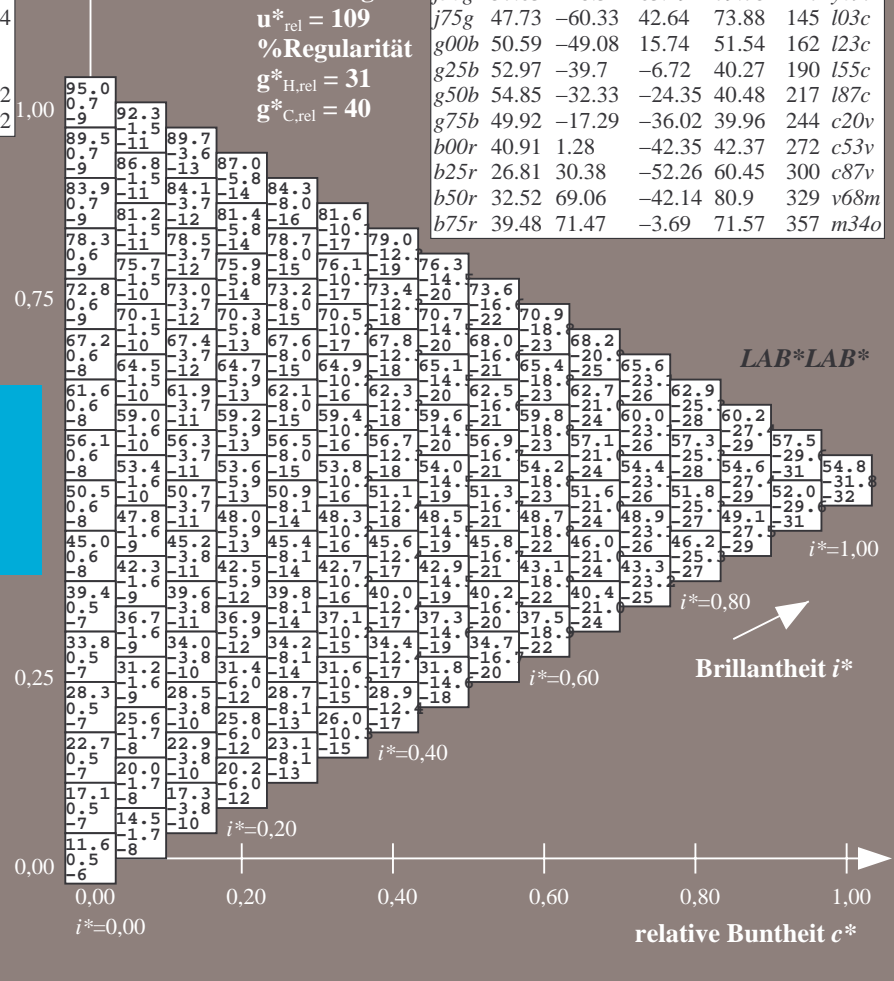
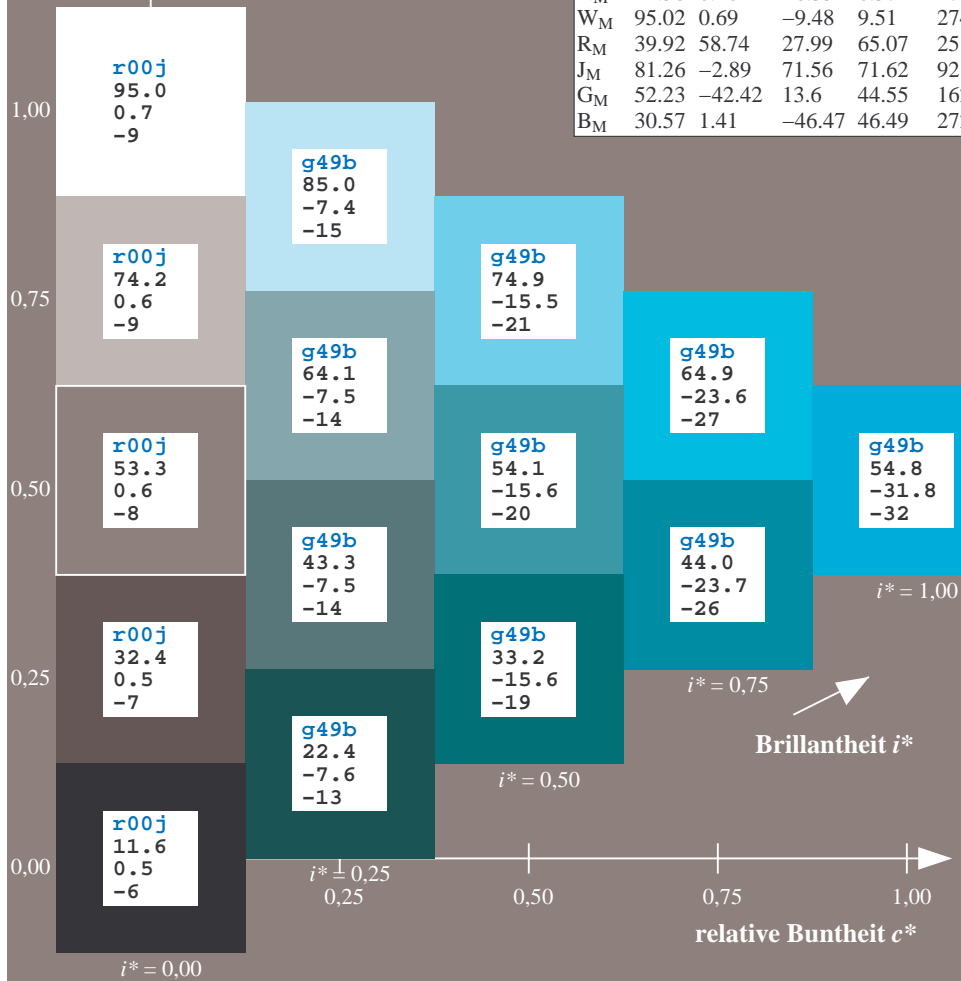
$lab^*rgb^*_{Ma}: 0.0 1.0 1.0$

$lab^*olv^*_{Ma}: 0.0 1.0 0.87$

Dreiecks-Helligkeit t^*

FRS12_95a; adaptierte CIELAB-Daten

	u^*_e	$L^*=L^*_a$	a^*_a	b^*_a	$C^*_{ab,a}$	$h^*_{ab,a}$	u^*_d
r00j	38.47	63.32	30.17	70.15	25	m81o	
r25j	42.12	54.56	49.45	73.64	42	o10y	
r50j	53.64	39.15	64.89	75.79	59	o40y	
r75j	67.01	21.26	82.83	85.52	76	o69y	
j00g	86.18	-4.38	108.53	108.62	92	o98y	
j25g	69.73	-29.89	83.06	88.28	110	y34l	
j50g	57.03	-48.31	63.49	79.78	127	y69l	
j75g	47.73	-60.33	42.64	73.88	145	l03c	
g00b	50.59	-49.08	15.74	51.54	162	l23c	
g25b	52.97	-39.7	-6.72	40.27	190	l55c	
g50b	54.85	-32.33	-24.35	40.48	217	l87c	
g75b	49.92	-17.29	-36.02	39.96	244	c20v	
b00r	40.91	1.28	-42.35	42.37	272	c53v	
b25r	26.81	30.38	-52.26	60.45	300	c87v	
b50r	32.52	69.06	-42.14	80.9	329	v68m	
b75r	39.48	71.47	-3.69	71.57	357	m34o	



Ein und Ausgabe: Farbmatisches Drucker-Reflektiv-System FRS12_95a, $L^*=12_95$ für relativen CIELAB-Bunton $h^* = lab^*h^* = h_{ab}/360 = 0.679$ $u^*_e = g75b$

Daten für jede Farbe:

lab^*ch^* und lab^*icu^*

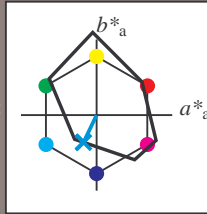
Buntontexte:

$u^*_e = g75b$ $u^*_d = c20v$

Kontrastreduzierungsfaktor:

$c_R = 1.0$

Dreiecks-Helligkeit t^*



FRS12_95; CIELAB-Daten

	u^*_e	$L^*=L^*$	a^*	b^*	C^*_{ab}	h^*_{ab}
O _M	38.06	60.53	36.66	70.77	31	
Y _M	86.77	-4.5	100.15	100.25	93	
L _M	47.13	-62.11	40.56	74.18	147	
C _M	55.66	-28.56	-39.99	49.14	234	
V _M	17.15	50.78	-65.6	82.96	308	
M _M	40.37	79.18	-40.93	89.13	333	
N _M	11.58	0.46	-6.35	6.37	274	
W _M	95.02	0.69	-9.48	9.51	274	
R _M	39.92	58.74	27.99	65.07	25	
J _M	81.26	-2.89	71.56	71.62	92	
G _M	52.23	-42.42	13.6	44.55	162	
B _M	30.57	1.41	-46.47	46.49	272	

Daten für Maximalfarbe (Ma):

$LAB^*LAB^*_{Ma}: 50 -17 -36$

$LAB^*LCH^*_{Ma}: 50 40 244$

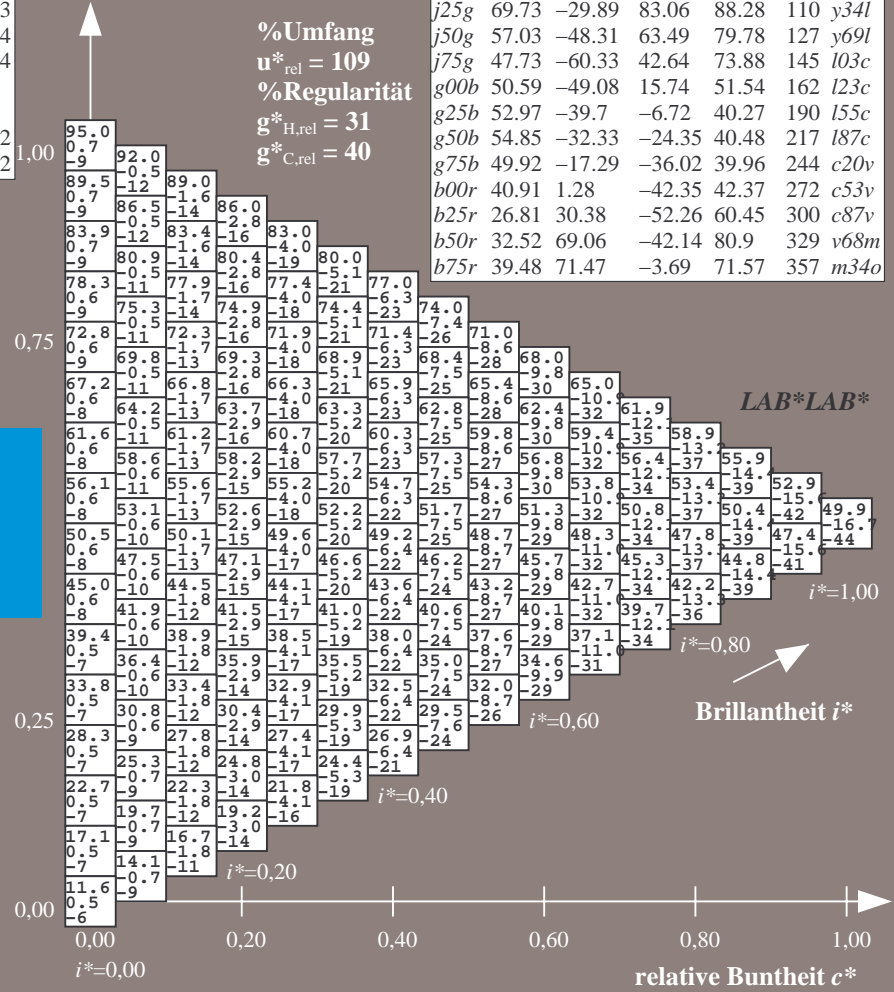
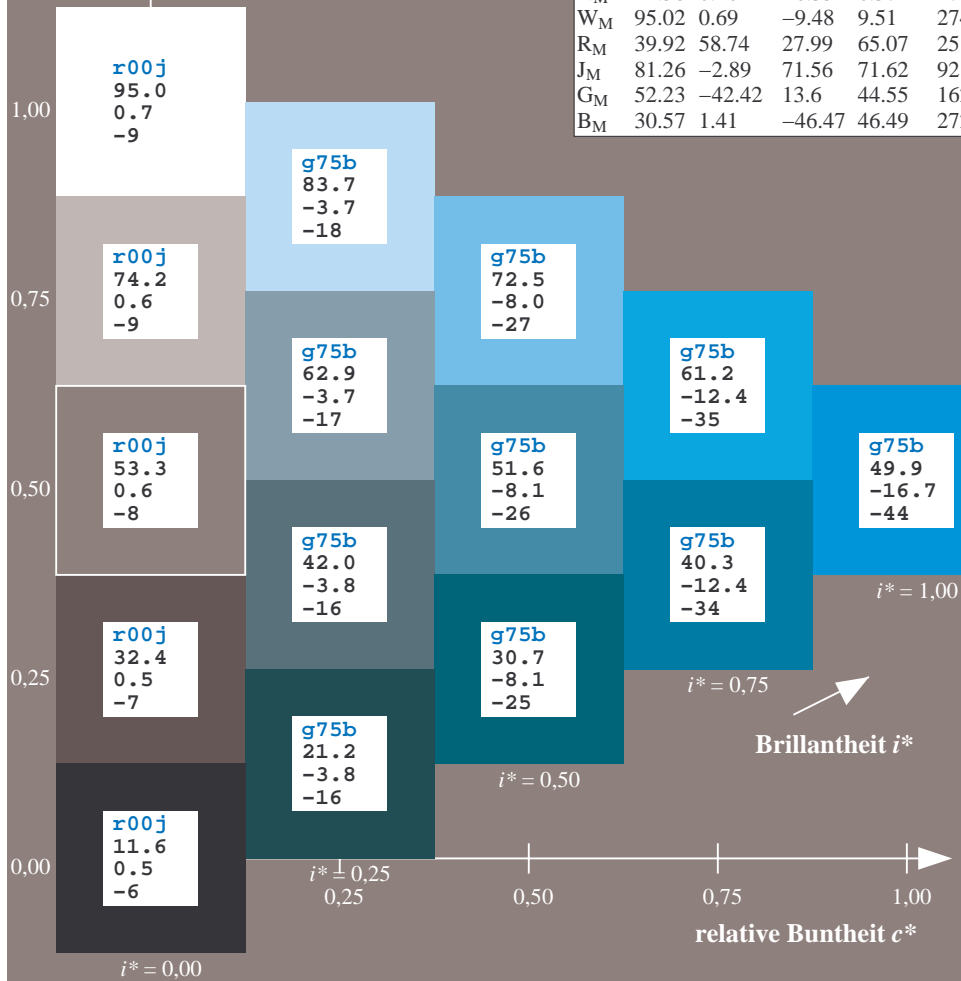
$lab^*rgb^*_{Ma}: 0.0 0.5 1.0$

$lab^*olv^*_{Ma}: 0.0 0.8 1.0$

Dreiecks-Helligkeit t^*

FRS12_95a; adaptierte CIELAB-Daten

	u^*_e	$L^*=L^*_a$	a^*_a	b^*_a	$C^*_{ab,a}$	$h^*_{ab,a}$	u^*_d
r00j	38.47	63.32	30.17	70.15	25	m81o	
r25j	42.12	54.56	49.45	73.64	42	o10y	
r50j	53.64	39.15	64.89	75.79	59	o40y	
r75j	67.01	21.26	82.83	85.52	76	o69y	
j00g	86.18	-4.38	108.53	108.62	92	o98y	
j25g	69.73	-29.89	83.06	88.28	110	y34l	
j50g	57.03	-48.31	63.49	79.78	127	y69l	
j75g	47.73	-60.33	42.64	73.88	145	l03c	
g00b	50.59	-49.08	15.74	51.54	162	l23c	
g25b	52.97	-39.7	-6.72	40.27	190	l55c	
g50b	54.85	-32.33	-24.35	40.48	217	l87c	
g75b	49.92	-17.29	-36.02	39.96	244	c20v	
b00r	40.91	1.28	-42.35	42.37	272	c53v	
b25r	26.81	30.38	-52.26	60.45	300	c87v	
b50r	32.52	69.06	-42.14	80.9	329	v68m	
b75r	39.48	71.47	-3.69	71.57	357	m34o	



Fg640-7A, Seite 157/198

Ein und Ausgabe: Farbmatisches Drucker-Reflektiv-System FRS12_95a, $L^*=12_95$ für relativen CIELAB-Bunton $h^* = lab^*h^* = h_{ab}/360 = 0.755$ $u^*_e = b00r$

Daten für jede Farbe:

lab^*ch^* und lab^*icu^*

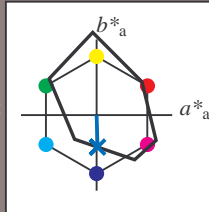
Buntontexte:

$u^*_e = b00r$ $u^*_d = c53v$

Kontrastreduzierungsfaktor:

$c_R = 1.0$

Dreiecks-Helligkeit t^*



FRS12_95; CIELAB-Daten

	u^*_e	$L^*=L^*$	a^*	b^*	C^*_{ab}	h^*_{ab}
O _M	38.06	60.53	36.66	70.77	31	
Y _M	86.77	-4.5	100.15	100.25	93	
L _M	47.13	-62.11	40.56	74.18	147	
C _M	55.66	-28.56	-39.99	49.14	234	
V _M	17.15	50.78	-65.6	82.96	308	
M _M	40.37	79.18	-40.93	89.13	333	
N _M	11.58	0.46	-6.35	6.37	274	
W _M	95.02	0.69	-9.48	9.51	274	
R _M	39.92	58.74	27.99	65.07	25	
J _M	81.26	-2.89	71.56	71.62	92	
G _M	52.23	-42.42	13.6	44.55	162	
B _M	30.57	1.41	-46.47	46.49	272	

Daten für Maximalfarbe (Ma):

$LAB^*LAB^*_{Ma}: 41 \ 1 \ -42$

$LAB^*LCH^*_{Ma}: 41 \ 42 \ 271$

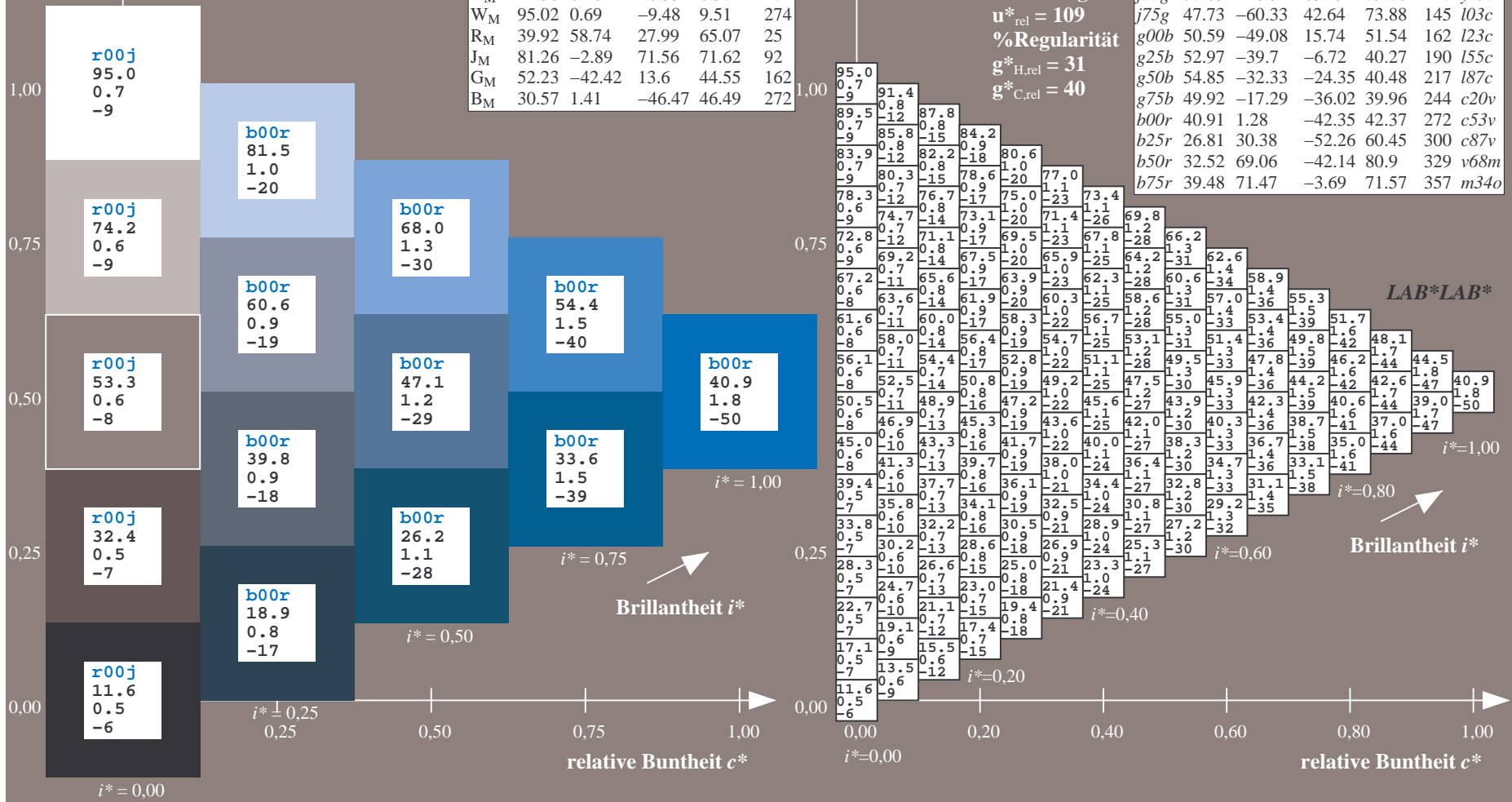
$lab^*rgb^*_{Ma}: 0.0 \ 0.0 \ 1.0$

$lab^*olv^*_{Ma}: 0.0 \ 0.47 \ 1.0$

Dreiecks-Helligkeit t^*

FRS12_95a; adaptierte CIELAB-Daten

	u^*_e	$L^*=L^*_a$	a^*_a	b^*_a	$C^*_{ab,a}$	$h^*_{ab,a}$	u^*_d
r00j	38.47	63.32	30.17	70.15	25	m81o	
r25j	42.12	54.56	49.45	73.64	42	o10y	
r50j	53.64	39.15	64.89	75.79	59	o40y	
r75j	67.01	21.26	82.83	85.52	76	o69y	
j00g	86.18	-4.38	108.53	108.62	92	o98y	
j25g	69.73	-29.89	83.06	88.28	110	y34l	
j50g	57.03	-48.31	63.49	79.78	127	y69l	
j75g	47.73	-60.33	42.64	73.88	145	i03c	
g00b	50.59	-49.08	15.74	51.54	162	i23c	
g25b	52.97	-39.7	-6.72	40.27	190	i55c	
g50b	54.85	-32.33	-24.35	40.48	217	i87c	
g75b	49.92	-17.29	-36.02	39.96	244	c20v	
b00r	40.91	1.28	-42.35	42.37	272	c53v	
b25r	26.81	30.38	-52.26	60.45	300	c87v	
b50r	32.52	69.06	-42.14	80.9	329	v68m	
b75r	39.48	71.47	-3.69	71.57	357	m34o	



Ein und Ausgabe: Farbmatisches Drucker-Reflektiv-System FRS12_95a, $L^*=12_95$ für relativen CIELAB-Bunton $h^* = lab^*h^* = h_{ab}/360 = 0.834$ $u^*_e = b25r$

Daten für jede Farbe:

lab^*ch^* und lab^*icu^*

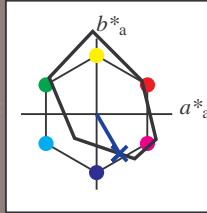
Buntontexte:

$u^*_e = b25r$ $u^*_d = c87v$

Kontrastreduzierungsfaktor:

$c_R = 1.0$

Dreiecks-Helligkeit t^*



FRS12_95; CIELAB-Daten						
	u^*_e	$L^*=L^*$	a^*	b^*	C^*_{ab}	h^*_{ab}
O _M	38.06	60.53	36.66	70.77	31	
Y _M	86.77	-4.5	100.15	100.25	93	
L _M	47.13	-62.11	40.56	74.18	147	
C _M	55.66	-28.56	-39.99	49.14	234	
V _M	17.15	50.78	-65.6	82.96	308	
M _M	40.37	79.18	-40.93	89.13	333	
N _M	11.58	0.46	-6.35	6.37	274	
W _M	95.02	0.69	-9.48	9.51	274	
R _M	39.92	58.74	27.99	65.07	25	
J _M	81.26	-2.89	71.56	71.62	92	
G _M	52.23	-42.42	13.6	44.55	162	
B _M	30.57	1.41	-46.47	46.49	272	

Daten für Maximalfarbe (Ma):

$LAB^*LAB^*_{Ma}: 27\ 30\ -52$

$LAB^*LCH^*_{Ma}: 27\ 60\ 300$

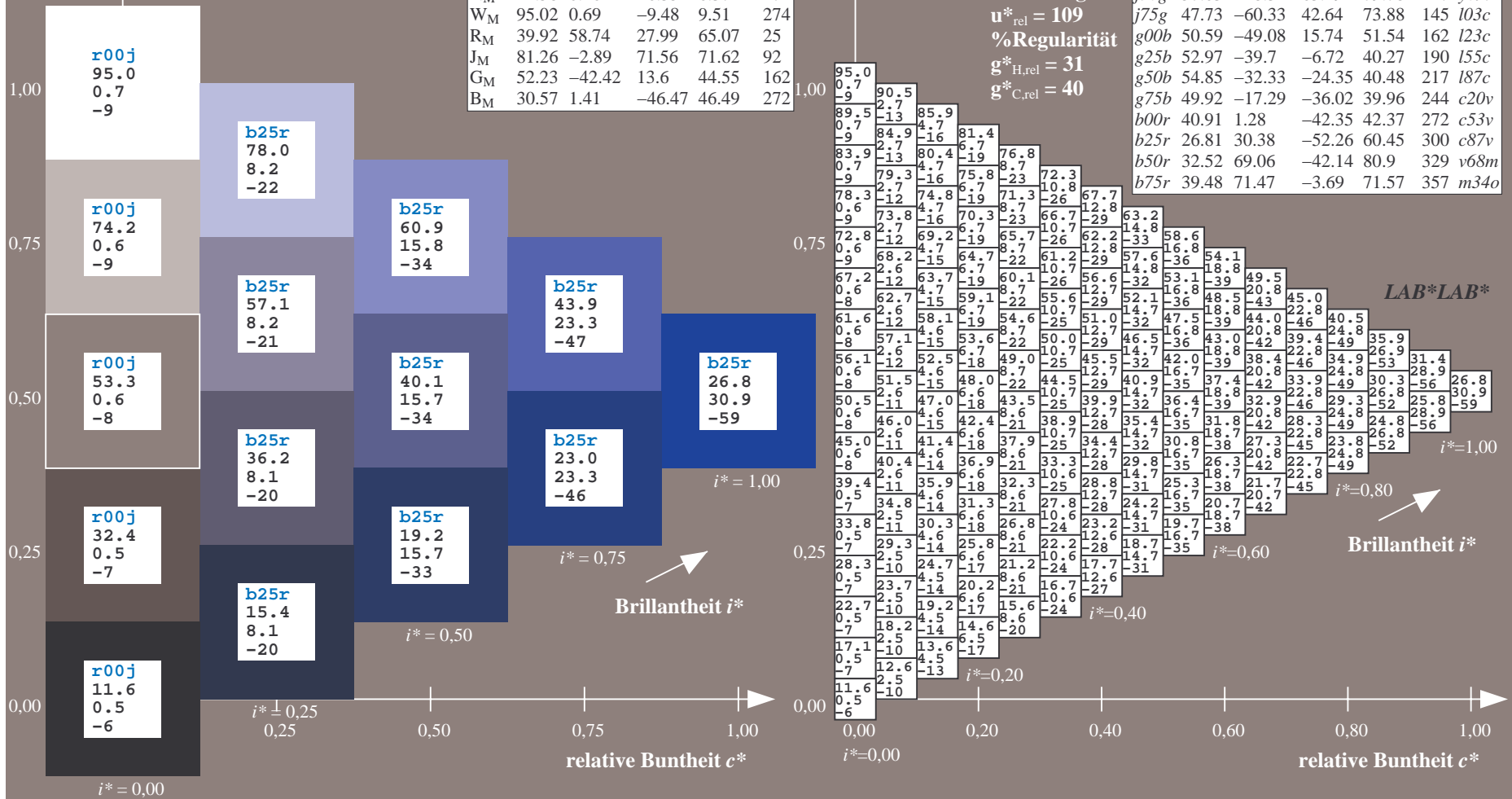
$lab^*rgb^*_{Ma}: 0.5\ 0.0\ 1.0$

$lab^*olv^*_{Ma}: 0.0\ 0.12\ 1.0$

Dreiecks-Helligkeit t^*

FRS12_95a; adaptierte CIELAB-Daten

	u^*_e	$L^*=L^*_a$	a^*_a	b^*_a	$C^*_{ab,a}$	$h^*_{ab,a}$	u^*_d
r00j	38.47	63.32	30.17	70.15	25	m81o	
r25j	42.12	54.56	49.45	73.64	42	o10y	
r50j	53.64	39.15	64.89	75.79	59	o40y	
r75j	67.01	21.26	82.83	85.52	76	o69y	
j00g	86.18	-4.38	108.53	108.62	92	o98y	
j25g	69.73	-29.89	83.06	88.28	110	y34l	
j50g	57.03	-48.31	63.49	79.78	127	y69l	
j75g	47.73	-60.33	42.64	73.88	145	i03c	
g00b	50.59	-49.08	15.74	51.54	162	i23c	
g25b	52.97	-39.7	-6.72	40.27	190	i55c	
g50b	54.85	-32.33	-24.35	40.48	217	i87c	
g75b	49.92	-17.29	-36.02	39.96	244	c20v	
b00r	40.91	1.28	-42.35	42.37	272	c53v	
b25r	26.81	30.38	-52.26	60.45	300	c87v	
b50r	32.52	69.06	-42.14	80.9	329	v68m	
b75r	39.48	71.47	-3.69	71.57	357	m34o	



Ein und Ausgabe: Farbmimetrisches Drucker-Reflektiv-System FRS12_95a, $L^*=12_95$ für relativen CIELAB-Bunton $h^* = lab^*h^* = h_{ab}/360 = 0.913$ $u^*_e = b50r$

Daten für jede Farbe:

lab^*ch^* und lab^*icu^*

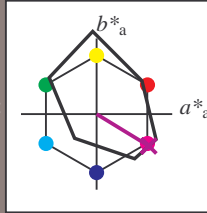
Buntontexte:

$u^*_e = b50r$ $u^*_d = v68m$

Kontrastreduzierungsfaktor:

$c_R = 1.0$

Dreiecks-Helligkeit t^*



FRS12_95; CIELAB-Daten

	u^*_e	$L^*=L^*$	a^*	b^*	C^*_{ab}	h^*_{ab}
O _M	38.06	60.53	36.66	70.77	31	
Y _M	86.77	-4.5	100.15	100.25	93	
L _M	47.13	-62.11	40.56	74.18	147	
C _M	55.66	-28.56	-39.99	49.14	234	
V _M	17.15	50.78	-65.6	82.96	308	
M _M	40.37	79.18	-40.93	89.13	333	
N _M	11.58	0.46	-6.35	6.37	274	
W _M	95.02	0.69	-9.48	9.51	274	
R _M	39.92	58.74	27.99	65.07	25	
J _M	81.26	-2.89	71.56	71.62	92	
G _M	52.23	-42.42	13.6	44.55	162	
B _M	30.57	1.41	-46.47	46.49	272	

Daten für Maximalfarbe (Ma):

$LAB^*LAB^*_{Ma}: 33\ 69\ -42$

$LAB^*LCH^*_{Ma}: 33\ 81\ 328$

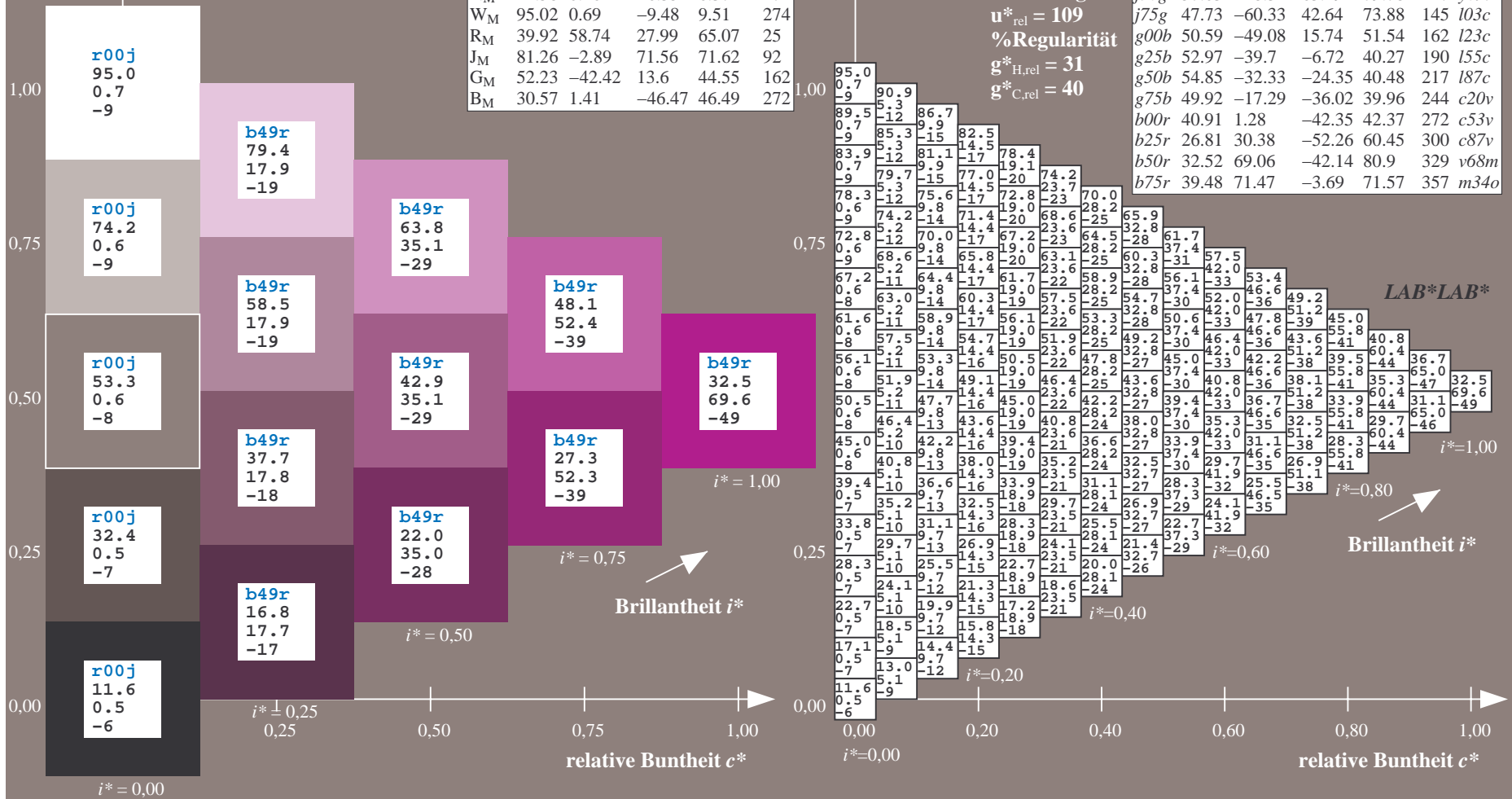
$lab^*rgb^*_{Ma}: 1.0\ 0.0\ 1.0$

$lab^*olv^*_{Ma}: 0.69\ 0.0\ 1.0$

Dreiecks-Helligkeit t^*

FRS12_95a; adaptierte CIELAB-Daten

	u^*_e	$L^*=L^*_a$	a^*_a	b^*_a	$C^*_{ab,a}$	$h^*_{ab,a}$	u^*_d
r00j	38.47	63.32	30.17	70.15	25	m81o	
r25j	42.12	54.56	49.45	73.64	42	o10y	
r50j	53.64	39.15	64.89	75.79	59	o40y	
r75j	67.01	21.26	82.83	85.52	76	o69y	
j00g	86.18	-4.38	108.53	108.62	92	o98y	
j25g	69.73	-29.89	83.06	88.28	110	y34l	
j50g	57.03	-48.31	63.49	79.78	127	y69l	
j75g	47.73	-60.33	42.64	73.88	145	i03c	
g00b	50.59	-49.08	15.74	51.54	162	l23c	
g25b	52.97	-39.7	-6.72	40.27	190	i55c	
g50b	54.85	-32.33	-24.35	40.48	217	i87c	
g75b	49.92	-17.29	-36.02	39.96	244	c20v	
b00r	40.91	1.28	-42.35	42.37	272	c53v	
b25r	26.81	30.38	-52.26	60.45	300	c87v	
b50r	32.52	69.06	-42.14	80.9	329	v68m	
b75r	39.48	71.47	-3.69	71.57	357	m34o	



Ein und Ausgabe: Farbmatisches Drucker-Reflektiv-System FRS12_95a, $L^*=12_95$ für relativen CIELAB-Bunton $h^* = lab^*h^* = h_{ab}/360 = 0.992$ $u^*_e = b75r$

Daten für jede Farbe:

lab^*ch^* und lab^*icu^*

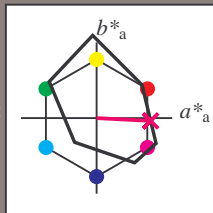
Buntontexte:

$u^*_e = b75r$ $u^*_d = m34o$

Kontrastreduzierungsfaktor:

$c_R = 1.0$

Dreiecks-Helligkeit t^*



FRS12_95; CIELAB-Daten

	u^*_e	$L^*=L^*$	a^*	b^*	C^*_{ab}	h^*_{ab}
O _M	38.06	60.53	36.66	70.77	31	
Y _M	86.77	-4.5	100.15	100.25	93	
L _M	47.13	-62.11	40.56	74.18	147	
C _M	55.66	-28.56	-39.99	49.14	234	
V _M	17.15	50.78	-65.6	82.96	308	
M _M	40.37	79.18	-40.93	89.13	333	
N _M	11.58	0.46	-6.35	6.37	274	
W _M	95.02	0.69	-9.48	9.51	274	
R _M	39.92	58.74	27.99	65.07	25	
J _M	81.26	-2.89	71.56	71.62	92	
G _M	52.23	-42.42	13.6	44.55	162	
B _M	30.57	1.41	-46.47	46.49	272	

Daten für Maximalfarbe (Ma):

$LAB^*LAB^*_Ma: 39\ 71\ -4$

$LAB^*LCH^*_Ma: 39\ 72\ 357$

$lab^*rgb^*_Ma: 1.0\ 0.0\ 0.5$

$lab^*olv^*_Ma: 1.0\ 0.0\ 0.66$

Dreiecks-Helligkeit t^*

FRS12_95a; adaptierte CIELAB-Daten

	u^*_e	$L^*=L^*_a$	a^*_a	b^*_a	$C^*_{ab,a}$	$h^*_{ab,a}$	u^*_d
r00j	38.47	63.32	30.17	70.15	25	m81o	
r25j	42.12	54.56	49.45	73.64	42	o10y	
r50j	53.64	39.15	64.89	75.79	59	o40y	
r75j	67.01	21.26	82.83	85.52	76	o69y	
j00g	86.18	-4.38	108.53	108.62	92	o98y	
j25g	69.73	-29.89	83.06	88.28	110	y34l	
j50g	57.03	-48.31	63.49	79.78	127	y69l	
j75g	47.73	-60.33	42.64	73.88	145	i03c	
g00b	50.59	-49.08	15.74	51.54	162	i23c	
g25b	52.97	-39.7	-6.72	40.27	190	i55c	
g50b	54.85	-32.33	-24.35	40.48	217	i87c	
g75b	49.92	-17.29	-36.02	39.96	244	c20v	
b00r	40.91	1.28	-42.35	42.37	272	c53v	
b25r	26.81	30.38	-52.26	60.45	300	c87v	
b50r	32.52	69.06	-42.14	80.9	329	v68m	
b75r	39.48	71.47	-3.69	71.57	357	m34o	

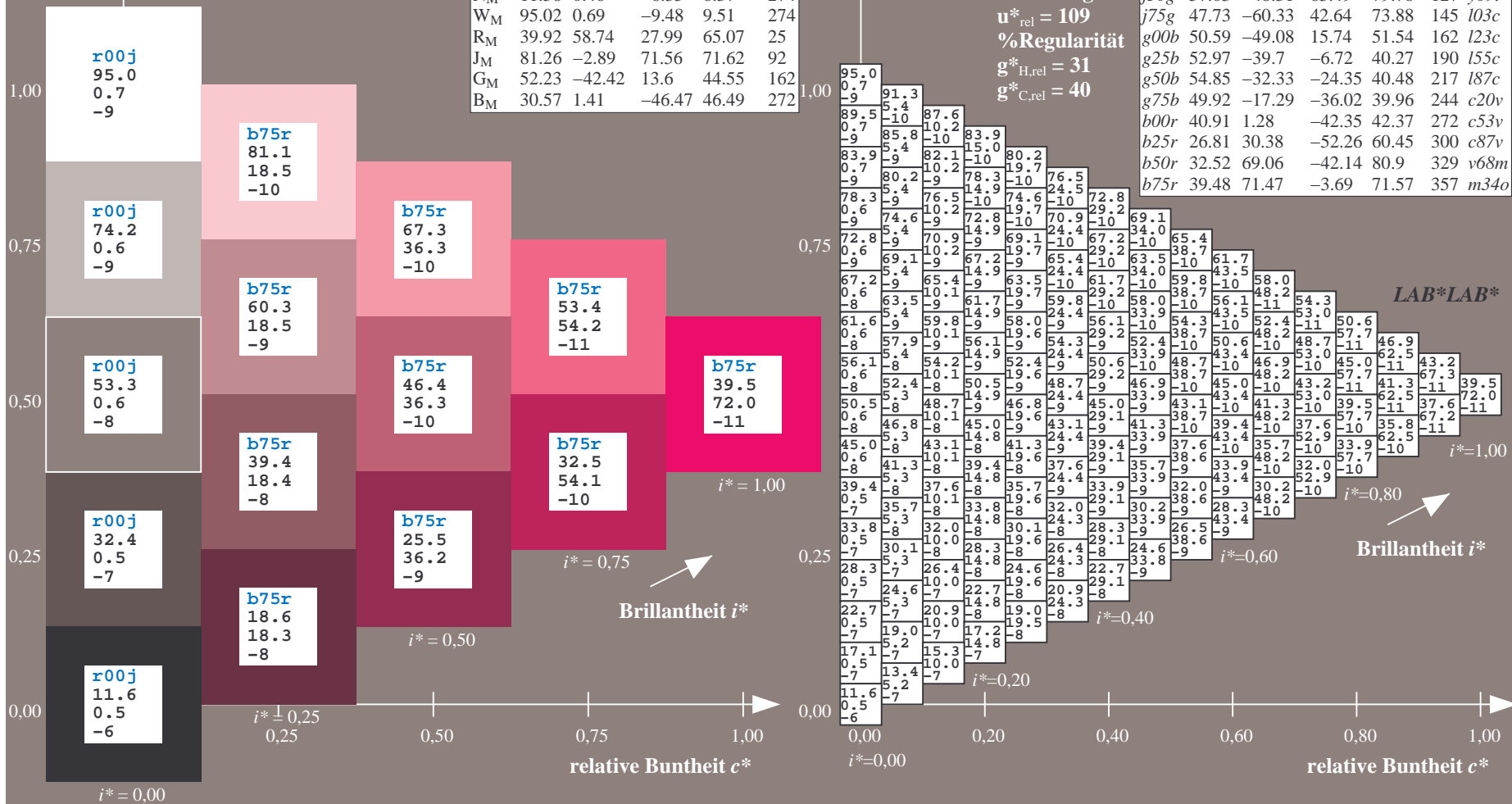


Fig640-7A, Seite 161/198

	A	B	C	D	E	F	G	H	I	J	K	L	M	N	O	P	Q	R	S	T	U	V	W	X	Y	Z	a	b	c	d	e	f	g	h	i	j	k	LAB*LAB*																																																																																																																																																																																																																																																																																																																																																																																																																																																																																																																																																																																																																																																																																																																																																																																																																																																																																																																																																																																																																																																																																																																																																																																																																																																						
01	11.6	16.0	20.5	24.9	29.4	33.8	38.2	42.7	47.1	44.9	21.0	24.6	29.0	33.4	37.8	42.3	46.7	51.2	18.2	23.1	30.4	33.5	37.7	42.0	46.4	50.8	55.2	95.0	87.9	80.8	73.7	66.5	59.4	52.3	45.2	38.1	11.6	11.6	11.6	11.6																																																																																																																																																																																																																																																																																																																																																																																																																																																																																																																																																																																																																																																																																																																																																																																																																																																																																																																																																																																																																																																																																																																																																																																																																																																				
02	12.3	17.1	21.8	26.5	31.2	35.7	40.3	44.8	49.3	10.3	22.0	26.5	30.9	35.3	39.8	44.2	48.7	53.1	17.6	8.0	-0.1	-9.1	-17.1	-24.9	-32.7	-40.6	-48.4	-56.3	-64.2	-72.1	-80.0	-87.9	-95.8	-103.7	-111.6	-119.5	-127.4	-135.3	-143.2	-151.1	-159.0																																																																																																																																																																																																																																																																																																																																																																																																																																																																																																																																																																																																																																																																																																																																																																																																																																																																																																																																																																																																																																																																																																																																																																																																																																																			
03	13.0	19.2	22.6	27.4	32.1	36.8	41.5	46.1	50.8	15.7	22.7	27.5	32.3	37.0	41.6	46.2	50.7	55.3	18.8	25.6	32.4	36.9	41.3	45.8	50.2	54.7	59.1	85.2	79.7	74.2	67.0	59.9	52.8	45.7	38.6	31.4	32.4	32.4	32.4	32.4	32.4	32.4	32.4																																																																																																																																																																																																																																																																																																																																																																																																																																																																																																																																																																																																																																																																																																																																																																																																																																																																																																																																																																																																																																																																																																																																																																																																																																																	
04	-12.7	-15	-12	-9	-6	-2	2	6	-18	-14	-11	-8	-5	0	4	9	14	-15	-11	-7	-1	5	10	16	22	28	34	40	46	52	58	64	70	76	82	88	94	100	106	112	118	124	130	136	142	148	154	160	166	172	178	184	190	196	202	208	214	220	226	232	238	244	250	256	262	268	274	280	286	292	298	304	310	316	322	328	334	340	346	352	358	364	370	376	382	388	394	400	406	412	418	424	430	436	442	448	454	460	466	472	478	484	490	496	502	508	514	520	526	532	538	544	550	556	562	568	574	580	586	592	598	604	610	616	622	628	634	640	646	652	658	664	670	676	682	688	694	700	706	712	718	724	730	736	742	748	754	760	766	772	778	784	790	796	802	808	814	820	826	832	838	844	850	856	862	868	874	880	886	892	898	904	910	916	922	928	934	940	946	952	958	964	970	976	982	988	994	1000	1006	1012	1018	1024	1030	1036	1042	1048	1054	1060	1066	1072	1078	1084	1090	1096	1102	1108	1114	1120	1126	1132	1138	1144	1150	1156	1162	1168	1174	1180	1186	1192	1198	1204	1210	1216	1222	1228	1234	1240	1246	1252	1258	1264	1270	1276	1282	1288	1294	1300	1306	1312	1318	1324	1330	1336	1342	1348	1354	1360	1366	1372	1378	1384	1390	1396	1402	1408	1414	1420	1426	1432	1438	1444	1450	1456	1462	1468	1474	1480	1486	1492	1498	1504	1510	1516	1522	1528	1534	1540	1546	1552	1558	1564	1570	1576	1582	1588	1594	1600	1606	1612	1618	1624	1630	1636	1642	1648	1654	1660	1666	1672	1678	1684	1690	1696	1702	1708	1714	1720	1726	1732	1738	1744	1750	1756	1762	1768	1774	1780	1786	1792	1798	1804	1810	1816	1822	1828	1834	1840	1846	1852	1858	1864	1870	1876	1882	1888	1894	1900	1906	1912	1918	1924	1930	1936	1942	1948	1954	1960	1966	1972	1978	1984	1990	1996	2002	2008	2014	2020	2026	2032	2038	2044	2050	2056	2062	2068	2074	2080	2086	2092	2098	2104	2110	2116	2122	2128	2134	2140	2146	2152	2158	2164	2170	2176	2182	2188	2194	2200	2206	2212	2218	2224	2230	2236	2242	2248	2254	2260	2266	2272	2278	2284	2290	2296	2302	2308	2314	2320	2326	2332	2338	2344	2350	2356	2362	2368	2374	2380	2386	2392	2398	2404	2410	2416	2422	2428	2434	2440	2446	2452	2458	2464	2470	2476	2482	2488	2494	2500	2506	2512	2518	2524	2530	2536	2542	2548	2554	2560	2566	2572	2578	2584	2590	2596	2602	2608	2614	2620	2626	2632	2638	2644	2650	2656	2662	2668	2674	2680	2686	2692	2698	2704	2710	2716	2722	2728	2734	2740	2746	2752	2758	2764	2770	2776	2782	2788	2794	2800	2806	2812	2818	2824	2830	2836	2842	2848	2854	2860	2866	2872	2878	2884	2890	2896	2902	2908	2914	2920	2926	2932	2938	2944	2950	2956	2962	2968	2974	2980	2986	2992	2998	3004	3010	3016	3022	3028	3034	3040	3046	3052	3058	3064	3070	3076	3082	3088	3094	3100	3106	3112	3118	3124	3130	3136	3142	3148	3154	3160	3166	3172	3178	3184	3190	3196	3202	3208	3214	3220	3226	3232	3238	3244	3250	3256	3262	3268	3274	3280	3286	3292	3298	3304	3310	3316	3322	3328	3334	3340	3346	3352	3358	3364	3370	3376	3382	3388	3394	3400	3406	3412	3418	3424	3430	3436	3442	3448	3454	3460	3466	3472	3478	3484	3490	3496	3502	3508	3514	3520	3526	3532	3538	3544	3550	3556	3562	3568	3574	3580	3586	3592	3598	3604	3610	3616	3622	3628	3634	3640	3646	3652	3658	3664	3670	3676	3682	3688	3694	3700	3706	3712	3718	3724	3730	3736	3742	3748	3754	3760	3766	3772	3778	3784	3790	3796	3802	3808	3814	3820	3826	3832	3838	3844	3850	3856	3862	3868	3874	3880	3886	3892	3898	3904	3910	3916	3922	3928	3934	3940	3946	3952	3958	3964	3970	3976	3982	3988	3994	4000	4006	4012	4018	4024	4030	4036	4042	4048	4054	4060	4066	4072	4078	4084	4090	4096	4102	4108	4114	4120	4126	4132	4138	4144	4150	4156	4162	4168	4174	4180	4186	4192	4198	4204	4210	4216	4222	4228	4234	4240	4246	4252	4258	4264	4270	4276	4282	4288	4294	4300	4306	4312	4318	4324	4330	4336	4342	4348	4354	4360	4366	4372	4378	4384	4390	4396	4402	4408	4414	4420	4426	4432	4438	4444	4450	4456	4462	4468	4474	4480	4486	4492	4498	4504	4510	4516	4522	4528	4534	4540	4546	4552	4558	4564	4570	4576	4582	4588	4594	4600	4606	4612	4618	4624	4630	4636	4642	4648	4654	4660	4666	4672	4678	4684	4690	4696	4702	4708	4714	4720	4726	4732	4738	4744	4750	4756	4762	4768	4774	4780	4786	4792	4798	4804	4810	4816	4822	4828	4834	4840	4846	4852	4858	4864	4870	4876	4882	4888	4894	4900	4906	4912	4918	4924	4930	4936	4942	4948	4954	4960	4966	4972	4978	4984	4990	4996	5002	5008	5014	5020	5026	5032	5038	5044	5050	5056	5062	5068	5074	5080	5086	5092	5098	5104	5110	5116	5122	5128	5134	5140	5146	5152	5158	5164	5170	5176	5182	5188	5194	5200	5206	5212	5218	5224	5230	5236	5242	5248	5254	5260	5266	5272	5278	5284	5290	5296	5302	5308	5314	5320	5326	5332	5338	5344	5350	5356	5362	5368	5374	5380	5386	5392	5398	5404	5410	5416	5422	5428	5434	5440	5446	5452	5458	5464	5470	5476	5482	5488	5494	5500	5506	5512	5518	5524	5530	5536	5542	5548	5554	5560	5566	5572	5578	5584	5590	5596	5602	5608	5614	5620	5626	5632	5638	5644	5650	5656	5662	5668	5674	5680	5686	5692	5698	5704	5710	5716	5722	5728	5734	5740	5746	5752	5758	5764	5770	5776	5782	5788	5794	5800	5806	5812	5818	5824	5830	5836	5842	5848	5854	5860	5866	5872	5878	5884	5890	5896	5902	5908	5914	5920	5926	5932	5938	5944	5950	5956	5962	5968	5974	5980	5986	5992	5998	6004	6010	6016	6022	6028	6034	6040	6046	6052	6058	6064	6070	6076	6082	6088	6094	6100	6106	6112	6118	6124	6130	6136	6142	6148	6154	6160	6166	6172	6178	6184	6190	6196	6202	6208	6214	6220	6226	6232	6238	6244	6250	6256	6262	6268	6274	6280	6286	6292	6298	6304	6310	6316	6322	6328	6334	6340	6346	6352	6358	6364	6370	6376	6382	6388	6394	6400	6406	6412	6418	6424	6430	6436	6442	6448	6454	6460	6466	6472	6478	6484	6490	6496	6502	6508	6514	6520	6526	6532	6538	6544	6550	6556	6562	6568	6574	6580	6586	6592	6598	6604	6610	6616	6622	6628	6634	6640	6646	6652	6658	6664	6670	6676	6682	6688	6694	6700	6706	6712	6718	6724	6730	6736	6742	6748	6754	6760	6766	6772	6778	6784	6790	6796	6802	6808	6814	6820	6826	6832	6838	6844	6850	6856	6862	6868	6874	6880	6886	6892	6898	6904	6910	6916	6922	6928	6934	6940	6946	6952	6958	6964	6970	6976	6982	6988	6994	7000	7006	7012	7018	7024	7030	7036	7042	7048	7054	7060	7066	7072	7078	7084	7090	7096	7102	7108	7114	7120	7126	7132	7138	7144	7150	7156	7162	7168	7174	7180	7186	7192	7198	7204	7210	7216	7222	7228	7234	7240	7246	7252	7258	7264	7270	7276	7282	7288	7294	7300	7306	7312	7318	7324	7330	7336

Ein und Ausgabe:
 Farbmetrisches Drucker-Reflektiv-System FRS12_95a

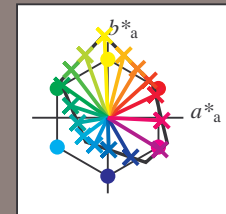
Daten für jede Farbe:
 u^*_e und Nummer $Nr. = 00 \dots 15$

Elementar-Bunttextext:
 $u^*_e = 16$ Bunttoene $r00j, r25j, \dots, b75r$

Kontrastreduzierungsfaktor:
 $c_R = 1.0$

FRS12_95a; adaptierte CIELAB-Daten

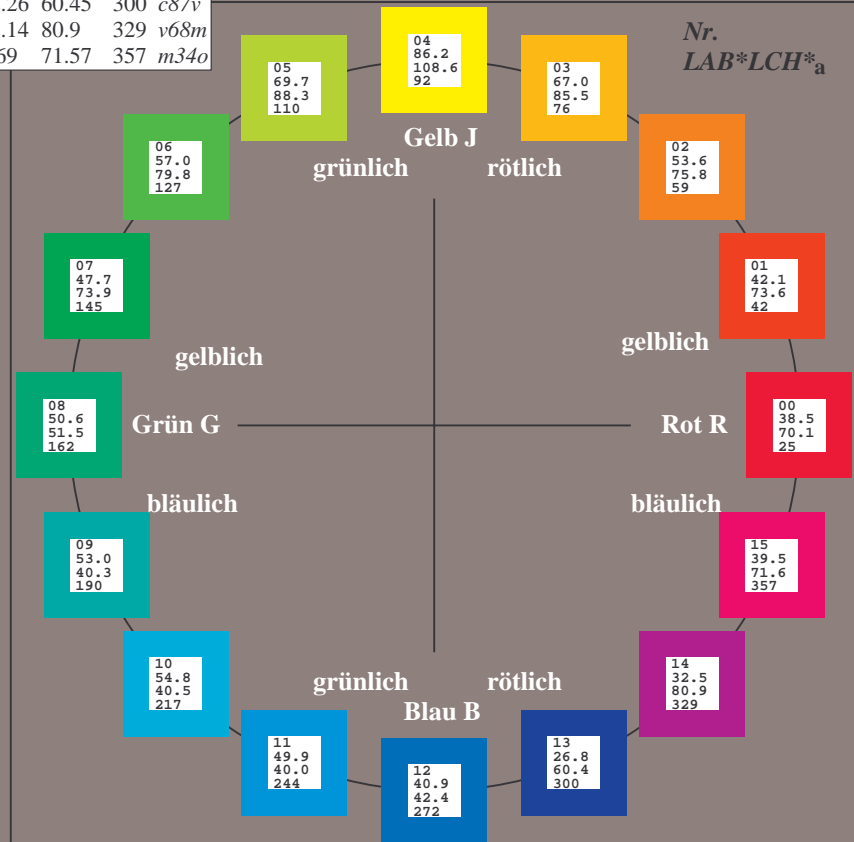
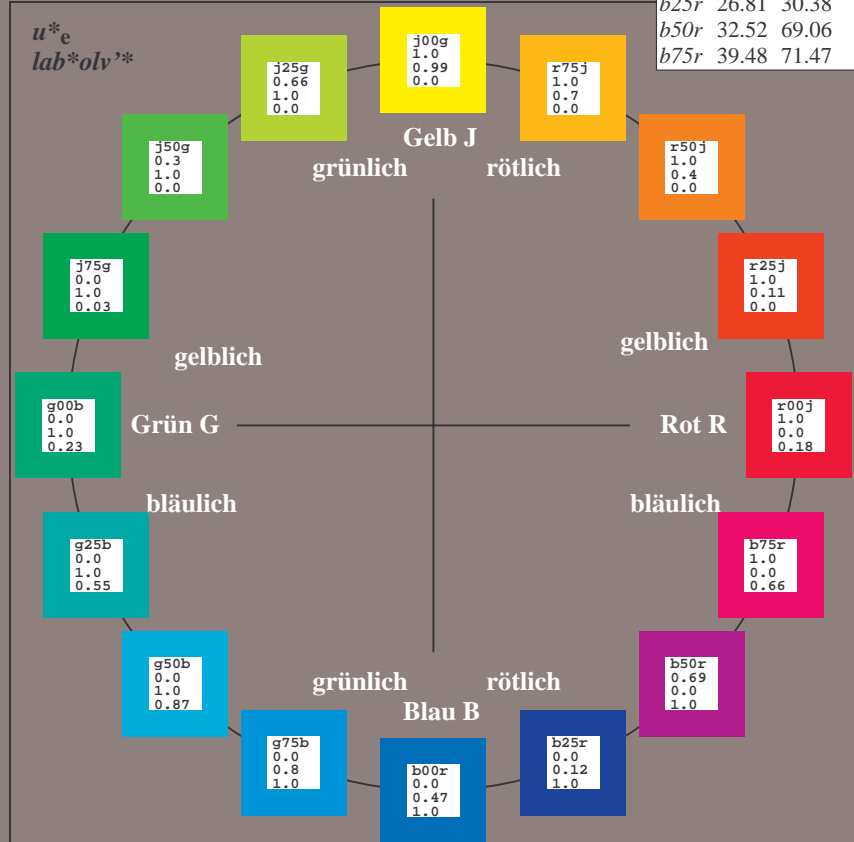
u^*_e	$L^*=L^*_a$	a^*_a	b^*_a	$C^*_{ab,a}$	$h^*_{ab,a}$	u^*_d
<i>r00j</i>	38.47	63.32	30.17	70.15	25	<i>m81o</i>
<i>r25j</i>	42.12	54.56	49.45	73.64	42	<i>o10y</i>
<i>r50j</i>	53.64	39.15	64.89	75.79	59	<i>o40y</i>
<i>r75j</i>	67.01	21.26	82.83	85.52	76	<i>o69y</i>
<i>j00g</i>	86.18	-4.38	108.53	108.62	92	<i>o98y</i>
<i>j25g</i>	69.73	-29.89	83.06	88.28	110	<i>y34l</i>
<i>j50g</i>	57.03	-48.31	63.49	79.78	127	<i>y69l</i>
<i>j75g</i>	47.73	-60.33	42.64	73.88	145	<i>l03c</i>
<i>g00b</i>	50.59	-49.08	15.74	51.54	162	<i>l23c</i>
<i>g25b</i>	52.97	-39.7	-6.72	40.27	190	<i>l55c</i>
<i>g50b</i>	54.85	-32.33	-24.35	40.48	217	<i>l87c</i>
<i>g75b</i>	49.92	-17.29	-36.02	39.96	244	<i>c20v</i>
<i>b00r</i>	40.91	1.28	-42.35	42.37	272	<i>c53v</i>
<i>b25r</i>	26.81	30.38	-52.26	60.45	300	<i>c87v</i>
<i>b50r</i>	32.52	69.06	-42.14	80.9	329	<i>v68m</i>
<i>b75r</i>	39.48	71.47	-3.69	71.57	357	<i>m34o</i>



%Umfang
 $u^*_{rel} = 109$
 %Regularität
 $g^*_{H,rel} = 31$
 $g^*_{C,rel} = 40$

FRS12_95a; CIELAB-Daten

Name	$L^*=L^*$	a^*	b^*	C^*_{ab}	h^*_{ab}
O _M	38.06	60.53	36.66	70.77	31
Y _M	86.77	-4.5	100.15	100.25	93
L _M	47.13	-62.11	40.56	74.18	147
C _M	55.66	-28.56	-39.99	49.14	234
V _M	17.15	50.78	-65.6	82.96	308
M _M	40.37	79.18	-40.93	89.13	333
N _M	11.58	0.46	-6.35	6.37	274
W _M	95.02	0.69	-9.48	9.51	274
R _{CIE}	39.92	58.74	27.99	65.07	25
J _{CIE}	81.26	-2.89	71.56	71.62	92
G _{CIE}	52.23	-42.42	13.6	44.55	162
B _{CIE}	30.57	1.41	-46.47	46.49	272



Ein und Ausgabe: Farbmatisches Drucker-Reflektiv-System FRS12_95a, $L^*=12_95$ für relativen CIELAB-Bunton $h^* = lab^*h^* = h_{ab}/360 = 0.071$ $u^*_e = r00j$
 lab^*olv^*

Daten für jede Farbe:

lab^*tch^* und lab^*icu^*

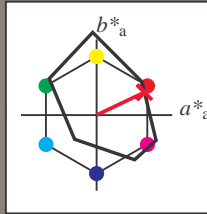
Buntontexte:

$u^*_e = r00j$ $u^*_d = m81o$

Kontrastreduzierungsfaktor:

$c_R = 1.0$

Dreiecks-Helligkeit t^*



FRS12_95a; CIELAB-Daten

	u^*_e	$L^*=L^*$	a^*	b^*	C^*_{ab}	h^*_{ab}
O _M	38.06	60.53	36.66	70.77	31	
Y _M	86.77	-4.5	100.15	100.25	93	
L _M	47.13	-62.11	40.56	74.18	147	
C _M	55.66	-28.56	-39.99	49.14	234	
V _M	17.15	50.78	-65.6	82.96	308	
M _M	40.37	79.18	-40.93	89.13	333	
N _M	11.58	0.46	-6.35	6.37	274	
W _M	95.02	0.69	-9.48	9.51	274	
R _M	39.92	58.74	27.99	65.07	25	
J _M	81.26	-2.89	71.56	71.62	92	
G _M	52.23	-42.42	13.6	44.55	162	
B _M	30.57	1.41	-46.47	46.49	272	

Daten für Maximalfarbe (Ma):

$LAB^*LAB^*_{Ma}$: 38 63 30

$LAB^*LCH^*_{Ma}$: 38 70 25

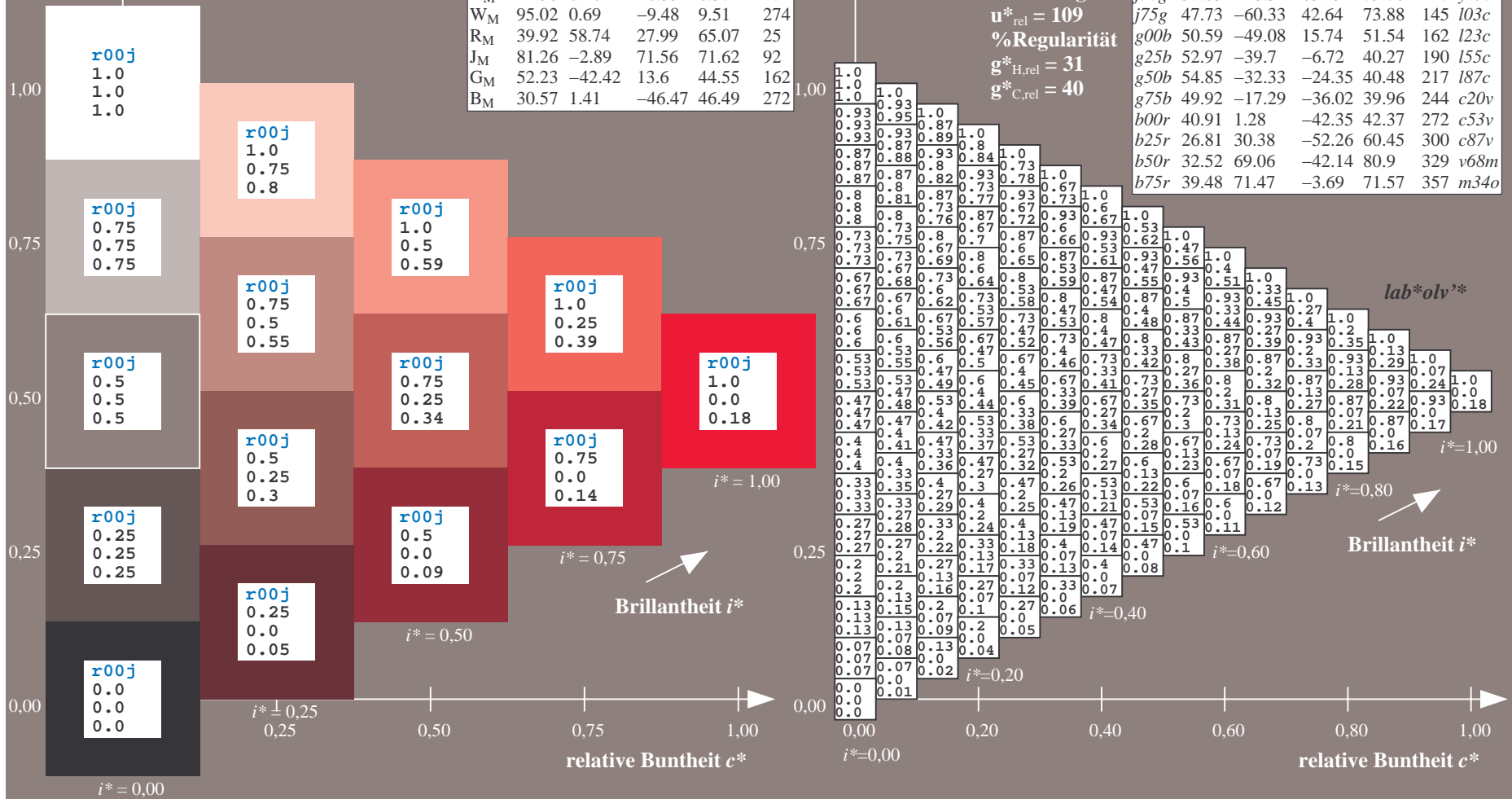
$lab^*rgb^*_{Ma}$: 1.0 0.0 0.0

$lab^*olv^*_{Ma}$: 1.0 0.0 0.18

Dreiecks-Helligkeit t^*

FRS12_95a; adaptierte CIELAB-Daten

	u^*_e	$L^*=L^*_a$	a^*_a	b^*_a	$C^*_{ab,a}$	$h^*_{ab,a}$	u^*_d
r00j	38.47	63.32	30.17	70.15	25	m81o	
r25j	42.12	54.56	49.45	73.64	42	o10y	
r50j	53.64	39.15	64.89	75.79	59	o40y	
r75j	67.01	21.26	82.83	85.52	76	o69y	
j00g	86.18	-4.38	108.53	108.62	92	o98y	
j25g	69.73	-29.89	83.06	88.28	110	y34l	
j50g	57.03	-48.31	63.49	79.78	127	y69l	
j75g	47.73	-60.33	42.64	73.88	145	103c	
g00b	50.59	-49.08	15.74	51.54	162	i23c	
g25b	52.97	-39.7	-6.72	40.27	190	i55c	
g50b	54.85	-32.33	-24.35	40.48	217	i87c	
g75b	49.92	-17.29	-36.02	39.96	244	c20v	
b00r	40.91	1.28	-42.35	42.37	272	c53v	
b25r	26.81	30.38	-52.26	60.45	300	c87v	
b50r	32.52	69.06	-42.14	80.9	329	v68m	
b75r	39.48	71.47	-3.69	71.57	357	m34o	



Ein und Ausgabe: Farbmatisches Drucker-Reflektiv-System FRS12_95a, $L^*=12_95$ für relativen CIELAB-Bunton $h^* = lab^*h^* = h_{ab}/360 = 0.117$ $u^*_e = r25j$
 lab^*olv^*

Daten für jede Farbe:

lab^*tch^* und lab^*icu^*

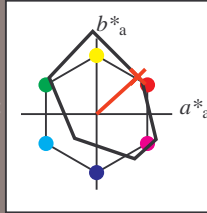
Buntontexte:

$u^*_e = r25j$ $u^*_d = o10y$

Kontrastreduzierungsfaktor:

$c_R = 1.0$

Dreiecks-Helligkeit t^*



FRS12_95a; CIELAB-Daten						
u^*_e	$L^*=L^*$	a^*	b^*	C^*_{ab}	h^*_{ab}	
O _M	38.06	60.53	36.66	70.77	31	
Y _M	86.77	-4.5	100.15	100.25	93	
L _M	47.13	-62.11	40.56	74.18	147	
C _M	55.66	-28.56	-39.99	49.14	234	
V _M	17.15	50.78	-65.6	82.96	308	
M _M	40.37	79.18	-40.93	89.13	333	
N _M	11.58	0.46	-6.35	6.37	274	
W _M	95.02	0.69	-9.48	9.51	274	
R _M	39.92	58.74	27.99	65.07	25	
J _M	81.26	-2.89	71.56	71.62	92	
G _M	52.23	-42.42	13.6	44.55	162	
B _M	30.57	1.41	-46.47	46.49	272	

Daten für Maximalfarbe (Ma):

$LAB^*LAB^*_{Ma}$: 42 55 49

$LAB^*LCH^*_{Ma}$: 42 74 42

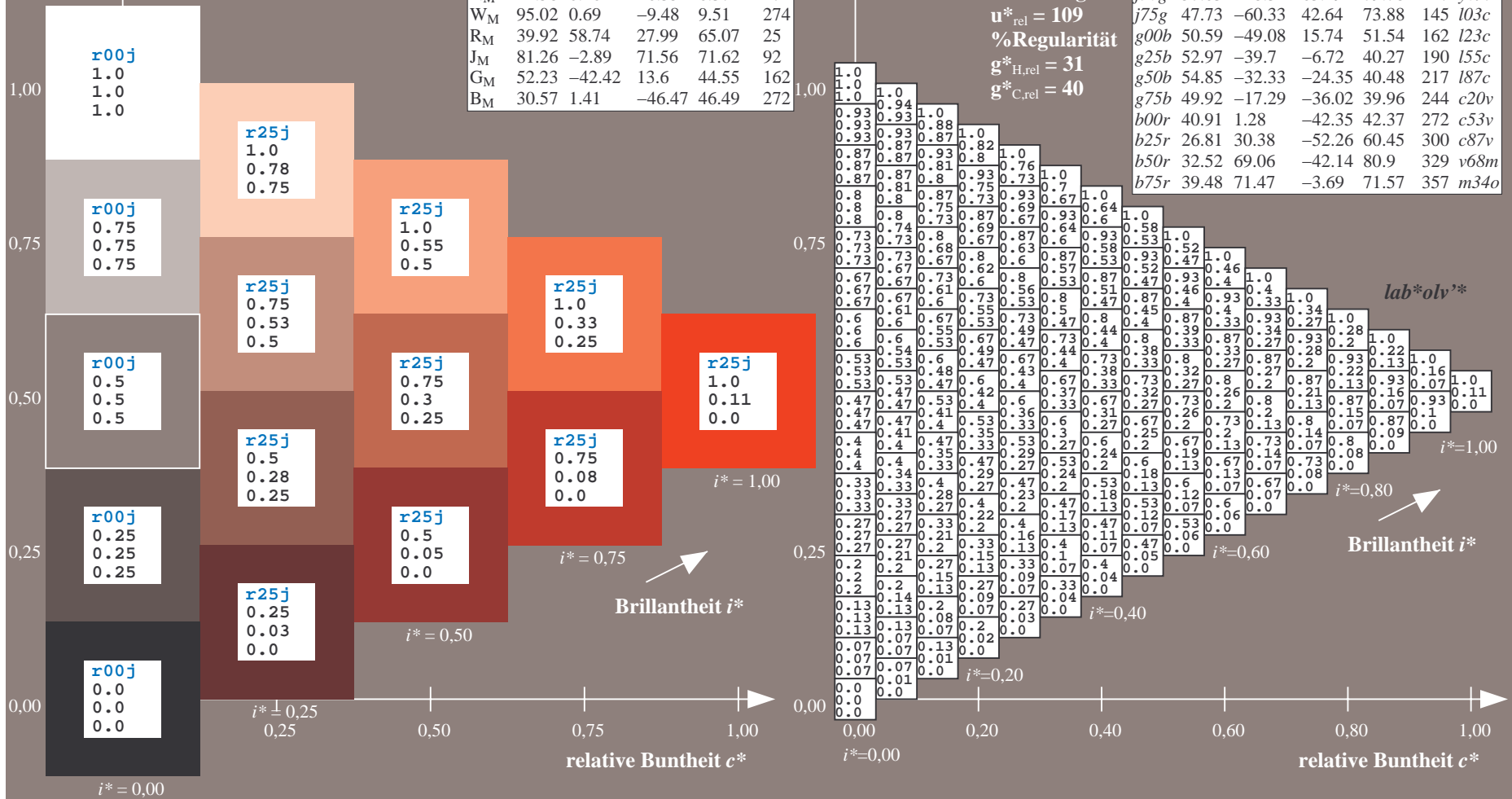
$lab^*rgb^*_{Ma}$: 1.0 0.25 0.0

$lab^*olv^*_{Ma}$: 1.0 0.11 0.0

Dreiecks-Helligkeit t^*

FRS12_95a; adaptierte CIELAB-Daten

u^*_e	$L^*=L^*_a$	a^*_a	b^*_a	$C^*_{ab,a}$	$h^*_{ab,a}$	u^*_d
r00j	38.47	63.32	30.17	70.15	25	m81o
r25j	42.12	54.56	49.45	73.64	42	o10y
r50j	53.64	39.15	64.89	75.79	59	o40y
r75j	67.01	21.26	82.83	85.52	76	o69y
j00g	86.18	-4.38	108.53	108.62	92	o98y
j25g	69.73	-29.89	83.06	88.28	110	y34l
j50g	57.03	-48.31	63.49	79.78	127	y69l
j75g	47.73	-60.33	42.64	73.88	145	103c
g00b	50.59	-49.08	15.74	51.54	162	i23c
g25b	52.97	-39.7	-6.72	40.27	190	i55c
g50b	54.85	-32.33	-24.35	40.48	217	i87c
g75b	49.92	-17.29	-36.02	39.96	244	c20v
b00r	40.91	1.28	-42.35	42.37	272	c53v
b25r	26.81	30.38	-52.26	60.45	300	c87v
b50r	32.52	69.06	-42.14	80.9	329	v68m
b75r	39.48	71.47	-3.69	71.57	357	m34o



Ein und Ausgabe: Farbmatisches Drucker-Reflektiv-System FRS12_95a, $L^*=12_95$ für relativen CIELAB-Bunton $h^* = lab^*h^* = h_{ab}/360 = 0.164$ $u^*_e = r50j$
 lab^*olv^*

Daten für jede Farbe:

lab^*tch^* und lab^*icu^*

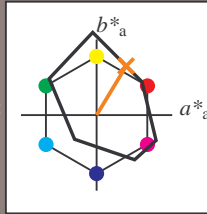
Buntontexte:

$u^*_e = r50j$ $u^*_d = o40y$

Kontrastreduzierungsfaktor:

$c_R = 1.0$

Dreiecks-Helligkeit t^*



FRS12_95a; CIELAB-Daten

	u^*_e	$L^*=L^*$	a^*	b^*	C^*_{ab}	h^*_{ab}
O _M	38.06	60.53	36.66	70.77	31	
Y _M	86.77	-4.5	100.15	100.25	93	
L _M	47.13	-62.11	40.56	74.18	147	
C _M	55.66	-28.56	-39.99	49.14	234	
V _M	17.15	50.78	-65.6	82.96	308	
M _M	40.37	79.18	-40.93	89.13	333	
N _M	11.58	0.46	-6.35	6.37	274	
W _M	95.02	0.69	-9.48	9.51	274	
R _M	39.92	58.74	27.99	65.07	25	
J _M	81.26	-2.89	71.56	71.62	92	
G _M	52.23	-42.42	13.6	44.55	162	
B _M	30.57	1.41	-46.47	46.49	272	

Daten für Maximalfarbe (Ma):

$LAB^*LAB^*_{Ma}$: 54 39 65

$LAB^*LCH^*_{Ma}$: 54 76 58

$lab^*rgb^*_{Ma}$: 1.0 0.5 0.0

$lab^*olv^*_{Ma}$: 1.0 0.4 0.0

Dreiecks-Helligkeit t^*

%Umfang

$u^*_{rel} = 109$

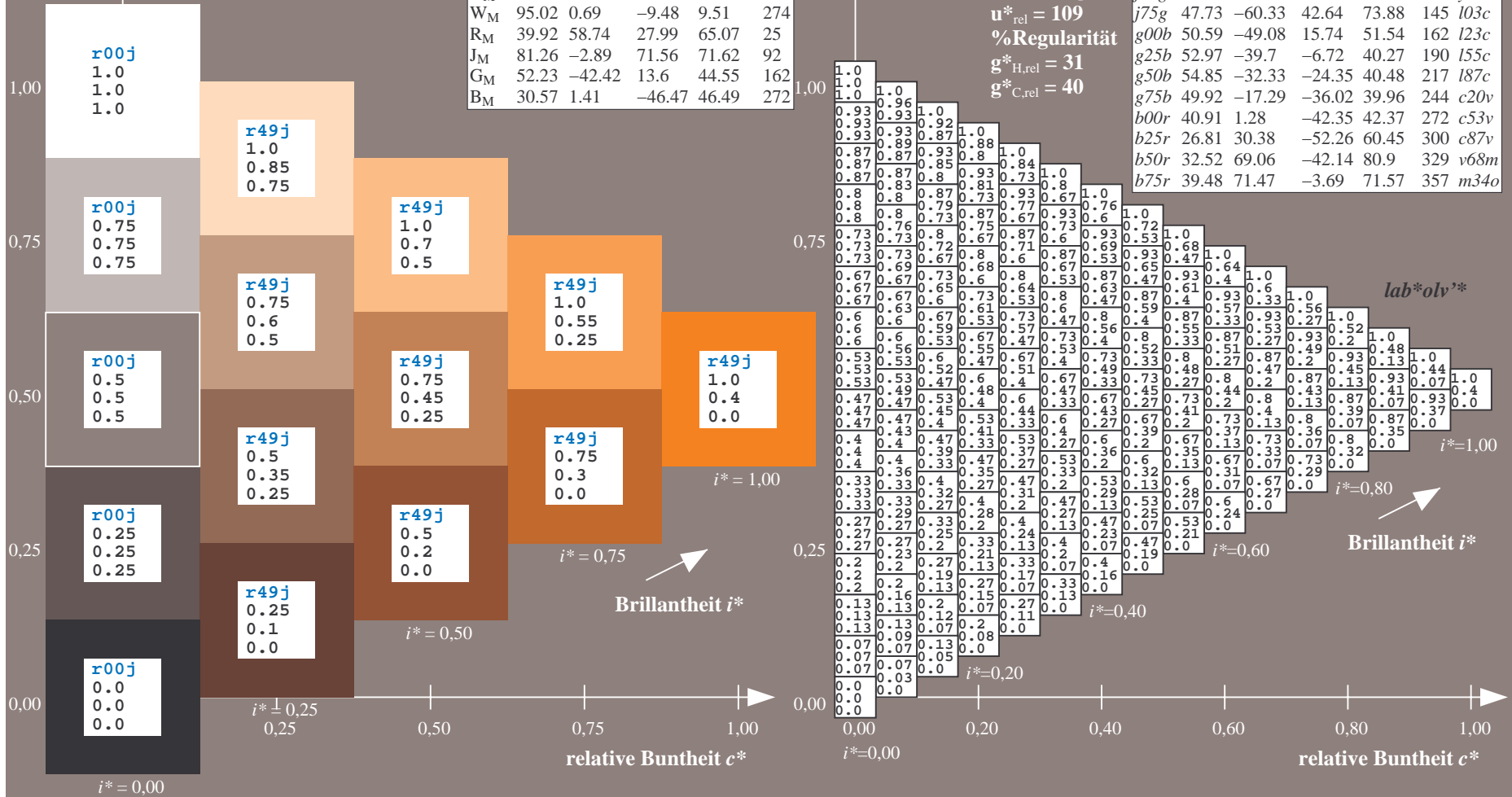
%Regularität

$g^*_{H,rel} = 31$

$g^*_{C,rel} = 40$

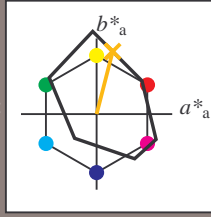
FRS12_95a; adaptierte CIELAB-Daten

	u^*_e	$L^*=L^*_a$	a^*_a	b^*_a	$C^*_{ab,a}$	$h^*_{ab,a}$	u^*_d
r00j	38.47	63.32	30.17	70.15	25	m81o	
r25j	42.12	54.56	49.45	73.64	42	o10y	
r50j	53.64	39.15	64.89	75.79	59	o40y	
r75j	67.01	21.26	82.83	85.52	76	o69y	
j00g	86.18	-4.38	108.53	108.62	92	o98y	
j25g	69.73	-29.89	83.06	88.28	110	y34l	
j50g	57.03	-48.31	63.49	79.78	127	y69l	
j75g	47.73	-60.33	42.64	73.88	145	123c	
g00b	50.59	-49.08	15.74	51.54	162	l03c	
g25b	52.97	-39.7	-6.72	40.27	190	l55c	
g50b	54.85	-32.33	-24.35	40.48	217	l87c	
g75b	49.92	-17.29	-36.02	39.96	244	c20v	
b00r	40.91	1.28	-42.35	42.37	272	c53v	
b25r	26.81	30.38	-52.26	60.45	300	c87v	
b50r	32.52	69.06	-42.14	80.9	329	v68m	
b75r	39.48	71.47	-3.69	71.57	357	m34o	



Ein und Ausgabe: Farbmimetrisches Drucker-Reflektiv-System FRS12_95a, $L^*=12_95$ für relativen CIELAB-Bunton $h^* = lab^*h^* = h_{ab}/360 = 0.21$ $u^*_e = r75j$
 Daten für jede Farbe: lab^*ch^* und lab^*icu^*

Buntontexte:
 $u^*_e = r75j$ $u^*_d = o69y$
 Kontrastreduzierungsfaktor:
 $c_R = 1.0$
 Dreiecks-Helligkeit t^*



FRS12_95a; CIELAB-Daten						
u^*_e	$L^*=L^*$	a^*	b^*	C^*_{ab}	h^*_{ab}	
O _M	38.06	60.53	36.66	70.77	31	
Y _M	86.77	-4.5	100.15	100.25	93	
L _M	47.13	-62.11	40.56	74.18	147	
C _M	55.66	-28.56	-39.99	49.14	234	
V _M	17.15	50.78	-65.6	82.96	308	
M _M	40.37	79.18	-40.93	89.13	333	
N _M	11.58	0.46	-6.35	6.37	274	
W _M	95.02	0.69	-9.48	9.51	274	
R _M	39.92	58.74	27.99	65.07	25	
J _M	81.26	-2.89	71.56	71.62	92	
G _M	52.23	-42.42	13.6	44.55	162	
B _M	30.57	1.41	-46.47	46.49	272	

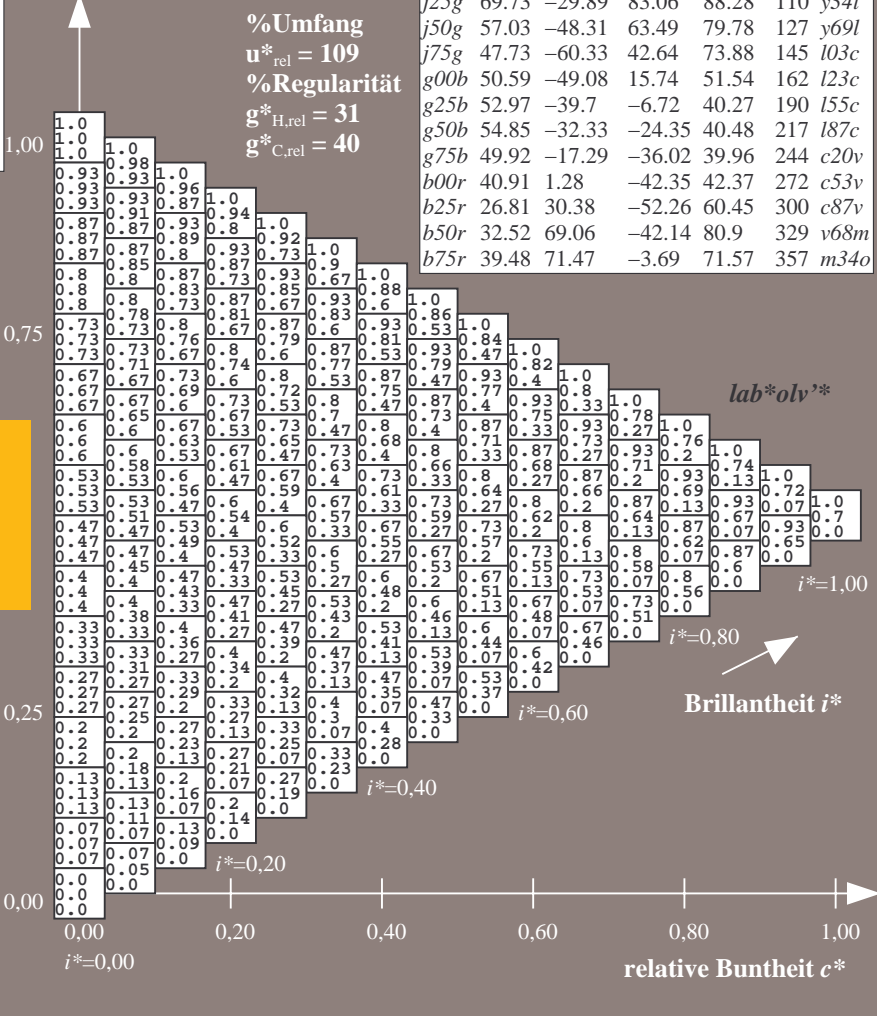
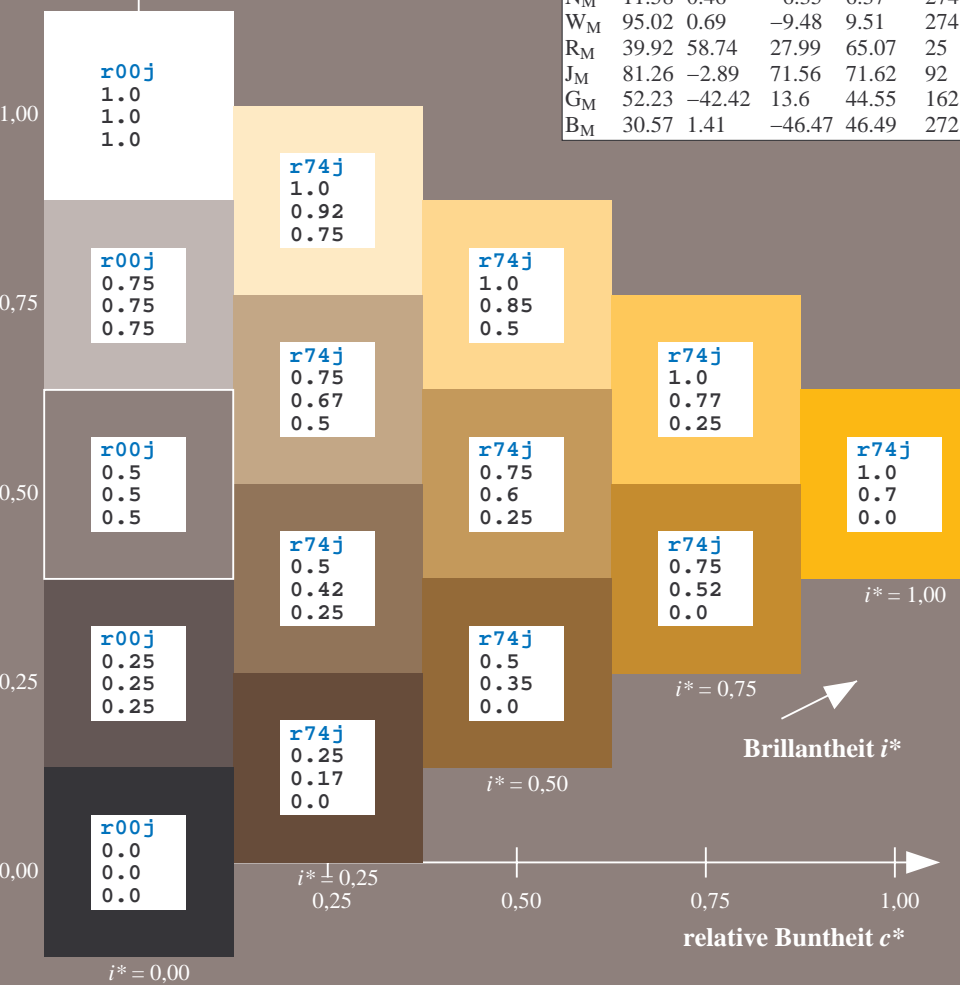
Daten für Maximalfarbe (Ma):

$LAB^*LAB^*_{Ma}$: 67 21 83
 $LAB^*LCH^*_{Ma}$: 67 86 75
 $lab^*rgb^*_{Ma}$: 1.0 0.75 0.0
 $lab^*olv^*_{Ma}$: 1.0 0.7 0.0

Dreiecks-Helligkeit t^*

FRS12_95a; adaptierte CIELAB-Daten

u^*_e	$L^*=L^*_a$	a^*_a	b^*_a	$C^*_{ab,a}$	$h^*_{ab,a}$	u^*_d
r00j	38.47	63.32	30.17	70.15	25	m81o
r25j	42.12	54.56	49.45	73.64	42	o10y
r50j	53.64	39.15	64.89	75.79	59	o40y
r75j	67.01	21.26	82.83	85.52	76	o69y
j00g	86.18	-4.38	108.53	108.62	92	o98y
j25g	69.73	-29.89	83.06	88.28	110	y34l
j50g	57.03	-48.31	63.49	79.78	127	y69l
j75g	47.73	-60.33	42.64	73.88	145	162 i03c
g00b	50.59	-49.08	15.74	51.54	162	i23c
g25b	52.97	-39.7	-6.72	40.27	190	i55c
g50b	54.85	-32.33	-24.35	40.48	217	i87c
g75b	49.92	-17.29	-36.02	39.96	244	c20v
b00r	40.91	1.28	-42.35	42.37	272	c53v
b25r	26.81	30.38	-52.26	60.45	300	c87v
b50r	32.52	69.06	-42.14	80.9	329	v68m
b75r	39.48	71.47	-3.69	71.57	357	m34o



Ein und Ausgabe: Farbmatisches Drucker-Reflektiv-System FRS12_95a, $L^*=12_95$ für relativen CIELAB-Bunton $h^* = lab^*h^* = h_{ab}/360 = 0.256$ $u^*_e = j00g$

Daten für jede Farbe:

lab^*tch^* und lab^*icu^*

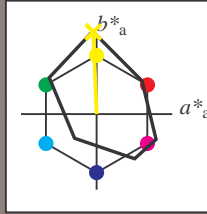
Buntontexte:

$u^*_e = j00g$ $u^*_d = o98y$

Kontrastreduzierungsfaktor:

$c_R = 1.0$

Dreiecks-Helligkeit t^*



FRS12_95a; CIELAB-Daten

	u^*_e	$L^*=L^*$	a^*	b^*	C^*_{ab}	h^*_{ab}
O _M	38.06	60.53	36.66	70.77	31	
Y _M	86.77	-4.5	100.15	100.25	93	
L _M	47.13	-62.11	40.56	74.18	147	
C _M	55.66	-28.56	-39.99	49.14	234	
V _M	17.15	50.78	-65.6	82.96	308	
M _M	40.37	79.18	-40.93	89.13	333	
N _M	11.58	0.46	-6.35	6.37	274	
W _M	95.02	0.69	-9.48	9.51	274	
R _M	39.92	58.74	27.99	65.07	25	
J _M	81.26	-2.89	71.56	71.62	92	
G _M	52.23	-42.42	13.6	44.55	162	
B _M	30.57	1.41	-46.47	46.49	272	

Daten für Maximalfarbe (Ma):

$LAB^*LAB^*_{Ma}$: 86 -4 109

$LAB^*LCH^*_{Ma}$: 86 109 92

$lab^*rgb^*_{Ma}$: 1.0 1.0 0.0

$lab^*olv^*_{Ma}$: 1.0 0.99 0.0

Dreiecks-Helligkeit t^*

%Umfang

$u^*_{rel} = 109$

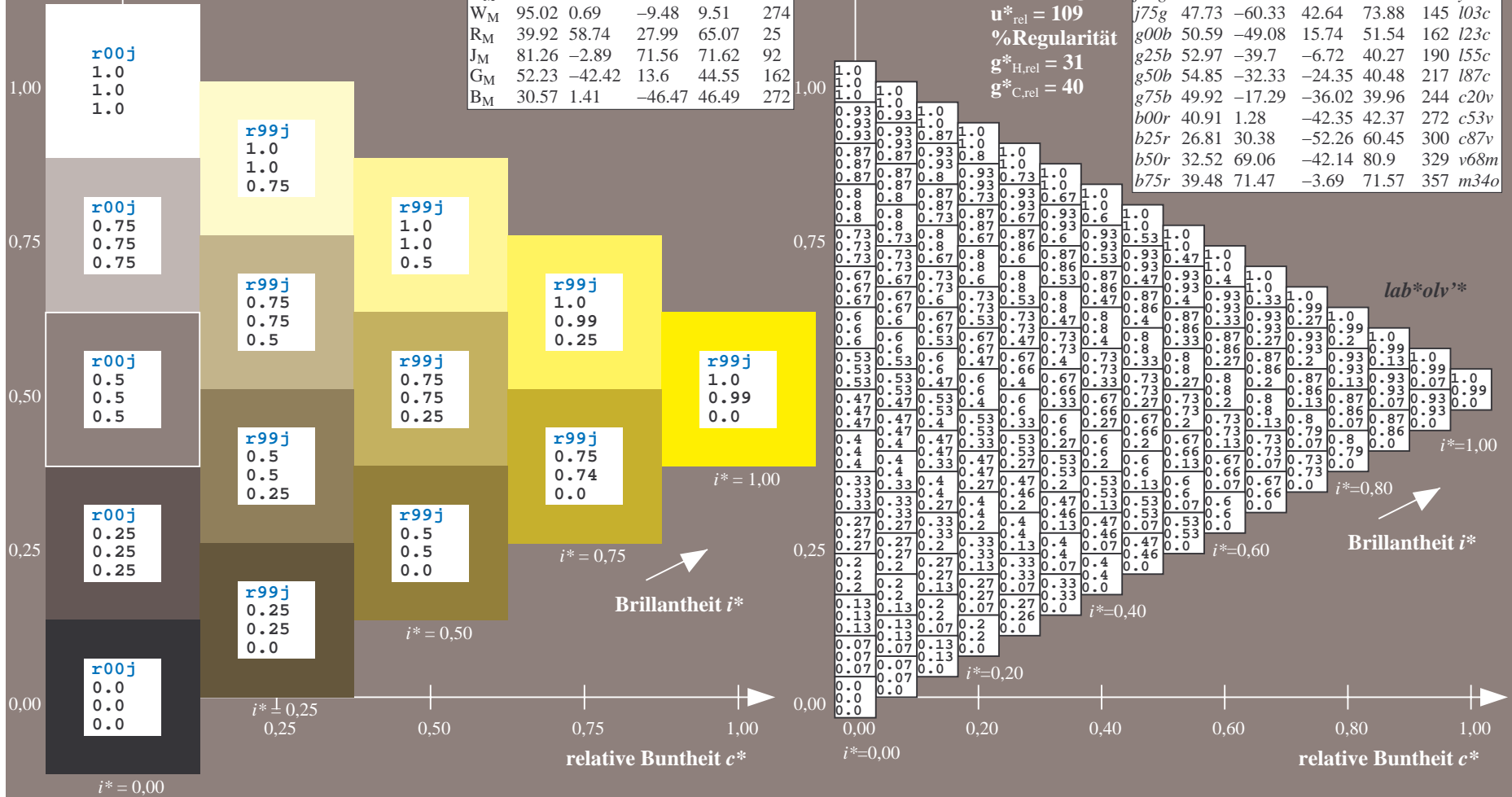
%Regularität

$g^*_{H,rel} = 31$

$g^*_{C,rel} = 40$

FRS12_95a; adaptierte CIELAB-Daten

	u^*_e	$L^*=L^*_a$	a^*_a	b^*_a	$C^*_{ab,a}$	$h^*_{ab,a}$	u^*_d
r00j	38.47	63.32	30.17	70.15	25	m81o	
r25j	42.12	54.56	49.45	73.64	42	o10y	
r50j	53.64	39.15	64.89	75.79	59	o40y	
r75j	67.01	21.26	82.83	85.52	76	o69y	
j00g	86.18	-4.38	108.53	108.62	92	o98y	
j25g	69.73	-29.89	83.06	88.28	110	y34l	
j50g	57.03	-48.31	63.49	79.78	127	y69l	
j75g	47.73	-60.33	42.64	73.88	145	l03c	
g00b	50.59	-49.08	15.74	51.54	162	i23c	
g25b	52.97	-39.7	-6.72	40.27	190	i55c	
g50b	54.85	-32.33	-24.35	40.48	217	i87c	
g75b	49.92	-17.29	-36.02	39.96	244	c20v	
b00r	40.91	1.28	-42.35	42.37	272	c53v	
b25r	26.81	30.38	-52.26	60.45	300	c87v	
b50r	32.52	69.06	-42.14	80.9	329	v68m	
b75r	39.48	71.47	-3.69	71.57	357	m34o	



Ein und Ausgabe: Farbmatisches Drucker-Reflektiv-System FRS12_95a, $L^*=12_95$ für relativen CIELAB-Bunton $h^* = lab^*h^* = h_{ab}/360 = 0.305$ $u^*_e = j25g$

Daten für jede Farbe:

lab^*ch^* und lab^*icu^*

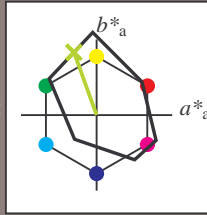
Buntontexte:

$u^*_e = j25g$ $u^*_d = y34l$

Kontrastreduzierungsfaktor:

$c_R = 1.0$

Dreiecks-Helligkeit t^*



FRS12_95a; CIELAB-Daten

	u^*_e	$L^*=L^*$	a^*	b^*	C^*_{ab}	h^*_{ab}
O_M	38.06	60.53	36.66	70.77	31	
Y_M	86.77	-4.5	100.15	100.25	93	
L_M	47.13	-62.11	40.56	74.18	147	
C_M	55.66	-28.56	-39.99	49.14	234	
V_M	17.15	50.78	-65.6	82.96	308	
M_M	40.37	79.18	-40.93	89.13	333	
N_M	11.58	0.46	-6.35	6.37	274	
W_M	95.02	0.69	-9.48	9.51	274	
R_M	39.92	58.74	27.99	65.07	25	
J_M	81.26	-2.89	71.56	71.62	92	
G_M	52.23	-42.42	13.6	44.55	162	
B_M	30.57	1.41	-46.47	46.49	272	

Daten für Maximalfarbe (Ma):

$LAB^*LAB^*_{Ma}: 70 -30 83$

$LAB^*LCH^*_{Ma}: 70 88 109$

$lab^*rgb^*_{Ma}: 0.75 1.0 0.0$

$lab^*olv^*_{Ma}: 0.66 1.0 0.0$

Dreiecks-Helligkeit t^*

%Umfang

$u^*_{rel} = 109$

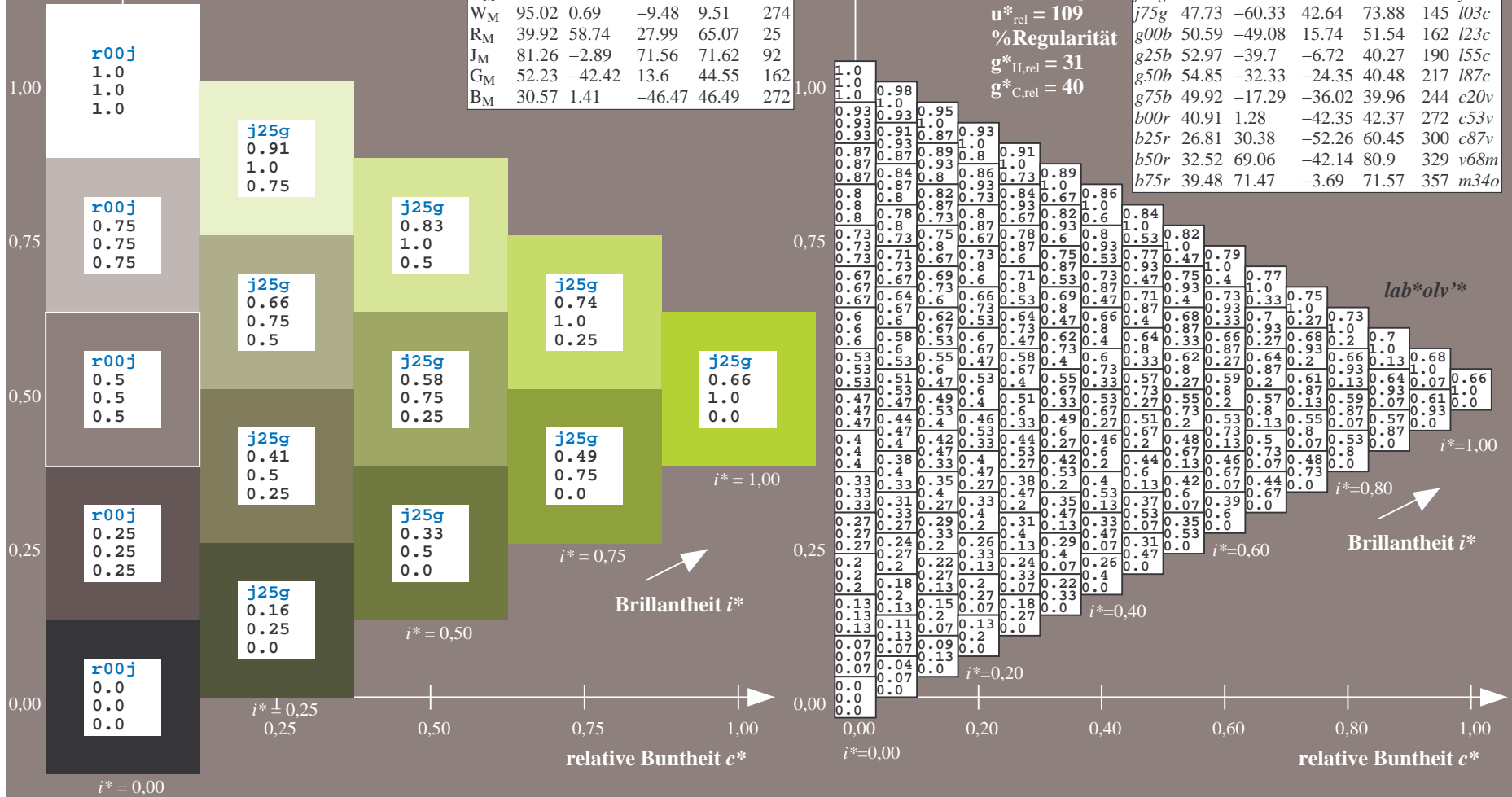
%Regularität

$g^*_{H,rel} = 31$

$g^*_{C,rel} = 40$

FRS12_95a; adaptierte CIELAB-Daten

	u^*_e	$L^*=L^*_a$	a^*_a	b^*_a	$C^*_{ab,a}$	$h^*_{ab,a}$	u^*_d
r00j	38.47	63.32	30.17	70.15	25	m81o	
r25j	42.12	54.56	49.45	73.64	42	o10y	
r50j	53.64	39.15	64.89	75.79	59	o40y	
r75j	67.01	21.26	82.83	85.52	76	o69y	
j00g	86.18	-4.38	108.53	108.62	92	o98y	
j25g	69.73	-29.89	83.06	88.28	110	y34l	
j50g	57.03	-48.31	63.49	79.78	127	y69l	
j75g	47.73	-60.33	42.64	73.88	145	i03c	
g00b	50.59	-49.08	15.74	51.54	162	l23c	
g25b	52.97	-39.7	-6.72	40.27	190	i55c	
g50b	54.85	-32.33	-24.35	40.48	217	i87c	
g75b	49.92	-17.29	-36.02	39.96	244	c20v	
b00r	40.91	1.28	-42.35	42.37	272	c53v	
b25r	26.81	30.38	-52.26	60.45	300	c87v	
b50r	32.52	69.06	-42.14	80.9	329	v68m	
b75r	39.48	71.47	-3.69	71.57	357	m34o	



Ein und Ausgabe: Farbmatisches Drucker-Reflektiv-System FRS12_95a, $L^*=12_95$ für relativen CIELAB-Bunton $h^* = lab^*h^* = h_{ab}/360 = 0.354$ $u^*_e = j50g$

Daten für jede Farbe:

lab^*tch^* und lab^*icu^*

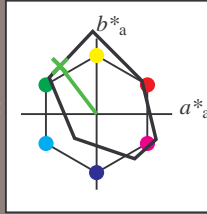
Buntontexte:

$u^*_e = j50g$ $u^*_d = y69l$

Kontrastreduzierungsfaktor:

$c_R = 1.0$

Dreiecks-Helligkeit t^*



FRS12_95a; CIELAB-Daten

u^*_e	$L^*=L^*$	a^*	b^*	C^*_{ab}	h^*_{ab}
O _M	38.06	60.53	36.66	70.77	31
Y _M	86.77	-4.5	100.15	100.25	93
L _M	47.13	-62.11	40.56	74.18	147
C _M	55.66	-28.56	-39.99	49.14	234
V _M	17.15	50.78	-65.6	82.96	308
M _M	40.37	79.18	-40.93	89.13	333
N _M	11.58	0.46	-6.35	6.37	274
W _M	95.02	0.69	-9.48	9.51	274
R _M	39.92	58.74	27.99	65.07	25
J _M	81.26	-2.89	71.56	71.62	92
G _M	52.23	-42.42	13.6	44.55	162
B _M	30.57	1.41	-46.47	46.49	272

Daten für Maximalfarbe (Ma):

$LAB^*LAB^*_{Ma}: 57 -48 63$

$LAB^*LCH^*_{Ma}: 57 80 127$

$lab^*rgb^*_{Ma}: 0.5 1.0 0.0$

$lab^*olv^*_{Ma}: 0.3 1.0 0.0$

Dreiecks-Helligkeit t^*

%Umfang

$u^*_{rel} = 109$

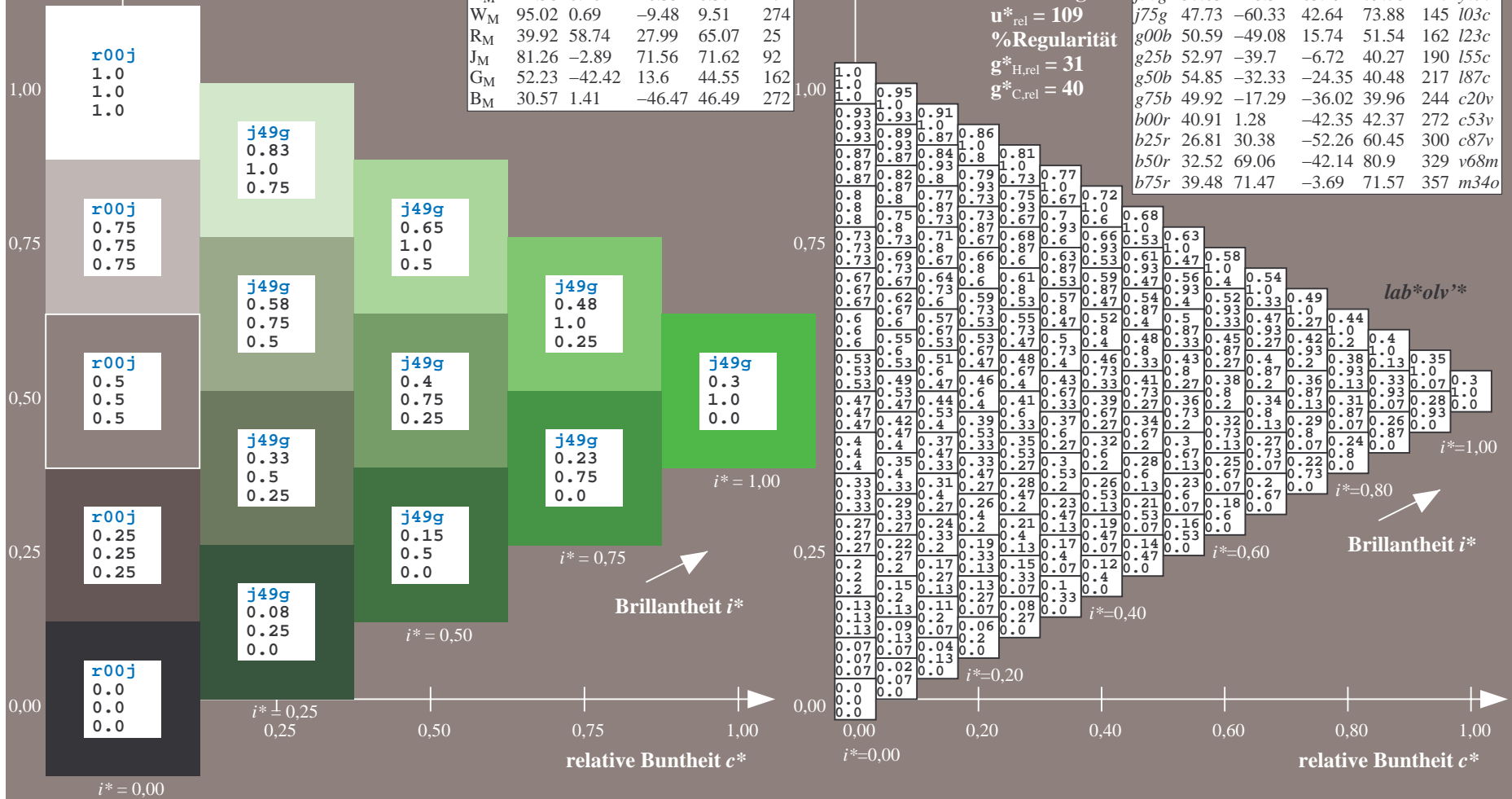
%Regularität

$g^*_{H,rel} = 31$

$g^*_{C,rel} = 40$

FRS12_95a; adaptierte CIELAB-Daten

u^*_e	$L^*=L^*_a$	a^*_a	b^*_a	$C^*_{ab,a}$	$h^*_{ab,a}$	u^*_d
r00j	38.47	63.32	30.17	70.15	25	m81o
r25j	42.12	54.56	49.45	73.64	42	o10y
r50j	53.64	39.15	64.89	75.79	59	o40y
r75j	67.01	21.26	82.83	85.52	76	o69y
j00g	86.18	-4.38	108.53	108.62	92	o98y
j25g	69.73	-29.89	83.06	88.28	110	y34l
j50g	57.03	-48.31	63.49	79.78	127	y69l
j75g	47.73	-60.33	42.64	73.88	145	162 i03c
g00b	50.59	-49.08	15.74	51.54	162	123c
g25b	52.97	-39.7	-6.72	40.27	190	155c
g50b	54.85	-32.33	-24.35	40.48	217	187c
g75b	49.92	-17.29	-36.02	39.96	244	c20v
b00r	40.91	1.28	-42.35	42.37	272	c53v
b25r	26.81	30.38	-52.26	60.45	300	c87v
b50r	32.52	69.06	-42.14	80.9	329	v68m
b75r	39.48	71.47	-3.69	71.57	357	m34o



Ein und Ausgabe: Farbmatisches Drucker-Reflektiv-System FRS12_95a, $L^*=12_95$ für relativen CIELAB-Bunton $h^* = lab^*h^* = h_{ab}/360 = 0.402$ $u^*_e = j75g$

Daten für jede Farbe:

lab^*tch^* und lab^*icu^*

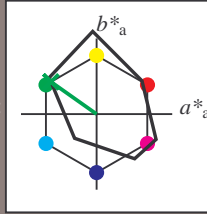
Buntontexte:

$u^*_e = j75g$ $u^*_d = l03c$

Kontrastreduzierungsfaktor:

$c_R = 1.0$

Dreiecks-Helligkeit t^*



FRS12_95a; CIELAB-Daten

u^*_e	$L^*=L^*_a$	a^*_a	b^*_a	C^*_{ab}	h^*_{ab}
O _M	38.06	60.53	36.66	70.77	31
Y _M	86.77	-4.5	100.15	100.25	93
L _M	47.13	-62.11	40.56	74.18	147
C _M	55.66	-28.56	-39.99	49.14	234
V _M	17.15	50.78	-65.6	82.96	308
M _M	40.37	79.18	-40.93	89.13	333
N _M	11.58	0.46	-6.35	6.37	274
W _M	95.02	0.69	-9.48	9.51	274
R _M	39.92	58.74	27.99	65.07	25
J _M	81.26	-2.89	71.56	71.62	92
G _M	52.23	-42.42	13.6	44.55	162
B _M	30.57	1.41	-46.47	46.49	272

Daten für Maximalfarbe (Ma):

$LAB^*LAB^*_Ma: 48 -60 43$

$LAB^*LCH^*_Ma: 48 74 144$

$lab^*rgb^*_Ma: 0.25 1.0 0.0$

$lab^*olv^*_Ma: 0.0 1.0 0.03$

Dreiecks-Helligkeit t^*

%Umfang

$u^*_{rel} = 109$

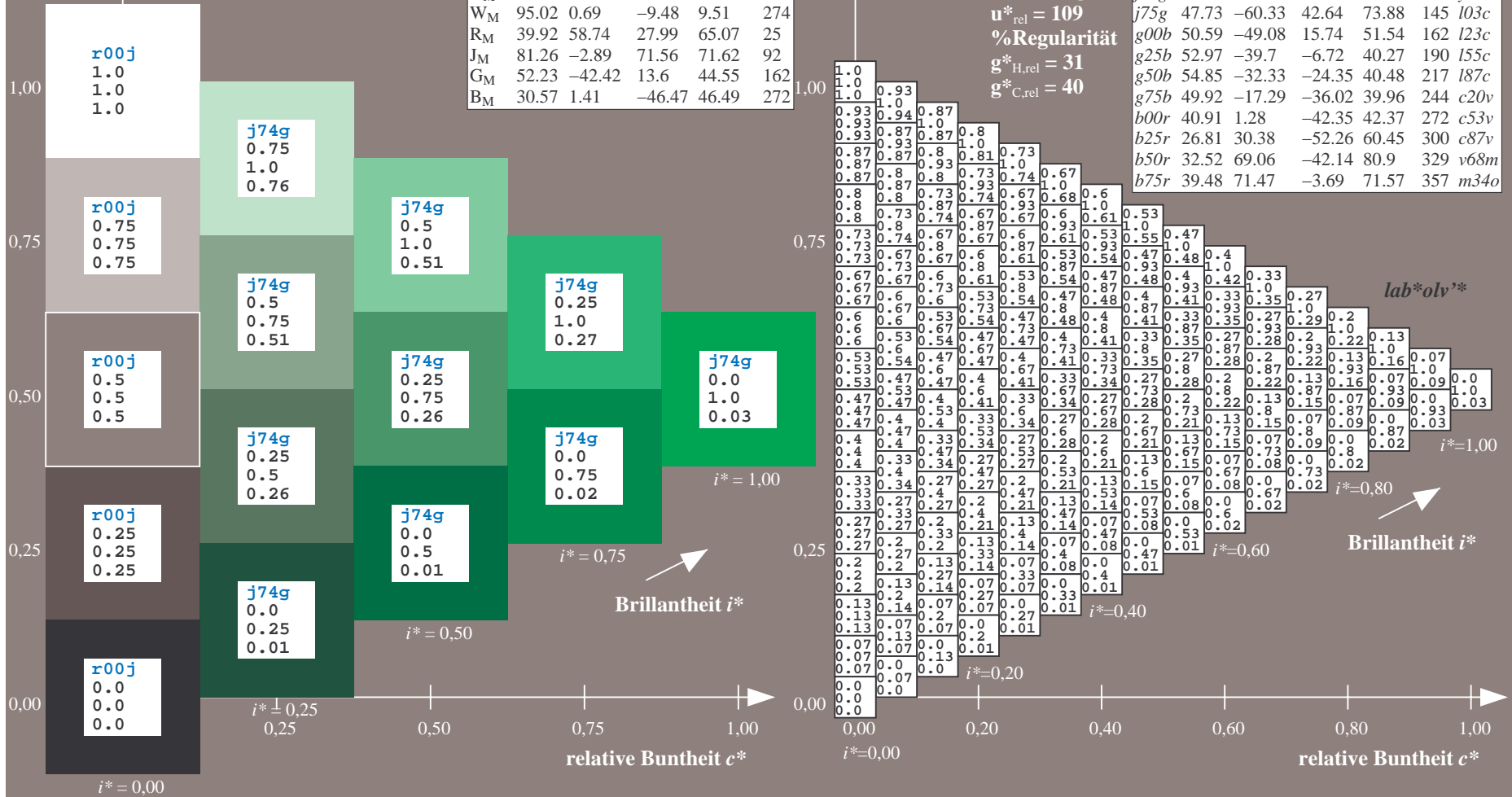
%Regularität

$g^*_{H,rel} = 31$

$g^*_{C,rel} = 40$

FRS12_95a; adaptierte CIELAB-Daten

u^*_e	$L^*=L^*_a$	a^*_a	b^*_a	$C^*_{ab,a}$	$h^*_{ab,a}$	u^*_d
r00j	38.47	63.32	30.17	70.15	25	m81o
r25j	42.12	54.56	49.45	73.64	42	o10y
r50j	53.64	39.15	64.89	75.79	59	o40y
r75j	67.01	21.26	82.83	85.52	76	o69y
j00g	86.18	-4.38	108.53	108.62	92	o98y
j25g	69.73	-29.89	83.06	88.28	110	y34l
j50g	57.03	-48.31	63.49	79.78	127	y69l
j75g	47.73	-60.33	42.64	73.88	145	i03c
g00b	50.59	-49.08	15.74	51.54	162	l23c
g25b	52.97	-39.7	-6.72	40.27	190	i55c
g50b	54.85	-32.33	-24.35	40.48	217	i87c
g75b	49.92	-17.29	-36.02	39.96	244	c20v
b00r	40.91	1.28	-42.35	42.37	272	c53v
b25r	26.81	30.38	-52.26	60.45	300	c87v
b50r	32.52	69.06	-42.14	80.9	329	v68m
b75r	39.48	71.47	-3.69	71.57	357	m34o



Ein und Ausgabe: Farbmatisches Drucker-Reflektiv-System FRS12_95a, $L^*=12_95$ für relativen CIELAB-Bunton $h^* = lab^*h^* = h_{ab}/360 = 0.451$ $u^*_e = g00b$

Daten für jede Farbe:

lab^*tch^* und lab^*icu^*

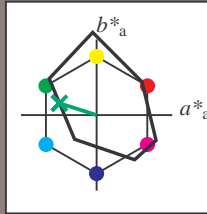
Buntontexte:

$u^*_e = g00b$ $u^*_d = l23c$

Kontrastreduzierungsfaktor:

$c_R = 1.0$

Dreiecks-Helligkeit t^*



FRS12_95a; CIELAB-Daten

u^*_e	$L^*=L^*$	a^*	b^*	C^*_{ab}	h^*_{ab}
O _M	38.06	60.53	36.66	70.77	31
Y _M	86.77	-4.5	100.15	100.25	93
L _M	47.13	-62.11	40.56	74.18	147
C _M	55.66	-28.56	-39.99	49.14	234
V _M	17.15	50.78	-65.6	82.96	308
M _M	40.37	79.18	-40.93	89.13	333
N _M	11.58	0.46	-6.35	6.37	274
W _M	95.02	0.69	-9.48	9.51	274
R _M	39.92	58.74	27.99	65.07	25
J _M	81.26	-2.89	71.56	71.62	92
G _M	52.23	-42.42	13.6	44.55	162
B _M	30.57	1.41	-46.47	46.49	272

Daten für Maximalfarbe (Ma):

$LAB^*LAB^*_{Ma}: 51 -49 16$

$LAB^*LCH^*_{Ma}: 51 52 162$

$lab^*rgb^*_{Ma}: 0.0 1.0 0.0$

$lab^*olv^*_{Ma}: 0.0 1.0 0.23$

Dreiecks-Helligkeit t^*

%Umfang

$u^*_{rel} = 109$

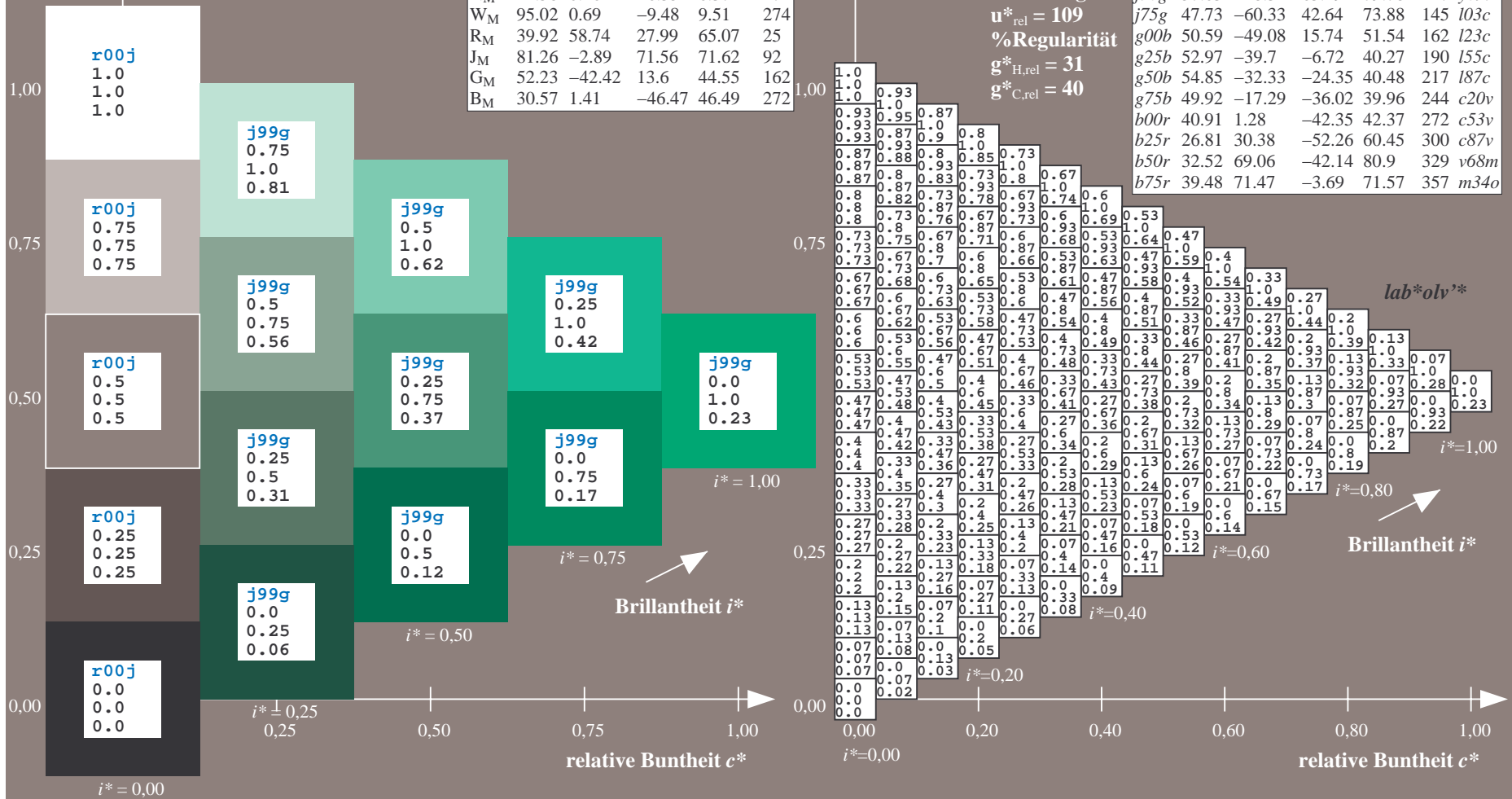
%Regularität

$g^*_{H,rel} = 31$

$g^*_{C,rel} = 40$

FRS12_95a; adaptierte CIELAB-Daten

u^*_e	$L^*=L^*_a$	a^*_a	b^*_a	$C^*_{ab,a}$	$h^*_{ab,a}$	u^*_d
r00j	38.47	63.32	30.17	70.15	25	m81o
r25j	42.12	54.56	49.45	73.64	42	o10y
r50j	53.64	39.15	64.89	75.79	59	o40y
r75j	67.01	21.26	82.83	85.52	76	o69y
j00g	86.18	-4.38	108.53	108.62	92	o98y
j25g	69.73	-29.89	83.06	88.28	110	y34l
j50g	57.03	-48.31	63.49	79.78	127	y69l
j75g	47.73	-60.33	42.64	73.88	145	l03c
g00b	50.59	-49.08	15.74	51.54	162	l23c
g25b	52.97	-39.7	-6.72	40.27	190	l55c
g50b	54.85	-32.33	-24.35	40.48	217	l87c
g75b	49.92	-17.29	-36.02	39.96	244	c20v
b00r	40.91	1.28	-42.35	42.37	272	c53v
b25r	26.81	30.38	-52.26	60.45	300	c87v
b50r	32.52	69.06	-42.14	80.9	329	v68m
b75r	39.48	71.47	-3.69	71.57	357	m34o



Ein und Ausgabe: Farbmatisches Drucker-Reflektiv-System FRS12_95a, $L^*=12_95$ für relativen CIELAB-Bunton $h^* = lab^*h^* = h_{ab}/360 = 0.527$ $u^*_e = g25b$
 lab^*olv^*

Daten für jede Farbe:

lab^*tch^* und lab^*icu^*

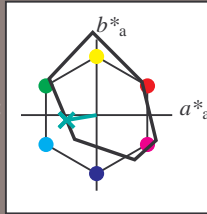
Buntontexte:

$u^*_e = g25b$ $u^*_d = l55c$

Kontrastreduzierungsfaktor:

$c_R = 1.0$

Dreiecks-Helligkeit t^*



FRS12_95a; CIELAB-Daten

u^*_e	$L^*=L^*$	a^*	b^*	C^*_{ab}	h^*_{ab}
O _M	38.06	60.53	36.66	70.77	31
Y _M	86.77	-4.5	100.15	100.25	93
L _M	47.13	-62.11	40.56	74.18	147
C _M	55.66	-28.56	-39.99	49.14	234
V _M	17.15	50.78	-65.6	82.96	308
M _M	40.37	79.18	-40.93	89.13	333
N _M	11.58	0.46	-6.35	6.37	274
W _M	95.02	0.69	-9.48	9.51	274
R _M	39.92	58.74	27.99	65.07	25
J _M	81.26	-2.89	71.56	71.62	92
G _M	52.23	-42.42	13.6	44.55	162
B _M	30.57	1.41	-46.47	46.49	272

Daten für Maximalfarbe (Ma):

$LAB^*LAB^*_{Ma}: 53 -40 -7$

$LAB^*LCH^*_{Ma}: 53 40 189$

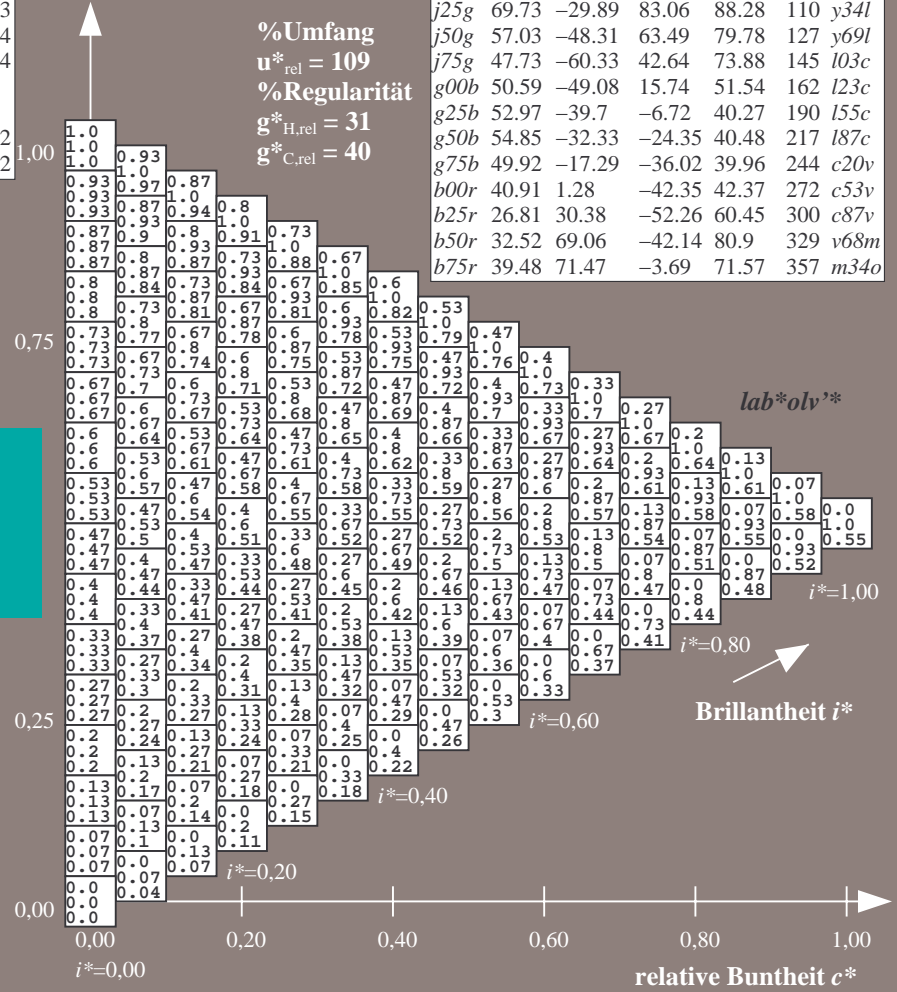
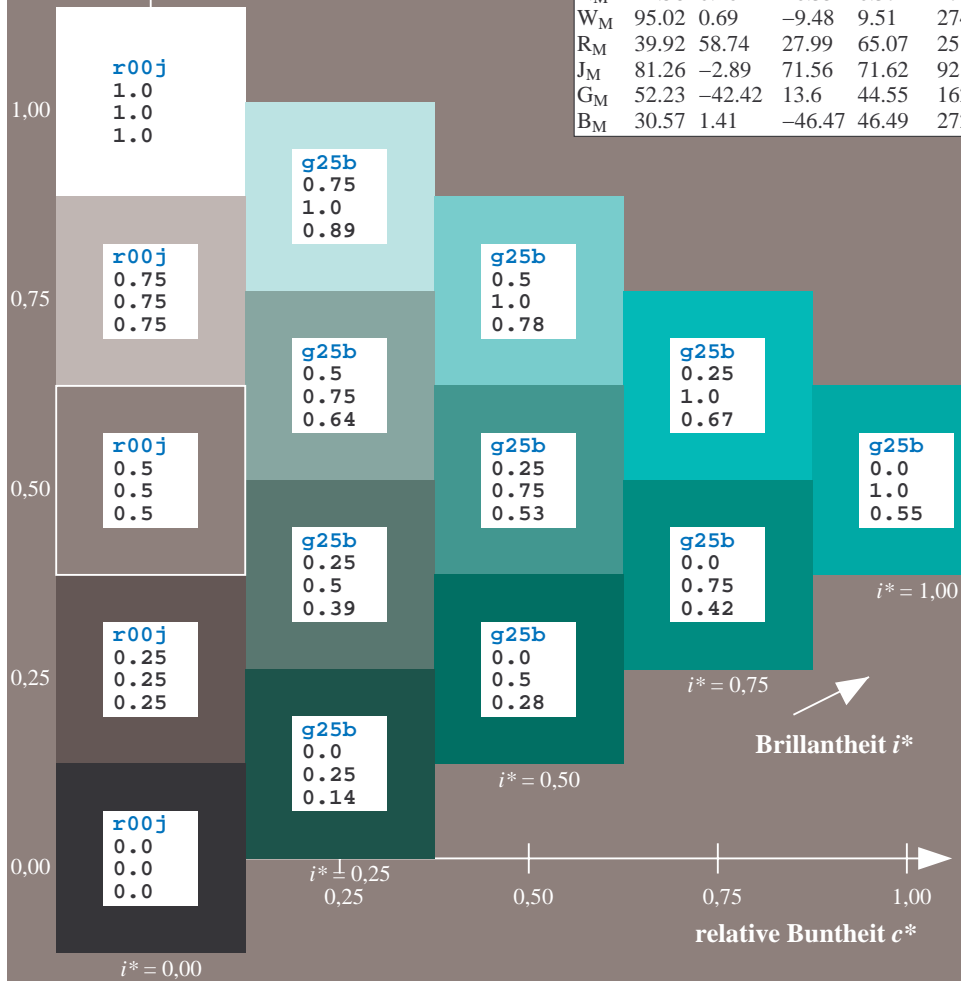
$lab^*rgb^*_{Ma}: 0.0 1.0 0.5$

$lab^*olv^*_{Ma}: 0.0 1.0 0.55$

Dreiecks-Helligkeit t^*

FRS12_95a; adaptierte CIELAB-Daten

u^*_e	$L^*=L^*_a$	a^*_a	b^*_a	$C^*_{ab,a}$	$h^*_{ab,a}$	u^*_d
r00j	38.47	63.32	30.17	70.15	25	m81o
r25j	42.12	54.56	49.45	73.64	42	o10y
r50j	53.64	39.15	64.89	75.79	59	o40y
r75j	67.01	21.26	82.83	85.52	76	o69y
j00g	86.18	-4.38	108.53	108.62	92	o98y
j25g	69.73	-29.89	83.06	88.28	110	y34l
j50g	57.03	-48.31	63.49	79.78	127	y69l
j75g	47.73	-60.33	42.64	73.88	145	l03c
g00b	50.59	-49.08	15.74	51.54	162	l23c
g25b	52.97	-39.7	-6.72	40.27	190	l55c
g50b	54.85	-32.33	-24.35	40.48	217	l87c
g75b	49.92	-17.29	-36.02	39.96	244	c20v
b00r	40.91	1.28	-42.35	42.37	272	c53v
b25r	26.81	30.38	-52.26	60.45	300	c87v
b50r	32.52	69.06	-42.14	80.9	329	v68m
b75r	39.48	71.47	-3.69	71.57	357	m34o



%Umfang
 $u^*_{rel} = 109$
 %Regularität
 $g^*_{H,rel} = 31$
 $g^*_{C,rel} = 40$

lab^*olv^*

Brillantheit i^*

$i^* = 1.00$

$i^* = 0.80$

$i^* = 0.60$

$i^* = 0.40$

$i^* = 0.20$

$i^* = 0.00$

Ein und Ausgabe: Farbmatisches Drucker-Reflektiv-System FRS12_95a, $L^*=12_95$ für relativen CIELAB-Bunton $h^* = lab^*h^* = h_{ab}/360 = 0.603$ $u^*_e = g50b$

Daten für jede Farbe:

lab^*ch^* und lab^*icu^*

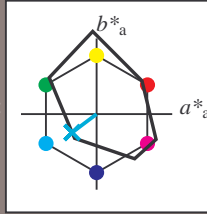
Buntontexte:

$u^*_e = g50b$ $u^*_d = l87c$

Kontrastreduzierungsfaktor:

$c_R = 1.0$

Dreiecks-Helligkeit t^*



FRS12_95a; CIELAB-Daten

u^*_e	$L^*=L^*$	a^*	b^*	C^*_{ab}	h^*_{ab}
O _M	38.06	60.53	36.66	70.77	31
Y _M	86.77	-4.5	100.15	100.25	93
L _M	47.13	-62.11	40.56	74.18	147
C _M	55.66	-28.56	-39.99	49.14	234
V _M	17.15	50.78	-65.6	82.96	308
M _M	40.37	79.18	-40.93	89.13	333
N _M	11.58	0.46	-6.35	6.37	274
W _M	95.02	0.69	-9.48	9.51	274
R _M	39.92	58.74	27.99	65.07	25
J _M	81.26	-2.89	71.56	71.62	92
G _M	52.23	-42.42	13.6	44.55	162
B _M	30.57	1.41	-46.47	46.49	272

Daten für Maximalfarbe (Ma):

$LAB^*LAB^*_{Ma}$: 55 -32 -24

$LAB^*LCH^*_{Ma}$: 55 40 216

$lab^*rgb^*_{Ma}$: 0.0 1.0 1.0

$lab^*olv^*_{Ma}$: 0.0 1.0 0.87

Dreiecks-Helligkeit t^*

%Umfang

$u^*_{rel} = 109$

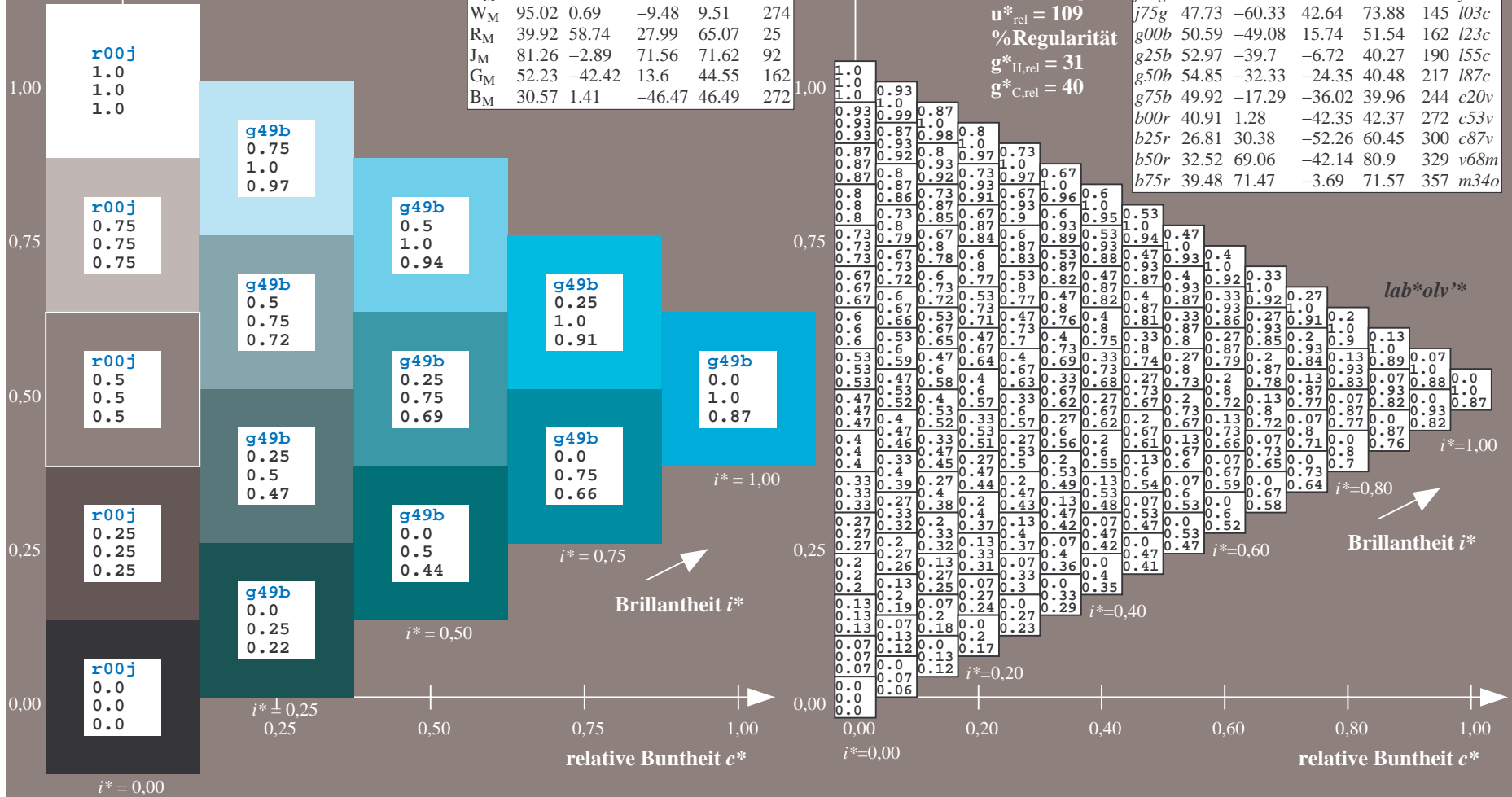
%Regularität

$g^*_{H,rel} = 31$

$g^*_{C,rel} = 40$

FRS12_95a; adaptierte CIELAB-Daten

u^*_e	$L^*=L^*_a$	a^*_a	b^*_a	$C^*_{ab,a}$	$h^*_{ab,a}$	u^*_d
r00j	38.47	63.32	30.17	70.15	25	m81o
r25j	42.12	54.56	49.45	73.64	42	o10y
r50j	53.64	39.15	64.89	75.79	59	o40y
r75j	67.01	21.26	82.83	85.52	76	o69y
j00g	86.18	-4.38	108.53	108.62	92	o98y
j25g	69.73	-29.89	83.06	88.28	110	y34l
j50g	57.03	-48.31	63.49	79.78	127	y69l
j75g	47.73	-60.33	42.64	73.88	145	l03c
g00b	50.59	-49.08	15.74	51.54	162	l23c
g25b	52.97	-39.7	-6.72	40.27	190	l55c
g50b	54.85	-32.33	-24.35	40.48	217	l87c
g75b	49.92	-17.29	-36.02	39.96	244	c20v
b00r	40.91	1.28	-42.35	42.37	272	c53v
b25r	26.81	30.38	-52.26	60.45	300	c87v
b50r	32.52	69.06	-42.14	80.9	329	v68m
b75r	39.48	71.47	-3.69	71.57	357	m34o



Ein und Ausgabe: Farbmatisches Drucker-Reflektiv-System FRS12_95a, $L^*=12_95$ für relativen CIELAB-Bunton $h^* = lab^*h^* = h_{ab}/360 = 0.679$ $u^*_e = g75b$

Daten für jede Farbe:

lab^*tch^* und lab^*icu^*

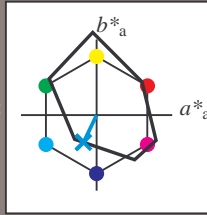
Buntontexte:

$u^*_e = g75b$ $u^*_d = c20v$

Kontrastreduzierungsfaktor:

$c_R = 1.0$

Dreiecks-Helligkeit t^*



FRS12_95a; CIELAB-Daten

	u^*_e	$L^*=L^*$	a^*	b^*	C^*_{ab}	h^*_{ab}
O _M	38.06	60.53	36.66	70.77	31	
Y _M	86.77	-4.5	100.15	100.25	93	
L _M	47.13	-62.11	40.56	74.18	147	
C _M	55.66	-28.56	-39.99	49.14	234	
V _M	17.15	50.78	-65.6	82.96	308	
M _M	40.37	79.18	-40.93	89.13	333	
N _M	11.58	0.46	-6.35	6.37	274	
W _M	95.02	0.69	-9.48	9.51	274	
R _M	39.92	58.74	27.99	65.07	25	
J _M	81.26	-2.89	71.56	71.62	92	
G _M	52.23	-42.42	13.6	44.55	162	
B _M	30.57	1.41	-46.47	46.49	272	

Daten für Maximalfarbe (Ma):

$LAB^*LAB^*_{Ma}: 50 -17 -36$

$LAB^*LCH^*_{Ma}: 50 40 244$

$lab^*rgb^*_{Ma}: 0.0 0.5 1.0$

$lab^*olv^*_{Ma}: 0.0 0.8 1.0$

Dreiecks-Helligkeit t^*

%Umfang

$u^*_{rel} = 109$

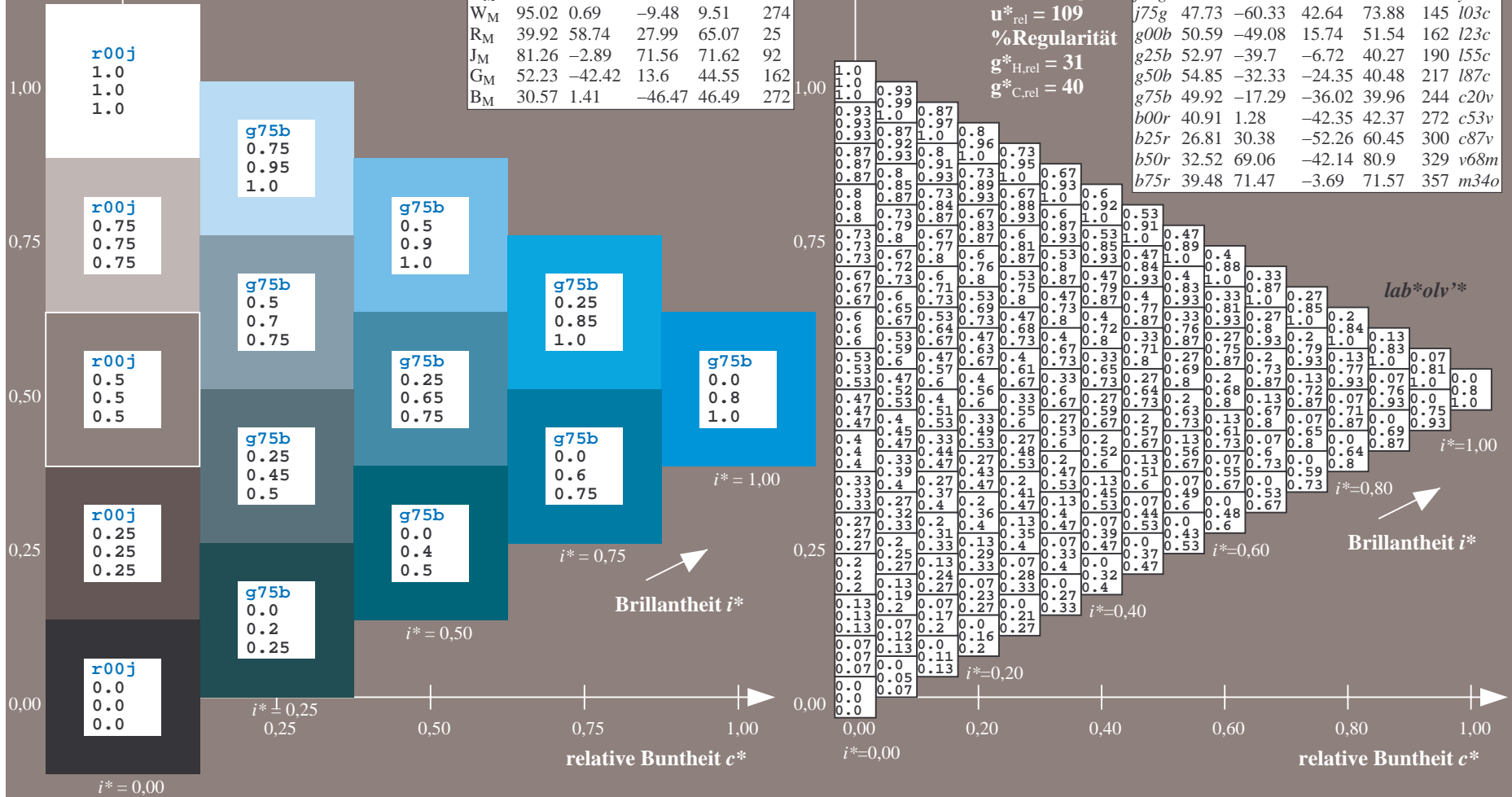
%Regularität

$g^*_{H,rel} = 31$

$g^*_{C,rel} = 40$

FRS12_95a; adaptierte CIELAB-Daten

	u^*_e	$L^*=L^*_a$	a^*_a	b^*_a	$C^*_{ab,a}$	$h^*_{ab,a}$	u^*_d
r00j	38.47	63.32	30.17	70.15	25	m81o	
r25j	42.12	54.56	49.45	73.64	42	o10y	
r50j	53.64	39.15	64.89	75.79	59	o40y	
r75j	67.01	21.26	82.83	85.52	76	o69y	
j00g	86.18	-4.38	108.53	108.62	92	o98y	
j25g	69.73	-29.89	83.06	88.28	110	y34l	
j50g	57.03	-48.31	63.49	79.78	127	y69l	
j75g	47.73	-60.33	42.64	73.88	145	103c	
g00b	50.59	-49.08	15.74	51.54	162	l23c	
g25b	52.97	-39.7	-6.72	40.27	190	l55c	
g50b	54.85	-32.33	-24.35	40.48	217	l87c	
g75b	49.92	-17.29	-36.02	39.96	244	c20v	
b00r	40.91	1.28	-42.35	42.37	272	c53v	
b25r	26.81	30.38	-52.26	60.45	300	c87v	
b50r	32.52	69.06	-42.14	80.9	329	v68m	
b75r	39.48	71.47	-3.69	71.57	357	m34o	



Ein und Ausgabe: Farbmatisches Drucker-Reflektiv-System FRS12_95a, $L^*=12_95$ für relativen CIELAB-Bunton $h^* = lab^*h^* = h_{ab}/360 = 0.755$ $u^*_e = b00r$

Daten für jede Farbe:

lab^*tch^* und lab^*icu^*

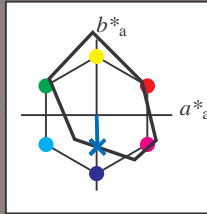
Buntontexte:

$u^*_e = b00r$ $u^*_d = c53v$

Kontrastreduzierungsfaktor:

$c_R = 1.0$

Dreiecks-Helligkeit t^*



FRS12_95a; CIELAB-Daten

u^*_e	$L^*=L^*$	a^*	b^*	C^*_{ab}	h^*_{ab}
O _M	38.06	60.53	36.66	70.77	31
Y _M	86.77	-4.5	100.15	100.25	93
L _M	47.13	-62.11	40.56	74.18	147
C _M	55.66	-28.56	-39.99	49.14	234
V _M	17.15	50.78	-65.6	82.96	308
M _M	40.37	79.18	-40.93	89.13	333
N _M	11.58	0.46	-6.35	6.37	274
W _M	95.02	0.69	-9.48	9.51	274
R _M	39.92	58.74	27.99	65.07	25
J _M	81.26	-2.89	71.56	71.62	92
G _M	52.23	-42.42	13.6	44.55	162
B _M	30.57	1.41	-46.47	46.49	272

Daten für Maximalfarbe (Ma):

$LAB^*LAB^*_{Ma}$: 41 1 -42

$LAB^*LCH^*_{Ma}$: 41 42 271

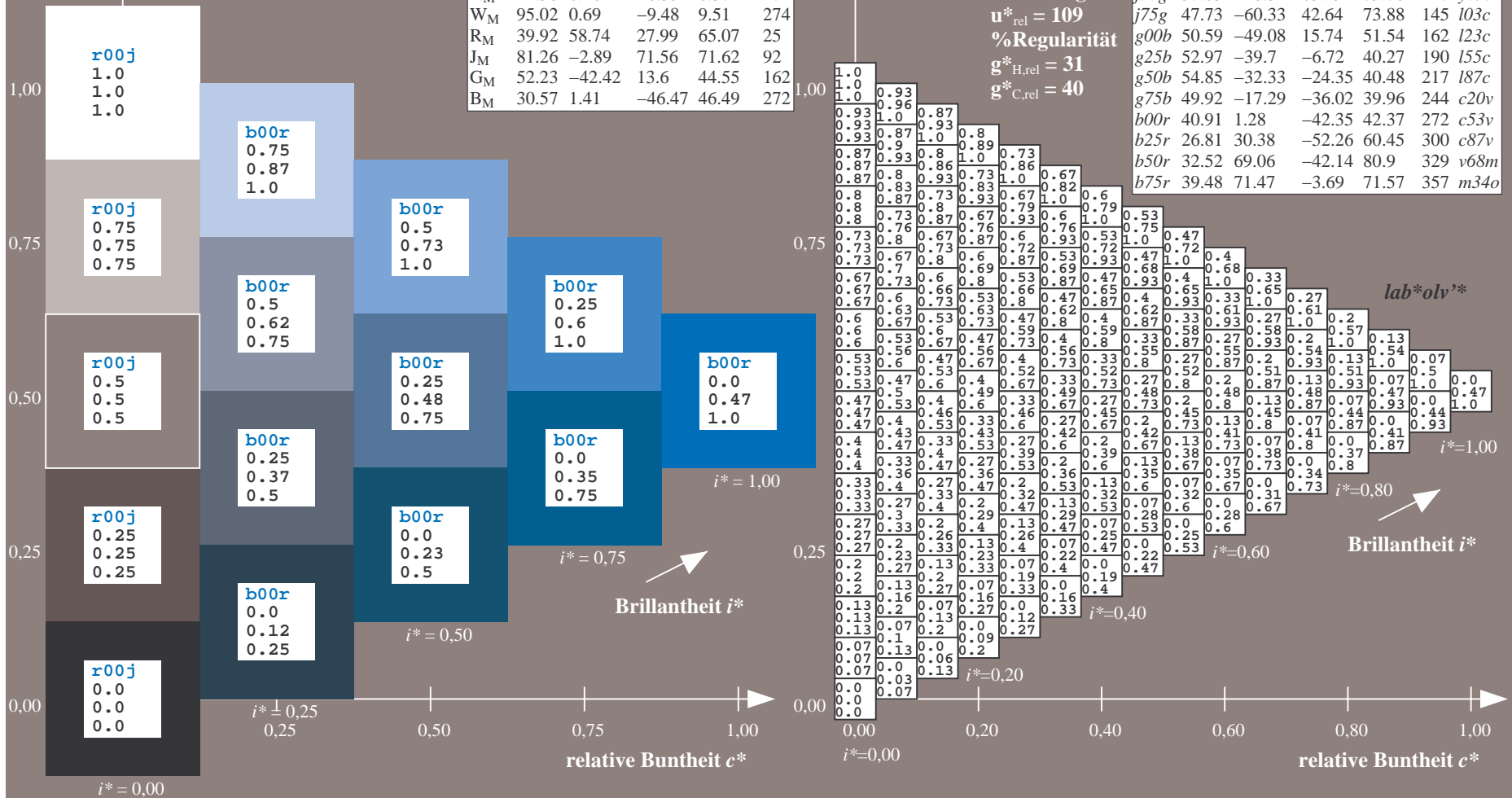
$lab^*rgb^*_{Ma}$: 0.0 0.0 1.0

$lab^*olv^*_{Ma}$: 0.0 0.47 1.0

Dreiecks-Helligkeit t^*

FRS12_95a; adaptierte CIELAB-Daten

u^*_e	$L^*=L^*_a$	a^*_a	b^*_a	$C^*_{ab,a}$	$h^*_{ab,a}$	u^*_d
r00j	38.47	63.32	30.17	70.15	25	m81o
r25j	42.12	54.56	49.45	73.64	42	o10y
r50j	53.64	39.15	64.89	75.79	59	o40y
r75j	67.01	21.26	82.83	85.52	76	o69y
j00g	86.18	-4.38	108.53	108.62	92	o98y
j25g	69.73	-29.89	83.06	88.28	110	y34l
j50g	57.03	-48.31	63.49	79.78	127	y69l
j75g	47.73	-60.33	42.64	73.88	145	i03c
g00b	50.59	-49.08	15.74	51.54	162	l23c
g25b	52.97	-39.7	-6.72	40.27	190	i55c
g50b	54.85	-32.33	-24.35	40.48	217	i87c
g75b	49.92	-17.29	-36.02	39.96	244	c20v
b00r	40.91	1.28	-42.35	42.37	272	c53v
b25r	26.81	30.38	-52.26	60.45	300	c87v
b50r	32.52	69.06	-42.14	80.9	329	v68m
b75r	39.48	71.47	-3.69	71.57	357	m34o



Ein und Ausgabe: Farbmatisches Drucker-Reflektiv-System FRS12_95a, $L^*=12_95$ für relativen CIELAB-Bunton $h^* = lab^*h^* = h_{ab}/360 = 0.834$ $u^*_e = b25r$

Daten für jede Farbe:

lab^*ch^* und lab^*icu^*

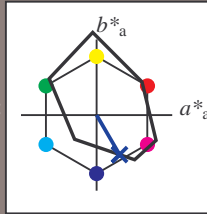
Buntontexte:

$u^*_e = b25r$ $u^*_d = c87v$

Kontrastreduzierungsfaktor:

$c_R = 1.0$

Dreiecks-Helligkeit t^*



FRS12_95a; CIELAB-Daten

u^*_e	$L^*=L^*$	a^*	b^*	C^*_{ab}	h^*_{ab}
O _M	38.06	60.53	36.66	70.77	31
Y _M	86.77	-4.5	100.15	100.25	93
L _M	47.13	-62.11	40.56	74.18	147
C _M	55.66	-28.56	-39.99	49.14	234
V _M	17.15	50.78	-65.6	82.96	308
M _M	40.37	79.18	-40.93	89.13	333
N _M	11.58	0.46	-6.35	6.37	274
W _M	95.02	0.69	-9.48	9.51	274
R _M	39.92	58.74	27.99	65.07	25
J _M	81.26	-2.89	71.56	71.62	92
G _M	52.23	-42.42	13.6	44.55	162
B _M	30.57	1.41	-46.47	46.49	272

Daten für Maximalfarbe (Ma):

$LAB^*LAB^*_{Ma}: 27\ 30\ -52$

$LAB^*LCH^*_{Ma}: 27\ 60\ 300$

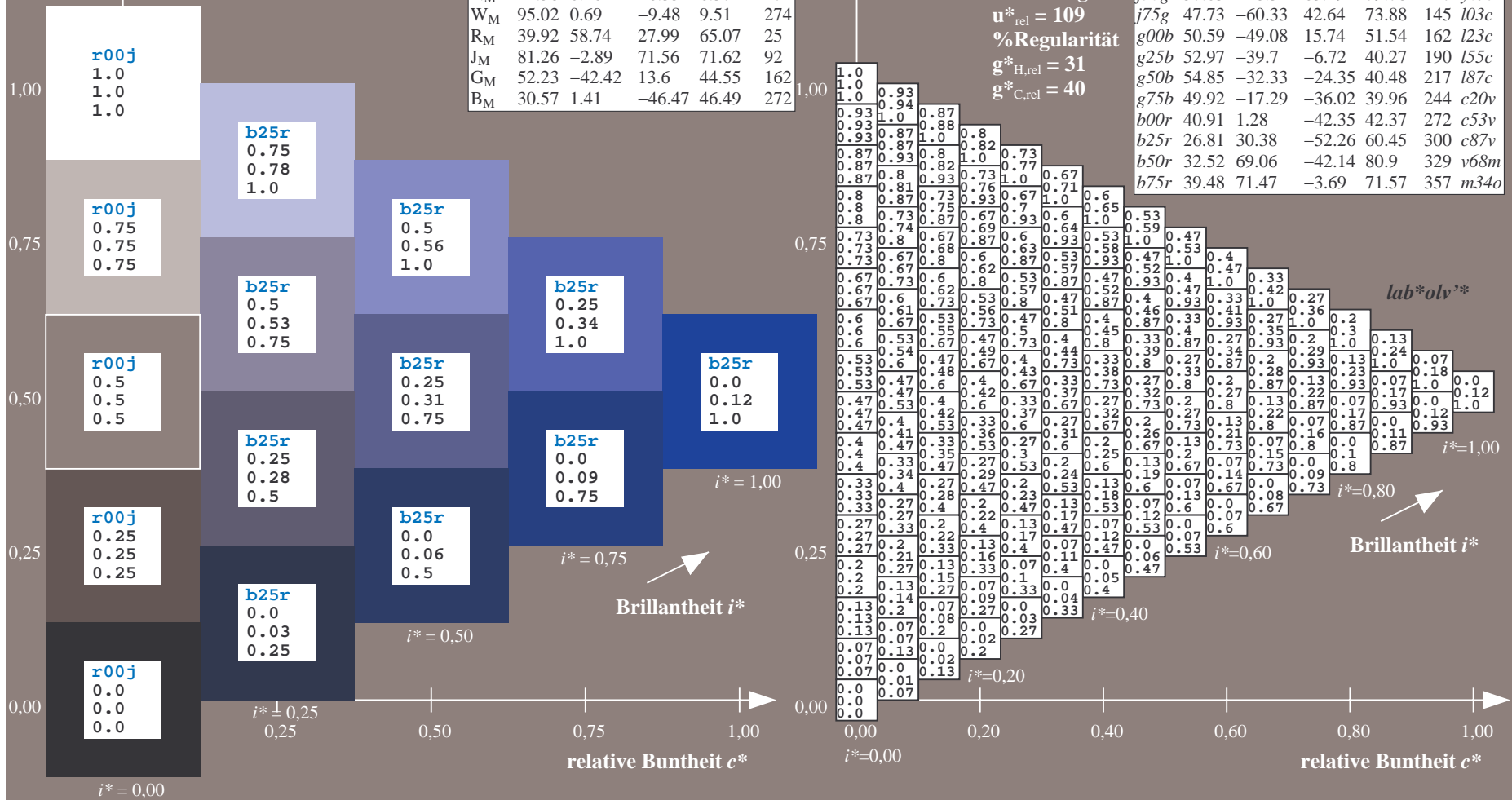
$lab^*rgb^*_{Ma}: 0.5\ 0.0\ 1.0$

$lab^*olv^*_{Ma}: 0.0\ 0.12\ 1.0$

Dreiecks-Helligkeit t^*

FRS12_95a; adaptierte CIELAB-Daten

u^*_e	$L^*=L^*_a$	a^*_a	b^*_a	$C^*_{ab,a}$	$h^*_{ab,a}$	u^*_d
r00j	38.47	63.32	30.17	70.15	25	m81o
r25j	42.12	54.56	49.45	73.64	42	o10y
r50j	53.64	39.15	64.89	75.79	59	o40y
r75j	67.01	21.26	82.83	85.52	76	o69y
j00g	86.18	-4.38	108.53	108.62	92	o98y
j25g	69.73	-29.89	83.06	88.28	110	y34l
j50g	57.03	-48.31	63.49	79.78	127	y69l
j75g	47.73	-60.33	42.64	73.88	145	103c
g00b	50.59	-49.08	15.74	51.54	162	l23c
g25b	52.97	-39.7	-6.72	40.27	190	l55c
g50b	54.85	-32.33	-24.35	40.48	217	l87c
g75b	49.92	-17.29	-36.02	39.96	244	c20v
b00r	40.91	1.28	-42.35	42.37	272	c53v
b25r	26.81	30.38	-52.26	60.45	300	c87v
b50r	32.52	69.06	-42.14	80.9	329	v68m
b75r	39.48	71.47	-3.69	71.57	357	m34o



Ein und Ausgabe: Farbmatisches Drucker-Reflektiv-System FRS12_95a, $L^*=12_95$ für relativen CIELAB-Bunton $h^* = lab^*h^* = h_{ab}/360 = 0.913$ $u^*_e = b50r$

Daten für jede Farbe:

lab^*tch^* und lab^*icu^*

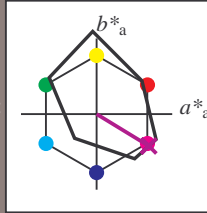
Buntontexte:

$u^*_e = b50r$ $u^*_d = v68m$

Kontrastreduzierungsfaktor:

$c_R = 1.0$

Dreiecks-Helligkeit t^*



FRS12_95a; CIELAB-Daten

u^*_e	$L^*=L^*$	a^*	b^*	C^*_{ab}	h^*_{ab}
O _M	38.06	60.53	36.66	70.77	31
Y _M	86.77	-4.5	100.15	100.25	93
L _M	47.13	-62.11	40.56	74.18	147
C _M	55.66	-28.56	-39.99	49.14	234
V _M	17.15	50.78	-65.6	82.96	308
M _M	40.37	79.18	-40.93	89.13	333
N _M	11.58	0.46	-6.35	6.37	274
W _M	95.02	0.69	-9.48	9.51	274
R _M	39.92	58.74	27.99	65.07	25
J _M	81.26	-2.89	71.56	71.62	92
G _M	52.23	-42.42	13.6	44.55	162
B _M	30.57	1.41	-46.47	46.49	272

Daten für Maximalfarbe (Ma):

$LAB^*LAB^*_{Ma}$: 33 69 -42

$LAB^*LCH^*_{Ma}$: 33 81 328

$lab^*rgb^*_{Ma}$: 1.0 0.0 1.0

$lab^*olv^*_{Ma}$: 0.69 0.0 1.0

Dreiecks-Helligkeit t^*

%Umfang

$u^*_{rel} = 109$

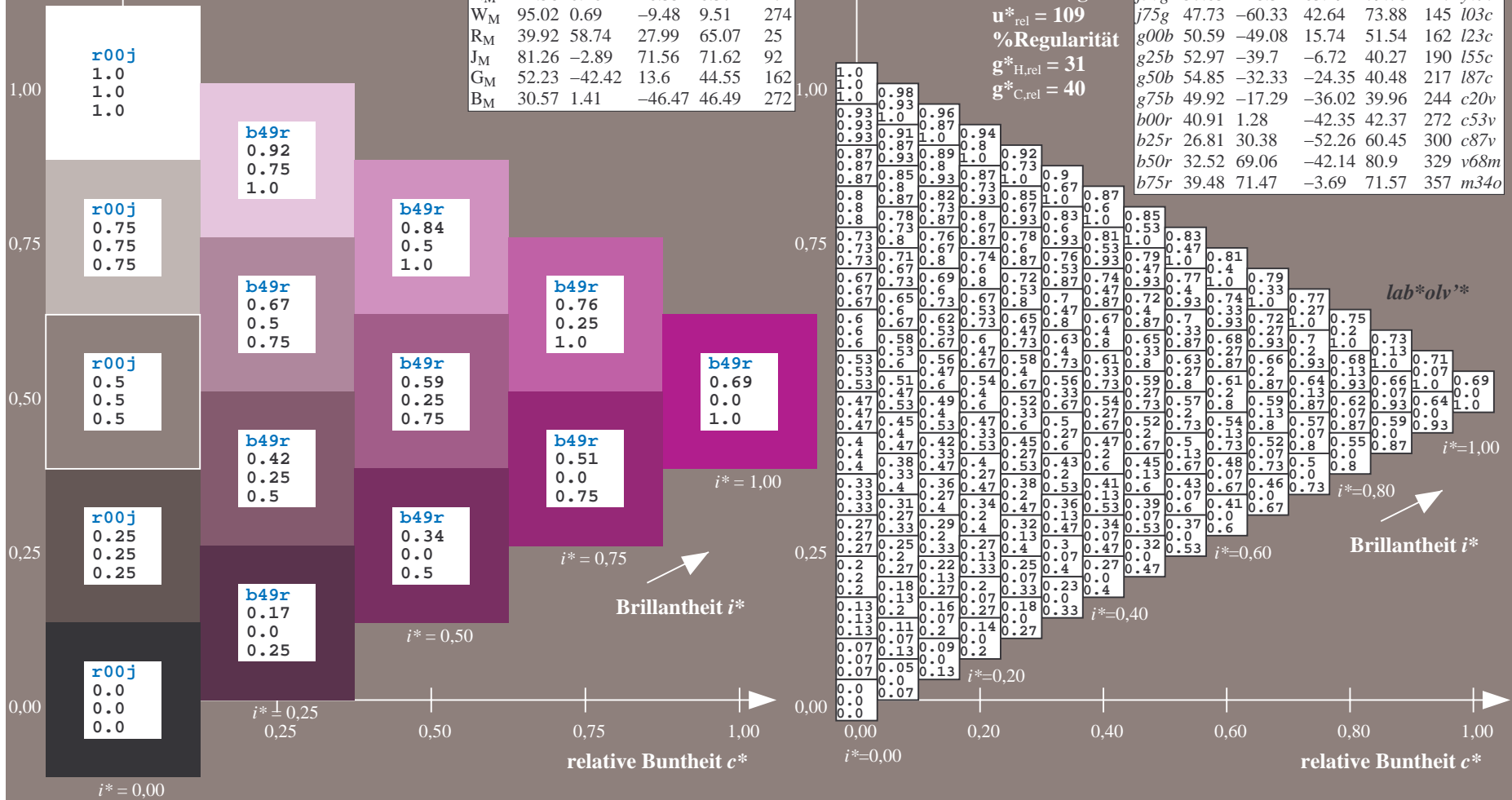
%Regulartät

$g^*_{H,rel} = 31$

$g^*_{C,rel} = 40$

FRS12_95a; adaptierte CIELAB-Daten

u^*_e	$L^*=L^*_a$	a^*_a	b^*_a	$C^*_{ab,a}$	$h^*_{ab,a}$	u^*_d
r00j	38.47	63.32	30.17	70.15	25	m81o
r25j	42.12	54.56	49.45	73.64	42	o10y
r50j	53.64	39.15	64.89	75.79	59	o40y
r75j	67.01	21.26	82.83	85.52	76	o69y
j00g	86.18	-4.38	108.53	108.62	92	o98y
j25g	69.73	-29.89	83.06	88.28	110	y34l
j50g	57.03	-48.31	63.49	79.78	127	y69l
j75g	47.73	-60.33	42.64	73.88	145	103c
g00b	50.59	-49.08	15.74	51.54	162	l23c
g25b	52.97	-39.7	-6.72	40.27	190	l55c
g50b	54.85	-32.33	-24.35	40.48	217	l87c
g75b	49.92	-17.29	-36.02	39.96	244	c20v
b00r	40.91	1.28	-42.35	42.37	272	c53v
b25r	26.81	30.38	-52.26	60.45	300	c87v
b50r	32.52	69.06	-42.14	80.9	329	v68m
b75r	39.48	71.47	-3.69	71.57	357	m34o



Ein und Ausgabe: Farbmatisches Drucker-Reflektiv-System FRS12_95a, $L^*=12_95$ für relativen CIELAB-Bunton $h^* = lab^*h^* = h_{ab}/360 = 0.992$ $u^*_e = b75r$

Daten für jede Farbe:

lab^*ch^* und lab^*icu^*

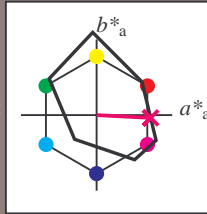
Buntontexte:

$u^*_e = b75r$ $u^*_d = m34o$

Kontrastreduzierungsfaktor:

$c_R = 1.0$

Dreiecks-Helligkeit t^*



FRS12_95a; CIELAB-Daten

	u^*_e	$L^*=L^*$	a^*	b^*	C^*_{ab}	h^*_{ab}
O _M	38.06	60.53	36.66	70.77	31	
Y _M	86.77	-4.5	100.15	100.25	93	
L _M	47.13	-62.11	40.56	74.18	147	
C _M	55.66	-28.56	-39.99	49.14	234	
V _M	17.15	50.78	-65.6	82.96	308	
M _M	40.37	79.18	-40.93	89.13	333	
N _M	11.58	0.46	-6.35	6.37	274	
W _M	95.02	0.69	-9.48	9.51	274	
R _M	39.92	58.74	27.99	65.07	25	
J _M	81.26	-2.89	71.56	71.62	92	
G _M	52.23	-42.42	13.6	44.55	162	
B _M	30.57	1.41	-46.47	46.49	272	

Daten für Maximalfarbe (Ma):

$LAB^*LAB^*_{Ma}: 39\ 71\ -4$

$LAB^*LCH^*_{Ma}: 39\ 72\ 357$

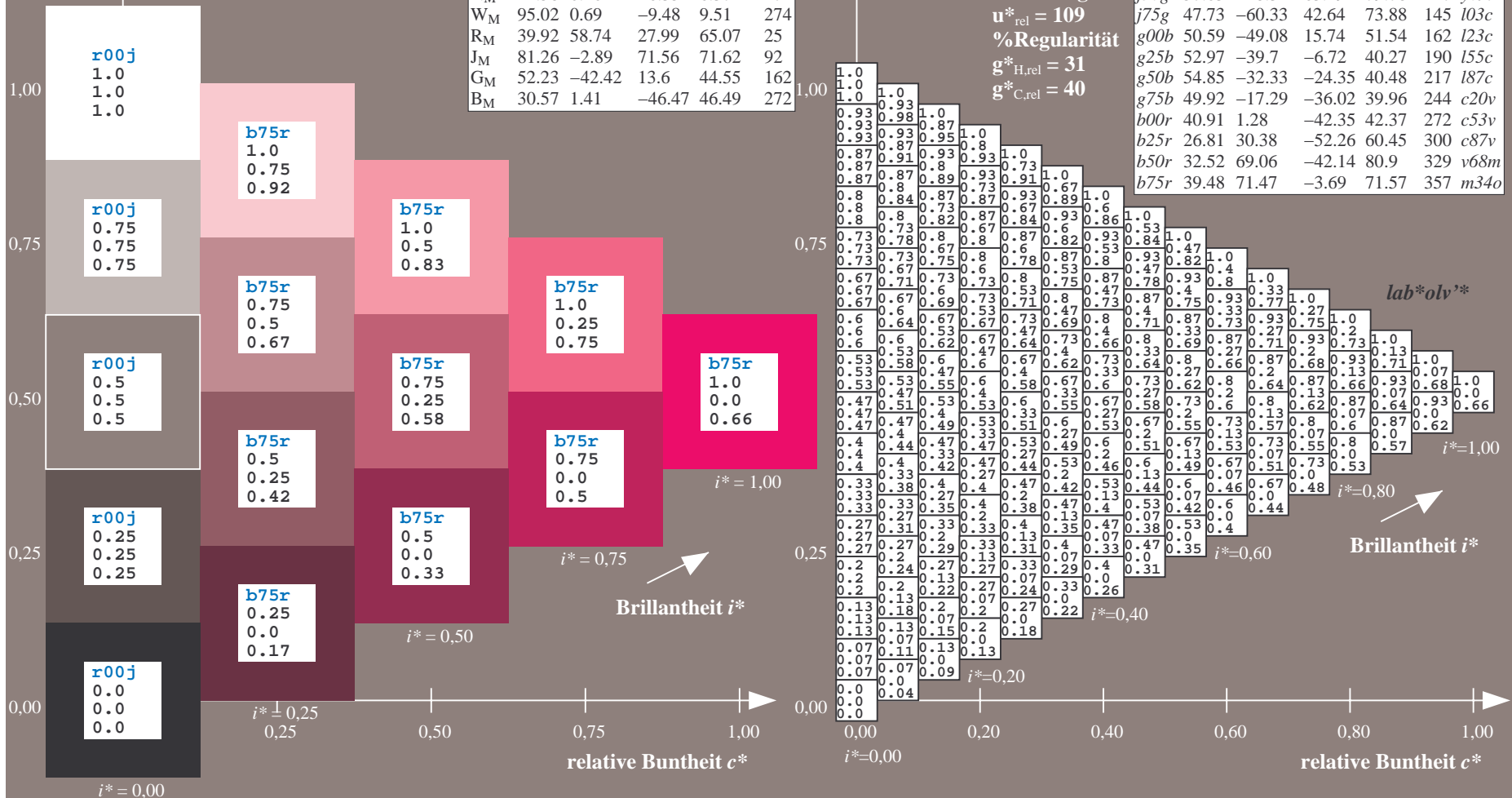
$lab^*rgb^*_{Ma}: 1.0\ 0.0\ 0.5$

$lab^*olv^*_{Ma}: 1.0\ 0.0\ 0.66$

Dreiecks-Helligkeit t^*

FRS12_95a; adaptierte CIELAB-Daten

	u^*_e	$L^*=L^*_a$	a^*_a	b^*_a	$C^*_{ab,a}$	$h^*_{ab,a}$	u^*_d
r00j	38.47	63.32	30.17	70.15	25	m81o	
r25j	42.12	54.56	49.45	73.64	42	o10y	
r50j	53.64	39.15	64.89	75.79	59	o40y	
r75j	67.01	21.26	82.83	85.52	76	o69y	
j00g	86.18	-4.38	108.53	108.62	92	o98y	
j25g	69.73	-29.89	83.06	88.28	110	y34l	
j50g	57.03	-48.31	63.49	79.78	127	y69l	
j75g	47.73	-60.33	42.64	73.88	145	162c	
g00b	50.59	-49.08	15.74	51.54	162	l23c	
g25b	52.97	-39.7	-6.72	40.27	190	l55c	
g50b	54.85	-32.33	-24.35	40.48	217	l87c	
g75b	49.92	-17.29	-36.02	39.96	244	c20v	
b00r	40.91	1.28	-42.35	42.37	272	c53v	
b25r	26.81	30.38	-52.26	60.45	300	c87v	
b50r	32.52	69.06	-42.14	80.9	329	v68m	
b75r	39.48	71.47	-3.69	71.57	357	m34o	



%Umfang
 $u^*_{rel} = 109$
 %Regularität
 $g^*_{H,rel} = 31$
 $g^*_{C,rel} = 40$

lab^*olv^*

Brillanz i^*

$i^* = 1.00$

$i^* = 0.80$

$i^* = 0.40$

$i^* = 0.20$

$i^* = 0.00$

Ein und Ausgabe:
 Farbmetrisches Drucker-Reflektiv-System FRS12_95a

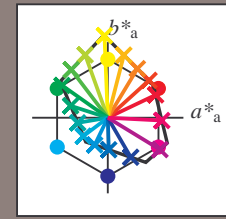
Daten für jede Farbe:
 u^*_e und Nummer $Nr. = 00 \dots 15$

Elementar-Bunttextext:
 $u^*_e = 16$ Bunttoene $r00j, r25j, \dots, b75r$

Kontrastreduzierungsfaktor:
 $c_R = 1.0$

FRS12_95a; adaptierte CIELAB-Daten

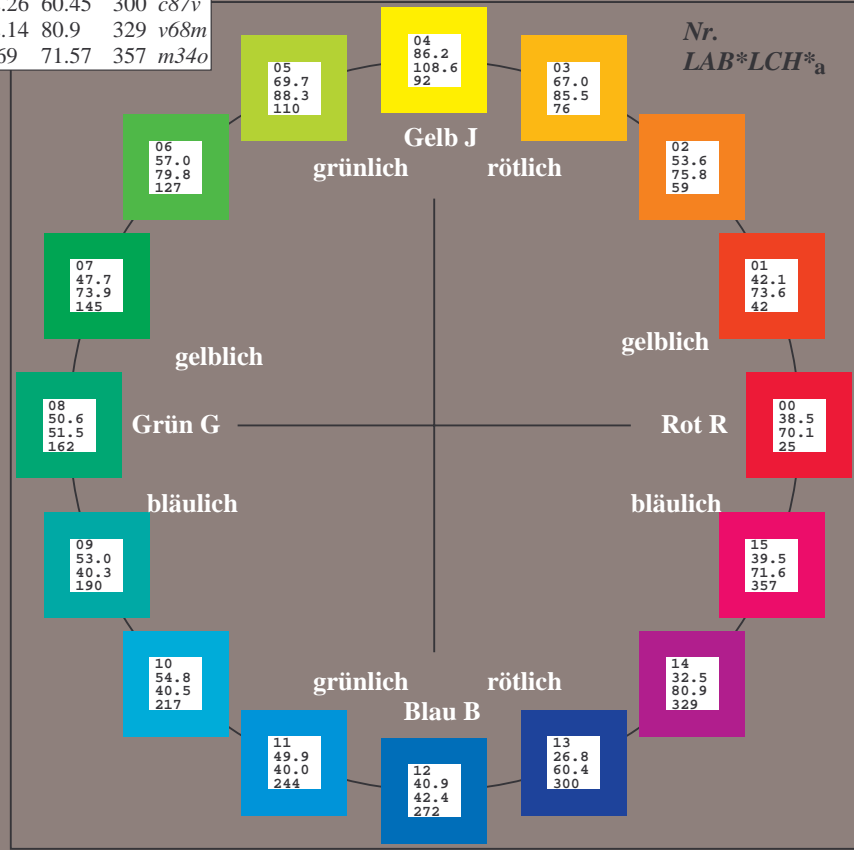
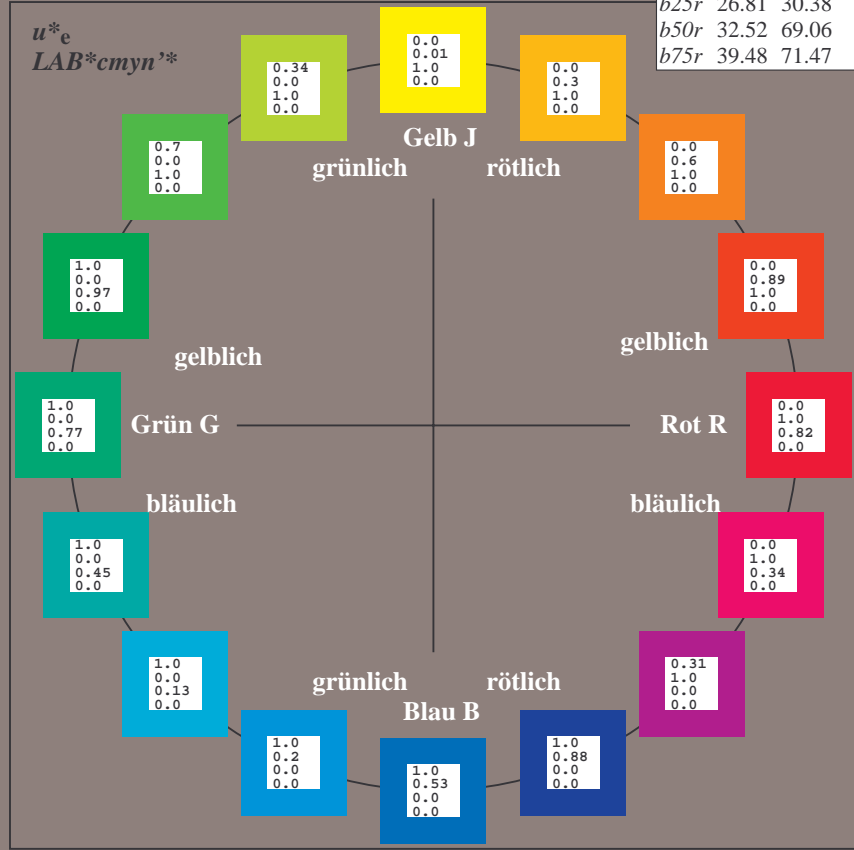
u^*_e	$L^*=L^*_a$	a^*_a	b^*_a	$C^*_{ab,a}$	$h^*_{ab,a}$	u^*_d
r00j	38.47	63.32	30.17	70.15	25	m81o
r25j	42.12	54.56	49.45	73.64	42	o10y
r50j	53.64	39.15	64.89	75.79	59	o40y
r75j	67.01	21.26	82.83	85.52	76	o69y
j00g	86.18	-4.38	108.53	108.62	92	o98y
j25g	69.73	-29.89	83.06	88.28	110	y34l
j50g	57.03	-48.31	63.49	79.78	127	y69l
j75g	47.73	-60.33	42.64	73.88	145	l03c
g00b	50.59	-49.08	15.74	51.54	162	l23c
g25b	52.97	-39.7	-6.72	40.27	190	l55c
g50b	54.85	-32.33	-24.35	40.48	217	l87c
g75b	49.92	-17.29	-36.02	39.96	244	c20v
b00r	40.91	1.28	-42.35	42.37	272	c53v
b25r	26.81	30.38	-52.26	60.45	300	c87v
b50r	32.52	69.06	-42.14	80.9	329	v68m
b75r	39.48	71.47	-3.69	71.57	357	m34o



%Umfang
 $u^*_{rel} = 109$
 %Regularität
 $g^*_{H,rel} = 31$
 $g^*_{C,rel} = 40$

FRS12_95a; CIELAB-Daten

Name	$L^*=L^*$	a^*	b^*	C^*_{ab}	h^*_{ab}
O _M	38.06	60.53	36.66	70.77	31
Y _M	86.77	-4.5	100.15	100.25	93
L _M	47.13	-62.11	40.56	74.18	147
C _M	55.66	-28.56	-39.99	49.14	234
V _M	17.15	50.78	-65.6	82.96	308
M _M	40.37	79.18	-40.93	89.13	333
N _M	11.58	0.46	-6.35	6.37	274
W _M	95.02	0.69	-9.48	9.51	274
R _{CIE}	39.92	58.74	27.99	65.07	25
J _{CIE}	81.26	-2.89	71.56	71.62	92
G _{CIE}	52.23	-42.42	13.6	44.55	162
B _{CIE}	30.57	1.41	-46.47	46.49	272



Ein und Ausgabe: Farbmatisches Drucker-Reflektiv-System FRS12_95a, L*=12_95 für relativen CIELAB-Bunton $h^* = lab^*h^* = h_{ab}/360 = 0.071$ $u^*_e = r00j$

Daten für jede Farbe:

lab^*ch^* und lab^*icu^*

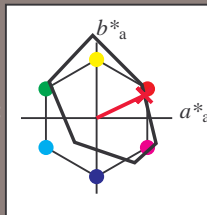
Buntontexte:

$u^*_e = r00j$ $u^*_d = m81o$

Kontrastreduzierungsfaktor:

$c_R = 1.0$

Dreiecks-Helligkeit t^*



FRS12_95a; CIELAB-Daten

	u^*_e	$L^*=L^*$	a^*	b^*	C^*_{ab}	h^*_{ab}
O _M	38.06	60.53	36.66	70.77	31	
Y _M	86.77	-4.5	100.15	100.25	93	
L _M	47.13	-62.11	40.56	74.18	147	
C _M	55.66	-28.56	-39.99	49.14	234	
V _M	17.15	50.78	-65.6	82.96	308	
M _M	40.37	79.18	-40.93	89.13	333	
N _M	11.58	0.46	-6.35	6.37	274	
W _M	95.02	0.69	-9.48	9.51	274	
R _M	39.92	58.74	27.99	65.07	25	
J _M	81.26	-2.89	71.56	71.62	92	
G _M	52.23	-42.42	13.6	44.55	162	
B _M	30.57	1.41	-46.47	46.49	272	

Daten für Maximalfarbe (Ma):

$LAB^*LAB^*_{Ma}$: 38 63 30

$LAB^*LCH^*_{Ma}$: 38 70 25

$lab^*rgb^*_{Ma}$: 1.0 0.0 0.0

$lab^*olv^*_{Ma}$: 1.0 0.0 0.18

Dreiecks-Helligkeit t^*

%Umfang

$u^*_{rel} = 109$

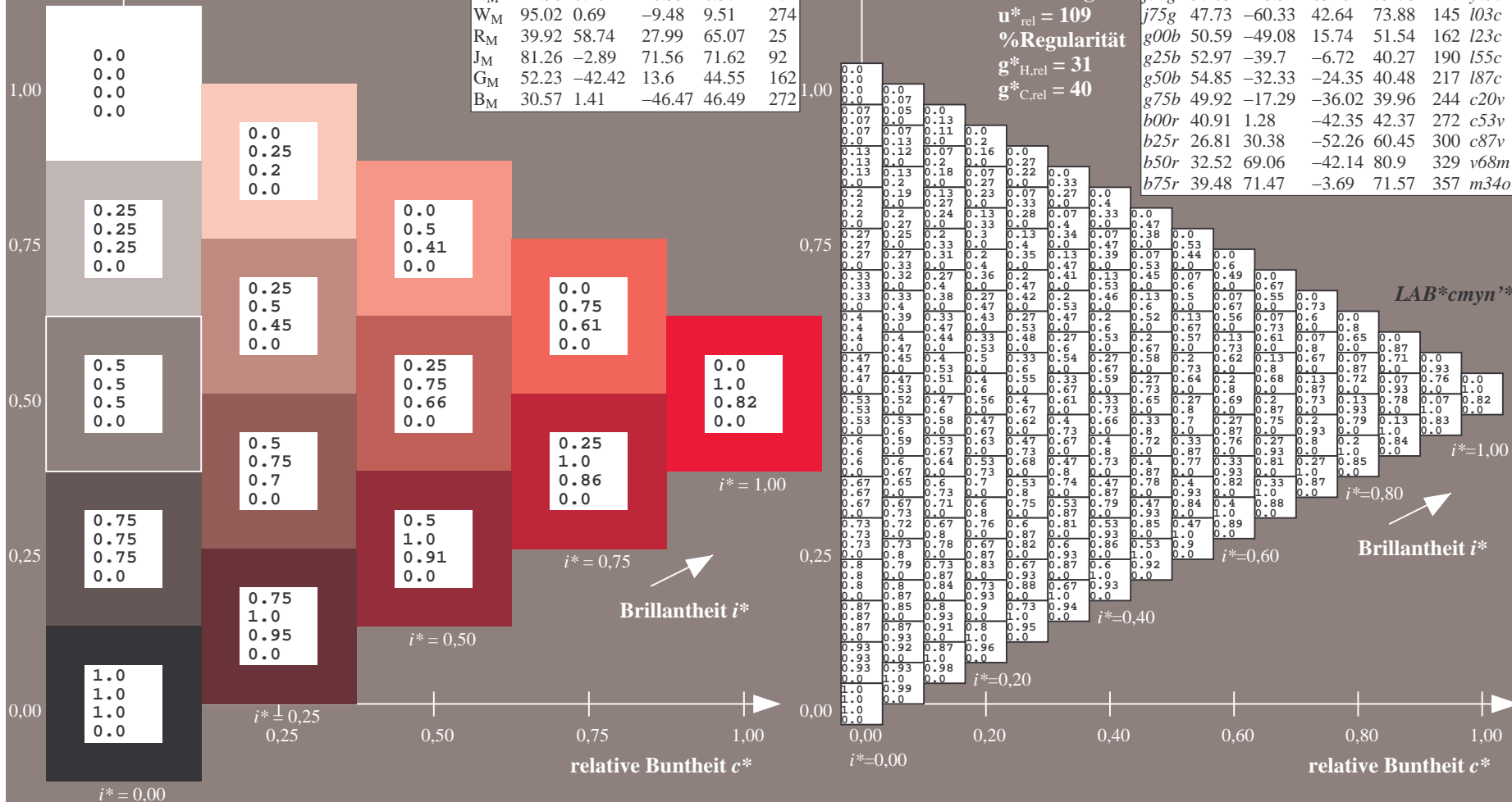
%Regularität

$g^*_{H,rel} = 31$

$g^*_{C,rel} = 40$

FRS12_95a; adaptierte CIELAB-Daten

	u^*_e	$L^*=L^*_a$	a^*_a	b^*_a	$C^*_{ab,a}$	$h^*_{ab,a}$	u^*_d
r00j	38.47	63.32	30.17	70.15	25	m81o	
r25j	42.12	54.56	49.45	73.64	42	o10y	
r50j	53.64	39.15	64.89	75.79	59	o40y	
r75j	67.01	21.26	82.83	85.52	76	o69y	
j00g	86.18	-4.38	108.53	108.62	92	o98y	
j25g	69.73	-29.89	83.06	88.28	110	y34l	
j50g	57.03	-48.31	63.49	79.78	127	y69l	
j75g	47.73	-60.33	42.64	73.88	145	l03c	
g00b	50.59	-49.08	15.74	51.54	162	l23c	
g25b	52.97	-39.7	-6.72	40.27	190	l55c	
g50b	54.85	-32.33	-24.35	40.48	217	l87c	
g75b	49.92	-17.29	-36.02	39.96	244	c20v	
b00r	40.91	1.28	-42.35	42.37	272	c53v	
b25r	26.81	30.38	-52.26	60.45	300	c87v	
b50r	32.52	69.06	-42.14	80.9	329	v68m	
b75r	39.48	71.47	-3.69	71.57	357	m34o	



Ein und Ausgabe: Farbmatisches Drucker-Reflektiv-System FRS12_95a, $L^*=12_95$ für relativen CIELAB-Bunton $h^* = lab^*h^* = h_{ab}/360 = 0.117$ $u^*_e = r25j$

Daten für jede Farbe:

lab^*tch^* und lab^*icu^*

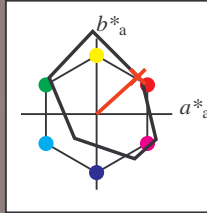
Buntontexte:

$u^*_e = r25j$ $u^*_d = o10y$

Kontrastreduzierungsfaktor:

$c_R = 1.0$

Dreiecks-Helligkeit t^*



FRS12_95a; CIELAB-Daten

	u^*_e	$L^*=L^*$	a^*	b^*	C^*_{ab}	h^*_{ab}
O _M	38.06	60.53	36.66	70.77	31	
Y _M	86.77	-4.5	100.15	100.25	93	
L _M	47.13	-62.11	40.56	74.18	147	
C _M	55.66	-28.56	-39.99	49.14	234	
V _M	17.15	50.78	-65.6	82.96	308	
M _M	40.37	79.18	-40.93	89.13	333	
N _M	11.58	0.46	-6.35	6.37	274	
W _M	95.02	0.69	-9.48	9.51	274	
R _M	39.92	58.74	27.99	65.07	25	
J _M	81.26	-2.89	71.56	71.62	92	
G _M	52.23	-42.42	13.6	44.55	162	
B _M	30.57	1.41	-46.47	46.49	272	

Daten für Maximalfarbe (Ma):

$LAB^*LAB^*_{Ma}$: 42 55 49

$LAB^*LCH^*_{Ma}$: 42 74 42

$lab^*rgb^*_{Ma}$: 1.0 0.25 0.0

$lab^*olv^*_{Ma}$: 1.0 0.11 0.0

Dreiecks-Helligkeit t^*

%Umfang

$u^*_{rel} = 109$

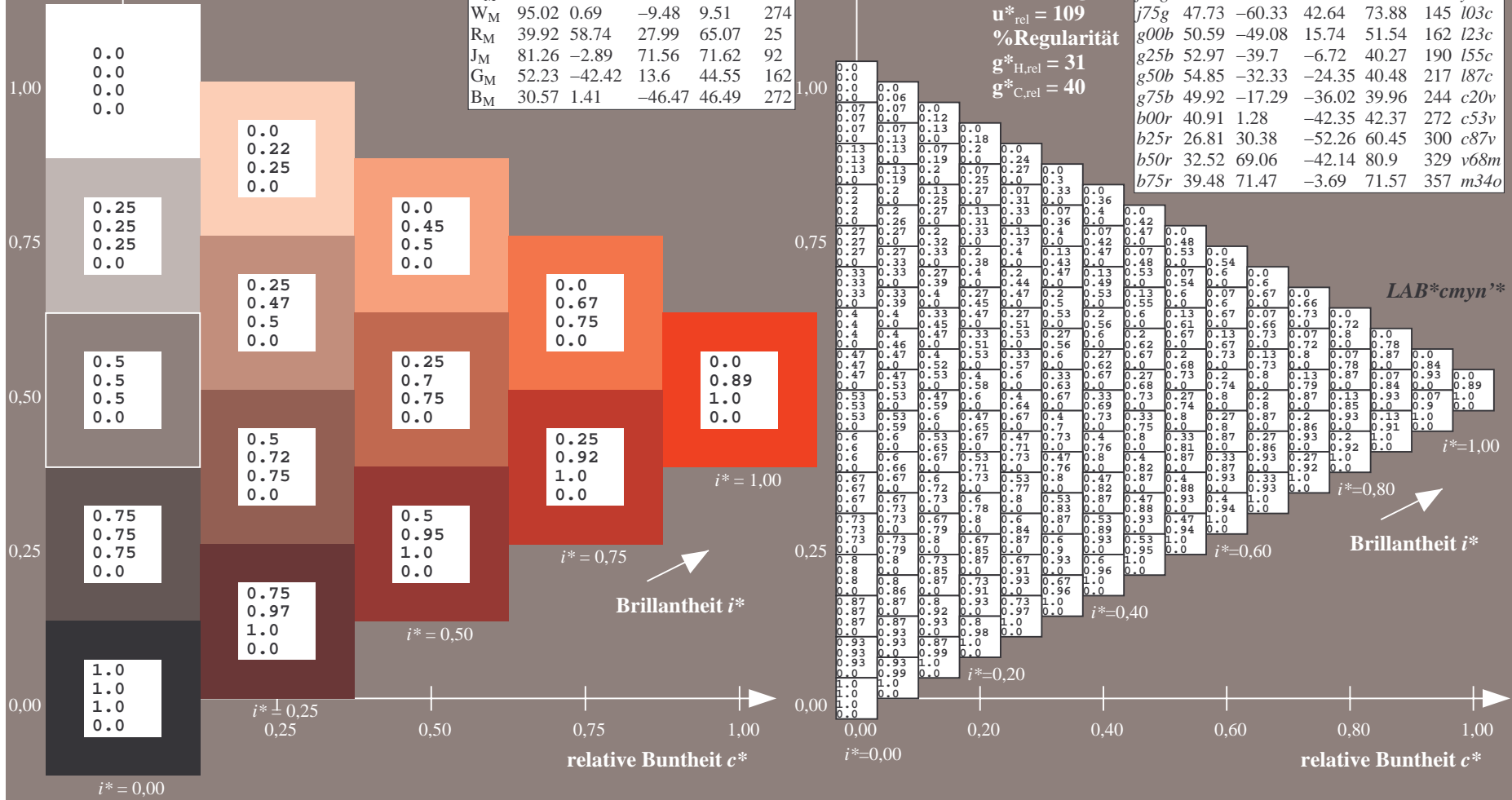
%Regularität

$g^*_{H,rel} = 31$

$g^*_{C,rel} = 40$

FRS12_95a; adaptierte CIELAB-Daten

	u^*_e	$L^*=L^*_a$	a^*_a	b^*_a	$C^*_{ab,a}$	$h^*_{ab,a}$	u^*_d
r00j	38.47	63.32	30.17	70.15	25	m81o	
r25j	42.12	54.56	49.45	73.64	42	o10y	
r50j	53.64	39.15	64.89	75.79	59	o40y	
r75j	67.01	21.26	82.83	85.52	76	o69y	
j00g	86.18	-4.38	108.53	108.62	92	o98y	
j25g	69.73	-29.89	83.06	88.28	110	y34l	
j50g	57.03	-48.31	63.49	79.78	127	y69l	
j75g	47.73	-60.33	42.64	73.88	145	l03c	
g00b	50.59	-49.08	15.74	51.54	162	i23c	
g25b	52.97	-39.7	-6.72	40.27	190	i55c	
g50b	54.85	-32.33	-24.35	40.48	217	i87c	
g75b	49.92	-17.29	-36.02	39.96	244	c20v	
b00r	40.91	1.28	-42.35	42.37	272	c53v	
b25r	26.81	30.38	-52.26	60.45	300	c87v	
b50r	32.52	69.06	-42.14	80.9	329	v68m	
b75r	39.48	71.47	-3.69	71.57	357	m34o	



Ein und Ausgabe: Farbmimetrisches Drucker-Reflektiv-System FRS12_95a, $L^*=12_95$ für relativen CIELAB-Bunton $h^* = lab^*h^* = h_{ab}/360 = 0.164$ $u^*_e = r50j$

Daten für jede Farbe:

lab^*tch^* und lab^*icu^*

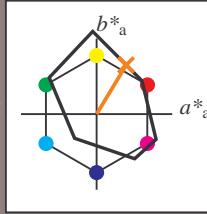
Buntontexte:

$u^*_e = r50j$ $u^*_d = o40y$

Kontrastreduzierungsfaktor:

$c_R = 1.0$

Dreiecks-Helligkeit t^*



FRS12_95a; CIELAB-Daten

	u^*_e	$L^*=L^*$	a^*	b^*	C^*_{ab}	h^*_{ab}
O _M	38.06	60.53	36.66	70.77	31	
Y _M	86.77	-4.5	100.15	100.25	93	
L _M	47.13	-62.11	40.56	74.18	147	
C _M	55.66	-28.56	-39.99	49.14	234	
V _M	17.15	50.78	-65.6	82.96	308	
M _M	40.37	79.18	-40.93	89.13	333	
N _M	11.58	0.46	-6.35	6.37	274	
W _M	95.02	0.69	-9.48	9.51	274	
R _M	39.92	58.74	27.99	65.07	25	
J _M	81.26	-2.89	71.56	71.62	92	
G _M	52.23	-42.42	13.6	44.55	162	
B _M	30.57	1.41	-46.47	46.49	272	

Daten für Maximalfarbe (Ma):

$LAB^*LAB^*_{Ma}: 54\ 39\ 65$

$LAB^*LCH^*_{Ma}: 54\ 76\ 58$

$lab^*rgb^*_{Ma}: 1.0\ 0.5\ 0.0$

$lab^*olv^*_{Ma}: 1.0\ 0.4\ 0.0$

Dreiecks-Helligkeit t^*

%Umfang

$u^*_{rel} = 109$

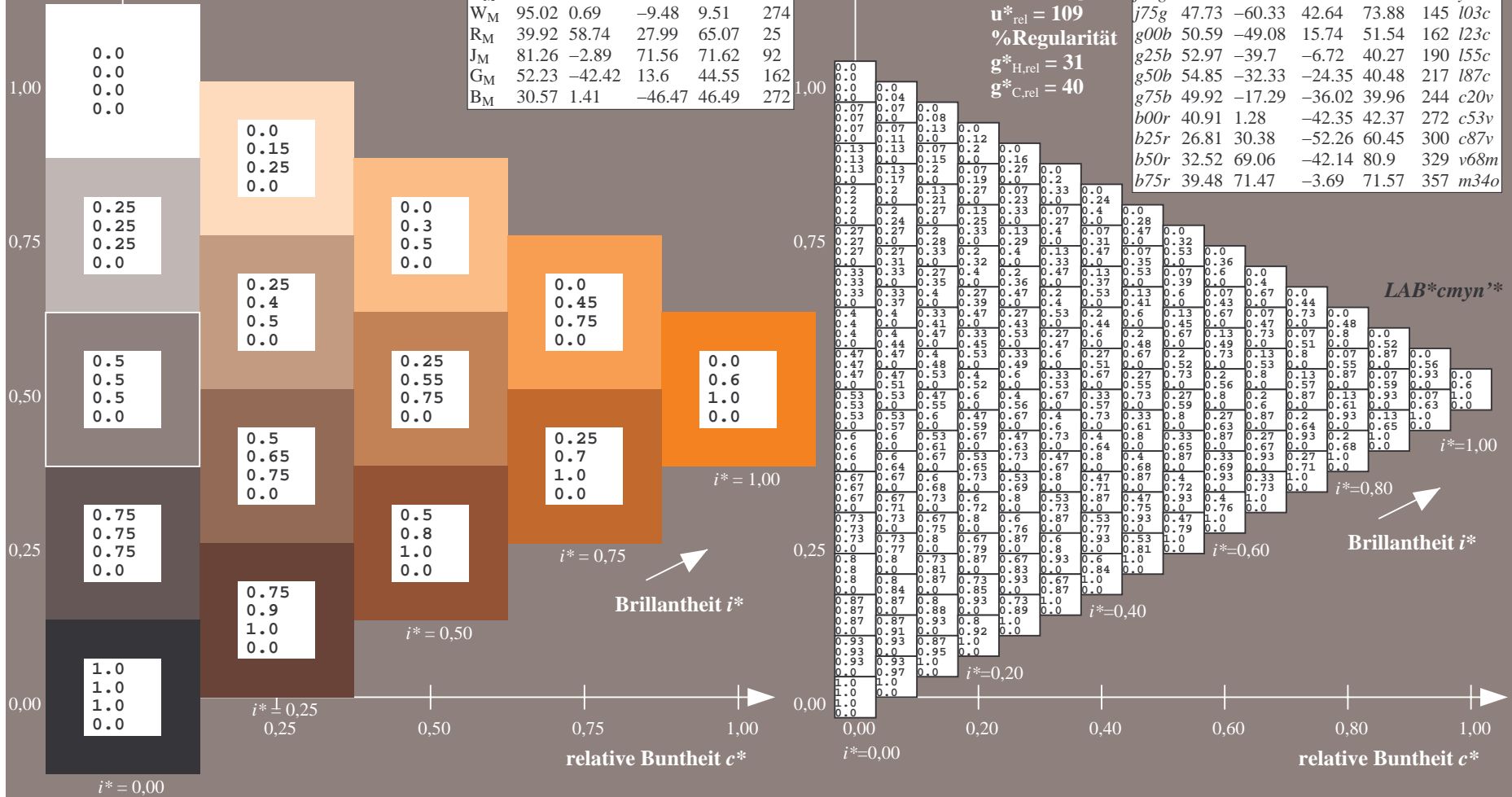
%Regularität

$g^*_{H,rel} = 31$

$g^*_{C,rel} = 40$

FRS12_95a; adaptierte CIELAB-Daten

	u^*_e	$L^*=L^*_a$	a^*_a	b^*_a	$C^*_{ab,a}$	$h^*_{ab,a}$	u^*_d
r00j	38.47	63.32	30.17	70.15	25	m81o	
r25j	42.12	54.56	49.45	73.64	42	o10y	
r50j	53.64	39.15	64.89	75.79	59	o40y	
r75j	67.01	21.26	82.83	85.52	76	o69y	
j00g	86.18	-4.38	108.53	108.62	92	o98y	
j25g	69.73	-29.89	83.06	88.28	110	y34l	
j50g	57.03	-48.31	63.49	79.78	127	y69l	
j75g	47.73	-60.33	42.64	73.88	145	i03c	
g00b	50.59	-49.08	15.74	51.54	162	l23c	
g25b	52.97	-39.7	-6.72	40.27	190	i55c	
g50b	54.85	-32.33	-24.35	40.48	217	i87c	
g75b	49.92	-17.29	-36.02	39.96	244	c20v	
b00r	40.91	1.28	-42.35	42.37	272	c53v	
b25r	26.81	30.38	-52.26	60.45	300	c87v	
b50r	32.52	69.06	-42.14	80.9	329	v68m	
b75r	39.48	71.47	-3.69	71.57	357	m34o	



Fg640-7A, Seite 184/198

Ein und Ausgabe: Farbmatisches Drucker-Reflektiv-System FRS12_95a, $L^*=12_95$ für relativen CIELAB-Bunton $h^* = lab^*h^* = h_{ab}/360 = 0.21$ $u^*_e = r75j$

Daten für jede Farbe:

lab^*ch^* und lab^*icu^*

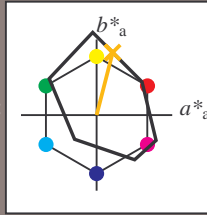
Buntontexte:

$u^*_e = r75j$ $u^*_d = o69y$

Kontrastreduzierungsfaktor:

$c_R = 1.0$

Dreiecks-Helligkeit t^*



FRS12_95a; CIELAB-Daten

	u^*_e	$L^*=L^*$	a^*	b^*	C^*_{ab}	h^*_{ab}
O _M	38.06	60.53	36.66	70.77	31	
Y _M	86.77	-4.5	100.15	100.25	93	
L _M	47.13	-62.11	40.56	74.18	147	
C _M	55.66	-28.56	-39.99	49.14	234	
V _M	17.15	50.78	-65.6	82.96	308	
M _M	40.37	79.18	-40.93	89.13	333	
N _M	11.58	0.46	-6.35	6.37	274	
W _M	95.02	0.69	-9.48	9.51	274	
R _M	39.92	58.74	27.99	65.07	25	
J _M	81.26	-2.89	71.56	71.62	92	
G _M	52.23	-42.42	13.6	44.55	162	
B _M	30.57	1.41	-46.47	46.49	272	

Daten für Maximalfarbe (Ma):

$LAB^*LAB^*_{Ma}$: 67 21 83

$LAB^*LCH^*_{Ma}$: 67 86 75

$lab^*rgb^*_{Ma}$: 1.0 0.75 0.0

$lab^*olv^*_{Ma}$: 1.0 0.7 0.0

Dreiecks-Helligkeit t^*

%Umfang

$u^*_{rel} = 109$

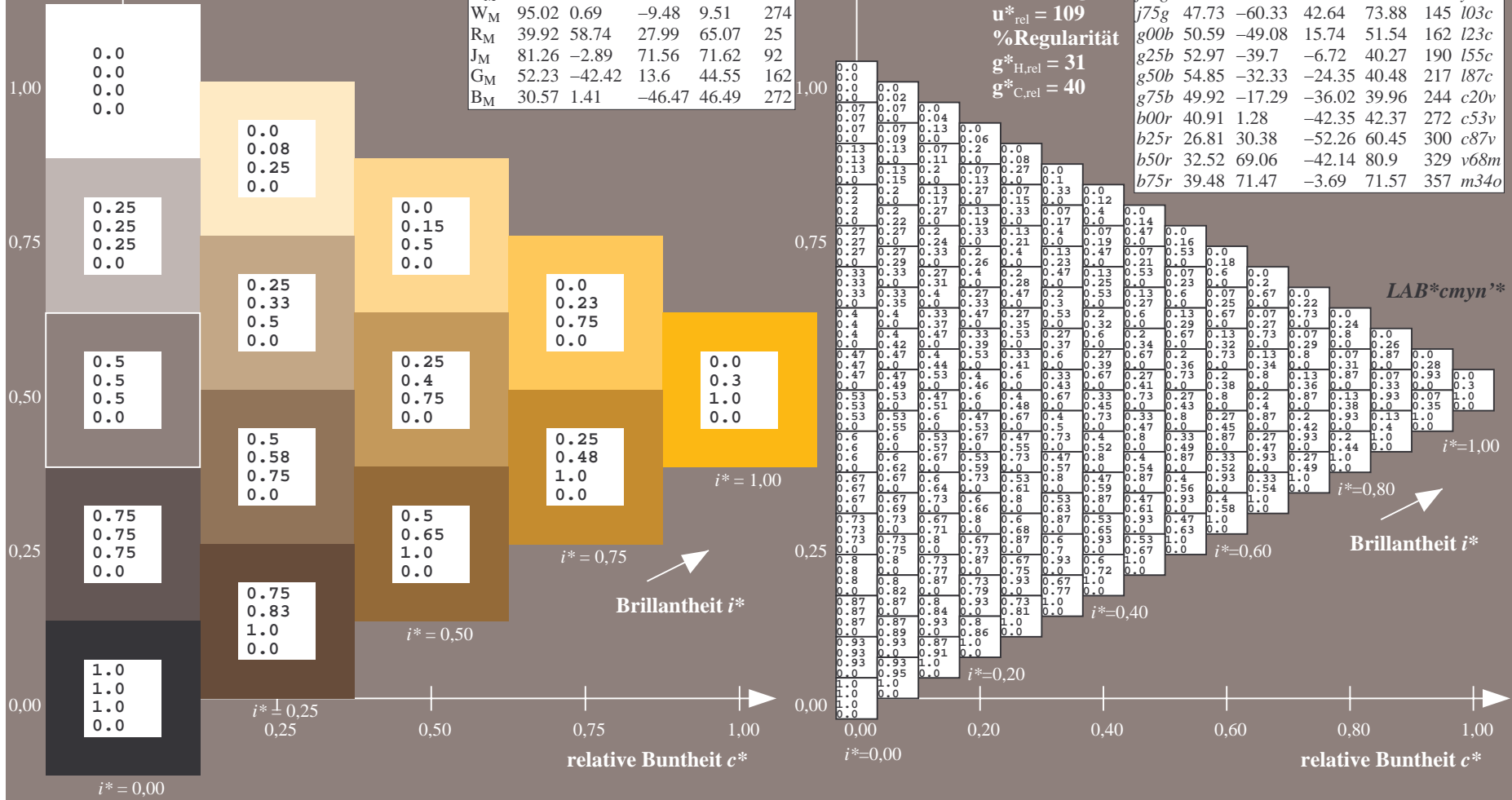
%Regularität

$g^*_{H,rel} = 31$

$g^*_{C,rel} = 40$

FRS12_95a; adaptierte CIELAB-Daten

	u^*_e	$L^*=L^*_a$	a^*_a	b^*_a	$C^*_{ab,a}$	$h^*_{ab,a}$	u^*_d
r00j	38.47	63.32	30.17	70.15	25	m81o	
r25j	42.12	54.56	49.45	73.64	42	o10y	
r50j	53.64	39.15	64.89	75.79	59	o40y	
r75j	67.01	21.26	82.83	85.52	76	o69y	
j00g	86.18	-4.38	108.53	108.62	92	o98y	
j25g	69.73	-29.89	83.06	88.28	110	y34l	
j50g	57.03	-48.31	63.49	79.78	127	y69l	
j75g	47.73	-60.33	42.64	73.88	145	l03c	
g00b	50.59	-49.08	15.74	51.54	162	l23c	
g25b	52.97	-39.7	-6.72	40.27	190	l55c	
g50b	54.85	-32.33	-24.35	40.48	217	l87c	
g75b	49.92	-17.29	-36.02	39.96	244	c20v	
b00r	40.91	1.28	-42.35	42.37	272	c53v	
b25r	26.81	30.38	-52.26	60.45	300	c87v	
b50r	32.52	69.06	-42.14	80.9	329	v68m	
b75r	39.48	71.47	-3.69	71.57	357	m34o	



Ein und Ausgabe: Farbmatisches Drucker-Reflektiv-System FRS12_95a, $L^*=12_95$ für relativen CIELAB-Bunton $h^* = lab^*h^* = h_{ab}/360 = 0.256$ $u^*_e = j00g$

Daten für jede Farbe:

lab^*tch^* und lab^*icu^*

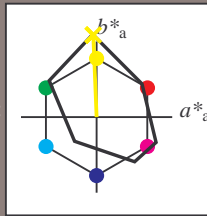
Buntontexte:

$u^*_e = j00g$ $u^*_d = o98y$

Kontrastreduzierungsfaktor:

$c_R = 1.0$

Dreiecks-Helligkeit t^*



FRS12_95a; CIELAB-Daten

	u^*_e	$L^*=L^*$	a^*	b^*	C^*_{ab}	h^*_{ab}
O _M	38.06	60.53	36.66	70.77	31	
Y _M	86.77	-4.5	100.15	100.25	93	
L _M	47.13	-62.11	40.56	74.18	147	
C _M	55.66	-28.56	-39.99	49.14	234	
V _M	17.15	50.78	-65.6	82.96	308	
M _M	40.37	79.18	-40.93	89.13	333	
N _M	11.58	0.46	-6.35	6.37	274	
W _M	95.02	0.69	-9.48	9.51	274	
R _M	39.92	58.74	27.99	65.07	25	
J _M	81.26	-2.89	71.56	71.62	92	
G _M	52.23	-42.42	13.6	44.55	162	
B _M	30.57	1.41	-46.47	46.49	272	

Daten für Maximalfarbe (Ma):

$LAB^*LAB^*_{Ma}$: 86 -4 109

$LAB^*LCH^*_{Ma}$: 86 109 92

$lab^*rgb^*_{Ma}$: 1.0 1.0 0.0

$lab^*olv^*_{Ma}$: 1.0 0.99 0.0

Dreiecks-Helligkeit t^*

%Umfang

$u^*_{rel} = 109$

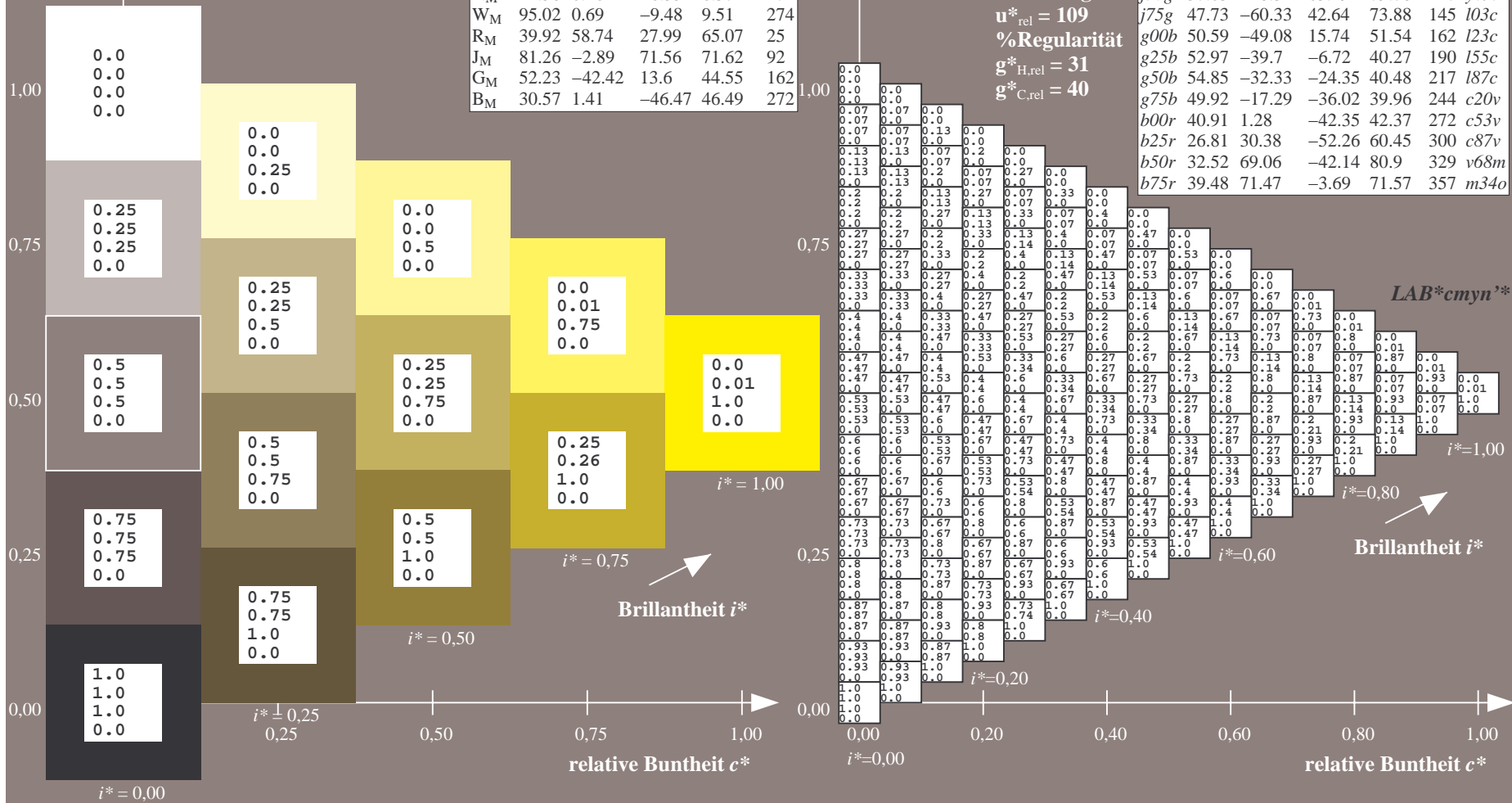
%Regularität

$g^*_{H,rel} = 31$

$g^*_{C,rel} = 40$

FRS12_95a; adaptierte CIELAB-Daten

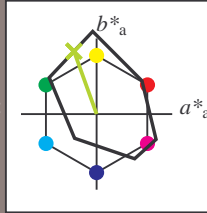
	u^*_e	$L^*=L^*_a$	a^*_a	b^*_a	$C^*_{ab,a}$	$h^*_{ab,a}$	u^*_d
r00j	38.47	63.32	30.17	70.15	25	m81o	
r25j	42.12	54.56	49.45	73.64	42	o10y	
r50j	53.64	39.15	64.89	75.79	59	o40y	
r75j	67.01	21.26	82.83	85.52	76	o69y	
j00g	86.18	-4.38	108.53	108.62	92	o98y	
j25g	69.73	-29.89	83.06	88.28	110	y34l	
j50g	57.03	-48.31	63.49	79.78	127	y69l	
j75g	47.73	-60.33	42.64	73.88	145	i03c	
g00b	50.59	-49.08	15.74	51.54	162	i23c	
g25b	52.97	-39.7	-6.72	40.27	190	i55c	
g50b	54.85	-32.33	-24.35	40.48	217	i87c	
g75b	49.92	-17.29	-36.02	39.96	244	c20v	
b00r	40.91	1.28	-42.35	42.37	272	c53v	
b25r	26.81	30.38	-52.26	60.45	300	c87v	
b50r	32.52	69.06	-42.14	80.9	329	v68m	
b75r	39.48	71.47	-3.69	71.57	357	m34o	



Fg640-7A, Seite 186/198

Ein und Ausgabe: Farbmatisches Drucker-Reflektiv-System FRS12_95a, $L^*=12_95$ für relativen CIELAB-Bunton $h^* = lab^*h^* = h_{ab}/360 = 0.305$ $u^*_e = j25g$
 Daten für jede Farbe: lab^*tch^* und lab^*icu^* LAB^*cmy^n '*

Buntontexte:
 $u^*_e = j25g$ $u^*_d = y34l$
 Kontrastreduzierungsfaktor:
 $c_R = 1.0$
 Dreiecks-Helligkeit t^*



FRS12_95a; CIELAB-Daten

	u^*_e	$L^*=L^*$	a^*	b^*	C^*_{ab}	h^*_{ab}
O _M	38.06	60.53	36.66	70.77	31	
Y _M	86.77	-4.5	100.15	100.25	93	
L _M	47.13	-62.11	40.56	74.18	147	
C _M	55.66	-28.56	-39.99	49.14	234	
V _M	17.15	50.78	-65.6	82.96	308	
M _M	40.37	79.18	-40.93	89.13	333	
N _M	11.58	0.46	-6.35	6.37	274	
W _M	95.02	0.69	-9.48	9.51	274	
R _M	39.92	58.74	27.99	65.07	25	
J _M	81.26	-2.89	71.56	71.62	92	
G _M	52.23	-42.42	13.6	44.55	162	
B _M	30.57	1.41	-46.47	46.49	272	

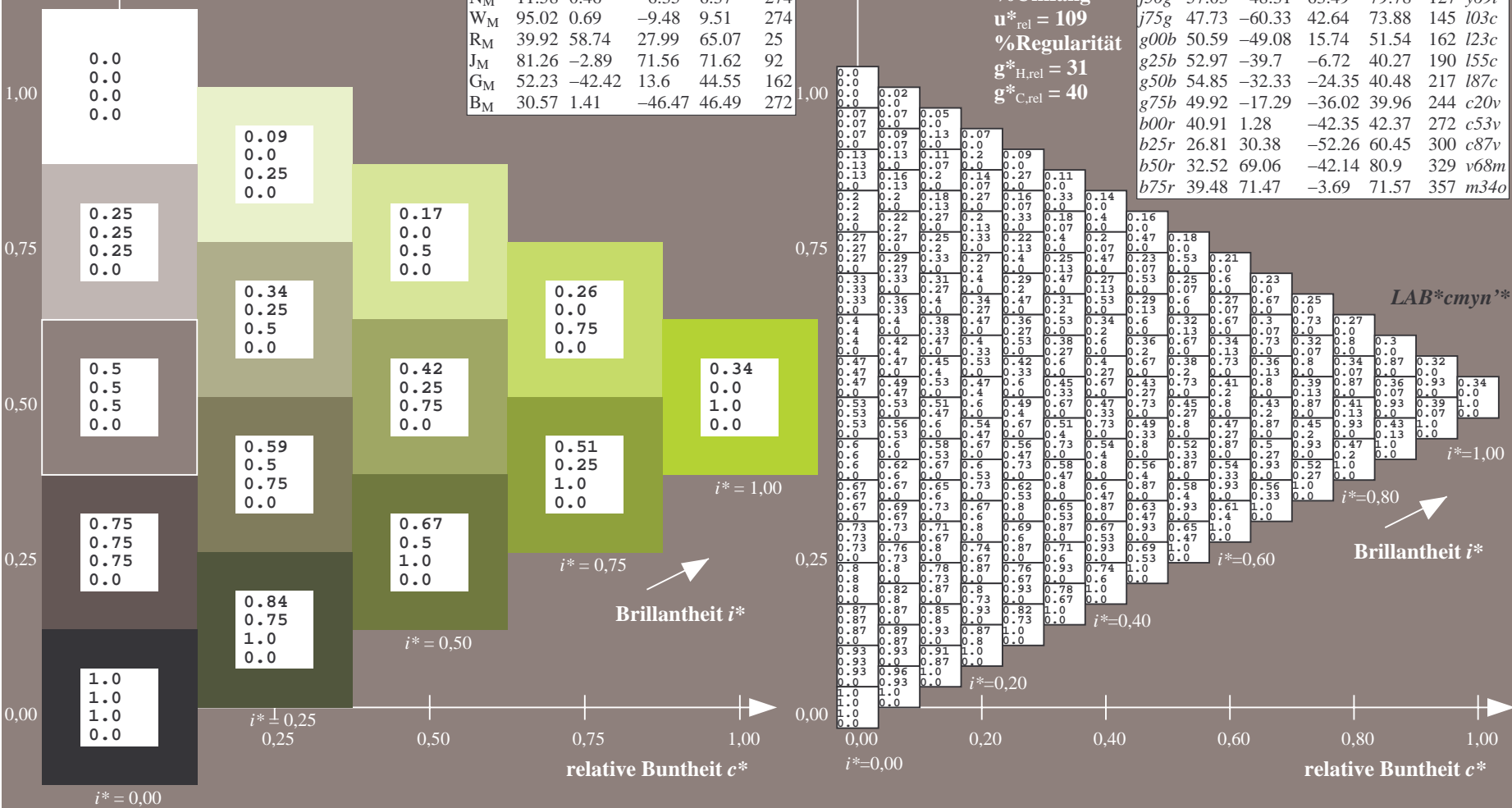
Daten für Maximalfarbe (Ma):

$LAB^*LAB^*_{Ma}: 70 -30 83$
 $LAB^*LCH^*_{Ma}: 70 88 109$
 $lab^*rgb^*_{Ma}: 0.75 1.0 0.0$
 $lab^*olv^*_{Ma}: 0.66 1.0 0.0$

Dreiecks-Helligkeit t^*
 %Umfang
 $u^*_{rel} = 109$
 %Regularität
 $g^*_{H,rel} = 31$
 $g^*_{C,rel} = 40$

FRS12_95a; adaptierte CIELAB-Daten

	u^*_e	$L^*=L^*_a$	a^*_a	b^*_a	$C^*_{ab,a}$	$h^*_{ab,a}$	u^*_d
r00j	38.47	63.32	30.17	70.15	25	m81o	
r25j	42.12	54.56	49.45	73.64	42	o10y	
r50j	53.64	39.15	64.89	75.79	59	o40y	
r75j	67.01	21.26	82.83	85.52	76	o69y	
j00g	86.18	-4.38	108.53	108.62	92	o98y	
j25g	69.73	-29.89	83.06	88.28	110	y34l	
j50g	57.03	-48.31	63.49	79.78	127	y69l	
j75g	47.73	-60.33	42.64	73.88	145	i03c	
g00b	50.59	-49.08	15.74	51.54	162	l23c	
g25b	52.97	-39.7	-6.72	40.27	190	i55c	
g50b	54.85	-32.33	-24.35	40.48	217	i87c	
g75b	49.92	-17.29	-36.02	39.96	244	c20v	
b00r	40.91	1.28	-42.35	42.37	272	c53v	
b25r	26.81	30.38	-52.26	60.45	300	c87v	
b50r	32.52	69.06	-42.14	80.9	329	v68m	
b75r	39.48	71.47	-3.69	71.57	357	m34o	



Ein und Ausgabe: Farbmatisches Drucker-Reflektiv-System FRS12_95a, $L^*=12_95$ für relativen CIELAB-Bunton $h^* = lab^*h^* = h_{ab}/360 = 0.354$ $u^*_e = j50g$

Daten für jede Farbe:

lab^*tch^* und lab^*icu^*

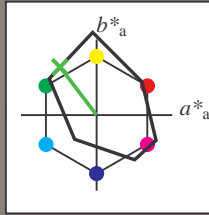
Buntontexte:

$u^*_e = j50g$ $u^*_d = y69l$

Kontrastreduzierungsfaktor:

$c_R = 1.0$

Dreiecks-Helligkeit t^*



FRS12_95a; CIELAB-Daten						
u^*_e	$L^*=L^*$	a^*	b^*	C^*_{ab}	h^*_{ab}	
O _M	38.06	60.53	36.66	70.77	31	
Y _M	86.77	-4.5	100.15	100.25	93	
L _M	47.13	-62.11	40.56	74.18	147	
C _M	55.66	-28.56	-39.99	49.14	234	
V _M	17.15	50.78	-65.6	82.96	308	
M _M	40.37	79.18	-40.93	89.13	333	
N _M	11.58	0.46	-6.35	6.37	274	
W _M	95.02	0.69	-9.48	9.51	274	
R _M	39.92	58.74	27.99	65.07	25	
J _M	81.26	-2.89	71.56	71.62	92	
G _M	52.23	-42.42	13.6	44.55	162	
B _M	30.57	1.41	-46.47	46.49	272	

Daten für Maximalfarbe (Ma):

$LAB^*LAB^*_{Ma}: 57 -48 63$

$LAB^*LCH^*_{Ma}: 57 80 127$

$lab^*rgb^*_{Ma}: 0.5 1.0 0.0$

$lab^*olv^*_{Ma}: 0.3 1.0 0.0$

Dreiecks-Helligkeit t^*

%Umfang

$u^*_{rel} = 109$

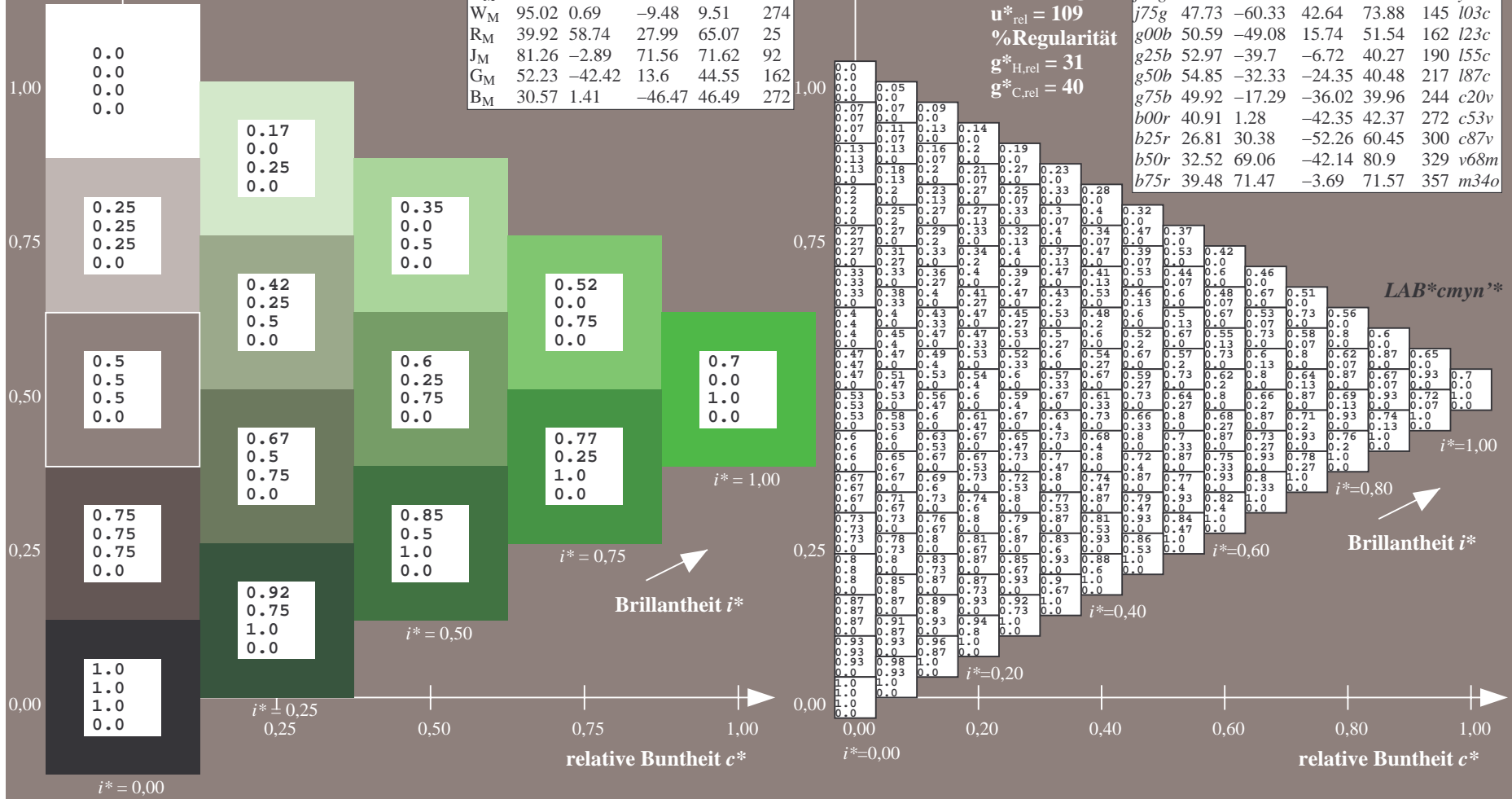
%Regularität

$g^*_{H,rel} = 31$

$g^*_{C,rel} = 40$

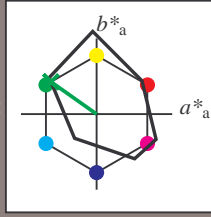
FRS12_95a; adaptierte CIELAB-Daten

u^*_e	$L^*=L^*_a$	a^*_a	b^*_a	$C^*_{ab,a}$	$h^*_{ab,a}$	u^*_d
r00j	38.47	63.32	30.17	70.15	25	m81o
r25j	42.12	54.56	49.45	73.64	42	o10y
r50j	53.64	39.15	64.89	75.79	59	o40y
r75j	67.01	21.26	82.83	85.52	76	o69y
j00g	86.18	-4.38	108.53	108.62	92	o98y
j25g	69.73	-29.89	83.06	88.28	110	y34l
j50g	57.03	-48.31	63.49	79.78	127	y69l
j75g	47.73	-60.33	42.64	73.88	145	i03c
g00b	50.59	-49.08	15.74	51.54	162	l23c
g25b	52.97	-39.7	-6.72	40.27	190	i55c
g50b	54.85	-32.33	-24.35	40.48	217	i87c
g75b	49.92	-17.29	-36.02	39.96	244	c20v
b00r	40.91	1.28	-42.35	42.37	272	c53v
b25r	26.81	30.38	-52.26	60.45	300	c87v
b50r	32.52	69.06	-42.14	80.9	329	v68m
b75r	39.48	71.47	-3.69	71.57	357	m34o



Ein und Ausgabe: Farbmatisches Drucker-Reflektiv-System FRS12_95a, $L^*=12_95$ für relativen CIELAB-Bunton $h^* = lab^*h^* = h_{ab}/360 = 0.402$ $u^*_e = j75g$
 Daten für jede Farbe: lab^*ch^* und lab^*icu^* LAB^*cmyn^*

Buntontexte:
 $u^*_e = j75g$ $u^*_d = l03c$
 Kontrastreduzierungsfaktor:
 $c_R = 1.0$
 Dreiecks-Helligkeit t^*



FRS12_95a; CIELAB-Daten

	u^*_e	$L^*=L^*$	a^*	b^*	C^*_{ab}	h^*_{ab}
O _M	38.06	60.53	36.66	70.77	31	
Y _M	86.77	-4.5	100.15	100.25	93	
L _M	47.13	-62.11	40.56	74.18	147	
C _M	55.66	-28.56	-39.99	49.14	234	
V _M	17.15	50.78	-65.6	82.96	308	
M _M	40.37	79.18	-40.93	89.13	333	
N _M	11.58	0.46	-6.35	6.37	274	
W _M	95.02	0.69	-9.48	9.51	274	
R _M	39.92	58.74	27.99	65.07	25	
J _M	81.26	-2.89	71.56	71.62	92	
G _M	52.23	-42.42	13.6	44.55	162	
B _M	30.57	1.41	-46.47	46.49	272	

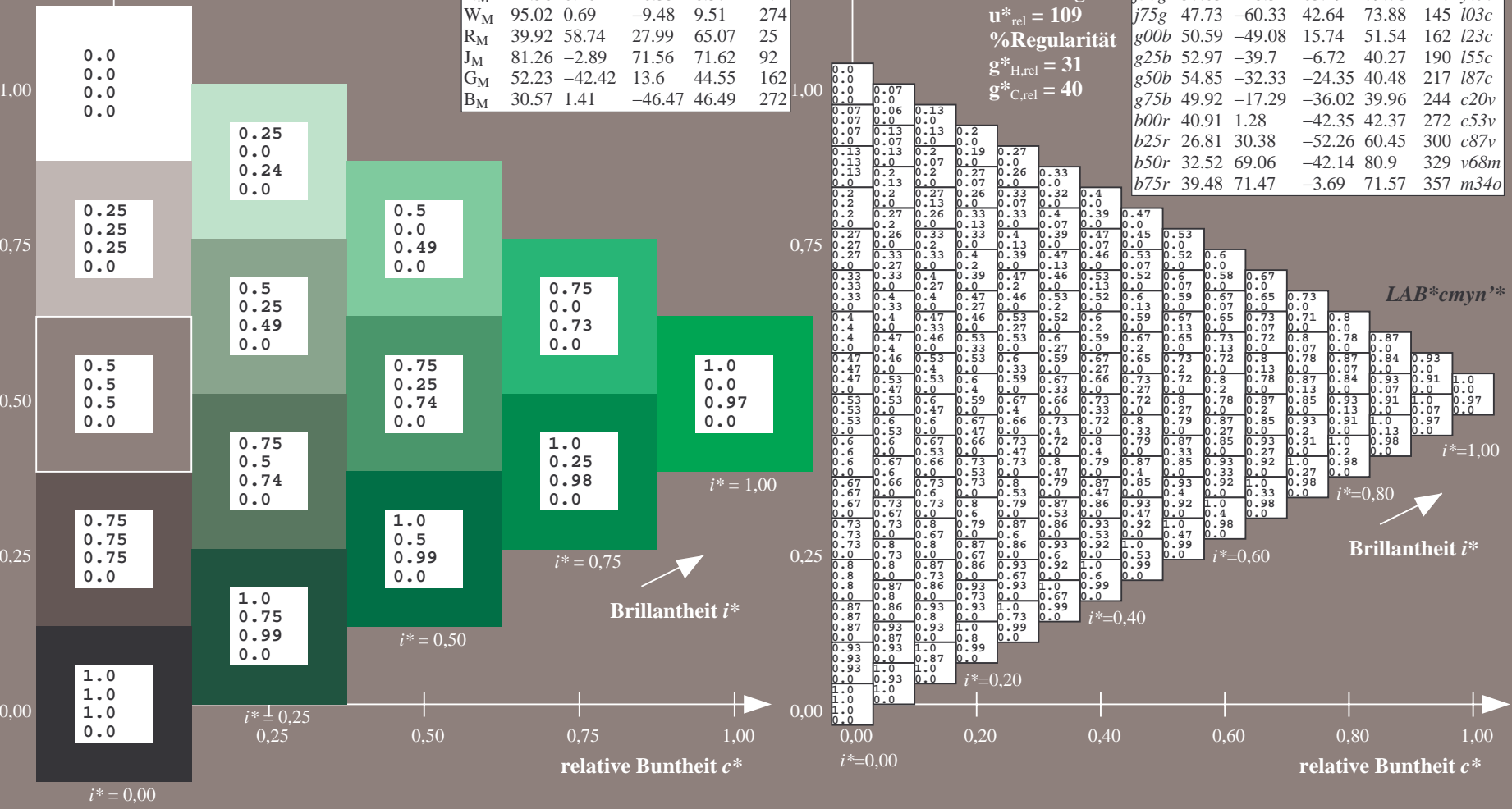
Daten für Maximalfarbe (Ma):

$LAB^*LAB^*_{Ma}$: 48 -60 43
 $LAB^*LCH^*_{Ma}$: 48 74 144
 $lab^*rgb^*_{Ma}$: 0.25 1.0 0.0
 $lab^*olv^*_{Ma}$: 0.0 1.0 0.03

Dreiecks-Helligkeit t^*
 %Umfang
 $u^*_{rel} = 109$
 %Regularität
 $g^*_{H,rel} = 31$
 $g^*_{C,rel} = 40$

FRS12_95a; adaptierte CIELAB-Daten

	u^*_e	$L^*=L^*_a$	a^*_a	b^*_a	$C^*_{ab,a}$	$h^*_{ab,a}$	u^*_d
r00j	38.47	63.32	30.17	70.15	25	m81o	
r25j	42.12	54.56	49.45	73.64	42	o10y	
r50j	53.64	39.15	64.89	75.79	59	o40y	
r75j	67.01	21.26	82.83	85.52	76	o69y	
j00g	86.18	-4.38	108.53	108.62	92	o98y	
j25g	69.73	-29.89	83.06	88.28	110	y34l	
j50g	57.03	-48.31	63.49	79.78	127	y69l	
j75g	47.73	-60.33	42.64	73.88	145	l03c	
g00b	50.59	-49.08	15.74	51.54	162	l23c	
g25b	52.97	-39.7	-6.72	40.27	190	l55c	
g50b	54.85	-32.33	-24.35	40.48	217	l87c	
g75b	49.92	-17.29	-36.02	39.96	244	c20v	
b00r	40.91	1.28	-42.35	42.37	272	c53v	
b25r	26.81	30.38	-52.26	60.45	300	c87v	
b50r	32.52	69.06	-42.14	80.9	329	v68m	
b75r	39.48	71.47	-3.69	71.57	357	m34o	



Fg640-7A, Seite 189/198

Ein und Ausgabe: Farbmatisches Drucker-Reflektiv-System FRS12_95a, $L^*=12_95$ für relativen CIELAB-Bunton $h^* = lab^*h^* = h_{ab}/360 = 0.451$ $u^*_e = g00b$

Daten für jede Farbe:

lab^*tch^* und lab^*icu^*

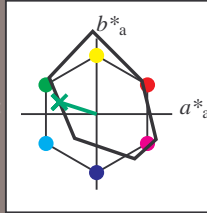
Buntontexte:

$u^*_e = g00b$ $u^*_d = l23c$

Kontrastreduzierungsfaktor:

$c_R = 1.0$

Dreiecks-Helligkeit t^*



FRS12_95a; CIELAB-Daten						
	u^*_e	$L^*=L^*$	a^*	b^*	C^*_{ab}	h^*_{ab}
O _M	38.06	60.53	36.66	70.77	31	
Y _M	86.77	-4.5	100.15	100.25	93	
L _M	47.13	-62.11	40.56	74.18	147	
C _M	55.66	-28.56	-39.99	49.14	234	
V _M	17.15	50.78	-65.6	82.96	308	
M _M	40.37	79.18	-40.93	89.13	333	
N _M	11.58	0.46	-6.35	6.37	274	
W _M	95.02	0.69	-9.48	9.51	274	
R _M	39.92	58.74	27.99	65.07	25	
J _M	81.26	-2.89	71.56	71.62	92	
G _M	52.23	-42.42	13.6	44.55	162	
B _M	30.57	1.41	-46.47	46.49	272	

Daten für Maximalfarbe (Ma):

$LAB^*LAB^*_{Ma}: 51 -49 16$

$LAB^*LCH^*_{Ma}: 51 52 162$

$lab^*rgb^*_{Ma}: 0.0 1.0 0.0$

$lab^*olv^*_{Ma}: 0.0 1.0 0.23$

Dreiecks-Helligkeit t^*

%Umfang

$u^*_{rel} = 109$

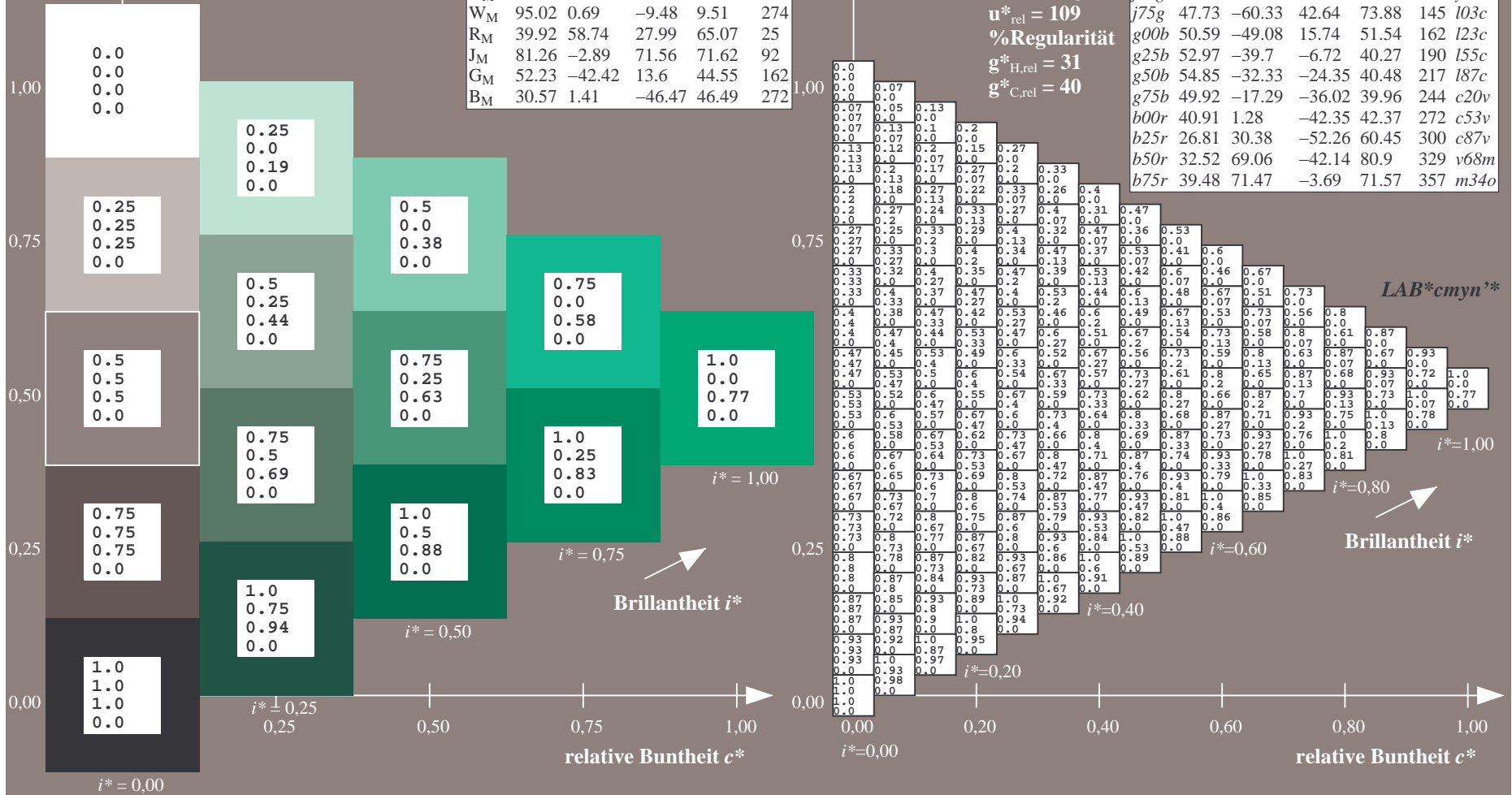
%Regularität

$g^*_{H,rel} = 31$

$g^*_{C,rel} = 40$

FRS12_95a; adaptierte CIELAB-Daten

	u^*_e	$L^*=L^*_a$	a^*_a	b^*_a	$C^*_{ab,a}$	$h^*_{ab,a}$	u^*_d
r00j	38.47	63.32	30.17	70.15	25	m81o	
r25j	42.12	54.56	49.45	73.64	42	o10y	
r50j	53.64	39.15	64.89	75.79	59	o40y	
r75j	67.01	21.26	82.83	85.52	76	o69y	
j00g	86.18	-4.38	108.53	108.62	92	o98y	
j25g	69.73	-29.89	83.06	88.28	110	y34l	
j50g	57.03	-48.31	63.49	79.78	127	y69l	
j75g	47.73	-60.33	42.64	73.88	145	l03c	
g00b	50.59	-49.08	15.74	51.54	162	l23c	
g25b	52.97	-39.7	-6.72	40.27	190	l55c	
g50b	54.85	-32.33	-24.35	40.48	217	l87c	
g75b	49.92	-17.29	-36.02	39.96	244	c20v	
b00r	40.91	1.28	-42.35	42.37	272	c53v	
b25r	26.81	30.38	-52.26	60.45	300	c87v	
b50r	32.52	69.06	-42.14	80.9	329	v68m	
b75r	39.48	71.47	-3.69	71.57	357	m34o	



Ein und Ausgabe: Farbmatisches Drucker-Reflektiv-System FRS12_95a, $L^*=12_95$ für relativen CIELAB-Bunton $h^* = lab^*h^* = h_{ab}/360 = 0.527$ $u^*_e = g25b$

Daten für jede Farbe:

lab^*tch^* und lab^*icu^*

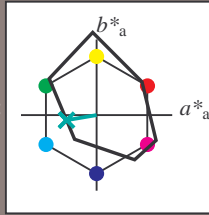
Buntontexte:

$u^*_e = g25b$ $u^*_d = l55c$

Kontrastreduzierungsfaktor:

$c_R = 1.0$

Dreiecks-Helligkeit t^*



FRS12_95a; CIELAB-Daten

	u^*_e	$L^*=L^*$	a^*	b^*	C^*_{ab}	h^*_{ab}
O _M	38.06	60.53	36.66	70.77	31	
Y _M	86.77	-4.5	100.15	100.25	93	
L _M	47.13	-62.11	40.56	74.18	147	
C _M	55.66	-28.56	-39.99	49.14	234	
V _M	17.15	50.78	-65.6	82.96	308	
M _M	40.37	79.18	-40.93	89.13	333	
N _M	11.58	0.46	-6.35	6.37	274	
W _M	95.02	0.69	-9.48	9.51	274	
R _M	39.92	58.74	27.99	65.07	25	
J _M	81.26	-2.89	71.56	71.62	92	
G _M	52.23	-42.42	13.6	44.55	162	
B _M	30.57	1.41	-46.47	46.49	272	

Daten für Maximalfarbe (Ma):

$LAB^*LAB^*_{Ma}: 53 -40 -7$

$LAB^*LCH^*_{Ma}: 53 40 189$

$lab^*rgb^*_{Ma}: 0.0 1.0 0.5$

$lab^*olv^*_{Ma}: 0.0 1.0 0.55$

Dreiecks-Helligkeit t^*

%Umfang

$u^*_{rel} = 109$

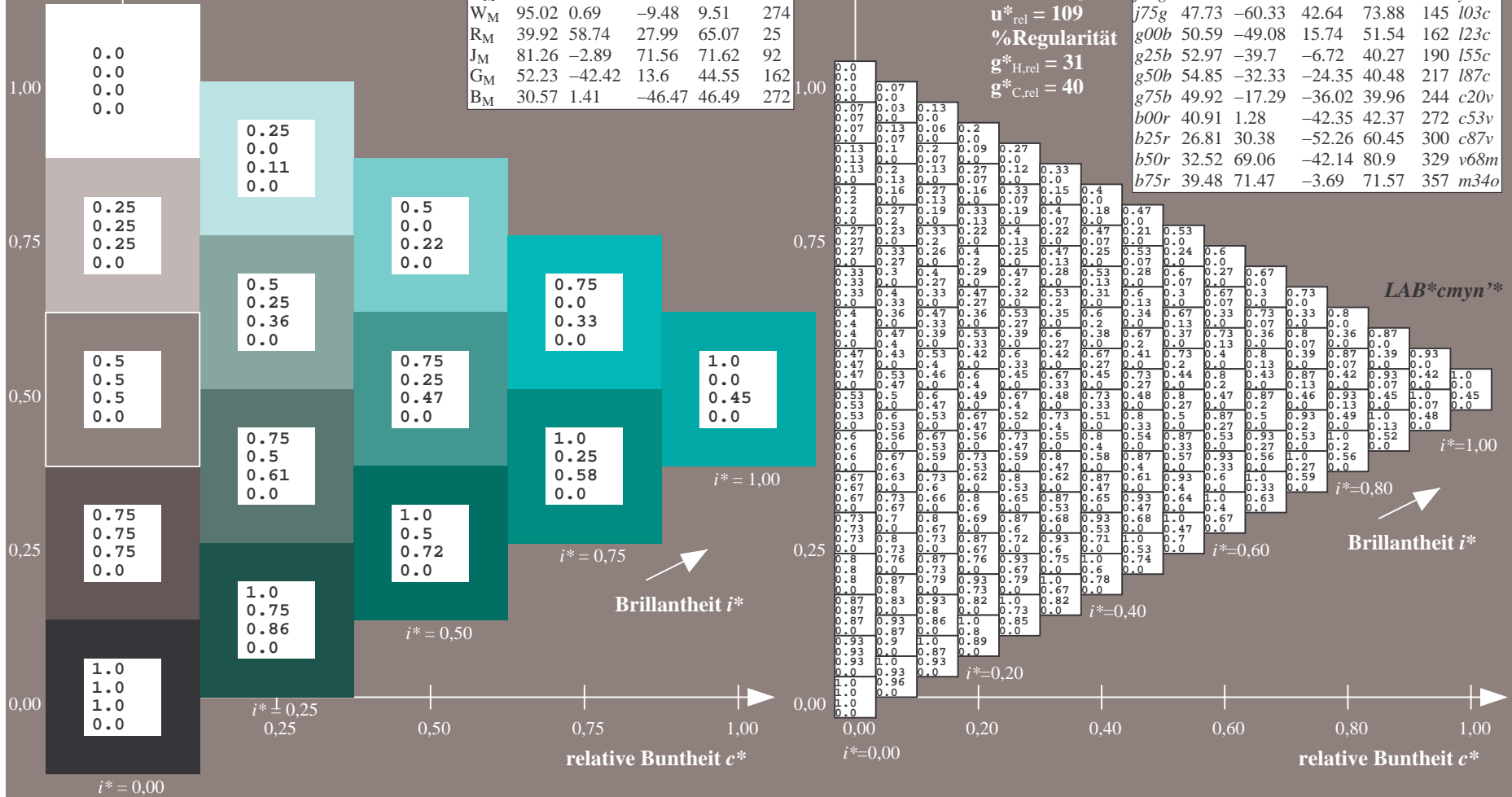
%Regularität

$g^*_{H,rel} = 31$

$g^*_{C,rel} = 40$

FRS12_95a; adaptierte CIELAB-Daten

	u^*_e	$L^*=L^*_a$	a^*_a	b^*_a	$C^*_{ab,a}$	$h^*_{ab,a}$	u^*_d
r00j	38.47	63.32	30.17	70.15	25	m81o	
r25j	42.12	54.56	49.45	73.64	42	o10y	
r50j	53.64	39.15	64.89	75.79	59	o40y	
r75j	67.01	21.26	82.83	85.52	76	o69y	
j00g	86.18	-4.38	108.53	108.62	92	o98y	
j25g	69.73	-29.89	83.06	88.28	110	y34l	
j50g	57.03	-48.31	63.49	79.78	127	y69l	
j75g	47.73	-60.33	42.64	73.88	145	l03c	
g00b	50.59	-49.08	15.74	51.54	162	l23c	
g25b	52.97	-39.7	-6.72	40.27	190	l55c	
g50b	54.85	-32.33	-24.35	40.48	217	l87c	
g75b	49.92	-17.29	-36.02	39.96	244	c20v	
b00r	40.91	1.28	-42.35	42.37	272	c53v	
b25r	26.81	30.38	-52.26	60.45	300	c87v	
b50r	32.52	69.06	-42.14	80.9	329	v68m	
b75r	39.48	71.47	-3.69	71.57	357	m34o	



Ein und Ausgabe: Farbmatisches Drucker-Reflektiv-System FRS12_95a, $L^*=12_95$ für relativen CIELAB-Bunton $h^* = lab^*h^* = h_{ab}/360 = 0.603$ $u^*_e = g50b$

Daten für jede Farbe:

lab^*ch^* und lab^*icu^*

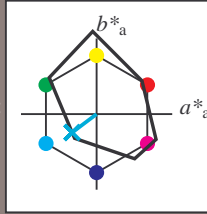
Buntontexte:

$u^*_e = g50b$ $u^*_d = l87c$

Kontrastreduzierungsfaktor:

$c_R = 1.0$

Dreiecks-Helligkeit t^*



FRS12_95a; CIELAB-Daten

	u^*_e	$L^*=L^*$	a^*	b^*	C^*_{ab}	h^*_{ab}
O _M	38.06	60.53	36.66	70.77	31	
Y _M	86.77	-4.5	100.15	100.25	93	
L _M	47.13	-62.11	40.56	74.18	147	
C _M	55.66	-28.56	-39.99	49.14	234	
V _M	17.15	50.78	-65.6	82.96	308	
M _M	40.37	79.18	-40.93	89.13	333	
N _M	11.58	0.46	-6.35	6.37	274	
W _M	95.02	0.69	-9.48	9.51	274	
R _M	39.92	58.74	27.99	65.07	25	
J _M	81.26	-2.89	71.56	71.62	92	
G _M	52.23	-42.42	13.6	44.55	162	
B _M	30.57	1.41	-46.47	46.49	272	

Daten für Maximalfarbe (Ma):

$LAB^*LAB^*_{Ma}: 55 -32 -24$

$LAB^*LCH^*_{Ma}: 55 40 216$

$lab^*rgb^*_{Ma}: 0.0 1.0 1.0$

$lab^*olv^*_{Ma}: 0.0 1.0 0.87$

Dreiecks-Helligkeit t^*

%Umfang

$u^*_{rel} = 109$

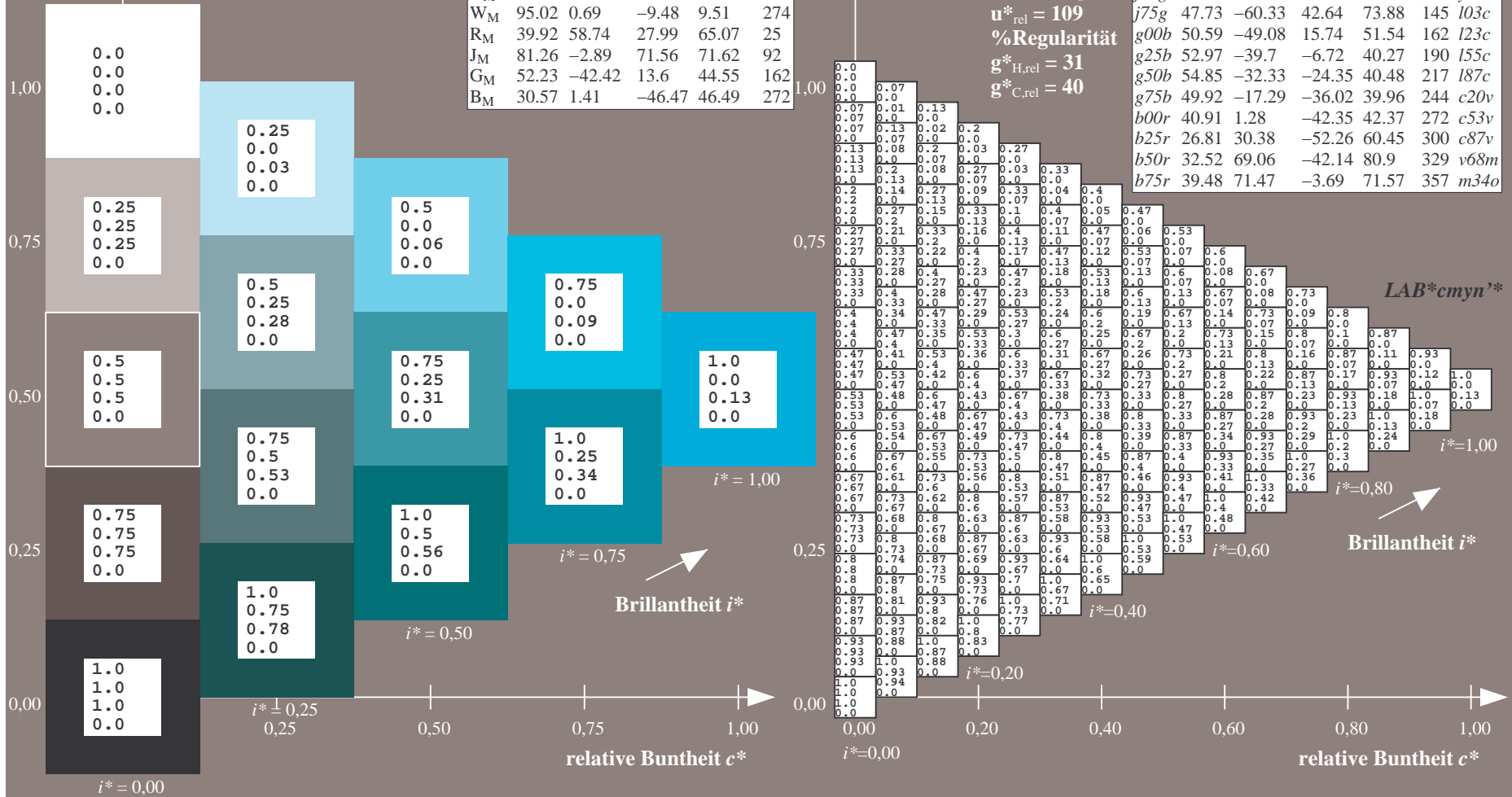
%Regularität

$g^*_{H,rel} = 31$

$g^*_{C,rel} = 40$

FRS12_95a; adaptierte CIELAB-Daten

	u^*_e	$L^*=L^*_a$	a^*_a	b^*_a	$C^*_{ab,a}$	$h^*_{ab,a}$	u^*_d
r00j	38.47	63.32	30.17	70.15	25	m81o	
r25j	42.12	54.56	49.45	73.64	42	o10y	
r50j	53.64	39.15	64.89	75.79	59	o40y	
r75j	67.01	21.26	82.83	85.52	76	o69y	
j00g	86.18	-4.38	108.53	108.62	92	o98y	
j25g	69.73	-29.89	83.06	88.28	110	y34l	
j50g	57.03	-48.31	63.49	79.78	127	y69l	
j75g	47.73	-60.33	42.64	73.88	145	l03c	
g00b	50.59	-49.08	15.74	51.54	162	l23c	
g25b	52.97	-39.7	-6.72	40.27	190	l55c	
g50b	54.85	-32.33	-24.35	40.48	217	l87c	
g75b	49.92	-17.29	-36.02	39.96	244	c20v	
b00r	40.91	1.28	-42.35	42.37	272	c53v	
b25r	26.81	30.38	-52.26	60.45	300	c87v	
b50r	32.52	69.06	-42.14	80.9	329	v68m	
b75r	39.48	71.47	-3.69	71.57	357	m34o	



Ein und Ausgabe: Farbmatisches Drucker-Reflektiv-System FRS12_95a, $L^*=12_95$ für relativen CIELAB-Bunton $h^* = lab^*h^* = h_{ab}/360 = 0.679$ $u^*_e = g75b$

Daten für jede Farbe:

lab^*tch^* und lab^*icu^*

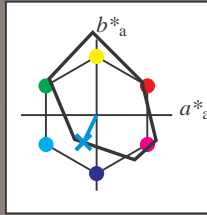
Buntontexte:

$u^*_e = g75b$ $u^*_d = c20v$

Kontrastreduzierungsfaktor:

$c_R = 1.0$

Dreiecks-Helligkeit t^*



FRS12_95a; CIELAB-Daten

	u^*_e	$L^*=L^*$	a^*	b^*	C^*_{ab}	h^*_{ab}
O_M	38.06	60.53	36.66	70.77	31	
Y_M	86.77	-4.5	100.15	100.25	93	
L_M	47.13	-62.11	40.56	74.18	147	
C_M	55.66	-28.56	-39.99	49.14	234	
V_M	17.15	50.78	-65.6	82.96	308	
M_M	40.37	79.18	-40.93	89.13	333	
N_M	11.58	0.46	-6.35	6.37	274	
W_M	95.02	0.69	-9.48	9.51	274	
R_M	39.92	58.74	27.99	65.07	25	
J_M	81.26	-2.89	71.56	71.62	92	
G_M	52.23	-42.42	13.6	44.55	162	
B_M	30.57	1.41	-46.47	46.49	272	

Daten für Maximalfarbe (Ma):

$LAB^*LAB^*_{Ma}: 50 -17 -36$

$LAB^*LCH^*_{Ma}: 50 40 244$

$lab^*rgb^*_{Ma}: 0.0 0.5 1.0$

$lab^*olv^*_{Ma}: 0.0 0.8 1.0$

Dreiecks-Helligkeit t^*

%Umfang

$u^*_{rel} = 109$

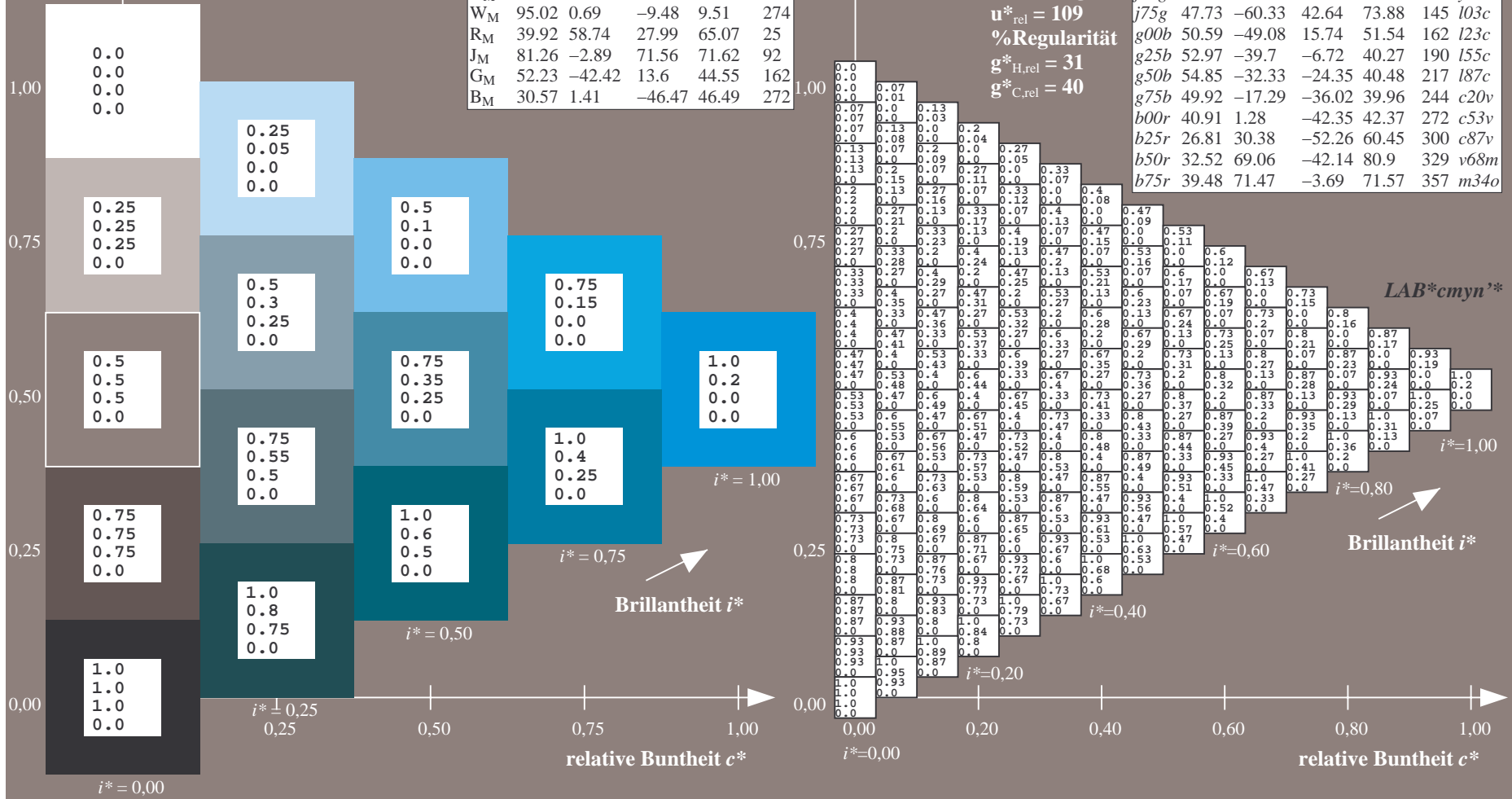
%Regularität

$g^*_{H,rel} = 31$

$g^*_{C,rel} = 40$

FRS12_95a; adaptierte CIELAB-Daten

	u^*_e	$L^*=L^*_a$	a^*_a	b^*_a	$C^*_{ab,a}$	$h^*_{ab,a}$	u^*_d
$r00j$	38.47	63.32	30.17	70.15	25	$m81o$	
$r25j$	42.12	54.56	49.45	73.64	42	$o10y$	
$r50j$	53.64	39.15	64.89	75.79	59	$o40y$	
$r75j$	67.01	21.26	82.83	85.52	76	$o69y$	
$j00g$	86.18	-4.38	108.53	108.62	92	$o98y$	
$j25g$	69.73	-29.89	83.06	88.28	110	$y34l$	
$j50g$	57.03	-48.31	63.49	79.78	127	$y69l$	
$j75g$	47.73	-60.33	42.64	73.88	145	$l03c$	
$g00b$	50.59	-49.08	15.74	51.54	162	$l23c$	
$g25b$	52.97	-39.7	-6.72	40.27	190	$l55c$	
$g50b$	54.85	-32.33	-24.35	40.48	217	$l87c$	
$g75b$	49.92	-17.29	-36.02	39.96	244	$c20v$	
$b00r$	40.91	1.28	-42.35	42.37	272	$c53v$	
$b25r$	26.81	30.38	-52.26	60.45	300	$c87v$	
$b50r$	32.52	69.06	-42.14	80.9	329	$v68m$	
$b75r$	39.48	71.47	-3.69	71.57	357	$m34o$	



Ein und Ausgabe: Farbmatisches Drucker-Reflektiv-System FRS12_95a, $L^*=12_95$ für relativen CIELAB-Bunton $h^* = lab^*h^* = h_{ab}/360 = 0.755$ $u^*_e = b00r$

Daten für jede Farbe:

lab^*tch^* und lab^*icu^*

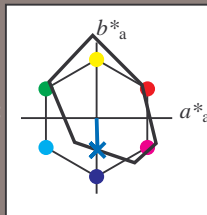
Buntontexte:

$u^*_e = b00r$ $u^*_d = c53v$

Kontrastreduzierungsfaktor:

$c_R = 1.0$

Dreiecks-Helligkeit t^*



FRS12_95a; CIELAB-Daten						
	u^*_e	$L^*=L^*$	a^*	b^*	C^*_{ab}	h^*_{ab}
O _M	38.06	60.53	36.66	70.77	31	
Y _M	86.77	-4.5	100.15	100.25	93	
L _M	47.13	-62.11	40.56	74.18	147	
C _M	55.66	-28.56	-39.99	49.14	234	
V _M	17.15	50.78	-65.6	82.96	308	
M _M	40.37	79.18	-40.93	89.13	333	
N _M	11.58	0.46	-6.35	6.37	274	
W _M	95.02	0.69	-9.48	9.51	274	
R _M	39.92	58.74	27.99	65.07	25	
J _M	81.26	-2.89	71.56	71.62	92	
G _M	52.23	-42.42	13.6	44.55	162	
B _M	30.57	1.41	-46.47	46.49	272	

Daten für Maximalfarbe (Ma):

$LAB^*LAB^*_{Ma}: 41 \ 1 \ -42$

$LAB^*LCH^*_{Ma}: 41 \ 42 \ 271$

$lab^*rgb^*_{Ma}: 0.0 \ 0.0 \ 1.0$

$lab^*olv^*_{Ma}: 0.0 \ 0.47 \ 1.0$

Dreiecks-Helligkeit t^*

%Umfang

$u^*_{rel} = 109$

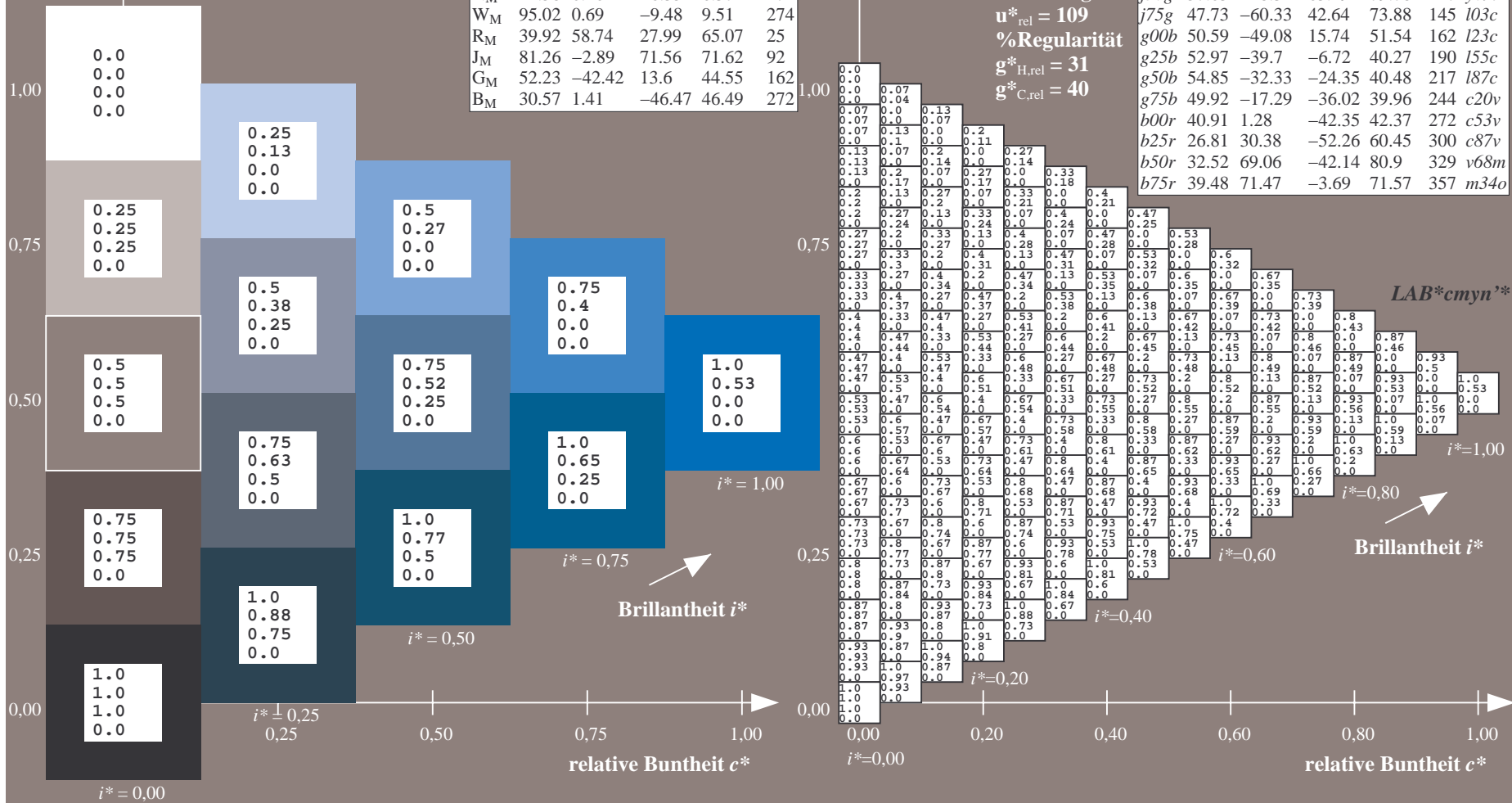
%Regularität

$g^*_{H,rel} = 31$

$g^*_{C,rel} = 40$

FRS12_95a; adaptierte CIELAB-Daten

	u^*_e	$L^*=L^*_a$	a^*_a	b^*_a	$C^*_{ab,a}$	$h^*_{ab,a}$	u^*_d
r00j	38.47	63.32	30.17	70.15	25	m81o	
r25j	42.12	54.56	49.45	73.64	42	o10y	
r50j	53.64	39.15	64.89	75.79	59	o40y	
r75j	67.01	21.26	82.83	85.52	76	o69y	
j00g	86.18	-4.38	108.53	108.62	92	o98y	
j25g	69.73	-29.89	83.06	88.28	110	y34l	
j50g	57.03	-48.31	63.49	79.78	127	y69l	
j75g	47.73	-60.33	42.64	73.88	145	l03c	
g00b	50.59	-49.08	15.74	51.54	162	l23c	
g25b	52.97	-39.7	-6.72	40.27	190	l55c	
g50b	54.85	-32.33	-24.35	40.48	217	l87c	
g75b	49.92	-17.29	-36.02	39.96	244	c20v	
b00r	40.91	1.28	-42.35	42.37	272	c53v	
b25r	26.81	30.38	-52.26	60.45	300	c87v	
b50r	32.52	69.06	-42.14	80.9	329	v68m	
b75r	39.48	71.47	-3.69	71.57	357	m34o	



Ein und Ausgabe: Farbmatisches Drucker-Reflektiv-System FRS12_95a, $L^*=12_95$ für relativen CIELAB-Bunton $h^* = lab^*h^* = h_{ab}/360 = 0.834$ $u^*_e = b25r$

Daten für jede Farbe:

lab^*tch^* und lab^*icu^*

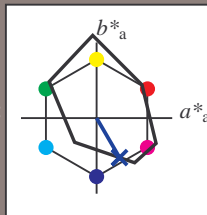
Buntontexte:

$u^*_e = b25r$ $u^*_d = c87v$

Kontrastreduzierungsfaktor:

$c_R = 1.0$

Dreiecks-Helligkeit t^*



FRS12_95a; CIELAB-Daten

	u^*_e	$L^*=L^*$	a^*	b^*	C^*_{ab}	h^*_{ab}
O _M	38.06	60.53	36.66	70.77	31	
Y _M	86.77	-4.5	100.15	100.25	93	
L _M	47.13	-62.11	40.56	74.18	147	
C _M	55.66	-28.56	-39.99	49.14	234	
V _M	17.15	50.78	-65.6	82.96	308	
M _M	40.37	79.18	-40.93	89.13	333	
N _M	11.58	0.46	-6.35	6.37	274	
W _M	95.02	0.69	-9.48	9.51	274	
R _M	39.92	58.74	27.99	65.07	25	
J _M	81.26	-2.89	71.56	71.62	92	
G _M	52.23	-42.42	13.6	44.55	162	
B _M	30.57	1.41	-46.47	46.49	272	

Daten für Maximalfarbe (Ma):

$LAB^*LAB^*_Ma: 27\ 30\ -52$

$LAB^*LCH^*_Ma: 27\ 60\ 300$

$lab^*rgb^*_Ma: 0.5\ 0.0\ 1.0$

$lab^*olv^*_Ma: 0.0\ 0.12\ 1.0$

Dreiecks-Helligkeit t^*

%Umfang

$u^*_{rel} = 109$

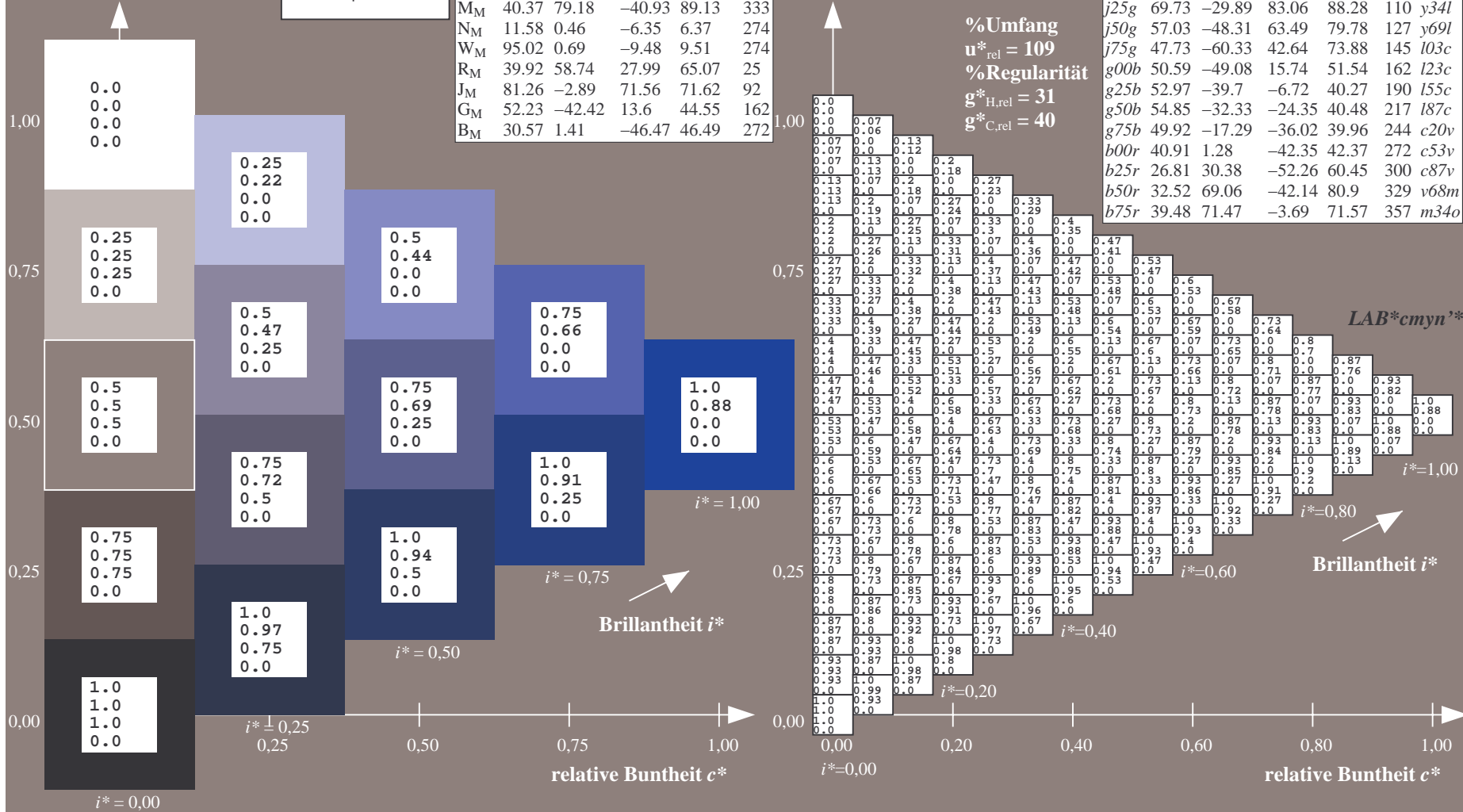
%Regularität

$g^*_{H,rel} = 31$

$g^*_{C,rel} = 40$

FRS12_95a; adaptierte CIELAB-Daten

	u^*_e	$L^*=L^*_a$	a^*_a	b^*_a	$C^*_{ab,a}$	$h^*_{ab,a}$	u^*_d
r00j	38.47	63.32	30.17	70.15	25	m81o	
r25j	42.12	54.56	49.45	73.64	42	o10y	
r50j	53.64	39.15	64.89	75.79	59	o40y	
r75j	67.01	21.26	82.83	85.52	76	o69y	
j00g	86.18	-4.38	108.53	108.62	92	o98y	
j25g	69.73	-29.89	83.06	88.28	110	y34l	
j50g	57.03	-48.31	63.49	79.78	127	y69l	
j75g	47.73	-60.33	42.64	73.88	145	l03c	
g00b	50.59	-49.08	15.74	51.54	162	l23c	
g25b	52.97	-39.7	-6.72	40.27	190	l55c	
g50b	54.85	-32.33	-24.35	40.48	217	l87c	
g75b	49.92	-17.29	-36.02	39.96	244	c20v	
b00r	40.91	1.28	-42.35	42.37	272	c53v	
b25r	26.81	30.38	-52.26	60.45	300	c87v	
b50r	32.52	69.06	-42.14	80.9	329	v68m	
b75r	39.48	71.47	-3.69	71.57	357	m34o	



Ein und Ausgabe: Farbmatisches Drucker-Reflektiv-System FRS12_95a, $L^*=12_95$ für relativen CIELAB-Bunton $h^* = lab^*h^* = h_{ab}/360 = 0.913$ $u^*_e = b50r$

Daten für jede Farbe:

lab^*ch^* und lab^*icu^*

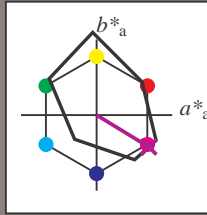
Buntontexte:

$u^*_e = b50r$ $u^*_d = v68m$

Kontrastreduzierungsfaktor:

$c_R = 1.0$

Dreiecks-Helligkeit t^*



FRS12_95a; CIELAB-Daten

	u^*_e	$L^*=L^*$	a^*	b^*	C^*_{ab}	h^*_{ab}
O _M	38.06	60.53	36.66	70.77	31	
Y _M	86.77	-4.5	100.15	100.25	93	
L _M	47.13	-62.11	40.56	74.18	147	
C _M	55.66	-28.56	-39.99	49.14	234	
V _M	17.15	50.78	-65.6	82.96	308	
M _M	40.37	79.18	-40.93	89.13	333	
N _M	11.58	0.46	-6.35	6.37	274	
W _M	95.02	0.69	-9.48	9.51	274	
R _M	39.92	58.74	27.99	65.07	25	
J _M	81.26	-2.89	71.56	71.62	92	
G _M	52.23	-42.42	13.6	44.55	162	
B _M	30.57	1.41	-46.47	46.49	272	

Daten für Maximalfarbe (Ma):

$LAB^*LAB^*_{Ma}: 33\ 69\ -42$

$LAB^*LCH^*_{Ma}: 33\ 81\ 328$

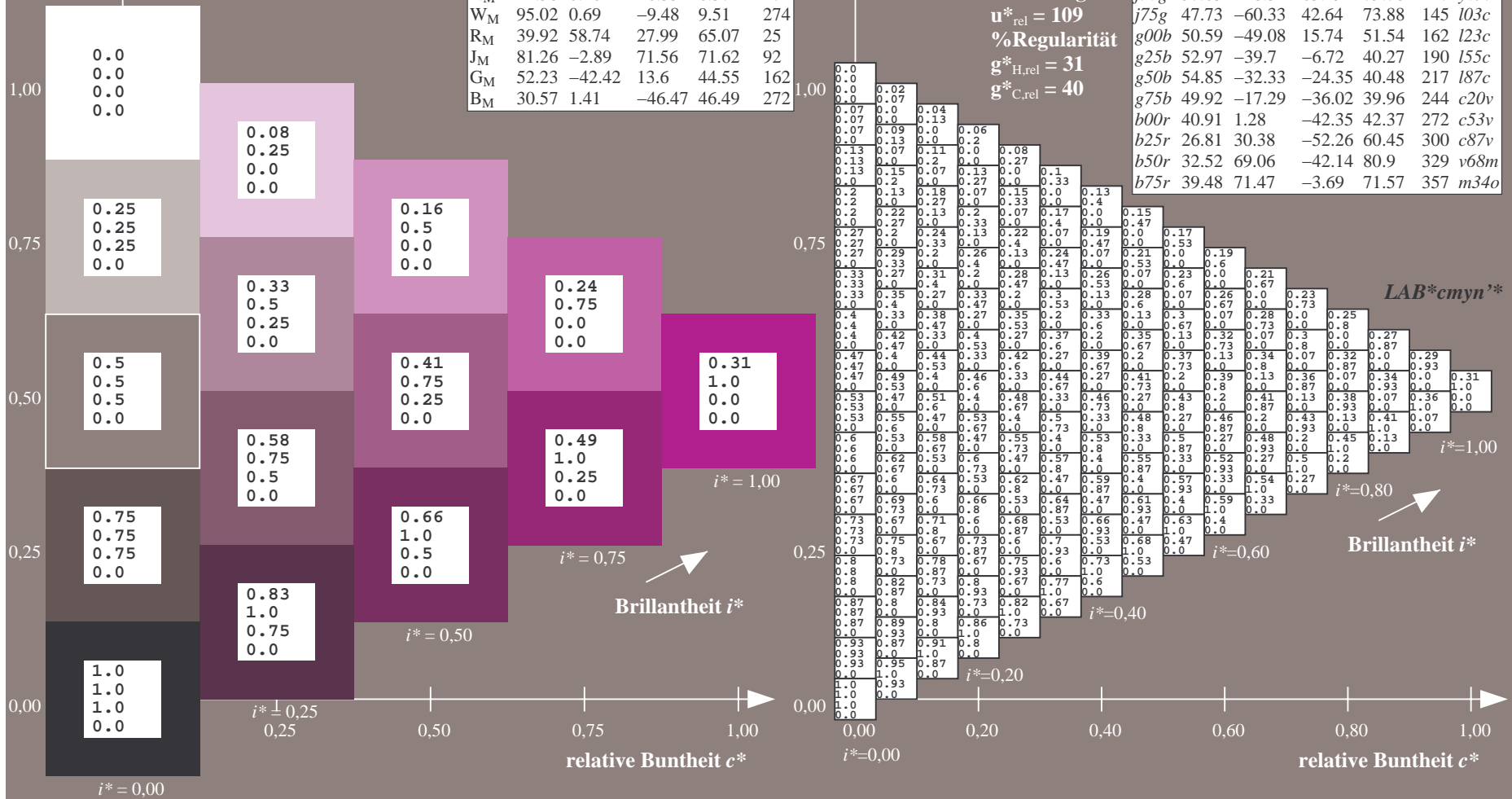
$lab^*rgb^*_{Ma}: 1.0\ 0.0\ 1.0$

$lab^*olv^*_{Ma}: 0.69\ 0.0\ 1.0$

Dreiecks-Helligkeit t^*

FRS12_95a; adaptierte CIELAB-Daten

	u^*_e	$L^*=L^*_a$	a^*_a	b^*_a	$C^*_{ab,a}$	$h^*_{ab,a}$	u^*_d
r00j	38.47	63.32	30.17	70.15	25	m81o	
r25j	42.12	54.56	49.45	73.64	42	o10y	
r50j	53.64	39.15	64.89	75.79	59	o40y	
r75j	67.01	21.26	82.83	85.52	76	o69y	
j00g	86.18	-4.38	108.53	108.62	92	o98y	
j25g	69.73	-29.89	83.06	88.28	110	y34l	
j50g	57.03	-48.31	63.49	79.78	127	y69l	
j75g	47.73	-60.33	42.64	73.88	145	l03c	
g00b	50.59	-49.08	15.74	51.54	162	l23c	
g25b	52.97	-39.7	-6.72	40.27	190	l55c	
g50b	54.85	-32.33	-24.35	40.48	217	l87c	
g75b	49.92	-17.29	-36.02	39.96	244	c20v	
b00r	40.91	1.28	-42.35	42.37	272	c53v	
b25r	26.81	30.38	-52.26	60.45	300	c87v	
b50r	32.52	69.06	-42.14	80.9	329	v68m	
b75r	39.48	71.47	-3.69	71.57	357	m34o	



Ein und Ausgabe: Farbmimetrisches Drucker-Reflektiv-System FRS12_95a, $L^*=12_95$ für relativen CIELAB-Bunton $h^* = lab^*h^* = h_{ab}/360 = 0.992$ $u^*_e = b75r$

Daten für jede Farbe:

lab^*tch^* und lab^*icu^*

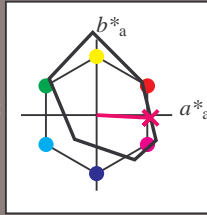
Buntontexte:

$u^*_e = b75r$ $u^*_d = m34o$

Kontrastreduzierungsfaktor:

$c_R = 1.0$

Dreiecks-Helligkeit t^*



FRS12_95a; CIELAB-Daten

	u^*_e	$L^*=L^*$	a^*	b^*	C^*_{ab}	h^*_{ab}
O _M	38.06	60.53	36.66	70.77	31	
Y _M	86.77	-4.5	100.15	100.25	93	
L _M	47.13	-62.11	40.56	74.18	147	
C _M	55.66	-28.56	-39.99	49.14	234	
V _M	17.15	50.78	-65.6	82.96	308	
M _M	40.37	79.18	-40.93	89.13	333	
N _M	11.58	0.46	-6.35	6.37	274	
W _M	95.02	0.69	-9.48	9.51	274	
R _M	39.92	58.74	27.99	65.07	25	
J _M	81.26	-2.89	71.56	71.62	92	
G _M	52.23	-42.42	13.6	44.55	162	
B _M	30.57	1.41	-46.47	46.49	272	

Daten für Maximalfarbe (Ma):

$LAB^*LAB^*_{Ma}: 39\ 71\ -4$

$LAB^*LCH^*_{Ma}: 39\ 72\ 357$

$lab^*rgb^*_{Ma}: 1.0\ 0.0\ 0.5$

$lab^*olv^*_{Ma}: 1.0\ 0.0\ 0.66$

Dreiecks-Helligkeit t^*

%Umfang

$u^*_{rel} = 109$

%Regularität

$g^*_{H,rel} = 31$

$g^*_{C,rel} = 40$

FRS12_95a; adaptierte CIELAB-Daten

	u^*_e	$L^*=L^*_a$	a^*_a	b^*_a	$C^*_{ab,a}$	$h^*_{ab,a}$	u^*_d
r00j	38.47	63.32	30.17	70.15	25	m81o	
r25j	42.12	54.56	49.45	73.64	42	o10y	
r50j	53.64	39.15	64.89	75.79	59	o40y	
r75j	67.01	21.26	82.83	85.52	76	o69y	
j00g	86.18	-4.38	108.53	108.62	92	o98y	
j25g	69.73	-29.89	83.06	88.28	110	y34l	
j50g	57.03	-48.31	63.49	79.78	127	y69l	
j75g	47.73	-60.33	42.64	73.88	145	l03c	
g00b	50.59	-49.08	15.74	51.54	162	i23c	
g25b	52.97	-39.7	-6.72	40.27	190	i55c	
g50b	54.85	-32.33	-24.35	40.48	217	i87c	
g75b	49.92	-17.29	-36.02	39.96	244	c20v	
b00r	40.91	1.28	-42.35	42.37	272	c53v	
b25r	26.81	30.38	-52.26	60.45	300	c87v	
b50r	32.52	69.06	-42.14	80.9	329	v68m	
b75r	39.48	71.47	-3.69	71.57	357	m34o	

